

## 泊発電所3号炉 有効性評価 比較表

第37条 付録1 事故シーケンスグループ及び重要事故シーケンス等の選定について  
別添 3. レベル1PRA 3.2 外部事象 3.2.1 地震PRA

赤字：設備、運用又は体制の相違（設計方針の相違）  
青字：記載箇所又は記載内容の相違（記載方針の相違）  
緑字：記載表現、設備名称の相違（実質的な相違なし）

大飯発電所3／4号炉	女川原子力発電所2号炉	泊発電所3号炉	相違理由
------------	-------------	---------	------

## 2. まとめ資料との比較結果の概要

- ・地震PRAは確率論的地震ハザードが未確定のため、暫定ハザードによる再評価結果に基づき記載した。
- ・比較の結果、地震レベル1PRAの評価プロセスについては、女川2号炉及び大飯3／4号炉と同様であることを確認した。本比較表については女川2号炉を比較対象としており、女川が実施していない屋外重要土木構造物のフラジリティ評価の部分については、大飯3／4号炉を比較対象として選定している。
- ・地震レベル1PRAの結果、抽出された事故シーケンスは大飯3／4号炉と同様であった。
- ・起因事象別炉心損傷頻度については、大飯3／4号炉と同様に外部電源喪失が全炉心損傷頻度に対して寄与割合が高くなる傾向となった。その他の起因事象については、個別のフラジリティ評価結果の相違により、大飯3／4号炉は2次冷却系の破断の寄与割合が高く、泊3号炉はLOCA事象の寄与割合が高い傾向となっている（高浜及び美浜と同様）。
- ・女川2号炉及び大飯発電所3／4号炉との主要な相違点について、以下に取り纏めた。

項目	詳細項目	大飯発電所3／4号炉	女川原子力発電所2号炉	泊発電所3号炉	相違理由
3.2.1.a ①(5)	評価地震動範囲	地震PRAの評価地震動範囲を <u>0.2G～1.5G</u> としている。	地震PRAの評価地震動範囲を <u>0.0G～3.0G</u> としている。	地震PRAの評価地震動範囲を <u>0.2G～1.5G</u> としている。	【女川】 ・泊は0.2～0.4Gにおいてランダム故障が支配的であり、0.2G以下の地震加速度においてはさらにランダムの影響が強くなると考えられ内部事象PRAの評価に包含されるため、泊は評価地震動の下限を0.2Gとしている。 ・泊は評価地震動の上限を基準地震動の最大加速の2倍程度の1.5Gとしており、1.5Gの年超過確率が $3.0 \times 10^{-7}$ 程度であり仮に1.5G以上の評価を実施しても、地震特有の事故シーケンスの炉心損傷頻度が有意となることはない。 ・大飯についても地震PRAの評価範囲は泊と同様
3.2.1.c-2	屋外重要土木構造物のフラジリティ評価	土木構造物の <u>フラジリティ評価</u> を実施している。	土木構造物の耐力がRSW系の機器と比較して強いため、 <u>フラジリティ評価を実施していない</u> 。	土木構造物の <u>フラジリティ評価</u> を実施している。	【女川】 ・地震による土木構造物の損傷の影響を確認するために、泊は土木構造物のフラジリティ評価を実施している。（大飯と同様）
3.2.1.a ②	外部電源喪失の扱い	外部電源設備が損傷していない場合も、 <u>地震PRAの対象範囲</u> としている。（学会標準における <u>PWR</u> の起因事象分類の例と同様）	プラント内の設備の中でも地震耐力が比較的弱く、機能喪失時に広範囲の安全設備に影響を及ぼす外部電源設備の損傷を前提としており、 <u>外部電源設備が損傷していない場合は、地震PRAの対象範囲除外</u> としている。（学会標準における <u>BWR</u> の起因事象分類の例と同様）	外部電源設備が損傷していない場合も、 <u>地震PRAの対象範囲</u> としている。（学会標準における <u>PWR</u> の起因事象分類の例と同様）	【女川】 ・泊においても外部電源設備の地震耐力は比較的弱く、低加速度の範囲においても地震により外部電源喪失の起因事が発生している確率は高いものの、外部電源の有無により原子炉トリップの非信頼度が異なるため、外部電源設備が健全なシナリオも取り扱っている。（大飯と同様）

## 泊発電所3号炉 有効性評価 比較表

赤字：設備、運用又は体制の相違（設計方針の相違）  
 青字：記載箇所又は記載内容の相違（記載方針の相違）  
 緑字：記載表現、設備名称の相違（実質的な相違なし）

第37条 付録1 事故シーケンスグループ及び重要事故シーケンス等の選定について

別添 3. レベル1PRA 3.2 外部事象 3.2.1 地震 PRA

		大飯発電所3／4号炉	女川原子力発電所2号炉	泊発電所3号炉	相違理由
項目	詳細項目	大飯発電所3／4号炉	女川原子力発電所2号炉	泊発電所3号炉	相違理由
3.2.1.d ①	地震特有の起因事象	<ul style="list-style-type: none"> <li>・格納容器バイパス</li> <li>・大破断 LOCA を上回る規模の LOCA (Excess LOCA)</li> <li>・原子炉建屋損傷</li> <li>・原子炉格納容器損傷</li> <li>・制御建屋損傷</li> <li>・電動弁損傷による原子炉補機冷却機能喪失</li> <li>・1次系流路閉塞による2次系除熱機能喪失</li> <li>・複数の信号系損傷</li> <li>・燃料集合体及び制御棒クラスタ損傷による原子炉停止機能喪失</li> </ul>	<ul style="list-style-type: none"> <li>・原子炉建屋損傷</li> <li>・格納容器損傷</li> <li>・圧力容器損傷</li> <li>・ECCS 容量を超える原子炉冷却材圧力バウンダリ喪失 (E-LOCA)</li> <li>・格納容器バイパス</li> <li>・制御建屋損傷</li> <li>・計測・制御系喪失</li> <li>・直流電源喪失</li> <li>・交流電源・原子炉補機冷却系喪失</li> </ul>	<ul style="list-style-type: none"> <li>・格納容器バイパス</li> <li>・大破断 LOCA を上回る規模の LOCA (Excess LOCA)</li> <li>・原子炉建屋損傷</li> <li>・原子炉格納容器損傷</li> <li>・原子炉補助建屋損傷</li> <li>・電動弁損傷による原子炉補機冷却機能喪失</li> <li>・1次系流路閉塞による2次系除熱機能喪失</li> <li>・複数の信号系損傷</li> <li>・燃料集合体及び制御棒クラスタ損傷による原子炉停止機能喪失</li> </ul>	<p>【女川】</p> <ul style="list-style-type: none"> <li>・炉型の相違により抽出される起因事象が異なる。ただし、女川、泊ともに地震時特有の要因による分析を踏まえて起因事象を抽出している。なお、泊は先行のPWRと同様の起因事象となっている。(大飯と同様)</li> </ul>
3.2.1.d ③	定量化手法	小イベントツリー／大フォールトツリー法により定量化している	小イベントツリー／大フォールトツリー法により定量化している	小イベントツリー／大フォールトツリー法により定量化している	<p>【大飯】</p> <ul style="list-style-type: none"> <li>・国内の主流の定量化方法である小イベントツリー／大フォールトツリー法により炉心損傷頻度を算出する RiskSpectrum を用いている (高浜、美浜と同様) (女川と同様)</li> </ul>

## 泊発電所3号炉 有効性評価 比較表

第37条 付録1 事故シーケンスグループ及び重要事故シーケンス等の選定について

別添 3. レベル1PRA 3.2 外部事象 3.2.1 地震PRA

赤字：設備、運用又は体制の相違（設計方針の相違）  
 青字：記載箇所又は記載内容の相違（記載方針の相違）  
 緑字：記載表現、設備名称の相違（実質的な相違なし）

大飯発電所3／4号炉	女川原子力発電所2号炉	泊発電所3号炉	相違理由
1.2 外部事象PRA 1.2.1 地震PRA	3.2 外部事象 3.2.1 地震PRA	3.2 外部事象PRA 3.2.1 地震PRA	<p>【大飯】  <b>■付番の相違</b>        ・女川実績の反映による項目番号の相違        (以下、相違理由説明を省略)</p> <p>【女川】  <b>■記載表現の相違</b>        ・泊は「3.1 内部事象PRA」に合わせて「3.2 外部事象PRA」としている</p>
地震PRAは、一般社団法人 日本原子力学会が発行した「原子力発電所の地震を起因とした確率論的安全評価に関する実施基準：2007（以下「地震PSA学会標準」という。）」を参考に評価を実施し、各実施項目については「PRAの説明における参考事項」（原子力規制庁平成25年9月）の記載事項への適合性を確認した。評価フローを第1.2.1-1図に示す。また、本評価では平成25年7月8日の原子炉設置変更許可申請時点のデータに基づく確率論的地震ハザード及びフラジリティを使用している。なお、今回の地震PRAでは、地震単独の影響のみを評価しており、地震随伴に伴う津波（重畠事象）等は対象としていない。	外部事象地震レベル1PRA（以下、「地震PRA」という。）は、一般社団法人日本原子力学会発行の「原子力発電所の地震を起因とした確率論的安全評価実施基準：2007」（以下、「地震PSA学会標準」という。）を参考に評価を実施し、各実施項目については「PRAの説明における参考事項」（原子力規制庁平成25年9月）の記載事項への適合性を確認した。評価フローを第3.2.1-1図に示す。なお、今回の地震PRAでは、地震単独の影響のみを評価しており、地震に伴う津波（重畠事象）等は対象としていない。（補足3.2.1-1）	外部事象地震レベル1PRA（以下、「地震PRA」という。）は、一般社団法人日本原子力学会発行の「原子力発電所の地震を起因とした確率論的安全評価実施基準：2007」（以下、「地震PSA学会標準」という。）を参考に評価を実施し、各実施項目については「PRAの説明における参考事項」（原子力規制庁平成25年9月）の記載事項への適合性を確認した。評価フローを第3.2.1-1図に示す。なお、今回の地震PRAでは、地震単独の影響のみを評価しており、地震に伴う津波（重畠事象）等は対象としていない。（補足3.2.1-1）	<p>【大飯】  <b>■記載表現の相違</b>        ・女川に記載統一        (以下、相違理由説明を省略)</p> <p>【大飯】  <b>■付番の相違</b>        ・女川実績の反映による図番の相違        (以下、相違理由説明を省略)</p> <p>【大飯】  <b>■記載方針の相違</b>        ・女川実績の反映        ・地震PRAに用いる確率論的地震ハザードについては「3.2.1.b 確率論的地震ハザード」に、フラジリティについては「3.2.1.c 建屋・機器フラジリティ」に説明を記載</p> <p>【女川】【大飯】  <b>■記載内容の相違</b>        ・泊は新旧の学会標準の相違に関する補足説明資料を作成している</p>
1.2.1.a. 対象プラントと事故シナリオ ①対象とするプラントの説明 (1) サイト・プラント情報の収集・分析	3.2.1.a 対象プラントと事故シナリオ ① 対象とするプラントの説明 (1) サイト・プラント関連情報の収集・分析	3.2.1.a 対象プラントと事故シナリオ ①対象とするプラントの説明 (1) サイト・プラント関連情報の収集・分析	

## 泊発電所3号炉 有効性評価 比較表

赤字：設備、運用又は体制の相違（設計方針の相違）  
 青字：記載箇所又は記載内容の相違（記載方針の相違）  
 緑字：記載表現、設備名称の相違（実質的な相違なし）

第37条 付録1 事故シーケンスグループ及び重要事故シーケンス等の選定について

別添3. レベル1PRA 3.2 外部事象 3.2.1 地震PRA

大飯発電所3／4号炉	女川原子力発電所2号炉	泊発電所3号炉	相違理由
<p>内部事象出力時レベル1PRAで収集した設計、運転・保守管理の情報に加え、地震PRAを実施するために、プラントの耐震設計やプラント配置の特徴等の地震固有に考慮すべき関連情報を追加で収集・分析した。収集した情報及び主な情報源を第3.2.1.a-1表に示す。</p> <p>(2) 機器・系統の配置及び形状・設備容量 主要な機器・系統の配置及び形状・設備容量は「1.1 内部事象PRA」での記載と同様である。</p> <p>(3) 地震に対する特徴 地震PRAでは耐震性の低い以下の設備には期待しない評価を行った。</p>	<p>内部事象出力時レベル1PRA（以下、「内部事象PRA」という。）で収集した設計、運転・保守管理の情報に加え、地震PRAを実施するために、プラントの耐震設計やプラント配置の特徴等の地震固有に考慮すべき関連情報を収集・分析した。収集した情報を第3.2.1.a-1表に示す。</p> <p>(2) 地震PRAにおいて考慮する緩和機能(系統)の概要 地震PRAにおいて考慮する緩和機能(系統)は「3.1.1 出力運転時PRA」での記載と同様である。</p> <p>(3) 地震に対する特徴 内部事象PRAに対する地震PRAの特徴は以下の通りである。 (補足3.2.1.a-7)</p> <ul style="list-style-type: none"> <li>・給復水系等の耐震重要度B又はCクラスの設備は基本的には期待しない。ただし、以下に示す安全設備の使命時間内の機能維持に必要となる設備は評価対象とする。                     <ul style="list-style-type: none"> <li>・燃料移送系</li> <li>・軽油タンク</li> </ul> </li> <li>・格納容器バイパスを評価するため、原子炉冷却材圧力バウンダリに接続する原子炉格納容器外の配管（耐震重要度Bクラス）を評価対象とする。</li> </ul>	<p>内部事象出力時レベル1PRA（以下、「内部事象PRA」という。）で収集した設計、運転・保守管理の情報に加え、地震PRAを実施するために、プラントの耐震設計やプラント配置の特徴等の地震固有に考慮すべき関連情報を収集・分析した。収集した情報を第3.2.1.a-1表に示す。</p> <p>(2) 地震PRAにおいて考慮する緩和機能(系統)の概要 地震PRAにおいて考慮する緩和機能(系統)は「3.1.1 出力運転時PRA」での記載と同様である。</p> <p>(3) 地震に対する特徴 内部事象PRAに対する地震PRAの特徴は以下の通りである。 (補足3.2.1.a-7)</p> <ul style="list-style-type: none"> <li>・タービンバイパス系等の耐震重要度B又はCクラスの設備は基本的には期待しない。ただし、以下に示す安全設備の使命時間内の機能維持に必要となる設備は評価対象とする。</li> </ul> <ul style="list-style-type: none"> <li>・安全補機に関わる空調系</li> <li>・空調用冷水系</li> </ul>	<p>【女川】【大飯】 ■記載内容の相違 ・泊は地震PRAにおける総合デジタルの計測制御設備の扱いに関する補足説明資料を作成している</p> <p>【女川】 ■設備の相違 ・内部事象PRAでモデル化している設備のうち、耐震性が低く地震PRAでは期待しない設備及び例外の設備を記載しており、炉型により該当する設備が異なる（大飯に記載はないが、泊と同様の評価となっている）</p> <p>【女川】 ■設備の相違 ・泊は格納容器バイパスとなるような原子炉冷却材圧力バウンダリに接続する原子炉格納容器外の耐震重要度Bクラス配管はない（大飯に記載はないが、泊と同様の評価となっている）</p> <p>【女川】 ■評価方針の相違</p>

## 泊発電所3号炉 有効性評価 比較表

赤字：設備、運用又は体制の相違（設計方針の相違）  
 青字：記載箇所又は記載内容の相違（記載方針の相違）  
 緑字：記載表現、設備名称の相違（実質的な相違なし）

第37条 付録1 事故シーケンスグループ及び重要事故シーケンス等の選定について

別添 3. レベル1PRA 3.2 外部事象 3.2.1 地震PRA

大飯発電所3／4号炉	女川原子力発電所2号炉	泊発電所3号炉	相違理由
<ul style="list-style-type: none"> <li>・常用電源（ただし、外部電源には期待する。）</li> <li>・主給水系</li> <li>・タービンバイパス系</li> <li>・常用系の2次冷却系の水源</li> <li>・所内空気系</li> </ul> <p>また、地震PRAでは地震加速度が増加するにつれ、安全機能や緩和機能を有する機器が複数同時に損傷することが考えられるため、地震損傷機器イベントツリーにおいて複数機器が同時に損傷する場合を考慮して評価を行った。また、階層イベントツリーでは複数の起因事象の重畠による影響を含めるように階層化処理を行った。</p>	<ul style="list-style-type: none"> <li>・地震時には、機器及び電源の復旧は不可能とする。</li> <li>・複数基同時被災の影響を考慮し、隣接号機からの電源融通（高圧電源融通）に期待しない。</li> <li>・事故シーケンス評価における起因事象に関しては、複数の建屋・構築物、安全機能や緩和機能を有する機器が複数同時損傷することによる様々な起因事象を合理的に処理するために、成功基準の観点からグループ化を行った上で、プラントへの影響が最も厳しい起因事象順に代表させる形で階層イベントツリーを作成している。</li> </ul>	<ul style="list-style-type: none"> <li>・地震時には、機器及び電源の復旧は不可能とする。</li> <li>・複数基同時被災の影響を考慮し、隣接号機からの電源融通（高圧電源融通）に期待しない。</li> <li>・事故シーケンス評価における起因事象に関しては、複数の建屋・構築物、安全機能や緩和機能を有する機器が複数同時損傷することによる様々な起因事象を合理的に処理するために、成功基準の観点からグループ化を行った上で、プラントへの影響が最も厳しい起因事象順に代表させる形で階層イベントツリーを作成している。</li> </ul>	<p>■記載方針の相違</p> <ul style="list-style-type: none"> <li>・泊は緩和設備のサポートシステムとして換気空調系を必要とする場合には、換気空調系をモデル化している（大飯に記載はないが、泊と同様の評価となっている）</li> </ul> <p>【大飯】</p> <p>■記載方針の相違</p> <ul style="list-style-type: none"> <li>・地震PRAで期待しない設備は大飯と同様であるが、泊は女川の記載に合わせて内部事象PRAで期待している設備のうち、地震PRAでは期待しない設備を記載しているため、内部事象PRAでも期待していない主給水系、常用系の2次冷却系の水源及び所内空気系は記載していない</li> </ul> <p>【女川】</p> <p>■記載方針の相違</p> <ul style="list-style-type: none"> <li>・女川の実績反映</li> </ul>
<p>(4) プラントウォークダウン</p> <p>机上検討では確認が難しいプラント情報を取得するため、及び、検討したシナリオの妥当性確認のため、地震PRAの観点から重要な機器を対象にプラントウォークダウンを実施し、主に以下の観点について問題ないことを確認した。評価対象機器選定フローを第3.2.1.a-1図に、評価結果の例を第3.2.1.a-2図に示す。（別紙3.2.1.a-1、別紙3.2.1.a-2）</p>	<p>(4) プラントウォークダウン</p> <p>机上検討では確認が難しいプラント情報を取得すること及び検討したシナリオの妥当性を確認することを目的として、地震PRAの観点から重要な機器を対象にプラントウォークダウンを実施し、主に以下の観点について確認した。評価対象機器選定フローを第3.2.1.a-1図に、評価結果の例を第3.2.1.a-2図に示す。（補足3.2.1.a-1、補足3.2.1.a-2、補足3.2.1.a-3）</p>	<p>(4) プラントウォークダウン</p> <p>机上検討では確認が難しいプラント情報を取得すること及び検討したシナリオの妥当性を確認することを目的として、地震PRAの観点から重要な機器を対象にプラントウォークダウンを実施し、主に以下の観点について確認した。評価対象機器選定フローを第3.2.1.a-1図に、評価結果の例を第3.2.1.a-2図に示す。（補足3.2.1.a-1、補足3.2.1.a-2、補足3.2.1.a-3）</p>	<p>■資料名称の相違</p> <ul style="list-style-type: none"> <li>・別紙⇨補足</li> </ul> <p>（以下、相違理由説明を省略）</p>

## 泊発電所3号炉 有効性評価 比較表

赤字：設備、運用又は体制の相違（設計方針の相違）  
 青字：記載箇所又は記載内容の相違（記載方針の相違）  
 緑字：記載表現、設備名称の相違（実質的な相違なし）

第37条 付録1 事故シーケンスグループ及び重要事故シーケンス等の選定について

別添 3. レベル1PRA 3.2 外部事象 3.2.1 地震PRA

大飯発電所3／4号炉	女川原子力発電所2号炉	泊発電所3号炉	相違理由
<ul style="list-style-type: none"> <li>・耐震安全性の確認</li> <li>・二次的影響の確認</li> <li>・必要に応じた地震後のアクセス性の確認</li> </ul> <p>プラントウォークダウンの結果、調査対象に対する耐震安全性や二次的影響等に関する問題ではなく、フラジリティ評価及びシステム評価において新たに考慮する事項はないことを確認した。</p>	<ul style="list-style-type: none"> <li>・耐震安全性の確認</li> <li>・二次的影響の確認</li> </ul> <p>※点検項目については、地震PSA学会標準を参考に更に細分化して設定している。</p> <p>プラントウォークダウンの結果、調査対象に対する耐震安全性や二次的影響等に関する問題ではなく、フラジリティ評価及びシステム評価において新たに考慮する事項はないことを確認した。</p> <p>(5) 今回実施した地震PRAの前提条件等について</p> <p>今回実施した地震PRAについて、主な留意点を以下に示す。</p> <p>a. 評価の前提条件について</p> <ul style="list-style-type: none"> <li>・評価地震動範囲は0.0G～3.0G（解放基盤表面上の加速度）とする。</li> </ul>	<ul style="list-style-type: none"> <li>・耐震安全性の確認</li> <li>・二次的影響の確認</li> <li>・必要に応じた地震後のアクセス性の確認</li> </ul> <p>※点検項目については、地震PSA学会標準を参考に更に細分化して設定している。</p> <p>プラントウォークダウンの結果、調査対象に対する耐震安全性や二次的影響等に関する問題ではなく、フラジリティ評価及びシステム評価において新たに考慮する事項はないことを確認した。</p> <p>(5) 今回実施した地震PRAの前提条件等について</p> <p>今回実施した地震PRAについて、主な留意点を以下に示す。</p> <p>a. 評価の前提条件について</p> <ul style="list-style-type: none"> <li>・評価地震動範囲は0.2G～1.5G（解放基盤表面上の加速度）とする。</li> </ul>	<p>【女川】</p> <p>■記載方針の相違</p> <ul style="list-style-type: none"> <li>・大飯はプラントウォークダウンの実施内容を補足としてまとめており、記載の充実のため、泊も同様の資料を作成している</li> </ul> <p>【女川】</p> <p>■評価方針の相違</p> <ul style="list-style-type: none"> <li>・泊は地震後の操作を考慮する機器についてアクセス性を確認している（大飯と同様）</li> </ul> <p>【大飯】</p> <p>■記載方針の相違</p> <ul style="list-style-type: none"> <li>・女川の実績反映</li> </ul> <p>【大飯】</p> <p>■記載方針の相違</p> <ul style="list-style-type: none"> <li>・女川の実績反映</li> </ul> <p>【女川】</p> <p>■評価方針の相違</p> <ul style="list-style-type: none"> <li>・泊は0.2～0.4Gにおいてランダム故障が支配的であり、0.2G以下の地震加速度においては、さらにランダム故障の影響が強くなると考えられ内部事象PRAの評価に包含されることから、0.2G以下は地震PRAの評</li> </ul>

## 泊発電所3号炉 有効性評価 比較表

赤字：設備、運用又は体制の相違（設計方針の相違）  
 青字：記載箇所又は記載内容の相違（記載方針の相違）  
 緑字：記載表現、設備名称の相違（実質的な相違なし）

第37条 付録1 事故シーケンスグループ及び重要事故シーケンス等の選定について

別添 3. レベル1PRA 3.2 外部事象 3.2.1 地震PRA

大飯発電所3／4号炉	女川原子力発電所2号炉	泊発電所3号炉	相違理由
	<p>津波及び地震随伴の火災、溢水が建屋、機器及び緩和機能に及ぼす影響は考慮せず、地震の影響のみ評価する。</p> <p>b. 地震の影響について</p> <ul style="list-style-type: none"> <li>・冗長機器及び設備は、地震の影響により同時に損傷する（完全相関）と仮定する。</li> <li>・余震による炉心損傷への影響は考慮しない。</li> <li>・経年劣化による炉心損傷への影響は考慮しない。</li> </ul> <p>②地震により炉心損傷に至る事故シナリオと分析</p> <p>収集したプラント関連情報及びプラントウォークダウンによって得られた情報を用いて、事故シナリオを広範に分析し、事故シナリオを設定した。事故シナリオの選定に当たっては、地震起因による安全機能を有する建屋・構築物、システム及び機器（以下、「SSC」という。）の損傷が直接炉心損傷事故に繋がる事故シナリオだけでなく、安全機能への間接的影響、余震による地震動の安全機能への影響、経年変化を考慮した場合の影響を考慮した。なお、地震PRAの対象範囲は、常用系で耐震クラスの低い主給水系の機器損傷による「主給水流量喪失事象の発生以上の規模」（地震加速度0.2G以上）とし、これ以上の地震では少なくとも「主給水流量喪失」が発生するとした。</p>	<p>津波及び地震随伴の火災、溢水が建屋、機器及び緩和機能に及ぼす影響は考慮せず、地震の影響のみ評価する。</p> <p>b. 地震の影響について</p> <ul style="list-style-type: none"> <li>・冗長機器及び設備は、地震の影響により同時に損傷する（完全相関）と仮定する。</li> <li>・余震による炉心損傷への影響は考慮しない。</li> <li>・経年劣化による炉心損傷への影響は考慮しない。</li> </ul> <p>②地震により炉心損傷に至る事故シナリオと分析</p> <p>収集したプラント関連情報及びプラントウォークダウンによって得られた情報を用いて、事故シナリオを広範に分析し、事故シナリオを設定した。事故シナリオの選定に当たっては、地震起因による安全機能を有する建屋・構築物、システム、機器（以下、「SSC」という。）の損傷が直接炉心損傷事故に繋がる事故シナリオだけでなく、安全機能への間接的影響、余震による地震の安全機能への影響、経年劣化を考慮した場合の影響を考慮した。</p> <p>なお、地震PRAの対象範囲は、プラント内の設備の中でも地震耐力が比較的弱く、機能喪失時に広範囲の安全設備に影響を及ぼす外部電源設備の損傷による「外部電源喪失事象の発生以上の規模」（地震加速度0.02G以上）とした。</p>	<p>価範囲とはしていない（大飯についても泊と同様）</p> <ul style="list-style-type: none"> <li>・基準地震動の最大加速度の2倍程度の1.5Gを評価範囲の上限としているが、1.5Gにおける年超過確率は<math>3.0 \times 10^{-7}</math>程度であり、仮に1.5G以上の評価を実施しても、地震特有の事故シーケンスの炉心損傷頻度が有意となることはない（大飯についても泊と同様）</li> </ul> <p>【女川】</p> <p>■記載表現の相違</p> <ul style="list-style-type: none"> <li>・あたっては⇒当たっては</li> </ul> <p>【女川】</p> <p>■記載表現の相違</p> <ul style="list-style-type: none"> <li>・繋がる⇒つながる</li> </ul> <p>（以下、相違理由説明を省略）</p> <p>【女川】</p> <p>■評価方針の相違</p> <ul style="list-style-type: none"> <li>・泊においても外部電源設備の地震耐力は比較的弱く、低加速度の範囲においても地震により外部電源喪失の起因事象が発生している確率は高いものの、外部電源の有無により原子</li> </ul>

## 泊発電所3号炉 有効性評価 比較表

赤字：設備、運用又は体制の相違（設計方針の相違）  
 青字：記載箇所又は記載内容の相違（記載方針の相違）  
 緑字：記載表現、設備名称の相違（実質的な相違なし）

第37条 付録1 事故シーケンスグループ及び重要事故シーケンス等の選定について  
 別添 3. レベル1PRA 3.2 外部事象 3.2.1 地震 PRA

大飯発電所3／4号炉	女川原子力発電所2号炉	泊発電所3号炉	相違理由
<p>選定した事故シナリオのうち、安全機能への間接的影響、余震による地震動の安全機能への影響、経年変化を考慮した場合の影響を考慮した事故シナリオについてはスクリーニングを行い、安全機能を有するSSCの損傷が直接炉心損傷事故に繋がる事故シナリオとあわせて事故シナリオの明確化を行った。安全機能への間接的影響、余震による地震動の安全機能への影響、経年変化を考慮した場合の影響を考慮した事故シナリオに対するスクリーニング結果を第1.2.1.a-2表に示す。また、明確になった事故シナリオにより誘発される起因事象の分析を実施し、以下の起因事象を選定した。</p> <p>(別紙3.2.1.a-3, 別紙3.2.1.a-4, 別紙3.2.1.a-5)</p> <ul style="list-style-type: none"> <li>・格納容器バイパス</li> <li>・大破断LOCAを上回る規模のLOCA (Excess LOCA)</li> <li>・原子炉建屋損傷</li> <li>・原子炉格納容器損傷</li> <li>・制御建屋損傷</li> </ul>	<p>抽出した事故シナリオについて、炉心損傷に繋がる可能性を定性的又は定量的に判断してスクリーニングを行い、事故シナリオの明確化を行った。事故シナリオに対するスクリーニング結果を第3.2.1.a-2表に示す。事故シナリオのスクリーニングについては、これまでに決定論的に評価されている情報又は運用面での対策・対応に関する情報に基づき判断している。また、明確になった事故シナリオにより誘発される起因事象の分析を第3.2.1.a-3図に示すフローを用いて実施し、以下の起因事象を選定した。</p> <p>(別紙3.2.1.a-3, 別紙3.2.1.a-4, 別紙3.2.1.a-5)</p> <ul style="list-style-type: none"> <li>・格納容器バイパス</li> <li>・ECCS容量を超える原子炉冷却材圧力バウンダリ喪失 (E-LOCA)</li> <li>・原子炉建屋損傷</li> <li>・格納容器損傷</li> <li>・制御建屋損傷</li> </ul>	<p>抽出した事故シナリオについて、炉心損傷につながる可能性を定性的又は定量的に判断してスクリーニングを行い、事故シナリオの明確化を行った。事故シナリオに対するスクリーニング結果を第3.2.1.a-2表に示す。事故シナリオのスクリーニングについては、これまでに決定論的に評価されている情報又は運用面での対策・対応に関する情報に基づき判断している。また、明確になった事故シナリオにより誘発される起因事象の分析を第3.2.1.a-3図に示すフローを用いて実施し、以下の起因事象を選定した。</p> <p>(補足3.2.1.a-4, 補足3.2.1.a-5, 補足3.2.1.a-6)</p> <ul style="list-style-type: none"> <li>・格納容器バイパス</li> <li>・大破断LOCAを上回る規模のLOCA (Excess LOCA)</li> <li>・原子炉建屋損傷</li> <li>・原子炉格納容器損傷</li> <li>・原子炉補助建屋損傷</li> </ul>	<p>炉トリップの非信頼度が異なるため、外部電源が健全なシナリオも取り扱っている（大飯に記載はないが、泊と同様となっている）</p> <p>・泊は0.2～0.4Gにおいてランダム故障が支配的であり、0.2G以下の地震加速度においては、さらにランダム故障の影響が強くなると考えられ内部事象PRAの評価に包含されることから、0.2G以下は地震PRAの評価範囲とはしていない。（大飯についても地震PRAの対象範囲は、泊と同様となっている）</p> <p>【女川】</p> <p>■付番の相違</p> <p>・資料番号の相違 (以下、相違理由説明を省略)</p> <p>【女川】</p> <p>■炉型の相違</p> <p>・炉型が異なり、抽出される起因事象が異なるため、大飯と比較する。（着色せず）</p> <p>【女川】</p> <p>・泊の構成に合わせて女川の起因事象の記載順序を入れ替えている</p> <p>【大飯】</p>

## 泊発電所3号炉 有効性評価 比較表

赤字：設備、運用又は体制の相違（設計方針の相違）  
 青字：記載箇所又は記載内容の相違（記載方針の相違）  
 緑字：記載表現、設備名称の相違（実質的な相違なし）

第37条 付録1 事故シーケンスグループ及び重要事故シーケンス等の選定について

別添 3. レベル1PRA 3.2 外部事象 3.2.1 地震PRA

大飯発電所3／4号炉	女川原子力発電所2号炉	泊発電所3号炉	相違理由
<ul style="list-style-type: none"> <li>・電動弁損傷による原子炉補機冷却機能喪失</li> <li>・1次系流路閉塞による2次系除熱機能喪失</li> <li>・複数の信号系損傷</li> <li>・燃料集合体及び制御棒クラスタ損傷による原子炉停止機能喪失</li> <li>・大破断LOCA</li> <li>・中破断LOCA</li> <li>・小破断LOCA</li> <li>・2次冷却系の破断</li> <li>・主給水流量喪失</li> <li>・外部電源喪失 <b>(緩和系で考慮)</b></li> <li>・原子炉補機冷却機能喪失 <b>(緩和系で考慮)</b></li> </ul> <p>これらの分析結果に基づき、起因事象の要因となる機器及び起因事象が発生した場合の緩和設備に係るSSCを抽出し、地震PRAで対象となる建屋・機器リストを作成した。なお、建屋・機器の選定に際しては、内部事象出力時レベル1PRAで作成した機器リストをベースに、地震特有の事故シナリオから選定される建屋・機器を追加した。第3.2.1.a-3表に評価対象とした建屋・機器の選定方法、第3.2.1.a-4表に建屋・機器リストを示す（後</p>	<ul style="list-style-type: none"> <li>・計測・制御系喪失</li> <li>・外部電源喪失</li> <li>・圧力容器損傷</li> <li>・直流電源喪失</li> <li>・交流電源・原子炉補機冷却系喪失</li> </ul> <p>これらの起因事象と内部事象PRAでグループ化した起因事象の関係を整理し、地震特有の起因事象を分類した。分類した結果を第3.2.1.a-3表に示す。</p> <p>これらの結果に基づき、起因事象の要因となる機器及び起因事象が発生した場合の緩和設備に係るSSCを抽出し、地震PRAで対象となる建屋・機器リストを作成した。第3.2.1.a-4表にリストを示す。</p>	<ul style="list-style-type: none"> <li>・電動弁損傷による原子炉補機冷却機能喪失</li> <li>・1次系流路閉塞による2次系除熱機能喪失</li> <li>・複数の信号系損傷</li> <li>・燃料集合体及び制御棒クラスタ損傷による原子炉停止機能喪失</li> <li>・大破断LOCA</li> <li>・中破断LOCA</li> <li>・小破断LOCA</li> <li>・2次冷却系の破断</li> <li>・主給水流量喪失</li> <li>・外部電源喪失</li> <li>・原子炉補機冷却機能喪失</li> </ul> <p>これらの起因事象と内部事象PRAでグループ化した起因事象の関係を整理し、地震特有の起因事象を分類した。分類した結果を第3.2.1.a-3表に示す。</p> <p>これらの結果に基づき、起因事象の要因となる機器及び起因事象が発生した場合の緩和設備に係るSSCを抽出し、地震PRAで対象となる建屋・機器リストを作成した。第3.2.1.a-4表に評価対象とした建屋・機器の選定方法、第3.2.1.a-5表にリストを示す。</p>	<p>■名称の相違</p> <ul style="list-style-type: none"> <li>・制御建屋損傷⇒原子炉補助建屋損傷</li> </ul> <p>（以下、相違理由説明を省略）</p> <p><b>【大飯】</b></p> <p>■評価手法の相違</p> <ul style="list-style-type: none"> <li>・大飯はイベントツリー法を用いており、外部電源喪失及び原子炉補機冷却機能喪失は緩和系として考慮されているため、これらを起因事象としたイベントツリーはない（泊は高浜、美浜と同様）</li> </ul> <p><b>【女川】</b></p> <p>■記載方針の相違</p> <ul style="list-style-type: none"> <li>・記載の充実のため、評価対象とした建屋・機器の選定方法を記載している（大飯と同様）</li> </ul>

## 泊発電所3号炉 有効性評価 比較表

赤字：設備、運用又は体制の相違（設計方針の相違）  
 青字：記載箇所又は記載内容の相違（記載方針の相違）  
 緑字：記載表現、設備名称の相違（実質的な相違なし）

第37条 付録1 事故シーケンスグループ及び重要事故シーケンス等の選定について

別添3. レベル1PRA 3.2 外部事象 3.2.1 地震 PRA

大飯発電所3／4号炉	女川原子力発電所2号炉	泊発電所3号炉	相違理由
<p>述のフランジリティデータをあわせて記載)。</p> <p>1.2.1.b. 確率論的地震ハザード 平成25年7月 申請時点での確率論的地震ハザードは、以下のとおり評価している。</p> <p>①確率論的地震ハザード評価の方法 地震PSEA学会標準の方法に基づき評価を行う。</p> <p>②確率論的地震ハザード評価に当たっての主要な仮定 (1) 震源モデルの設定 震源モデルは、以下に示す特定震源モデルと領域震源モデルを設定した。 a. 特定震源モデル</p>	<p>3.2.1.b 確率論的地震ハザード</p> <p>① 確率論的地震ハザード評価の方法 原子力発電所に対する地震を起因とした確率論的リスク評価に関する実施基準（2015）*1の方法に基づき評価を行う。</p> <p>② 確率論的地震ハザード評価に当たっての主要な仮定 (1) 震源モデルの設定 震源モデルとしては、以下に示す特定震源モデルと領域震源モデルを設定した。 a. 特定震源モデル i. 海溝型地震 地震調査研究推進本部（2013）*2では、東北地方太平洋沖型地震と宮城県沖地震を特定地震として扱っており、本評価でもこれらの地震を特定地震として評価した。東北地方太平洋沖型地震の震源モデルの諸元は、神田ほか（2012）*3、Asano and Iwata（2012）*4及び諸井ほか（2013）*5に基づき設定した。また、宮城県沖地震の震源モデルの諸元は地震調査研究推進本部（2005）*6に基づき設定した。東北地方太平洋沖型地震については、地震調査研究推進本部（2013）と同様に更新</p>	<p>3.2.1.b 確率論的地震ハザード 令和3年9月29日の発電用原子炉設置変更許可申請書の一部補正時点での確率論的地震ハザードは、以下のとおり評価している。</p> <p>①確率論的地震ハザード評価の方法 原子力発電所に対する地震を起因とした確率論的リスク評価に関する実施基準（2015）*1の方法に基づき評価を行う。</p> <p>② 確率論的地震ハザード評価に当たっての主要な仮定 (1) 震源モデルの設定 震源モデルとしては、以下に示す特定震源モデルと領域震源モデルを設定した。 a. 特定震源モデル</p>	<p>【女川】【大飯】 ■記載表現の相違 ・「3.2.1.b 確率論的地震ハザード」については、地震・津波側の審査において提示するため、表現の相違理由について記載を省略する  【大飯】 ■個別評価による相違 ・申請年月日が異なる  【女川】 ■記載方針の相違 ・記載の充実のため、評価に用いた確率論的地震ハザードを明記している（大飯と同様）  【大飯】 ■評価方針の相違 ・泊は最新の学会標準を参照して評価をしている。（女川と同様）  【女川】 ■個別評価による相違 ・泊と女川では地震発生様式等が異なることから、地震ハザード評価が異なる（以降、大飯との相違も含めて、相違理由説明を省略）</p>

## 泊発電所3号炉 有効性評価 比較表

赤字：設備、運用又は体制の相違（設計方針の相違）  
 青字：記載箇所又は記載内容の相違（記載方針の相違）  
 緑字：記載表現、設備名称の相違（実質的な相違なし）

第37条 付録1 事故シーケンスグループ及び重要事故シーケンス等の選定について  
 別添3 レベル1PRA 3.2 外部事象 3.2.1 地震 PRA

大飯発電所3／4号炉	女川原子力発電所2号炉	泊発電所3号炉	相違理由
<p>基本的にサイトから100km以内にある「[新編]日本の活断層」に掲載されている確実度I及びIIの活断層をモデル化し、敷地に影響を及ぼすと考えられる活断層については、敷地周辺の地質調査結果等に基づいてモデル化した。</p> <p>第1.2.1.b-1図に敷地周辺の活断層の図を、第1.2.1.b-1表に主要な活断層の震源モデルの諸元を示す。</p> <p>b. 領域震源モデル</p> <p>領域震源モデルについては、萩原(1991)及び垣見ほか(2003)の領域区分に基づき、サイトから半径100km以内の領域を対象とし、各領域の最大マグニチュードは領域内の過去の地震の最大値を基に設定した。第1.2.1.b-2図に萩原(1991)及び垣見ほか(2003)による領域区分の図を示す。</p> <p>(2) 地震動評価モデルの設定</p> <p>地震動評価モデルとしてはNoda et al. (2002)による距離減衰式を用いた。また、ロジックツリーにおいて内陸補正の有無を考慮した。</p> <p>(3) ロジックツリーの作成</p> <p>ロジックツリーの作成では、震源モデル及び地震動評価モデルの設定において、選定した認識論的不確かさ要因から確率論的地震ハザード評価に大きな影響を及ぼす要因を選定した。特に敷地に影響を及ぼすと考えられる活断層(FO-A～FO-B断層)については、詳細なロジックツリーに展開し評価した。作成したロジックツリーを第1.2.1.b-3図及び第1.2.1.b-4図に示す。</p> <p>③確率論的地震ハザード評価結果</p> <p>(1) 地震ハザード曲線</p> <p>上記により評価した平均地震ハザード曲線を第1.2.1.b-5図に、主要活断層ごとのハザード曲線を第1.2.1.b-6図に示す。ま</p>	<p>過程を適用した。設定した震源モデルの諸元を第3.2.1.b-1表に示す。</p> <p>ii. 内陸地殻内地震</p> <p>敷地から100km程度以内にある「[新編]日本の活断層」*に掲載されている確実度I及びIIの活断層及び敷地周辺の地質調査結果に基づいて評価した活断層等を特定震源としてモデル化した。なお、これらの断層群の運動も考慮した。敷地周辺の主な活断層分布及び震源モデルの諸元を第3.2.1.b-1図及び第3.2.1.b-2表に示す。</p> <p>b. 領域震源モデル</p> <p>敷地から100km以内の領域において、地震調査研究推進本部(2013)におけるモデル1、モデル2を参照し、その領域区分、対象領域の最大マグニチュードをモデル化した。設定した領域区分と最大マグニチュードを第3.2.1.b-2図に示す。</p> <p>(2) 地震動伝播モデルの設定</p> <p>東北地方太平洋沖型地震については、Noda et al. (2002)*による距離減衰式及び断層モデル手法による評価を実施した。その他の震源については、Noda et al. (2002)による距離減衰式を用い、観測記録に基づいた補正又は内陸補正を考慮した。</p> <p>(3) ロジックツリーの作成</p> <p>ロジックツリーの作成では、震源モデル及び地震動伝播モデルにおいて設定した各モデル及び認識論的不確かさ要因をロジックツリーに展開した。</p> <p>なお、ロジックツリーには、地震調査研究推進本部(2013)のモデル1とモデル2の両方を、重み付けを考慮し取り入れた。作成したロジックツリーを第3.2.1.b-3図に、ロジックツリーの分岐及び重み付けの考え方を第3.2.1.b-3表に示す。</p> <p>③確率論的地震ハザード評価結果</p> <p>(1) 地震ハザード曲線</p> <p>上記により評価した平均地震ハザード曲線を第3.2.1.b-4図に、特定震源モデル及び領域震源モデル毎の地震ハザード曲線</p>	<p>敷地から100km程度以内にある地質調査結果に基づく断層並びに「[新編]日本の活断層」*に掲載されている確実度I及びIIの活断層を特定震源としてモデル化した。</p> <p>敷地周辺の活断層分布及び主要活断層の震源モデルの諸元を第3.2.1.b-1図及び第3.2.1.b-2表に示す。</p> <p>b. 領域震源モデル</p> <p>領域震源モデルについては、萩原(1991)*及び垣見ほか(2003)*の領域区分に基づき、サイトから半径200km以内の領域を対象とし、各領域の最大マグニチュードは領域内の過去の地震の最大値を基に設定した。第3.2.1.b-2図に萩原(1991)及び垣見ほか(2003)による領域区分の図を示す。</p> <p>(2) 地震動伝播モデルの設定</p> <p>地震動伝播モデルとしては、Noda et al. (2002)*による距離減衰式を用いた。また、ロジックツリーにおいて内陸補正の有無及び観測記録に基づいた補正の有無を考慮した。</p> <p>(3) ロジックツリーの作成</p> <p>ロジックツリーの作成では、震源モデル及び地震動伝播モデルの設定において、選定した認識論的不確かさ要因から確率論的地震ハザード評価に大きな影響を及ぼす要因を選定した。検討用地震として選定した「尻別川断層」、「F<sub>s</sub>-10断層～岩内堆東擁曲～岩内堆南方背斜」、「積丹半島北西沖の断層」、「F<sub>b</sub>-2断層」については、詳細なロジックツリーに展開して評価した。作成したロジックツリーを第3.2.1.b-3図に示す。</p> <p>③確率論的地震ハザード評価結果</p> <p>(1) 地震ハザード曲線</p> <p>上記により評価した平均ハザード曲線を第3.2.1.b-4図に、震源ごとのハザード曲線を第3.2.1.b-5図に示す。また、フラクタ</p>	<p>【女川】</p> <p>■記載方針の相違</p> <ul style="list-style-type: none"> <li>泊は地震・津波側の審査において提示する資料に合わせた記載方針としている</li> </ul>

## 泊発電所3号炉 有効性評価 比較表

赤字：設備、運用又は体制の相違（設計方針の相違）  
 青字：記載箇所又は記載内容の相違（記載方針の相違）  
 緑字：記載表現、設備名称の相違（実質的な相違なし）

第37条 付録1 事故シーケンスグループ及び重要事故シーケンス等の選定について  
 別添3 レベル1PRA 3.2 外部事象 3.2.1 地震 PRA

大飯発電所3／4号炉	女川原子力発電所2号炉	泊発電所3号炉	相違理由
<p>た、フランクタイル地震ハザード曲線を第1.2.1.b-7図に示す。</p> <p>(2) 一様ハザードスペクトル 基準地震動Ssの応答スペクトルと年超過確率ごとの一様ハザードスペクトルとの比較を第1.2.1.b-8図に示す。基準地震動Ssの年超過確率は、水平方向で<math>10^{-4} \sim 10^{-5}</math>程度、鉛直方向で0.2秒より短周期側で<math>10^{-4} \sim 10^{-5}</math>程度、長周期側で<math>10^{-5} \sim 10^{-6}</math>程度となっている。また、一様ハザードスペクトルの算出のもとなる周期ごとのハザード曲線を第1.2.1.b-9図に示す。</p> <p>(3) フラジリティ評価用地震動 フラジリティ評価用地震動は年超過確率<math>10^{-4}</math>の一様ハザードスペクトルに適合する模擬地震動とし、経時特性を基準地震動Ssの策定と同様にNoda et al. (2002)に基づき地震規模M=7.8、等価震源距離Xeq=60kmとして設定した。模擬地震動を第1.2.1.b-10図に示す。</p> <p>(参考資料)</p> <ul style="list-style-type: none"> <li>*1 日本国際学会 (2015) : 日本国際学会標準、原子力発電所に対する地震を起因とした確率論的リスク評価に関する実施基準</li> <li>*2 地震調査研究推進本部 (2013) : 今後の地震動ハザード評価に関する検討～2013年における検討結果～</li> <li>*3 神田克久、武村雅之、広谷淨、石川和也 (2012) : 震度分布に基づく2011年東北地方太平洋沖地震の短周期地震波発生域、地震 第2輯、第65巻</li> <li>*4 Asano, K. and T. Iwata (2012), Source model for strong ground motion generation in the frequency range 0.1–10 Hz during the 2011 Tohoku earthquake, Earth Planets Space, 64, 1111–1123.</li> <li>*5 諸井孝文、広谷淨、石川和也、水谷浩之、引間和人、川里健、生玉真也、釜田正毅 (2013) : 標準的な強震動レシピに基づく東北地方太平洋沖巨大地震の強震動の再現、日本地震工学会第10回年次大会梗概集</li> <li>*6 地震調査研究推進本部 (2005) : 宮城県沖地震を想定した</li> </ul>	<p>を第3.2.1.b-5図に示す。また、フランクタイル地震ハザード曲線を第3.2.1.b-6図に示す。</p> <p>(2) 一様ハザードスペクトル 基準地震動Ssの応答スペクトルと年超過確率ごとの一様ハザードスペクトルとの比較を第3.2.1.b-7図に示す。基準地震動Ssの年超過確率は、水平・鉛直方向とともに、<math>10^{-3} \sim 10^{-6}</math>程度となっている。また、一様ハザードスペクトルの算出のもとなる周期毎の平均ハザード曲線を第3.2.1.b-8図に示す。</p> <p>(3) フラジリティ評価用地震動 応答解析に基づく方法に用いるフラジリティ評価用地震動は第3.2.1.b-9図に示す一様ハザードスペクトルの形状に適合する模擬波とした。模擬波の経時特性はNoda et al. (2002)に基づき、M8.3、等価震源距離Xeq=132kmとして設定した。</p> <p>(参考資料)</p> <ul style="list-style-type: none"> <li>*1 日本国際学会 (2015) : 日本国際学会標準、原子力発電所に対する地震を起因とした確率論的リスク評価に関する実施基準: 2015、一般社団法人 日本国際学会</li> <li>*2 活断層研究会編 (1991) : [新編]日本の活断層 分布図と資料、東京大学出版会</li> <li>*3 松田時彦 (1975) : 活断層から発生する地震の規模と周期について、地震 第2輯、第28巻、269–283</li> <li>*4 武村雅之 (1998) : 日本列島における地殻内地震のスケーリング則—地震断層の影響および地震被害との関連—、地震、第2輯、第51巻、211–228</li> <li>*5 入倉孝次郎・三宅弘恵 (2001) : シナリオ地震の強震動予測、地学雑誌、110、849–875</li> <li>*6 武村雅之 (1990) : 日本列島およびその周辺地域におこる浅発地震のマグニチュードと地震モーメントの関係、地震、第2輯、第43巻、257–265</li> <li>*7 大竹政和、平朝彦、太田陽子 (2002) : 日本海東縁部の活断層と地震テクトニクス、東京大学出版会</li> </ul>	<p>イル地震ハザード曲線を第3.2.1.b-6図に示す。</p> <p>(2) 一様ハザードスペクトル 基準地震動Ssの応答スペクトルと年超過確率ごとの一様ハザードスペクトルとの比較を第3.2.1.b-7図に示す。基準地震動Ssの年超過確率は、水平・鉛直方向とともに、<math>10^{-3}</math>程度となっている。また、基準地震動Ss2-1～Ss2-5の年超過確率は、基準地震動Ss1を超過する周期帯で<math>10^{-4} \sim 10^{-6}</math>程度、基準地震動Ss3-1～Ss3-5の年超過確率は、<math>10^{-4} \sim 10^{-6}</math>程度となっている。また、一様ハザードスペクトルの算出のもとなる周期ごとの平均ハザード曲線を第3.2.1.b-8図に示す。</p> <p>(3) フラジリティ評価用地震動 応答解析に基づく方法に用いるフラジリティ評価用地震動は第3.2.1.b-9図に示す一様ハザードスペクトルの形状に適合する模擬波とした。模擬波の経時特性はNoda et al. (2002)に基づき、地震規模M=8.2、等価震源距離Xeq=107kmとして設定した。</p> <p>(参考資料)</p> <ul style="list-style-type: none"> <li>*1 日本国際学会 (2015) : 日本国際学会標準、原子力発電所に対する地震を起因とした確率論的リスク評価に関する実施基準: 2015、一般社団法人 日本国際学会</li> <li>*2 活断層研究会編 (1991) : [新編]日本の活断層 分布図と資料、東京大学出版会</li> <li>*3 松田時彦 (1975) : 活断層から発生する地震の規模と周期について、地震 第2輯、第28巻、269–283</li> <li>*4 武村雅之 (1998) : 日本列島における地殻内地震のスケーリング則—地震断層の影響および地震被害との関連—、地震、第2輯、第51巻、211–228</li> <li>*5 入倉孝次郎・三宅弘恵 (2001) : シナリオ地震の強震動予測、地学雑誌、110、849–875</li> <li>*6 武村雅之 (1990) : 日本列島およびその周辺地域におこる浅発地震のマグニチュードと地震モーメントの関係、地震、第2輯、第43巻、257–265</li> <li>*7 大竹政和、平朝彦、太田陽子 (2002) : 日本海東縁部の活断層と地震テクトニクス、東京大学出版会</li> </ul>	<p>【大飯】</p> <ul style="list-style-type: none"> <li>■記載方針の相違</li> <li>・女川の実績反映</li> </ul>

## 泊発電所3号炉 有効性評価 比較表

赤字：設備、運用又は体制の相違（設計方針の相違）  
 青字：記載箇所又は記載内容の相違（記載方針の相違）  
 緑字：記載表現、設備名称の相違（実質的な相違なし）

第37条 付録1 事故シーケンスグループ及び重要事故シーケンス等の選定について  
 別添 3. レベル1PRA 3.2 外部事象 3.2.1 地震 PRA

大飯発電所3／4号炉	女川原子力発電所2号炉	泊発電所3号炉	相違理由
<p>1.2.1.c-1. 建屋のフラジリティ          ①評価対象と損傷モードの設定          (1) 評価対象物          建屋のフラジリティ評価の対象は、第1.2.1.a-4表の建屋・機器リストに記載されたものとし、原子炉建屋、制御建屋とした。原子炉建屋の概略平面図及び概略断面図をそれぞれ第1.2.1.c-1-1図及び第1.2.1.c-1-2, 3図に示す。制御建屋の概略平面図及び概略断面図をそれぞれ第1.2.1.c-1-4図及び第1.2.1.c-1-5, 6図に示す。          (2) 損傷モード及び部位の設定          建屋の要求機能喪失に繋がる支配的な構造的損傷モード及び部位として、建屋の崩壊シーケンスを踏まえ、層崩壊を伴う耐震壁のせん断破壊を選定した。</p>	<p>3.2.1.c 建屋・機器フラジリティ          3.2.1.c-1 建屋フラジリティ          ① 評価対象と損傷モードの設定          (1) 評価対象物          建屋のフラジリティ評価の対象は、第3.2.1.a-4表の建屋・機器リストに記載されたものとし、原子炉建屋及び制御建屋とした。各建屋の概要をそれぞれ第3.2.1.c-1-1図及び第3.2.1.c-1-2図に示す。          (2) 損傷モード及び部位の設定          建屋の要求機能喪失に繋がる支配的な構造的損傷モード及び部位として、建屋の崩壊シーケンスを踏まえ、層崩壊を伴う耐震壁のせん断破壊を選定した。</p>	<p>*8 萩原尊禮編(1991)：日本列島の地震 地震工学と地震地体構造、鹿島出版会          *9 垣見俊弘・松田時彦・相田勇・衣笠善博(2003)：日本列島と周辺海域の地震地体構造区分、地震、第2輯、第55巻          *10 S. Noda, K. Yashiro, K. Takahashi, M. Takemura, S. Ohno, M. Tohdo and T. Watanabe(2002) : RESPONSE SPECTRA FOR DESIGN PURPOSE OF STIFF STRUCTURES ON ROCK SITES, OECD Workshop on the Relations between Seismological Data and Seismic Engineering Analysis. Oct. 16-18, Istanbul          *11 中田高・今泉俊文編(2002)：活断層詳細デジタルマップ、東京大学出版会          *12 地震調査委員会(2013)：「今後の地震動ハザード評価に関する検討～2013年における検討結果～」、地震調査研究推進本部</p>	<p>*8 萩原尊禮編(1991)：日本列島の地震 地震工学と地震地体構造、鹿島出版会          *9 垣見俊弘・松田時彦・相田勇・衣笠善博(2003)：日本列島と周辺海域の地震地体構造区分、地震、第2輯、第55巻          *10 S. Noda, K. Yashiro, K. Takahashi, M. Takemura, S. Ohno, M. Tohdo and T. Watanabe(2002) : RESPONSE SPECTRA FOR DESIGN PURPOSE OF STIFF STRUCTURES ON ROCK SITES, OECD Workshop on the Relations between Seismological Data and Seismic Engineering Analysis. Oct. 16-18, Istanbul, 399-408          *11 中田高・今泉俊文編(2002)：活断層詳細デジタルマップ、東京大学出版会          *12 地震調査委員会(2013)：「今後の地震動ハザード評価に関する検討～2013年における検討結果～」、地震調査研究推進本部</p>
		追而【地震ハザード評価結果を反映】	

## 泊発電所3号炉 有効性評価 比較表

赤字：設備、運用又は体制の相違（設計方針の相違）  
 青字：記載箇所又は記載内容の相違（記載方針の相違）  
 緑字：記載表現、設備名称の相違（実質的な相違なし）

第37条 付録1 事故シーケンスグループ及び重要事故シーケンス等の選定について

別添 3. レベル1PRA 3.2 外部事象 3.2.1 地震PRA

大飯発電所3／4号炉	女川原子力発電所2号炉	泊発電所3号炉	相違理由
<p>② フラジリティの評価方法の選択</p> <p>フラジリティ評価方法として「現実的耐力と現実的応答による方法（応答解析に基づく方法）」を選択した。評価手法は地震P S A学会標準に準拠した手法とする。</p>	<p>② フラジリティの評価方法の選択</p> <p>フラジリティ評価方法は、「現実的耐力と現実的応答による方法（応答解析に基づく方法）」を用いた。評価手法は地震PSA学会標準に準拠した手法とする。</p>	<p>② フラジリティの評価方法の選択</p> <p>フラジリティ評価方法として「現実的耐力と現実的応答による方法（応答解析に基づく方法）」を用いた。評価手法は地震PSA学会標準に準拠した手法とする。（補足3.2.1.c-1, 補足3.2.1.c-3）</p>	<p>【大飯】</p> <ul style="list-style-type: none"> <li>■記載方針の相違                     <ul style="list-style-type: none"> <li>・泊は関連する補足説明資料の番号を記載している</li> </ul> </li> </ul> <p>【女川】</p> <ul style="list-style-type: none"> <li>■記載方針の相違                     <ul style="list-style-type: none"> <li>・大飯はフラジリティ評価手法選定の考え方を補足としてまとめており、記載の充実のため、泊も同様の資料を作成している</li> </ul> </li> </ul> <p>【女川】 【大飯】</p> <ul style="list-style-type: none"> <li>■記載内容の相違                     <ul style="list-style-type: none"> <li>・泊は地震PRAにおける評価手法変更に関する補足説明資料を作成している</li> </ul> </li> </ul>
<p>③ フラジリティ評価上の主要な仮定</p> <p>(1) 考慮する不確実さ要因</p> <p>現実的耐力及び現実的応答の偶然的不確実さ <math>\beta_{\text{g}}</math> と認識論的不確実さ <math>\beta_{\text{u}}</math> については、地震P S A学会標準に基づき評価した。考慮する不確実さ要因の例を第1.2.1.c-1表に示す。</p> <p>(2) 損傷評価の指標</p> <p>損傷評価の指標については、耐震壁のせん断破壊の程度を表すことができる指標として、せん断ひずみを選定した。</p>	<p>③ フラジリティ評価上の主要な仮定（不確実さの設定、応答係数等）</p> <p>(1) 考慮する不確実さ要因</p> <p>現実的耐力及び現実的応答の偶発的不確実さ（以下、「<math>\beta_{\text{r}}</math>」という。）と認識論的不確実さ（以下、「<math>\beta_{\text{u}}</math>」という。）については、地震PSA学会標準等に基づき評価した。考慮する不確実さ要因の例を第3.2.1.c-1表に示す。</p> <p>(2) 損傷評価の指標</p> <p>損傷評価の指標については、耐震壁のせん断破壊の程度を表すことができる指標として、せん断ひずみを選定した。</p> <p>(3) 地震動強さの指標</p> <p>地震ハザード評価及び事故シーケンス評価と共に、建屋の損傷評価の指標との相関がある指標として、一般的に用いられる解放基盤表面の最大加速度（周期0.02秒時の加速度応答スペクトル値）を選定した。</p>	<p>③ フラジリティ評価上の主要な仮定（不確実さの設定、応答係数等）</p> <p>(1) 考慮する不確実さ要因</p> <p>現実的耐力及び現実的応答の偶然的不確実さ（以下、「<math>\beta_{\text{r}}</math>」という。）と認識論的不確実さ（以下、「<math>\beta_{\text{u}}</math>」という。）については、地震PSA学会標準に基づき評価した。考慮する不確実さ要因の例を第3.2.1.c-1表に示す。</p> <p>(2) 損傷評価の指標</p> <p>損傷評価の指標については、耐震壁のせん断破壊の程度を表すことができる指標として、せん断ひずみを選定した。</p> <p>(3) 地震動強さの指標</p> <p>地震ハザード評価及び事故シーケンス評価と共に、建屋の損傷評価の指標との相関がある指標として、一般的に用いられる解放基盤表面の最大加速度（周期0.02秒時の加速度応答スペクトル値）を選定した。</p>	<p>【女川】</p> <ul style="list-style-type: none"> <li>■記載表現の相違                     <ul style="list-style-type: none"> <li>・泊は学会標準の表記としている</li> </ul> </li> </ul> <p>【大飯】</p> <ul style="list-style-type: none"> <li>■記載方針の相違                     <ul style="list-style-type: none"> <li>・女川の実績反映</li> </ul> </li> </ul>

## 泊発電所3号炉 有効性評価 比較表

赤字：設備、運用又は体制の相違（設計方針の相違）  
 青字：記載箇所又は記載内容の相違（記載方針の相違）  
 緑字：記載表現、設備名称の相違（実質的な相違なし）

第37条 付録1 事故シーケンスグループ及び重要事故シーケンス等の選定について

別添3. レベル1PRA 3.2 外部事象 3.2.1 地震PRA

大飯発電所3／4号炉	女川原子力発電所2号炉	泊発電所3号炉	相違理由
<p>④ フラジリティ評価における耐力情報 現実的耐力である損傷限界時のせん断ひずみの平均値と変動係数は地震PSA学会標準に示された実験結果に基づく値を用いることとし、対数正規分布を仮定した。実験結果に基づく値を第1.2.1.c-1-2表に示す。</p> <p>⑤ フラジリティ評価における応答情報 現実的応答については、現実的な物性値に基づく地震応答解析を入力レベルごとに実施することにより評価を行った。現実的な物性値は地震PSA学会標準に基づき算出し、対数正規分布を仮定した。損傷評価の指標である耐震壁のせん断破壊に対しては水平動が支配的であることから、水平動による評価を行うこととした。</p> <p>(1) 入力地震動 入力地震動は1.2.1.b.③項に示す模擬波を入力レベルごとに係数倍したものとした（最大3,000Gal）。</p> <p>(2) 現実的な物性値と応答解析モデル 大飯サイトの地盤物性値を第1.2.1.c-1-3表に示す。原子炉建屋及び制御建屋の物性値をそれぞれ第1.2.1.c-1-4表及び第1.2.1.c-1-5表に示す。応答解析に用いる現実的な物性値は、地震PSA学会標準に示された評価方法に基づき算出した。評価方法を第1.2.1.c-1-6表に示す。</p> <p>フラジリティ評価用の応答解析モデルは、大飯発電所3号機工事計画認可申請書（平成25年8月5日申請）に記載の建屋モデルをベースとして設定した。原子炉建屋の解析モデル及び解析モデル諸元を第1.2.1.c-1-7, 8図及び第1.2.1.c-1-7～10表に、</p>	<p>④ フラジリティ評価における耐力情報 現実的耐力である損傷限界時のせん断ひずみの平均値と変動係数は地震PSA学会標準に示された実験結果に基づく値を用いることとし、対数正規分布を仮定した。損傷限界点の現実的な値を第3.2.1.c-1-2表に示す。</p> <p>⑤ フラジリティ評価における応答情報 現実的応答については、現実的な物性値に基づく非線形地震応答解析を入力レベルごとに実施することにより評価を行った。現実的な物性値は地震PSA学会標準に基づき算出し、対数正規分布を仮定した。損傷評価の指標である耐震壁のせん断破壊に対しては水平動が支配的であることから、水平動による評価を行うこととした。</p> <p>(1) 入力地震動 入力地震動は、フラジリティ評価用地震動を入力レベルごとに係数倍した地震動を解放基盤表面に定義し、建屋周辺地盤の状況を適切に考慮したモデルにより評価した。建屋・地盤連成モデルへの入力概要を第3.2.1.c-1-3図に示す。</p> <p>(2) 現実的な物性値と応答解析モデル 女川原子力発電所2号炉のコンクリートの材料物性値を第3.2.1.c-1-3表、原子炉建屋周辺の地盤物性値を第3.2.1.c-1-4表に示す。地震応答解析に用いる現実的な物性値は、地震PSA学会標準に示された評価方法に基づき算出した。評価方法を第3.2.1.c-1-5表に示す。</p> <p>地震応答解析モデルは、主要な耐震壁を曲げ・せん断部材に置換し、重量を各階床位置に集中させた質点系モデルを用いた。各建屋の地震応答解析モデルを第3.2.1.c-1-4図及び第3.2.1.c-1-5図に示す。</p>	<p>④ フラジリティ評価における耐力情報 現実的耐力である損傷限界時のせん断ひずみの平均値と変動係数は地震PSA学会標準に示された実験結果に基づく値を用いることとし、対数正規分布を仮定した。損傷限界点の現実的な値を第3.2.1.c-1-2表に示す。</p> <p>⑤ フラジリティ評価における応答情報 現実的応答については、現実的な物性値に基づく非線形地震応答解析を入力レベルごとに実施することにより評価を行った。現実的な物性値は地震PSA学会標準に基づき算出し、対数正規分布を仮定した。損傷評価の指標である耐震壁のせん断破壊に対しては水平動が支配的であることから、水平動による評価を行うこととした。</p> <p>(1) 入力地震動 入力地震動は、フラジリティ評価用地震動を入力レベルごとに係数倍した地震動を解放基盤表面で定義した（最大3,000Gal）。</p> <p>(2) 現実的な物性値と応答解析モデル 泊発電所3号炉の各建屋の材料物性値をそれぞれ第3.2.1.c-1-3表～第3.2.1.c-1-7表に、原子炉建屋周辺の地盤物性値を第3.2.1.c-1-8表に示す。地震応答解析に用いる現実的な物性値は、地震PSA学会標準に示された評価方法に基づき算出した。評価方法を第3.2.1.c-1-9表に示す。</p> <p>地震応答解析モデルは、主要な耐震壁を曲げ・せん断部材に置換し、重量を各階床位置に集中させた質点系モデルを用いた。各建屋の地震応答解析モデルを第3.2.1.c-1-6図～第3.2.1.c-1-10図に、各建屋の地震応答解析モデル諸元を第3.2.1.c-1-11表に示す。</p>	<p>【女川】 ■評価方針の相違 ・女川は建屋周辺地盤の影響を考慮したモデルにより建屋入力位置における入力地震動を評価しているが、建屋設置状況の違いから、泊は解放基盤表面で定義した地震動をそのままモデルに入力している（大飯と同様）</p> <p>【女川】 ■記載方針の相違 ・泊はコンクリート以外も含めた建屋の材料物性値を示している（大飯と同様）</p> <p>【女川】</p>

## 泊発電所3号炉 有効性評価 比較表

赤字：設備、運用又は体制の相違（設計方針の相違）  
 青字：記載箇所又は記載内容の相違（記載方針の相違）  
 緑字：記載表現、設備名称の相違（実質的な相違なし）

第37条 付録1 事故シーケンスグループ及び重要事故シーケンス等の選定について  
 別添3 レベル1PRA 3.2 外部事象 3.2.1 地震PRA

大飯発電所3／4号炉	女川原子力発電所2号炉	泊発電所3号炉	相違理由
<b>制御建屋</b> の解析モデル及び解析モデル諸元を第1.2.1.c-1-9, 10図及び第1.2.1.c-1-11表に示す。		<b>3.2.1.c-1-10表～第3.2.1.c-1-19表示</b> す。	<b>■記載方針の相違</b> ・女川では解析モデル諸元を解析モデル図中に示しているが、泊では表で別途整理している（大飯と同様）
<b>(3) 解析ケース</b> 応答のばらつきを求めるための確率論的応答解析では、第1.2.1.c-1-6表に示すFc、Vs及びhの3つの主変動パラメータに対して2点推定法で得られた2つのサンプル点をすべて組み合わせ、2 <sup>3</sup> =8ケースの解析を実施した。モデルの諸元と物性値の関係及び解析ケースを第1.2.1.c-1-12表及び第1.2.1.c-1-13表に示す。		<b>(3) 解析ケース</b> 応答のばらつきを求めるための確率論的応答解析では、第3.2.1.c-1-9表に示すFc、Vs及びhの3つの主変動パラメータに対して2点推定法で得られた2つのサンプル点をすべて組み合わせ、2 <sup>3</sup> =8ケースの解析を実施した。モデルの諸元と物性値の関係及び解析ケースをそれぞれ第3.2.1.c-1-20表及び第3.2.1.c-1-21表に示す。	<b>【女川】</b> <b>■評価方針の相違</b> ・女川は物性値に中央値を与えた応答解析結果を元に現実的応答を算出しているが、泊は確率論的応答解析結果より各ケースの重みを考慮して算出している（大飯と同様）
<b>(4) 現実的応答</b> 現実的応答は地震PSA学会標準に準拠し対数正規分布を仮定し、確率論的応答解析結果より各ケースの重みを考慮して算出した。	<b>(3) 現実的応答</b> 原子炉建屋及び制御建屋の現実的応答は地震PSA学会標準に準拠し対数正規分布を仮定し、その物性値には中央値を与えた応答解析結果により算出した。また、対数標準偏差は、地震PSA学会標準に基づき最大応答せん断ひずみとして0.2を与えた。	<b>(4) 現実的応答</b> 各建屋の現実的応答は地震PSA学会標準に準拠し対数正規分布を仮定し、確率論的応答解析結果より各ケースの重みを考慮して算出した。	<b>【女川】</b> <b>■評価方針の相違</b> ・女川は物性値に中央値を与えた応答解析結果を元に現実的応答を算出しているが、泊は確率論的応答解析結果より各ケースの重みを考慮して算出している（大飯と同様）
<b>⑥建物のフランジリティ評価結果</b> 現実的耐力と現実的応答よりフランジリティ曲線とHCLPFを算出した。	<b>⑥建屋のフランジリティ評価結果</b> 現実的耐力と現実的応答を用いて、各耐震要素の各入力レベルでの損傷確率を対数正規累積分布関数（最小2乗法）により近似し、信頼度ごとの連続的なフランジリティ曲線を算出した。高信頼度低損傷確率（以下、「HCLPF」という。）は、95%信頼度フランジリティ曲線における5%損傷確率の加速度として定義する。	<b>⑥建屋のフランジリティ評価結果</b> 現実的耐力と現実的応答を用いて、各耐震要素の各入力レベルでの損傷確率を対数正規累積分布関数（最小2乗法）により近似し、信頼度ごとの連続的なフランジリティ曲線を算出した。高信頼度低損傷確率（以下、「HCLPF」という。）は、95%信頼度フランジリティ曲線における5%損傷確率の加速度として定義する。	<b>【女川】</b> <b>■評価方針の相違</b> ・フランジリティ曲線を算出する要素選定の相違であり、泊では各要素の損傷確率により代表性を判断している（大飯と同様）
原子炉建屋及び制御建屋のフランジリティ曲線を第1.2.1.c-1-11図及び第1.2.1.c-1-12図に示す。また、信頼度50%での50%損傷確率	各建屋のフランジリティ曲線を第3.2.1.c-1-6図及び第3.2.1.c-1-7図に示す。また、信頼度50%での50%損傷確率（加速度中央値）	各建屋のフランジリティ曲線を第3.2.1.c-1-11図～第3.2.1.c-1-13図に示す。また、信頼度50%での50%損傷確率（加速度中央値）	<b>【女川】</b> <b>■評価方針の相違</b> ・フランジリティ曲線を算出する要素選定の相違であり、泊では各要素の損傷確率により代表性を判断している（大飯と同様）

## 泊発電所3号炉 有効性評価 比較表

赤字：設備、運用又は体制の相違（設計方針の相違）  
 青字：記載箇所又は記載内容の相違（記載方針の相違）  
 緑字：記載表現、設備名称の相違（実質的な相違なし）

第37条 付録1 事故シーケンスグループ及び重要事故シーケンス等の選定について  
 別添3 レベル1 PRA 3.2 外部事象 3.2.1 地震 PRA

大飯発電所3／4号炉	女川原子力発電所2号炉	泊発電所3号炉	相違理由
率及びHCLPFについて1.2.1.a.②項の建屋・機器リストに示す。	及びHCLPFについて第3.2.1.a-4表に示す。  【柏崎・刈羽原子力発電所 6号及び7号炉 付録1（平成29年12月1日提出版）より引用】  なお、廃棄物処理建屋については、入力レベル2000galにおいても損傷確率が極めて小さかったことからフラジリティ曲線を算出していない。	値）及びHCLPFについて第3.2.1.a-5表に示す。  なお、A1, A2-燃料油貯油槽タンク室及びB1, B2-燃料油貯油槽タンク室については、入力レベル3,000Galにおいても損傷確率が極めて小さかったことからフラジリティ曲線を算出していない。	<p>【女川】【大飯】          ■個別評価による相違          ・泊はフラジリティの評価対象とした燃料油貯油槽タンク室の損傷確率が極めて小さい結果となったため、フラジリティを算出していない（柏崎の廃棄物処理建屋と同様）</p> <p>【柏崎】          ■個別評価による相違</p> <p>【女川】          ■評価方針の相違          ・女川は屋外重要土木構造物のフラジリティ評価を実施していないため、大飯と比較する</p>
1.2.1.c-2. 屋外重要土木構造物のフラジリティ  ①評価対象と損傷モードの設定 (1) 評価対象 屋外重要土木構造物のフラジリティ評価の対象は、頂版に作用する上載荷重（海水ポンプ重量）による慣性力が大きくなると考えられる海水ポンプ室とする。  海水ポンプ室の平面図を第1.2.1.c-2-1図、断面図を第1.2.1.c-2-2図に示す。  (2) 損傷モード及び部位の設定 屋外重要土木構造物の損傷モードとしては、構造部材の曲げ及びせん断破壊のうち、耐震裕度がより厳しいせん断破壊を選定し、すべての部材を評価対象とする。		3.2.1.c-2 屋外重要土木構造物のフラジリティ  ①評価対象と損傷モードの設定 (1) 評価対象 屋外重要土木構造物のフラジリティ評価の対象は、第3.2.1.a-5表の建屋・機器リストに示す取水ピットポンプ室、原子炉補機冷却海水ポンプ出口ストレーナ室及び原子炉補機冷却海水管ダクトのうち、耐震評価がより厳しい原子炉補機冷却海水管ダクトとする。 原子炉補機冷却海水管ダクトの平面図を第3.2.1.c-2-1図、断面図を第3.2.1.c-2-2図に示す。  (2) 損傷モード及び部位の設定 屋外重要土木構造物の損傷モードとしては、構造部材の曲げ及びせん断破壊のうち、耐震裕度がより厳しいせん断破壊を選定し、すべての部材を評価対象とした。	<p>【大飯】          ■評価方針の相違          ・泊は耐震評価が厳しい構造物を評価対象構造物として選定している（玄海と同様）          (以下、相違理由説明を省略)</p> <p>【大飯】          ■記載表現の相違          ・泊は「3.2.1c-1. 建屋のフラジリティ」に合わせた表現とし</p>

## 泊発電所3号炉 有効性評価 比較表

赤字：設備、運用又は体制の相違（設計方針の相違）  
 青字：記載箇所又は記載内容の相違（記載方針の相違）  
 緑字：記載表現、設備名称の相違（実質的な相違なし）

第37条 付録1 事故シーケンスグループ及び重要事故シーケンス等の選定について  
 別添3. レベル1PRA 3.2 外部事象 3.2.1 地震PRA

大飯発電所3／4号炉	女川原子力発電所2号炉	泊発電所3号炉	相違理由
<p>②フラジリティの評価方法の選択</p> <p>フラジリティ評価方法として「現実的耐力と現実的応答による方法（応答解析に基づく方法）」を選択した。評価手法は地震P S A学会標準に準拠した手法とする。</p> <p>ただし、部材のせん断耐力は、部材に作用する断面力に依存することから、現実的耐力と現実的応答を独立として見なすことが困難であるため、耐震裕度（許容限界値／応答値）として評価する。</p> <p>③フラジリティの評価</p> <p>(1) 考慮する不確実さ要因</p> <p>現実的耐力及び現実的応答の偶発的不確実さ <math>\beta_{\text{r}}</math> と認識論的不確実さ <math>\beta_{\text{u}}</math>については、地震P S A学会標準等に基づき評価する。</p> <p>(2) 損傷評価の指標</p> <p>損傷評価の指標については、「原子力発電所屋外重要土木構造物の耐震性能照査指針・マニュアル（土木学会、2005）」に基づくこととする。</p>		<p>②フラジリティの評価方法の選択</p> <p>フラジリティ評価方法として「現実的耐力と現実的応答による方法（応答解析に基づく方法）」を選択した。評価手法は地震P S A学会標準に準拠した手法とする。（補足3.2.1.c-1, 補足3.2.1.c-3）</p> <p>ただし、部材のせん断耐力は、部材に作用する断面力に依存することから、現実的耐力と現実的応答を独立として見なすことが困難であるため、耐震裕度（許容限界値／応答値）として評価する。</p> <p>③フラジリティ評価上の主要な仮定</p> <p>(1) 考慮する不確実さ要因</p> <p><math>\beta_{\text{r}}</math> と <math>\beta_{\text{u}}</math>については、地震P S A学会標準等に基づき評価する。</p> <p>(2) 損傷評価の指標</p> <p>損傷評価の指標については、「原子力発電所屋外重要土木構造物の耐震性能照査指針・マニュアル（土木学会、2005）」のせん断破壊に対する照査（材料非線形解析を用いる方法）による評価値を適用した。現実的耐力評価に含まれる不確実さ要因は、地震P S A学会標準を参考に、コンクリートの圧縮強度と鉄筋の降伏強度を考慮した。</p> <p>現実的耐力の評価に当たっての材料物性値（中央値）について</p>	<p>【大飯】</p> <ul style="list-style-type: none"> <li>■記載方針の相違                     <ul style="list-style-type: none"> <li>・泊は関連する補足説明資料の番号を記載している</li> </ul> </li> <li>【女川】【大飯】</li> <li>■記載内容の相違                     <ul style="list-style-type: none"> <li>・泊は地震PRAにおける評価手法変更に関する補足説明資料を作成している</li> </ul> </li> </ul> <p>【大飯】</p> <ul style="list-style-type: none"> <li>■記載表現の相違                     <ul style="list-style-type: none"> <li>・泊は偶然的不確実さ及び認識論的不確実さについて「3.2.1c-1. 建屋のフラジリティ」で読み替えをしている</li> </ul> </li> </ul> <p>【大飯】</p> <ul style="list-style-type: none"> <li>■記載方針の相違                     <ul style="list-style-type: none"> <li>・記載充実のため、最新プラントである島根の記載を反映している</li> </ul> </li> </ul>

## 泊発電所3号炉 有効性評価 比較表

第37条 付録1 事故シーケンスグループ及び重要事故シーケンス等の選定について  
別添3. レベル1PRA 3.2 外部事象 3.2.1 地震PRA

赤字：設備、運用又は体制の相違（設計方針の相違）  
青字：記載箇所又は記載内容の相違（記載方針の相違）  
緑字：記載表現、設備名称の相違（実質的な相違なし）

大飯発電所3／4号炉	女川原子力発電所2号炉	泊発電所3号炉	相違理由
	<p>て、コンクリートの実強度の平均値は、設計基準強度の1.4倍とした（地震P.S.A.学会標準による）。また、鉄筋の実降伏点の平均値は、規格降伏点の1.1倍とした（「鋼材等及び溶接部の許容応力度並びに材料強度の基準強度を定める件、平成12年（2000年）12月26日、建設省告示第2464号」による）。</p>	<p>クリートの実強度の平均値は、設計基準強度の1.4倍とした（地震P.S.A.学会標準による）。また、鉄筋の実降伏点の平均値は、規格降伏点の1.1倍とした（「鋼材等及び溶接部の許容応力度並びに材料強度の基準強度を定める件、平成12年（2000年）12月26日、建設省告示第2464号」による）。</p>	<p>■個別評価による相違 【島根】 ■記載表現の相違</p>
<p>④フラジリティ評価における応答解析</p> <p>(1) 入力地震動</p> <p>入力地震動は、大飯サイトの<math>10^{-4}</math>様ハザードスペクトルに適合するように作成した模擬波を係数倍して用いる。</p> <p>(2) 地震応答解析手法</p> <p>地盤と構造物の非線形性を考慮した地盤－構造物連成系の二次元有限要素による時刻歴非線形解析を用いる。</p> <p>(3) 変動因子</p> <p>フラジリティ評価においては、屋外重要土木構造物の耐震評価に支配的と考えられる、地盤の初期せん断剛性<math>G_0</math>、コンクリートの圧縮強度<math>F_c</math>の2つの変動因子を考慮する。第1.2.1.c-2-1表に考慮した変動因子の考え方を示す。</p> <p>(4) 損傷確率</p> <p>損傷確率は1次近似2次モーメント法を用いて算定する。</p> <p>⑤屋外重要土木構造物のフラジリティ評価結果</p> <p>各地震動レベルによる損傷確率よりフラジリティ曲線とHCLPFを算出する。屋外重要土木構造物のフラジリティ曲線を第1.2.1.c-2-3図に示す。</p>	<p>(4) フラジリティ評価における応答解析</p> <p>(1) 入力地震動</p> <p>入力地震動は、フラジリティ評価用地震動を入力レベルごとに係数倍したものとした（最大4,400Gal）。</p> <p>(2) 地震応答解析手法</p> <p>地盤と構造物の非線形性を考慮した地盤－構造物連成系の二次元有限要素による時刻歴非線形解析を用いる。</p> <p>(3) 変動因子</p> <p>フラジリティ評価においては、屋外重要土木構造物の耐震評価に支配的と考えられる、地盤の初期せん断剛性<math>G_0</math>、コンクリートの圧縮強度<math>F_c</math>の2つの変動因子を考慮する。第3.2.1.c-2-1表に考慮した変動因子の考え方を示す。</p> <p>(4) 損傷確率</p> <p>損傷確率は一次近似二次モーメント法を用いて算定する。</p> <p>⑤屋外重要土木構造物のフラジリティ評価結果</p> <p>各入力レベルによる損傷確率よりフラジリティ曲線とHCLPFを算出する。屋外重要土木構造物のフラジリティ曲線を第3.2.1.c-2-3図に示す。また、信頼度50%での50%損傷確率及びHCLPFについて第3.2.1.a-5表に示す。</p>	<p>④フラジリティ評価における応答解析</p> <p>(1) 入力地震動</p> <p>入力地震動は、フラジリティ評価用地震動を入力レベルごとに係数倍したものとした（最大4,400Gal）。</p> <p>(2) 地震応答解析手法</p> <p>地盤と構造物の非線形性を考慮した地盤－構造物連成系の二次元有限要素による時刻歴非線形解析を用いる。</p> <p>(3) 変動因子</p> <p>フラジリティ評価においては、屋外重要土木構造物の耐震評価に支配的と考えられる、地盤の初期せん断剛性<math>G_0</math>、コンクリートの圧縮強度<math>F_c</math>の2つの変動因子を考慮する。第3.2.1.c-2-1表に考慮した変動因子の考え方を示す。</p> <p>(4) 損傷確率</p> <p>損傷確率は一次近似二次モーメント法を用いて算定する。</p> <p>⑤屋外重要土木構造物のフラジリティ評価結果</p> <p>各入力レベルによる損傷確率よりフラジリティ曲線とHCLPFを算出する。屋外重要土木構造物のフラジリティ曲線を第3.2.1.c-2-3図に示す。また、信頼度50%での50%損傷確率及びHCLPFについて第3.2.1.a-5表に示す。</p>	<p>【大飯】 ■記載表現の相違 ・泊は「3.2.1c-1. 建屋のフラジリティ」に合わせた表現をしている</p> <p>【大飯】 ■記載表現の相違 【大飯】 ■記載表現の相違 ・泊は表現を統一している</p> <p>【大飯】 ■記載表現の相違 【大飯】 ■記載表現の相違 ・泊は建屋、機器フラジリティに合わせた記載としている</p> <p>【女川】 ■付番の相違</p>
<p>1.2.1.c-3. 機器のフラジリティ</p> <p>①評価対象と損傷モードの設定</p> <p>機器のフラジリティ評価の対象は第1.2.1.a-4表の建屋・機器</p>	<p>3.2.1.c-2 機器のフラジリティ</p> <p>① 評価対象と損傷モードの設定</p> <p>機器のフラジリティ評価の対象は、3.2.1.a.②項で作成した建</p>	<p>3.2.1.c-3 機器のフラジリティ</p> <p>①評価対象と損傷モードの設定</p> <p>機器のフラジリティ評価の対象は、3.2.1.a.②項で作成した建</p>	<p>【女川】 ■付番の相違</p>

## 泊発電所3号炉 有効性評価 比較表

第37条 付録1 事故シーケンスグループ及び重要事故シーケンス等の選定について  
別添3. レベル1PRA 3.2 外部事象 3.2.1 地震PRA

赤字：設備、運用又は体制の相違（設計方針の相違）  
青字：記載箇所又は記載内容の相違（記載方針の相違）  
緑字：記載表現、設備名称の相違（実質的な相違なし）

大飯発電所3／4号炉	女川原子力発電所2号炉	泊発電所3号炉	相違理由
リストに記載されたものとする。	屋・機器リストに記載されたものとする。損傷モードは、構造損傷と機能損傷に分類し、評価対象機器の要求機能を踏まえて適切に設定する。  タンク・熱交換器のような静的機器については、構造損傷（延性破壊、脆性破壊等）の観点から評価し、電気盤類及びポンプ・弁のような動的機器については、システム評価上の要求に対応して構造損傷・機能損傷（動的機能限界、電気的機能限界等）双方の観点からフランジリティ評価を実施し、当該機器のフランジリティとして用いることとする。	屋・機器リストに記載されたものとする。損傷モードは、構造損傷と機能損傷に分類し、評価対象機器の要求機能を踏まえて適切に設定する。  タンク・熱交換器のような静的機器は、要求機能の喪失につながる延性破壊や脆性破壊等の構造損傷の観点から支配的な部位に着目してフランジリティを評価する。また、電気盤類及びポンプ・弁のような動的機器は、システム評価上の要求機能に対応して、構造損傷に加え、動的機能限界や電気的機能限界等の機能損傷の双方の観点から支配的な部位に着目してフランジリティを評価する。ここで、フランジリティ評価はJEAG4601に基づき実施した既工認等の耐震評価結果を基に算出する。	【大飯】 ■記載方針の相違 ・記載充実のため、評価に用いたデータを記載している
なお、構造強度に関する評価では、機器の本体・支持脚・基礎ボルト等の主要部位について耐震性評価が実施されるが、部位間で裕度（例えば、設計許容値／発生応力）が異なり、また、同一部位でも評価応力の種類（引張応力、曲げ応力、組合せ応力等）によって裕度が異なる。構造損傷に関するフランジリティ評価では、これらの各部位・各評価応力の中から、基本的には最も裕度が低かった部位・評価応力に着目して強度に関する係数等の評価を行う。	なお、構造強度に関する評価では、機器の本体・支持脚・基礎ボルト等の主要部位について耐震評価が実施されるが、部位間で裕度（例えば、設計許容値／発生応力）が異なり、また、同一部位でも評価応力の種類（引張応力・曲げ応力・組合せ応力等）によって裕度が異なる。構造損傷に関するフランジリティ評価では、これらの各部位・各評価応力の中から、基本的には耐震性評価上最も裕度が低かった部位・評価応力に着目して強度に関する係数等の評価を行う。	なお、構造強度に関する評価では、機器の本体・支持脚・基礎ボルト等の主要部位について耐震評価が実施されるが、部位間で裕度（例えば、設計許容値／発生応力）が異なり、また、同一部位でも評価応力の種類（引張応力、曲げ応力、組合せ応力等）によって裕度が異なる。構造損傷に関するフランジリティ評価では、これらの各部位・各評価応力の中から、基本的には耐震性評価上最も裕度が低かった部位・評価応力に着目して強度に関する係数等の評価を行う。	【大飯】 ■記載表現の相違
②フランジリティの評価方法の選択  フランジリティ評価方法として「耐力係数と応答係数による方法（安全係数法）」を選択した。	② フランジリティの評価方法の選択  フランジリティの評価方法は、「現実的耐力と現実的応答による方法（以下、「応答解析に基づく方法」という。）」、「現実的耐力と応答係数による方法（以下、「原研法」という。）」、「耐力係数と応答係数による方法（以下、「安全係数法」という。）」の中から「安全係数法」を選択した。	② フランジリティの評価方法の選択  フランジリティの評価方法は、「現実的耐力と現実的応答による方法（以下、「応答解析に基づく方法」という。）」、「現実的耐力と応答係数による方法（以下、「原研法」という。）」、「耐力係数と応答係数による方法（以下、「安全係数法」という。）」の中から「安全係数法」を選択した。（補足3.2.1.c-1）	【女川】 ■記載方針の相違 ・泊はフランジリティ評価手法選定の考え方を補足説明資料を作成している（大飯に記載はないが、泊と同様となっている）
評価手法は地震PSA学会標準に準拠した手法とする。	「安全係数法」は後述のとおり、既工認等の地震応答解析結果、耐力係数及び応答係数により評価する。  「安全係数法」は十分精度のある設計応答を基に、不確実さの要因を既往知見に基づく係数として積み上げて現実的応答を求め	「安全係数法」は後述のとおり、既工認等の地震応答解析結果、耐力係数及び応答係数により評価する。  「安全係数法」は十分精度のある設計応答を基に、不確実さの要因を既往知見に基づく係数として積み上げて現実的応答を求め	

## 泊発電所3号炉 有効性評価 比較表

第37条 付録1 事故シーケンスグループ及び重要事故シーケンス等の選定について  
別添3 レベル1PRA 3.2 外部事象 3.2.1 地震PRA

赤字：設備、運用又は体制の相違（設計方針の相違）  
青字：記載箇所又は記載内容の相違（記載方針の相違）  
緑字：記載表現、設備名称の相違（実質的な相違なし）

大飯発電所3／4号炉	女川原子力発電所2号炉	泊発電所3号炉	相違理由
<p>③ フラジリティ評価上の主要な仮定（不確実さの設定、応答係数等）</p> <p>機器フラジリティ評価とは、地震動の入力が増大し、評価対象機器が損傷に至る時点における最大地動加速度を評価尺度として表示するものである。このとき、最大地動加速度Aをフラジリティ加速度と称し、機器フラジリティ解析ではこれを確率量として扱い、以下の式で表す。</p> $A = A_m \cdot \epsilon_r \cdot \epsilon_u$ <p>ここで、</p> <p><math>A_m</math>：機器が損傷に達するときの地震動強さ（フラジリティ加速度）Aの中央値</p> <p><math>\epsilon_r</math>：物理現象固有の偶然的不確実さに起因するばらつきを表す確率密度分布であり、中央値は1.0、対数標準偏差は<math>\beta_r</math>で表わされる。</p> <p><math>\epsilon_u</math>：認識論的不確実さに起因するばらつきを表す確率密度分布であり、中央値は1.0、対数標準偏差は<math>\beta_u</math>で表わされる。</p> <p>フラジリティ加速度Aを累積分布関数で示したものが機器フラジリティ曲線である。</p> <p>なお、フラジリティ評価では、直接<math>A_m</math>、<math>\epsilon_r</math>、<math>\epsilon_u</math>からフラジリティ加速度を算定せず、一般に安全係数の概念を用いて下式のように算定する。</p> $A_m = F \times A_d \quad (\text{式}1.2.1.c-3-1)$ <p>ここで、</p> <p><math>A_m</math>：フラジリティ加速度中央値</p> <p>F：安全係数（裕度）</p> <p><math>A_d</math>：基準地震動の最大地動加速度</p>	<p>③ フラジリティ評価上の主要な仮定（不確実さの設定、応答係数等）</p> <p>機器フラジリティ評価とは、地震動の入力が増大し、評価対象機器が損傷に至る時点における最大加速度を評価尺度として表示するものである。このとき、最大加速度Aをフラジリティ加速度と称し、機器フラジリティ解析ではこれを確率量として扱い、以下の式で表す。</p> $A = A_m \cdot \epsilon_r \cdot \epsilon_u$ <p>ここで、</p> <p><math>A_m</math>：機器が損傷に達する時の地震動強さ（フラジリティ加速度）Aの中央値</p> <p><math>\epsilon_r</math>：中央値に対する偶発的不確実さを示すランダム変数。中央値を1として対数標準偏差<math>\beta_r</math>である対数正規分布を仮定する。</p> <p><math>\epsilon_u</math>：中央値に対する認識論的不確実さによるランダム変数。中央値を1として対数標準偏差<math>\beta_u</math>である対数正規分布を仮定する。</p> <p>フラジリティ加速度Aを累積分布関数で示したものが機器フラジリティ曲線である。</p> <p>なお、フラジリティ評価では、直接<math>A_m</math>、<math>\epsilon_r</math>及び<math>\epsilon_u</math>からフラジリティ加速度を算定せず、一般に安全係数の概念を用いて下式の様に算定する。</p> $A_m = F \cdot A_d \quad (\text{式}3.2.1-1)$ <p>ここで、</p> <p>F：安全係数（裕度）</p> <p><math>A_d</math>：基準地震動の最大加速度</p>	<p>③ フラジリティ評価上の主要な仮定（不確実さの設定、応答係数等）</p> <p>機器フラジリティ評価とは、地震動の入力が増大し、評価対象機器が損傷に至る時点における最大加速度を評価尺度として表示するものである。このとき、最大加速度Aをフラジリティ加速度と称し、機器フラジリティ解析ではこれを確率量として扱い、以下の式で表す。</p> $A = A_m \cdot \epsilon_r \cdot \epsilon_u$ <p>ここで、</p> <p><math>A_m</math>：機器が損傷に達する時の地震動強さ（フラジリティ加速度）Aの中央値</p> <p><math>\epsilon_r</math>：中央値に対する偶然的不確実さを示すランダム変数。中央値を1として対数標準偏差<math>\beta_r</math>である対数正規分布を仮定する。</p> <p><math>\epsilon_u</math>：中央値に対する認識論的不確実さによるランダム変数。中央値を1として対数標準偏差<math>\beta_u</math>である対数正規分布を仮定する。</p> <p>フラジリティ加速度Aを累積分布関数で示したものが機器フラジリティ曲線である。</p> <p>なお、フラジリティ評価では、直接<math>A_m</math>、<math>\epsilon_r</math>及び<math>\epsilon_u</math>からフラジリティ加速度を算定せず、一般に安全係数の概念を用いて下式の様に算定する。</p> $A_m = F \cdot A_d \quad (\text{式}3.2.1-1)$ <p>ここで、</p> <p>F：安全係数（裕度）</p> <p><math>A_d</math>：基準地震動の最大地動加速度</p>	<p>【女川】</p> <ul style="list-style-type: none"> <li>■記載方針の相違           <ul style="list-style-type: none"> <li>泊は機器フラジリティの評価方法を補足説明資料を作成している（大飯に記載はないが、泊と同様となっている）</li> </ul> </li> </ul> <p>【女川】</p> <ul style="list-style-type: none"> <li>■記載表現の相違           <ul style="list-style-type: none"> <li>泊は学会標準の表記としている</li> </ul> </li> </ul> <p>【大飯】</p> <ul style="list-style-type: none"> <li>■記載方針の相違           <ul style="list-style-type: none"> <li><math>A_m</math>の説明については記載済み</li> </ul> </li> </ul>

## 泊発電所3号炉 有効性評価 比較表

赤字：設備、運用又は体制の相違（設計方針の相違）  
 青字：記載箇所又は記載内容の相違（記載方針の相違）  
 緑字：記載表現、設備名称の相違（実質的な相違なし）

第37条 付録1 事故シーケンスグループ及び重要事故シーケンス等の選定について  
 別添3. レベル1PRA 3.2 外部事象 3.2.1 地震PRA

大飯発電所3／4号炉	女川原子力発電所2号炉	泊発電所3号炉	相違理由
<p>記載内容比較のため、別添3-3.2-3.2.1-20ページ（実線部分）に再掲</p> <p>(式1.2.1.c-3-1) の安全係数（裕度）は、(式1.2.1.c-3-2) のように基準とする地震動による現実的な応答に対する機器の現実的な耐力の割合で定義されるが、(式1.2.1.c-3-3) のように評価対象機器の設計応答値に対する現実的な応答の割合（応答に関する安全係数）と現実的な耐力に対する設計応答値の割合（耐力に関する安全係数）に分離して評価する。</p> <p>ただし、入力地震動に対する機器の応答には、機器自身の応答に加えて建屋の応答が影響することから、(式1.2.1.c-3-4) のように応答に関する係数は機器応答係数と建屋応答係数に分割して評価する。</p> <p><math>F = \frac{\text{現実的な耐力}}{\text{現実的な応答}} \quad (\text{式 } 1.2.1.c-3-2)</math></p> <p><math>= \frac{\text{設計応答値}}{\text{現実的な応答}} \times \frac{\text{現実的な耐力}}{\text{設計応答値}} \quad (\text{式 } 1.2.1.c-3-3)</math></p> <p>応答に関する係数 耐力に関する係数</p> <p><math>\therefore F = F_{ER} \times F_{SR} \times F_{EC} \quad (\text{式 } 1.2.1.c-3-4)</math> ここで、 <math>F_{ER}</math>：機器応答に関する係数 <math>F_{SR}</math>：建屋応答に関する係数 <math>F_{EC}</math>：耐力に関する係数</p> <p>記載内容比較のため、別添3-3.2-3.2.1-20ページ（点線部分）を再掲</p> <p>(式1.2.1.c-3-1) の安全係数（裕度）は、(式1.2.1.c-3-2) のように基準とする地震動による現実的な応答に対する機器の現実的な耐力の割合で定義されるが、(式1.2.1.c-3-3) のように評価対象機器の設計応答値に対する現実的な応答の割合（応答に関する安全係数）と現実的な耐力に対する設計応答値の割合（耐力に関する安全係数）に分離して評価する。</p> <p>ただし、入力地震動に対する機器の応答には、機器自身の応答に加えて建屋の応答が影響することから、(式1.2.1.c-3-4) のように応答に関する係数は機器応答係数と建屋応答係数に分割して評価する。</p> <p><math>F = \frac{\text{現実的な耐力}}{\text{現実的な応答}} \quad (\text{式 } 3.2.1-2)</math></p> <p><math>= \frac{\text{設計応答値}}{\text{現実的な応答}} \times \frac{\text{現実的な耐力}}{\text{設計応答値}}</math></p> <p>応答に関する安全係数 耐力に関する安全係数</p> <p><math>\therefore F = F_C \times F_{RE} \times F_{RS} \quad (\text{式 } 3.2.1-3)</math> ここで、 <math>F_C</math>：機器の耐力係数 <math>F_{RE}</math>：機器の応答係数 <math>F_{RS}</math>：建屋の応答係数</p> <p>(式3.2.1-1) の安全係数（裕度）は、(式3.2.1-2) のように基準とする地震動による現実的な応答に対する機器の現実的な耐力の割合で定義されるが、(式3.2.1-3) のように評価対象機器の設計応答値に対する現実的な応答の割合（応答に関する安全係数）と現実的な耐力に対する設計応答値の割合（耐力に関する安全係数）に分離して評価する。</p> <p>ただし、入力地震動に対する機器の応答には、機器自身の応答に加えて建屋の応答が影響することから、(式3.2.1-4) のように応答に関する係数は機器応答係数と建屋応答係数に分割して評価する。</p> <p><math>F = \frac{\text{現実的な耐力}}{\text{現実的な応答}} \quad (\text{式 } 3.2.1-2)</math></p> <p><math>= \frac{\text{設計応答値}}{\text{現実的な応答}} \times \frac{\text{現実的な耐力}}{\text{設計応答値}}</math></p> <p>応答に関する安全係数 耐力に関する安全係数</p> <p><math>\therefore F = F_{EC} \times F_{ER} \times F_{SR} \quad (\text{式 } 3.2.1-3)</math> ここで、 <math>F_{EC}</math>：機器の耐力係数 <math>F_{ER}</math>：機器の応答係数 <math>F_{SR}</math>：建屋の応答係数</p>			
			<p>【大飯】          ■記載箇所の相違          ・泊はF（安全係数（裕度））の式の後に説明を記載している</p> <p>【女川】          ■記載表現の差異          ・泊はPWRで共通的に使用されている文字を係数として記載しているが、係数の内容は同じであり、フラジリティ評価への影響はない          （以下、相違理由説明を省略）</p> <p>【大飯】          ■記載箇所の相違</p>

## 泊発電所3号炉 有効性評価 比較表

赤字：設備、運用又は体制の相違（設計方針の相違）  
 青字：記載箇所又は記載内容の相違（記載方針の相違）  
 緑字：記載表現、設備名称の相違（実質的な相違なし）

第37条 付録1 事故シーケンスグループ及び重要事故シーケンス等の選定について  
 別添3. レベル1PRA 3.2 外部事象 3.2.1 地震PRA

大飯発電所3／4号炉	女川原子力発電所2号炉	泊発電所3号炉	相違理由
<p>関する安全係数)と現実的な耐力に対する設計応答値の割合(耐力に関する安全係数)に分離して評価する。</p> <p>ただし、入力地震動に対する機器の応答には、機器自身の応答に加えて建屋の応答が影響することから、(式1.2.1.c-3-4)のように応答に関する係数は機器応答係数と建屋応答係数に分割して評価する。</p> <p>機器応答係数<math>F_{ER}</math>、建屋応答係数<math>F_{SR}</math>及び耐力係数<math>F_{EC}</math>は、それぞれ(式1.2.1.c-3-5)、(式1.2.1.c-3-6)、(式1.2.1.c-3-7)に示す係数に分離して評価する。これらの係数は、フラジリティ評価上に存在する各種の不確実さ要因を評価したものであり、すべて対数正規分布する確率量と仮定する。不確実さ要因の整理結果を第1.2.1.c-3-1表に示す。</p> <p><math>F_{ER} = F_{ESS} \cdot F_D \cdot F_EM \cdot F_{EMC}</math> (式1.2.1.c-3-5)  <math>F_{SR} = F_{SS} \cdot F_\delta \cdot F_M \cdot F_{NL}</math> (式1.2.1.c-3-6)  <math>F_{EC} = F_S \cdot F_\mu</math> (式1.2.1.c-3-7)</p> <p>ここで、  <math>F_{ESS}</math>：機器応答評価用入力地震動に関する係数  <math>F_D</math>：機器の設計用減衰定数に関する係数  <math>F_EM</math>：機器の解析モデル化に関する係数  <math>F_{EMC}</math>：機器のモード合成に関する係数  <math>F_{SS}</math>：入力地震動のスペクトル形状に関する係数  <math>F_\delta</math>：建屋の減衰に関する係数  <math>F_M</math>：建屋のモデル化に関する係数  <math>F_{NL}</math>：建屋の非線形応答に関する係数  <math>F_S</math>：機器の限界強度に関する係数  <math>F_\mu</math>：機器の塑性化によるエネルギー吸収効果に関する係数</p>	<p>数)と現実的な耐力に対する設計応答値の割合(耐力に関する安全係数)に分離して評価する。</p> <p>ただし、入力地震動に対する機器の応答には、機器自身の応答に加えて建屋の応答が影響することから、応答に関する係数は機器の応答係数<math>F_{RE}</math>と建屋の応答係数<math>F_{RS}</math>に分割して評価する。</p> <p>耐力係数<math>F_C</math>、機器応答係数<math>F_{RE}</math>及び建屋応答係数<math>F_{RS}</math>は、それぞれ以下に示す係数に分離して評価する。これらの係数は、さらにいくつかの係数から構成されている。また、これらの係数は、フラジリティ評価上に存在する各種の不確実さ要因を評価したものであり、全て対数正規分布する確率量と仮定する。不確実さ要因の整理結果を第3.2.1.c-2-1表に示す。</p> <p>機器の耐力係数：<math>F_C</math>  <math>F_C = F_S \cdot F_\mu</math></p> <p>ここで、  <math>F_S</math>：強度係数  <math>F_\mu</math>：塑性エネルギー吸収係数</p> <p>機器の応答係数：<math>F_{RE}</math>  <math>F_{RE} = F_{SA} \cdot F_D \cdot F_M \cdot F_{MC}</math></p> <p>ここで、  <math>F_{SA}</math>：スペクトル形状係数  <math>F_D</math>：減衰係数  <math>F_M</math>：モデル化係数  <math>F_{MC}</math>：モード合成係数</p> <p>建屋の応答係数：<math>F_{RS}</math>  <math>F_{RS} = F_1 \cdot F_2 \cdot F_3</math></p> <p>ここで、  <math>F_1</math>：解放基盤表面の地震動に関する係数</p>	<p>数)と現実的な耐力に対する設計応答値の割合(耐力に関する安全係数)に分離して評価する。</p> <p>ただし、入力地震動に対する機器の応答には、機器自身の応答に加えて建屋の応答が影響することから、応答に関する係数は機器の応答係数<math>F_{ER}</math>と建屋の応答係数<math>F_{SR}</math>に分割して評価する。</p> <p>耐力係数<math>F_{EC}</math>、機器応答係数<math>F_{ER}</math>及び建屋応答係数<math>F_{SR}</math>は、それぞれ以下に示す係数に分離して評価する。これらの係数は、さらにいくつかの係数から構成されている。また、これらの係数は、フラジリティ評価上に存在する各種の不確実さ要因を評価したものであり、すべて対数正規分布する確率量と仮定する。不確実さ要因の整理結果を第3.2.1.c-3-1表に示す。</p> <p>機器の耐力係数：<math>F_{EC}</math>  <math>F_{EC} = F_S \cdot F_\mu</math></p> <p>ここで、  <math>F_S</math>：強度係数  <math>F_\mu</math>：塑性エネルギー吸収係数</p> <p>機器の応答係数：<math>F_{ER}</math>  <math>F_{ER} = F_{ESS} \cdot F_D \cdot F_EM \cdot F_{EMC}</math></p> <p>ここで、  <math>F_{ESS}</math>：スペクトル形状係数  <math>F_D</math>：減衰係数  <math>F_EM</math>：モデル化係数  <math>F_{EMC}</math>：モード合成係数</p> <p>建屋の応答係数：<math>F_{SR}</math>  <math>F_{SR} = F_{SS} \cdot F_\delta \cdot F_M \cdot F_{NL}</math></p> <p>ここで、  <math>F_{SS}</math>：入力地震動のスペクトル形状に関する係数</p>	<p>【女川】</p> <p>■記載表現の相違      ・全て⇒すべて      (以下、相違理由説明を省略)</p> <p>(相違理由については以下の各係数の箇所に記載)</p> <p>【女川】</p> <p>■記載方針の相違      ・<math>F_{SS}</math>は<math>F_1</math>を細分化したサブ応答係数であるが、表現の相違で</p>

## 泊発電所3号炉 有効性評価 比較表

赤字：設備、運用又は体制の相違（設計方針の相違）  
 青字：記載箇所又は記載内容の相違（記載方針の相違）  
 緑字：記載表現、設備名称の相違（実質的な相違なし）

第37条 付録1 事故シーケンスグループ及び重要事故シーケンス等の選定について  
 別添 3. レベル1PRA 3.2 外部事象 3.2.1 地震PRA

大飯発電所3／4号炉	女川原子力発電所2号炉	泊発電所3号炉	相違理由
	F <sub>2</sub> ：建屋への入力地震動に関する係数		<p>あり、評価内容に相違はない（大飯と同様）  <b>【女川】</b>  <b>■施設構造の相違</b>          ・本係数は、地盤モデルに関する設計上の裕度を評価するものであり、泊は直接入力していることから、考慮不要な係数である（大飯についても泊と同様）</p>
	F <sub>3</sub> ：建屋の地震応答に関する係数	F <sub>δ</sub> ：建屋の減衰に関する係数 F <sub>M</sub> ：建屋のモデル化に関する係数 F <sub>NL</sub> ：建屋の非線形応答に関する係数	<p><b>【女川】</b>  <b>■記載方針の相違</b>          ・泊はF<sub>3</sub>をF<sub>δ</sub>、F<sub>M</sub>、F<sub>NL</sub>に細分化したサブ応答係数あるが、表現の相違であり、評価内容に相違はない（大飯と同様）          （以下、相違理由説明を省略）</p>
④ フラジリティ評価における耐力情報  評価部位、損傷モード（応力種類）についてはその機器において最も耐震性の低いものを選び、設定した。耐力値はその評価部位に使われる部材のJSMEに記載されている許容値を適用した。確率分布については、中央値に関する不確実さの要素について、加振試験結果や文献値、工学的判断等によって評価し、 $\beta_{\text{R}}$ ・ $\beta_{\text{U}}$ として定量化して考慮した。  なお、評価部位及び損傷モードの指標については耐震評価で考慮されている。	ここで、建屋の応答係数について、第3.2.1.c-2表の値を使用する。  ④ フラジリティ評価における耐力情報  評価部位及び損傷モード（応力種類）は、その機器において耐震評価上最も裕度の低いものを選定した。耐力値は、その評価部位に使われる部材の、「JSME発電用原子力設備規格 設計・建設規格」（以下、「設計・建設規格」という。）に記載されている許容値に基づく現実的値を適用した。確率分布は、中央値に関する不確実さの要素について、加振試験結果、文献値、工学的判断等によって評価し、 $\beta_{\text{R}}$ 、 $\beta_{\text{U}}$ として定量化して考慮した。  なお、評価部位及び損傷モードの指標については、既工認等における耐震解析で考慮されている。	ここで、建屋の応答係数について、第3.2.1.c-3表の値を使用する。  ④ フラジリティ評価における耐力情報  評価部位及び損傷モード（応力種類）は、その機器において最も耐震性の低いものを選定した。耐力値は、その評価部位に使われる部材の、「JSME発電用原子力設備規格 設計・建設規格」（以下、「設計・建設規格」という。）に記載されている許容値に基づく現実的値を適用した。確率分布は、中央値に関する不確実さの要素について、加振試験結果、文献値、工学的判断等によって評価し、 $\beta_{\text{R}}$ 、 $\beta_{\text{U}}$ として定量化して考慮した。  なお、評価部位及び損傷モードの指標については、既工認等における耐震解析で考慮されている。	<p><b>【女川】</b>  <b>■評価方針の相違</b>          ・女川は裕度のみに着目しているが、泊はフラジリティが最弱のものを選定している（大飯と同様）</p>
⑤ フラジリティ評価における応答情報  評価部位、損傷モード（応力種類）についてはその機器において最も耐震性の低いものを選び、設定した。応答値はその部位にかかる発生応力を設定した。確率分布については、中央値に関する不確実さの要素について、加振試験結果や文献値、工学的判断等によって評価し、 $\beta_{\text{R}}$ ・ $\beta_{\text{U}}$ として定量化して考慮した。	⑤ フラジリティ評価における応答情報  評価部位及び損傷モード（応力種類）は、その機器において耐震評価上最も裕度の低いものを選定した。応答値はその部位にかかる発生応力を設定した。確率分布については、中央値に関する不確実さの要素について、加振試験結果、文献値、工学的判断等によって評価し、 $\beta_{\text{R}}$ 、 $\beta_{\text{U}}$ として定量化して考慮した。	⑤ フラジリティ評価における応答情報  評価部位及び損傷モード（応力種類）は、その機器において最も耐震性の低いものを選定した。応答値はその部位にかかる発生応力を設定した。確率分布については、中央値に関する不確実さの要素について、加振試験結果、文献値、工学的判断等によって評価し、 $\beta_{\text{R}}$ 、 $\beta_{\text{U}}$ として定量化して考慮した。	<p><b>【女川】</b>  <b>■評価方針の相違</b>          ・女川は裕度のみに着目しているが、泊はフラジリティが最弱のものを選定している（大飯と同様）</p>

泊発電所 3号炉 有効性評価 比較表

### 第37条 付録1 事故シーケンスグループ及び重要事故シーケンス等の選定について 別添3. レベル1 PRA 3.2 外部事象 3.2.1 地震 PRA

**赤字**：設備、運用又は体制の相違（設計方針の相違）  
**青字**：記載箇所又は記載内容の相違（記載方針の相違）  
**緑字**：記載表現、設備名称の相違（実質的な相違なし）

大飯発電所3／4号炉	女川原子力発電所2号炉	泊発電所3号炉	相違理由
なお、機器応答の伝達特性については耐震評価で考慮されている。	なお、機器応答の伝達特性については、既工認等における耐震解析で考慮されている。	なお、機器応答の伝達特性については、既工認等における耐震解析で考慮されている。	同様
⑥機器のフラジリティ評価結果 機器フラジリティ評価結果を第1.2.1.a-4表に示す。 機器フラジリティ評価は、その評価上の特徴を踏まえ、「主機」、「補機」、「電気盤・計装」、「動的機器」及び「配管」の5グループに分類した。	⑥機器のフラジリティ評価結果 機器フラジリティ評価結果を第3.2.1.a-4表に示す。 機器フラジリティ評価は、その評価上の特徴を踏まえ、「大型機器」、「静的機器」、「動的機器」、「電気盤・計装」及び「配管」の5グループに分類した。	⑥機器のフラジリティ評価結果 機器フラジリティ評価結果を第3.2.1.a-5表に示す。 機器フラジリティ評価は、その評価上の特徴を踏まえ、「大型機器」、「静的機器」、「動的機器」、「電気盤・計装」及び「配管」の5グループに分類した。	【大飯】 ■記載表現の相違 ・主機⇨大型機器 ・補記⇨静的機器 (以下、相違理由説明を省略) 【女川】 ■記載方針の相違 ・記載の充実のため、泊は5グループの分類の考え方を記載しており、女川に記載がないため大飯と比較する
5グループの分類の考え方については以下のとおり。     主機：1次冷却材バウンダリ設備で、多質点系時刻歴解析評価が主となる機器の構造損傷 補機：上記主機以外で、スペクトルモーダル解析評価が主となる機器の構造損傷 動的機器：ポンプ、内燃機関、電動弁等の動的機器の機能損傷 電気盤・計装：電気盤、計装品等の電気的機器の機能損傷 配管：配管・弁等の構造損傷 また、グループごとにFV重要度を参照して代表機器を抽出し、その評価の具体例を(1)～(5)に示す。	また、グループ毎に代表機器をFV重要度より抽出し、その評価の具体例を以下に示す。     (1) 大型機器（原子炉圧力容器） 評価対象機器の諸元を以下に示す。 ・評価対象機器：制御棒駆動機構ハウジング貫通孔 ・設置位置：原子炉建屋 内部コンクリートE.L. 39.5m ・耐震クラス：S ・固有振動数：5.7Hz ・評価対象部位及び評価応力：	大型機器：1次冷却材バウンダリ設備で、多質点系時刻歴解析評価が主となる機器の構造損傷 静的機器：上記大型機器以外で、スペクトルモーダル解析評価が主となる機器の構造損傷 動的機器：ポンプ、内燃機関、電動弁等の動的機器の機能損傷 電気盤・計装：電気盤、計装品等の電気的機器の機能損傷 配管：配管・弁等の構造損傷 また、グループごとに代表機器をFV重要度より抽出し、その評価の具体例を以下に示す。     (1) 大型機器（1次冷却材ポンプ） 評価対象機器の諸元及び耐震評価結果を以下に示す。 ・評価対象機器：1次冷却材ポンプ ・設置位置：原子炉格納容器 T.P. 17.8m ・耐震クラス：S ・固有振動数：柔構造 ・評価地震動：最大加速度 1000ガル (Ss-2) ・評価項目：構造損傷（バウンダリ機能） ・評価対象部位：スタブチューブ ・評価応力：軸圧縮応力	【大飯】 ・泊の構成に合わせて大飯の「動的機器」と「電気盤」の記載順序を入れ替えている 【女川】 ■記載表現の相違 ・毎⇨ごと

## 泊発電所3号炉 有効性評価 比較表

赤字：設備、運用又は体制の相違（設計方針の相違）  
 青字：記載箇所又は記載内容の相違（記載方針の相違）  
 緑字：記載表現、設備名称の相違（実質的な相違なし）

第37条 付録1 事故シーケンスグループ及び重要事故シーケンス等の選定について  
 別添3 レベル1PRA 3.2 外部事象 3.2.1 地震 PRA

大飯発電所3／4号炉	女川原子力発電所2号炉	泊発電所3号炉	相違理由		
下表の耐震評価結果に示す。これに基にフラジリティを算出した。	第3.2.1.c-2-3表に、制御棒駆動機構ハウジング貫通孔の耐震評価結果を示す。 第3.2.1.c-2-3表をもとにフラジリティを算出した。	第3.2.1.c-3-3表に、1次冷却材ポンプ上部支持構造物の耐震評価結果を示す。 第3.2.1.c-3-3表を基にフラジリティを算出した。	【女川】 ■記載表現の相違 ・もとに△基に (以下、相違理由説明を省略)		
<b>表 蒸気発生器伝熱管の耐震評価結果</b>					
評価部位	材 料	評価応力	許容値 (N/mm <sup>2</sup> )	発生応力 (N/mm <sup>2</sup> )	裕 度
伝熱管	TT690合金	一次膜+曲げ	722	318	2.27
a. 機器耐力係数F <sub>EC</sub> の評価 (a) 強度に関する係数F <sub>S</sub> の評価 本係数は、次式により評価する。	a. 機器の耐力係数F <sub>C</sub> の評価 (a) 強度係数F <sub>S</sub> の評価 本係数は、設計応力に対する限界応力の持つ裕度を評価するものであり、次式により評価する。	a. 機器の耐力係数F <sub>EC</sub> の評価 (a) 強度係数F <sub>S</sub> の評価 本係数は、設計応力に対する限界応力の持つ裕度を評価するものであり、次式により評価する。	【大飯】 ■記載箇所の相違 ・女川実績の反映 ・泊は第3.2.1.c-3-3表で整理している		
$F_S = \frac{\sigma_C - \sigma_N}{\sigma_T - \sigma_N}$	$F_S = \frac{\sigma_C - \sigma_N}{\sigma_T - \sigma_N}$	$F_S = \frac{\sigma_C - \sigma_N}{\sigma_T - \sigma_N}$			
ここで、 $\sigma_C$ ：限界応力の中央値 $\sigma_T$ ：地震時発生応力 $\sigma_N$ ：通常運転時応力	ここで、 $\sigma_C$ ：限界応力の中央値 $\sigma_T$ ：地震時発生応力 $\sigma_N$ ：通常運転時応力	ここで、 $\sigma_C$ ：限界応力の中央値 $\sigma_T$ ：地震時発生応力 $\sigma_N$ ：通常運転時応力	【女川】【大飯】 ■個別評価による相違 ・評価対象の応力種類が異なるため、計算方法が異なる ・大飯では、一次膜+曲げ応力に対する評価であり、女川では、軸圧縮応力に対する評価をしているが、泊では、組合せ応力に対する評価となることから、それぞれの応力に対する評価の内容が異なる ・泊の本機器は、評価応力が組合せ応力であり、保守的な設定として、設計許容値を限界応力		
評価対象部位である伝熱管の材質はTT690合金であることから、限界応力としてJ-SME発電用原子力設備規格設計・建設規格（2005年度版）第I編付録図表Part5の引張応力S <sub>u</sub> =539N/mm <sup>2</sup> （評価温度336°C）を通常では採用するが、本伝熱管はストレステスト時に限界値として全断面降伏による崩壊応力値を採用している。 したがって、耐震評価の許容値をそのまま適用し、以下とする。 $\sigma_C=722\text{N/mm}^2$	評価対象部位であるスタブチューブの材質（NCF600）から、限界応力として「設計・建設規格」の第I編付録材料図表Part7よりB=84N/mm <sup>2</sup> （評価温度：289°C）を採用する。B値とは板厚やヤング率等で設定される数値で円筒形設備の圧縮荷重に対して適用される許容基準である。 なお、国内文献 <sup>17</sup> より上記規格値に含まれる安全率2.0倍を考慮して限界応力の中央値とする。 従って、 $\sigma_C=2.0 \times B = 2.0 \times 84 = 168\text{N/mm}^2$ 以上より、強度係数F <sub>S</sub> は、以下の通りとなる。	本機器における組合せ応力の評価は許容応力と地震応力の比を示す評価式となっているため、耐震評価による裕度をF <sub>S</sub> として設定し、不確実さは考慮しない。			
	$F_S = \frac{\sigma_C - \sigma_N}{\sigma_T - \sigma_N} = \frac{168-7}{54-7} = 3.43$				
不確実さは、座屈応力評価式や安全率に含まれる不確実さが支					

## 泊発電所3号炉 有効性評価 比較表

赤字：設備、運用又は体制の相違（設計方針の相違）  
 青字：記載箇所又は記載内容の相違（記載方針の相違）  
 緑字：記載表現、設備名称の相違（実質的な相違なし）

第37条 付録1 事故シーケンスグループ及び重要事故シーケンス等の選定について  
 別添3 レベル1PRA 3.2 外部事象 3.2.1 地震PRA

大飯発電所3／4号炉	女川原子力発電所2号炉	泊発電所3号炉	相違理由
<p>なお、通常運転時応力は耐震評価の時点で考慮されていないため、0とする。</p> $\sigma_N = 0 \text{ N/mm}^2$ <p>以上より、強度に関する係数 <math>F_s</math> は、以下のとおりとなる。</p> $F_s = \frac{\sigma_c}{\sigma_T} = \frac{722}{318} = 2.27$ <p>なお、本評価では <math>1.1 \times S_u</math> は適用されないが、マージンを撤廃した耐力を耐震評価時に適用しているため、不確実さ <math>\beta_u</math> として、限界応力の中央値 <math>1.1 \times S_u</math> に対する下記式（告示値 <math>S_u</math> が95%信頼下限に相当すると考える）を適用する。</p> $\beta_u = \frac{1}{1.65} \ln \left( \frac{1.1 \times S_u}{S_u} \right) = 0.06 \quad (\beta_R = 0)$ <p>(b) 塑性エネルギー吸収効果に関する係数 <math>F_\mu</math></p> <p>伝熱管のような鋼構造機器では評価対象部位の降伏後の塑性変形による機器全体系としてのエネルギー吸収効果が期待できる。</p> <p>したがって、<math>F_\mu</math> は塑性率 <math>\mu = 3.0</math> を適用して、Newmarkのエネルギー等価式より下記のように算出される。</p> $F_\mu = \sqrt{2\mu - 1} = 2.24$ <p>ここで、<math>\mu</math> : 塑性率 = 3.0 (鋼構造)      また、不確実さは次式により算定する。</p>	<p>配的と考えられるが、残留応力や局所的なひずみの影響によるランダム性の不確実さも考えられるため <math>\beta_r : \beta_u = 1 : 2</math> として算定する。この場合、設計許容値B値が99%下限値に相当するものとして不確実さを算定する。</p> $\beta_c = \frac{1}{2.33} \ln \left( \frac{2 \times B}{B} \right) = 0.30$ $\beta_r = \frac{1}{\sqrt{5}} \beta_c = 0.13$ $\beta_u = \frac{2}{\sqrt{5}} \beta_c = 0.27$ <p>以上より、本係数及び不確実さは以下の値とする。</p> $F_s = 3.43 \quad \beta_r = 0.13, \quad \beta_u = 0.27$	<p>以上より、本係数及び不確実さは以下の値とする。</p> $F_s = 1.40, \quad \beta_r = 0.00, \quad \beta_u = 0.00$	<p>の中央値とみなして、<math>F_s</math> を評価している</p> <ul style="list-style-type: none"> <li>・また、<math>F_s</math> を保守的に設定していることから不確実さは考慮していない</li> <li>・なお、これらの組合せ応力に対する <math>F_s</math> の評価の方法は、大飯を含め他のPWRプラントでも同様である</li> </ul> <p>【女川】 【大飯】</p> <p>■評価結果の相違      (以下、相違理由説明を省略)</p>
<p>(b) 塑性エネルギー吸収効果に関する係数 <math>F_\mu</math></p> <p>支持構造物のような鋼構造機器では評価対象部位の降伏後の塑性変形による機器全体系としてのエネルギー吸収効果が期待できる。</p> <p>したがって、<math>F_\mu</math> は塑性率 <math>\mu = 3.0</math> を適用して、Newmarkのエネルギー等価式より下記のように算出される。</p> $F_\mu = \sqrt{2\mu - 1} = 2.24$ <p>ここで、<math>\mu</math> : 塑性率 = 3.0 (鋼構造)      また、不確実さは次式により算定する。</p>	<p>(b) 塑性エネルギー吸収係数 <math>F_\mu</math> の評価</p> <p>本係数は、塑性変形によるエネルギー吸収による裕度を評価するものである。</p> <p>座屈評価においては、弹性範囲内で座屈が生じると考えられるため塑性変形によるエネルギー吸収効果が期待できないことから考慮しない。</p>	<p>(b) 塑性エネルギー吸収係数 <math>F_\mu</math> の評価</p> <p>本係数は、塑性変形によるエネルギー吸収による裕度を評価するものである。</p> <p>支持構造物のような鋼構造機器では評価対象部位の降伏後の塑性変形による機器全体系としてのエネルギー吸収効果が期待できる。</p> <p>したがって、<math>F_\mu</math> は塑性率 <math>\mu = 3.0</math> を適用して、Newmarkのエネルギー等価式より下記のように算出される。</p> $F_\mu = \sqrt{2\mu - 1} = 2.24$ <p>ここで、<math>\mu</math> : 塑性率 = 3.0 (鋼構造)      また、不確実さは次式により算定する。</p>	<p>【女川】</p> <p>■個別評価による相違</p> <ul style="list-style-type: none"> <li>・評価対象部位の構造が異なるため、泊では本係数を考慮する</li> <li>・大飯と泊では、鋼構造機器の塑性変形によるエネルギー吸収を期待した評価をしているが、女川では、座屈評価の場合には保守的な評価として塑性</li> </ul>

## 泊発電所3号炉 有効性評価 比較表

赤字：設備、運用又は体制の相違（設計方針の相違）  
 青字：記載箇所又は記載内容の相違（記載方針の相違）  
 緑字：記載表現、設備名称の相違（実質的な相違なし）

第37条 付録1 事故シーケンスグループ及び重要事故シーケンス等の選定について  
 別添3 レベル1PRA 3.2 外部事象 3.2.1 地震PRA

大飯発電所3／4号炉	女川原子力発電所2号炉	泊発電所3号炉	相違理由
$\beta_c = \frac{1}{3} \ln(F_\mu)$  $\beta_r = \beta_u = \frac{1}{\sqrt{2}} \beta_c = 0.19$	<p>以上より、本係数及び不確実さは以下の値とする。  <math>F_\mu = 1.00, \beta_r = 0.00, \beta_u = 0.00</math></p>	$\beta_c = \frac{1}{3} \ln(F_\mu)$  $\beta_r = \beta_u = \frac{1}{\sqrt{2}} \beta_c = 0.19$	<p>変形によるエネルギー吸収を期待していない          ・泊での係数設定の考え方は、機器の部材が塑性変形することによる機器全体系としてのエネルギー吸収効果を期待するものであり、塑性率<math>\mu</math>はNewmarkの文献に記載されている鋼構造機器に対する値を採用している          ・塑性変形による機器全体系としてのエネルギー吸収効果が期待できる機器に対しては、大飯を含め他のPWRプラントでも同様である</p>
<p>b. 機器応答係数<math>F_{ER}</math></p> <p>(a) 床応答スペクトルの拡幅に関する係数<math>F_{ESS}</math></p> <p>本係数は、設計で用いられる床応答スペクトルの拡幅に含まれる裕度を評価するものであり、次式により評価する。</p> $F_{ESS} = \frac{S_a \text{ (拡幅あり)}}{S_a \text{ (拡幅なし)}}$ <p>S<sub>a</sub>：機器の固有振動数における応答加速度</p> <p>ただし、本伝熱管は拡幅無の床応答スペクトルを適用して耐震評価を実施しているため、本係数は考慮しない。</p> <p>以上より、  <math>F_{ESS} = 1.0, \beta_r = \beta_u = 0</math></p>	<p>b. 機器の応答係数<math>F_{RE}</math>の評価</p> <p>(a) スペクトル形状係数<math>F_{SA}</math>の評価</p> <p>本係数は、設計で用いられる床応答スペクトルの拡幅に含まれる裕度を評価するものであり、次式により評価する。なお、スペクトル形状係数の概念図を第3.2.1.c-2-1図に示す。</p> $F_{SA} = \frac{\text{拡幅後の床応答スペクトルによる応答加速度}}{\text{拡幅前の床応答スペクトルによる応答加速度}}$ <p>本機器については時刻歴解析を適用しており、床応答スペクトルを使用していないため考慮しない。</p> <p>以上より、本係数及び不確実さは以下の値とする。  <math>F_{SA} = 1.00, \beta_r = 0.00, \beta_u = 0.00</math></p>	<p>b. 機器の応答係数<math>F_{ER}</math>の評価</p> <p>(a) スペクトル形状係数<math>F_{ESS}</math>の評価</p> <p>本係数は、設計で用いられる床応答スペクトルの拡幅に含まれる裕度を評価するものであり、次式により評価する。なお、スペクトル形状係数の概念図を第3.2.1.c-3-1図に示す。</p> $F_{ESS} = \frac{\text{拡幅後の床応答スペクトルによる応答加速度}}{\text{拡幅前の床応答スペクトルによる応答加速度}}$ <p>本機器は建屋ループ連成解析による荷重を考慮した耐震評価を実施しているため、荷重にかけられている設計マージン1.30を係数として考慮する。</p> <p>以上より、本係数及び不確実さは以下の値とする。  <math>F_{ESS} = 1.30, \beta_r = 0.00, \beta_u = 0.00</math></p>	<p>【女川】【大飯】          ■個別評価による相違          ・評価対象機器の設計での応答解析の方法が異なるため、本係数で考慮する内容が異なる          ・泊の本機器では、建屋ループ連成解析により耐震評価が行われており、設計マージンが荷重にかけられているため、これを応答の保守性として本係数で考慮する扱いをしている          ・このマージンには不確実さは存在しないため<math>\beta_r</math>及び<math>\beta_u</math>は考慮していない</p>

## 泊発電所3号炉 有効性評価 比較表

赤字：設備、運用又は体制の相違（設計方針の相違）  
 青字：記載箇所又は記載内容の相違（記載方針の相違）  
 緑字：記載表現、設備名称の相違（実質的な相違なし）

第37条 付録1 事故シーケンスグループ及び重要事故シーケンス等の選定について

別添 3. レベル1PRA 3.2 外部事象 3.2.1 地震PRA

大飯発電所3／4号炉	女川原子力発電所2号炉	泊発電所3号炉	相違理由
<p>(b) 設計用減衰定数に関する係数 <math>F_D</math>          本係数は、機器の損傷時の減衰定数の中央値に対する設計用減衰定数が持つ裕度を評価するものであり、次式により評価する。</p> $F_D = \frac{S_a \text{ (設計用減衰定数)}}{S_a \text{ (損傷時の減衰定数中央値)}}$ <p>ただし、本伝熱管に適用されている減衰定数は中央値と考えられるため、本係数は考慮しない。          以上より、  <math>F_D = 1.0, \beta_r = \beta_u = 0</math></p>	<p>(b) 減衰係数 <math>F_D</math> の評価          本係数は、現実的減衰定数の中央値に対する設計用減衰定数が持つ裕度を評価するものであり、次式により評価する。なお、減衰係数の概念図を第3.2.1.c-2-2図に示す。</p> $F_D = \frac{\text{設計用減衰定数での応答値}}{\text{減衰定数の中央値での応答値}}$ <p>本機器については減衰定数の中央値は設計用減衰定数よりも大きいと考えられるが、保守的に設計用減衰定数と同一とする。          以上より、本係数及び不確実さは以下の値とする。</p> $F_D = 1.00, \beta_r = 0.00, \beta_u = 0.00$	<p>(b) 減衰係数 <math>F_D</math> の評価          本係数は、現実的減衰定数の中央値に対する設計用減衰定数が持つ裕度を評価するものであり、次式により評価する。なお、減衰係数の概念図を第3.2.1.c-3-2図に示す。</p> $F_D = \frac{\text{設計用減衰定数での応答値}}{\text{減衰定数の中央値での応答値}}$ <p>本機器については減衰定数の中央値は設計用減衰定数よりも大きいと考えられるが、保守的に設計用減衰定数と同一とする。          以上より、本係数及び不確実さは以下の値とする。</p> $F_D = 1.00, \beta_r = 0.00, \beta_u = 0.00$	<p>【大飯】          ■個別評価による相違          ・女川と泊では、保守的な評価として、設計用減衰定数を中央値と見なして評価している          ・なお、大飯における本機器では、設計の耐震評価で減衰定数の中央値を使用しているため、本係数は考慮していない</p> <p>【女川】          ■記載表現の相違          ・など⇒等          (以下、相違理由説明を省略)</p>
<p>(c) 機器の解析モデル化に関する係数 <math>F_M</math>          機器の解析モデル化は妥当であり、中央値に相当すると考える。</p>	<p>(c) モデル化係数 <math>F_M</math> の評価          本係数は、機器のモデル化におけるモデル形状・諸元等の実機との差などに起因する保守性及び不確実さを評価するものである。          本機器の解析モデル化は妥当であり、中央値に相当すると考える。</p>	<p>(c) モデル化係数 <math>F_M</math> の評価          本係数は、機器のモデル化におけるモデル形状・諸元等の実機との差等に起因する保守性及び不確実さを評価するものである。          本機器の解析モデル化は妥当であり、中央値に相当すると考える。</p>	

## 泊発電所3号炉 有効性評価 比較表

赤字：設備、運用又は体制の相違（設計方針の相違）  
 青字：記載箇所又は記載内容の相違（記載方針の相違）  
 緑字：記載表現、設備名称の相違（実質的な相違なし）

第37条 付録1 事故シーケンスグループ及び重要事故シーケンス等の選定について  
 別添3. レベル1PRA 3.2 外部事象 3.2.1 地震 PRA

大飯発電所3／4号炉	女川原子力発電所2号炉	泊発電所3号炉	相違理由
<p>また、伝熱管の耐震評価は、多質点系モデルを用いて行われており、モデル化に関する不確実さ <math>\beta_u</math> は以下の値とする。</p> <p><math>F_{EM}=1.0, \beta_R=0, \beta_U=0.15</math></p>	<p>また、本機器の耐震評価は多質点系モデルを用いて行われているため、不確実さは海外文献<sup>13</sup>より0.15とする。</p> <p>以上より、本係数及び不確実さは以下の値とする。</p> <p><math>F_M=1.00, \beta_r=0.00, \beta_u=0.15</math></p>	<p>また、本機器の耐震評価は建屋連成解析モデルを用いて行われており、モデル化に関する不確実さは、建屋応答係数に含まれるため、本係数では考慮しない。</p> <p>以上より、本係数及び不確実さは以下の値とする。</p> <p><math>F_{EM}=1.00, \beta_r=0.00, \beta_u=0.00</math></p>	<p>【女川】【大飯】          ■個別評価による相違          ・大飯と女川では、多質点系モデルを用いた耐震評価を実施していることから、海外文献値の <math>\beta_u</math> を採用している          ・泊では、建屋連成解析モデルを使用した耐震評価であることから、本機器のモデルは建屋のモデルに含まれているため、モデル化の不確実さは、建屋応答係数 <math>F_M</math> に含まれる          ・したがって、本係数は考慮していない          ・なお、建屋連成解析モデルで耐震評価されている機器については、大飯を含め他のPWRプラントでも同様である</p>
<p>(d) モード合成法に関する係数 <math>F_{EMC}</math></p> <p>伝熱管は多質点系でモデル化されるため、モード合成を考慮する必要があるため、本係数及び不確実さは以下の値とする。</p> <p><math>F_{EMC}=1.0, \beta_R=0.15, \beta_U=0</math></p>	<p>(d) モード合成係数 <math>F_{MC}</math> の評価</p> <p>本係数は、機器の地震応答がスペクトルモーダル解析で評価されている場合に、モード合成に起因する保守性及び不確実さを評価するものである。</p> <p>本機器については時刻歴解析を適用しており、スペクトルモーダル解析を実施していないため考慮しない。</p> <p>以上より、本係数及び不確実さは以下の値とする。</p> <p><math>F_{MC}=1.00, \beta_r=0.00, \beta_u=0.00</math></p>	<p>(d) モード合成係数 <math>F_{EMC}</math> の評価</p> <p>本係数は、機器の地震応答がスペクトルモーダル解析で評価されている場合に、モード合成に起因する保守性及び不確実さを評価するものである。</p> <p>本機器については時刻歴解析を適用しており、スペクトルモーダル解析を実施していないため考慮しない。</p> <p>以上より、本係数及び不確実さは以下の値とする。</p> <p><math>F_{EMC}=1.00, \beta_r=0.00, \beta_u=0.00</math></p>	<p>【大飯】          ■個別評価による相違          ・耐震解析の方法が異なるため、係数の内容が異なる          ・大飯では、多質点系でスペクトルモーダル解析を実施していることから、モード合成に関する不確実さとして <math>\beta_r</math> を考慮している          ・女川と泊では、時刻歴解析を実施しておりモード合成が発生しないため、本係数は考慮していない          ・なお、時刻歴解析で耐震評価されている機器については、大</p>

## 泊発電所3号炉 有効性評価 比較表

赤字：設備、運用又は体制の相違（設計方針の相違）  
 青字：記載箇所又は記載内容の相違（記載方針の相違）  
 緑字：記載表現、設備名称の相違（実質的な相違なし）

第37条 付録1 事故シーケンスグループ及び重要事故シーケンス等の選定について

別添3. レベル1PRA 3.2 外部事象 3.2.1 地震PRA

大飯発電所3／4号炉	女川原子力発電所2号炉	泊発電所3号炉	相違理由
<p>c. 建屋応答係数 <math>F_{SR}</math> (建屋非線形応答に関する係数 <math>F_{NL}</math>)</p> <p>建屋応答に関する各係数のうち建屋非線形応答に関する係数 <math>F_{NL}</math>以外の係数については、第1.2.1.c-3-2表に示す建屋応答係数を用いる。以下では <math>F_{NL}</math>についてのみ示す。</p>	<p>c. 建屋の応答係数 <math>F_{RS}</math> の評価</p> <p>建屋応答に関する各係数は、第3.2.1.c-2-2表に示す原子炉建屋の応答係数を用いる。</p> <p>(a) 解放基盤表面の地震動に関する係数 <math>F_1</math> の評価</p> <p>本係数は、基準地震動のスペクトルの持つ裕度を評価するものであり、第3.2.1.c-2-3図にスペクトル形状係数の概念図を示す。</p> <p>中央値は、基準地震動のスペクトルと一様ハザードスペクトルの建屋又は機器の固有周期における比として、次式により評価する。</p> $\text{スペクトル形状係数} = \frac{\text{基準地震動の応答加速度}}{\text{一様ハザードスペクトルの応答加速度}}$ <p>また、不確実さは、地震ハザードにおける距離減衰式等のばらつきに考慮されるため、本係数では考慮しない。</p> <p>本機器については1次固有周期での比を適用する。</p> <p>以上より、本係数及び不確実さは以下の値とする。</p> $F_1 = 1.22, \beta_r = 0.00, \beta_u = 0.00$ <p>(b) 建屋への入力地震動に関する係数 <math>F_2</math> の評価</p> <p>本係数は、地盤モデルに関する設計上の裕度及び基礎による入力損失に関する設計上の裕度を評価するものである。</p> <p>本評価では、設計地盤モデルは中央値を与えるとみなし、また基礎が地盤を拘束することによる入力損失は考慮しないことから、中央値を1.00とする。</p> <p>不確実さは、建屋の地震応答に関する係数 <math>F_3</math> の不確実さと合わせて評価する。</p>	<p>c. 建屋の応答係数 <math>F_{SR}</math> の評価</p> <p>建屋応答に関する各係数は、第3.2.1.c-3-2表に示す原子炉建屋の応答係数を用いる。</p> <p>(a) 入力地震動のスペクトル形状に関する係数 <math>F_{SS}</math> の評価</p> <p>本係数は、基準地震動のスペクトルの持つ裕度を評価するものであり、第3.2.1.c-3-3図にスペクトル形状係数の概念図を示す。</p> <p>中央値は、基準地震動のスペクトルと一様ハザードスペクトルの建屋の固有周期における比として、次式により評価する。</p> $\text{スペクトル形状係数} = \frac{\text{基準地震動の応答加速度}}{\text{一様ハザードスペクトルの応答加速度}}$ <p>また、不確実さは、地震ハザードにおける距離減衰式等のばらつきに考慮されるため、本係数では考慮しない。</p> <p>本機器については1次固有周期での比を適用する。</p> <p>以上より、本係数及び不確実さは以下の値とする。</p> $F_{SS} = 1.00, \beta_r = 0.00, \beta_u = 0.00$	<p>飯を含め他のPWRプラントでも同様である</p> <p>【大飯】</p> <p>■記載方針の相違</p> <ul style="list-style-type: none"> <li>・女川実績の反映</li> <li>・泊は <math>F_{NL}</math>以外の係数についても説明を記載している</li> </ul> <p>【女川】</p> <p>■記載方針の相違</p> <ul style="list-style-type: none"> <li>・<math>F_{SS}</math>は <math>F_1</math>を細分化したサブ応答係数であり、評価内容に相違はない</li> </ul> <p>【女川】</p> <p>■評価方針の相違</p> <ul style="list-style-type: none"> <li>・泊は機器の固有周期による影響は建屋の非線形応答に関する係数 <math>F_{NL}</math>で考慮している</li> </ul> <p>【女川】</p> <p>■施設構造の相違</p> <ul style="list-style-type: none"> <li>・本係数は、地盤モデルに関する設計上の裕度を評価するものであり、泊は直接入力していることから、考慮不要な係数である（大飯に記載はないが、泊と同様の評価となっている）</li> </ul>

## 泊発電所3号炉 有効性評価 比較表

赤字：設備、運用又は体制の相違（設計方針の相違）  
 青字：記載箇所又は記載内容の相違（記載方針の相違）  
 緑字：記載表現、設備名称の相違（実質的な相違なし）

第37条 付録1 事故シーケンスグループ及び重要事故シーケンス等の選定について  
 別添 3. レベル1PRA 3.2 外部事象 3.2.1 地震 PRA

大飯発電所3／4号炉	女川原子力発電所2号炉	泊発電所3号炉	相違理由
	<p><math>\beta_r</math>は、「地震PSA学会標準」で示される代表プラントにおける床応答スペクトルの不確実さが、おおむね0.2程度であることから0.20とする。</p> <p><math>\beta_u</math>は、解析モデル化誤差等によるものであり、国内文献<sup>*18</sup>に基づき0.15とする。</p> <p>以上より、本係数及び不確実さは以下の値とする。</p> <p><math>F_2 = 1.00, \beta_r = 0.20, \beta_u = 0.15</math> (<math>\beta_r</math>及び<math>\beta_u</math>は<math>F_3</math>と共通)</p> <p>(c) 建屋の地震応答に関する係数<math>F_3</math>の評価</p> <p>本係数は、建屋振動モデルに関する設計上の裕度、地盤－建屋連成系モデルに関する設計上の裕度及び建屋の非線形応答が機器入力に与える裕度を評価するものである。</p> <p>本評価では、建屋振動モデルは過去の地震観測記録との整合を考慮した諸元を使用していること、また一般的に建屋の非線形挙動により線形時よりも応答加速度が低減される傾向にあることから、中央値を1.00とする。</p> <p>不確実さは、建屋への入力地震動に関する係数<math>F_2</math>の不確実さと合わせて評価する。</p> <p>以上より、本係数及び不確実さは以下の値とする。</p> <p><math>F_3 = 1.00, \beta_r = 0.20, \beta_u = 0.15</math> (<math>\beta_r</math>及び<math>\beta_u</math>は<math>F_2</math>と共通)</p>	<p>(b) 建屋の地震応答に関する係数の評価</p> <p>本係数は、建屋振動モデルに関する設計上の裕度、地盤－建屋連成系モデルに関する設計上の裕度及び建屋の非線形応答が機器入力に与える裕度を評価するものである。</p> <ul style="list-style-type: none"> <li>・建屋の減衰に関する係数<math>F_\delta</math>の評価</li> </ul> <p>本係数は、建屋の減衰評価にかかる設計上の保守性及び不確実さを評価するものであり、次式により評価する。</p> $F_\delta = \frac{\text{設計用減衰定数による応答}}{\text{現実的減衰定数の中央値による応答}}$ <p><math>\beta_\delta</math>は、現実的な減衰定数に対する基準応答スペクトル値のばらつきから評価する。</p> <p><math>\beta_u</math>は、地震PSA学会標準に基づき0.00とする。</p> <p>以上より、本係数及び不確実さは以下の値とする。</p> <p><math>F_\delta = 0.99, \beta_r = 0.08, \beta_u = 0.00</math></p> <ul style="list-style-type: none"> <li>・建屋のモデル化に関する係数<math>F_M</math>の評価</li> </ul> <p>本係数は、建屋のモデル化に関する保守性及び不確実さを評価するものであり、次式により評価する。</p> $F_M = \frac{\text{設計用基準モデル1次周期の加速度}}{\text{現実的な建屋の1次周期の加速度}}$	<p>【女川】</p> <ul style="list-style-type: none"> <li>■記載方針の相違                     <ul style="list-style-type: none"> <li>・女川は泊に記載の3つの係数を1つにまとめた記載となつており、評価内容に相違はない</li> </ul> </li> </ul>

## 泊発電所3号炉 有効性評価 比較表

赤字：設備、運用又は体制の相違（設計方針の相違）  
 青字：記載箇所又は記載内容の相違（記載方針の相違）  
 緑字：記載表現、設備名称の相違（実質的な相違なし）

第37条 付録1 事故シーケンスグループ及び重要事故シーケンス等の選定について  
 別添3. レベル1PRA 3.2 外部事象 3.2.1 地震PRA

大飯発電所3／4号炉	女川原子力発電所2号炉	泊発電所3号炉	相違理由																																																
建屋の非線形応答により建屋の入力レベルに応じて床応答スペクトルの長周期側ではスペクトル形状が変動すると考えられ、本係数ではこのスペクトル形状の変動の影響を不確実さとして考慮するため、本係数は以下のとおりとする。  $F_{NL} = 1.0, \beta_R = 0.17, \beta_U = 0.10$		$\beta_r$ は、現実的な建屋の1次周期に対する基準応答スペクトル値のばらつきから評価する。 $\beta_u$ は、国内文献 <sup>*17</sup> に基づき0.15とする。 以上より、本係数及び不確実さは以下の値とする。 $F_{NL} = 0.99, \beta_r = 0.01, \beta_u = 0.15$ <b>・建屋の非線形応答に関する係数<math>F_{NL}</math>の評価</b> 本係数は、建屋の非線形応答が機器入力に与える保守性及び不確実さを評価するものである。 建屋の非線形応答により建屋の入力レベルに応じて床応答スペクトルの長周期側ではスペクトル形状が変動すると考えられ、本係数ではこのスペクトル形状の変動の影響を不確実さとして考慮する。 以上より、本係数及び不確実さは以下の値とする。 $F_{NL} = 1.00, \beta_r = 0.17, \beta_u = 0.10$																																																	
d. 評価結果のまとめ  各係数の評価結果を下表に示す。これらの結果より、伝熱管のフリギリティ加速度の中央値 $A_m$ 、その不確実さ $\beta_R$ ・ $\beta_U$ 及びHCLPFは、以下のとおりとなる。  また、フリギリティ曲線を第1.2.1.c-3-1図に示す。  $A_m = 3.83$ (G) $\beta_R = 0.31, \beta_U = 0.31$ $HCLPF = A_m \times \exp[-1.65 \times (\beta_R + \beta_U)]$ $= 3.83 \times \exp[-1.65 \times (0.31 + 0.31)]$ $= 1.38$ (G)	d. 評価結果のまとめ  各係数の評価結果を第3.2.1.c-2-4表に示す。これらの結果より、制御棒駆動機構ハウジング貫通孔のフリギリティ加速度の中央値 $A_m$ 、その不確実さ $\beta_r$ ・ $\beta_u$ 及びHCLPFは、以下の通りとなる。  また、フリギリティ曲線を第3.2.1.c-2-4図に示す。  $A_m = 4.26$ (G) $\beta_r = 0.24, \beta_u = 0.34$ $HCLPF = A_m \times \exp[-1.65 \times (\beta_r + \beta_u)]$ $= 4.26 \times \exp[-1.65 \times (0.24 + 0.34)]$ $= 1.64$ (G)	d. 評価結果のまとめ  各係数の評価結果を第3.2.1.c-3-4表に示す。これらの結果より、1次冷却材ポンプのフリギリティ加速度の中央値 $A_m$ 、その不確実さ $\beta_r$ ・ $\beta_u$ 及びHCLPFは、以下の通りとなる。  また、フリギリティ曲線を第3.2.1.c-3-4図に示す。  $A_m = 2.23$ (G) $\beta_r = 0.27, \beta_u = 0.27$ $HCLPF = A_m \times \exp[-1.65 \times (\beta_r + \beta_u)]$ $= 2.23 \times \exp[-1.65 \times (0.27 + 0.27)]$ $= 0.93$ (G)																																																	
表 煙気発生器伝熱管 安全係数評価結果の一覧			<b>【大飯】</b> <b>■記載箇所の相違</b> ・女川実績の反映 ・泊は第3.2.1.c-3-4表で整理している  <b>【女川】【大飯】</b> <b>■個別評価による相違</b> ・FV重要度が異なるため、代表																																																
<table border="1"> <thead> <tr> <th rowspan="2"></th> <th colspan="2"><math>F_{EC}</math></th> <th colspan="2"><math>F_{ER}</math></th> <th colspan="2"><math>F_{SS}</math></th> <th rowspan="2">合計</th> </tr> <tr> <th><math>F_r</math></th> <th><math>F_u</math></th> <th><math>F_{rec}</math></th> <th><math>F_w</math></th> <th><math>F_{sh}</math></th> <th><math>F_{con}</math></th> </tr> </thead> <tbody> <tr> <td>中央値</td> <td>2.27</td> <td>2.24</td> <td>1.00</td> <td>1.00</td> <td>1.00</td> <td>1.07</td> <td>0.99</td> <td>1.00</td> <td>1.00</td> <td>3.83</td> </tr> <tr> <td>不確実さ</td> <td><math>\beta_R</math></td> <td>0.00</td> <td>0.19</td> <td>0.00</td> <td>0.00</td> <td>0.15</td> <td>0.00</td> <td>0.09</td> <td>0.00</td> <td>0.17</td> <td>0.31</td> </tr> <tr> <td></td> <td><math>\beta_U</math></td> <td>0.06</td> <td>0.19</td> <td>0.00</td> <td>0.00</td> <td>0.15</td> <td>0.00</td> <td>0.00</td> <td>0.15</td> <td>0.10</td> <td>0.31</td> </tr> </tbody> </table>		$F_{EC}$		$F_{ER}$		$F_{SS}$		合計	$F_r$	$F_u$	$F_{rec}$	$F_w$	$F_{sh}$	$F_{con}$	中央値	2.27	2.24	1.00	1.00	1.00	1.07	0.99	1.00	1.00	3.83	不確実さ	$\beta_R$	0.00	0.19	0.00	0.00	0.15	0.00	0.09	0.00	0.17	0.31		$\beta_U$	0.06	0.19	0.00	0.00	0.15	0.00	0.00	0.15	0.10	0.31		
		$F_{EC}$		$F_{ER}$		$F_{SS}$			合計																																										
	$F_r$	$F_u$	$F_{rec}$	$F_w$	$F_{sh}$	$F_{con}$																																													
中央値	2.27	2.24	1.00	1.00	1.00	1.07	0.99	1.00	1.00	3.83																																									
不確実さ	$\beta_R$	0.00	0.19	0.00	0.00	0.15	0.00	0.09	0.00	0.17	0.31																																								
	$\beta_U$	0.06	0.19	0.00	0.00	0.15	0.00	0.00	0.15	0.10	0.31																																								
(2) 捕機（原子炉捕機冷却水冷却器） 評価対象機器の諸元を以下に示す。	(2) 静的機器（水圧制御ユニット） 評価対象機器の諸元及び耐震評価結果を以下に示す。 ・評価対象機器：水圧制御ユニット	(2) 静的機器（余熱除去冷却器） 評価対象機器の諸元及び耐震評価結果を以下に示す。 ・評価対象機器：余熱除去冷却器																																																	

泊発電所3号炉 有効性評価 比較表

赤字：設備、運用又は体制の相違（設計方針の相違）  
 青字：記載箇所又は記載内容の相違（記載方針の相違）  
 緑字：記載表現、設備名称の相違（実質的な相違なし）

第37条 付録1 事故シーケンスグループ及び重要事故シーケンス等の選定について  
 別添3. レベル1PRA 3.2 外部事象 3.2.1 地震PRA

大飯発電所3／4号炉	女川原子力発電所2号炉	泊発電所3号炉	相違理由																								
<ul style="list-style-type: none"> <li>設置位置：<b>原子炉周辺建屋 E.L. 5.5m</b></li> <li>耐震クラス：S</li> <li>固有振動数：剛</li> <li>評価対象部位<b>及び</b>評価応力：</li> <p>下表の耐震評価結果に示す。          各部位・各評価応力のうち、許容値に対する発生応力の裕度が最小である胴板が、原子炉補機冷却水冷却器の地震時の損傷に支配的であると考えられる。したがって、各安全係数は、原子炉補機冷却水冷却器の胴板に着目して評価する。</p> <table border="1"> <caption>表 原子炉補機冷却水冷却器の耐震性評価結果</caption> <thead> <tr> <th>評価部位</th><th>材 料</th><th>評価応力</th><th>許容値(Su) (N/mm<sup>2</sup>)</th><th>発生応力 (N/mm<sup>2</sup>)</th><th>裕 度</th></tr> </thead> <tbody> <tr> <td>胴板</td><td>SGV410</td><td>1次応力</td><td>385</td><td>161</td><td>2.39</td></tr> <tr> <td>支持脚</td><td>SS400</td><td>組合せ1 次</td><td>386</td><td>37</td><td>10.43</td></tr> <tr> <td>基礎ボルト</td><td>SS400</td><td>引張応力</td><td>400</td><td>102</td><td>3.92</td></tr> </tbody> </table> </ul>	評価部位	材 料	評価応力	許容値(Su) (N/mm <sup>2</sup> )	発生応力 (N/mm <sup>2</sup> )	裕 度	胴板	SGV410	1次応力	385	161	2.39	支持脚	SS400	組合せ1 次	386	37	10.43	基礎ボルト	SS400	引張応力	400	102	3.92	<ul style="list-style-type: none"> <li>設置位置：<b>原子炉建屋 O.P. 6.0m</b></li> <li>耐震クラス：S</li> <li>固有振動数：剛構造</li> <li>評価地震動：最大加速度 <b>1000ガル (S s - 2)</b></li> <li>評価項目：構造損傷（支持機能）</li> <li>評価対象部位：取付ボルト</li> <li>評価応力：引張応力、せん断応力</li> </ul> <p>第3.2.1.c-2-5表に、<b>水圧制御ユニット</b>の耐震評価結果を示す。第3.2.1.c-2-5表をもとにフラジリティを算出した。</p>	<ul style="list-style-type: none"> <li>設置位置：<b>原子炉補助建屋 T.P. 4.1m</b></li> <li>耐震クラス：S</li> <li>固有振動数：剛構造</li> <li>評価地震動：最大加速度 <b>550Gal (S<sub>s1</sub>)</b></li> <li>評価項目：構造損傷（パウンダリ機能）</li> <li>評価対象部位：胴板</li> <li>評価応力：一次応力</li> </ul> <p>第3.2.1.c-3-5表に、<b>余熱除去冷却器</b>の耐震評価結果を示す。第3.2.1.c-3-5表を基にフラジリティを算出した。</p>	機器も異なる
評価部位	材 料	評価応力	許容値(Su) (N/mm <sup>2</sup> )	発生応力 (N/mm <sup>2</sup> )	裕 度																						
胴板	SGV410	1次応力	385	161	2.39																						
支持脚	SS400	組合せ1 次	386	37	10.43																						
基礎ボルト	SS400	引張応力	400	102	3.92																						
<p>a. 機器耐力係数 <math>F_{Ec}</math> の評価</p> <p>(a) 強度に関する係数 <math>F_s</math> の評価</p> <p>本係数は、次式により評価する。</p> $F_s = \frac{\sigma_c - \sigma_N}{\sigma_T - \sigma_N}$ <p>ここで、</p> <p><math>\sigma_c</math>：限界応力の中央値</p> <p><math>\sigma_N</math>：通常運転時応力</p> <p><math>\sigma_T</math>：地震時発生応力</p>	<p>a. 機器の耐力係数 <math>F_{Ec}</math> の評価</p> <p>(a) 強度係数 <math>F_s</math> の評価</p> <p>ボルトの強度係数については、引張応力及びせん断応力に対して次式により評価する。</p> $\left(\frac{\sigma}{\sigma_c}\right)^2 + \left(\frac{\tau}{\tau_c}\right)^2 = \left(\frac{1}{F_{Ec}}\right)^2 + \left(\frac{1}{F_t}\right)^2 = \left(\frac{1}{F_s}\right)^2$ <p>ここで、</p> <p><math>\sigma</math>：引張応力</p> <p><math>\tau</math>：せん断応力</p> <p><math>\sigma_c</math>：限界引張応力の中央値</p> <p><math>\tau_c</math>：限界せん断応力の中央値</p> <p><math>F_{Ec}</math>：引張に対する余裕度</p> <p><math>F_t</math>：せん断に対する余裕度</p>	<p>a. 機器の耐力係数 <math>F_{Ec}</math> の評価</p> <p>(a) 強度係数 <math>F_s</math> の評価</p> <p>本係数は、設計応力に対する限界応力の持つ裕度を評価するものであり、次式により評価する。</p> $F_s = \frac{\sigma_c - \sigma_N}{\sigma_T - \sigma_N}$ <p>ここで、</p> <p><math>\sigma_c</math>：限界応力の中央値</p> <p><math>\sigma_N</math>：通常運転時応力</p> <p><math>\sigma_T</math>：地震時発生応力</p>	<p>【大飯】</p> <p>■記載箇所の相違</p> <ul style="list-style-type: none"> <li>女川実績の反映</li> <li>泊は第3.2.1.c-3-5表で整理している</li> </ul> <p>【女川】</p> <p>■個別評価による相違</p> <ul style="list-style-type: none"> <li>女川では、ボルトの引張及びせん断の組合せに着目して本係数を評価している</li> <li>大飯と泊では、胴板の一次応力に着目して本係数を評価している</li> <li>なお、胴板の一次応力に対する評価については、大飯を含め他のPWRプラントでも同様である</li> </ul>																								

## 泊発電所3号炉 有効性評価 比較表

赤字：設備、運用又は体制の相違（設計方針の相違）  
 青字：記載箇所又は記載内容の相違（記載方針の相違）  
 緑字：記載表現、設備名称の相違（実質的な相違なし）

第37条 付録1 事故シーケンスグループ及び重要事故シーケンス等の選定について  
 別添3. レベル1PRA 3.2 外部事象 3.2.1 地震PRA

大飯発電所3／4号炉	女川原子力発電所2号炉	泊発電所3号炉	相違理由
<p>評価対象部位である胴板の材質はSGV410であることから、限界応力としてJSME 発電用原子力設備規格設計・建設規格（2005年度版）第I編付録材料図表Part5の引張応力<math>S_u = 385\text{N/mm}^2</math>（評価温度65°C）が適用可能であるが、当該設備についてはミルシートにより実機に使用された鋼材の材料試験データ（<math>\sigma_u = \boxed{\phantom{0}}\text{N/mm}^2</math>）があるため、それを限界応力の中央値とする。</p> <p>枠囲みの範囲は機密に係る事項ですので公開することはできません。</p> <p>なお、通常運転時応力は耐震評価の時点で考慮されていないため、0とする。  <math>\sigma = 0\text{ N/mm}^2</math></p> <p>以上より、強度に関する係数<math>F_s</math>は、以下のとおりとなる。  <math>F_s = \sigma_c / \sigma_t = \sigma_u / \sigma_t = \boxed{\phantom{0}} / 161 = \boxed{\phantom{0}}</math></p>	<p>以上より、強度係数<math>F_s</math>は次式により評価する。</p> $F_s = \frac{1}{\sqrt{\left(\frac{1}{F_\sigma}\right)^2 + \left(\frac{1}{F_t}\right)^2}}$ <p>評価対象部位である取付ボルトの材質(SCM435)から、限界応力として「設計・建設規格」の第I編付録材料図表Part5の引張応力<math>S_u = 906\text{N/mm}^2</math>（評価温度：50°C）を採用する。</p> <p>なお、上記規格値に含まれる余裕（<math>S_u</math>値の1.17倍）考慮するとともに、限界引張応力は谷径断面積と呼び徑断面積の比(0.75)を乗じ、限界せん断応力はせん断の許容値に適用する✓3で除した値とする。</p> <p>従って、</p> $\sigma_c = S_u \times 1.17 \times 0.75 = 906 \times 1.17 \times 0.75 = 795\text{N/mm}^2$ $\tau_c = (S_u \times 1.17) / \sqrt{3} = (906 \times 1.17) / \sqrt{3} = 612\text{N/mm}^2$ $F_s = \sigma_c / \sigma = 795 / 286 = 2.78$ $F_t = \tau_c / \tau = 612 / 81 = 7.56$ $F_s = \frac{1}{\sqrt{\left(\frac{1}{F_\sigma}\right)^2 + \left(\frac{1}{F_t}\right)^2}} = \frac{1}{\sqrt{\left(\frac{1}{2.78}\right)^2 + \left(\frac{1}{7.56}\right)^2}} = 2.61$ <p>不確実さ<math>\beta_u</math>として、限界応力における引張応力の中央値1.17×<math>S_u</math>に対して、規格値<math>S_u</math>が99%信頼下限に相当すると考える。</p> $\beta_u = \frac{1}{2.33} \ln \left( \frac{1.17 \times S_u}{S_u} \right) = 0.07$ <p>以上より、本係数及び不確実さは以下の値とする。  <math>F_s = 2.61, \beta_t = 0.00, \beta_u = 0.07</math></p>	<p>評価対象部位である胴板の材質(SGV410)から、限界応力として「設計・建設規格」の第I編付録材料図表Part5の引張応力<math>S_u = 373\text{N/mm}^2</math>（最高使用温度95°C）を採用する。</p> <p>なお、上記規格値に含まれる余裕（<math>S_u</math>値の1.1倍）考慮して限界応力の中央値とする。</p> <p>なお、通常運転時応力は耐震評価の時点で分離して評価されていないため、0とする。  <math>\sigma_s = 0\text{ N/mm}^2</math></p> <p>不確実さ<math>\beta_u</math>として、限界応力の中央値1.1×<math>S_u</math>に対して、JSME値<math>S_u</math>が95%信頼下限に相当すると考える。</p> $\beta_u = \frac{1}{1.65} \ln \left( \frac{1.1 \times S_u}{S_u} \right) = 0.06 \quad (\beta_t = 0)$ <p>以上より、本係数及び不確実さは以下の値とする。  <math>F_s = 5.26, \beta_t = 0.00, \beta_u = 0.06</math></p>	<p>【女川】【大飯】      ■個別評価による相違      ・大飯では、限界応力として、ミルシート値をそのまま使用しており、不確実さも考慮していない      ・女川と泊では、限界応力として規格基準値に含まれる余裕を考慮した値とその余裕に関する不確実さを考慮している      ・泊での余裕の値と不確実さについては、PWR電共研の知見によるものであり、大飯を含め他のPWRプラントでも同様である</p>

## 泊発電所3号炉 有効性評価 比較表

赤字：設備、運用又は体制の相違（設計方針の相違）  
 青字：記載箇所又は記載内容の相違（記載方針の相違）  
 緑字：記載表現、設備名称の相違（実質的な相違なし）

第37条 付録1 事故シーケンスグループ及び重要事故シーケンス等の選定について

別添3. レベル1PRA 3.2 外部事象 3.2.1 地震PRA

大飯発電所3／4号炉	女川原子力発電所2号炉	泊発電所3号炉	相違理由
<p>また、ミルシートにより実機耐力を適用しているため、不確実さは考慮しない。</p> <p><math>\beta_R = \beta_U = 0</math></p> <p>枠囲みの範囲は機密に係る事項ですので公開することはできません</p> <p>A.</p> <p>(b) 塑性エネルギー吸収効果に関する係数 <math>F_\mu</math> 胴板の塑性変形によるエネルギー吸収効果は考慮しない。</p> <p>すなわち、以下のとおりとする <math>F_\mu = 1.0, \beta_R = \beta_U = 0</math></p> <p>b. 機器応答係数 <math>F_{ER}</math></p> <p>(a) 床応答スペクトルの拡幅に関する係数 <math>F_{ESS}</math> 本係数は、設計で用いられる床応答スペクトルの拡幅に含まれる裕度を評価するものであり、次式により評価する。 <math display="block">F_{ESS} = \frac{S_a \text{ (拡幅あり)}}{S_a \text{ (拡幅なし)}}</math></p> <p>ただし、本機器は剛であるため、本係数は考慮しない。</p> <p>以上より、 <math>F_{ESS} = 1.0, \beta_R = \beta_U = 0</math></p>	<p>(b) 塑性エネルギー吸収係数 <math>F_\mu</math> の評価 ボルトの塑性変形は局所的であり、塑性エネルギーの吸収はほとんど期待できないため、塑性変形によるエネルギー吸収効果は考慮しない。</p> <p>以上より、本係数及び不確実さは以下の値とする。 <math>F_\mu = 1.00, \beta_R = 0.00, \beta_U = 0.00</math></p> <p>b. 機器の応答係数 <math>F_{RE}</math> の評価</p> <p>(a) スペクトル形状係数 <math>F_{SA}</math> の評価</p> <p>本機器は剛構造であるため、本係数及び不確実さは以下の値とする。 <math>F_{SA} = 1.00, \beta_R = 0.00, \beta_U = 0.00</math></p>	<p>(b) 塑性エネルギー吸収係数 <math>F_\mu</math> の評価 胴板の塑性変形によるエネルギー吸収効果は考慮しない。</p> <p>以上より、本係数及び不確実さは以下の値とする。 <math>F_\mu = 1.00, \beta_R = 0.00, \beta_U = 0.00</math></p> <p>b. 機器の応答係数 <math>F_{ER}</math> の評価</p> <p>(a) スペクトル形状係数 <math>F_{ESS}</math> の評価</p> <p>本機器は剛であり、最大床応答加速度（ZPA）に設計マージン1.20をかけられているため、これを係数として考慮する。</p> <p>以上より、本係数及び不確実さは以下の値とする。 <math>F_{ESS} = 1.20, \beta_R = 0.00, \beta_U = 0.00</math></p>	<p>【大飯】 ■個別評価による相違 ・大飯では、限界応力として、ミルシート値をそのまま使用しており、不確実さも考慮していない</p> <p>【女川】 ■個別評価による相違 ・女川では、ボルトに対する評価であり、塑性エネルギー吸収が期待できないため、本係数は考慮していない ・大飯と泊では、胴板について保守的な評価として塑性変形によるエネルギー吸収を期待していない ・この扱いは、大飯を含め他のPWRプラントでも同様である</p> <p>【大飯】 ■記載方針の相違 ・泊は床応答スペクトルの拡幅に係る説明は「(1)大型機器」で記載済みであるため記載しない</p> <p>【大飯】 ■個別評価による相違 ・泊の本機器では、耐震評価において最大床応答加速度（ZPA）に設計マージン1.20がかけられているため、これを応答の保守性として本係数で考慮している ・このマージンには不確実さは</p>

## 泊発電所3号炉 有効性評価 比較表

赤字：設備、運用又は体制の相違（設計方針の相違）  
 青字：記載箇所又は記載内容の相違（記載方針の相違）  
 緑字：記載表現、設備名称の相違（実質的な相違なし）

第37条 付録1 事故シーケンスグループ及び重要事故シーケンス等の選定について  
 別添3. レベル1PRA 3.2 外部事象 3.2.1 地震PRA

大飯発電所3／4号炉	女川原子力発電所2号炉	泊発電所3号炉	相違理由
<p>(b) 設計用減衰定数に関する係数 <math>F_D</math>          本係数は、機器の損傷時の減衰定数の中央値に対する設計用減衰定数を持つ裕度を評価するものであり、次式により評価する。</p> $F_D = \frac{S_a \text{ (設計用減衰定数)}}{S_a \text{ (損傷時の減衰定数中央値)}}$ <p>ただし、本機器は剛であるため、本係数は考慮しない。</p> <p><math>F_D=1.0, \beta_r=\beta_u=0</math></p> <p>(c) 機器の解析モデル化に関する係数 <math>F_M</math>          機器の解析モデル化は妥当であり、中央値に相当すると考える。</p> <p>また、原子炉補機冷却水冷却器の耐震評価は、多質点系モデルを用いて行われており、モデル化に関する不確実さ <math>\beta_u</math> は以下の値とする。</p> <p><math>F_M=1.0, \beta_r=0, \beta_u=0.15</math></p>	<p>(b) 減衰係数 <math>F_D</math> の評価          本機器は剛構造であるため、本係数及び不確実さは以下の値とする。</p> <p><math>F_D=1.00, \beta_r=0.00, \beta_u=0.00</math></p> <p>(c) モデル化係数 <math>F_M</math> の評価          本機器は剛構造であるため、本係数及び不確実さは以下の値とする。</p> <p><math>F_M=1.00, \beta_r=0.00, \beta_u=0.00</math></p>	<p>(b) 減衰係数 <math>F_D</math> の評価          本機器は剛構造であるため、本係数及び不確実さは以下の値とする。</p> <p><math>F_D=1.00, \beta_r=0.00, \beta_u=0.00</math></p> <p>(c) モデル化係数 <math>F_M</math> の評価          機器の解析モデル化は妥当であり、中央値に相当すると考える。</p> <p>また、本機器の耐震評価は、1質点系モデルを用いて行われており、不確実さは考慮しない。</p> <p><math>F_M=1.00, \beta_r=0.00, \beta_u=0.00</math></p>	<p>存在しないため <math>\beta_r</math> 及び <math>\beta_u</math> は考慮していない          ・なお、泊の本機器のように耐震評価において最大床応答加速度(ZPA)に設計マージン1.20がかけられている機器については、大飯を含め他のPWRプラントでも同様である          ・大飯と女川では、耐震評価で設計マージンが用いられない機器のため、本係数は考慮していない</p> <p>【大飯】          ■記載方針の相違          ・泊は設計用減衰定数の裕度に係る説明は「(1)大型機器」で記載済みであるため記載しない</p> <p>【大飯】          ■記載表現の相違          【女川】【大飯】          ■評価方針の相違          ・女川では、剛構造であることを理由としてモデル化係数 <math>F_M</math> を考慮していない          ・大飯と泊では、剛構造の機器であっても解析モデルに応じて本係数を評価している          ・大飯では、多質点系モデルによる耐震評価であるため、不確実さについては海外文献値の <math>\beta_u</math> を採用している          ・泊では、1質点系モデルによる耐震評価であり、1質点系モ</p>

## 泊発電所3号炉 有効性評価 比較表

赤字：設備、運用又は体制の相違（設計方針の相違）  
 青字：記載箇所又は記載内容の相違（記載方針の相違）  
 緑字：記載表現、設備名称の相違（実質的な相違なし）

第37条 付録1 事故シーケンスグループ及び重要事故シーケンス等の選定について  
 別添3. レベル1PRA 3.2 外部事象 3.2.1 地震PRA

大飯発電所3／4号炉	女川原子力発電所2号炉	泊発電所3号炉	相違理由
<p>(d) モード合成法に関する係数 <math>F_{EMC}</math>          本機器は剛であるため、本係数及び不確実さは以下の値とする。  <math>F_{EMC}=1.0, \beta_r=\beta_u=0</math></p>	<p>(d) モード合成係数 <math>F_{MC}</math>の評価          本機器は剛構造であるため、本係数及び不確実さは以下の値とする。  <math>F_{MC}=1.00, \beta_r=0.00, \beta_u=0.00</math></p>	<p>(d) モード合成係数 <math>F_{EMC}</math>の評価          本機器は1質点系モデルであるため、本係数及び不確実さは考慮しない。  <math>F_{EMC}=1.00, \beta_r=0.00, \beta_u=0.00</math></p>	<p>デルは、非常に単純で保守的な解析モデルであることから、不確実さを考慮していない          ・なお、1質点系モデルで耐震評価されている機器については、大飯を含め他のPWRプラントでも同様である</p> <p>【女川】【大飯】          ■評価方針の相違          ・剛構造や1質点系モデルの場合には、スペクトルモーダル解析におけるモード合成が発生しないためモード合成係数 <math>F_{EMC}</math>を考慮していない          ・この扱いは、剛構造や1質点系モデルで耐震評価されている機器については、大飯を含め他のPWRプラントでも同様である</p>
<p>c. 建屋応答係数 <math>F_{SR}</math> (建屋非線形応答に関する係数 <math>F_R</math>)          建屋応答に関する各係数のうち建屋非線形応答に関する係数 <math>F_R</math>以外の係数については、第1.2.1.c-3-2表に示す建屋応答係数を用いる。以下では <math>F_R</math>についてのみ示す。</p>	<p>c. 建屋の応答係数 <math>F_{RS}</math>の評価          建屋応答に関する各係数は、第3.2.1.c-2-2表に示す原子炉建屋の応答係数を用いる。</p> <p>(a) 解放基盤表面の地震動に関する係数 <math>F_1</math>の評価          本機器は剛構造であるため、本係数及び不確実さは、原子炉建屋の1次固有周期における応答スペクトルの比を適用し、以下の値とする。  <math>F_1=0.86, \beta_r=0.00, \beta_u=0.00</math></p> <p>(b) 建屋への入力地震動に関する係数 <math>F_2</math>の評価</p>	<p>c. 建屋の応答係数 <math>F_{SR}</math>の評価          建屋応答に関する各係数は、第3.2.1.c-3-2表に示す原子炉補助建屋の応答係数を用いる。</p> <p>(a) 入力地震動のスペクトル形状に関する係数 <math>F_{SS}</math>の評価          本係数及び不確実さは、原子炉補助建屋の1次固有周期における応答スペクトルの比を適用し、以下の値とする。  <math>F_{SS}=1.00, \beta_r=0.00, \beta_u=0.00</math></p>	<p>【大飯】          ■記載方針の相違          ・泊は <math>F_R</math>以外の係数についても説明を記載している</p> <p>【女川】          ■記載方針の相違          ・ <math>F_{SS}</math>は <math>F_1</math>を細分化したサブ応答係数であり、評価内容に相違はない</p> <p>【女川】          ■評価方針の相違          ・ 泊は機器の固有周期による影響は建屋の非線形応答に関する係数 <math>F_R</math>で考慮している</p> <p>【女川】</p>

## 泊発電所3号炉 有効性評価 比較表

第37条 付録1 事故シーケンスグループ及び重要事故シーケンス等の選定について  
別添3. レベル1PRA 3.2 外部事象 3.2.1 地震PRA

赤字：設備、運用又は体制の相違（設計方針の相違）  
青字：記載箇所又は記載内容の相違（記載方針の相違）  
緑字：記載表現、設備名称の相違（実質的な相違なし）

大飯発電所3／4号炉	女川原子力発電所2号炉	泊発電所3号炉	相違理由
<p>建屋の非線形応答により建屋の入力レベルに応じて床応答スペクトルの長周期側ではスペクトル形状が変動すると考えられ、本係数ではこのスペクトル形状の変動の影響を不確実さとして考慮する。ただし、剛領域ではこの変動は小さいため、本係数は考慮せず以下のとおりとする。</p> <p><math>F_{NL}=1.0, \beta_r = \beta_u = 0.0</math></p> <p>d. 評価結果のまとめ</p> <p>各係数の評価結果を下表に示す。これらの結果より、原子炉補機冷却水冷却器のフリギリティ加速度の中央値<math>A_m</math>、その不確実さ<math>\beta_r</math>・<math>\beta_u</math>及びHCLPFは、以下のとおりとなる。</p> <p>また、フリギリティ曲線を第3.2.1.c-3-2図に示す。</p> <p><math>A_m=2.07\text{ (G)}</math>  <math>\beta_r=0.08, \beta_u=0.22</math>  <math>HCLPF=A_m \times \exp[-1.65 \times (\beta_r + \beta_u)]</math>  <math>=2.07 \times \exp[-1.65 \times (0.08+0.22)]</math></p>	<p>本係数及び不確実さは以下の値とする。  <math>F_2=1.00, \beta_r=0.20, \beta_u=0.15</math></p> <p>(c) 建屋の地震応答に関する係数<math>F_3</math>の評価  本係数及び不確実さは以下の値とする。  <math>F_3=1.00, \beta_r=0.20, \beta_u=0.15</math></p> <p>d. 評価結果のまとめ</p> <p>各係数の評価結果を第3.2.1.c-2-6表に示す。これらの結果より、水圧制御ユニットのフリギリティ加速度の中央値<math>A_m</math>、その不確実さ<math>\beta_r</math>・<math>\beta_u</math>及びHCLPFは、以下の通りとなる。</p> <p>また、フリギリティ曲線を第3.2.1.c-2-5図に示す。</p> <p><math>A_m=2.28\text{ (G)}</math>  <math>\beta_r=0.20, \beta_u=0.17</math>  <math>HCLPF=A_m \times \exp[-1.65 \times (\beta_r + \beta_u)]</math>  <math>=2.28 \times \exp[-1.65 \times (0.20+0.17)]</math></p>	<p>(b) 建屋の地震応答に関する係数の評価  ・建屋の減衰に関する係数<math>F_d</math>の評価  本係数及び不確実さは以下の値とする。  <math>F_d=0.99, \beta_r=0.08, \beta_u=0.00</math>  ・建屋のモデル化に関する係数<math>F_M</math>の評価  本係数及び不確実さは以下の値とする。  <math>F_M=0.99, \beta_r=0.01, \beta_u=0.15</math>  ・建屋の非線形応答に関する係数<math>F_{NL}</math>の評価  建屋の非線形応答により建屋の入力レベルに応じて床応答スペクトルの長周期側ではスペクトル形状が変動すると考えられ、本係数ではこのスペクトル形状の変動の影響を不確実さとして考慮する。ただし、剛領域ではこの変動は小さいため、本係数は考慮しない。  以上より、本係数及び不確実さは以下の値とする。  <math>F_{NL}=1.00, \beta_r=0.00, \beta_u=0.00</math></p> <p>d. 評価結果のまとめ</p> <p>各係数の評価結果を第3.2.1.c-3-6表に示す。これらの結果より、余熱除去冷却器のフリギリティ加速度の中央値<math>A_m</math>、その不確実さ<math>\beta_r</math>・<math>\beta_u</math>及びHCLPFは、以下の通りとなる。</p> <p>また、フリギリティ曲線を第3.2.1.c-3-5図に示す。</p> <p><math>A_m=2.29\text{ (G)}</math>  <math>\beta_r=0.09, \beta_u=0.17</math>  <math>HCLPF=A_m \times \exp[-1.65 \times (\beta_r + \beta_u)]</math>  <math>=2.29 \times \exp[-1.65 \times (0.09+0.17)]</math></p>	<p>■施設構造の相違  ・本係数は、地盤モデルに関する設計上の裕度を評価するものであり、泊は直接入力としていることから、考慮不要な係数である（大飯に記載はないが、泊と同様の評価となっている）</p> <p>【女川】</p> <p>■記載方針の相違  ・女川は泊に記載の3つの係数を1つにまとめた記載となつており、評価内容に相違はない</p>

## 泊発電所3号炉 有効性評価 比較表

赤字：設備、運用又は体制の相違（設計方針の相違）  
 青字：記載箇所又は記載内容の相違（記載方針の相違）  
 緑字：記載表現、設備名称の相違（実質的な相違なし）

第37条 付録1 事故シーケンスグループ及び重要事故シーケンス等の選定について  
 別添3. レベル1PRA 3.2 外部事象 3.2.1 地震PRA

大飯発電所3／4号炉	女川原子力発電所2号炉	泊発電所3号炉	相違理由																																																
=1.27(G)	=1.24 (G)	=1.53 (G)	【大飯】 ■記載箇所の相違 ・女川実績の反映 ・泊は第3.2.1.c-3-6表で整理している																																																
表 原子炉補機冷却水冷却器 安全係数評価結果の一覧																																																			
<table border="1"> <thead> <tr> <th rowspan="2"></th> <th colspan="2">F<sub>EC</sub></th> <th colspan="2">F<sub>ER</sub></th> <th colspan="2">F<sub>EE</sub></th> <th colspan="2">F<sub>EM</sub></th> <th rowspan="2">合計</th> </tr> <tr> <th>F<sub>s</sub></th> <th>F<sub>u</sub></th> <th>F<sub>ms</sub></th> <th>F<sub>m</sub></th> <th>F<sub>me</sub></th> <th>F<sub>se</sub></th> <th>F<sub>s</sub></th> <th>F<sub>u</sub></th> </tr> </thead> <tbody> <tr> <td>中央値</td> <td>1.00</td> <td>1.00</td> <td>1.00</td> <td>1.00</td> <td>1.00</td> <td>1.07</td> <td>0.99</td> <td>1.00</td> <td>2.07</td> </tr> <tr> <td>不確実さ</td> <td><math>\mu_u</math></td> <td>0.00</td> <td>0.00</td> <td>0.00</td> <td>0.00</td> <td>0.00</td> <td>0.08</td> <td>0.00</td> <td>0.08</td> </tr> <tr> <td></td> <td><math>\mu_U</math></td> <td>0.00</td> <td>0.00</td> <td>0.00</td> <td>0.00</td> <td>0.15</td> <td>0.00</td> <td>0.00</td> <td>0.22</td> </tr> </tbody> </table>		F <sub>EC</sub>		F <sub>ER</sub>		F <sub>EE</sub>		F <sub>EM</sub>		合計	F <sub>s</sub>	F <sub>u</sub>	F <sub>ms</sub>	F <sub>m</sub>	F <sub>me</sub>	F <sub>se</sub>	F <sub>s</sub>	F <sub>u</sub>	中央値	1.00	1.00	1.00	1.00	1.00	1.07	0.99	1.00	2.07	不確実さ	$\mu_u$	0.00	0.00	0.00	0.00	0.00	0.08	0.00	0.08		$\mu_U$	0.00	0.00	0.00	0.00	0.15	0.00	0.00	0.22			
		F <sub>EC</sub>		F <sub>ER</sub>		F <sub>EE</sub>		F <sub>EM</sub>			合計																																								
	F <sub>s</sub>	F <sub>u</sub>	F <sub>ms</sub>	F <sub>m</sub>	F <sub>me</sub>	F <sub>se</sub>	F <sub>s</sub>	F <sub>u</sub>																																											
中央値	1.00	1.00	1.00	1.00	1.00	1.07	0.99	1.00	2.07																																										
不確実さ	$\mu_u$	0.00	0.00	0.00	0.00	0.00	0.08	0.00	0.08																																										
	$\mu_U$	0.00	0.00	0.00	0.00	0.15	0.00	0.00	0.22																																										
枠囲みの範囲は機密に係る事項ですので公開することはできません。																																																			
(4) 動的機器（内燃機関（ディーゼル発電機））	(3) 動的機器（ディーゼル機関）	(3) 動的機器（内燃機関（ディーゼル発電機））	【大飯】 ・泊の構成に合わせて大飯の「(3)電気盤」と「(4)動的機器」の記載順序を入れ替えている 【女川】 ■記載表現の相違 ・ディーゼル機関⇒内燃機関（ディーゼル発電機） 【大飯】 ■付番の相違 ・女川実績の反映による項目番号の相違																																																
評価対象機器の諸元を以下に示す。	評価対象機器の諸元及び耐震評価結果を以下に示す。 ・評価対象機器：非常用ディーゼル発電設備ディーゼル機関 ・設置位置：原子炉周辺建屋 E.L. 10.0m ・耐震クラス：S ・固有振動数：水平、上下とも30Hz 以上	評価対象機器の諸元及び耐震評価結果を以下に示す。 ・評価対象機器：内燃機関（ディーゼル発電機） ・設置位置：ディーゼル発電機建屋 T.P. 10.3m ・耐震クラス：S ・固有振動数：剛構造 ・評価地震動：最大加速度 1000ガル (S <sub>s-2</sub> ) ・評価項目：機能損傷（動的機能） 第3.2.1.c-2-7表に、非常用ディーゼル発電設備ディーゼル機関の耐震評価結果を示す。第3.2.1.c-2-7表をもとにフラジリティを算出した。	【女川】 ■設計の相違 【大飯】 ■記載箇所の相違 ・女川実績の反映 ・泊は第3.2.1.c-3-7表で整理している 【大飯】 ■記載表現の相違 ・ポンプ及びディーゼル類について、水平方向と上下方向の同時入力が、機能維持に対して与える影響が否定できないため、水																																																
・基準地震動Ssに対する設置床面のZPA： 水平方向0.77G、上下方向0.51G→SRSS=0.924G		評価対象機器の諸元及び耐震評価結果を以下に示す。 ・評価対象機器：内燃機関（ディーゼル発電機） ・設置位置：ディーゼル発電機建屋 T.P. 10.3m ・耐震クラス：S ・固有振動数：剛構造 ・評価地震動：最大加速度 620Gal (S <sub>s3-4</sub> ) ・評価項目：機能損傷（動的機能） 第3.2.1.c-3-7表に、ディーゼル発電設備内燃機関の耐震評価結果を示す。第3.2.1.c-3-7表を基にフラジリティを算出した。	【大飯】 ■記載箇所の相違 ・女川実績の反映 ・泊は第3.2.1.c-3-7表で整理している 【女川】 ■評価方針の相違																																																
ポンプ及びディーゼル類については、水平方向と上下方向の同時入力が、機能維持に対して与える影響が否定できないため、水		ポンプ及びディーゼル類については、水平方向と上下方向の同時入力が、機能維持に対して与える影響が否定できないため、水																																																	

## 泊発電所3号炉 有効性評価 比較表

赤字：設備、運用又は体制の相違（設計方針の相違）  
 青字：記載箇所又は記載内容の相違（記載方針の相違）  
 緑字：記載表現、設備名称の相違（実質的な相違なし）

第37条 付録1 事故シーケンスグループ及び重要事故シーケンス等の選定について  
 別添3 レベル1PRA 3.2 外部事象 3.2.1 地震 PRA

大飯発電所3／4号炉	女川原子力発電所2号炉	泊発電所3号炉	相違理由
<p>平方向と上下方向の入力加速度を二乗和平方根(SRSS)により合成するものとする。</p> <ul style="list-style-type: none"> <li>機能維持確認済加速度： 水平方向1.7G、上下方向1.0G→SRSS=1.97G</li> </ul>	<p>a. 機器耐力係数 <math>F_{Ec}</math> の評価</p> <p>(a) 強度に関する係数 <math>F_s</math> の評価</p> <p>本係数は下記の式で算出する。</p> $F_s = \frac{\text{損傷加速度中央値}}{\text{応答加速度}}$ <p>・損傷加速度中央値について ディーゼル機関のように、構造強度に加え動的機能維持が必要な機器は、試験加速度（機能維持確認済加速度等）に基づきフラジリティ評価を行う。 フラジリティ評価のベースとする試験加速度レベルでは誤動作・損傷が見られないことから、損傷加速度のHCLPF=試験加速度とする。また、誤動作・損傷に対する損傷加速度中央値 <math>A_m</math> をHCLPFから下記のように推定する。</p>	<p>平方向と上下方向の入力加速度を二乗和平方根(SRSS)により合成するものとする。</p> <ul style="list-style-type: none"> <li>機能維持確認済加速度： 水平方向10.7m/s<sup>2</sup>、上下方向9.80m/s<sup>2</sup>→SRSS=14.51m/s<sup>2</sup></li> </ul>	<ul style="list-style-type: none"> <li>女川では1方向のみに着目した評価としているが、PWRでは回転機器に対しては水平・上下が合成された入力による影響を考慮している大飯と比較する</li> </ul> <p>【大飯】</p> <p>■個別評価による相違</p>
<p>ポンプ及びディーゼル類のように、構造強度のみでなく動的機能維持が必要な機器については、試験加速度（機能確認済加速度等）に基づきフラジリティ評価を行う。</p> <p>この場合、電気盤類と同様にフラジリティ評価のベースとする試験加速度レベルでは誤動作・損傷が見られないことから、<math>\beta</math> 設定法に基づき損傷加速度の中央値の推定を行うことができる。</p> <p>〔<math>\beta</math> 設定法の概要〕を比較するため、別添3-3.2-3.2.1-45ページ（点線部分）を再掲している</p> <p>〔<math>\beta</math> 設定法の概要〕</p> <p>フラジリティ評価において、HCLPFは次式により評価される。</p> $HCLPF = A_m \times \exp(-1.65 \times (\beta_r + \beta_u))$ <p>ここで、<math>A_m</math>：フラジリティ加速度の中央値 上式より、 <math>A_m = HCLPF \times \exp(1.65 \times (\beta_r + \beta_u))</math> これと同様に、加振試験における損傷加速度の中央値とHCLPFの関係は次式により表される。 損傷加速度中央値 = 損傷加速度のHCLPF × exp(1.65 ×</p>	<p>〔<math>\beta</math> 設定法の概要〕を比較するため、別添3-3.2-3.2.1-45ページ（点線部分）を再掲している</p> <p>〔<math>\beta</math> 設定法の概要〕</p> <p>フラジリティ評価において、HCLPFは次式により評価される。</p> $HCLPF = A_m \times \exp(-1.65 \times (\beta_r + \beta_u))$ <p>上式より、 <math>A_m = HCLPF \times \exp(1.65 \times (\beta_r + \beta_u))</math> これと同様に、加振試験における損傷加速度中央値と損傷加速度のHCLPFの関係は次式により表される。 損傷加速度中央値 = 損傷加速度のHCLPF × exp(1.65 ×</p>	<p>〔<math>\beta</math> 設定法の概要〕</p> <p>フラジリティ評価において、HCLPFは次式により評価される。</p> $HCLPF = A_m \times \exp(-1.65 \times (\beta_r + \beta_u))$ <p>上式より、 <math>A_m = HCLPF \times \exp(1.65 \times (\beta_r + \beta_u))</math> これと同様に、加振試験における損傷加速度中央値と損傷加速度のHCLPFの関係は次式により表される。 損傷加速度中央値 = 損傷加速度のHCLPF × exp(1.65 ×</p>	<ul style="list-style-type: none"> <li>女川では、機能維持確認加速度から、工学的判断で損傷限界値を定めて、<math>F_s</math> と不確実さを評価している</li> <li>大飯と泊では、機能維持確認加速度から、工学的判断で損傷限界値に関する不確実さを定めて、損傷限界値と <math>F_s</math> を評価している</li> <li>なお、動的機器については、大飯を含め他のPWRプラントでも同様である</li> </ul>

## 泊発電所3号炉 有効性評価 比較表

第37条 付録1 事故シーケンスグループ及び重要事故シーケンス等の選定について  
別添3. レベル1PRA 3.2 外部事象 3.2.1 地震PRA

赤字：設備、運用又は体制の相違（設計方針の相違）  
青字：記載箇所又は記載内容の相違（記載方針の相違）  
緑字：記載表現、設備名称の相違（実質的な相違なし）

大飯発電所3／4号炉	女川原子力発電所2号炉	泊発電所3号炉	相違理由
$\exp(1.65 \times (\beta_R + \beta_U))$ したがって、損傷加速度のHCLPFを試験加速度とし、不確実さ $\beta_R$ 、 $\beta_U$ を与えることにより、損傷加速度の中央値を推定できる。  なお、ポンプ及びディーゼル等の動的機器に関する誤動作等の不確実さデータの知見は現状得られていないため、電気盤類の評価で用いた電気品の誤動作に関する不確実さよりも小さいと仮定し、 $\beta_R = \beta_U = 0.10$ とする。 ここで、この $\beta$ 設定法は、従来一般的に試験加速度として用いられてきた機能確認済加速度が、実際に誤動作等が生じる加速度レベルに対して十分に安全側との考え方から適用されているものである。 以上から、内燃機関の損傷加速度の中央値は、 $\beta$ 設定法に基づき以下のとおりとなる。 $\text{損傷加速度の中央値} = \text{試験加速度} \times \exp(1.65 \times (\beta_R + \beta_U))$ $= 1.97 \times \exp(1.65 \times (0.10 + 0.10)) =$ $2.74G$	$(\beta_r + \beta_u))$ 従って、 “損傷加速度のHCLPF=試験加速度” とし、不確実さ $\beta_r$ 及び $\beta_u$ を与えることにより、損傷加速度中央値を推定できる。  $A_m = HCLPF / 0.9$ $= 3.3 / 0.9$ $= 3.67 (G)$ 不確実さは、 $A_m$ とHCLPFより求める。 $A_m$ とHCLPFの関係は以下のとおりである。 $A_m = HCLPF \times \exp(1.65 \times (\beta_r + \beta_u))$ $\beta_r$ と $\beta_u$ は同程度と考え、 $\beta_r = \beta_u$ とする。  以上より、本係数及び不確実さは以下の値とする。 $F_S = \frac{\text{損傷加速度中央値}}{\text{応答加速度}} = \frac{3.67}{1.61} = 2.28$ $\beta_r = 0.03, \beta_u = 0.03$	$(\beta_r + \beta_u))$ したがって、 “損傷加速度のHCLPF=試験加速度” とし、不確実さ $\beta_r$ 及び $\beta_u$ を与えることにより、損傷加速度中央値を推定できる。  $A_m = HCLPF / 0.9$ $= 3.3 / 0.9$ $= 3.67 (G)$ 不確実さは、 $A_m$ とHCLPFより求める。 $A_m$ とHCLPFの関係は以下のとおりである。 $A_m = HCLPF \times \exp(1.65 \times (\beta_r + \beta_u))$ $\beta_r$ と $\beta_u$ は同程度と考え、 $\beta_r = \beta_u$ とする。  以上より、本係数及び不確実さは以下の値とする。 $F_S = \frac{\text{損傷加速度中央値}}{\text{応答加速度}} = \frac{20.18}{7.409} = 2.72$ $\beta_r = 0.10, \beta_u = 0.10$	<p>【女川】 ■記載表現の相違 ・従って⇒したがって (以下、相違理由説明を省略)</p> <p>【大飯】 ■記載表現の相違</p>
(b) 塑性エネルギー吸収効果に関する係数 ポンプ及びディーゼルのような動的機器については、弹性範囲内で誤動作が生じることが否定できないため、本係数は考慮しない。 $F_\mu = 1.0, \beta_R = \beta_U = 0$	(b) 塑性エネルギー吸収係数 $F_\mu$ の評価 本機器のような動的機器については、弹性範囲内で誤動作が生じることが否定できないため、本係数及び不確実さは以下の値とする。 $F_\mu = 1.00, \beta_r = 0.00, \beta_u = 0.00$	(b) 塑性エネルギー吸収係数 $F_\mu$ の評価 本機器のような動的機器については、弹性範囲内で誤動作が生じることが否定できないため、本係数及び不確実さは以下の値とする。 $F_\mu = 1.00, \beta_r = 0.00, \beta_u = 0.00$	
b. 機器応答係数 $F_{RE}$	b. 機器の応答係数 $F_{RE}$ の評価	b. 機器の応答係数 $F_{RE}$ の評価	

## 泊発電所3号炉 有効性評価 比較表

赤字：設備、運用又は体制の相違（設計方針の相違）  
 青字：記載箇所又は記載内容の相違（記載方針の相違）  
 緑字：記載表現、設備名称の相違（実質的な相違なし）

第37条 付録1 事故シーケンスグループ及び重要事故シーケンス等の選定について  
 別添3 レベル1PRA 3.2 外部事象 3.2.1 地震 PRA

大飯発電所3／4号炉	女川原子力発電所2号炉	泊発電所3号炉	相違理由
<p>実機の加振試験に基づき <math>F_{EC}</math> を評価していることから、機器応答に関する裕度及び不確実さはすべて加振試験において考慮されていることになる。また、耐震評価におけるポンプ及びディーゼル類の機能維持評価では、ZPAを1.2倍することも行われていない。</p> <p>(a) スペクトル形状係数 <math>F_{SA}</math> の評価          本機器は剛構造であるため、本係数及び不確実さは以下の値とする。  <math>F_{SA}=1.00, \beta_r=0.00, \beta_u=0.00</math></p> <p>(b) 減衰係数 <math>F_D</math> の評価          本機器は剛構造であるため、本係数及び不確実さは以下の値とする。  <math>F_D=1.00, \beta_r=0.00, \beta_u=0.00</math></p> <p>(c) モデル化係数 <math>F_M</math> の評価          本機器は剛構造であるため、本係数及び不確実さは以下の値とする。  <math>F_M=1.00, \beta_r=0.00, \beta_u=0.00</math></p> <p>(d) モード合成係数 <math>F_{MC}</math> の評価          本機器は剛構造であるため、本係数及び不確実さは以下の値とする。  <math>F_{MC}=1.00, \beta_r=0.00, \beta_u=0.00</math></p>	<p>(a) スペクトル形状係数 <math>F_{ESS}</math> の評価          本機器は剛構造であるため、本係数及び不確実さは以下の値とする。  <math>F_{ESS}=1.00, \beta_r=0.00, \beta_u=0.00</math></p> <p>(b) 減衰係数 <math>F_D</math> の評価          本機器は剛構造であるため、本係数及び不確実さは以下の値とする。  <math>F_D=1.00, \beta_r=0.00, \beta_u=0.00</math></p> <p>(c) モデル化係数 <math>F_{EM}</math> の評価          機器の解析モデル化は妥当であり、中央値に相当すると考える。          また、本機器の耐震評価は、1質点系モデルを用いて行われており、不確実さは考慮しない。  <math>F_{EM}=1.00, \beta_r=0.00, \beta_u=0.00</math></p> <p>(d) モード合成係数 <math>F_{EMC}</math> の評価          本機器は1質点系モデルであるため、本係数及び不確実さは以下の値とする。  <math>F_{EMC}=1.00, \beta_r=0.00, \beta_u=0.00</math></p>	<p>(a) スペクトル形状係数 <math>F_{ESS}</math> の評価          本機器は剛構造であるため、本係数及び不確実さは以下の値とする。  <math>F_{ESS}=1.00, \beta_r=0.00, \beta_u=0.00</math></p> <p>(b) 減衰係数 <math>F_D</math> の評価          本機器は剛構造であるため、本係数及び不確実さは以下の値とする。  <math>F_D=1.00, \beta_r=0.00, \beta_u=0.00</math></p> <p>(c) モデル化係数 <math>F_{EM}</math> の評価          機器の解析モデル化は妥当であり、中央値に相当すると考える。          また、本機器の耐震評価は、1質点系モデルを用いて行われており、不確実さは考慮しない。  <math>F_{EM}=1.00, \beta_r=0.00, \beta_u=0.00</math></p> <p>(d) モード合成係数 <math>F_{EMC}</math> の評価          本機器は1質点系モデルであるため、本係数及び不確実さは以下の値とする。  <math>F_{EMC}=1.00, \beta_r=0.00, \beta_u=0.00</math></p>	<p>【大飯】          ■記載方針の相違          ・大飯は泊に記載の4つの係数を1つにまとめた記載となっているが、係数の設定の考え方は同じであり、評価内容に相違はない</p> <p>【女川】          ■評価方針の相違          ・女川では、剛構造であること的理由としてモデル化係数 <math>F_E</math> <math>M</math> を考慮していない          ・大飯と泊では、剛構造の機器であっても解析モデルに応じて本係数を評価している          ・泊では、1質点系モデルによる耐震評価であり、1質点系モデルは、非常に単純で保守的な解析モデルであることから、不確実さを考慮していない          ・なお、1質点系モデルで耐震評価されている機器については、大飯を含め他のPWRプラントでも同様である</p> <p>【女川】          ■評価方針の相違          ・剛構造や1質点系モデルの場合には、スペクトルモーダル解析におけるモード合成が発生しないためモード合成係数 <math>F_E</math> <math>MC</math> を考慮していない          ・なお、剛構造や1質点系モデ</p>

## 泊発電所3号炉 有効性評価 比較表

赤字：設備、運用又は体制の相違（設計方針の相違）  
 青字：記載箇所又は記載内容の相違（記載方針の相違）  
 緑字：記載表現、設備名称の相違（実質的な相違なし）

第37条 付録1 事故シーケンスグループ及び重要事故シーケンス等の選定について  
 別添3 レベル1PRA 3.2 外部事象 3.2.1 地震PRA

大飯発電所3／4号炉	女川原子力発電所2号炉	泊発電所3号炉	相違理由
<p>したがって、機器応答係数<math>F_{ER}</math>は以下のとおりとする。</p> <p><math>F_{ER}=1.0, \beta_r=\beta_u=0</math></p>	<p>c. 建屋応答係数<math>F_{SR}</math>（建屋非線形応答に関する係数<math>F_{Rg}</math>）</p> <p>建屋応答に関する各係数のうち建屋非線形応答に関する係数<math>F_{Rg}</math>以外の係数については、第1.2.1.c-3-2表に示す建屋応答係数を用いる。以下では<math>F_{Rg}</math>についてのみ示す。</p>	<p>c. 建屋の応答係数<math>F_{RS}</math>の評価</p> <p>建屋応答に関する各係数は、第3.2.1.c-2-2表に示す原子炉建屋の建屋応答係数を用いる。</p> <p>(a) 解放基盤表面の地震動に関する係数<math>F_1</math>の評価</p> <p>本機器は剛構造であるため、本係数及び不確実さは、原子炉建屋の1次固有周期における応答スペクトルの比を適用し、以下の値とする。</p> <p><math>F_1=0.86, \beta_r=0.00, \beta_u=0.00</math></p> <p>(b) 建屋への入力地震動に関する係数<math>F_2</math>の評価</p> <p>本係数及び不確実さは以下の値とする。</p> <p><math>F_2=1.00, \beta_r=0.20, \beta_u=0.15</math></p> <p>(c) 建屋の地震応答に関する係数<math>F_3</math>の評価</p> <p>本係数及び不確実さは以下の値とする。</p> <p><math>F_3=1.00, \beta_r=0.20, \beta_u=0.15</math></p>	<p>ルで耐震評価されている機器については、大飯を含め他のPWRプラントでも同様である</p> <p>【大飯】</p> <p>■記載方針の相違</p> <ul style="list-style-type: none"> <li>・大飯は泊に記載の4つの係数を1つにまとめた記載となっているが、係数の設定の考え方は同じであり、評価内容に相違はない</li> </ul> <p>【大飯】</p> <p>■記載方針の相違</p> <ul style="list-style-type: none"> <li>・泊は<math>F_{Rg}</math>以外の係数についても説明を記載している</li> </ul> <p>【女川】</p> <p>■記載方針の相違</p> <ul style="list-style-type: none"> <li>・<math>F_{SS}</math>は<math>F_1</math>を細分化したサブ応答係数であり、評価内容に相違はない</li> </ul> <p>【女川】</p> <p>■評価方針の相違</p> <ul style="list-style-type: none"> <li>・泊は機器の固有周期による影響は建屋の非線形応答に関する係数<math>F_{Rg}</math>で考慮している</li> </ul> <p>【女川】</p> <p>■施設構造の相違</p> <ul style="list-style-type: none"> <li>・本係数は、地盤モデルに関する設計上の裕度を評価するものであり、泊は直接入力としていることから、考慮不要な係数である（大飯に記載はないが、泊と同様の評価となっている）</li> </ul> <p>【女川】</p> <p>■記載方針の相違</p> <ul style="list-style-type: none"> <li>・女川は泊に記載の3つの係数</li> </ul>

## 泊発電所3号炉 有効性評価 比較表

第37条 付録1 事故シーケンスグループ及び重要事故シーケンス等の選定について  
別添 3. レベル1PRA 3.2 外部事象 3.2.1 地震PRA

赤字：設備、運用又は体制の相違（設計方針の相違）  
青字：記載箇所又は記載内容の相違（記載方針の相違）  
緑字：記載表現、設備名称の相違（実質的な相違なし）

大飯発電所3／4号炉	女川原子力発電所2号炉	泊発電所3号炉	相違理由
<p>建屋の非線形応答により建屋の入力レベルに応じて床応答スペクトルの長周期側ではスペクトル形状が変動すると考えられ、本係数ではこのスペクトル形状の変動の影響を不確実さとして考慮する。</p> <p>ここで、試験加速度は最大加速度(ZPA)ベースであるが、ZPAについては建屋の非線形応答による加速度レベルに応じた変動は小さく、むしろ線形応答に比較した場合は、加速度レベルが上がるにしたがい低減する傾向にあると考えられる。</p> <p>ただし、このような低減については現状有効なデータはないため、安全側に本係数は考慮せず、以下のとおりとする。</p> <p><math>F_{NL}=1.0, \beta_r=\beta_u=0</math></p> <p>d. 評価結果のまとめ</p> <p>各係数の評価結果を下表に示す。これらの結果より、内燃機関のフライギリティ加速度の中央値<math>A_m</math>、その不確実さ<math>\beta_r</math>・<math>\beta_u</math>及びHCLPFは、以下のとおりとなる。また、フライギリティ曲線を第1.2.1.c-3-4図に示す。</p> <p><math>A_m=2.24\text{ (G)}</math>  <math>\beta_r=0.14, \beta_u=0.19</math>  <math>HCLPF=A_m \times \exp[-1.65 \times (\beta_r + \beta_u)]</math>  <math>=2.24 \times \exp[-1.65 \times (0.14+0.19)]</math>  <math>=1.29\text{ (G)}</math></p>	<p>d. 評価結果のまとめ</p> <p>各係数の評価結果を第3.2.1.c-2-8表に示す。これらの結果より、ディーゼル機関のフライギリティ加速度の中央値<math>A_m</math>、その不確実さ<math>\beta_r</math>・<math>\beta_u</math>及びHCLPFは、以下の通りとなる。</p> <p>また、フライギリティ曲線を第3.2.1.c-2-6図に示す。</p> <p><math>A_m=2.00\text{ (G)}</math>  <math>\beta_r=0.20, \beta_u=0.15</math>  <math>HCLPF=A_m \times \exp[-1.65 \times (\beta_r + \beta_u)]</math>  <math>=2.00 \times \exp[-1.65 \times (0.20+0.15)]</math>  <math>=1.12\text{ (G)}</math></p>	<ul style="list-style-type: none"> <li>建屋の減衰に関する係数<math>F_d</math>の評価 本係数及び不確実さは以下の値とする。 <math>F_d=0.99, \beta_r=0.07, \beta_u=0.00</math></li> <li>建屋のモデル化に関する係数<math>F_M</math>の評価 本係数及び不確実さは以下の値とする。 <math>F_M=1.03, \beta_r=0.01, \beta_u=0.15</math></li> <li>建屋の非線形応答に関する係数<math>F_{NL}</math>の評価 建屋の非線形応答により建屋の入力レベルに応じて床応答スペクトルの長周期側ではスペクトル形状が変動すると考えられ、本係数ではこのスペクトル形状の変動の影響を不確実さとして考慮する。ただし、剛領域ではこの変動は小さいため、本係数は考慮しない。</li> </ul> <p>以上より、本係数及び不確実さは以下の値とする。  <math>F_{NL}=1.00, \beta_r=0.00, \beta_u=0.00</math></p> <p>d. 評価結果のまとめ</p> <p>各係数の評価結果を第3.2.1.c-3-8表に示す。これらの結果より、内燃機関のフライギリティ加速度の中央値<math>A_m</math>、その不確実さ<math>\beta_r</math>・<math>\beta_u</math>及びHCLPFは、以下の通りとなる。</p> <p>また、フライギリティ曲線を第3.2.1.c-3-6図に示す。</p> <p><math>A_m=1.63\text{ (G)}</math>  <math>\beta_r=0.13, \beta_u=0.19</math>  <math>HCLPF=A_m \times \exp[-1.65 \times (\beta_r + \beta_u)]</math>  <math>=1.63 \times \exp[-1.65 \times (0.13+0.19)]</math>  <math>=0.99\text{ (G)}</math></p>	<p>を1つにまとめた記載となつており、評価内容に相違はない</p> <p>【大飯】</p> <p>■記載方針の相違</p> <p>・大飯と同様であるが、泊は他の箇所との記載の整合のため記載しない</p>

## 泊発電所3号炉 有効性評価 比較表

赤字：設備、運用又は体制の相違（設計方針の相違）  
 青字：記載箇所又は記載内容の相違（記載方針の相違）  
 緑字：記載表現、設備名称の相違（実質的な相違なし）

第37条 付録1 事故シーケンスグループ及び重要事故シーケンス等の選定について  
 別添3. レベル1PRA 3.2 外部事象 3.2.1 地震PRA

大飯発電所3／4号炉										女川原子力発電所2号炉	泊発電所3号炉	相違理由																																																																						
表 内燃機関 安全係数評価結果一覧																																																																																		
<table border="1" style="width: 100%; border-collapse: collapse;"> <thead> <tr> <th colspan="2"></th> <th colspan="2">F<sub>EC</sub></th> <th colspan="2">F<sub>ER</sub></th> <th colspan="2">F<sub>ea</sub></th> <th colspan="2">F<sub>eu</sub></th> <th colspan="2">F<sub>ea</sub></th> <th colspan="2">合計</th> </tr> <tr> <th colspan="2"></th> <th>F<sub>a</sub></th> <th>F<sub>u</sub></th> <th>F<sub>ea</sub></th> <th>F<sub>u</sub></th> <th>F<sub>eu</sub></th> <th>F<sub>ea</sub></th> <th>F<sub>eu</sub></th> <th>F<sub>ea</sub></th> <th>F<sub>eu</sub></th> <th>F<sub>ea</sub></th> <th>F<sub>eu</sub></th> <th>合計</th> </tr> </thead> <tbody> <tr> <td colspan="2">中央張</td><td>2.97</td><td>1.00</td><td>1.00</td><td>1.00</td><td>1.00</td><td>1.07</td><td>0.99</td><td>1.00</td><td>1.00</td><td>2.24</td><td></td><td></td></tr> <tr> <td rowspan="2">不確実さ</td><td>β<sub>a</sub></td><td>0.10</td><td>0.00</td><td>0.00</td><td>0.00</td><td>0.00</td><td>0.00</td><td>0.09</td><td>0.00</td><td>0.00</td><td>0.14</td><td></td><td></td></tr> <tr> <td>β<sub>u</sub></td><td>0.10</td><td>0.00</td><td>0.00</td><td>0.00</td><td>0.00</td><td>0.00</td><td>0.00</td><td>0.15</td><td>0.00</td><td>0.19</td><td></td><td></td></tr> </tbody> </table>																F <sub>EC</sub>		F <sub>ER</sub>		F <sub>ea</sub>		F <sub>eu</sub>		F <sub>ea</sub>		合計				F <sub>a</sub>	F <sub>u</sub>	F <sub>ea</sub>	F <sub>u</sub>	F <sub>eu</sub>	F <sub>ea</sub>	F <sub>eu</sub>	F <sub>ea</sub>	F <sub>eu</sub>	F <sub>ea</sub>	F <sub>eu</sub>	合計	中央張		2.97	1.00	1.00	1.00	1.00	1.07	0.99	1.00	1.00	2.24			不確実さ	β <sub>a</sub>	0.10	0.00	0.00	0.00	0.00	0.00	0.09	0.00	0.00	0.14			β <sub>u</sub>	0.10	0.00	0.00	0.00	0.00	0.00	0.00	0.15	0.00	0.19		
		F <sub>EC</sub>		F <sub>ER</sub>		F <sub>ea</sub>		F <sub>eu</sub>		F <sub>ea</sub>		合計																																																																						
		F <sub>a</sub>	F <sub>u</sub>	F <sub>ea</sub>	F <sub>u</sub>	F <sub>eu</sub>	F <sub>ea</sub>	F <sub>eu</sub>	F <sub>ea</sub>	F <sub>eu</sub>	F <sub>ea</sub>	F <sub>eu</sub>	合計																																																																					
中央張		2.97	1.00	1.00	1.00	1.00	1.07	0.99	1.00	1.00	2.24																																																																							
不確実さ	β <sub>a</sub>	0.10	0.00	0.00	0.00	0.00	0.00	0.09	0.00	0.00	0.14																																																																							
	β <sub>u</sub>	0.10	0.00	0.00	0.00	0.00	0.00	0.00	0.15	0.00	0.19																																																																							
<p>(3) 電気盤・計装（メタルクラッドスイッチギア）</p> <p>(4) 電気盤・計装（電気盤）</p> <p>評価対象機器の諸元を以下に示す。</p> <ul style="list-style-type: none"> <li>設置位置：制御建屋 E.L. 15.8m</li> <li>耐震クラス：S</li> <li>固有振動数：遮断器について水平、上下とも30Hz以上</li> <li>基準地震動S<sub>s</sub>に対する盤の設計応答加速度：                     <p>水平方向1.20G、上下方向0.61G→SRSS=1.35G</p> </li> <li>機能維持確認加速度：水平：<input type="text"/>G、上下：<input type="text"/>G； メタルクラッドスイッチギアは、水平方向と上下方向の同時入力が、機能維持に対して与える影響が否定できないため、水平方向と上下方向の入力加速度を二乗和平方根(SRSS)により合成するものとする。</li> </ul> <p>枠囲みの範囲は機密に係る事項ですので公開することはできません。</p>																																																																																		
<p>評価対象機器の諸元及び耐震評価結果を以下に示す。</p> <ul style="list-style-type: none"> <li>評価対象機器：125V直流受電パワーセンタ2A</li> <li>設置位置：制御建屋 O.P. 8.0m</li> <li>耐震クラス：S</li> <li>固有振動数：剛構造</li> <li>評価地震動：最大加速度1000ガル（S<sub>s</sub>-2）</li> <li>評価項目：機能損傷（電気的機能）</li> </ul> <p>第3.2.1.c-2-9表に、125V直流受電パワーセンタ2Aの耐震評価結果を示す。第3.2.1.c-2-9表をもとにフラジリティを算出した。</p>																																																																																		
<p>(4) 電気盤・計装（パワーコントロールセンタ）</p> <p>評価対象機器の諸元及び耐震評価結果を以下に示す。</p> <ul style="list-style-type: none"> <li>評価対象機器：パワーコントロールセンタ</li> <li>設置位置：原子炉補助建屋 T.P. 10.3m</li> <li>耐震クラス：S</li> <li>固有振動数：柔構造</li> <li>評価地震動：最大加速度550Gal（S<sub>s</sub>1）</li> <li>評価項目：機能損傷（電気的機能）</li> </ul> <p>第3.2.1.c-3-9表に、パワーコントロールセンタの耐震評価結果を示す。第3.2.1.c-3-9表を基にフラジリティを算出した。</p>																																																																																		
<p>【大飯】</p> <ul style="list-style-type: none"> <li>記載箇所の相違                     <ul style="list-style-type: none"> <li>女川実績の反映</li> <li>泊は第3.2.1.c-3-8表で整理している</li> </ul> </li> </ul> <p>【大飯】</p> <ul style="list-style-type: none"> <li>泊の構成に合わせて大飯の「(3)電気盤」と「(4)動的機器」の記載順序を入れ替えている</li> </ul> <p>【大飯】</p> <ul style="list-style-type: none"> <li>付番の相違                     <ul style="list-style-type: none"> <li>女川実績の反映による項目番号の相違</li> </ul> </li> </ul> <p>【女川】【大飯】</p> <ul style="list-style-type: none"> <li>個別評価による相違                     <ul style="list-style-type: none"> <li>FV重要度が異なるため、代表機器も異なる</li> </ul> </li> </ul> <p>【大飯】</p> <ul style="list-style-type: none"> <li>記載箇所の相違                     <ul style="list-style-type: none"> <li>女川実績の反映</li> <li>泊は第3.2.1.c-3-9表で整理している</li> </ul> </li> </ul>																																																																																		

## 泊発電所3号炉 有効性評価 比較表

第37条 付録1 事故シーケンスグループ及び重要事故シーケンス等の選定について  
別添3 レベル1PRA 3.2 外部事象 3.2.1 地震PRA

赤字：設備、運用又は体制の相違（設計方針の相違）  
青字：記載箇所又は記載内容の相違（記載方針の相違）  
緑字：記載表現、設備名称の相違（実質的な相違なし）

大飯発電所3／4号炉	女川原子力発電所2号炉	泊発電所3号炉	相違理由
<p>a. 機器耐力係数 <math>F_{EC}</math> の評価</p> <p>(a) 強度に関する係数 <math>F_s</math> の評価</p> <p><math>F_s</math> は下記の式で算出する。</p> $F_s = \frac{\text{損傷加速度中央値}}{\text{応答加速度}}$ <p>・損傷加速度中央値について</p> <p>電気盤類のように、構造強度のみでなく電気的機能維持が必要な機器については、試験加速度（機能確認済加速度等）に基づきフラジリティ評価を行う。</p> <p>フラジリティ評価のベースとする試験加速度レベルでは誤動作・損傷が見られないことから、以下に示す <math>\beta</math> 設定法により誤動作・損傷に対する加速度の中央値を推定する。</p> <div style="border: 1px dashed black; padding: 5px;"> <p>〔<math>\beta</math> 設定法の概要〕を比較するため、別添3-3.2-3.2.1-39ページ（実線部分）に再掲している</p> <p>フラジリティ評価において、HCLPFは次式により評価される。</p> <math display="block">HCLPF = A_m \times \exp(-1.65 \times (\beta_r + \beta_u))</math> <p>ここで、<math>A_m</math>：フラジリティ加速度の中央値</p> <p>上式より、</p> <math display="block">A_m = HCLPF \times \exp(1.65 \times (\beta_r + \beta_u))</math> <p>これと同様に、加振試験における損傷加速度の中央値とHCLPFの関係は次式により表される。</p> <math display="block">\text{損傷加速度中央値} = \text{損傷加速度のHCLPF} \times \exp(1.65 \times (\beta_r + \beta_u))</math> <p>したがって、損傷加速度のHCLPFを試験加速度とし、不確実さ <math>\beta_r</math>、<math>\beta_u</math>を与えることにより、損傷加速度の中央値を推定できる。</p> <p>なお、既往の電気品の試験結果より、電気品の誤動作に関する不確実さは最低でも <math>\beta_r = 0.11</math>、<math>\beta_u = 0.17</math>程度と考えられる。</p> <p>ここで、<math>\beta</math> 設定法では、<math>\beta</math> を大きく設定すると中央値も大きくなるため、過大な <math>\beta</math> は非安全側な中央値を与える可能性があるため、試験結果から得られる不確実さの最小値を採用した。また、電気盤全体のシステムとしての誤動作に関する不確実さは、電気</p> </div>	<p>a. 機器の耐力係数 <math>F_{EC}</math> の評価</p> <p>(a) 強度係数 <math>F_s</math> の評価</p> <p>本係数は下記の式で算出する。</p> $F_s = \frac{\text{損傷加速度中央値}}{\text{応答加速度}}$ <p>・損傷加速度中央値について</p> <p>電気盤・計装のように、構造強度に加え電気的機能維持が必要な機器については、試験加速度（機能維持確認済加速度等）に基づきフラジリティ評価を行う。</p> <p>フラジリティ評価のベースとする試験加速度レベルでは誤動作・損傷が見られないことから、以下に示す方法（ここでは、「<math>\beta</math> 設定法」という。）により誤動作・損傷に対する損傷加速度中央値を推定する。</p> <div style="border: 1px dashed black; padding: 5px;"> <p>〔<math>\beta</math> 設定法の概要〕を比較するため、別添3-3.2-3.2.1-39ページ（実線部分）に再掲している</p> <p>フラジリティ評価において、HCLPFは次式により評価される。</p> <math display="block">HCLPF = A_m \times \exp(-1.65 \times (\beta_r + \beta_u))</math> <p>上式より、</p> <math display="block">A_m = HCLPF \times \exp(1.65 \times (\beta_r + \beta_u))</math> <p>これと同様に、加振試験における損傷加速度中央値と損傷加速度のHCLPFの関係は次式により表される。</p> <math display="block">\text{損傷加速度中央値} = \text{損傷加速度のHCLPF} \times \exp(1.65 \times (\beta_r + \beta_u))</math> <p>従って、「損傷加速度のHCLPF=試験加速度」とし、不確実さ <math>\beta_r</math> 及び <math>\beta_u</math>を与えることにより、損傷加速度中央値を推定できる。</p> <p>なお、既往の電気品の試験結果より、電気品の誤動作に関する不確実さは <math>\beta_r = 0.10</math>、<math>\beta_u = 0.20</math>程度と考えられる。</p> </div>	<p>a. 機器の耐力係数 <math>F_{EC}</math> の評価</p> <p>(a) 強度に関する係数 <math>F_s</math> の評価</p> <p><math>F_s</math> は下記の式で算出する。</p> $F_s = \frac{\text{損傷加速度中央値}}{\text{応答加速度}}$ <p>・損傷加速度中央値について</p> <p>電気盤・計装のように、構造強度に加え電気的機能維持が必要な機器については、試験加速度（機能維持確認済加速度等）に基づきフラジリティ評価を行う。</p> <p>フラジリティ評価のベースとする試験加速度レベルでは誤動作・損傷が見られないことから、<math>\beta</math> 設定法により誤動作・損傷に対する加速度の中央値を推定する。</p> <div style="border: 1px dashed black; padding: 5px;"> <p>【女川】</p> <p>■記載方針の相違</p> <p>・泊は <math>\beta</math> 設定法について「(3) 動的機器」で記載済みである</p> </div> <div style="border: 1px dashed black; padding: 5px;"> <p>【女川】【大飯】</p> <p>■記載方針の相違</p> <p>・泊は <math>\beta</math> 設定法係る説明は「(3) 動的機器」で記載済みであるため記載しない</p> </div> <div style="border: 1px dashed black; padding: 5px;"> <p>【女川】</p> <p>■個別評価による相違</p> <p>・大飯と泊では、PWR 電共研の知見による不確かさを採用している</p> </div>	

## 泊発電所3号炉 有効性評価 比較表

第37条 付録1 事故シーケンスグループ及び重要事故シーケンス等の選定について  
別添3. レベル1PRA 3.2 外部事象 3.2.1 地震PRA

赤字：設備、運用又は体制の相違（設計方針の相違）  
青字：記載箇所又は記載内容の相違（記載方針の相違）  
緑字：記載表現、設備名称の相違（実質的な相違なし）

大飯発電所3／4号炉	女川原子力発電所2号炉	泊発電所3号炉	相違理由
<p>品レベルでの不確実さよりも大きいと考えられるため、上記の電気品の不確実さデータに基づき中央値を推定するものとした。</p> <p>したがって、メタルクラッドスイッチギアの損傷加速度の中央値は、<math>\beta</math>設定法に基づき以下のとおりとなる。</p> <p>損傷加速度の中央値 = 試験加速度 <math>\times \exp(1.65 \times (\beta_r + \beta_u))</math>  <math>= \sqrt{[\square + \square]^2} \times \exp(1.65 \times (0.11 + 0.17)) = \square</math></p> <p>したがって、強度に関する係数 <math>F_s</math> 及びその不確実さは、以下のとおりとなる。</p> <p><math>F_s = \frac{\text{損傷加速度の中央値}}{\text{床応答加速度}}</math>  <math>= \frac{\square}{\sqrt{(1.20^2 + 0.61^2)}} = \square</math></p> <p><math>\beta_r = 0.11, \beta_u = 0.17</math></p> <p>枠囲みの範囲は機密に係る事項ですので公開することはできません。</p>	<p>従って、パワーセンタの損傷加速度中央値は、<math>\beta</math>設定法に基づき以下の通りとなる。</p> <p>損傷加速度中央値 = 試験加速度 <math>\times \exp(1.65 \times (\beta_r + \beta_u))</math>  <math>= 2.31 \times \exp(1.65 \times (0.10 + 0.20))</math>  <math>= 3.79 \text{ (G)}</math></p> <p>以上より、本係数及び不確実さは以下の値とする。</p> <p><math>F_s = \frac{\text{損傷加速度中央値}}{\text{応答加速度}}</math>  <math>= \frac{3.79}{1.42} = 2.67</math></p> <p><math>\beta_r = 0.10, \beta_u = 0.20</math></p>	<p>したがって、パワーコントロールセンタの損傷加速度中央値は、<math>\beta</math>設定法に基づき以下の通りとなる。</p> <p>損傷加速度中央値 = 試験加速度 <math>\times \exp(1.65 \times (\beta_r + \beta_u))</math>  <math>= 49.0 \times \exp(1.65 \times (0.11 + 0.17))</math>  <math>= 77.8 \text{ (m/s}^2\text{)}</math></p> <p>以上より、本係数及び不確実さは以下の値とする。</p> <p><math>F_s = \frac{\text{損傷加速度中央値}}{\text{応答加速度}}</math>  <math>= \frac{77.8}{25.9} = 3.00</math></p> <p><math>\beta_r = 0.11, \beta_u = 0.17</math></p>	<ul style="list-style-type: none"> <li>なお、大飯を含め他のPWRプラントでも同様である</li> </ul>
<p>(b) 塑性エネルギー吸収効果に関する係数</p> <p>電気盤類については、弹性範囲内で誤動作が生じることが否定できないため、本係数は考慮しない。</p> <p><math>F_\mu = 1.0, \beta_r = \beta_u = 0</math></p>	<p>(b) 塑性エネルギー吸収係数 <math>F_\mu</math> の評価</p> <p>電気盤・計装については、弹性範囲内で誤動作が生じることが否定できないため、本係数及び不確実さは以下の値とする。</p> <p><math>F_\mu = 1.00, \beta_r = 0.00, \beta_u = 0.00</math></p>	<p>(b) 塑性エネルギー吸収係数 <math>F_\mu</math> の評価</p> <p>電気盤・計装については、弹性範囲内で誤動作が生じることが否定できないため、本係数及び不確実さは以下の値とする。</p> <p><math>F_\mu = 1.00, \beta_r = 0.00, \beta_u = 0.00</math></p>	<p>【大飯】</p> <p>■記載方針の相違</p> <p>・機器の応答係数 <math>F_{ER}</math> の設定の考え方方は「(1)大型機器」「(2)静的機器」と同様であるため記載しない</p>
<p>b. 機器応答係数 <math>F_{ER}</math></p> <p>実機の加振試験に基づき <math>F_{ER}</math> を評価していることから、機器応答に関する裕度及び不確実さはすべて加振試験において考慮されていることになる。</p> <p>ただし、一般に耐震評価における盤の応答値算定の際に、床応答曲線の拡幅及び減衰定数に関する裕度が含まれるために、これを評価する。</p> <p>(a) 床応答スペクトルの拡幅に関する係数 <math>F_{ESS}</math></p> <p>本係数は、設計で用いられる床応答スペクトルの拡幅に含まれる裕度を評価するものである。</p> <p>ただし、遮断器については剛であるためここでは考慮しない。</p>	<p>b. 機器の応答係数 <math>F_{RE}</math> の評価</p>	<p>b. 機器の応答係数 <math>F_{ER}</math> の評価</p>	<p>【大飯】</p> <p>■記載方針の相違</p> <p>・泊は床応答スペクトルの拡幅に係る説明は「(1)大型機器」で記載済みであるため記載しない</p>
	<p>(a) スペクトル形状係数 <math>F_{SA}</math> の評価</p> <p>本機器は剛構造であるため、本係数及び不確実さは以下の値とする。</p>	<p>(a) スペクトル形状係数 <math>F_{ESS}</math> の評価</p> <p>本評価では床応答の拡幅による余裕は、保守的に考慮していないため、本係数及び不確実さは以下の値とする。</p>	<p>【女川】【大飯】</p> <p>■個別評価による相違</p>

## 泊発電所3号炉 有効性評価 比較表

赤字：設備、運用又は体制の相違（設計方針の相違）  
 青字：記載箇所又は記載内容の相違（記載方針の相違）  
 緑字：記載表現、設備名称の相違（実質的な相違なし）

第37条 付録1 事故シーケンスグループ及び重要事故シーケンス等の選定について  
 別添3 レベル1PRA 3.2 外部事象 3.2.1 地震PRA

大飯発電所3／4号炉	女川原子力発電所2号炉	泊発電所3号炉	相違理由
<p>したがって、<math>F_{ESS}=1.0</math>、<math>\beta_r=\beta_u=0</math>とする。</p> <p>(b) 設計用減衰定数に関する係数<math>F_D</math>          本係数は、機器の損傷時の減衰定数の中央値に対する設計用減衰定数が持つ裕度を評価するものであり、次式により評価する。</p> $F_D = \frac{S_a \text{ (設計用減衰定数)}}{S_a \text{ (損傷時の減衰定数中央値)}}$ <p>遮断器は剛構造のため、ここでは考慮しない。</p> <p>したがって、<math>F_D=1.0</math>、<math>\beta_r=\beta_u=0</math>とする。</p> <p>(c) 機器の解析モデル化に関する係数<math>F_E</math>          機器の解析モデル化は妥当であり、中央値に相当すると考える。          また、遮断器の耐震評価は、1質点系モデルを用いて行われており、不確実さは考慮しない。</p> $F_E=1.0, \beta_r=\beta_u=0$	<p><math>F_{SA}=1.00, \beta_r=0.00, \beta_u=0.00</math></p> <p>(b) 減衰係数<math>F_D</math>の評価          本機器は剛構造であるため、本係数及び不確実さは以下の値とする。</p> <p><math>F_D=1.00, \beta_r=0.00, \beta_u=0.00</math></p> <p>(c) モデル化係数<math>F_M</math>          本機器は剛構造であるため、本係数及び不確実さは以下の値とする。</p> <p><math>F_M=1.00, \beta_r=0.00, \beta_u=0.00</math></p>	<p><math>F_{ESS}=1.00, \beta_r=0.00, \beta_u=0.00</math></p> <p>(b) 減衰係数<math>F_D</math>の評価          本機器の設計用減衰定数と減衰定数の中央値での応答値の比は、下記のNewmark応答倍率式<sup>*18</sup>を用いる。</p> $\text{応答値} = 3.21 - 0.68 \times \ln(h)$ <p>ここで、<math>h</math>：減衰定数（%）</p> <p>減衰定数の中央値及び不確実さは、振動試験データや基準類等を参考にして設定する。</p> <p>また、不確実さとして、減衰定数の中央値に対して、設計用減衰定数が99%信頼下限（応答加速度では99%信頼上限）と考え、認識論的不確実さ<math>\beta_u</math>として次式により評価する。なお、本評価で算出された不確実さの値は安全側となるよう丸めて使用する。</p> <p>本機器においては、設計用減衰定数4.0%，減衰定数の中央値7.3%を用いる。</p> $F_D = \frac{3.21 - 0.68 \times \ln(4)}{3.21 - 0.68 \times \ln(7.3)} = 1.22$ $\beta_u = \frac{1}{2.33} \ln \left( \frac{3.21 - 0.68 \times \ln(4)}{3.21 - 0.68 \times \ln(7.3)} \right) \approx 0.10$ <p>以上より、本係数及び不確実さは以下の値とする。</p> $F_D=1.22, \beta_r=0.00, \beta_u=0.10$ <p>(c) モデル化係数<math>F_E</math>の評価          機器の解析モデル化は妥当であり、中央値に相当すると考える。          また、本機器の耐震評価は、1質点系モデルを用いて行われており、不確実さは考慮しない。</p> $F_E=1.00, \beta_r=0.00, \beta_u=0.00$	<ul style="list-style-type: none"> <li>・大飯と女川では、剛構造であるため、本係数は考慮していない</li> <li>・泊では、拡幅された床応答曲線を用いた評価ではあるものの、本機器では保守的に本係数を考慮しない扱いをしている</li> <li>・なお、柔構造の電気盤については、大飯を含め他のPWRプラントでも同様である</li> </ul> <p>【女川】【大飯】</p> <ul style="list-style-type: none"> <li>■個別評価による相違</li> <li>・大飯と女川では、剛構造であるため、本係数は考慮していない</li> <li>・泊では、本機器は柔構造であるため、女川の(5)配管（原子炉補機冷却水系弁）と同様のNewmark応答倍率式を用いて本係数を評価している</li> <li>・なお、柔構造の電気盤では、大飯を含め他のPWRプラントでも同様である</li> </ul> <p>【女川】</p> <ul style="list-style-type: none"> <li>■評価方針の相違</li> <li>・女川では、剛構造であること理由としてモデル化係数<math>F_E</math>を考慮していない</li> </ul>

## 泊発電所3号炉 有効性評価 比較表

赤字：設備、運用又は体制の相違（設計方針の相違）  
 青字：記載箇所又は記載内容の相違（記載方針の相違）  
 緑字：記載表現、設備名称の相違（実質的な相違なし）

第37条 付録1 事故シーケンスグループ及び重要事故シーケンス等の選定について  
 別添 3. レベル1PRA 3.2 外部事象 3.2.1 地震PRA

大飯発電所3／4号炉	女川原子力発電所2号炉	泊発電所3号炉	相違理由
<p>(d) モード合成法に関する係数 <math>F_{EMC}</math></p> <p>遮断器は剛であるため、本係数及び不確実さは以下の値とする。</p> <p><math>F_{EMC}=1.0, \beta_R=\beta_U=0</math></p>	<p>(d) モード合成係数 <math>F_{MC}</math>の評価</p> <p>本機器は剛構造であるため、本係数及び不確実さは以下の値とする。</p> <p><math>F_{MC}=1.00, \beta_r=0.00, \beta_u=0.00</math></p>	<p>(d) モード合成係数 <math>F_{EMC}</math>の評価</p> <p>本機器は1質点系モデルであるため、本係数及び不確実さは以下の値とする。</p> <p><math>F_{EMC}=1.00, \beta_r=0.00, \beta_u=0.00</math></p>	<ul style="list-style-type: none"> <li>・大飯と泊では、剛構造の機器であっても解析モデルに応じて本係数を評価している</li> <li>・大飯では、多質点系モデルによる耐震評価であるため、不確実さについては海外文献値の<math>\beta_u</math>を採用している</li> <li>・泊では、1質点系モデルによる耐震評価であり、1質点系モデルは、非常に単純で保守的な解析モデルであることから、不確実さを考慮していない</li> <li>・なお、1質点系モデルで耐震評価されている機器については、大飯を含め他のPWRプラントでも同様である</li> </ul> <p>【女川】【大飯】</p> <p>■評価方針の相違</p> <ul style="list-style-type: none"> <li>・剛構造や1質点系モデルの場合には、スペクトルモーダル解析におけるモード合成が発生しないためモード合成係数 <math>F_{EMC}</math>を考慮していない</li> <li>・なお、剛構造や1質点系モデルで耐震評価されている機器については、大飯を含め他のPWRプラントでも同様である</li> </ul>
<p>c. 建屋応答係数 <math>F_{SR}</math>（建屋非線形応答に関する係数 <math>F_NL</math>）</p> <p>建屋応答に関する各係数のうち建屋非線形応答に関する係数 <math>F_{NL}</math>以外の係数については、第1.2.1.c-3-2表に示す建屋応答係数を用いる。以下では <math>F_{NL}</math>についてのみ示す。</p>	<p>c. 建屋の応答係数 <math>F_{RS}</math>の評価</p> <p>建屋応答に関する各係数は、第3.2.1.c-2-2表に示す制御建屋の応答係数を用いる。</p> <p>(a) 解放基盤表面の地震動に関する係数 <math>F_1</math>の評価</p>	<p>c. 建屋の応答係数 <math>F_{SR}</math>の評価</p> <p>建屋応答に関する各係数は、第3.2.1.c-3-2表に示す原子炉建屋の応答係数を用いる。</p> <p>(a) 入力地震動のスペクトル形状に関する係数 <math>F_{SS}</math>の評価</p>	<p>【大飯】</p> <p>■記載方針の相違</p> <ul style="list-style-type: none"> <li>・泊は <math>F_{NL}</math>以外の係数についても説明を記載している</li> </ul> <p>【女川】</p> <p>■記載方針の相違</p> <ul style="list-style-type: none"> <li>・<math>F_{SS}</math>は <math>F_1</math>を細分化したサブ応答係数であり、評価内容に相違はない</li> </ul>

## 泊発電所3号炉 有効性評価 比較表

赤字：設備、運用又は体制の相違（設計方針の相違）  
 青字：記載箇所又は記載内容の相違（記載方針の相違）  
 緑字：記載表現、設備名称の相違（実質的な相違なし）

第37条 付録1 事故シーケンスグループ及び重要事故シーケンス等の選定について  
 別添 3. レベル1PRA 3.2 外部事象 3.2.1 地震 PRA

大飯発電所3／4号炉	女川原子力発電所2号炉	泊発電所3号炉	相違理由
<p>建屋の非線形応答により建屋の入力レベルに応じて床応答スペクトルの長周期側ではスペクトル形状が変動すると考えられ、本係数ではこのスペクトル形状の変動の影響を不確実さとして考慮する。</p> <p>ここで、試験加速度は最大加速度(ZPA)ベースであるが、ZPAについては建屋の非線形応答による加速度レベルに応じた変動は小さく、むしろ線形応答に比較した場合は、加速度レベルが上がるにしたがい低減する傾向にあると考えられる。</p> <p>ただし、このような低減については現状有効なデータはない</p>	<p>本機器は剛構造であるため、本係数及び不確実さは、<b>制御建屋</b>の1次固有周期における応答スペクトルの比を適用し、以下の値とする。</p> <p><math>F_1 = 0.88</math>, <math>\beta_r = 0.00</math>, <math>\beta_u = 0.00</math></p> <p>(b) 建屋への入力地震動に関する係数<math>F_2</math>の評価 本係数及び不確実さは以下の値とする。 <math>F_2 = 1.00</math>, <math>\beta_r = 0.20</math>, <math>\beta_u = 0.15</math></p> <p>(c) 建屋の地震応答に関する係数<math>F_3</math>の評価 本係数及び不確実さは以下の値とする。 <math>F_3 = 1.00</math>, <math>\beta_r = 0.20</math>, <math>\beta_u = 0.15</math></p>	<p>本係数及び不確実さは、<b>原子炉建屋</b>の1次固有周期における応答スペクトルの比を適用し、以下の値とする。</p> <p><math>F_{SS} = 1.00</math>, <math>\beta_r = 0.00</math>, <math>\beta_u = 0.00</math></p> <p>(b) 建屋の地震応答に関する係数の評価</p> <ul style="list-style-type: none"> <li>・建屋の減衰に関する係数<math>F_4</math>の評価 本係数及び不確実さは以下の値とする。 <math>F_4 = 0.99</math>, <math>\beta_r = 0.08</math>, <math>\beta_u = 0.00</math></li> <li>・建屋のモデル化に関する係数<math>F_M</math>の評価 本係数及び不確実さは以下の値とする。 <math>F_M = 0.99</math>, <math>\beta_r = 0.01</math>, <math>\beta_u = 0.15</math></li> <li>・建屋の非線形応答に関する係数<math>F_{NL}</math>の評価 建屋の非線形応答により建屋の入力レベルに応じて床応答スペクトルの長周期側ではスペクトル形状が変動すると考えられ、本係数ではこのスペクトル形状の変動の影響を不確実さとして考慮する。</li> </ul>	<p>【女川】</p> <p>■評価方針の相違 ・泊は機器の固有周期による影響は建屋の非線形応答に関する係数<math>F_{NL}</math>で考慮している</p> <p>【女川】</p> <p>■施設構造の相違 ・本係数は、地盤モデルに関する設計上の裕度を評価するものであり、泊は直接入力としていることから、考慮不要な係数である（大飯に記載はないが、泊と同様の評価となっている）</p> <p>【女川】</p> <p>■記載方針の相違 ・女川は泊に記載の3つの係数を1つにまとめた記載となつており、評価内容に相違はない</p> <p>【大飯】</p> <p>■個別評価による相違 ・泊の機器は柔であり、大飯と機器の固有周期が異なるため、考慮する不確実さの値が異なる</p>

## 泊発電所3号炉 有効性評価 比較表

第37条 付録1 事故シーケンスグループ及び重要事故シーケンス等の選定について  
別添3. レベル1PRA 3.2 外部事象 3.2.1 地震PRA

赤字：設備、運用又は体制の相違（設計方針の相違）  
青字：記載箇所又は記載内容の相違（記載方針の相違）  
緑字：記載表現、設備名称の相違（実質的な相違なし）

大飯発電所3／4号炉	女川原子力発電所2号炉	泊発電所3号炉	相違理由																																												
<p>ため、安全側に本係数は考慮せず、以下のとおりとする。</p> <p><math>F_{NL}=1.0, \beta_r=\beta_u=0</math></p> <p>d. 評価結果のまとめ</p> <p>各係数の評価結果を下表に示す。これらの結果より、メタルクラッドスイッチギアのフライアリティ加速度の中央値A<sub>m</sub>、その不確実さ<math>\beta_r \cdot \beta_u</math>及びHCLPFは、以下のとおりとなる。</p> <p>また、フライアリティ曲線を第1.2.1.c-3-3図に示す。</p> <p><math>A_m=2.05(G)</math>  <math>\beta_r=0.14, \beta_u=0.23</math>  <math>HCLPF=A_m \times \exp[-1.65 \times (\beta_r + \beta_u)] = 2.05 \times \exp[-1.65 \times (0.14+0.23)] = 1.11(G)</math></p>	<p>d. 評価結果のまとめ</p> <p>各係数の評価結果を第3.2.1.c-2-10表に示す。これらの結果より、パワーセンタのフライアリティ加速度の中央値A<sub>m</sub>、その不確実さ<math>\beta_r \cdot \beta_u</math>及びHCLPFは、以下の通りとなる。</p> <p>また、フライアリティ曲線を第3.2.1.c-2-7図に示す。</p> <p><math>A_m=2.40(G)</math>  <math>\beta_r=0.22, \beta_u=0.25</math>  <math>HCLPF=A_m \times \exp[-1.65 \times (\beta_r + \beta_u)] = 2.40 \times \exp[-1.65 \times (0.22+0.25)] = 1.11(G)</math></p>	<p>本係数及び不確実さは以下の値とする。</p> <p><math>F_{NL}=1.00, \beta_r=0.17, \beta_u=0.10</math></p> <p>d. 評価結果のまとめ</p> <p>各係数の評価結果を第3.2.1.c-3-10表に示す。これらの結果より、パワーコントロールセンタのフライアリティ加速度の中央値A<sub>m</sub>、その不確実さ<math>\beta_r \cdot \beta_u</math>及びHCLPFは、以下の通りとなる。</p> <p>また、フライアリティ曲線を第3.2.1.c-3-7図に示す。</p> <p><math>A_m=2.01(G)</math>  <math>\beta_r=0.22, \beta_u=0.27</math>  <math>HCLPF=A_m \times \exp[-1.65 \times (\beta_r + \beta_u)] = 2.01 \times \exp[-1.65 \times (0.22+0.27)] = 0.90(G)</math></p>	る																																												
<p>表 メタルクラッドスイッチギア 安全係数評価結果の一覧</p> <table border="1"> <thead> <tr> <th rowspan="2"></th> <th colspan="2">F<sub>RC</sub></th> <th colspan="2">F<sub>RR</sub></th> <th colspan="2">F<sub>SM</sub></th> <th rowspan="2">合計</th> </tr> <tr> <th>F<sub>s</sub></th> <th>F<sub>p</sub></th> <th>F<sub>NSM</sub></th> <th>F<sub>P</sub></th> <th>F<sub>ST</sub></th> <th>F<sub>SM</sub></th> </tr> </thead> <tbody> <tr> <td>中央値</td> <td>■</td> <td>1.00</td> <td>1.00</td> <td>1.00</td> <td>1.00</td> <td>1.07</td> <td>0.99</td> <td>1.00</td> <td>2.05</td> </tr> <tr> <td>不確実さ</td> <td><math>\beta_R</math></td> <td>0.11</td> <td>0.00</td> <td>0.00</td> <td>0.00</td> <td>0.00</td> <td>0.08</td> <td>0.00</td> <td>0.00</td> <td>0.14</td> </tr> <tr> <td></td> <td><math>\beta_U</math></td> <td>0.17</td> <td>0.00</td> <td>0.00</td> <td>0.00</td> <td>0.00</td> <td>0.00</td> <td>0.15</td> <td>0.00</td> <td>0.23</td> </tr> </tbody> </table> <p>枠囲みの範囲は機密に係る事項ですので公開することはできません。</p>		F <sub>RC</sub>		F <sub>RR</sub>		F <sub>SM</sub>		合計	F <sub>s</sub>	F <sub>p</sub>	F <sub>NSM</sub>	F <sub>P</sub>	F <sub>ST</sub>	F <sub>SM</sub>	中央値	■	1.00	1.00	1.00	1.00	1.07	0.99	1.00	2.05	不確実さ	$\beta_R$	0.11	0.00	0.00	0.00	0.00	0.08	0.00	0.00	0.14		$\beta_U$	0.17	0.00	0.00	0.00	0.00	0.00	0.15	0.00	0.23	<p>【大飯】</p> <ul style="list-style-type: none"> <li>■記載箇所の相違</li> <li>・女川実績の反映</li> <li>・泊は第3.2.1.c-3-10表で整理している</li> </ul>
		F <sub>RC</sub>		F <sub>RR</sub>		F <sub>SM</sub>			合計																																						
	F <sub>s</sub>	F <sub>p</sub>	F <sub>NSM</sub>	F <sub>P</sub>	F <sub>ST</sub>	F <sub>SM</sub>																																									
中央値	■	1.00	1.00	1.00	1.00	1.07	0.99	1.00	2.05																																						
不確実さ	$\beta_R$	0.11	0.00	0.00	0.00	0.00	0.08	0.00	0.00	0.14																																					
	$\beta_U$	0.17	0.00	0.00	0.00	0.00	0.00	0.15	0.00	0.23																																					
<p>(5) 配管（一般電動弁）</p> <p>評価対象機器の諸元を以下に示す。</p> <ul style="list-style-type: none"> <li>評価対象機器：一般電動弁（加圧器逃がし弁元弁）</li> <li>設置位置：原子炉建屋 内部コンクリート E.L. 22.9m～48.0m</li> <li>耐震クラス：S</li> <li>固有振動数：剛</li> <li>評価対象部位及び評価応力： 下表の耐震評価結果に示す。</li> </ul> <p>本一般電動弁においては、弁駆動部応答加速度が機能維持確</p>	<p>(5) 配管（原子炉補機冷却水系弁）</p> <p>評価対象機器の諸元及び耐震評価結果を以下に示す。</p> <ul style="list-style-type: none"> <li>評価対象機器：原子炉補機冷却水系弁</li> <li>設置位置：原子炉建屋O.P. -8.1m</li> <li>耐震クラス：S</li> <li>固有振動数：柔構造（当該弁を含む配管）</li> <li>評価地震動：最大加速度 1000ガル (S<sub>s-2</sub>)</li> <li>評価項目：機能損傷（動的機能）</li> </ul> <p>第3.2.1.c-2-11表に、原子炉補機冷却水系弁の耐震評価結果を示す。第3.2.1.c-2-11表をもとにフライアリティを算出した。</p>	<p>(5) 配管（一般代表弁）</p> <p>評価対象機器の諸元及び耐震評価結果を以下に示す。</p> <ul style="list-style-type: none"> <li>評価対象機器：一般代表弁（高圧注入ポンプ燃料取替用水ピット側入口弁）</li> <li>設置位置：原子炉補助建屋T.P. 11.1m</li> <li>耐震クラス：S</li> <li>固有振動数：柔構造（当該弁を含む配管）</li> <li>評価地震動：最大加速度 550Gal (S<sub>s1</sub>)</li> <li>評価項目：機能損傷（動的機能）</li> </ul> <p>第3.2.1.c-3-11表に、一般代表弁の耐震評価結果を示す。第3.2.1.c-3-11表を基にフライアリティを算出した。</p> <p>弁類については、水平方向と上下方向の同時入力が、機能維持</p>	<p>【女川】【大飯】</p> <ul style="list-style-type: none"> <li>■個別評価による相違</li> <li>・FV重要度が異なるため、代表機器も異なる</li> </ul>																																												

## 泊発電所3号炉 有効性評価 比較表

赤字：設備、運用又は体制の相違（設計方針の相違）  
 青字：記載箇所又は記載内容の相違（記載方針の相違）  
 緑字：記載表現、設備名称の相違（実質的な相違なし）

第37条 付録1 事故シーケンスグループ及び重要事故シーケンス等の選定について  
 別添3 レベル1PRA 3.2 外部事象 3.2.1 地震PRA

大飯発電所3／4号炉	女川原子力発電所2号炉	泊発電所3号炉	相違理由																		
認済加速度を上回っているため、JEAG4601の機能維持評価手法にしたがった詳細評価による構造強度評価を実施している。そのため、機能損傷ではあるが構造損傷の評価手法にて、下表より、裕度の低い面外の結果を基に評価を実施した。		に対して与える影響が否定できないため、水平方向と上下方向の入力加速度を二乗和平方根(SRSS)により合成するものとする。	<ul style="list-style-type: none"> <li>■評価方針の相違</li> <li>・大飯の評価対象弁は応答加速度が過大のため弁の構造強度に着目した機能維持評価であるが、泊では応答加速度での機能維持評価で裕度があるため構造強度に着目する必要がない</li> <li>・この扱いは、大飯を含め他のPWRプラントでも同様である【女川】</li> </ul>																		
<b>表 加压器逃がし弁元弁の耐震評価結果</b>																					
<table border="1"> <thead> <tr> <th>評価部位</th><th>材 料</th><th>評価応力</th><th>許容値(N/mm<sup>2</sup>)</th><th>発生応力(N/mm<sup>2</sup>)</th><th>裕 度</th></tr> </thead> <tbody> <tr> <td>ヨーク面内</td><td>SCPH2</td><td>1次応力</td><td>329</td><td>13</td><td>25.3</td></tr> <tr> <td>ヨーク面外</td><td>SCPH2</td><td>1次応力</td><td>329</td><td>148</td><td>2.22</td></tr> </tbody> </table>				評価部位	材 料	評価応力	許容値(N/mm <sup>2</sup> )	発生応力(N/mm <sup>2</sup> )	裕 度	ヨーク面内	SCPH2	1次応力	329	13	25.3	ヨーク面外	SCPH2	1次応力	329	148	2.22
評価部位	材 料	評価応力	許容値(N/mm <sup>2</sup> )	発生応力(N/mm <sup>2</sup> )	裕 度																
ヨーク面内	SCPH2	1次応力	329	13	25.3																
ヨーク面外	SCPH2	1次応力	329	148	2.22																
<p>a. 機器耐力係数 <math>F_{Ec}</math> の評価</p> <p>(a) 強度に関する係数 <math>F_s</math> の評価</p> <p>本係数は、次式により評価する。</p> $F_s = \frac{\sigma_c - \sigma_N}{\sigma_T - \sigma_N}$ <p>ここで、<math>\sigma_c</math>:限界応力の中央値  <math>\sigma_T</math>:地震時発生応力  <math>\sigma_N</math>:通常運転時応力</p> <p>評価対象部位であるヨーク部の材質はSCPH2であることから、</p>																					
<p>a. 機器の耐力係数 <math>F_{Ec}</math> の評価</p> <p>(a) 強度係数 <math>F_s</math> の評価</p> <p>本係数は下記の式で算出する。</p> $F_s = \frac{\text{損傷加速度中央値}}{\text{応答加速度}}$ <p>・損傷加速度中央値について</p> <p>弁のように、動的機能維持が必要な機器については、試験加速度（機能維持確認済加速度 等）に基づきフランジリティ評価を行う。</p> <p>フランジリティ評価のベースとする試験加速度レベルでは誤動</p>																					
<p>a. 機器の耐力係数 <math>F_{Ec}</math> の評価</p> <p>(a) 強度係数 <math>F_s</math> の評価</p> <p>本係数は下記の式で算出する。</p> $F_s = \frac{\text{損傷加速度中央値}}{\text{応答加速度}}$ <p>・損傷加速度中央値について</p> <p>弁のように、動的機能維持が必要な機器については、試験加速度（機能維持確認済加速度 等）に基づきフランジリティ評価を行う。</p> <p>フランジリティ評価のベースとする試験加速度レベルでは誤動</p>																					

## 泊発電所3号炉 有効性評価 比較表

赤字：設備、運用又は体制の相違（設計方針の相違）  
 青字：記載箇所又は記載内容の相違（記載方針の相違）  
 緑字：記載表現、設備名称の相違（実質的な相違なし）

第37条 付録1 事故シーケンスグループ及び重要事故シーケンス等の選定について  
 別添3. レベル1PRA 3.2 外部事象 3.2.1 地震 PRA

大飯発電所3／4号炉	女川原子力発電所2号炉	泊発電所3号炉	相違理由
<p>限界応力として J-SME 発電用原子力設備規格設計・建設規格（2005年度版）第I編付録図表Part5の引張応力 <math>S_u = 438 \text{N/mm}^2</math>（評価温度154°C）を採用する。この <math>S_u</math> 値の1.1倍を限界応力の中央値とする。</p> <p>したがって、  <math>\sigma_c = 1.1 \times S_u = 1.1 \times 438 = 481.8 \text{N/mm}^2</math></p> <p>なお、通常運転時応力は耐震評価の時点で考慮されていないため、0とする。  <math>\sigma_s = 0 \text{N/mm}^2</math></p> <p>以上より、強度に関する係数 <math>F_s</math> は、以下のとおりとなる。</p> $F_s = \frac{\sigma_c}{\sigma_T} = \frac{1.1 \times S_u}{\sigma_T} = \frac{481.8}{148} = 3.26$ <p>不確実さ <math>\beta_u</math> として、限界応力の中央値 <math>1.1 \times S_u</math> に対して、告示値 <math>S_u</math> が95%信頼下限に相当すると考える。</p> $\beta_u = \frac{1}{1.65} \ln \left( \frac{1.1 \times S_u}{S_u} \right) = 0.06 \quad (\beta_R = 0)$ <p>(b) 塑性エネルギー吸収効果に関する係数 <math>F_\mu</math></p> <p>電動弁構造部材の塑性変形によるエネルギー吸収効果はある程度期待できると考えられるが、今回の評価では安全側に本係数は考慮しないものとする。すなわち、以下のとおりとする</p> $F_\mu = 1.0, \quad \beta_R = \beta_U = 0$ <p>b. 機器応答係数 <math>F_{ER}</math></p>	<p>作・損傷が見られないことから、損傷加速度の <math>HCLPF = \text{試験加速度}</math> とする。また、誤動作・損傷に対する損傷加速度中央値 <math>A_m</math> を <math>HCLPF</math> から下記のように推定する。</p> $A_m = HCLPF / 0.9$ $= 9.5 / 0.9$ $= 10.56 \text{ (G)}$ <p>不確実さは、<math>A_m</math> と <math>HCLPF</math> より求める。<math>A_m</math> と <math>HCLPF</math> の関係は以下のとおりである。</p> $A_m = HCLPF \times \exp(1.65 \times (\beta_r + \beta_u))$ <p><math>\beta_r</math> と <math>\beta_u</math> は同程度と考え、<math>\beta_r = \beta_u</math> とする。</p> <p>以上より、本係数及び不確実さは以下の値とする。</p> $F_s = \frac{\text{損傷加速度中央値}}{\text{応答加速度}} = \frac{10.56}{5.15} = 2.05$ $\beta_r = 0.03, \quad \beta_u = 0.03$ <p>(b) 塑性エネルギー吸収係数 <math>F_\mu</math> の評価</p> <p>弁のような動的機器については、弹性範囲内で誤動作が生じることが否定できないため、本係数及び不確実さは以下の値とする。</p> $F_\mu = 1.00, \quad \beta_r = 0.00, \quad \beta_u = 0.00$ <p>b. 機器の応答係数 <math>F_{RE}</math> の評価</p> <p>当該弁の地震による応答加速度は、当該弁を含む配管のスペクトルモーダル解析により得られることから、機器の応答係数は配管に対して評価する。</p>	<p>作・損傷が見られないことから、<math>\beta</math> 設定法により誤動作・損傷に対する加速度の中央値を推定する。</p> <p>なお、弁等の動的機器に関する誤動作等の不確実さデータの知見は現状得られていないため、電気盤類の評価で用いた電気品の誤動作に関する不確実さよりも小さいと仮定し、<math>\beta_r = \beta_u = 0.10</math> とする。</p> <p>ここで、この <math>\beta</math> 設定法は、従来一般的に試験加速度として用いられてきた機能確認済加速度が、実際に誤動作等が生じる加速度レベルに対して十分に安全側との考え方から適用されているものである。</p> <p>以上から、弁の損傷加速度の中央値は、<math>\beta</math> 設定法に基づき以下のとおりとなる。</p> $\text{損傷加速度の中央値} = \text{試験加速度} \times \exp[1.65 \times (\beta_r + \beta_u)]$ $= 83.16 \times \exp[1.65 \times (0.10 + 0.10)] = 115.67 \text{m/s}^2$ <p>以上より、本係数及び不確実さは以下の値とする。</p> $F_s = \frac{\text{損傷加速度中央値}}{\text{応答加速度}} = \frac{115.67}{20.225} = 5.71$ $\beta_r = 0.10, \quad \beta_u = 0.10$ <p>(b) 塑性エネルギー吸収係数 <math>F_\mu</math> の評価</p> <p>弁のような動的機器については、弹性範囲内で誤動作が生じることが否定できないため、本係数及び不確実さは以下の値とする。</p> $F_\mu = 1.00, \quad \beta_r = 0.00, \quad \beta_u = 0.00$ <p>b. 機器の応答係数 <math>F_{ER}</math> の評価</p> <p>当該弁の地震による応答加速度は、当該弁を含む配管のスペクトルモーダル解析により得られることから、機器の応答係数は配管に対して評価する。</p>	<p>■評価方針の相違</p> <ul style="list-style-type: none"> <li>・大飯では、F<sub>s</sub>と不確実さを評価している</li> <li>・泊では、機能維持確認済加速度から、工学的判断で損傷限界値に関する不確実さを定めて、損傷限界値と F<sub>s</sub> を評価している</li> <li>・なお、動的機器については、大飯を含め他の PWR プラントでも同様である</li> </ul> <p>■記載方針の相違</p> <ul style="list-style-type: none"> <li>【大飯】</li> <li>■記載実績の反映による記載の</li> </ul>

## 泊発電所3号炉 有効性評価 比較表

赤字：設備、運用又は体制の相違（設計方針の相違）  
 青字：記載箇所又は記載内容の相違（記載方針の相違）  
 緑字：記載表現、設備名称の相違（実質的な相違なし）

第37条 付録1 事故シーケンスグループ及び重要事故シーケンス等の選定について  
 別添3. レベル1PRA 3.2 外部事象 3.2.1 地震PRA

大飯発電所3／4号炉	女川原子力発電所2号炉	泊発電所3号炉	相違理由
<p>(a) 床応答スペクトルの拡幅に関する係数 <math>F_{ESS}</math>          本係数は、設計で用いられる床応答スペクトルの拡幅に含まれる裕度を評価するものであり、次式により評価する。</p> $F_{ESS} = \frac{S_a \text{ (拡幅あり)}}{S_a \text{ (拡幅なし)}}$ <p>ただし、本一般電動弁は時刻歴解析を実施しているため、本係数は考慮しない。</p> <p>以上より、  <math>F_{ESS}=1.0</math>、<math>\beta_r=\beta_u=0</math></p> <p>(b) 設計用減衰定数に関する係数 <math>F_D</math>          本係数は、機器の損傷時の減衰定数の中央値に対する設計用減衰定数が持つ裕度を評価するものであり、次式により評価する。</p> $F_D = \frac{S_a \text{ (設計用減衰定数)}}{S_a \text{ (損傷時の減衰定数中央値)}}$ <p>ただし、本一般電動弁は時刻歴解析を実施しているため、本係数は考慮しない。</p>	<p>(a) スペクトル形状係数 <math>F_{SA}</math> の評価          本機器は拡幅した床応答スペクトルにより耐震評価を行っているため本係数を考慮する。なお、応答スペクトル比（拡幅後／拡幅前）は、サイト・プラントによらず有意な差はないと考えられるため、代表プラントで評価した値を用いる。</p> <p>代表プラントでの応答スペクトル比は、機器系の主要周期帯である0.05～0.1秒に対して1.1～1.4であり、この知見から中央値 <math>F_{SA}</math> を算定する。また、不確実さは応答スペクトル比の最小値と最大値がそれぞれ中央値に対し-95%下限値と+95%上限値に相当するものとみなし算定する。なお、不確実さは、本係数を各機器に対して一般値として適用するため、すべて <math>\beta_u</math> とする。</p> $F_{SA} = \sqrt{1.1 \times 1.4} = 1.24$ $\beta_u = \frac{1}{1.65 \times 2} \ln\left(\frac{1.4}{1.1}\right) = 0.07$ <p>以上より、本係数及び不確実さは以下の値とする。  <math>F_{SA}=1.24</math>、<math>\beta_r=0.00</math>、<math>\beta_u=0.07</math></p> <p>(b) 減衰係数 <math>F_D</math> の評価          本機器の設計用減衰定数と減衰定数の中央値での応答値の比は、下記のNewmark応答倍率式<sup>20</sup>を用いる。</p> $\text{応答値} = 3.21 - 0.68 \times \ln(h)$ <p>ここで、<math>h</math>：減衰定数（%）</p> <p>減衰定数の中央値及び不確実さは、振動試験データや基準類等を参考にして設定する。</p> <p>なお、不確実さ <math>\beta_c</math> は、振動試験による減衰データの下限値を設計用減衰として用いているため、設計用減衰定数による応答が減衰定数の中央値による応答の99%上限値と仮定して算出する。<math>\beta_r</math> と <math>\beta_u</math> は1:1で配分する。</p> <p>本機器においては、設計用減衰定数2.0%，減衰定数の中央値5.3%を用いる。</p> $F_D = \frac{3.21 - 0.68 \times \ln(2)}{3.21 - 0.68 \times \ln(5.3)} = 1.32$	<p>(a) スペクトル形状係数 <math>F_{ESS}</math> の評価          本機器は配管のスペクトルモーダル解析による応答解析に基づく応答加速度により評価しているが、配管の場合は支配的な振動モードが1次とは限らず、また、支配的な固有値を一意に特定できないため、保守的に考慮しない。</p> <p>以上より、本係数及び不確実さは以下の値とする。  <math>F_{ESS}=1.00</math>、<math>\beta_r=0.00</math>、<math>\beta_u=0.00</math></p> <p>(b) 減衰係数 <math>F_D</math> の評価          本機器は配管のスペクトルモーダル解析による応答解析に基づく応答加速度により評価しているが、配管の場合は支配的な振動モードが1次とは限らず、また、支配的な固有値を一意に特定できないため、保守的に考慮しない。</p> <p>以上より、本係数及び不確実さは以下の値とする。  <math>F_{ESS}=1.00</math>、<math>\beta_r=0.00</math>、<math>\beta_u=0.00</math></p>	<p>充実</p> <p>【大飯】      ■評価方針の相違      ・大飯では、弁の構造部材について保守的な評価として塑性変形によるエネルギー吸収を期待していない      ・女川と泊では、機能維持評価であることから、塑性エネルギー吸収を期待できないため、本係数は考慮していない      ・この扱いは、大飯を含め他のPWRプラントでも同様である</p>

泊発電所3号炉 有効性評価 比較表

赤字：設備、運用又は体制の相違（設計方針の相違）  
 青字：記載箇所又は記載内容の相違（記載方針の相違）  
 緑字：記載表現、設備名称の相違（実質的な相違なし）

第37条 付録1 事故シーケンスグループ及び重要事故シーケンス等の選定について  
 別添3. レベル1PRA 3.2 外部事象 3.2.1 地震PRA

大飯発電所3／4号炉	女川原子力発電所2号炉	泊発電所3号炉	相違理由
<p>以上より、  <math>F_B = 1.0, \beta_R = \beta_U = 0</math></p> <p>(c) 機器の解析モデル化に関する係数 <math>F_{EM}</math>          機器の解析モデル化は妥当であり、中央値に相当すると考える。          また、一般電動弁の耐震評価は、多質点系モデルを用いて行われており、モデル化に関する不確実さ <math>\beta_B</math> は以下の値とする。  <math>F_{EM} = 1.0, \beta_R = 0, \beta_U = 0.15</math></p> <p>(d) モード合成法に関する係数 <math>F_{EMC}</math>          本一般電動弁は時刻歴解析を実施しているため、本係数は考慮しない。  <math>F_{EMC} = 1.0, \beta_R = 0, \beta_U = 0</math></p>	<p><math>\beta_r = \beta_u = \frac{1}{2.33 \times \sqrt{2}} \ln \left( \frac{3.21 - 0.68 \times \ln(2)}{3.21 - 0.68 \times \ln(5.3)} \right) = 0.08</math></p> <p>以上より、本係数及び不確実さは以下の値とする。  <math>F_D = 1.32, \beta_r = 0.08, \beta_u = 0.08</math></p> <p>(c) モデル化係数 <math>F_M</math> の評価          機器の解析モデル化は妥当であり、中央値に相当すると考える。          また、本機器の耐震評価は多質点系モデルを用いて行われているため、不確実さは海外文献<sup>13</sup>より 0.15 とする。          以上より、本係数及び不確実さは以下の値とする。  <math>F_M = 1.00, \beta_r = 0.00, \beta_u = 0.15</math></p> <p>(d) モード合成係数 <math>F_{MC}</math> の評価          本機器はスペクトルモーダル解析を行っているため、モード合成法に含まれる余裕としては、「地震PSA学会標準」に基づき、本係数及び不確実さは以下の値とする。  <math>F_{MC} = 1.03, \beta_r = 0.13, \beta_u = 0.00</math></p> <p>c. 建屋応答係数 <math>F_{SR}</math> (建屋非線形応答に関する係数 <math>F_{NL}</math>)          建屋応答に関する各係数のうち建屋非線形応答に関する係数 <math>F_{NL}</math> 以外の係数については、第1.2.1.c-3-2表に示す建屋応答係数を用いる。以下では <math>F_{NL}</math> についてのみ示す。</p>	<p>以上より、本係数及び不確実さは以下の値とする。  <math>F_B = 1.00, \beta_r = 0.00, \beta_u = 0.10</math></p> <p>(c) モデル化係数 <math>F_{EM}</math> の評価          機器の解析モデル化は妥当であり、中央値に相当すると考える。          また、本機器の耐震評価は多質点系モデルを用いて行われているため、不確実さは海外文献<sup>13</sup>より 0.15 とする。          以上より、本係数及び不確実さは以下の値とする。  <math>F_{EM} = 1.00, \beta_r = 0.00, \beta_u = 0.15</math></p> <p>(d) モード合成係数 <math>F_{EMC}</math> の評価          本機器はスペクトルモーダル解析を行っているため、モード合成法に関する本係数及び不確実さは海外文献<sup>13</sup>に基づき以下の値とする。  <math>F_{EMC} = 1.00, \beta_r = 0.15, \beta_u = 0.00</math></p> <p>c. 建屋の応答係数 <math>F_{RS}</math> の評価          建屋応答に関する各係数は、第3.2.1.c-2-2表に示す原子炉建屋の応答係数を用いる。</p> <p>(a) 解放基盤表面の地震動に関する係数 <math>F_1</math> の評価</p>	<p>て本係数を考慮しない扱いとしている          • スペクトルモーダル解析を実施している配管については、大飯を含め他の PWR プラントでも同様である</p> <p>【女川】【大飯】          ■個別評価の相違          • 大飯では、時刻歴解析を実施していることから、本係数は考慮していない          • 女川と泊では、多質点系でスペクトルモーダル解析を実施していることから、モード合成に関する不確実さについては文献値の <math>\beta_r</math> を採用している          • なお、多質点系のスペクトルモーダル解析で耐震評価されている機器については、大飯を含め他の PWR プラントでも同様である</p> <p>【大飯】          ■記載方針の相違          • 泊は <math>F_{NL}</math> 以外の係数についても説明を記載している          【女川】          ■記載方針の相違          • <math>F_{SS}</math> は <math>F_1</math> を細分化したサブ応</p>

## 泊発電所3号炉 有効性評価 比較表

赤字：設備、運用又は体制の相違（設計方針の相違）  
 青字：記載箇所又は記載内容の相違（記載方針の相違）  
 緑字：記載表現、設備名称の相違（実質的な相違なし）

第37条 付録1 事故シーケンスグループ及び重要事故シーケンス等の選定について  
 別添 3. レベル1PRA 3.2 外部事象 3.2.1 地震PRA

大飯発電所3／4号炉	女川原子力発電所2号炉	泊発電所3号炉	相違理由
<p>建屋の非線形応答により建屋の入力レベルに応じて床応答スペクトルの長周期側ではスペクトル形状が変動すると考えられ、本係数ではこのスペクトル形状の変動の影響を不確実さとして考慮するため、本係数は以下のとおりとする。</p> <p><math>F_{NL}=1.0, \beta_r=0.17, \beta_u=0.10</math></p>	<p>本機器については、原子炉補機冷却水系配管の1次固有周期より短周期側の比の最小値を適用する。      以上より、本係数及び不確実さは以下の値とする。</p> <p><math>F_1=0.86, \beta_r=0.00, \beta_u=0.00</math></p> <p>(b) 建屋への入力地震動に関する係数<math>F_2</math>の評価      本係数及び不確実さは以下の値とする。  <math>F_2=1.00, \beta_r=0.20, \beta_u=0.15</math></p> <p>(c) 建屋の地震応答に関する係数<math>F_3</math>の評価      本係数及び不確実さは以下の値とする。  <math>F_3=1.00, \beta_r=0.20, \beta_u=0.15</math></p>	<p>本係数及び不確実さは、原子炉補助建屋の1次固有周期における応答スペクトルの比を適用し、以下の値とする。</p> <p><math>F_{SS}=1.00, \beta_r=0.00, \beta_u=0.00</math></p> <p>(b) 建屋の地震応答に関する係数の評価</p> <ul style="list-style-type: none"> <li>・ 建屋の減衰に関する係数<math>F_\delta</math>の評価          本係数及び不確実さは以下の値とする。  <math>F_\delta=0.99, \beta_r=0.08, \beta_u=0.00</math></li> <li>・ 建屋のモデル化に関する係数<math>F_M</math>の評価          本係数及び不確実さは以下の値とする。  <math>F_M=0.99, \beta_r=0.01, \beta_u=0.15</math></li> <li>・ 建屋の非線形応答に関する係数<math>F_{NL}</math>の評価          建屋の非線形応答により建屋の入力レベルに応じて床応答スペクトルの長周期側ではスペクトル形状が変動すると考えられ、本係数ではこのスペクトル形状の変動の影響を不確実さとして考慮する。          本係数及び不確実さは以下の値とする。  <math>F_{NL}=1.00, \beta_r=0.17, \beta_u=0.10</math></li> </ul>	<p>答係数であり、評価内容に相違はない  <b>【女川】</b>      ■評価方針の相違      ・泊は機器の固有周期による影響は建屋の非線形応答に関する係数<math>F_{NL}</math>で考慮している</p> <p><b>【女川】</b>      ■施設構造の相違      ・本係数は、地盤モデルに関する設計上の裕度を評価するものであり、泊は直接入力としていることから、考慮不要な係数である（大飯に記載はないが、泊と同様の評価となっている）</p> <p><b>【女川】</b>      ■記載方針の相違      ・女川は泊に記載の3つの係数を1つにまとめた記載となつており、評価内容に相違はない</p>

## 泊発電所3号炉 有効性評価 比較表

第37条 付録1 事故シーケンスグループ及び重要事故シーケンス等の選定について  
別添3. レベル1PRA 3.2 外部事象 3.2.1 地震PRA

赤字：設備、運用又は体制の相違（設計方針の相違）  
青字：記載箇所又は記載内容の相違（記載方針の相違）  
緑字：記載表現、設備名称の相違（実質的な相違なし）

大飯発電所3／4号炉		女川原子力発電所2号炉	泊発電所3号炉	相違理由																																																								
d. 評価結果のまとめ	各係数の評価結果を下表に示す。これらの結果より、一般電動弁のフラジリティ加速度の中央値A <sub>m</sub> 、その不確実さβ <sub>r</sub> ・β <sub>u</sub> 及びHCLPFは、以下のとおりとなる。  また、フラジリティ曲線を第1.2.1.c-3-5図に示す。  $A_m = 2.46 \text{ (G)}$ $\beta_r = 0.20, \beta_u = 0.27$ $HCLPF = A_m \times \exp[-1.65 \times (\beta_r + \beta_u)]$ $= 2.46 \times \exp[-1.65 \times (0.20 + 0.27)]$ $= 1.16 \text{ (G)}$	d. 評価結果のまとめ  各係数の評価結果を第3.2.1-c-2-12表に示す。これらの結果より、原子炉補機冷却水系弁のフラジリティ加速度の中央値A <sub>m</sub> 、その不確実さβ <sub>r</sub> ・β <sub>u</sub> 及びHCLPFは、以下の通りとなる。  また、フラジリティ曲線を第3.2.1.c-2-8図に示す。  $A_m = 3.03 \text{ (G)}$ $\beta_r = 0.25, \beta_u = 0.24$ $HCLPF = A_m \times \exp[-1.65 \times (\beta_r + \beta_u)]$ $= 3.03 \times \exp[-1.65 \times (0.25 + 0.24)]$ $= 1.35 \text{ (G)}$	d. 評価結果のまとめ  各係数の評価結果を第3.2.1-c-3-12表に示す。これらの結果より、一般代表弁のフラジリティ加速度の中央値A <sub>a</sub> 、その不確実さβ <sub>r</sub> ・β <sub>u</sub> 及びHCLPFは、以下の通りとなる。  また、フラジリティ曲線を第3.2.1.c-3-8図に示す。  $A_a = 3.13 \text{ (G)}$ $\beta_r = 0.27, \beta_u = 0.26$ $HCLPF = A_a \times \exp[-1.65 \times (\beta_r + \beta_u)]$ $= 3.13 \times \exp[-1.65 \times (0.27 + 0.26)]$ $= 1.34 \text{ (G)}$																																																									
表 一般電動弁 安全係数評価結果の一覧																																																												
<table border="1"> <thead> <tr> <th rowspan="2"></th> <th colspan="2">F<sub>EC</sub></th> <th colspan="2">F<sub>ER</sub></th> <th colspan="2">F<sub>RR</sub></th> <th colspan="2"></th> <th rowspan="2">合計</th> </tr> <tr> <th>F<sub>s</sub></th> <th>F<sub>p</sub></th> <th>F<sub>ERs</sub></th> <th>F<sub>ERp</sub></th> <th>F<sub>RRs</sub></th> <th>F<sub>RRp</sub></th> <th>F<sub>RS</sub></th> <th>F<sub>RP</sub></th> </tr> </thead> <tbody> <tr> <td>中央値</td> <td>3.26</td> <td>1.00</td> <td>1.00</td> <td>1.00</td> <td>1.00</td> <td>1.00</td> <td>1.07</td> <td>0.99</td> <td>1.00</td> <td>1.00</td> <td>2.46</td> </tr> <tr> <td>不確実さ</td> <td>β<sub>s</sub></td> <td>0.00</td> <td>0.00</td> <td>0.00</td> <td>0.00</td> <td>0.00</td> <td>0.15</td> <td>0.00</td> <td>0.00</td> <td>0.00</td> <td>0.17</td> <td>0.20</td> </tr> <tr> <td></td> <td>β<sub>p</sub></td> <td>0.12</td> <td>0.00</td> <td>0.00</td> <td>0.00</td> <td>0.15</td> <td>0.00</td> <td>0.00</td> <td>0.00</td> <td>0.15</td> <td>0.10</td> <td>0.27</td> </tr> </tbody> </table>						F <sub>EC</sub>		F <sub>ER</sub>		F <sub>RR</sub>				合計	F <sub>s</sub>	F <sub>p</sub>	F <sub>ERs</sub>	F <sub>ERp</sub>	F <sub>RRs</sub>	F <sub>RRp</sub>	F <sub>RS</sub>	F <sub>RP</sub>	中央値	3.26	1.00	1.00	1.00	1.00	1.00	1.07	0.99	1.00	1.00	2.46	不確実さ	β <sub>s</sub>	0.00	0.00	0.00	0.00	0.00	0.15	0.00	0.00	0.00	0.17	0.20		β <sub>p</sub>	0.12	0.00	0.00	0.00	0.15	0.00	0.00	0.00	0.15	0.10	0.27
	F <sub>EC</sub>		F <sub>ER</sub>			F <sub>RR</sub>				合計																																																		
	F <sub>s</sub>	F <sub>p</sub>	F <sub>ERs</sub>	F <sub>ERp</sub>	F <sub>RRs</sub>	F <sub>RRp</sub>	F <sub>RS</sub>	F <sub>RP</sub>																																																				
中央値	3.26	1.00	1.00	1.00	1.00	1.00	1.07	0.99	1.00	1.00	2.46																																																	
不確実さ	β <sub>s</sub>	0.00	0.00	0.00	0.00	0.00	0.15	0.00	0.00	0.00	0.17	0.20																																																
	β <sub>p</sub>	0.12	0.00	0.00	0.00	0.15	0.00	0.00	0.00	0.15	0.10	0.27																																																
<p>(参考資料)</p> <p>*13 : R. P. Kennedy and M. K. Ravindra, "Seismic Fragilities for Nuclear Power Plant Risk Studies", Nuclear Engineering and Design 79(1984)</p> <p>*14 : R. Kassawara. EPRI Report 1003121. "Methodology for Probabilistic Risk Assessment Applications of Seismic Margin Evaluations", Electric Power Research Institute. December 2001</p> <p>*15 : Westinghouse Electric Company. "AP-1000 Design Control Document", December 2011 (年・月は、AP1000標準設計認証修正版のNRC認可時期を示す)</p> <p>*16 : General Electric (GE) Nuclear Energy, "ABWR Design Document", March 1997 (年・月は、ABWR標準設計認証のNRC認可時期を示す)</p>				<p>(参考資料)</p> <p>*13 : R. P. Kennedy and M. K. Ravindra, "Seismic Fragilities for Nuclear Power Plant Risk Studies", Nuclear Engineering and Design 79(1984)</p> <p>*14 : R. Kassawara. EPRI Report 1003121. "Methodology for Probabilistic Risk Assessment Applications of Seismic Margin Evaluations", Electric Power Research Institute. December 2001</p> <p>*15 : Westinghouse Electric Company. "AP-1000 Design Control Document", December 2011 (年・月は、AP1000標準設計認証修正版のNRC認可時期を示す)</p> <p>*16 : General Electric (GE) Nuclear Energy, "ABWR Design Document", March 1997 (年・月は、ABWR標準設計認証のNRC認可時期を示す)</p>																																																								
				<p>【大飯】</p> <ul style="list-style-type: none"> <li>■記載箇所の相違           <ul style="list-style-type: none"> <li>・女川実績の反映</li> <li>・泊は第3.2.1.c-3-12表で整理している</li> </ul> </li> </ul> <p>【大飯】</p> <ul style="list-style-type: none"> <li>■記載の充実           <ul style="list-style-type: none"> <li>・女川の実績反映</li> </ul> </li> </ul>																																																								

## 泊発電所3号炉 有効性評価 比較表

赤字：設備、運用又は体制の相違（設計方針の相違）  
 青字：記載箇所又は記載内容の相違（記載方針の相違）  
 緑字：記載表現、設備名称の相違（実質的な相違なし）

第37条 付録1 事故シーケンスグループ及び重要事故シーケンス等の選定について

別添 3. レベル1PRA 3.2 外部事象 3.2.1 地震PRA

大飯発電所3／4号炉	女川原子力発電所2号炉	泊発電所3号炉	相違理由
1.2.1. d 事故シーケンス ①起因事象 (1) 評価対象とした起因事象のリスト、説明及び発生頻度 3.2.1. a. ②の地震時特有の要因による分類を踏まえた地震PRAにおける起因事象の扱いは以下のとおりである。また、起因事象の条件付発生確率を第1.2.1. d-1表に示す。  a. 格納容器バイパス  蒸気発生器の内部構造品である伝熱管等の損傷により、格納容器バイパスを発生させ得る事象として想定する。	*17 : 原子炉構造設計 数値解析から耐震設計まで、矢川元基・一宮正和、倍風館  *18 : 原子力発電所建屋のフラジリティ評価における認識的不確実さに関する研究(その3)まとめ、日本建築学会大会学術講演梗概集(九州)、2007年8月 *19 : 安全研究年報(平成24年度)、平成25年8月、独立行政法人原子力安全基盤機構  *20 : N.M. Newmark and W.J. Hall, "Development of Criteria for Seismic Review of Selected Nuclear Power Plants", NUREG/CR-0098  3.2.1. d 事故シーケンス ①起因事象 (1) 評価対象とした起因事象のリスト、説明及び発生頻度 3.2.1. a. ②にて同定した地震時特有の要因による分析を踏まえた地震PRAにおける起因事象及びその説明を以下に示す。また、起因事象の発生頻度を第3.2.1. d-1表に示す。  f. 格納容器バイパス  主蒸気隔離弁、原子炉冷却材浄化系隔離弁又は給水系隔離弁の損傷による原子炉冷却材圧力バウンダリの隔離失敗及び原子炉格納容器外の耐震重要度低クラス配管の損傷により、格納容器バイパスが発生する事象である。発生した場合の損傷程度が不明であり、どの程度緩和設備に期待できるか不明であるため、保守的に緩和手段のない事象として選定した。	*17 : 原子力発電所建屋のフラジリティ評価における認識的不確実さに関する研究(その3)まとめ、日本建築学会大会学術講演梗概集(九州)、2007年8月  *18 : N.M. Newmark and W.J. Hall, "Development of Criteria for Seismic Review of Selected Nuclear Power Plants", NUREG/CR-0098  3.2.1. d 事故シーケンス ①起因事象 (1) 評価対象とした起因事象のリスト、説明及び発生頻度 3.2.1. a. ②にて同定した地震時特有の要因による分類を踏まえた地震PRAにおける起因事象及びその説明を以下に示す。また、起因事象の発生頻度を第3.2.1. d-1表に示す。  a. 格納容器バイパス  蒸気発生器の内部構造品である伝熱管等の損傷により、格納容器バイパスが発生する事象である。発生した場合の損傷程度が不明であり、どの程度緩和設備に期待できるか不明であるため、保守的に緩和手段のない事象として選定した。	【女川】 ■個別評価の相違 ・参照している文献が異なる  【女川】 ■個別評価の相違 ・参照している文献が異なる  【女川】 ■炉型の相違 ・炉型が異なるため、抽出される起因事象が異なるため、大飯と比較する(女川のa～jは着色せず) 【女川】 ・泊の構成に合わせて女川の起因事象の記載順序を入れ替えている  【大飯】 ■記載方針の相違 ・女川実績の反映 (大飯のa～qは、相違理由説明を省略)

## 泊発電所3号炉 有効性評価 比較表

第37条 付録1 事故シーケンスグループ及び重要事故シーケンス等の選定について  
別添3. レベル1PRA 3.2 外部事象 3.2.1 地震PRA

赤字：設備、運用又は体制の相違（設計方針の相違）  
青字：記載箇所又は記載内容の相違（記載方針の相違）  
緑字：記載表現、設備名称の相違（実質的な相違なし）

大飯発電所3／4号炉	女川原子力発電所2号炉	泊発電所3号炉	相違理由
<p>b. 大破断LOCAを上回る規模のLOCA (Excess LOCA) 原子炉容器等の損傷によりECCS注水機能を上回るLOCAが発生する事象として想定する。本事象は直接炉心損傷に至る事象として取扱う。</p>	<p>e. ECCS容量を超える原子炉冷却材圧力バウンダリ喪失 (E-LOCA) 原子炉格納容器内配管の破断又はノズルの損傷により原子炉格納容器内に原子炉冷却材が流出する事象である。発生した場合の損傷程度及び漏えい量の特定が難しいため、保守的にECCS容量を超えるLOCAを想定し小破断・中破断・大破断LOCAを包絡する起因事象として選定した。（別紙3.2.1.d-1）</p>	<p>b. 大破断LOCAを上回る規模のLOCA (Excess LOCA) 原子炉容器等の損傷により原子炉格納容器内に原子炉冷却材が流出する事象である。ECCS容量を超えるLOCAであるため緩和手段のない起因事象として選定した。</p>	<p>【女川】 ■評価方針の相違 ・女川は大中小LOCAをE-LOCAに含めており、その評価方法についての資料を作成している</p>
<p>c. 原子炉建屋損傷 原子炉建屋が損傷することで、建屋内のすべての機器、配管が損傷して大規模なLOCAが発生する事象として想定する。本事象は直接炉心損傷に至る事象として取扱う。</p>	<p>b. 原子炉建屋損傷 原子炉建屋の損傷により、原子炉格納容器、原子炉圧力容器、非常用交流電源や注水設備等の広範囲にわたる建屋内の構築物及び緩和設備が損傷する事象である。発生した場合にどの程度緩和設備に期待できるか不明であるため、保守的に緩和手段のない起因事象として選定した。</p>	<p>c. 原子炉建屋損傷 原子炉建屋の損傷により、原子炉格納容器、原子炉容器、非常用交流電源や注水設備等の広範囲にわたる建屋内の構築物及び緩和設備が損傷する事象である。発生した場合にどの程度緩和設備に期待できるか不明であるため、保守的に緩和手段のない起因事象として選定した。</p>	
<p>d. 原子炉格納容器損傷 原子炉格納容器が損傷することで、建屋内のすべての機器、配管が損傷して大規模なLOCAが発生し、あわせて格納容器先行破損が発生する事象として想定する。本事象は直接炉心損傷に至る事象として取扱う。</p>	<p>c. 格納容器損傷 原子炉格納容器等の損傷により、原子炉圧力容器、原子炉格納容器内配管、主蒸気逃がし安全弁等の原子炉格納容器内及び周辺設備が損傷する事象である。発生した場合の損傷程度の特定が難しく、どの程度緩和設備に期待できるか不明であるため、保守的に緩和手段のない起因事象として選定した。</p>	<p>d. 原子炉格納容器損傷 原子炉格納容器等の損傷により、原子炉容器、原子炉格納容器内配管、加圧器逃がし弁、加圧器安全弁等の原子炉格納容器内及び周辺設備が損傷する事象である。発生した場合の損傷程度の特定が難しく、どの程度緩和設備に期待できるか不明であるため、保守的に緩和手段のない起因事象として選定した。</p>	
<p>e. 制御建屋損傷 制御建屋が損傷することで、制御建屋内の電気盤（メタルクラッドスイッチギア、直流き電盤等）が損傷し、代替電源の接続・供給ができない状態で「外部電源喪失+非常用所内交流電源喪失」が発生するとともに、主盤（原子炉盤等）が損傷することで各種制御が不能となる事象を想定する。本事象は直接炉心損傷に至る事象として取扱う。</p>	<p>g. 制御建屋損傷 制御建屋の損傷により、建屋内の中央制御盤及び直流電源等が損傷する事象である。事象発生時、ほぼ全ての安全機能の制御機能が喪失すると考えられるが、実際の影響範囲を特定することが難しいため、保守的に緩和手段のない事象として選定した。</p>	<p>e. 原子炉補助建屋損傷 原子炉補助建屋の損傷により、建屋内の運転コンソール、直流電源等が損傷する事象である。事象発生時、ほぼすべての安全機能の制御機能が喪失すると考えられるが、実際の影響範囲を特定することが難しいため、保守的に緩和手段のない事象として選定した。</p>	
<p>f. 電動弁損傷による原子炉補機冷却機能喪失 原子炉補機冷却水系のCヘッダ分離に失敗し原子炉補機冷却機能が喪失することでRCPシールLOCAが発生する事象を想定する。本事象は直接炉心損傷に至る事象として取扱う。</p>		<p>f. 電動弁損傷による原子炉補機冷却機能喪失 原子炉補機冷却水系のCヘッダに設置されている隔離弁（電動弁）の損傷により、耐震クラスの低い原子炉補機冷却水系のCヘッダの分離に失敗し、原子炉補機冷却機能が喪失することでRCPシールLOCAが発生する事象である。</p>	
<p>g. 1次系流路閉塞による2次系除熱機能喪失</p>		<p>g. 1次系流路閉塞による2次系除熱機能喪失</p>	

## 泊発電所3号炉 有効性評価 比較表

第37条 付録1 事故シーケンスグループ及び重要事故シーケンス等の選定について  
別添3 レベル1PRA 3.2 外部事象 3.2.1 地震 PRA

赤字：設備、運用又は体制の相違（設計方針の相違）  
青字：記載箇所又は記載内容の相違（記載方針の相違）  
緑字：記載表現、設備名称の相違（実質的な相違なし）

大飯発電所3／4号炉	女川原子力発電所2号炉	泊発電所3号炉	相違理由
<p><b>地震に起因する炉内構造物の変形・損傷により原子炉冷却系の流路が阻害されることで、原子炉トリップ後の蒸気発生器による自然循環を用いた炉心冷却に失敗する事象を想定する。本事象は直接炉心損傷に至る事象として取扱う。</b></p> <p><b>h. 複数の信号系損傷</b> 主盤（原子炉盤等）が損傷することで各種制御機能が不能となり、補助給水流量調整失敗や主蒸気逃がし弁を含む工学的安全施設の動作不能が発生し、2次冷却系からの除熱機能喪失となる事象を想定する。本事象は直接炉心損傷に至る事象として取扱う。</p> <p><b>i. 燃料集合体及び制御棒クラスタ損傷による原子炉停止機能喪失</b> 燃料棒や制御棒クラスタの損傷により、制御棒が挿入不能となる事象を想定する。本事象は直接炉心損傷に至る事象として取扱う。</p> <p><b>j. 大破断LOCA、中破断LOCA、小破断LOCA</b> 原子炉冷却材圧力バウンダリを構成する設備の損傷、損傷部位に応じて異なる起因事象が発生するとした。なお、小破断LOCAを下回る極小LOCAは、小破断LOCAで代表して評価する。</p> <p><b>k. 2次冷却系の破断</b> 主蒸気ライン配管の破損又はライン上の付帯機器（主蒸気逃がし弁、主蒸気安全弁）の損傷による2次冷却系からの除熱機能喪失を想定する。耐震クラスCの配管、機器については地震時には損傷しているとして扱っている。</p> <p><b>l. 原子炉補機冷却機能喪失</b> 原子炉補機冷却水系の機能喪失を想定する。なお、本事象はサポート系として扱っている。</p> <p><b>m. 外部電源喪失</b> 特高開閉所内の電気設備の碍子部を含めて、外部電源系の喪失を想定する。なお、本事象はサポート系として扱っている。</p> <p><b>n. 初期にPCS（主給水、主蒸気、復水系）が使用不可能な過渡事象／初期にPCSが使用可能な過渡事象</b></p>	<p><b>h. 計測・制御系喪失</b> 計測機器及び制御盤の損傷により、緩和設備が機能喪失する事象である。事象発生時、ほぼ全ての安全機能の制御機能が喪失すると考えられるが、実際の影響範囲を特定することが難しいため、保守的に緩和手段のない起因事象として選定した。</p> <p><b>i. 燃料集合体及び制御棒クラスタ損傷による原子炉停止機能喪失</b> 燃料集合体や制御棒クラスタの損傷により、制御棒の挿入性に影響がある事象である。事象発生時、制御棒が挿入不能となると考えられるが、実際の影響範囲を特定することが難しいため、保守的に緩和手段のない起因事象として選定した。</p> <p><b>j. 大破断LOCA、中破断LOCA、小破断LOCA</b> 原子炉冷却材圧力バウンダリを構成する設備の損傷により、原子炉格納容器内に原子炉冷却材が流出する事象である。なお、小破断LOCAを下回る極小LOCAは、小破断LOCAで代表して評価する。</p> <p><b>k. 2次冷却系の破断</b> 主蒸気ライン配管又はライン上の付帯機器（主蒸気逃がし弁、主蒸気安全弁）の損傷により、2次冷却系が喪失する事象である。なお、耐震クラスCの配管、機器については地震時には損傷しているとして扱っている。</p> <p><b>l. 原子炉補機冷却機能喪失</b> 原子炉補機冷却水系や原子炉補機冷却海水系の損傷により、原子炉補機冷却機能が喪失する事象である。</p> <p><b>m. 外部電源喪失</b> 地震耐力の小さい外部電源設備の損傷により引き起こされる過渡事象である。</p> <p><b>n. 主給水流量喪失</b> 主給水系の損傷により、主給水流量が喪失する事象である。</p>	<p>炉内構造物等の損傷により、原子炉冷却系の流路が阻害される事象である。事象発生時、原子炉トリップ後の蒸気発生器による自然循環を用いた炉心冷却に失敗すると考えられるが、実際の影響範囲を特定することが難しいため、保守的に緩和手段のない起因事象として選定した。</p> <p>h. 複数の信号系損傷 運転コンソール等の損傷により、各種制御が不能となる事象である。事象発生時、ほぼすべての安全機能の制御機能が喪失すると考えられるが、実際の影響範囲を特定することが難しいため、保守的に緩和手段のない起因事象として選定した。</p> <p>i. 燃料集合体及び制御棒クラスタ損傷による原子炉停止機能喪失 燃料集合体や制御棒クラスタの損傷により、制御棒の挿入性に影響がある事象である。事象発生時、制御棒が挿入不能となると考えられるが、実際の影響範囲を特定することが難しいため、保守的に緩和手段のない起因事象として選定した。</p> <p>j. 大破断LOCA、中破断LOCA、小破断LOCA 原子炉冷却材圧力バウンダリを構成する設備の損傷により、原子炉格納容器内に原子炉冷却材が流出する事象である。なお、小破断LOCAを下回る極小LOCAは、小破断LOCAで代表して評価する。</p> <p>k. 2次冷却系の破断 主蒸気ライン配管又はライン上の付帯機器（主蒸気逃がし弁、主蒸気安全弁）の損傷により、2次冷却系が喪失する事象である。なお、耐震クラスCの配管、機器については地震時には損傷しているとして扱っている。</p> <p>l. 原子炉補機冷却機能喪失 原子炉補機冷却水系や原子炉補機冷却海水系の損傷により、原子炉補機冷却機能が喪失する事象である。</p> <p>m. 外部電源喪失 地震耐力の小さい外部電源設備の損傷により引き起こされる過渡事象である。</p> <p>n. 主給水流量喪失 主給水系の損傷により、主給水流量が喪失する事象である。</p>	<p>【大飯】 ■記載表現の相違 ・燃料棒⇒燃料集合体</p> <p>【大飯】 ■記載方針の相違</p>

## 泊発電所3号炉 有効性評価 比較表

第37条 付録1 事故シーケンスグループ及び重要事故シーケンス等の選定について  
別添 3. レベル1PRA 3.2 外部事象 3.2.1 地震 PRA

赤字：設備、運用又は体制の相違（設計方針の相違）  
青字：記載箇所又は記載内容の相違（記載方針の相違）  
緑字：記載表現、設備名称の相違（実質的な相違なし）

大飯発電所3／4号炉	女川原子力発電所2号炉	泊発電所3号炉	相違理由
<p>地震時には過渡事象が想定されるが、過渡事象は、主給水流量喪失で代表して評価する。</p> <p>o. インターフェイスシステムLOCA (IS-LOCA) IS-LOCAは、余熱除去系隔離弁の誤開若しくは弁の内部破損により1次冷却材が低圧設計の2次側に流出する事象として想定される。ただし、地震により多重の余熱除去系隔離弁（電動弁）が同時に誤開するような状況は稀有である。また、地震により弁体内部破損のような構造損傷が発生するよりも弁と接続する配管の構造損傷の方が先行して発生すると考えられ、配管破損であれば隔離弁は健全な可能性が高く隔離機能に期待できる。したがって、IS-LOCAが発生する頻度は稀有として評価対象外とする。</p> <p>p. 手動停止 地震では原子炉トリップを想定するため、手動停止は評価対象外とする。</p> <p>q. ATWS 原子炉トリップ失敗事象としてATWSを想定する。地震による原子炉トリップは、加速度計の地震加速度高信号で考慮した。ただし、外部電源が喪失している場合には制御棒の自動落下を考慮して、原子炉トリップ信号は不要とした。ATWSは保守的に炉心損傷に至るものとして炉心損傷頻度評価を行った。</p>	<p>d. 圧力容器損傷 原子炉圧力容器の損傷により大規模なLOCAの発生及び緩和設備が機能喪失する事象を想定する。発生した場合の損傷程度の特定が難しく、どの程度緩和設備に期待できるか不明であるため、保守的に緩和手段のない起因事象として選定した。</p> <p>i. 直流電源喪失 直流電源設備の損傷により、非常用ディーゼル発電機の起動失敗、直流電源で機能する緩和設備が機能喪失する事象である。発生した場合にはほぼ全ての安全機能の制御機能が喪失すると考えられるが、実際の影響範囲を特定することが難しいため、保守的に緩和手段のない事象として選定した。</p> <p>j. 交流電源・原子炉補機冷却系喪失 非常用交流母線、非常用ディーゼル発電機及び原子炉補機冷却系機器の損傷により、非常用交流電源が喪失する事象であ</p>	<p>なお、初期にPCS（主給水、主蒸気、復水系）が使用不可能な過渡事象や初期にPCSが使用可能な過渡事象については主給水流量喪失で代表して評価する。</p> <p>o. ATWS 原子炉トリップが必要な起因事象発生時に原子炉トリップに失敗する事象である。保守的に緩和手段のない起因事象として選定した。地震による原子炉トリップは、地震加速度トリップ信号の加速度大信号で考慮した。ただし、外部電源が喪失している場合には制御棒の自動落下を考慮して、原子炉トリップ信号は不要とした。</p>	<p>【大飯】 ■記載方針の相違 ・ここでは3.2.1.a.②にて同定した地震PRAにおける起因事象を記載するため、泊は内部事象PRAで考慮していた起因事象のうち地震PRAでは除外する起因事象の説明は記載しない ・第3.2.1.a-3表のとおり、泊で除外する起因事象と除外理由は大飯と同様である</p>

## 泊発電所3号炉 有効性評価 比較表

赤字：設備、運用又は体制の相違（設計方針の相違）  
 青字：記載箇所又は記載内容の相違（記載方針の相違）  
 緑字：記載表現、設備名称の相違（実質的な相違なし）

第37条 付録1 事故シーケンスグループ及び重要事故シーケンス等の選定について  
 別添3. レベル1PRA 3.2 外部事象 3.2.1 地震PRA

大飯発電所3／4号炉	女川原子力発電所2号炉	泊発電所3号炉	相違理由
<p>(2) 階層イベントツリーとその説明</p> <p>事故シーケンスの定量化では、第1.2.1. d-1図の起因事象階層ツリーで、地震により発生する起因事象の発生確率の和が1.0を越えないように取扱い、先行するヘディングにあるすべての起因事象が発生しない場合は、主給水流量喪失が発生するものとして評価する。また、先行するヘディングにある起因事象は後続のヘディングにある起因事象が重複した場合でもその影響を含めできるように配列する。</p> <p>階層化した各起因事象の発生確率は、それぞれ対象とするSSCを設定し、そのフラジリティを評価することで算出する。また、後続のヘディングで考慮する起因事象の発生確率は、先行のヘディングで設定した起因事象が発生しない条件付きの確率として評価する。</p>	<p>る。また、事象発生の有無により、その後のプラントの挙動が大きく異なるため、起因事象として選定した。</p> <p>(2) 階層イベントツリーとその説明</p> <p>選定した起因事象の発生頻度を合理的に評価するため、階層イベントツリーにより起因事象の階層化を行った。階層イベントツリーのヘディングは、内部事象PRAと地震PRAとの境界を明確にするために地震による外部電源喪失を先頭とし、以降、各起因事象を発生時の影響の大きい順に配列した。第3.2.1. d-1図に地震PRAの階層イベントツリーを示す。</p> <p>起因事象の発生頻度は、それぞれ関連する事象をイベントツリーのヘディングに設定し、それぞれ対象となるSSCのフラジリティ及びランダム故障確率を評価することで算出する。なお、後続のヘディングの分岐確率は、内部事象PRAとの境界となる外部電源喪失を除き、先行のヘディングで考慮している事象が発生しないという条件において評価する。（別紙3.2.1. d-2）</p>	<p>(2) 階層イベントツリーとその説明</p> <p>選定した起因事象の発生頻度を合理的に評価するため、階層イベントツリーにより起因事象の階層化を行った。階層イベントツリーのヘディングは、各起因事象を発生時の影響の大きい順に配列し、先行するヘディングにあるすべての起因事象が発生しない場合は、主給水流量喪失が発生するものとした。第3.2.1. d-1図に地震PRAの階層イベントツリーを示す。</p> <p>起因事象の発生頻度は、それぞれ関連する事象をイベントツリーのヘディングに設定し、それぞれ対象となるSSCのフラジリティを評価することで算出する。なお、後続のヘディングの分岐確率は、先行のヘディングで考慮している起因事象が発生しない場合には、主給水流量喪失として扱う。（補足3.2.1. d-1）</p>	<p>【女川】</p> <p>■評価方針の相違</p> <ul style="list-style-type: none"> <li>・泊は外部電源喪失の発生の有無を内部事象PRAと地震PRAの境界とはしておらず、地震により外部電源が健全な場合でも地震PRAの評価範囲としている（大飯と同様）</li> <li>・泊は常用系で耐震クラスの低い主給水系の機器損傷による主給水流量喪失が必ず発生するものとしている（大飯と同様）</li> </ul> <p>【女川】</p> <p>■評価方針の相違</p> <ul style="list-style-type: none"> <li>・泊は起因事象発生頻度にランダム故障を含めていない</li> <li>・泊は外部電源喪失の発生の有無を内部事象PRAと地震PRAの境界とはしておらず、地震により外部電源が健全な場合でも地震PRAの評価範囲としている</li> <li>・泊は常用系で耐震クラスの低い主給水系の機器損傷による主給水流量喪失が必ず発生するものとしている</li> </ul>
<p>②成功基準</p> <p>(1) 成功基準の一覧</p>	<p>②成功基準</p> <p>(1) 成功基準の一覧</p>	<p>②成功基準</p> <p>(1) 成功基準の一覧</p>	

## 泊発電所3号炉 有効性評価 比較表

赤字：設備、運用又は体制の相違（設計方針の相違）  
 青字：記載箇所又は記載内容の相違（記載方針の相違）  
 緑字：記載表現、設備名称の相違（実質的な相違なし）

第37条 付録1 事故シーケンスグループ及び重要事故シーケンス等の選定について  
 別添3. レベル1PRA 3.2 外部事象 3.2.1 地震PRA

大飯発電所3／4号炉	女川原子力発電所2号炉	泊発電所3号炉	相違理由
<p>炉心損傷を防止するための緩和系の成功基準及び余裕時間は、地震時においても内部事象出力時レベル1PRAと相違ない。したがって、地震PRAにおける成功基準は、内部事象出力時レベル1PRAと同様のものを採用する。</p> <p>使命時間については、内部事象出力時レベル1PRAと同様に24時間を考慮し、地震動で損傷した機器の修理は期待していない。</p> <p>また、空調系の機能喪失から7日後に部屋の温度が許容温度を超える場合には、室内にある設備が機能喪失するとした。</p> <p>③事故シーケンス          (1) イベントツリー          イベントツリーのヘディングは、地震に引き続き発生する、プラントの事故に至る起因事象、緩和機能及び緩和機能に関わるシステム等を選定した。</p> <p>イベントツリーの展開では、第1.2.1.d-1図に示した起因事象の階層イベントツリーと緩和機能の状態を表す事象進展イベントツリーに展開する。</p>	<p>炉心損傷を防止するための緩和系の成功基準及び余裕時間は、地震時においても内部事象PRAと相違ない。ただし、同様の系統は完全相關を仮定しているため、事故緩和に必要な系統数は考慮していない。また、緩和手段がない事象については成功基準を設定していない。</p> <p>使命時間については、内部事象PRAと同様に24時間とする。また、地震動で損傷した機器の復旧は期待しない。（別紙3.2.1.d-3）</p> <p>③事故シーケンス          (1) イベントツリー          イベントツリーは小イベントツリー／大フォールトツリー法に基づいて作成し、ヘディングは、地震に引き続き発生する、プラントの事故に至る起因事象、緩和機能に関わるシステム及び事象の進展に影響する重要な設備状態及び運転員操作を選定した。また、炉心損傷防止の観点から、「原子炉停止機能」、「原子炉冷却機能」の安全機能に着目し、炉心損傷に至る事故シーケンスグループの分類を行った。分類した結果を第3.2.1.d-2表に示す。</p> <p>本評価では、以下に示す3つのイベントツリーを作成し、各々を結合した。</p>	<p>炉心損傷を防止するための緩和系の成功基準及び余裕時間は、地震時においても内部事象PRAと相違ない。ただし、同様の系統は完全相關を仮定しているため、事故緩和に必要な系統数は考慮していない。また、緩和手段がない事象については成功基準を設定していない。（補足3.2.1.d-2）</p> <p>使命時間については、内部事象PRAと同様に24時間とする。また、地震動で損傷した機器の復旧は期待していない。（補足3.2.1.d-3）</p> <p>また、空調系の機能喪失から7日後に部屋の温度が許容温度を超える場合には、室内にある設備が機能喪失するとした。</p> <p>③事故シーケンス          (1) イベントツリー          イベントツリーは小イベントツリー／大フォールトツリー法に基づいて作成し、ヘディングは、地震に引き続き発生する、プラントの事故に至る起因事象、緩和機能に関わるシステム及び事象の進展に影響する重要な設備状態及び運転員操作を選定した（補足3.2.1.c-3）。また、炉心損傷防止の観点から、「原子炉停止機能」、「原子炉冷却機能」の安全機能に着目し、炉心損傷に至る事故シーケンスグループの分類を行った。分類した結果を第3.2.1.d-2表に示す。</p> <p>本評価では、以下に示す3つのイベントツリーを作成し、各々を結合した。（補足3.2.1.d-4）</p>	<p>【女川】          ■記載の充実          ・泊は地震PRAの成功基準について補足説明資料を作成している（大飯に記載はないが、泊と同様となっている）</p> <p>【女川】          ■評価方針の相違          ・泊は事象発生7日後の室温評価をもとに、緩和設備のサポートシステムとして換気空調系を必要とする場合には、換気空調系をモデル化している（大飯と同様）</p> <p>【女川】          ■記載内容の相違          ・泊は地震PRAにおける評価手法変更に関する補足説明資料を作成している</p> <p>【女川】          ■記載の充実          ・泊は小イベントツリー法と大イベントツリー法における評価結果の取り扱いの差異につ</p>

## 泊発電所3号炉 有効性評価 比較表

第37条 付録1 事故シーケンスグループ及び重要事故シーケンス等の選定について  
別添3. レベル1PRA 3.2 外部事象 3.2.1 地震PRA

赤字：設備、運用又は体制の相違（設計方針の相違）  
青字：記載箇所又は記載内容の相違（記載方針の相違）  
緑字：記載表現、設備名称の相違（実質的な相違なし）

大飯発電所3／4号炉	女川原子力発電所2号炉	泊発電所3号炉	相違理由
<p>事象進展イベントツリーは、内部事象出力時レベル1PRAで作成された影響緩和系を頂上事象としたフロントライン系イベントツリーを基に設定する。緩和系システムのサポート系及び緩和系システム間の共用系をフロントライン系から分離し、それぞれをイベントツリーに展開し、各々のイベントツリーを結合する。本評価では、以下に示す5つのイベントツリーを作成し、各々を結合した。地震評価用のイベントツリーの展開構成を第1.2.1.d-2図に示す。結合した各イベントツリーの情報は下流のイベントツリーに引き継がれる。</p> <p>a. 地震損傷機器イベントツリー 地震により機器が損傷した場合に影響を受けるシステムを、地震損傷機器イベントツリーのヘディングに設定する。地震損傷機器イベントツリーでは、地震による建物・構築物・機器の地震損傷をモデル化する。地震損傷機器イベントツリーを第1.2.1.d-3図に示す。</p> <p>b. サポート系イベントツリー フロントラインのサポートティングシステムである電源系、計測・制御系、冷却水系等のシステムをサポート系イベントツリーのヘディングに設定する。サポート系イベントツリーでは、内部事象出力時レベル1PRAで考慮したランダム故障及び人的過誤をモデル化する。サポート系イベントツリーを第1.2.1.d-4図に示す。</p> <p>c. 起因事象階層ツリー</p> <p>地震に引き続き発生する、プラントの事故に至る起因事象は、起因事象階層ツリーで考慮する。起因事象階層ツリーは</p>	<p>a. 階層イベントツリー</p> <p>地震発生による外部電源喪失と組み合わせて、プラントの事故に至る起因事象は、階層イベントツリーで考慮する。階</p>	<p>a. 起因事象階層イベントツリー</p> <p>地震による機器損傷により発生するプラントの事故に至る起因事象は、階層イベントツリーで考慮する。起因事象階層イベント</p>	<p>いて補足説明資料を作成している（大飯に記載はないが、泊と同様となっている）</p> <p>【大飯】</p> <ul style="list-style-type: none"> <li>■評価手法の相違           <ul style="list-style-type: none"> <li>・泊は小イベントツリー法、大飯は大イベントツリー法を用いているため、地震により損傷した機器の情報を引き継ぐためのイベントツリーの構成が異なる（高浜、美浜と同様）</li> </ul> </li> </ul> <p>【大飯】</p> <ul style="list-style-type: none"> <li>■記載表現の相違           <ul style="list-style-type: none"> <li>・起因事象階層ツリー⇒起因事象階層イベントツリー (以下、相違理由説明を省略)</li> </ul> </li> </ul> <p>【女川】</p> <ul style="list-style-type: none"> <li>■記載表現の相違           <ul style="list-style-type: none"> <li>・階層イベントツリー⇒起因事象階層イベントツリー (以下、相違理由説明を省略)</li> </ul> </li> </ul> <p>【大飯】</p> <ul style="list-style-type: none"> <li>■評価方針の相違</li> </ul>

## 泊発電所3号炉 有効性評価 比較表

赤字：設備、運用又は体制の相違（設計方針の相違）  
 青字：記載箇所又は記載内容の相違（記載方針の相違）  
 緑字：記載表現、設備名称の相違（実質的な相違なし）

第37条 付録1 事故シーケンスグループ及び重要事故シーケンス等の選定について  
 別添 3. レベル1PRA 3.2 外部事象 3.2.1 地震PRA

大飯発電所3／4号炉	女川原子力発電所2号炉	泊発電所3号炉	相違理由
第1.2.1. d-1図で記載のとおりである。	層イベントツリーは第3.2.1. d-1図の通りである。	ツリーは第3.2.1. d-1図の通りである。	<ul style="list-style-type: none"> <li>泊は外部電源喪失が必ず発生する想定とはしていない（大飯と同様）</li> </ul> <p>【大飯】</p> <ul style="list-style-type: none"> <li>評価手法の相違</li> </ul>
<b>d. 共用系イベントツリー</b> フロントラインシステムで共用される設備や運転員操作等を共用系イベントツリーのヘディングに設定する。共用系イベントツリーでは、内部事象出力時レベル1PRAで考慮したランダム故障及び人的過誤をモデル化する。共用系イベントツリーを第1.2.1. d-5図に示す。			<ul style="list-style-type: none"> <li>大飯は大イベントツリー法を用いているため、地震により損傷した共用設備や運転員操作の成否の情報を引き継ぐためのイベントツリーが必要となる（泊は高浜、美浜と同様）</li> </ul> <p>【女川】</p> <ul style="list-style-type: none"> <li>評価方針の相違</li> </ul>
	<b>b. 外部電源喪失時イベントツリー</b> 階層イベントツリーの外部電源ヘディング失敗後のヘディングに全て成功した場合、本ツリーに至る。外部電源喪失時イベントツリーでは非常用交流電源は既に確保されているとする。外部電源喪失時イベントツリーを第3.2.1. d-2図に示す。		<p>【女川】</p> <ul style="list-style-type: none"> <li>女川は外部電源喪失時の緩和設備の使用可否により炉心損傷状態を分類している</li> </ul>
	<b>c. 全交流動力電源喪失時イベントツリー</b> 非常用交流電源の確保に失敗し、スクラムに成功した場合に、本ツリーに至る。全交流動力電源喪失時イベントツリーを第3.2.1. d-3図に示す。		<p>【女川】</p> <ul style="list-style-type: none"> <li>評価方針の相違</li> </ul>
		<b>b. 過渡分類イベントツリー</b> 階層イベントツリーのヘディングにすべて成功した場合、本ツリーに至る。過渡分類イベントツリーでは全交流動力電源喪失、原子炉補機冷却機能喪失及び外部電源喪失が発生している事象を識別する。外部電源喪失が発生していない場合、主給水流量喪失に至る。過渡分類イベントツリーを第3.2.1. d-2図に示す。	<p>【女川】</p> <ul style="list-style-type: none"> <li>評価方針の相違</li> </ul>
		<b>c. フロントライン系イベントツリー</b> 緩和手段に期待できる場合に、本ツリーに至る。フロントライン系イベントツリーを第3.2.1. d-3図に示す。	<p>【大飯】</p> <ul style="list-style-type: none"> <li>記載表現の相違</li> </ul>
<b>e. フロントライン系イベントツリー</b> フロントライン系イベントツリーでは、内部事象出力時レベル1PRAで構築したイベントツリーを用いる。フロントライン系イベントツリーでは、内部事象出力時レベル1PRAで考慮したランダム故障及び人的過誤をモデル化する。フロントライン系イベントツリーとして、大破断LOCAイベ			<ul style="list-style-type: none"> <li>泊は a. 起因事象階層イベントツリー, b. 過渡分類イベントツリーの記載に合わせているが、外部電源喪失及び原子炉補機</li> </ul>

## 泊発電所3号炉 有効性評価 比較表

第37条 付録1 事故シーケンスグループ及び重要事故シーケンス等の選定について  
別添3. レベル1PRA 3.2 外部事象 3.2.1 地震PRA

赤字：設備、運用又は体制の相違（設計方針の相違）  
青字：記載箇所又は記載内容の相違（記載方針の相違）  
緑字：記載表現、設備名称の相違（実質的な相違なし）

大飯発電所3／4号炉	女川原子力発電所2号炉	泊発電所3号炉	相違理由
<p>ントツリー、中破断LOCAイベントツリー、小破断LOCAイベントツリー、2次冷却系の破断イベントツリー及び主給水流量喪失イベントツリーを第1.2.1.d-6～10図に示す。</p> <p>なお、起因事象のうち外部電源喪失及び原子炉補機冷却機能喪失については、当該機能を構成する機器が地震により損傷する確率を地震損傷機器イベントツリーのヘディングとして考慮しており、イベントツリーリンキングで結合した情報が下流のイベントツリーに引き継がれるため、イベントツリー全体の評価結果を分析することで外部電源喪失及び原子炉補機冷却機能喪失の起因事象に対する炉心損傷頻度を整理している。</p> <p>④システム信頼性</p> <p>(1) 評価対象としたシステムとその説明</p> <p>内部事象出力時レベル1PRA評価でまとめた情報の活用や、地震による建屋・機器ごとの損傷モードによるプラントへの影響を整理して作成した建屋・機器リストを使って対象範囲を明確にした。各系統の情報や依存性については内部事象出力時レベル1PRAと同等である。</p> <p>また、B及びCクラス機器に対しても地震の影響を考慮している。</p> <p>(2) 機器損傷に関する機器間の相関の取扱い</p> <p>高圧注入系等の冗長設備は基本的に同一の耐震設計がなされた</p>	<p>④システム信頼性</p> <p>(1) 評価対象としたシステムとその説明</p> <p>内部事象PRAでまとめた情報の活用や、地震による建屋・機器ごとの損傷モードによるプラントへの影響を整理して作成した建屋・機器リストを使って対象範囲を明確にした。各系統の情報や依存性については内部事象PRAと同等である。</p> <p>なお、給復水系等の耐震重要度B又はCクラスの設備は基本的に期待しない。ただし、以下に示す安全設備の使命時間内の機能維持に必要となる設備は評価対象とする。評価対象システムの一覧を第3.2.1.d-3表に示す。</p> <ul style="list-style-type: none"> <li>・燃料移送系</li> <li>・軽油タンク</li> <li>・耐震重要度Bクラス配管</li> </ul> <p>(2) 機器損傷に関する機器間の相関の取り扱い</p> <p>冗長設備は基本的に同一の耐震設計がなされた上で同一フロア</p>	<p>④システム信頼性</p> <p>(1) 評価対象としたシステムとその説明</p> <p>内部事象PRAでまとめた情報の活用や地震による建屋・機器ごとの損傷モードによるプラントへの影響を整理して作成した建屋・機器リストを使って対象範囲を明確にした。各系統の情報や依存性については内部事象PRAと同等である。</p> <p>なお、タービンバイパス系等の耐震重要度B又はCクラスの設備は基本的に期待しない。ただし、以下に示す安全設備の使命時間内の機能維持に必要となる設備は評価対象とする。評価対象システムの一覧を第3.2.1.d-3表に示す。</p> <ul style="list-style-type: none"> <li>・安全補機に関わる空調系</li> <li>・空調用冷水系</li> </ul> <p>(2) 機器損傷に関する機器間の相関の取扱い</p> <p>冗長設備は基本的に同一の耐震設計がなされた上で同一フロア</p>	<p>冷却機能喪失を起因事象としたイベントツリーも構築していること以外は大飯と同様である</p> <p>【大飯】</p> <p>■評価方針の相違</p> <ul style="list-style-type: none"> <li>・泊は外部電源喪失及び原子炉補機冷却機能喪失を起因事象としたイベントツリーも構築しているが、大飯はイベントツリー法を用いているため、サポート系である外部電源及び原子炉冷却系の喪失の情報は地震損傷機器イベントツリーで扱っており、外部電源喪失及び原子炉補機冷却機能喪失を起因事象としたイベントツリーは構築していない（高浜、美浜と同様）</li> </ul> <p>【女川】</p> <p>■記載表現の相違</p> <ul style="list-style-type: none"> <li>・内部事象PRAでモデル化している設備のうち、耐震性が低く地震PRAでは期待しない設備を記載しており、炉型により該当する設備が異なる（大飯に記載はないが、泊と同様となっている）</li> </ul>

## 泊発電所3号炉 有効性評価 比較表

赤字：設備、運用又は体制の相違（設計方針の相違）  
 青字：記載箇所又は記載内容の相違（記載方針の相違）  
 緑字：記載表現、設備名称の相違（実質的な相違なし）

第37条 付録1 事故シーケンスグループ及び重要事故シーケンス等の選定について  
 別添3. レベル1PRA 3.2 外部事象 3.2.1 地震PRA

大飯発電所3／4号炉	女川原子力発電所2号炉	泊発電所3号炉	相違理由
<p>上で同一フロアに設置されているため、機器が損傷する場合は冗長性のあるすべての機器は損傷するとして完全相關を想定した。それ以外の機器間の相關は完全独立を想定した。</p> <p>(3) システム信頼性評価結果</p> <p>条件付き分岐確率イベントツリー法により解析しているため、地震による損傷を考慮したシステムごとの信頼性は、システムごとに機器の損傷確率と地震加速度との関係を考慮して、さらにランダム故障を含めて評価している。</p>	<p>に設置されるため、同様の系統及び機器に対する機能喪失は、系統間及び機器間で完全に従属するものとした。それ以外の系統間及び機器間の相関は完全独立を想定した。</p> <p>(3) システム信頼性評価結果</p> <p>起因事象の原因となる設備及び起因事象を緩和する設備は、内部事象PRAにおけるシステム信頼性評価の結果及び、地震の影響を受ける可能性がある設備については建屋・機器フランジリティ評価の結果も考慮して信頼性評価を実施した。</p>	<p>に設置されるため、同様の系統及び機器に対する機能喪失は、系統間及び機器間で完全に従属するものとした。それ以外の系統間及び機器間の相関は完全独立を想定した。</p> <p>(3) システム信頼性評価結果</p> <p>起因事象の原因となる設備及び起因事象を緩和する設備は、内部事象PRAにおけるシステム信頼性評価の結果及び、地震の影響を受ける可能性がある設備については建屋・機器フランジリティ評価の結果も考慮して信頼性評価を実施した。</p>	<p>【大飯】</p> <ul style="list-style-type: none"> <li>■評価方針の相違                     <ul style="list-style-type: none"> <li>・泊は小イベントツリー法を用いているが、大飯と同様に機器の損傷確率と地震加速度との関係を考慮し、ランダム故障を含めた評価を実施している（高浜、美浜と同様）</li> </ul> </li> </ul>
<p>(4) システム信頼性評価を実施せずに設定した非信頼度とその根拠</p> <p>地震PRAでは損傷した機器の復旧に期待しないため、原子炉補機冷却機能が喪失した場合は封水注入及びRCPサーマルバリアによる冷却機能が喪失することから、原子炉補機冷却機能喪失のRCPシールLOCAヘディングの失敗確率を1.0とした。</p>	<p>(4) システム信頼性評価を実施せずに設定した非信頼度とその根拠</p> <p>本評価では、システム信頼性評価を実施せずに設定した非信頼度はない。</p>	<p>(4) システム信頼性評価を実施せずに設定した非信頼度とその根拠</p> <p>地震PRAでは損傷した機器の復旧に期待しないため、原子炉補機冷却機能が喪失した場合は封水注入及びRCPサーマルバリアによる冷却機能が喪失することから、原子炉補機冷却機能喪失のRCPシールLOCAヘディングの失敗確率を1.0とした。</p>	<p>【女川】</p> <ul style="list-style-type: none"> <li>■設計の相違                     <ul style="list-style-type: none"> <li>・設計の相違によりシステム信頼性評価の対象のシステムが異なる（大飯と同様）</li> </ul> </li> </ul>
<p>⑤人的過誤</p> <p>(1) 評価対象とした人的過誤及び評価結果</p> <p>内部事象PRAでは、事故前と事故後の人的過誤についてTHERP手法を用いて評価している。これを基に地震PRAでは人的過誤の扱いを以下のとおりとしている。</p> <p>a. 事故前の人的過誤</p> <p>事故前の人的過誤は、試験や点検等による手動弁やダンバーの戻し忘れを想定しており、内部事象出力時レベル1PRAと同等の評価をしている。</p> <p>b. 事故後の人的過誤</p> <p>内部事象出力時レベル1PRAで想定している中央制御室での操作は考慮した。地震後の現場操作については、実施が困難である可能性があるため、原則、期待していない。</p>	<p>⑤ 人的過誤</p> <p>(1) 評価対象とした人的過誤及び評価結果</p> <p>a. 起因事象発生前人的過誤</p> <p>試験、保守作業後の復旧ミスであり、事象発生の起因が地震であっても変わることはないため、内部事象PRAでの検討結果を用いた。起因事象発生前の人的過誤確率を第3.2.1.d-4表に示す。</p> <p>b. 起因事象発生後人的過誤</p> <p>事象発生後の対応操作に対する過誤であり、事象発生の起因が地震であっても内的事象PRAにおける人的過誤と同様である。ただし、地震後数時間以内の対応を要する作業においては、高ストレスを考慮した。起因事象発生後の人的過誤確率を第3.2.1.d-5表に示す。</p>	<p>⑤ 人的過誤</p> <p>(1) 評価対象とした人的過誤及び評価結果</p> <p>a. 起因事象発生前人的過誤</p> <p>試験、保守作業後の復旧ミスであり、事象発生の起因が地震であっても変わることはないため、内部事象PRAでの検討結果を用いた。起因事象発生前の人的過誤確率を第3.2.1.d-4表に示す。</p> <p>b. 起因事象発生後人的過誤</p> <p>事象発生後の対応操作に対する過誤であり、事象発生の起因が地震であっても内的事象PRAにおける人的過誤と同様である。ただし、現場操作については、実施が困難である可能性があるため期待していない。起因事象発生後の人的過誤確率を第3.2.1.d-5表に示す。</p>	<p>【大飯】</p> <ul style="list-style-type: none"> <li>■評価方針の相違                     <ul style="list-style-type: none"> <li>・泊は原則外で期待している現場操作はない（川内、玄海、伊</li> </ul> </li> </ul>

## 泊発電所3号炉 有効性評価 比較表

赤字：設備、運用又は体制の相違（設計方針の相違）  
 青字：記載箇所又は記載内容の相違（記載方針の相違）  
 緑字：記載表現、設備名称の相違（実質的な相違なし）

第37条 付録1 事故シーケンスグループ及び重要事故シーケンス等の選定について

別添 3. レベル1PRA 3.2 外部事象 3.2.1 地震PRA

大飯発電所3／4号炉	女川原子力発電所2号炉	泊発電所3号炉	相違理由
<p>⑥炉心損傷頻度</p> <p>(1) 炉心損傷頻度の算出に用いた方法</p> <p>炉心損傷頻度評価（点推定）は、炉心損傷に至る各事故シーケンスの発生頻度を合計して算出した。各事故シーケンスの発生頻度は、確率論的地震ハザードから求めた発生頻度に事故シーケンスの条件付発生確率を乗じて算出した。また、フラジリティデータを含む炉心損傷頻度の評価に当たっては、3号炉で代表して評価を実施している。なお、解析コードはRISKMANを用い、評価地震動範囲は0.2G～1.5Gとした。</p>	<p>⑥ 炉心損傷頻度</p> <p>(1) 炉心損傷頻度の算出に用いた方法</p> <p>本評価では、信頼性解析支援システムを使用し、フォールトツリー結合法によってミニマルカットセットを作成し、炉心損傷頻度を算出した。（別紙3.2.1.d-4）</p> <p>なお、評価地震動範囲は0.0G～3.0Gとした。</p>	<p>⑥炉心損傷頻度</p> <p>(1) 炉心損傷頻度の算出に用いた方法</p> <p>本評価では、RiskSpectrum®PSAを使用し、フォールトツリー結合法によってミニマルカットセットを作成し、炉心損傷頻度を算出した。（補足3.1.1.h-1）</p> <p>なお、評価地震動範囲は0.2G～1.5Gとした。</p>	<p>方と同様</p> <p>【女川】</p> <p>■評価方針の相違（川内、玄海、伊方と同様）</p> <ul style="list-style-type: none"> <li>・泊は地震が増大すると現場操作に失敗する可能性が高くなるため、現場操作には期待していない</li> <li>・泊は内部事象PRAにおいても、起因事象発生後のストレスレベルを高としている</li> </ul> <p>【大飯】</p> <p>■評価方針の相違</p> <ul style="list-style-type: none"> <li>・泊は小イベントツリー法を用いている（高浜、美浜と同様）</li> </ul> <p>■個別評価による相違</p> <ul style="list-style-type: none"> <li>・大飯はツインプラントであるため、代表プラントを記載している</li> </ul> <p>【女川】</p> <p>■個別評価による相違</p> <ul style="list-style-type: none"> <li>・定量化に使用しているソフトウェアが異なる</li> </ul> <p>【女川】</p> <p>■評価方針の相違</p> <ul style="list-style-type: none"> <li>・泊は0.2～0.4Gにおいてランダム故障が支配的であり、0.2G以下の地震加速度においては、さらにランダム故障の影響が強くなると考えられ内部事象PRAの評価に包含されることから、0.2G以下は地震PRAの評価範囲とはしていない</li> <li>・基準地震動の最大加速度の2倍程度の1.5Gを評価範囲の上限</li> </ul>

## 泊発電所3号炉 有効性評価 比較表

赤字：設備、運用又は体制の相違（設計方針の相違）  
 青字：記載箇所又は記載内容の相違（記載方針の相違）  
 緑字：記載表現、設備名称の相違（実質的な相違なし）

第37条 付録1 事故シーケンスグループ及び重要事故シーケンス等の選定について

別添 3. レベル1PRA 3.2 外部事象 3.2.1 地震 PRA

大飯発電所3／4号炉	女川原子力発電所2号炉	泊発電所3号炉	相違理由
<p>安全機能が喪失する事象が重複する場合は、地動最大加速度の増加に伴う複数機器の同時損傷により複数の起因事象が発生する可能性があるため、地震PSA学会標準にしたがい、重複による影響を包含できるように階層化処理を行っている。具体的には、先行するヘディングにある起因事象が発生した時は後続のヘディングにある起因事象が重複している可能性があるものとして考え、先行する起因事象で想定している緩和系により「後続の起因事象の事象進展の抑制が可能」又は「後続の起因事象に係る緩和操作に期待する必要がない」ことを考慮した上で起因事象階層イベントツリーを作成している。</p> <div style="border: 1px solid black; padding: 5px; margin-top: 10px;"> <p>美浜発電所 3号炉 付録1（平成27年11月19日提出版）より引用】</p> <p>また、サポート系（電源系、原子炉補機冷却水系及び原子炉補機冷却海水系等）については当該機能が喪失すると複数の安全機能に影響を与えることから、従属性を有する緩和系機能喪失の原因として考慮するとともに、例えば原子炉補機冷却水系が喪失することでRCPシールLOCAが発生するよう従属性に発生する事象についても考慮した。</p> </div> <p>一方、さらに異なる組み合わせや複数の安全機能が喪失する事象が重複する場合も想定されるが、すべての重複の組み合わせを事故シーケンスとして区別すると複雑になりすぎるため、事象発生後に要求される安全機能の時系列に着目し炉心損傷の直接要因となる安全機能が喪失する事故シーケンスに整理した。</p>		<p>安全機能が喪失する事象が重複する場合は、地動最大加速度の増加に伴う複数機器の同時損傷により複数の起因事象が発生する可能性があるため、地震PSA学会標準に従い、重複による影響を包含できるように階層化処理を行っている。具体的には、先行するヘディングにある起因事象が発生した時は後続のヘディングにある起因事象が重複している可能性があるものとして考え、先行する起因事象で想定している緩和系により「後続の起因事象の事象進展の抑制が可能」又は「後続の起因事象に係る緩和操作に期待する必要がない」ことを考慮した上で起因事象階層イベントツリーを作成している。</p> <p>また、サポート系（電源系、原子炉補機冷却水系及び原子炉補機冷却海水系等）については当該機能が喪失すると複数の安全機能に影響を与えることから、従属性を有する緩和系機能喪失の原因として考慮するとともに、例えば原子炉補機冷却水系が喪失することでRCPシールLOCAが発生するよう従属性に発生する事象についても考慮した。</p> <p>一方、さらに異なる組合せや複数の安全機能が喪失する事象が重複する場合も想定されるが、すべての重複の組合せを事故シーケンスとして区別すると複雑になるため、事象発生後に要求される安全機能の時系列に着目し炉心損傷の直接要因となる安全機能が喪失する事故シーケンスに整理した。</p>	<p>としているが、1.5Gにおける年超過確率は <math>3.0 \times 10^{-7}</math> 程度であり、仮に1.5G以上の評価を実施しても、地震特有の事故シーケンスの炉心損傷頻度が有意となることはない</p> <p>【女川】</p> <ul style="list-style-type: none"> <li>■記載方針の相違             <ul style="list-style-type: none"> <li>・記載の充実のため、泊は階層化処理の説明を記載しており、女川に記載がないため大飯と比較する</li> </ul> </li> <li>【大飯】</li> <li>■記載表現の相違             <ul style="list-style-type: none"> <li>・したがい⇒従い</li> </ul> </li> </ul> <p>【大飯】</p> <ul style="list-style-type: none"> <li>■評価方針の相違             <ul style="list-style-type: none"> <li>・大飯は大イベントツリーであるためサポート系イベントツリーでサポート系を扱っているが、泊は小イベントツリーであるためフォールトツリーでサポート系を扱っており、サポート系の機能喪失の影響を補足している（高浜、美浜と同様）</li> </ul> </li> <li>【女川】</li> <li>■設備の相違</li> <li>【女川】</li> <li>■記載方針の相違             <ul style="list-style-type: none"> <li>・記載の充実のため、複数の安全機能喪失が喪失した場合の事故シーケンスの整理の考え方を記載しており女川に記載がないため大飯と比較する</li> </ul> </li> </ul>

## 泊発電所3号炉 有効性評価 比較表

赤字：設備、運用又は体制の相違（設計方針の相違）  
 青字：記載箇所又は記載内容の相違（記載方針の相違）  
 緑字：記載表現、設備名称の相違（実質的な相違なし）

第37条 付録1 事故シーケンスグループ及び重要事故シーケンス等の選定について  
 別添 3. レベル1 PRA 3.2 外部事象 3.2.1 地震 PRA

大飯発電所3／4号炉	女川原子力発電所2号炉	泊発電所3号炉	相違理由
<p>(2) 炉心損傷頻度結果          上記のとおりの手順でモデルを定量化した結果、全炉心損傷頻度は<math>2.8 \times 10^{-6}</math>（／炉年）となった。起因事象別の炉心損傷頻度を第1.2.1. d-2表に示す。</p> <p>起因事象別の結果では、2次冷却系の破断と外部電源喪失を起因とする炉心損傷頻度が大部分を占めている。</p>	<p>(2) 炉心損傷頻度結果          事故シーケンスの定量化を行った結果、全炉心損傷頻度は<math>3.3 \times 10^{-6}</math>（／炉年）と算出された。</p> <p>起因事象別の炉心損傷頻度の内訳を第3.2.1.d-6表に、事故シーケンスグループ別の炉心損傷頻度の内訳を第3.2.1.d-7表に、地震加速度区別別の炉心損傷頻度を第3.2.1.d-8表に示す。          起因事象別の炉心損傷頻度への寄与割合を第3.2.1.d-4図、事故シーケンスグループ別炉心損傷頻度寄与割合を第3.2.1.d-5図、また、地震加速度に対する炉心損傷頻度及び条件付炉心損傷確率を第3.2.1.d-6図に示す。</p> <p>(3) 評価結果の分析          起因事象別の結果では、交流電源・原子炉補機冷却系喪失を起因とする炉心損傷頻度が最も大きく（46.0%），次いで外部電源喪失を起因としたもの（44.0%）となった。          事故シーケンスグループ別の結果では、長期TB（41.7%）とTW（36.3%）が大部分を占める結果となった。            長期TBでは、ランダム故障による交流電源・原子炉補機冷却系の機能喪失の寄与が支配的となった。地震による外部電源が喪失し、交流電源・原子炉補機冷却系が喪失した場合には、全交流動力電源喪失が発生することとなる。本評価においては、外部電源の復旧には期待していないことから、原子炉隔離時冷却系が健全な場合においても直流電源が枯渇し炉心損傷に至る。          TWでは、地震による機器の故障ではなく、残留熱除去系のランダム故障による機能喪失の寄与が支配的となった。原子炉隔離時冷却系による注水に成功するも、ランダム要因により残留熱除去系による格納容器除熱に失敗し、炉心損傷に至る。            地震加速度区別では、0.2G～0.4Gが最も支配的な加速度区間となった。これは、この加速度領域（低加速度領域）においては、機器の地震故障に対してランダム故障の寄与が支配的になる</p>	<p>(2) 炉心損傷頻度結果          事故シーケンスの定量化を行った結果、全炉心損傷頻度は<math>2.1 \times 10^{-6}</math>（／炉年）と算出された。</p> <p>起因事象別の炉心損傷頻度の内訳を第3.2.1.d-6表に示す。事故シーケンスグループ別の炉心損傷頻度の内訳を第3.2.1.d-7表に、地震加速度区別別の炉心損傷頻度を第3.2.1.d-8表に示す。          起因事象別の炉心損傷頻度への寄与割合を第3.2.1.d-4図、事故シーケンスグループ別炉心損傷頻度寄与割合を第3.2.1.d-5図、また、地震加速度に対する炉心損傷頻度及び条件付炉心損傷確率を第3.2.1.d-6図に示す。</p> <p>(3) 評価結果の分析          起因事象別の結果では、外部電源喪失を起因とする炉心損傷頻度が最も大きく（37.1%），次いで大破断LOCAを上回る規模のLOCA（Excess LOCA）を起因としたもの（15.1%）となった。          事故シーケンスグループ別の結果では、ECCS注水機能喪失（37.7%）と全交流動力電源喪失（35.8%）が大部分を占める結果となった。          ECCS注水機能喪失では、地震による安全補機開閉器室空調系防火ダンバの構造損傷の寄与が支配的となった。地震により一次冷却材管や加圧器等が構造損傷し、LOCAが発生した場合に、安全補機開閉器室空調系の機能喪失により従属的にメタクラやパワーコントロールセンタが機能喪失することでECCSによる炉心注水に失敗し、炉心損傷に至る。          全交流動力電源喪失では、地震によるパワーコントロールセンタの機能損傷の寄与が支配的となった。地震により外部電源が喪失した場合に、パワーコントロールセンタの機能喪失により従属的にディーゼル発電機が機能喪失することで、炉心損傷に至る。          地震加速度区別では、1.0G～1.2Gが最も支配的な加速度区間となった。これは、この加速度領域（高加速度領域）においては、機器の地震故障の寄与が支配的になるためである。</p>	<p>【大飯】      ■記載方針の相違      ・女川実績の反映による記載の充実        【女川】【大飯】  ■個別評価による相違  (以下、相違理由説明を省略)</p>

## 泊発電所3号炉 有効性評価 比較表

赤字：設備、運用又は体制の相違（設計方針の相違）  
 青字：記載箇所又は記載内容の相違（記載方針の相違）  
 緑字：記載表現、設備名称の相違（実質的な相違なし）

第37条 付録1 事故シーケンスグループ及び重要事故シーケンス等の選定について  
 別添3. レベル1PRA 3.2 外部事象 3.2.1 地震PRA

大飯発電所3／4号炉	女川原子力発電所2号炉	泊発電所3号炉	相違理由
<p>また、地震PRAでは大型静的機器、建屋及び操作盤等の損傷による事故シナリオを考慮しており、蒸気発生器伝熱管破損（複数本破損）、大破断LOCAを上回る規模のLOCA（Executive LOCA）、原子炉格納容器損傷、原子炉建屋損傷、制御建屋損傷、複数の信号系損傷、1次系流路閉塞による2次冷却系からの除熱機能喪失等を新たな事故シーケンスとして整理している。</p> <p>さらに、加速度区別の炉心損傷頻度を第1.2.1.d-3表に示す。加速度区別では、1.1～1.5Gが支配的となっており、次いで0.2～0.5G、0.8～1.1Gが支配的となっている。</p> <p>起因事象別の炉心損傷頻度寄与割合を示すパイチャートを第1.2.1.d-11図、加速度区別の炉心損傷頻度寄与割合を第1.2.1.d-12図及び加速度区別別の条件付炉心損傷頻度を第1.2.1.d-13図に示す。</p> <p>(3) 重要度解析、不確実さ解析及び感度解析</p> <p>a. 重要度解析</p> <p>地震PRAで評価したSSCが、炉心損傷に与える影響を把握するために、Fussell-Vesely (FV) 重要度評価を実施した（重要度は地震PRAで評価対象とした0.2Gから1.5Gの全加速度範囲の炉心損傷頻度の積分値に対して算出）。</p> <p>なお、定義式は以下に示すとおりである。</p> $\text{Fussell-Vesely 指標} = \frac{P_i(\text{top})}{P(\text{top})} = 1 - \frac{P(\text{top}/A=0)}{P(\text{top})}$ <p>ここで、  <math>P_i(\text{top})</math> : 機器<i>i</i>の機能喪失が寄与して発生する頂上事象の発生確率  <math>P(\text{top})</math> : 頂上事象の発生確率</p> <p>地震で損傷するSSCの全炉心損傷頻度に対するFV重要度評価結果及び炉心損傷頻度への寄与割合が高い事故シーケンスに対する重要度評価結果を第1.2.1.d-4表及び第1.2.1.d-5表に示す。FV重要度は、炉心損傷頻度に寄与する相対的な割合を表すものである。</p> <p>フランジリティ評価の結果、耐震Cクラスである外部電源系</p>	<p>ためである。</p> <p>なお、原子炉建屋損傷、計測・制御系喪失などの炉心損傷直結事象については、事象進展の特定、詳細な事故シーケンスの定量化が困難であるため、保守的に炉心損傷直結事象として整理しており、地震に対するプラントの現実的な耐性がPRAの結果に現れているものではない。</p> <p>(4) 重要度解析、不確実さ解析及び感度解析</p> <p>a. 重要度解析</p>	<p>なお、原子炉建屋損傷、複数の信号系損傷等の炉心損傷直結事象については、事象進展の特定、詳細な事故シーケンスの定量化が困難であるため、保守的に炉心損傷直結事象として整理しており、地震に対するプラントの現実的な耐性がPRAの結果に現れているものではない。（補足3.2.1.d-4）</p> <p>(4) 重要度解析、不確実さ解析及び感度解析</p> <p>a. 重要度解析</p> <p>地震PRAで評価したSSCが、炉心損傷に与える影響を把握するために、Fussell-Vesely (FV) 重要度評価を実施した（重要度は地震PRAで評価対象とした0.2Gから1.5Gの全加速度範囲の炉心損傷頻度の積分値に対して算出）。</p> <p>なお、定義式は以下に示すとおりである。</p> $\text{Fussell-Vesely 指標} = \frac{P_i(\text{top})}{P(\text{top})} = 1 - \frac{P(\text{top}/A=0)}{P(\text{top})}$ <p>ここで、  <math>P_i(\text{top})</math> : 機器<i>i</i>の機能喪失が寄与して発生する頂上事象の発生確率  <math>P(\text{top})</math> : 頂上事象の発生確率</p> <p>全炉心損傷頻度への寄与が大きい因子を分析するためFV重要度を評価した。評価結果を第3.2.1.d-9表に示す。</p> <p>ランダム故障による格納容器除熱機能喪失が最も炉心損傷への寄与割合が大きく、約4割を占めた。次いで、交流電源・原子炉補機冷却系ランダム故障のFV重要度が高い結果となっているが、これは、長期TBに係るランダム故障である。</p>	<p>【女川】      ■記載方針の相違      ・泊はランダム故障の影響について補足説明資料を作成する（最終評価時）</p> <p>【女川】      ■記載方針の相違      ・記載の充実のため、重要度の説明を記載しており、女川に記載がないため大飯と比較する</p>

## 泊発電所3号炉 有効性評価 比較表

第37条 付録1 事故シーケンスグループ及び重要事故シーケンス等の選定について  
別添3 レベル1PRA 3.2 外部事象 3.2.1 地震PRA

赤字：設備、運用又は体制の相違（設計方針の相違）  
青字：記載箇所又は記載内容の相違（記載方針の相違）  
緑字：記載表現、設備名称の相違（実質的な相違なし）

大飯発電所3／4号炉	女川原子力発電所2号炉	泊発電所3号炉	相違理由
<p>以外では、損傷の影響緩和が困難であるとしている建屋、機器である原子炉建屋（主蒸気管室）、電動弁や広範な炉心損傷シーケンスに関連するサポート系であるメタルクラッドスイッチギア、原子炉補機冷却水冷却器、パワーセンタが相対的に低い結果となっており、これらの機器のFV重要度が高い結果となっている。</p> <p>原子炉建屋（主蒸気管室）が損傷した場合の事故シナリオとしては、主蒸気管室の構造損傷により2次冷却系破断の発生及び主蒸気隔離に失敗し、2次冷却系からの除熱機能喪失に至るとした。</p>	<p>続いて、原子炉隔離時冷却系ランダム故障が続き、FV重要度の上位3位をランダム故障が占める結果となった。</p>	<p>器室空調系の防火ダンバが続き、FV重要度の上位3位を地震による機器故障が占める結果となった。</p>	
<p>b. 不確実さ解析</p> <p>確率論的地震ハザード、機器フラジリティ、ランダム故障の不確かさに着目した全炉心損傷頻度の不確実さ解析として、全炉心損傷頻度の5%下限値、中央値、平均値及び95%上限値を評価した。不確実さ解析の結果を第1.2.1.d-6表に示す。</p> <p>平均値は点推定値とほぼ同値の<math>2.8 \times 10^{-6}</math>となった。また、エラーファクターは3.8と評価され、95%上限値と5%下限値の間に約14倍の不確実さ幅があるという結果になった。一方、第1.2.1.d-7表に示す確率論的地震ハザード曲線の超過発生頻度（/年）より、信頼度区分が「90%～最大値」と「最小値～10%」の差は、加速度区分1から加速度区分3で約4～26倍程度、加速度区分4では約74倍であった。このことから、炉心損傷頻度の不確実さは確率論的地震ハザードの不確実さの影響が支配的であること、加速度区分4では約74倍の差となったものの加速度区分別炉心損傷頻度への寄与割合は加速度区分1～3が全体の約6割を占めることから、この各加速度区分の全炉心損傷頻度への寄与割合ともあいまって結果的に、全炉心損傷頻度のエラーファクターが小さくなつたと考えられる。</p> <p>また、事故シーケンスごとの不確実さ解析として、地震特</p>	<p>b. 不確実さ解析</p> <p>全炉心損傷頻度の下限値(5%)、中央値(50%)、平均値及び上限値(95%)の評価結果を第3.2.1.d-10表及び第3.2.1.d-7図に示す。</p> <p>全炉心損傷頻度の平均値は<math>3.2 \times 10^{-5}</math>（/炉年）となった。不確実さ幅を示すエラーファクタは4.0となり、95%上限値と5%下限値の間に約16倍程度の不確実さの幅があるという結果となった。</p>	<p>b. 不確実さ解析</p> <p>【確率論的地震ハザード確定後の地震PRA評価完了後にご説明】</p>	

## 泊発電所3号炉 有効性評価 比較表

赤字：設備、運用又は体制の相違（設計方針の相違）  
 青字：記載箇所又は記載内容の相違（記載方針の相違）  
 緑字：記載表現、設備名称の相違（実質的な相違なし）

第37条 付録1 事故シーケンスグループ及び重要事故シーケンス等の選定について

別添 3. レベル1PRA 3.2 外部事象 3.2.1 地震 PRA

大飯発電所3／4号炉	女川原子力発電所2号炉	泊発電所3号炉	相違理由
<p>有の事故シーケンスに着目して不確実さ解析を実施した。評価結果を第1.2.1.d-8表及び第1.2.1.d-14図に示す。5%下限値、中央値、平均値及び95%上限値のそれぞれについて、全炉心損傷頻度と地震特有の事故シーケンスの炉心損傷頻度の比を比較したところ0.001未満～0.037であり、点推定値評価と同様に地震特有の事故シーケンスの炉心損傷頻度は小さい結果となった。</p> <p>以上のことから、不確実さを考慮しても、地震特有の事故シーケンスは全炉心損傷頻度に対して寄与が小さく、地震を考慮しても選定した重要事故シーケンスで代表されることを確認した。</p> <p>c. 感度解析</p> <p>冗長設備については完全相関として評価を実施しているが、この冗長設備の相関性について感度解析を実施した。具体的には、第1.2.1.d-4表に示す全炉心損傷頻度に対するFV重要度の高い機器のうち冗長設備について完全独立として評価した。相関性を考慮した感度解析結果を第1.2.1.d-9表に示す。完全独立として評価することで、冗長設備の条件付損傷確率が低下することが確認できる。</p> <p>また、炉心損傷頻度について、基本ケースでは冗長機器でない原子炉建屋（主蒸気管室）がFV重要度の上位であったことから、感度解析結果では約1割程度の低減にとどまる結果となった。加速度区分ごとに結果を分析すると、比較的低い加速度（0.2～0.5G）ではランダム故障の寄与が高く地震による冗長機器の寄与が小さいため、相関性の感度が小さくなった。中程度の加速度（0.5～1.1G）では、地震損傷が有意になる加速度ではあるが、原子炉建屋（主蒸気管室）がドミナントであり、冗長機器の寄与が小さいため、相関性の感度が小さくなかった。また、高加速度（1.1～1.5G）では冗長性のある機器の寄与が高くなるため、炉心損傷頻度が低減した。</p> <p>以上のことから、基本ケースと感度解析の差は約1割程度であり、完全相関とした基本ケース評価でも過度に保守的な評価にならないことを確認した。</p>	<p>c. 感度解析</p> <p>感度解析は、相関仮定に係るケースについて実施した。</p> <p>(a) 感度解析ケース</p> <p>本評価では、<b>同様の系統及び機器</b>に対しては、地震に対する耐力及び応答は完全相関を仮定している。この仮定の炉心損傷頻度への影響について評価するため、<b>FV重要度の上位を占める非常用MCC、燃料移送系設備(燃料移送系配管、軽油タンク)</b>、<b>直流主母線盤及び非常用ディーゼル機関</b>に対して完全独立を仮定した場合の感度解析を実施した。<b>なお、評価対象の事故シーケンスグループは上記設備の影響が大きい全交流動力電源喪失グループとした。</b></p> <p>(b) 評価結果</p> <p>感度解析の結果を第3.2.1.d-11表に示す。完全独立を想定した場合、<b>長期TBで約3割、TBUで約2割、TBPで約2割、TBDで約9割</b>炉心損傷頻度が低減した。炉心損傷頻度に対する改善寄与割合が大きい<b>TBDシーケンス</b>に対する地震加速度毎の炉心損傷頻度を第3.2.1.d-8図に示す。<b>設備損傷による炉心損傷が支配的となる約0.5G以上で完全独立(多重化)</b>の効果が表れており、この改善効果が当該シーケンスグループの炉心損傷頻度の低減に寄与したと考えられる。</p> <p>また、<b>確率論的地震ハザード変更についての感度解析を実施し、影響が無いことを確認した。（別紙3.2.1.d-5）</b></p>	<p>c. 感度解析</p> <p>感度解析は、相関仮定に係るケースについて実施した。</p> <p>(a) 感度解析ケース</p> <p>(b) 評価結果</p> <p>【確率論的地震ハザード確定後の地震PRA評価完了後にご説明】</p>	

泊発電所3号炉 有効性評価 比較表

第37条 付録1 事故シーケンスグループ及び重要事故シーケンス等の選定について

別添3. レベル1PRA 3.2 外部事象 3.2.1 地震PRA

赤字：設備、運用又は体制の相違（設計方針の相違）  
青字：記載箇所又は記載内容の相違（記載方針の相違）  
緑字：記載表現、設備名称の相違（実質的な相違なし）

大飯発電所3／4号炉		女川原子力発電所2号炉	泊発電所3号炉	相違理由
1 プラントの設計・運転の把握 PRA評価作業	PRA実施するためには収集した情報及び主な情報源	主な情報源	主な情報源	【女川】【大飯】 ■記載表現の相違 ・情報名の相違
2 地震論的地震ハザード評価	PRA実施に当たり必要とされる設計、運転管理に関する情報	・内部事象出力時レベル1PRAで使用した設計図書（原子炉設置許可申請書、工事計画認可申請書、保安規定等） ・全機器配置図、換気空調設備図、構内配管図、耐震計算書、プラントオーバーダウン	・内部事象出力時レベル1PRAで使用した設計図書（原子炉設置許可申請書、工事計画認可申請書、保安規定等） ・全機器配置図、換気空調設備図、構内配管図、耐震計算書、プラントオーバーダウン	
3 建屋・機器フランジリティ評価	対象サイト周辺地域での地震発生様式を考慮し、構造モデルの設定に係る震源特性や、地震動伝播モデルの設定に係わる地震動伝播特性に関する情報	・文獻調査結果 ・地質調査結果 ・気象庁地盤カタログ	・文獻調査結果 ・地質調査結果 ・気象庁地盤カタログ	
4 事故シーケンス評価	a)事故シナリオの分析と起因事象の分類 b)事故シーケンスの分析 c)システムのモデル化 d)事故シーケンスの定量化	・安全系等のシステム使用条件 ・システムの現実的な性能 ・運転員による練習操作 ・対象プラントに即した機器故障モード、運転形態 ・評価結果の妥当性を確認できる情報	・上記1の情報源 ・既往のPRA情報 ・原子炉設置許可申請書 ・文獻調査結果、地盤調査記録 ・地盤調査研究推進本部(2013)：今後の地盤動ハザード評価に関する検討～2013年における検討結果～ ・原子炉設置許可申請書 ・気象庁地盤カタログ ・文獻調査結果、地盤調査記録 ・地盤調査研究推進本部(2013)：今後の地盤動ハザード評価に関する検討～2013年における検討結果～ ・原子炉設置許可申請書 ・工事計画認可申請書 ・国内外のPRA情報 ・国際PSA学会標準 ・地盤PSA学会標準	
第3.2.1-a-1表 地震レベル1PRAを実施するためには収集した情報及びその主な情報源(1/2)				
1 プラントの設計・運転の把握 PRA評価作業	PRA実施にあたり必要とされる設計、運転管理に関する情報	主な情報源	主な情報源	
2 地震ハザード評価	敷地周辺地域における地震発生様式を考慮し、震源モデルの設定に係る震源特性や、地震動伝播モデルの設定に係わる地震動伝播特性に関する情報	・内部事象出力時レベル1PRAで使用した設計図書（原子炉設置許可申請書、工事計画認可申請書、保安規定等） ・全機器配置図、換気空調設備図、構内配管図、耐震計算書、プラントオーバーダウン報告書 ・発電用原子炉設置変更許可申請書	・内部事象出力時レベル1PRAで使用した設計図書（原子炉設置許可申請書、工事計画認可申請書、保安規定等） ・全機器配置図、換気空調設備図、構内配管図、耐震計算書、プラントオーバーダウン報告書 ・発電用原子炉設置変更許可申請書	
3 建屋・機器フランジリティ評価	a)事故シナリオの分析と起因事象の分類 b)事故シーケンスの分析 c)システムのモデル化 d)事故シーケンスの定量化	・安全系などのシステム使用条件 ・システムの現実的な性能 ・運転員による練習操作 ・対象プラントに即した機器故障モード、運転形態 ・評価結果の妥当性を確認できる情報	・上記1の情報源 ・既往のPRA情報 ・NUREG/CR-1278	
第3.2.1-a-1表 地震レベル1PRAを実施するためには収集した情報及びその主な情報源(2/2)				
1 フラントの設計・運転の把握 PRA評価作業	PRA実施に当たり必要とされる設計、運転管理に関する情報	主な情報源	主な情報源	
2 地震ハザード評価	敷地周辺地域における地震発生様式を考慮し、震源モデルの設定に係る震源特性や地震動伝播モデルの設定に係わる地震動伝播特性に関する情報	・内部事象出力時レベル1PRAで使用した設計図書（原子炉設置許可申請書、工事計画認可申請書、保安規定等） ・全機器配置図、換気空調設備図、構内配管図、耐震計算書、プラントオーバーダウン報告書 ・地盤調査結果 ・地盤調査委員会(2013)：「今後の地盤動ハザード評価に関する検討～2013年における検討結果～」、地盤調査研究推進本部	・原子炉設置許可申請書 ・気象庁地盤カタログ ・文獻調査結果、地盤調査記録 ・地盤調査委員会(2013)：「今後の地盤動ハザード評価に関する検討～2013年における検討結果～」、地盤調査研究推進本部	
3 建屋・機器フランジリティ評価	a)事故シナリオの分析と起因事象の分類 b)事故シーケンスの分析 c)システムのモデル化 d)事故シーケンスの定量化	・プラント固有の建屋・機器の耐力評価並びに応答評価 ・大規模地震時に想定されるプラント状態 ・安全系等のシステム使用条件 ・システムの現実的な性能 ・運転員による練習操作 ・対象プラントに即した機器故障モード、運転形態 ・評価結果の妥当性を確認できる情報	・国内外のPRA情報 ・工事計画認可申請書 ・国内外のPRA情報 ・地盤PSA学会標準 ・上記1のPRA情報 ・既往のPRA情報 ・NUREG/CR-1278	

泊発電所3号炉 有効性評価 比較表

赤字：設備、運用又は体制の相違（設計方針の相違）  
青字：記載箇所又は記載内容の相違（記載方針の相違）  
緑字：記載表現、設備名称の相違（実質的な相違なし）

第37条 付録1 事故シーケンスグループ及び重要事故シーケンス等の選定について  
別添 3. レベル1 PRA 3.2 外部事象 3.2.1 地震 PRA

大飯発電所3／4号炉	女川原子力発電所2号炉	泊発電所3号炉	相違理由			
<p>第3.2.1-a-1表 地震レベルPRAを実施するための収集した情報及びその主な情報源 (2/2)</p> <table border="1"> <tbody> <tr> <td style="vertical-align: top;"> <p>評価</p> <p>地盤ハザード評価</p> <p>評価</p> <p>建屋・機器 アラート 評価</p> </td><td style="vertical-align: top;"> <p>参考文献</p> <p>81 日本国子力学会 (2015) :「日本原子力学会標準、原子力発電所に対する地震を考慮とした確率論的リスク評価とその実施結果」</p> <p>82 地震調査研究会 (2013) :「今後の地盤動ハザードによる評価に向けた検討結果～2013年における検討結果～」</p> <p>83 伸田克久、村井雅之、佐治洋、石川所也 (2012) :「震度分布に基づく2011年東北地方太平洋沖地震の短周期地盤が発生域、地震 第2輯 第55巻</p> <p>84 Asano, K. and T. Iwata (2012), Source model for strong ground motion generation in the Frequency range 0.1–10 Hz during the 2011 Tohoku earthquake, Earth Planets Space, 64, 1111–1123.</p> <p>85 佐藤孝典、石川和也、木谷浩之、弓間和人、川澄隆、生玉真也、金田正毅 (2013) :「標的的な効率的削除レシピに基づく東北地方太平洋沖地震の大規模地震動の原理」、日本地震工学会第10回年次大会発表要旨。</p> <p>86 地盤調査研究会 (2005) :「宮城県地盤等を取扱った地盤調査報告書(一般修正版)」</p> <p>87 地盤調査研究会編 (1991) :「新訂 日本の地盤 考古と質」、東京大学出版会</p> <p>88 Wada, S., K. Yasufiro, K. Takahashi, M. Takemoto, S. Ohno, M. Toido and T. Kojimura (2002) :「RESPONSE SPECTRA FOR DESIGN PURPOSE OF STIFF STRUCTURES ON ROCK SITES. OECD-NEA Workshop between Seismological Data and Seismic Engineering Analysis」, Oct. 16–18, Istanbul.</p> <p>89 伸田時彦 (1975) :「活断層から生ずる地盤の振動と周期について」、地盤工学第16卷、第25巻、269–294</p> <p>90 伸田時彦 (1975) :「活断層から生ずる地盤の振動と周期について」、地盤工学第16卷、第25巻、269–294</p> <p>91 伸田時彦 (2005) :「同一地点における地盤動の蓄積と減衰について」、地盤工学第16卷、第25巻、87–98</p> <p>92 伸田時彦 (2012) :「2011年東北地方太平洋沖地震の特徴について」、地盤工学第16卷、第25巻、87–98</p> <p>93 伸田時彦、野田静男 (2005) :「同一地点における地盤動蓄積の蓄積と減衰について」、地盤工学第16卷、第25巻、87–98</p> <p>94 伸田時彦、野田静男 (2006) :「地盤動蓄積と震度点を特定した地盤動強さのばらつき」、一般開催会議</p> <p>95 伸田時彦、野田静男 (2006) :「地盤動蓄積と震度点を特定した地盤動強さのばらつき」、一般開催会議</p> <p>96 伸田時彦 (1975) :「活断層から生ずる地盤動の蓄積と減衰について」、地盤工学第16卷、第25巻、87–98</p> <p>97 伸田時彦 (1975) :「活断層から生ずる地盤の振動と周期について」、地盤工学第16卷、第25巻、269–294</p> <p>98 伸田時彦 (1975) :「活断層から生ずる地盤の振動と周期について」、地盤工学第16卷、第25巻、269–294</p> <p>99 伸田時彦 (1975) :「活断層から生ずる地盤の振動と周期について」、地盤工学第16卷、第25巻、269–294</p> <p>100 伸田時彦 (1975) :「活断層から生ずる地盤の振動と周期について」、地盤工学第16卷、第25巻、269–294</p> <p>101 伸田時彦 (1975) :「活断層から生ずる地盤の振動と周期について」、地盤工学第16卷、第25巻、269–294</p> <p>102 伸田時彦 (1975) :「活断層から生ずる地盤の振動と周期について」、地盤工学第16卷、第25巻、269–294</p> <p>103 伸田時彦 (1975) :「活断層から生ずる地盤の振動と周期について」、地盤工学第16卷、第25巻、269–294</p> <p>104 伸田時彦 (1975) :「活断層から生ずる地盤の振動と周期について」、地盤工学第16卷、第25巻、269–294</p> <p>105 伸田時彦 (1975) :「活断層から生ずる地盤の振動と周期について」、地盤工学第16卷、第25巻、269–294</p> <p>106 伸田時彦 (1975) :「活断層から生ずる地盤の振動と周期について」、地盤工学第16卷、第25巻、269–294</p> <p>107 伸田時彦 (1975) :「活断層から生ずる地盤の振動と周期について」、地盤工学第16卷、第25巻、269–294</p> <p>108 伸田時彦 (1975) :「活断層から生ずる地盤の振動と周期について」、地盤工学第16卷、第25巻、269–294</p> <p>109 伸田時彦 (1975) :「活断層から生ずる地盤の振動と周期について」、地盤工学第16卷、第25巻、269–294</p> <p>110 伸田時彦 (1975) :「活断層から生ずる地盤の振動と周期について」、地盤工学第16卷、第25巻、269–294</p> <p>111 伸田時彦 (1975) :「活断層から生ずる地盤の振動と周期について」、地盤工学第16卷、第25巻、269–294</p> <p>112 伸田時彦 (1975) :「活断層から生ずる地盤の振動と周期について」、地盤工学第16卷、第25巻、269–294</p> <p>113 伸田時彦 (1975) :「活断層から生ずる地盤の振動と周期について」、地盤工学第16卷、第25巻、269–294</p> <p>114 R. Kossawara, EPRI Report 1003121, "Methodology for Probabilistic Risk Assessment Applications of Seismic Margin Evaluations," Electric Power Research Institute, December 2001</p> <p>115 Westinghouse Electric Company, "EP-1000 Design Control Document," December 2011</p> <p>116 General Electric (2006) :「AP1000簡易設計監査版のNRC認可申請書(提出書類)」</p> <p>117 Nuclear Energy, "APR Design Document," March 1997</p> <p>118 伸田時彦 (1999) :「AP1000簡易設計監査版から前段設計までの、矢川元基・宮正和・倍屋鉄郎の分析」、一般社団法人日本建築学会大会学術講演概要集 (9.7.17)</p> <p>119 安全研究会報 (2007年8月) :「AP1000(後期) 平成25年8月 独立研究会人 原子力安全基準機構</p> <p>120 N. Hall, Newmark and W. J. Hall, "Development of Criteria for Seismic Review of Selected Nuclear Power Plants," NUREG/CR-0098</p> </td><td style="vertical-align: top;"> <p>参考文献</p> <p>81 日本国子力学会 (2015) :「日本原子力学会標準、原子力発電所に対する地震を考慮した確率論的リスク評価とその実施結果 (2/2)」</p> <p>82 地震調査研究会 (2013) :「今後の地盤動ハザードによる評価に向けた検討結果～2013年における検討結果～」</p> <p>83 伸田時彦 (2012) :「震度分布に基づく2011年東北地方太平洋沖地震の短周期地盤が発生域、地震 第2輯 第55巻</p> <p>84 Asano, K. and T. Iwata (2012), Source model for strong ground motion generation in the Frequency range 0.1–10 Hz during the 2011 Tohoku earthquake, Earth Planets Space, 64, 1111–1123.</p> <p>85 佐藤孝典、石川和也、木谷浩之、弓間和人、川澄隆、生玉真也、金田正毅 (2013) :「標的的な効率的削除レシピに基づく東北地方太平洋沖地震の大規模地震動の原理」、日本地震工学会第10回年次大会発表要旨。</p> <p>86 地盤調査研究会 (2005) :「宮城県地盤等を取扱った地盤調査報告書(一般修正版)」</p> <p>87 地盤調査研究会編 (1991) :「新訂 日本の地盤 考古と質」、東京大学出版会</p> <p>88 伸田時彦 (1991) :「新編 日本の地盤 分布図と質」、東京大学出版会</p> <p>89 伸田時彦 (1975) :「活断層から生ずる地盤の観察と周則について」、地盤 第2編、第28巻、269–283</p> <p>90 伸田時彦 (1998) :「活断層から生ずる地盤の観察と周則について」、地盤 第2編、第28巻、269–283</p> <p>91 伸田時彦 (1998) :「活断層から生ずる地盤の観察と周則について」、地盤 第2編、第28巻、269–283</p> <p>92 伸田時彦 (1998) :「活断層から生ずる地盤の観察と周則について」、地盤 第2編、第28巻、269–283</p> <p>93 伸田時彦 (1998) :「活断層から生ずる地盤の観察と周則について」、地盤 第2編、第28巻、269–283</p> <p>94 伸田時彦 (1998) :「活断層から生ずる地盤の観察と周則について」、地盤 第2編、第28巻、269–283</p> <p>95 伸田時彦 (1998) :「活断層から生ずる地盤の観察と周則について」、地盤 第2編、第28巻、269–283</p> <p>96 伸田時彦 (1998) :「活断層から生ずる地盤の観察と周則について」、地盤 第2編、第28巻、269–283</p> <p>97 伸田時彦 (1998) :「活断層から生ずる地盤の観察と周則について」、地盤 第2編、第28巻、269–283</p> <p>98 伸田時彦 (1998) :「活断層から生ずる地盤の観察と周則について」、地盤 第2編、第28巻、269–283</p> <p>99 伸田時彦 (1998) :「活断層から生ずる地盤の観察と周則について」、地盤 第2編、第28巻、269–283</p> <p>100 伸田時彦 (1998) :「活断層から生ずる地盤の観察と周則について」、地盤 第2編、第28巻、269–283</p> <p>101 伸田時彦 (1998) :「活断層から生ずる地盤の観察と周則について」、地盤 第2編、第28巻、269–283</p> <p>102 伸田時彦 (1998) :「活断層から生ずる地盤の観察と周則について」、地盤 第2編、第28巻、269–283</p> <p>103 伸田時彦 (1998) :「活断層から生ずる地盤の観察と周則について」、地盤 第2編、第28巻、269–283</p> <p>104 伸田時彦 (1998) :「活断層から生ずる地盤の観察と周則について」、地盤 第2編、第28巻、269–283</p> <p>105 伸田時彦 (1998) :「活断層から生ずる地盤の観察と周則について」、地盤 第2編、第28巻、269–283</p> <p>106 伸田時彦 (1998) :「活断層から生ずる地盤の観察と周則について」、地盤 第2編、第28巻、269–283</p> <p>107 伸田時彦 (1998) :「活断層から生ずる地盤の観察と周則について」、地盤 第2編、第28巻、269–283</p> <p>108 伸田時彦 (1998) :「活断層から生ずる地盤の観察と周則について」、地盤 第2編、第28巻、269–283</p> <p>109 伸田時彦 (1998) :「活断層から生ずる地盤の観察と周則について」、地盤 第2編、第28巻、269–283</p> <p>110 伸田時彦 (1998) :「活断層から生ずる地盤の観察と周則について」、地盤 第2編、第28巻、269–283</p> <p>111 伸田時彦 (1998) :「活断層から生ずる地盤の観察と周則について」、地盤 第2編、第28巻、269–283</p> <p>112 伸田時彦 (1998) :「活断層から生ずる地盤の観察と周則について」、地盤 第2編、第28巻、269–283</p> <p>113 伸田時彦 (1998) :「活断層から生ずる地盤の観察と周則について」、地盤 第2編、第28巻、269–283</p> <p>114 R. Kennedy and M.K. Ravindra, "Seismic fragilities for Nuclear Power Plant Risk Studies," Nuclear Engineering and Design 79 (1988)</p> <p>115 R. Kossawara, EPRI Report 1003121, "Methodology for Probabilistic Risk Assessment Applications of Seismic Margin Evaluations," Electric Power Research Institute, December 2001</p> <p>116 Westinghouse Electric Company, "AP1000 Design Control Document," December 2011</p> <p>117 Nuclear Energy, "APR Design Document," March 1997</p> <p>118 N. Hall, Newmark and W. J. Hall, "Development of Criteria for Seismic Review of Selected Nuclear Power Plants," NUREG/CR-0098</p> </td><td style="vertical-align: top;"> <p>参考文献</p> <p>81 日本国子力学会 (2015) :「日本原子力学会標準、原子力発電所に対する地震を考慮とした確率論的リスク評価とその実施結果 (2/2)」</p> <p>82 地震調査研究会 (2013) :「今後の地盤動ハザードによる評価に向けた検討結果～2013年における検討結果～」</p> <p>83 伸田時彦 (2012) :「震度分布に基づく2011年東北地方太平洋沖地震の短周期地盤が発生域、地震 第2輯 第55巻</p> <p>84 Asano, K. and T. Iwata (2012), Source model for strong ground motion generation in the Frequency range 0.1–10 Hz during the 2011 Tohoku earthquake, Earth Planets Space, 64, 1111–1123.</p> <p>85 佐藤孝典、石川和也、木谷浩之、弓間和人、川澄隆、生玉真也、金田正毅 (2013) :「標的的な効率的削除レシピに基づく東北地方太平洋沖地震の大規模地震動の原理」、日本地震工学会第10回年次大会発表要旨。</p> <p>86 地盤調査研究会 (2005) :「宮城県地盤等を取扱った地盤調査報告書(一般修正版)」</p> <p>87 地盤調査研究会編 (1991) :「新編 日本の地盤 考古と質」、東京大学出版会</p> <p>88 伸田時彦 (1991) :「新編 日本の地盤 分布図と質」、東京大学出版会</p> <p>89 伸田時彦 (1975) :「活断層から生ずる地盤の観察と周則について」、地盤 第2編、第28巻、269–283</p> <p>90 伸田時彦 (1998) :「活断層から生ずる地盤の観察と周則について」、地盤 第2編、第28巻、269–283</p> <p>91 伸田時彦 (1998) :「活断層から生ずる地盤の観察と周則について」、地盤 第2編、第28巻、269–283</p> <p>92 伸田時彦 (1998) :「活断層から生ずる地盤の観察と周則について」、地盤 第2編、第28巻、269–283</p> <p>93 伸田時彦 (1998) :「活断層から生ずる地盤の観察と周則について」、地盤 第2編、第28巻、269–283</p> <p>94 伸田時彦 (1998) :「活断層から生ずる地盤の観察と周則について」、地盤 第2編、第28巻、269–283</p> <p>95 伸田時彦 (1998) :「活断層から生ずる地盤の観察と周則について」、地盤 第2編、第28巻、269–283</p> <p>96 伸田時彦 (1998) :「活断層から生ずる地盤の観察と周則について」、地盤 第2編、第28巻、269–283</p> <p>97 伸田時彦 (1998) :「活断層から生ずる地盤の観察と周則について」、地盤 第2編、第28巻、269–283</p> <p>98 伸田時彦 (1998) :「活断層から生ずる地盤の観察と周則について」、地盤 第2編、第28巻、269–283</p> <p>99 伸田時彦 (1998) :「活断層から生ずる地盤の観察と周則について」、地盤 第2編、第28巻、269–283</p> <p>100 伸田時彦 (1998) :「活断層から生ずる地盤の観察と周則について」、地盤 第2編、第28巻、269–283</p> <p>101 伸田時彦 (1998) :「活断層から生ずる地盤の観察と周則について」、地盤 第2編、第28巻、269–283</p> <p>102 伸田時彦 (1998) :「活断層から生ずる地盤の観察と周則について」、地盤 第2編、第28巻、269–283</p> <p>103 伸田時彦 (1998) :「活断層から生ずる地盤の観察と周則について」、地盤 第2編、第28巻、269–283</p> <p>104 伸田時彦 (1998) :「活断層から生ずる地盤の観察と周則について」、地盤 第2編、第28巻、269–283</p> <p>105 伸田時彦 (1998) :「活断層から生ずる地盤の観察と周則について」、地盤 第2編、第28巻、269–283</p> <p>106 伸田時彦 (1998) :「活断層から生ずる地盤の観察と周則について」、地盤 第2編、第28巻、269–283</p> <p>107 伸田時彦 (1998) :「活断層から生ずる地盤の観察と周則について」、地盤 第2編、第28巻、269–283</p> <p>108 伸田時彦 (1998) :「活断層から生ずる地盤の観察と周則について」、地盤 第2編、第28巻、269–283</p> <p>109 伸田時彦 (1998) :「活断層から生ずる地盤の観察と周則について」、地盤 第2編、第28巻、269–283</p> <p>110 伸田時彦 (1998) :「活断層から生ずる地盤の観察と周則について」、地盤 第2編、第28巻、269–283</p> <p>111 伸田時彦 (1998) :「活断層から生ずる地盤の観察と周則について」、地盤 第2編、第28巻、269–283</p> <p>112 伸田時彦 (1998) :「活断層から生ずる地盤の観察と周則について」、地盤 第2編、第28巻、269–283</p> <p>113 伸田時彦 (1998) :「活断層から生ずる地盤の観察と周則について」、地盤 第2編、第28巻、269–283</p> <p>114 伸田時彦 (1998) :「活断層から生ずる地盤の観察と周則について」、地盤 第2編、第28巻、269–283</p> <p>115 伸田時彦 (1998) :「活断層から生ずる地盤の観察と周則について」、地盤 第2編、第28巻、269–283</p> <p>116 伸田時彦 (1998) :「活断層から生ずる地盤の観察と周則について」、地盤 第2編、第28巻、269–283</p> <p>117 伸田時彦 (1998) :「活断層から生ずる地盤の観察と周則について」、地盤 第2編、第28巻、269–283</p> <p>118 伸田時彦 (1998) :「活断層から生ずる地盤の観察と周則について」、地盤 第2編、第28巻、269–283</p> <p>119 伸田時彦 (1998) :「活断層から生ずる地盤の観察と周則について」、地盤 第2編、第28巻、269–283</p> <p>120 伸田時彦 (1998) :「活断層から生ずる地盤の観察と周則について」、地盤 第2編、第28巻、269–283</p> </td><td style="vertical-align: top;"> <p>参考文献</p> <p>81 日本国子力学会 (2015) :「日本原子力学会標準、原子力発電所に対する地震を考慮した確率論的リスク評価とその実施結果 (2/2)」</p> <p>82 地震調査研究会 (2013) :「今後の地盤動ハザードによる評価に向けた検討結果～2013年における検討結果～」</p> <p>83 伸田時彦 (2012) :「震度分布に基づく2011年東北地方太平洋沖地震の短周期地盤が発生域、地震 第2輯 第55巻</p> <p>84 Asano, K. and T. Iwata (2012), Source model for strong ground motion generation in the Frequency range 0.1–10 Hz during the 2011 Tohoku earthquake, Earth Planets Space, 64, 1111–1123.</p> <p>85 佐藤孝典、石川和也、木谷浩之、弓間和人、川澄隆、生玉真也、金田正毅 (2013) :「標的的な効率的削除レシピに基づく東北地方太平洋沖地震の大規模地震動の原理」、日本地震工学会第10回年次大会発表要旨。</p> <p>86 地盤調査研究会 (2005) :「宮城県地盤等を取扱った地盤調査報告書(一般修正版)」</p> <p>87 地盤調査研究会編 (1991) :「新編 日本の地盤 考古と質」、東京大学出版会</p> <p>88 伸田時彦 (1991) :「新編 日本の地盤 分布図と質」、東京大学出版会</p> <p>89 伸田時彦 (1975) :「活断層から生ずる地盤の観察と周則について」、地盤 第2編、第28巻、269–283</p> <p>90 伸田時彦 (1998) :「活断層から生ずる地盤の観察と周則について」、地盤 第2編、第28巻、269–283</p> <p>91 伸田時彦 (1998) :「活断層から生ずる地盤の観察と周則について」、地盤 第2編、第28巻、269–283</p> <p>92 伸田時彦 (1998) :「活断層から生ずる地盤の観察と周則について」、地盤 第2編、第28巻、269–283</p> <p>93 伸田時彦 (1998) :「活断層から生ずる地盤の観察と周則について」、地盤 第2編、第28巻、269–283</p> <p>94 伸田時彦 (1998) :「活断層から生ずる地盤の観察と周則について」、地盤 第2編、第28巻、269–283</p> <p>95 伸田時彦 (1998) :「活断層から生ずる地盤の観察と周則について」、地盤 第2編、第28巻、269–283</p> <p>96 伸田時彦 (1998) :「活断層から生ずる地盤の観察と周則について」、地盤 第2編、第28巻、269–283</p> <p>97 伸田時彦 (1998) :「活断層から生ずる地盤の観察と周則について」、地盤 第2編、第28巻、269–283</p> <p>98 伸田時彦 (1998) :「活断層から生ずる地盤の観察と周則について」、地盤 第2編、第28巻、269–283</p> <p>99 伸田時彦 (1998) :「活断層から生ずる地盤の観察と周則について」、地盤 第2編、第28巻、269–283</p> <p>100 伸田時彦 (1998) :「活断層から生ずる地盤の観察と周則について」、地盤 第2編、第28巻、269–283</p> <p>101 伸田時彦 (1998) :「活断層から生ずる地盤の観察と周則について」、地盤 第2編、第28巻、269–283</p> <p>102 伸田時彦 (1998) :「活断層から生ずる地盤の観察と周則について」、地盤 第2編、第28巻、269–283</p> <p>103 伸田時彦 (1998) :「活断層から生ずる地盤の観察と周則について」、地盤 第2編、第28巻、269–283</p> <p>104 伸田時彦 (1998) :「活断層から生ずる地盤の観察と周則について」、地盤 第2編、第28巻、269–283</p> <p>105 伸田時彦 (1998) :「活断層から生ずる地盤の観察と周則について」、地盤 第2編、第28巻、269–283</p> <p>106 伸田時彦 (1998) :「活断層から生ずる地盤の観察と周則について」、地盤 第2編、第28巻、269–283</p> <p>107 伸田時彦 (1998) :「活断層から生ずる地盤の観察と周則について」、地盤 第2編、第28巻、269–283</p> <p>108 伸田時彦 (1998) :「活断層から生ずる地盤の観察と周則について」、地盤 第2編、第28巻、269–283</p> <p>109 伸田時彦 (1998) :「活断層から生ずる地盤の観察と周則について」、地盤 第2編、第28巻、269–283</p> <p>110 伸田時彦 (1998) :「活断層から生ずる地盤の観察と周則について」、地盤 第2編、第28巻、269–283</p> <p>111 伸田時彦 (1998) :「活断層から生ずる地盤の観察と周則について」、地盤 第2編、第28巻、269–283</p> <p>112 伸田時彦 (1998) :「活断層から生ずる地盤の観察と周則について」、地盤 第2編、第28巻、269–283</p> <p>113 伸田時彦 (1998) :「活断層から生ずる地盤の観察と周則について」、地盤 第2編、第28巻、269–283</p> <p>114 伸田時彦 (1998) :「活断層から生ずる地盤の観察と周則について」、地盤 第2編、第28巻、269–283</p> <p>115 伸田時彦 (1998) :「活断層から生ずる地盤の観察と周則について」、地盤 第2編、第28巻、269–283</p> <p>116 伸田時彦 (1998) :「活断層から生ずる地盤の観察と周則について」、地盤 第2編、第28巻、269–283</p> <p>117 伸田時彦 (1998) :「活断層から生ずる地盤の観察と周則について」、地盤 第2編、第28巻、269–283</p> <p>118 伸田時彦 (1998) :「活断層から生ずる地盤の観察と周則について」、地盤 第2編、第28巻、269–283</p> <p>119 伸田時彦 (1998) :「活断層から生ずる地盤の観察と周則について」、地盤 第2編、第28巻、269–283</p> <p>120 伸田時彦 (1998) :「活断層から生ずる地盤の観察と周則について」、地盤 第2編、第28巻、269–283</p> </td><td style="vertical-align: top;"> <p>【大飯】</p> <ul style="list-style-type: none"> <li>■記載方針の相違</li> <li>・女川の実績反映</li> <li>・地震ハザード、フランジリティ評価で参照している参考文献を記載している</li> </ul> <p>【女川】</p> <ul style="list-style-type: none"> <li>■個別評価による相違</li> <li>・参照している参考文献が異なる</li> </ul> </td></tr> </tbody> </table>	<p>評価</p> <p>地盤ハザード評価</p> <p>評価</p> <p>建屋・機器 アラート 評価</p>	<p>参考文献</p> <p>81 日本国子力学会 (2015) :「日本原子力学会標準、原子力発電所に対する地震を考慮とした確率論的リスク評価とその実施結果」</p> <p>82 地震調査研究会 (2013) :「今後の地盤動ハザードによる評価に向けた検討結果～2013年における検討結果～」</p> <p>83 伸田克久、村井雅之、佐治洋、石川所也 (2012) :「震度分布に基づく2011年東北地方太平洋沖地震の短周期地盤が発生域、地震 第2輯 第55巻</p> <p>84 Asano, K. and T. Iwata (2012), Source model for strong ground motion generation in the Frequency range 0.1–10 Hz during the 2011 Tohoku earthquake, Earth Planets Space, 64, 1111–1123.</p> <p>85 佐藤孝典、石川和也、木谷浩之、弓間和人、川澄隆、生玉真也、金田正毅 (2013) :「標的的な効率的削除レシピに基づく東北地方太平洋沖地震の大規模地震動の原理」、日本地震工学会第10回年次大会発表要旨。</p> <p>86 地盤調査研究会 (2005) :「宮城県地盤等を取扱った地盤調査報告書(一般修正版)」</p> <p>87 地盤調査研究会編 (1991) :「新訂 日本の地盤 考古と質」、東京大学出版会</p> <p>88 Wada, S., K. Yasufiro, K. Takahashi, M. Takemoto, S. Ohno, M. Toido and T. Kojimura (2002) :「RESPONSE SPECTRA FOR DESIGN PURPOSE OF STIFF STRUCTURES ON ROCK SITES. OECD-NEA Workshop between Seismological Data and Seismic Engineering Analysis」, Oct. 16–18, Istanbul.</p> <p>89 伸田時彦 (1975) :「活断層から生ずる地盤の振動と周期について」、地盤工学第16卷、第25巻、269–294</p> <p>90 伸田時彦 (1975) :「活断層から生ずる地盤の振動と周期について」、地盤工学第16卷、第25巻、269–294</p> <p>91 伸田時彦 (2005) :「同一地点における地盤動の蓄積と減衰について」、地盤工学第16卷、第25巻、87–98</p> <p>92 伸田時彦 (2012) :「2011年東北地方太平洋沖地震の特徴について」、地盤工学第16卷、第25巻、87–98</p> <p>93 伸田時彦、野田静男 (2005) :「同一地点における地盤動蓄積の蓄積と減衰について」、地盤工学第16卷、第25巻、87–98</p> <p>94 伸田時彦、野田静男 (2006) :「地盤動蓄積と震度点を特定した地盤動強さのばらつき」、一般開催会議</p> <p>95 伸田時彦、野田静男 (2006) :「地盤動蓄積と震度点を特定した地盤動強さのばらつき」、一般開催会議</p> <p>96 伸田時彦 (1975) :「活断層から生ずる地盤動の蓄積と減衰について」、地盤工学第16卷、第25巻、87–98</p> <p>97 伸田時彦 (1975) :「活断層から生ずる地盤の振動と周期について」、地盤工学第16卷、第25巻、269–294</p> <p>98 伸田時彦 (1975) :「活断層から生ずる地盤の振動と周期について」、地盤工学第16卷、第25巻、269–294</p> <p>99 伸田時彦 (1975) :「活断層から生ずる地盤の振動と周期について」、地盤工学第16卷、第25巻、269–294</p> <p>100 伸田時彦 (1975) :「活断層から生ずる地盤の振動と周期について」、地盤工学第16卷、第25巻、269–294</p> <p>101 伸田時彦 (1975) :「活断層から生ずる地盤の振動と周期について」、地盤工学第16卷、第25巻、269–294</p> <p>102 伸田時彦 (1975) :「活断層から生ずる地盤の振動と周期について」、地盤工学第16卷、第25巻、269–294</p> <p>103 伸田時彦 (1975) :「活断層から生ずる地盤の振動と周期について」、地盤工学第16卷、第25巻、269–294</p> <p>104 伸田時彦 (1975) :「活断層から生ずる地盤の振動と周期について」、地盤工学第16卷、第25巻、269–294</p> <p>105 伸田時彦 (1975) :「活断層から生ずる地盤の振動と周期について」、地盤工学第16卷、第25巻、269–294</p> <p>106 伸田時彦 (1975) :「活断層から生ずる地盤の振動と周期について」、地盤工学第16卷、第25巻、269–294</p> <p>107 伸田時彦 (1975) :「活断層から生ずる地盤の振動と周期について」、地盤工学第16卷、第25巻、269–294</p> <p>108 伸田時彦 (1975) :「活断層から生ずる地盤の振動と周期について」、地盤工学第16卷、第25巻、269–294</p> <p>109 伸田時彦 (1975) :「活断層から生ずる地盤の振動と周期について」、地盤工学第16卷、第25巻、269–294</p> <p>110 伸田時彦 (1975) :「活断層から生ずる地盤の振動と周期について」、地盤工学第16卷、第25巻、269–294</p> <p>111 伸田時彦 (1975) :「活断層から生ずる地盤の振動と周期について」、地盤工学第16卷、第25巻、269–294</p> <p>112 伸田時彦 (1975) :「活断層から生ずる地盤の振動と周期について」、地盤工学第16卷、第25巻、269–294</p> <p>113 伸田時彦 (1975) :「活断層から生ずる地盤の振動と周期について」、地盤工学第16卷、第25巻、269–294</p> <p>114 R. Kossawara, EPRI Report 1003121, "Methodology for Probabilistic Risk Assessment Applications of Seismic Margin Evaluations," Electric Power Research Institute, December 2001</p> <p>115 Westinghouse Electric Company, "EP-1000 Design Control Document," December 2011</p> <p>116 General Electric (2006) :「AP1000簡易設計監査版のNRC認可申請書(提出書類)」</p> <p>117 Nuclear Energy, "APR Design Document," March 1997</p> <p>118 伸田時彦 (1999) :「AP1000簡易設計監査版から前段設計までの、矢川元基・宮正和・倍屋鉄郎の分析」、一般社団法人日本建築学会大会学術講演概要集 (9.7.17)</p> <p>119 安全研究会報 (2007年8月) :「AP1000(後期) 平成25年8月 独立研究会人 原子力安全基準機構</p> <p>120 N. Hall, Newmark and W. J. Hall, "Development of Criteria for Seismic Review of Selected Nuclear Power Plants," NUREG/CR-0098</p>	<p>参考文献</p> <p>81 日本国子力学会 (2015) :「日本原子力学会標準、原子力発電所に対する地震を考慮した確率論的リスク評価とその実施結果 (2/2)」</p> <p>82 地震調査研究会 (2013) :「今後の地盤動ハザードによる評価に向けた検討結果～2013年における検討結果～」</p> <p>83 伸田時彦 (2012) :「震度分布に基づく2011年東北地方太平洋沖地震の短周期地盤が発生域、地震 第2輯 第55巻</p> <p>84 Asano, K. and T. Iwata (2012), Source model for strong ground motion generation in the Frequency range 0.1–10 Hz during the 2011 Tohoku earthquake, Earth Planets Space, 64, 1111–1123.</p> <p>85 佐藤孝典、石川和也、木谷浩之、弓間和人、川澄隆、生玉真也、金田正毅 (2013) :「標的的な効率的削除レシピに基づく東北地方太平洋沖地震の大規模地震動の原理」、日本地震工学会第10回年次大会発表要旨。</p> <p>86 地盤調査研究会 (2005) :「宮城県地盤等を取扱った地盤調査報告書(一般修正版)」</p> <p>87 地盤調査研究会編 (1991) :「新訂 日本の地盤 考古と質」、東京大学出版会</p> <p>88 伸田時彦 (1991) :「新編 日本の地盤 分布図と質」、東京大学出版会</p> <p>89 伸田時彦 (1975) :「活断層から生ずる地盤の観察と周則について」、地盤 第2編、第28巻、269–283</p> <p>90 伸田時彦 (1998) :「活断層から生ずる地盤の観察と周則について」、地盤 第2編、第28巻、269–283</p> <p>91 伸田時彦 (1998) :「活断層から生ずる地盤の観察と周則について」、地盤 第2編、第28巻、269–283</p> <p>92 伸田時彦 (1998) :「活断層から生ずる地盤の観察と周則について」、地盤 第2編、第28巻、269–283</p> <p>93 伸田時彦 (1998) :「活断層から生ずる地盤の観察と周則について」、地盤 第2編、第28巻、269–283</p> <p>94 伸田時彦 (1998) :「活断層から生ずる地盤の観察と周則について」、地盤 第2編、第28巻、269–283</p> <p>95 伸田時彦 (1998) :「活断層から生ずる地盤の観察と周則について」、地盤 第2編、第28巻、269–283</p> <p>96 伸田時彦 (1998) :「活断層から生ずる地盤の観察と周則について」、地盤 第2編、第28巻、269–283</p> <p>97 伸田時彦 (1998) :「活断層から生ずる地盤の観察と周則について」、地盤 第2編、第28巻、269–283</p> <p>98 伸田時彦 (1998) :「活断層から生ずる地盤の観察と周則について」、地盤 第2編、第28巻、269–283</p> <p>99 伸田時彦 (1998) :「活断層から生ずる地盤の観察と周則について」、地盤 第2編、第28巻、269–283</p> <p>100 伸田時彦 (1998) :「活断層から生ずる地盤の観察と周則について」、地盤 第2編、第28巻、269–283</p> <p>101 伸田時彦 (1998) :「活断層から生ずる地盤の観察と周則について」、地盤 第2編、第28巻、269–283</p> <p>102 伸田時彦 (1998) :「活断層から生ずる地盤の観察と周則について」、地盤 第2編、第28巻、269–283</p> <p>103 伸田時彦 (1998) :「活断層から生ずる地盤の観察と周則について」、地盤 第2編、第28巻、269–283</p> <p>104 伸田時彦 (1998) :「活断層から生ずる地盤の観察と周則について」、地盤 第2編、第28巻、269–283</p> <p>105 伸田時彦 (1998) :「活断層から生ずる地盤の観察と周則について」、地盤 第2編、第28巻、269–283</p> <p>106 伸田時彦 (1998) :「活断層から生ずる地盤の観察と周則について」、地盤 第2編、第28巻、269–283</p> <p>107 伸田時彦 (1998) :「活断層から生ずる地盤の観察と周則について」、地盤 第2編、第28巻、269–283</p> <p>108 伸田時彦 (1998) :「活断層から生ずる地盤の観察と周則について」、地盤 第2編、第28巻、269–283</p> <p>109 伸田時彦 (1998) :「活断層から生ずる地盤の観察と周則について」、地盤 第2編、第28巻、269–283</p> <p>110 伸田時彦 (1998) :「活断層から生ずる地盤の観察と周則について」、地盤 第2編、第28巻、269–283</p> <p>111 伸田時彦 (1998) :「活断層から生ずる地盤の観察と周則について」、地盤 第2編、第28巻、269–283</p> <p>112 伸田時彦 (1998) :「活断層から生ずる地盤の観察と周則について」、地盤 第2編、第28巻、269–283</p> <p>113 伸田時彦 (1998) :「活断層から生ずる地盤の観察と周則について」、地盤 第2編、第28巻、269–283</p> <p>114 R. Kennedy and M.K. Ravindra, "Seismic fragilities for Nuclear Power Plant Risk Studies," Nuclear Engineering and Design 79 (1988)</p> <p>115 R. Kossawara, EPRI Report 1003121, "Methodology for Probabilistic Risk Assessment Applications of Seismic Margin Evaluations," Electric Power Research Institute, December 2001</p> <p>116 Westinghouse Electric Company, "AP1000 Design Control Document," December 2011</p> <p>117 Nuclear Energy, "APR Design Document," March 1997</p> <p>118 N. Hall, Newmark and W. J. Hall, "Development of Criteria for Seismic Review of Selected Nuclear Power Plants," NUREG/CR-0098</p>	<p>参考文献</p> <p>81 日本国子力学会 (2015) :「日本原子力学会標準、原子力発電所に対する地震を考慮とした確率論的リスク評価とその実施結果 (2/2)」</p> <p>82 地震調査研究会 (2013) :「今後の地盤動ハザードによる評価に向けた検討結果～2013年における検討結果～」</p> <p>83 伸田時彦 (2012) :「震度分布に基づく2011年東北地方太平洋沖地震の短周期地盤が発生域、地震 第2輯 第55巻</p> <p>84 Asano, K. and T. Iwata (2012), Source model for strong ground motion generation in the Frequency range 0.1–10 Hz during the 2011 Tohoku earthquake, Earth Planets Space, 64, 1111–1123.</p> <p>85 佐藤孝典、石川和也、木谷浩之、弓間和人、川澄隆、生玉真也、金田正毅 (2013) :「標的的な効率的削除レシピに基づく東北地方太平洋沖地震の大規模地震動の原理」、日本地震工学会第10回年次大会発表要旨。</p> <p>86 地盤調査研究会 (2005) :「宮城県地盤等を取扱った地盤調査報告書(一般修正版)」</p> <p>87 地盤調査研究会編 (1991) :「新編 日本の地盤 考古と質」、東京大学出版会</p> <p>88 伸田時彦 (1991) :「新編 日本の地盤 分布図と質」、東京大学出版会</p> <p>89 伸田時彦 (1975) :「活断層から生ずる地盤の観察と周則について」、地盤 第2編、第28巻、269–283</p> <p>90 伸田時彦 (1998) :「活断層から生ずる地盤の観察と周則について」、地盤 第2編、第28巻、269–283</p> <p>91 伸田時彦 (1998) :「活断層から生ずる地盤の観察と周則について」、地盤 第2編、第28巻、269–283</p> <p>92 伸田時彦 (1998) :「活断層から生ずる地盤の観察と周則について」、地盤 第2編、第28巻、269–283</p> <p>93 伸田時彦 (1998) :「活断層から生ずる地盤の観察と周則について」、地盤 第2編、第28巻、269–283</p> <p>94 伸田時彦 (1998) :「活断層から生ずる地盤の観察と周則について」、地盤 第2編、第28巻、269–283</p> <p>95 伸田時彦 (1998) :「活断層から生ずる地盤の観察と周則について」、地盤 第2編、第28巻、269–283</p> <p>96 伸田時彦 (1998) :「活断層から生ずる地盤の観察と周則について」、地盤 第2編、第28巻、269–283</p> <p>97 伸田時彦 (1998) :「活断層から生ずる地盤の観察と周則について」、地盤 第2編、第28巻、269–283</p> <p>98 伸田時彦 (1998) :「活断層から生ずる地盤の観察と周則について」、地盤 第2編、第28巻、269–283</p> <p>99 伸田時彦 (1998) :「活断層から生ずる地盤の観察と周則について」、地盤 第2編、第28巻、269–283</p> <p>100 伸田時彦 (1998) :「活断層から生ずる地盤の観察と周則について」、地盤 第2編、第28巻、269–283</p> <p>101 伸田時彦 (1998) :「活断層から生ずる地盤の観察と周則について」、地盤 第2編、第28巻、269–283</p> <p>102 伸田時彦 (1998) :「活断層から生ずる地盤の観察と周則について」、地盤 第2編、第28巻、269–283</p> <p>103 伸田時彦 (1998) :「活断層から生ずる地盤の観察と周則について」、地盤 第2編、第28巻、269–283</p> <p>104 伸田時彦 (1998) :「活断層から生ずる地盤の観察と周則について」、地盤 第2編、第28巻、269–283</p> <p>105 伸田時彦 (1998) :「活断層から生ずる地盤の観察と周則について」、地盤 第2編、第28巻、269–283</p> <p>106 伸田時彦 (1998) :「活断層から生ずる地盤の観察と周則について」、地盤 第2編、第28巻、269–283</p> <p>107 伸田時彦 (1998) :「活断層から生ずる地盤の観察と周則について」、地盤 第2編、第28巻、269–283</p> <p>108 伸田時彦 (1998) :「活断層から生ずる地盤の観察と周則について」、地盤 第2編、第28巻、269–283</p> <p>109 伸田時彦 (1998) :「活断層から生ずる地盤の観察と周則について」、地盤 第2編、第28巻、269–283</p> <p>110 伸田時彦 (1998) :「活断層から生ずる地盤の観察と周則について」、地盤 第2編、第28巻、269–283</p> <p>111 伸田時彦 (1998) :「活断層から生ずる地盤の観察と周則について」、地盤 第2編、第28巻、269–283</p> <p>112 伸田時彦 (1998) :「活断層から生ずる地盤の観察と周則について」、地盤 第2編、第28巻、269–283</p> <p>113 伸田時彦 (1998) :「活断層から生ずる地盤の観察と周則について」、地盤 第2編、第28巻、269–283</p> <p>114 伸田時彦 (1998) :「活断層から生ずる地盤の観察と周則について」、地盤 第2編、第28巻、269–283</p> <p>115 伸田時彦 (1998) :「活断層から生ずる地盤の観察と周則について」、地盤 第2編、第28巻、269–283</p> <p>116 伸田時彦 (1998) :「活断層から生ずる地盤の観察と周則について」、地盤 第2編、第28巻、269–283</p> <p>117 伸田時彦 (1998) :「活断層から生ずる地盤の観察と周則について」、地盤 第2編、第28巻、269–283</p> <p>118 伸田時彦 (1998) :「活断層から生ずる地盤の観察と周則について」、地盤 第2編、第28巻、269–283</p> <p>119 伸田時彦 (1998) :「活断層から生ずる地盤の観察と周則について」、地盤 第2編、第28巻、269–283</p> <p>120 伸田時彦 (1998) :「活断層から生ずる地盤の観察と周則について」、地盤 第2編、第28巻、269–283</p>	<p>参考文献</p> <p>81 日本国子力学会 (2015) :「日本原子力学会標準、原子力発電所に対する地震を考慮した確率論的リスク評価とその実施結果 (2/2)」</p> <p>82 地震調査研究会 (2013) :「今後の地盤動ハザードによる評価に向けた検討結果～2013年における検討結果～」</p> <p>83 伸田時彦 (2012) :「震度分布に基づく2011年東北地方太平洋沖地震の短周期地盤が発生域、地震 第2輯 第55巻</p> <p>84 Asano, K. and T. Iwata (2012), Source model for strong ground motion generation in the Frequency range 0.1–10 Hz during the 2011 Tohoku earthquake, Earth Planets Space, 64, 1111–1123.</p> <p>85 佐藤孝典、石川和也、木谷浩之、弓間和人、川澄隆、生玉真也、金田正毅 (2013) :「標的的な効率的削除レシピに基づく東北地方太平洋沖地震の大規模地震動の原理」、日本地震工学会第10回年次大会発表要旨。</p> <p>86 地盤調査研究会 (2005) :「宮城県地盤等を取扱った地盤調査報告書(一般修正版)」</p> <p>87 地盤調査研究会編 (1991) :「新編 日本の地盤 考古と質」、東京大学出版会</p> <p>88 伸田時彦 (1991) :「新編 日本の地盤 分布図と質」、東京大学出版会</p> <p>89 伸田時彦 (1975) :「活断層から生ずる地盤の観察と周則について」、地盤 第2編、第28巻、269–283</p> <p>90 伸田時彦 (1998) :「活断層から生ずる地盤の観察と周則について」、地盤 第2編、第28巻、269–283</p> <p>91 伸田時彦 (1998) :「活断層から生ずる地盤の観察と周則について」、地盤 第2編、第28巻、269–283</p> <p>92 伸田時彦 (1998) :「活断層から生ずる地盤の観察と周則について」、地盤 第2編、第28巻、269–283</p> <p>93 伸田時彦 (1998) :「活断層から生ずる地盤の観察と周則について」、地盤 第2編、第28巻、269–283</p> <p>94 伸田時彦 (1998) :「活断層から生ずる地盤の観察と周則について」、地盤 第2編、第28巻、269–283</p> <p>95 伸田時彦 (1998) :「活断層から生ずる地盤の観察と周則について」、地盤 第2編、第28巻、269–283</p> <p>96 伸田時彦 (1998) :「活断層から生ずる地盤の観察と周則について」、地盤 第2編、第28巻、269–283</p> <p>97 伸田時彦 (1998) :「活断層から生ずる地盤の観察と周則について」、地盤 第2編、第28巻、269–283</p> <p>98 伸田時彦 (1998) :「活断層から生ずる地盤の観察と周則について」、地盤 第2編、第28巻、269–283</p> <p>99 伸田時彦 (1998) :「活断層から生ずる地盤の観察と周則について」、地盤 第2編、第28巻、269–283</p> <p>100 伸田時彦 (1998) :「活断層から生ずる地盤の観察と周則について」、地盤 第2編、第28巻、269–283</p> <p>101 伸田時彦 (1998) :「活断層から生ずる地盤の観察と周則について」、地盤 第2編、第28巻、269–283</p> <p>102 伸田時彦 (1998) :「活断層から生ずる地盤の観察と周則について」、地盤 第2編、第28巻、269–283</p> <p>103 伸田時彦 (1998) :「活断層から生ずる地盤の観察と周則について」、地盤 第2編、第28巻、269–283</p> <p>104 伸田時彦 (1998) :「活断層から生ずる地盤の観察と周則について」、地盤 第2編、第28巻、269–283</p> <p>105 伸田時彦 (1998) :「活断層から生ずる地盤の観察と周則について」、地盤 第2編、第28巻、269–283</p> <p>106 伸田時彦 (1998) :「活断層から生ずる地盤の観察と周則について」、地盤 第2編、第28巻、269–283</p> <p>107 伸田時彦 (1998) :「活断層から生ずる地盤の観察と周則について」、地盤 第2編、第28巻、269–283</p> <p>108 伸田時彦 (1998) :「活断層から生ずる地盤の観察と周則について」、地盤 第2編、第28巻、269–283</p> <p>109 伸田時彦 (1998) :「活断層から生ずる地盤の観察と周則について」、地盤 第2編、第28巻、269–283</p> <p>110 伸田時彦 (1998) :「活断層から生ずる地盤の観察と周則について」、地盤 第2編、第28巻、269–283</p> <p>111 伸田時彦 (1998) :「活断層から生ずる地盤の観察と周則について」、地盤 第2編、第28巻、269–283</p> <p>112 伸田時彦 (1998) :「活断層から生ずる地盤の観察と周則について」、地盤 第2編、第28巻、269–283</p> <p>113 伸田時彦 (1998) :「活断層から生ずる地盤の観察と周則について」、地盤 第2編、第28巻、269–283</p> <p>114 伸田時彦 (1998) :「活断層から生ずる地盤の観察と周則について」、地盤 第2編、第28巻、269–283</p> <p>115 伸田時彦 (1998) :「活断層から生ずる地盤の観察と周則について」、地盤 第2編、第28巻、269–283</p> <p>116 伸田時彦 (1998) :「活断層から生ずる地盤の観察と周則について」、地盤 第2編、第28巻、269–283</p> <p>117 伸田時彦 (1998) :「活断層から生ずる地盤の観察と周則について」、地盤 第2編、第28巻、269–283</p> <p>118 伸田時彦 (1998) :「活断層から生ずる地盤の観察と周則について」、地盤 第2編、第28巻、269–283</p> <p>119 伸田時彦 (1998) :「活断層から生ずる地盤の観察と周則について」、地盤 第2編、第28巻、269–283</p> <p>120 伸田時彦 (1998) :「活断層から生ずる地盤の観察と周則について」、地盤 第2編、第28巻、269–283</p>	<p>【大飯】</p> <ul style="list-style-type: none"> <li>■記載方針の相違</li> <li>・女川の実績反映</li> <li>・地震ハザード、フランジリティ評価で参照している参考文献を記載している</li> </ul> <p>【女川】</p> <ul style="list-style-type: none"> <li>■個別評価による相違</li> <li>・参照している参考文献が異なる</li> </ul>
<p>評価</p> <p>地盤ハザード評価</p> <p>評価</p> <p>建屋・機器 アラート 評価</p>	<p>参考文献</p> <p>81 日本国子力学会 (2015) :「日本原子力学会標準、原子力発電所に対する地震を考慮とした確率論的リスク評価とその実施結果」</p> <p>82 地震調査研究会 (2013) :「今後の地盤動ハザードによる評価に向けた検討結果～2013年における検討結果～」</p> <p>83 伸田克久、村井雅之、佐治洋、石川所也 (2012) :「震度分布に基づく2011年東北地方太平洋沖地震の短周期地盤が発生域、地震 第2輯 第55巻</p> <p>84 Asano, K. and T. Iwata (2012), Source model for strong ground motion generation in the Frequency range 0.1–10 Hz during the 2011 Tohoku earthquake, Earth Planets Space, 64, 1111–1123.</p> <p>85 佐藤孝典、石川和也、木谷浩之、弓間和人、川澄隆、生玉真也、金田正毅 (2013) :「標的的な効率的削除レシピに基づく東北地方太平洋沖地震の大規模地震動の原理」、日本地震工学会第10回年次大会発表要旨。</p> <p>86 地盤調査研究会 (2005) :「宮城県地盤等を取扱った地盤調査報告書(一般修正版)」</p> <p>87 地盤調査研究会編 (1991) :「新訂 日本の地盤 考古と質」、東京大学出版会</p> <p>88 Wada, S., K. Yasufiro, K. Takahashi, M. Takemoto, S. Ohno, M. Toido and T. Kojimura (2002) :「RESPONSE SPECTRA FOR DESIGN PURPOSE OF STIFF STRUCTURES ON ROCK SITES. OECD-NEA Workshop between Seismological Data and Seismic Engineering Analysis」, Oct. 16–18, Istanbul.</p> <p>89 伸田時彦 (1975) :「活断層から生ずる地盤の振動と周期について」、地盤工学第16卷、第25巻、269–294</p> <p>90 伸田時彦 (1975) :「活断層から生ずる地盤の振動と周期について」、地盤工学第16卷、第25巻、269–294</p> <p>91 伸田時彦 (2005) :「同一地点における地盤動の蓄積と減衰について」、地盤工学第16卷、第25巻、87–98</p> <p>92 伸田時彦 (2012) :「2011年東北地方太平洋沖地震の特徴について」、地盤工学第16卷、第25巻、87–98</p> <p>93 伸田時彦、野田静男 (2005) :「同一地点における地盤動蓄積の蓄積と減衰について」、地盤工学第16卷、第25巻、87–98</p> <p>94 伸田時彦、野田静男 (2006) :「地盤動蓄積と震度点を特定した地盤動強さのばらつき」、一般開催会議</p> <p>95 伸田時彦、野田静男 (2006) :「地盤動蓄積と震度点を特定した地盤動強さのばらつき」、一般開催会議</p> <p>96 伸田時彦 (1975) :「活断層から生ずる地盤動の蓄積と減衰について」、地盤工学第16卷、第25巻、87–98</p> <p>97 伸田時彦 (1975) :「活断層から生ずる地盤の振動と周期について」、地盤工学第16卷、第25巻、269–294</p> <p>98 伸田時彦 (1975) :「活断層から生ずる地盤の振動と周期について」、地盤工学第16卷、第25巻、269–294</p> <p>99 伸田時彦 (1975) :「活断層から生ずる地盤の振動と周期について」、地盤工学第16卷、第25巻、269–294</p> <p>100 伸田時彦 (1975) :「活断層から生ずる地盤の振動と周期について」、地盤工学第16卷、第25巻、269–294</p> <p>101 伸田時彦 (1975) :「活断層から生ずる地盤の振動と周期について」、地盤工学第16卷、第25巻、269–294</p> <p>102 伸田時彦 (1975) :「活断層から生ずる地盤の振動と周期について」、地盤工学第16卷、第25巻、269–294</p> <p>103 伸田時彦 (1975) :「活断層から生ずる地盤の振動と周期について」、地盤工学第16卷、第25巻、269–294</p> <p>104 伸田時彦 (1975) :「活断層から生ずる地盤の振動と周期について」、地盤工学第16卷、第25巻、269–294</p> <p>105 伸田時彦 (1975) :「活断層から生ずる地盤の振動と周期について」、地盤工学第16卷、第25巻、269–294</p> <p>106 伸田時彦 (1975) :「活断層から生ずる地盤の振動と周期について」、地盤工学第16卷、第25巻、269–294</p> <p>107 伸田時彦 (1975) :「活断層から生ずる地盤の振動と周期について」、地盤工学第16卷、第25巻、269–294</p> <p>108 伸田時彦 (1975) :「活断層から生ずる地盤の振動と周期について」、地盤工学第16卷、第25巻、269–294</p> <p>109 伸田時彦 (1975) :「活断層から生ずる地盤の振動と周期について」、地盤工学第16卷、第25巻、269–294</p> <p>110 伸田時彦 (1975) :「活断層から生ずる地盤の振動と周期について」、地盤工学第16卷、第25巻、269–294</p> <p>111 伸田時彦 (1975) :「活断層から生ずる地盤の振動と周期について」、地盤工学第16卷、第25巻、269–294</p> <p>112 伸田時彦 (1975) :「活断層から生ずる地盤の振動と周期について」、地盤工学第16卷、第25巻、269–294</p> <p>113 伸田時彦 (1975) :「活断層から生ずる地盤の振動と周期について」、地盤工学第16卷、第25巻、269–294</p> <p>114 R. Kossawara, EPRI Report 1003121, "Methodology for Probabilistic Risk Assessment Applications of Seismic Margin Evaluations," Electric Power Research Institute, December 2001</p> <p>115 Westinghouse Electric Company, "EP-1000 Design Control Document," December 2011</p> <p>116 General Electric (2006) :「AP1000簡易設計監査版のNRC認可申請書(提出書類)」</p> <p>117 Nuclear Energy, "APR Design Document," March 1997</p> <p>118 伸田時彦 (1999) :「AP1000簡易設計監査版から前段設計までの、矢川元基・宮正和・倍屋鉄郎の分析」、一般社団法人日本建築学会大会学術講演概要集 (9.7.17)</p> <p>119 安全研究会報 (2007年8月) :「AP1000(後期) 平成25年8月 独立研究会人 原子力安全基準機構</p> <p>120 N. Hall, Newmark and W. J. Hall, "Development of Criteria for Seismic Review of Selected Nuclear Power Plants," NUREG/CR-0098</p>	<p>参考文献</p> <p>81 日本国子力学会 (2015) :「日本原子力学会標準、原子力発電所に対する地震を考慮した確率論的リスク評価とその実施結果 (2/2)」</p> <p>82 地震調査研究会 (2013) :「今後の地盤動ハザードによる評価に向けた検討結果～2013年における検討結果～」</p> <p>83 伸田時彦 (2012) :「震度分布に基づく2011年東北地方太平洋沖地震の短周期地盤が発生域、地震 第2輯 第55巻</p> <p>84 Asano, K. and T. Iwata (2012), Source model for strong ground motion generation in the Frequency range 0.1–10 Hz during the 2011 Tohoku earthquake, Earth Planets Space, 64, 1111–1123.</p> <p>85 佐藤孝典、石川和也、木谷浩之、弓間和人、川澄隆、生玉真也、金田正毅 (2013) :「標的的な効率的削除レシピに基づく東北地方太平洋沖地震の大規模地震動の原理」、日本地震工学会第10回年次大会発表要旨。</p> <p>86 地盤調査研究会 (2005) :「宮城県地盤等を取扱った地盤調査報告書(一般修正版)」</p> <p>87 地盤調査研究会編 (1991) :「新訂 日本の地盤 考古と質」、東京大学出版会</p> <p>88 伸田時彦 (1991) :「新編 日本の地盤 分布図と質」、東京大学出版会</p> <p>89 伸田時彦 (1975) :「活断層から生ずる地盤の観察と周則について」、地盤 第2編、第28巻、269–283</p> <p>90 伸田時彦 (1998) :「活断層から生ずる地盤の観察と周則について」、地盤 第2編、第28巻、269–283</p> <p>91 伸田時彦 (1998) :「活断層から生ずる地盤の観察と周則について」、地盤 第2編、第28巻、269–283</p> <p>92 伸田時彦 (1998) :「活断層から生ずる地盤の観察と周則について」、地盤 第2編、第28巻、269–283</p> <p>93 伸田時彦 (1998) :「活断層から生ずる地盤の観察と周則について」、地盤 第2編、第28巻、269–283</p> <p>94 伸田時彦 (1998) :「活断層から生ずる地盤の観察と周則について」、地盤 第2編、第28巻、269–283</p> <p>95 伸田時彦 (1998) :「活断層から生ずる地盤の観察と周則について」、地盤 第2編、第28巻、269–283</p> <p>96 伸田時彦 (1998) :「活断層から生ずる地盤の観察と周則について」、地盤 第2編、第28巻、269–283</p> <p>97 伸田時彦 (1998) :「活断層から生ずる地盤の観察と周則について」、地盤 第2編、第28巻、269–283</p> <p>98 伸田時彦 (1998) :「活断層から生ずる地盤の観察と周則について」、地盤 第2編、第28巻、269–283</p> <p>99 伸田時彦 (1998) :「活断層から生ずる地盤の観察と周則について」、地盤 第2編、第28巻、269–283</p> <p>100 伸田時彦 (1998) :「活断層から生ずる地盤の観察と周則について」、地盤 第2編、第28巻、269–283</p> <p>101 伸田時彦 (1998) :「活断層から生ずる地盤の観察と周則について」、地盤 第2編、第28巻、269–283</p> <p>102 伸田時彦 (1998) :「活断層から生ずる地盤の観察と周則について」、地盤 第2編、第28巻、269–283</p> <p>103 伸田時彦 (1998) :「活断層から生ずる地盤の観察と周則について」、地盤 第2編、第28巻、269–283</p> <p>104 伸田時彦 (1998) :「活断層から生ずる地盤の観察と周則について」、地盤 第2編、第28巻、269–283</p> <p>105 伸田時彦 (1998) :「活断層から生ずる地盤の観察と周則について」、地盤 第2編、第28巻、269–283</p> <p>106 伸田時彦 (1998) :「活断層から生ずる地盤の観察と周則について」、地盤 第2編、第28巻、269–283</p> <p>107 伸田時彦 (1998) :「活断層から生ずる地盤の観察と周則について」、地盤 第2編、第28巻、269–283</p> <p>108 伸田時彦 (1998) :「活断層から生ずる地盤の観察と周則について」、地盤 第2編、第28巻、269–283</p> <p>109 伸田時彦 (1998) :「活断層から生ずる地盤の観察と周則について」、地盤 第2編、第28巻、269–283</p> <p>110 伸田時彦 (1998) :「活断層から生ずる地盤の観察と周則について」、地盤 第2編、第28巻、269–283</p> <p>111 伸田時彦 (1998) :「活断層から生ずる地盤の観察と周則について」、地盤 第2編、第28巻、269–283</p> <p>112 伸田時彦 (1998) :「活断層から生ずる地盤の観察と周則について」、地盤 第2編、第28巻、269–283</p> <p>113 伸田時彦 (1998) :「活断層から生ずる地盤の観察と周則について」、地盤 第2編、第28巻、269–283</p> <p>114 R. Kennedy and M.K. Ravindra, "Seismic fragilities for Nuclear Power Plant Risk Studies," Nuclear Engineering and Design 79 (1988)</p> <p>115 R. Kossawara, EPRI Report 1003121, "Methodology for Probabilistic Risk Assessment Applications of Seismic Margin Evaluations," Electric Power Research Institute, December 2001</p> <p>116 Westinghouse Electric Company, "AP1000 Design Control Document," December 2011</p> <p>117 Nuclear Energy, "APR Design Document," March 1997</p> <p>118 N. Hall, Newmark and W. J. Hall, "Development of Criteria for Seismic Review of Selected Nuclear Power Plants," NUREG/CR-0098</p>	<p>参考文献</p> <p>81 日本国子力学会 (2015) :「日本原子力学会標準、原子力発電所に対する地震を考慮とした確率論的リスク評価とその実施結果 (2/2)」</p> <p>82 地震調査研究会 (2013) :「今後の地盤動ハザードによる評価に向けた検討結果～2013年における検討結果～」</p> <p>83 伸田時彦 (2012) :「震度分布に基づく2011年東北地方太平洋沖地震の短周期地盤が発生域、地震 第2輯 第55巻</p> <p>84 Asano, K. and T. Iwata (2012), Source model for strong ground motion generation in the Frequency range 0.1–10 Hz during the 2011 Tohoku earthquake, Earth Planets Space, 64, 1111–1123.</p> <p>85 佐藤孝典、石川和也、木谷浩之、弓間和人、川澄隆、生玉真也、金田正毅 (2013) :「標的的な効率的削除レシピに基づく東北地方太平洋沖地震の大規模地震動の原理」、日本地震工学会第10回年次大会発表要旨。</p> <p>86 地盤調査研究会 (2005) :「宮城県地盤等を取扱った地盤調査報告書(一般修正版)」</p> <p>87 地盤調査研究会編 (1991) :「新編 日本の地盤 考古と質」、東京大学出版会</p> <p>88 伸田時彦 (1991) :「新編 日本の地盤 分布図と質」、東京大学出版会</p> <p>89 伸田時彦 (1975) :「活断層から生ずる地盤の観察と周則について」、地盤 第2編、第28巻、269–283</p> <p>90 伸田時彦 (1998) :「活断層から生ずる地盤の観察と周則について」、地盤 第2編、第28巻、269–283</p> <p>91 伸田時彦 (1998) :「活断層から生ずる地盤の観察と周則について」、地盤 第2編、第28巻、269–283</p> <p>92 伸田時彦 (1998) :「活断層から生ずる地盤の観察と周則について」、地盤 第2編、第28巻、269–283</p> <p>93 伸田時彦 (1998) :「活断層から生ずる地盤の観察と周則について」、地盤 第2編、第28巻、269–283</p> <p>94 伸田時彦 (1998) :「活断層から生ずる地盤の観察と周則について」、地盤 第2編、第28巻、269–283</p> <p>95 伸田時彦 (1998) :「活断層から生ずる地盤の観察と周則について」、地盤 第2編、第28巻、269–283</p> <p>96 伸田時彦 (1998) :「活断層から生ずる地盤の観察と周則について」、地盤 第2編、第28巻、269–283</p> <p>97 伸田時彦 (1998) :「活断層から生ずる地盤の観察と周則について」、地盤 第2編、第28巻、269–283</p> <p>98 伸田時彦 (1998) :「活断層から生ずる地盤の観察と周則について」、地盤 第2編、第28巻、269–283</p> <p>99 伸田時彦 (1998) :「活断層から生ずる地盤の観察と周則について」、地盤 第2編、第28巻、269–283</p> <p>100 伸田時彦 (1998) :「活断層から生ずる地盤の観察と周則について」、地盤 第2編、第28巻、269–283</p> <p>101 伸田時彦 (1998) :「活断層から生ずる地盤の観察と周則について」、地盤 第2編、第28巻、269–283</p> <p>102 伸田時彦 (1998) :「活断層から生ずる地盤の観察と周則について」、地盤 第2編、第28巻、269–283</p> <p>103 伸田時彦 (1998) :「活断層から生ずる地盤の観察と周則について」、地盤 第2編、第28巻、269–283</p> <p>104 伸田時彦 (1998) :「活断層から生ずる地盤の観察と周則について」、地盤 第2編、第28巻、269–283</p> <p>105 伸田時彦 (1998) :「活断層から生ずる地盤の観察と周則について」、地盤 第2編、第28巻、269–283</p> <p>106 伸田時彦 (1998) :「活断層から生ずる地盤の観察と周則について」、地盤 第2編、第28巻、269–283</p> <p>107 伸田時彦 (1998) :「活断層から生ずる地盤の観察と周則について」、地盤 第2編、第28巻、269–283</p> <p>108 伸田時彦 (1998) :「活断層から生ずる地盤の観察と周則について」、地盤 第2編、第28巻、269–283</p> <p>109 伸田時彦 (1998) :「活断層から生ずる地盤の観察と周則について」、地盤 第2編、第28巻、269–283</p> <p>110 伸田時彦 (1998) :「活断層から生ずる地盤の観察と周則について」、地盤 第2編、第28巻、269–283</p> <p>111 伸田時彦 (1998) :「活断層から生ずる地盤の観察と周則について」、地盤 第2編、第28巻、269–283</p> <p>112 伸田時彦 (1998) :「活断層から生ずる地盤の観察と周則について」、地盤 第2編、第28巻、269–283</p> <p>113 伸田時彦 (1998) :「活断層から生ずる地盤の観察と周則について」、地盤 第2編、第28巻、269–283</p> <p>114 伸田時彦 (1998) :「活断層から生ずる地盤の観察と周則について」、地盤 第2編、第28巻、269–283</p> <p>115 伸田時彦 (1998) :「活断層から生ずる地盤の観察と周則について」、地盤 第2編、第28巻、269–283</p> <p>116 伸田時彦 (1998) :「活断層から生ずる地盤の観察と周則について」、地盤 第2編、第28巻、269–283</p> <p>117 伸田時彦 (1998) :「活断層から生ずる地盤の観察と周則について」、地盤 第2編、第28巻、269–283</p> <p>118 伸田時彦 (1998) :「活断層から生ずる地盤の観察と周則について」、地盤 第2編、第28巻、269–283</p> <p>119 伸田時彦 (1998) :「活断層から生ずる地盤の観察と周則について」、地盤 第2編、第28巻、269–283</p> <p>120 伸田時彦 (1998) :「活断層から生ずる地盤の観察と周則について」、地盤 第2編、第28巻、269–283</p>	<p>参考文献</p> <p>81 日本国子力学会 (2015) :「日本原子力学会標準、原子力発電所に対する地震を考慮した確率論的リスク評価とその実施結果 (2/2)」</p> <p>82 地震調査研究会 (2013) :「今後の地盤動ハザードによる評価に向けた検討結果～2013年における検討結果～」</p> <p>83 伸田時彦 (2012) :「震度分布に基づく2011年東北地方太平洋沖地震の短周期地盤が発生域、地震 第2輯 第55巻</p> <p>84 Asano, K. and T. Iwata (2012), Source model for strong ground motion generation in the Frequency range 0.1–10 Hz during the 2011 Tohoku earthquake, Earth Planets Space, 64, 1111–1123.</p> <p>85 佐藤孝典、石川和也、木谷浩之、弓間和人、川澄隆、生玉真也、金田正毅 (2013) :「標的的な効率的削除レシピに基づく東北地方太平洋沖地震の大規模地震動の原理」、日本地震工学会第10回年次大会発表要旨。</p> <p>86 地盤調査研究会 (2005) :「宮城県地盤等を取扱った地盤調査報告書(一般修正版)」</p> <p>87 地盤調査研究会編 (1991) :「新編 日本の地盤 考古と質」、東京大学出版会</p> <p>88 伸田時彦 (1991) :「新編 日本の地盤 分布図と質」、東京大学出版会</p> <p>89 伸田時彦 (1975) :「活断層から生ずる地盤の観察と周則について」、地盤 第2編、第28巻、269–283</p> <p>90 伸田時彦 (1998) :「活断層から生ずる地盤の観察と周則について」、地盤 第2編、第28巻、269–283</p> <p>91 伸田時彦 (1998) :「活断層から生ずる地盤の観察と周則について」、地盤 第2編、第28巻、269–283</p> <p>92 伸田時彦 (1998) :「活断層から生ずる地盤の観察と周則について」、地盤 第2編、第28巻、269–283</p> <p>93 伸田時彦 (1998) :「活断層から生ずる地盤の観察と周則について」、地盤 第2編、第28巻、269–283</p> <p>94 伸田時彦 (1998) :「活断層から生ずる地盤の観察と周則について」、地盤 第2編、第28巻、269–283</p> <p>95 伸田時彦 (1998) :「活断層から生ずる地盤の観察と周則について」、地盤 第2編、第28巻、269–283</p> <p>96 伸田時彦 (1998) :「活断層から生ずる地盤の観察と周則について」、地盤 第2編、第28巻、269–283</p> <p>97 伸田時彦 (1998) :「活断層から生ずる地盤の観察と周則について」、地盤 第2編、第28巻、269–283</p> <p>98 伸田時彦 (1998) :「活断層から生ずる地盤の観察と周則について」、地盤 第2編、第28巻、269–283</p> <p>99 伸田時彦 (1998) :「活断層から生ずる地盤の観察と周則について」、地盤 第2編、第28巻、269–283</p> <p>100 伸田時彦 (1998) :「活断層から生ずる地盤の観察と周則について」、地盤 第2編、第28巻、269–283</p> <p>101 伸田時彦 (1998) :「活断層から生ずる地盤の観察と周則について」、地盤 第2編、第28巻、269–283</p> <p>102 伸田時彦 (1998) :「活断層から生ずる地盤の観察と周則について」、地盤 第2編、第28巻、269–283</p> <p>103 伸田時彦 (1998) :「活断層から生ずる地盤の観察と周則について」、地盤 第2編、第28巻、269–283</p> <p>104 伸田時彦 (1998) :「活断層から生ずる地盤の観察と周則について」、地盤 第2編、第28巻、269–283</p> <p>105 伸田時彦 (1998) :「活断層から生ずる地盤の観察と周則について」、地盤 第2編、第28巻、269–283</p> <p>106 伸田時彦 (1998) :「活断層から生ずる地盤の観察と周則について」、地盤 第2編、第28巻、269–283</p> <p>107 伸田時彦 (1998) :「活断層から生ずる地盤の観察と周則について」、地盤 第2編、第28巻、269–283</p> <p>108 伸田時彦 (1998) :「活断層から生ずる地盤の観察と周則について」、地盤 第2編、第28巻、269–283</p> <p>109 伸田時彦 (1998) :「活断層から生ずる地盤の観察と周則について」、地盤 第2編、第28巻、269–283</p> <p>110 伸田時彦 (1998) :「活断層から生ずる地盤の観察と周則について」、地盤 第2編、第28巻、269–283</p> <p>111 伸田時彦 (1998) :「活断層から生ずる地盤の観察と周則について」、地盤 第2編、第28巻、269–283</p> <p>112 伸田時彦 (1998) :「活断層から生ずる地盤の観察と周則について」、地盤 第2編、第28巻、269–283</p> <p>113 伸田時彦 (1998) :「活断層から生ずる地盤の観察と周則について」、地盤 第2編、第28巻、269–283</p> <p>114 伸田時彦 (1998) :「活断層から生ずる地盤の観察と周則について」、地盤 第2編、第28巻、269–283</p> <p>115 伸田時彦 (1998) :「活断層から生ずる地盤の観察と周則について」、地盤 第2編、第28巻、269–283</p> <p>116 伸田時彦 (1998) :「活断層から生ずる地盤の観察と周則について」、地盤 第2編、第28巻、269–283</p> <p>117 伸田時彦 (1998) :「活断層から生ずる地盤の観察と周則について」、地盤 第2編、第28巻、269–283</p> <p>118 伸田時彦 (1998) :「活断層から生ずる地盤の観察と周則について」、地盤 第2編、第28巻、269–283</p> <p>119 伸田時彦 (1998) :「活断層から生ずる地盤の観察と周則について」、地盤 第2編、第28巻、269–283</p> <p>120 伸田時彦 (1998) :「活断層から生ずる地盤の観察と周則について」、地盤 第2編、第28巻、269–283</p>	<p>【大飯】</p> <ul style="list-style-type: none"> <li>■記載方針の相違</li> <li>・女川の実績反映</li> <li>・地震ハザード、フランジリティ評価で参照している参考文献を記載している</li> </ul> <p>【女川】</p> <ul style="list-style-type: none"> <li>■個別評価による相違</li> <li>・参照している参考文献が異なる</li> </ul>	

泊発電所3号炉 有効性評価 比較表

赤字：設備、運用又は体制の相違（設計方針の相違）  
 青字：記載箇所又は記載内容の相違（記載方針の相違）  
 緑字：記載表現、設備名称の相違（実質的な相違なし）

第37条 付録1 事故シーケンスグループ及び重要事故シーケンス等の選定について  
 別添3. レベル1PRA 3.2 外部事象 3.2.1 地震PRA

大飯発電所3／4号炉	女川原子力発電所2号炉	泊発電所3号炉	相違理由																							
	<p>①本震による炉心損傷事故に直接的に繋がりうる事故シナリオ</p> <table border="1"> <thead> <tr> <th>事故シナリオ</th> <th>分析</th> <th>スクリーニング結果</th> </tr> </thead> <tbody> <tr> <td>耐震重要度Sクラス機器の損傷</td> <td>地震PRAでは設計基準地震動を超えるような顕著な地震を考慮するため、そのような地盤が発生した場合には耐震重要度Sクラスの機器が損傷し、重大な事象に至る可能性がある。</td> <td>地震PRAで考慮</td> </tr> <tr> <td>安全設備の損傷</td> <td>事象緩和に必要な設備を使命時間の間作動させるのに必要な設備（燃料移送系設備等）が損傷した場合、重大な事象に至る可能性がある。</td> <td>地震PRAで考慮</td> </tr> <tr> <td>耐震重要度Sの非常用発電機用の蓄電池の過放電に伴う立ち上がり不能</td> <td>・蓄電池は定期的な点検（サンブル確認及び全数確認）により保守管理されており、地震以外の過放電であればランダム故障として考慮している。 ・また、加振試験により蓄電池の機能維持が確認されており、地震時の過放電の可能性は極めて低い。</td> <td>除外</td> </tr> </tbody> </table> <p>②本震によるが心損傷事故に直接的につながりうる事故シナリオ</p> <table border="1"> <thead> <tr> <th>事故シナリオ</th> <th>分析</th> <th>スクリーニング結果</th> </tr> </thead> <tbody> <tr> <td>耐震重要度Sクラス機器の損傷</td> <td>地震PRAでは設計基準地震動を超えるような顕著な地震を考慮するため、そのような地盤が発生した場合には耐震重要度Sクラスの機器が損傷し、重大な事象に至る可能性がある。</td> <td>地震PRAで考慮</td> </tr> <tr> <td>安全設備の使命時間内の機能維持に必要な設備の損傷</td> <td>・事象緩和に必要な設備を使命時間の間作動させるのに必要な設備（燃料油系設備等）が損傷した場合、重大な事象に至る可能性がある。</td> <td>地震PRAで考慮</td> </tr> <tr> <td>耐震重要度Sの非常用発電機用の蓄電池の過放電に伴う立ち上がり不能</td> <td>・蓄電池は定期的な点検（サンブル確認及び全数確認）により保守管理されており、地震以外の過放電であればランダム故障として考慮している。 ・また、加振試験により蓄電池の機能維持が確認されており、地震時の過放電の可能性は極めて低い。</td> <td>除外</td> </tr> </tbody> </table>	事故シナリオ	分析	スクリーニング結果	耐震重要度Sクラス機器の損傷	地震PRAでは設計基準地震動を超えるような顕著な地震を考慮するため、そのような地盤が発生した場合には耐震重要度Sクラスの機器が損傷し、重大な事象に至る可能性がある。	地震PRAで考慮	安全設備の損傷	事象緩和に必要な設備を使命時間の間作動させるのに必要な設備（燃料移送系設備等）が損傷した場合、重大な事象に至る可能性がある。	地震PRAで考慮	耐震重要度Sの非常用発電機用の蓄電池の過放電に伴う立ち上がり不能	・蓄電池は定期的な点検（サンブル確認及び全数確認）により保守管理されており、地震以外の過放電であればランダム故障として考慮している。 ・また、加振試験により蓄電池の機能維持が確認されており、地震時の過放電の可能性は極めて低い。	除外	事故シナリオ	分析	スクリーニング結果	耐震重要度Sクラス機器の損傷	地震PRAでは設計基準地震動を超えるような顕著な地震を考慮するため、そのような地盤が発生した場合には耐震重要度Sクラスの機器が損傷し、重大な事象に至る可能性がある。	地震PRAで考慮	安全設備の使命時間内の機能維持に必要な設備の損傷	・事象緩和に必要な設備を使命時間の間作動させるのに必要な設備（燃料油系設備等）が損傷した場合、重大な事象に至る可能性がある。	地震PRAで考慮	耐震重要度Sの非常用発電機用の蓄電池の過放電に伴う立ち上がり不能	・蓄電池は定期的な点検（サンブル確認及び全数確認）により保守管理されており、地震以外の過放電であればランダム故障として考慮している。 ・また、加振試験により蓄電池の機能維持が確認されており、地震時の過放電の可能性は極めて低い。	除外	<p>【大飯】</p> <ul style="list-style-type: none"> <li>■記載方針の相違                     <ul style="list-style-type: none"> <li>・女川の実績反映</li> <li>・本震により直接的に炉心損傷に至る事故シナリオのスクリーニングについて記載している</li> </ul> </li> </ul> <p>【女川】</p> <ul style="list-style-type: none"> <li>■記載表現の相違                     <ul style="list-style-type: none"> <li>・設備名称の相違はあるものの、スクリーニングの考え方には相違はない</li> </ul> </li> </ul>
事故シナリオ	分析	スクリーニング結果																								
耐震重要度Sクラス機器の損傷	地震PRAでは設計基準地震動を超えるような顕著な地震を考慮するため、そのような地盤が発生した場合には耐震重要度Sクラスの機器が損傷し、重大な事象に至る可能性がある。	地震PRAで考慮																								
安全設備の損傷	事象緩和に必要な設備を使命時間の間作動させるのに必要な設備（燃料移送系設備等）が損傷した場合、重大な事象に至る可能性がある。	地震PRAで考慮																								
耐震重要度Sの非常用発電機用の蓄電池の過放電に伴う立ち上がり不能	・蓄電池は定期的な点検（サンブル確認及び全数確認）により保守管理されており、地震以外の過放電であればランダム故障として考慮している。 ・また、加振試験により蓄電池の機能維持が確認されており、地震時の過放電の可能性は極めて低い。	除外																								
事故シナリオ	分析	スクリーニング結果																								
耐震重要度Sクラス機器の損傷	地震PRAでは設計基準地震動を超えるような顕著な地震を考慮するため、そのような地盤が発生した場合には耐震重要度Sクラスの機器が損傷し、重大な事象に至る可能性がある。	地震PRAで考慮																								
安全設備の使命時間内の機能維持に必要な設備の損傷	・事象緩和に必要な設備を使命時間の間作動させるのに必要な設備（燃料油系設備等）が損傷した場合、重大な事象に至る可能性がある。	地震PRAで考慮																								
耐震重要度Sの非常用発電機用の蓄電池の過放電に伴う立ち上がり不能	・蓄電池は定期的な点検（サンブル確認及び全数確認）により保守管理されており、地震以外の過放電であればランダム故障として考慮している。 ・また、加振試験により蓄電池の機能維持が確認されており、地震時の過放電の可能性は極めて低い。	除外																								

泊発電所3号炉 有効性評価 比較表

赤字：設備、運用又は体制の相違（設計方針の相違）  
青字：記載箇所又は記載内容の相違（記載方針の相違）  
緑字：記載表現、設備名称の相違（実質的な相違なし）

第37条 付録1 事故シーケンスグループ及び重要事故シーケンス等の選定について  
別添3. レベル1PRA 3.2 外部事象 3.2.1 地震PRA

事故シナリオ	第1.2.1.a-2表 地震による事故シナリオのスクリーニング(1/4)	スクリーニング結果	相違理由
地震による安全機能への間接的影響			
1. 安全機能SSC以外の屋内設備の損傷による影響			
天井クレーンの転倒・落下による原子炉格納容器への影響	<p>・格納容器が一軒のクレーンは Ss 地震動に対する地震動に対しても、落下装置を有する。</p> <p>・万一落下防止装置が破損しても、リングガーダーの内径はクレーン内径よりも小さいため物理的にもクレーンが落することはない。</p> <p>・仮に落下を想定しても、梁台等の構造物があることから直接原子炉容器に衝突することはない。</p>	工学的判断により除外	
耐震B、Cクラスの機器の損傷によるSクラス機器への影響	<p>・当該ファンの耐震設計において、Sクラスの機器は、B、Cクラスの機器の破損によって破壊的破損が生じないよう配置等の考慮を行っている。</p> <p>・ファンウォーターカウンタによりSクラス機器が波及的影響を受けないことを確認している。</p>	工学的判断により除外	
②本實験によるがるが心臓病事故に間接的に繋がりうる事故シナリオ			
事故シナリオ	第3.2.1.a-2表 地震による事故シナリオのスクリーニング(2/5)		
天井クレーンの転倒・落下による原子炉内圧力容器への影響	<p>・天井クレーンは、Ss 地震動に対して落下防止対策を有している。</p> <p>・また、通常時も原子炉内圧力容器、原子炉格納容器上になく、運転中に地震動により落下して、原子炉内圧力容器、原子炉格納容器が損傷することはない。</p> <p>・東北地方太平洋沖地震においても、天井クレーン走行部については、軸受が損傷していたものの、落下防止機能は満足しており、安全上重要な設備に波及的影響を与えていないことを確認している。</p>	スクリーニング結果 除外	
耐震重要度B、Cクラスの機器の損傷によるSクラス機器への影響	<p>・当該ファンの耐震設計において、耐震重要度Sクラス機器が波及的影響を受けないことを確認している。</p> <p>・ファンウォーターカウンタにより耐震重要度Sクラス機器が波及的影響を受けないことを確認している。</p>	除外	
主タービンの軸受などの損傷による原子炉建屋への影響	<p>・蒸気タービンは十分な離断防止が施されている。</p> <p>・また、タービンミサイルの発生率及び防護施設への到達確率により、タービンミサイルによる回転機械の損傷率はめて小さい。</p> <p>・仮にタービンミサイルが起つたとしても、それに備えうるだけの建屋壁強度を有しております。損傷が被及しないよう安全系の系統分離がされている。</p>	除外	
内閣連携設備への影響			
排気筒の軸倒による原子炉建屋又は周辺構造物への影響	<p>・2号炉排気筒は安全機能を有する建屋・構造物から十分離れており、排気筒の軸倒による原子炉建屋又は周辺構造物への影響はない。</p>	除外	
②本實験によるがるが心臓病事故に間接的につながりうる事故シナリオ			
事故シナリオ	第3.2.1.a-2表 地震による事故シナリオのスクリーニング(2/5)		
天井クレーンの転倒・落下による原子炉・構造物、機器以外の屋内・屋外設備の損傷（その1）			
耐震B、Cクラスの機器の損傷によるSクラス機器への影響	<p>・格納容器が一軒のクレーンは、Ss 地震動に対して落下防止装置を有している。</p> <p>・万一落下防止装置が破損しても、リングガーダーの内径はクレーン内径よりも小さいため物理的にもクレーンが落することはない。</p> <p>・仮に落下を想定しても、梁台等の構造物があることから直接原子炉容器に衝突することはない。</p>	スクリーニング結果 除外	
タービンミサイルによる原子炉建屋又は周辺構造物への影響	<p>・当該ファンの耐震設計において、耐震重要度Sクラスの機器は、耐震重要度B、Cクラスの機器の破損によって波及的破損が生じないよう配置等の考慮を行っている。</p> <p>・ファンウォーターカウンタにより耐震重要度Sクラス機器が波及的影響を受けないことを確認している。</p> <p>・タービンミサイルの影響は設置許可申請において評価・審査されており、万一、タービンの設計最大速度でミサイルとなった場合も格納容器を貫通しないことを確認している。</p> <p>・地震でタービン軸受けが損傷するような地盤動には「タービン軸受け大」によりタービントリップされ減速されるため、タービン翼が破損しても設計最大速度でミサイルとなることはない。</p> <p>・PWR の排気筒は格納容器に沿った、ステンレス製の筐体のダクト形状であり、万一根倒しても建屋等を損傷させることはない。</p>	除外	

泊発電所 3号炉 有効性評価 比較表

### 第37条 付録1 事故シーケンスグループ及び重要事故シーケンス等の選定について

### 別添 3. レベル1PRA 3.2 外部事象 3.2.1 地震 PRA

**赤字**: 設備、運用又は体制の相違（設計方針の相違）  
**青字**: 記載箇所又は記載内容の相違（記載方針の相違）  
**緑字**: 記載表現、設備名称の相違（実質的な相違なし）

第1.2.1.a-2表 地震による事故シナリオのスクリーニング(2/4)		女川原子力発電所2号炉	泊発電所3号炉	相違理由
事故シナリオ	分析	スクリーニング結果		
2. 安全機能 S SC 以外の屋外設備の損傷による間接的影響				
排気筒等の転倒による原子炉建屋	・PWRの排気筒は原子炉格納容器に沿った、ステンレス製の軽量のダクト形状であり、万一損傷して落下しても建屋等を損傷させることはない。	工学的判断により除外		
又は周辺構造物への影響				
斜面崩壊による原子炉建屋又は周辺構造物への影響	・原子炉施設周辺斜面の崩壊確率を評価し、影響を与える可能性のある建屋・機器等の損傷率と比べ、小さいことを確認している。	工学的判断により除外		
送電網の鉄塔等の影響	・地震PRAでは外部電源のフラジリティは、米国事例に基づく保守的な想定で考慮している。	地震PRAで考慮		
電源喪失への影響				
安全上重要な設備の冷却に使用可能な給水資源の停止に伴う冷却水枯渇の影響	・安全上重要な設備の冷却用水源（海水取水設備、原子炉補機冷却却水サージタンク、燃料取替用海水ヒット等）のフランジティについては地震PRAで考慮済みである。	地震PRAで考慮		
事故シナリオ				
②本震による炉心損傷事故に間接的に繋がりうる事故シナリオ				
－安全機能を有する建屋・構造物、機器以外の屋内・屋外設備の損傷（その2）				
事故シナリオ	分析	スクリーニング結果		
斜面崩壊による原子炉建屋又は周辺構造物への影響	安全機能を有する建屋・構造物の周辺に斜面はない。	除外		
送電網の鉄塔などの損傷に伴う外部電源喪失への影響	本評価では、外部電源設備の中でも比較的地盤耐力の小さい原子炉を、実力よりもフランジティを保守的に設定することにより、他の外部電源設備の損傷を代表させて評価している。このため、鋼管などの損傷に伴う外部電源喪失への影響は、原子炉の損傷に包絡して評価している。	地震PRAで考慮		
安全上重要な設備の冷却に使用可能な工業用水などの原水供給停止に伴う冷却水枯渇の影響	安全上重要な設備の冷却は、海水を最終ヒートシンクとする耐震設計された冷却設備で構成されており、原水供給には期待していない。	除外		
海水ポンプ室、配管トレーンチダクトなどの損傷による最終ヒートシンク喪失への影響	海水ポンプ室、配管トレーンチダクトの地盤耐力は、RSW配管、RSWポンプ等の海水ヒートシンクに対する耐震設計された冷却設備と比較して強く、直接の最終ヒートシンク喪失要因にならない。	除外		
事故シナリオ	追面	スクリーニング結果		
斜面崩壊による原子炉建屋又は周辺構造物への影響	（基準地盤動による地盤力に対して周辺斜面の安定性について評価中であるため）	除外		
送電網の鉄塔等の損傷による外部電源喪失への影響	・地震PRAでは外部電源のフランジティは、米国事例に基づく保守的な地盤耐力で考慮している。 ・安全上重要な設備の冷却は、海水を最終ヒートシンクとする耐震設計され、安全上冷却設備の使用可能な工業用水等の原水供給停止に伴う冷却水枯渇の影響	地震PRAで考慮		
取水ヒットポンプ室、原子炉補機冷却却水水管ダクト等の相應による最終ヒートシンク喪失への影響	・取水ヒットポンプ室、原子炉補機冷却却水水管ダクトのうち、耐震評価がより厳しい原子炉補機冷却却水水管ダクトのフランジティを地震PRAで考慮済みである。	地震PRAで考慮		

泊発電所3号炉 有効性評価 比較表

赤字：設備、運用又は体制の相違（設計方針の相違）  
青字：記載箇所又は記載内容の相違（記載方針の相違）  
緑字：記載表現、設備名称の相違（実質的な相違なし）

第37条 付録1 事故シーケンスグループ及び重要事故シーケンス等の選定について

別添3. レベル1PRA 3.2 外部事象 3.2.1 地震PRA

大飯発電所3／4号炉	女川原子力発電所2号炉	泊発電所3号炉	相違理由	
<p>事故シナリオ 分析 スクリーニング結果</p> <p>3. 運転員操作の障害による震災の影響</p> <p>地震前 (設計、製作、組立、検査等) ・設計、製作、組立、検査等のミスは、設計、開発段階における品質管理、並びに工事計画認可申請等で確認されている。</p> <p>万一、これらのミスがあつたとしても、多重性を備えた設備のすべてに同様のミスを犯す可能性は小さく、また、地震PRAでは保守的に多量設備の相違の完全相違を想定している。</p> <p>地震時、地震後の人的過誤</p> <ul style="list-style-type: none"> <li>・地震による原子炉はトリップされ、プラントは長期停心冷却却モードに移行する。この安全停止のための運転員操作は地震取扱後であり運転員の操作は可能である。</li> <li>・地震により軽い損傷に至るような事象が発生したとしても、地震PRAで期待する運転員による緩和操作は中央制御室近傍で操作可能である。</li> </ul> <p>変圧器等の断子類の損傷によるサイド電源の停電に伴うバッファップ操作の支援</p> <ul style="list-style-type: none"> <li>・非常用母線及び常用母線からの給電ができない場合のバックアップ操作 (ディーゼル発電機の起動等) は、事故時操作手順にしたがい、中央制御室近傍で操作可能である。</li> <li>・地震後のための運転員操作は、中央制御室近傍で操作可能であり、構内通行支障による影響はない。</li> <li>・プラントウォータクダウソにより、アクセスルートを塞いでしまう設備がないことを確認している。</li> </ul>	<p>事故シナリオ 分析 スクリーニング結果</p> <p>3.2.1.a-2 表 地震による事故シナリオのスクリーニング(3/4)</p> <p>②本震による軽心損傷事故に間接的に繋がりうる事故シナリオ</p> <p>－地震時特有的現象による運転操作の障害及び地震時の安全機能への人的過誤の影響</p> <p>地震発生前の現象による運転操作の障害及び地震時の安全機能への人的過誤の影響</p> <p>事故シナリオ</p> <p>地震発生前 (施設の計画、設計、材料・原原子炉施設の安全性、信頼性及び点検保守上の要求を満足するため、設計・除外)</p> <p>地震発生前 (製作、組立、完成検査) のミス</p> <p>・また、万が一、これらのミスがあつたとしても、多重性を備えた設備の全てに同様のミスが発生する可能性は小さいと考えられる。</p> <p>地震中、地震後の操作員、構内勤務者、周辺関係者 (送電関係など) のミスオペレーション</p> <p>・地震後の混亂に伴う高ストレス状態は、操作員の操作の阻害要因となるため、人的過誤を考慮している。</p> <p>変圧器などの断子類の損傷によるサイド電源の停電に伴うバッファップ操作の支援</p> <p>・ただし、操作員以外の人員による操作は必要ないため停電の影響はない。</p> <p>地震液状化、よう望損傷による構内通行支障</p> <p>・安全上重要な設備は中央制御室より操作できるため問題にならないと考えられる。</p> <p>二次部材損傷による操作員等従業員への影響</p> <p>・施設内の損傷物や地盤動による飛来物が操作員等を傷付け、操作を妨げる可能性があるが、中央制御室付近において、運転員操作を著しく妨げるような物体は基本的にはない。</p>	<p>事故シナリオ 分析 スクリーニング結果</p> <p>3.2.1.a-2 表 地震による事故シナリオのスクリーニング (4/5)</p> <p>②本震による軽心損傷事故に間接的に繋がりうる事故シナリオ</p> <p>－地震時特有的現象による運転操作の障害及び地震時の安全機能への人的過誤の影響</p> <p>事故シナリオ</p> <p>地震発生前 (施設の計画、設計、材料・原原子炉施設の安全性、信頼性及び点検保守上の要求を満足するため、設計・除外)</p> <p>・原子炉施設の安全性、信頼性及び点検保守上の要求を満足するため、設計・施工段階における品質保証活動で適正に管理されている。</p> <p>地震中、地震後の操作員、構内勤務者、周辺関係者 (送電関係など) のミスオペレーション</p> <p>・地震中の混亂に伴う高ストレス状態は、操作員の操作の阻害要因となるため、人的過誤を考慮している。</p> <p>変圧器などの断子類の損傷によるサイド電源の停電に伴うバッファップ操作の支援</p> <p>・地震での復旧操作には期待していないため停電の影響はない。</p> <p>地震液状化、よう望損傷による構内通行支障</p> <p>・安全上重要な設備は中央制御室より操作できるため問題にならないと考えられる。</p> <p>二次部材損傷による操作員等従業員への影響</p> <p>・施設内の損傷物や地盤動による飛来物が操作員等を傷付け、操作を妨げる可能性があるが、中央制御室付近において、運転員操作を著しく妨げるような物体は基本的にはない。</p>	<p>事故シナリオ 分析 スクリーニング結果</p> <p>3.2.1.a-2 表 地震による事故シナリオのスクリーニング (4/5)</p> <p>②本震による軽心損傷事故に間接的に繋がりうる事故シナリオ</p> <p>－地震時特有的現象による運転操作の障害及び地震時の安全機能への人的過誤の影響</p> <p>事故シナリオ</p> <p>地震発生前 (施設の計画、設計、材料・原原子炉施設の安全性、信頼性及び点検保守上の要求を満足するため、設計・除外)</p> <p>・原子炉施設の安全性、信頼性及び点検保守上の要求を満足するため、設計・施工段階における品質保証活動で適正に管理されている。</p> <p>地震中、地震後の操作員、構内勤務者、周辺関係者 (送電関係など) のミスオペレーション</p> <p>・また、万が一、これらのミスがあつたとしても、多重性を備えた設備のすべてに同様のミスが発生する可能性は小さいと考えられる。</p> <p>変圧器などの断子類の損傷によるサイド電源の停電に伴うバッファップ操作の支援</p> <p>・地震による原子炉はトリップされ、プラントは長期停心冷却却モードに移行する。この安全停止のための運転員操作は地震取扱後であり、運転員の操作は可能である。</p> <p>地震液状化、よう望損傷による構内通行支障</p> <p>・地震での復旧操作には期待していないため停電の影響はない。</p> <p>二次部材損傷による操作員等従業員への影響</p> <p>・中央制御室への影響も、非常用母線による飛来物が傷付けられ、操作を妨げる可能性があるが、中央制御室付近において、運転員操作を著しく妨げるような物体は基本的にはなく、プラントウォータクダウソにより、アクセスルートを塞いでしまう設備がないことを確認している。</p>	<p>【大飯】</p> <ul style="list-style-type: none"> <li>■記載表現の相違</li> <li>・女川に記載統一</li> </ul> <p>【女川】</p> <ul style="list-style-type: none"> <li>■記載表現の相違</li> <li>・設備名称の相違はあるものの、スクリーニングの考え方には相違はない</li> </ul> <p>【女川】</p> <ul style="list-style-type: none"> <li>■評価方針の相違</li> <li>・泊はプラントウォータクダウソにより地震時の操作性に影響がないことを確認した上で、中央制御室からのディーゼル発電機の起動のバックアップ操作を考慮している</li> </ul>

## 泊発電所3号炉 有効性評価 比較表

赤字：設備、運用又は体制の相違（設計方針の相違）  
 青字：記載箇所又は記載内容の相違（記載方針の相違）  
 緑字：記載表現、設備名称の相違（実質的な相違なし）

第37条 付録1 事故シーケンスグループ及び重要事故シーケンス等の選定について  
 別添3 レベル1PRA 3.2 外部事象 3.2.1 地震PRA

事故シナリオ その他の事故シナリオ	分析	スクリーニング結果	
4. 余震による地震動の安全機能への影響 本震直後の余震による炉心損傷への影響	<ul style="list-style-type: none"> <li>確率論的地震ハザード評価では余震を除外し、本震で発生頻度が評価されている。また、本震を上回るような余震の可能性は低い。</li> <li>本震後は原子炉はトリップされ、事故操作所則にしたがい、安全停止に移行するため、余震が発生したとしても影響はない。</li> <li>地震P.S.A.学会標準では余震の評価手法が例示されているが、系統的な評価手法は確立されておらず、今後の課題とする。</li> </ul>	余震による影響は今後の課題であるが、影響が大きいのは本震である。	
5. 経年変化を考慮した場合の影響 経年変化を考慮した場合の炉心損傷への影響	・防保全やPLM評価で設計想定以上の劣化が予測された場合は補修や交換がなされる。	工学的判断により除外	
第1.2.1.a-2表 地震による事故シナリオのスクリーニング(4/4)			
事故シナリオ 余震による炉心損傷への影響	分析	スクリーニング結果	
③余震に係る事故シナリオ 事故シナリオ 余震による炉心損傷への影響	本震と比較して、余震のハザード又は建屋・構築物及び機器・配管系の損傷に対する影響が無視できない場合、本震と余震の地震動を連続して受けた場合の事故シナリオを分析して炉心損傷度を評価する必要がある。 しかし、これらの評価技術は研究段階にあり、評価方法の詳細及び評価例などに関する情報が非常に少ないが、余震による炉心損傷への影響評価方法を体系的に示すには至っていない。(別紙3.2.1.a-3)	除外 (今後の課題)	
①経年変化に係る事故シナリオ 事故シナリオ 経年変化事象を考慮した場合の炉心損傷への影響	分析	スクリーニング結果 除外	
第3.2.1.a-2表 地震による事故シナリオのスクリーニング (5/5)			
③余震に係る事故シナリオ 事故シナリオ 本震直後の余震による炉心損傷への影響	分析	スクリーニング結果 除外 (今後の課題)	
④経年変化に係る事故シナリオ 事故シナリオ 経年変化事象を考慮した場合の炉心損傷への影響	分析	スクリーニング結果 除外	
第3.2.1.a-2表 地震による事故シナリオのスクリーニング (5/5)			
事故シナリオ 本震直後の余震による炉心損傷への影響	<ul style="list-style-type: none"> <li>本震と比較して、余震のハザード又は建屋・構築物及び機器・配管系の損傷に対する影響が無視できない場合、本震と余震の地震動を連続して受けた場合の事故シナリオを分析して炉心損傷度を評価する必要がある。</li> <li>しかし、これらの評価技術は研究段階にあり、評価方法の詳細及び評価例などを開発する階段が非常に少ないので、余震による炉心損傷への影響評価方法を体系的に示すには至っていない。(別紙3.2.1.a-4)</li> <li>確率論的地震ハザード評価では余震を除外し、本震で発生頻度が評価されている。また、本震を上回るような余震の可能性は低い。</li> <li>本震後は原子炉はトリップされ、過剰要剝離(緊急遮断)に従い安全停止に移行するため、余震が発生したとしても影響はない。</li> </ul>	スクリーニング結果 除外 (今後の課題)	
事故シナリオ 経年変化事象を考慮した場合の炉心損傷への影響	分析	スクリーニング結果 除外	
第3.2.1.a-2表 地震による事故シナリオのスクリーニング (5/5)			
事故シナリオ 経年変化事象を考慮した場合の炉心損傷への影響	分析	スクリーニング結果 除外	
【大飯】			
■記載方針の相違			
・女川実績の反映			
・余震がフランジティ評価に与える影響について記載している			
【女川】			
■記載方針の相違			
・地震ハザードにおける余震の扱い、余震発生時の状況、地震PRA学会標準と評価手法の現状について記載している(大飯参照)			
【女川】			
■記載表現の相違			

泊発電所3号炉 有効性評価 比較表

第37条 付録1 事故シーケンスグループ及び重要事故シーケンス等の選定について  
別添3. レベル1PRA 3.2 外部事象 3.2.1 地震PRA

赤字：設備、運用又は体制の相違（設計方針の相違）  
青字：記載箇所又は記載内容の相違（記載方針の相違）  
緑字：記載表現、設備名称の相違（実質的な相違なし）

区分	起因事象グループ	地震PRAにおける検討結果	評価対象 ○：対象外 ×：対象外	泊発電所3号炉	相違理由
大飯発電所3／4号炉		女川原子力発電所2号炉		泊発電所3号炉	
第3.2.1-a-3表 地震により発生する起因事象の検討結果(1/3)		第3.2.1-a-3表 地震により発生する起因事象の検討結果(1/2)		第3.2.1-a-3表 地震により発生する起因事象の検討結果(2/2)	
内部事象 PRA でグループ化 した起因事象	過渡事象	地震により本事象の発生は考えられるが、同時に発生し、より広範囲に影響する 外部電源喪失に包絡される。	(○)	評価対象 ○：対象外 ×：対象外	<p>【大飯】</p> <ul style="list-style-type: none"> <li>■記載方針の相違</li> <li>・女川の実績反映</li> <li>・内部事象 PRA で選定した起因事象の地震 PRA における扱い及び地震 PRA 特有の起因事象の説明を記載している</li> </ul> <p>【女川】</p> <ul style="list-style-type: none"> <li>■炉型の相違</li> <li>・炉型が異なるため、抽出される起因事象が異なる。ただし、女川、泊ともに地震時特有の要因による分析を踏まえて起因事象を抽出している。なお、泊は先行のPWRと同様の起因事象となっている。</li> </ul>
	外部電源喪失	同上	(○)		
	全給水喪失	同上	(○)		
	水位低下事象	同上	(○)		
	RPS誤動作等	同上	(○)		
	外部電源喪失	地震による外部電源設備の損傷により外部電源喪失が発生する。	(○)		
	S/R弁開閉放	地震による外部電源喪失発生後の S/R 弁再開鎖失敗の事故シナリオに包絡される。	(○)		
	小破壊 LOCA	地震により本事象の発生は考えられるが、同時に発生し、より事象進展の厳しい ECCS 容量を超える LOCA (E-LOCA) に包絡される。	(○)		
	中破壊 LOCA	同上	(○)		
	大破壊 LOCA	同上	(○)		
※(○)は評価対象とした起因事象に包絡されることを示す。		※(○)は評価対象とした起因事象に包絡されることを示す。		※(○)は評価対象とした起因事象に包絡されることを示す。	

## 泊発電所3号炉 有効性評価 比較表

赤字：設備、運用又は体制の相違（設計方針の相違）  
 青字：記載箇所又は記載内容の相違（記載方針の相違）  
 緑字：記載表現、設備名称の相違（実質的な相違なし）

第37条 付録1 事故シーケンスグループ及び重要事故シーケンス等の選定について  
 別添3. レベル1PRA 3.2 外部事象 3.2.1 地震PRA

大飯発電所3／4号炉	女川原子力発電所2号炉	泊発電所3号炉	相違理由																								
	<table border="1"> <caption>第3.2.1-a-3表 地震により発生する起因事象の検討結果 (2/3)</caption> <thead> <tr> <th>区分</th><th>起因事象グループ</th><th>地震 PRAにおける検討結果</th><th>評価対象</th></tr> </thead> <tbody> <tr> <td rowspan="6">内部事象 PRA でグループ化した起因事象</td><td>交流電源故障・原子炉補機冷却系故障</td><td>内部事象 PRA で評価する。片系統機能喪失時の手動停止を起因とする事象は考慮していない。</td><td>○：対象 ×：対象外</td></tr> <tr> <td>直流電源故障</td><td>同上</td><td>×</td></tr> <tr> <td>タービン・サポート系故障</td><td>地震により本事象の発生は考えられるが、同時に発生するより広範囲に影響する外部電源喪失に包絡される。</td><td>×</td></tr> <tr> <td>通常停止</td><td>地震発生時に本事象が発生する可能性はない。</td><td>(○)</td></tr> <tr> <td>地盤 PRA 特有の起因事象</td><td>原子炉建屋損傷 格納容器損傷 圧力容器損傷</td><td>地震による原子炉建屋、原子炉圧力容器又は原子炉格納容器の損傷に伴い、大規模な LOCA 及び広範囲の建屋設備の機能喪失が発生する。</td><td>○</td></tr> <tr> <td></td><td></td><td>※(○)は評価対象とした起因事象に包絡されることを示す。</td><td></td></tr> </tbody> </table>	区分	起因事象グループ	地震 PRAにおける検討結果	評価対象	内部事象 PRA でグループ化した起因事象	交流電源故障・原子炉補機冷却系故障	内部事象 PRA で評価する。片系統機能喪失時の手動停止を起因とする事象は考慮していない。	○：対象 ×：対象外	直流電源故障	同上	×	タービン・サポート系故障	地震により本事象の発生は考えられるが、同時に発生するより広範囲に影響する外部電源喪失に包絡される。	×	通常停止	地震発生時に本事象が発生する可能性はない。	(○)	地盤 PRA 特有の起因事象	原子炉建屋損傷 格納容器損傷 圧力容器損傷	地震による原子炉建屋、原子炉圧力容器又は原子炉格納容器の損傷に伴い、大規模な LOCA 及び広範囲の建屋設備の機能喪失が発生する。	○			※(○)は評価対象とした起因事象に包絡されることを示す。		<p><b>【大飯】</b></p> <ul style="list-style-type: none"> <li>■記載方針の相違</li> <li>・女川の実績反映</li> <li>・内部事象 PRA で選定した起因事象の地震 PRA における扱い及び地震 PRA 特有の起因事象の説明を記載している</li> </ul> <p><b>【女川】</b></p> <ul style="list-style-type: none"> <li>■炉型の相違</li> <li>・炉型が異なるため、抽出される起因事象が異なる。ただし、女川、泊ともに地震時特有の要因による分析を踏まえて起因事象を抽出している。なお、泊は先行の PWR と同様の起因事象となっている。</li> </ul>
区分	起因事象グループ	地震 PRAにおける検討結果	評価対象																								
内部事象 PRA でグループ化した起因事象	交流電源故障・原子炉補機冷却系故障	内部事象 PRA で評価する。片系統機能喪失時の手動停止を起因とする事象は考慮していない。	○：対象 ×：対象外																								
	直流電源故障	同上	×																								
	タービン・サポート系故障	地震により本事象の発生は考えられるが、同時に発生するより広範囲に影響する外部電源喪失に包絡される。	×																								
	通常停止	地震発生時に本事象が発生する可能性はない。	(○)																								
	地盤 PRA 特有の起因事象	原子炉建屋損傷 格納容器損傷 圧力容器損傷	地震による原子炉建屋、原子炉圧力容器又は原子炉格納容器の損傷に伴い、大規模な LOCA 及び広範囲の建屋設備の機能喪失が発生する。	○																							
			※(○)は評価対象とした起因事象に包絡されることを示す。																								

## 泊発電所3号炉 有効性評価 比較表

赤字：設備、運用又は体制の相違（設計方針の相違）  
 青字：記載箇所又は記載内容の相違（記載方針の相違）  
 緑字：記載表現、設備名称の相違（実質的な相違なし）

第37条 付録1 事故シーケンスグループ及び重要事故シーケンス等の選定について  
 別添3. レベル1PRA 3.2 外部事象 3.2.1 地震PRA

大飯発電所3／4号炉	女川原子力発電所2号炉	泊発電所3号炉	相違理由																						
	<table border="1"> <caption>第3.2.1.a-3表 地震により発生する起因事象の検討結果 (3/3)</caption> <thead> <tr> <th>区分</th><th>起因事象グループ</th><th>地震PRAにおける検討結果</th><th>評価対象</th></tr> </thead> <tbody> <tr> <td rowspan="8">地震PRA特有の起因事象</td><td>E-LOCA</td><td>地震による格納容器内配管の複数本破断が発生し、ECCS容量を超える冷却材喪失が発生する。</td><td>○：対象 ×：対象外</td></tr> <tr> <td>制御建屋損傷</td><td>地震による制御建屋の損傷に伴い、建屋内の直流水源及び中央制御盤が喪失する。</td><td>○</td></tr> <tr> <td>計測・制御系喪失</td><td>地震による計測機器及び中央制御盤が損傷し、計測・制御系が喪失する。</td><td>○</td></tr> <tr> <td>格納容器バイパス</td><td>地震により原子炉冷却材圧力バウンダリの隔壁弁及び格納容器外配管が損傷し、格納容器バイパスが発生する。</td><td>○</td></tr> <tr> <td>交流電源・原子炉補機冷却系喪失</td><td>地震起因又はランダム要因により交流電源又は原子炉補機冷却系が喪失する。ただし、同一系統内の冗長設備は完全相間を仮定した。</td><td>○</td></tr> <tr> <td>直流電源喪失</td><td>地震起因又はランダム要因により直流電源設備が機能喪失し、直流電源が喪失する。ただし、同一系統内の冗長設備は完全相間を仮定した。</td><td>○</td></tr> </tbody> </table>	区分	起因事象グループ	地震PRAにおける検討結果	評価対象	地震PRA特有の起因事象	E-LOCA	地震による格納容器内配管の複数本破断が発生し、ECCS容量を超える冷却材喪失が発生する。	○：対象 ×：対象外	制御建屋損傷	地震による制御建屋の損傷に伴い、建屋内の直流水源及び中央制御盤が喪失する。	○	計測・制御系喪失	地震による計測機器及び中央制御盤が損傷し、計測・制御系が喪失する。	○	格納容器バイパス	地震により原子炉冷却材圧力バウンダリの隔壁弁及び格納容器外配管が損傷し、格納容器バイパスが発生する。	○	交流電源・原子炉補機冷却系喪失	地震起因又はランダム要因により交流電源又は原子炉補機冷却系が喪失する。ただし、同一系統内の冗長設備は完全相間を仮定した。	○	直流電源喪失	地震起因又はランダム要因により直流電源設備が機能喪失し、直流電源が喪失する。ただし、同一系統内の冗長設備は完全相間を仮定した。	○	<p><b>【女川】</b></p> <p>■炉型の相違</p> <ul style="list-style-type: none"> <li>・炉型が異なるため、抽出される起因事象が異なる。ただし、女川、泊ともに地震時特有的要因による分析を踏まえて起因事象を抽出している。なお、泊は先行のPWRと同様の起因事象となっている。</li> </ul>
区分	起因事象グループ	地震PRAにおける検討結果	評価対象																						
地震PRA特有の起因事象	E-LOCA	地震による格納容器内配管の複数本破断が発生し、ECCS容量を超える冷却材喪失が発生する。	○：対象 ×：対象外																						
	制御建屋損傷	地震による制御建屋の損傷に伴い、建屋内の直流水源及び中央制御盤が喪失する。	○																						
	計測・制御系喪失	地震による計測機器及び中央制御盤が損傷し、計測・制御系が喪失する。	○																						
	格納容器バイパス	地震により原子炉冷却材圧力バウンダリの隔壁弁及び格納容器外配管が損傷し、格納容器バイパスが発生する。	○																						
	交流電源・原子炉補機冷却系喪失	地震起因又はランダム要因により交流電源又は原子炉補機冷却系が喪失する。ただし、同一系統内の冗長設備は完全相間を仮定した。	○																						
	直流電源喪失	地震起因又はランダム要因により直流電源設備が機能喪失し、直流電源が喪失する。ただし、同一系統内の冗長設備は完全相間を仮定した。	○																						

## 泊発電所3号炉 有効性評価 比較表

赤字：設備、運用又は体制の相違（設計方針の相違）  
 青字：記載箇所又は記載内容の相違（記載方針の相違）  
 緑字：記載表現、設備名称の相違（実質的な相違なし）

第37条 付録1 事故シーケンスグループ及び重要事故シーケンス等の選定について

別添3. レベル1PRA 3.2 外部事象 3.2.1 地震PRA

第1.2.1-a-3表 建屋・機器選定のステップ(1/2)

ステップ	内容 (内部事象出力時レベル1 PRA)		
	機器	建屋	屋外重要土木構築物
1-1	・ランダム事象をきっかけとして炉心損傷に至る起因事象を選定。	—	—
1-2	・各起因事象について、事象の影響緩和に必要な機能を抽出し、イベンツリーチを作成して、収束シナリオを特定。	—	—
1-3	・系統図等を基に炉心損傷頻度を評価する上で有意な影響が考えられない機器を除外。 【考え方】：炉心損傷頻度を評価する上で有意な影響がないこと 【対象】：小口径技管の配管、弁等	—	—
1-4	・フォールトツリーを作成して関連する設備を抽出し、機器リストを作成	—	—

大飯発電所3／4号炉

女川原子力発電所2号炉

泊発電所3号炉

相違理由

第3.2.1-a-1表 建屋・機器選定のステップ (1/2)

ステップ	内容 (内部事象出力時レベル1 PRA)		
	機器	建屋	屋外重要土木構築物
1-1	・ランダム故障をきっかけとして炉心損傷に至る起因事象を選定。	—	—
1-2	・各起因事象について、事象の影響緩和に必要な機能を抽出し、イベンツリーチを作成して、収束シナリオを特定。	—	—
1-3	・系統図等を基に炉心損傷頻度を評価する上で有意な影響が考えられない機器を除外。 【考え方】：炉心損傷頻度を評価する上で有意な影響がないこと 【対象】：小口径技管の配管、弁等	—	—
1-4	・フォールトツリーを作成して関連する設備を抽出し、機器リストを作成。	—	—

【女川】

- 記載方針の相違
- ・記載充実のため、泊はフライテイティの評価対象の選定ステップを記載しており、女川に記載がないため大飯と比較する

泊発電所3号炉 有効性評価 比較表

赤字：設備、運用又は体制の相違（設計方針の相違）  
 青字：記載箇所又は記載内容の相違（記載方針の相違）  
 緑字：記載表現、設備名称の相違（実質的な相違なし）

第37条 付録1 事故シーケンスグループ及び重要事故シーケンス等の選定について

別添3. レベル1PRA 3.2 外部事象 3.2.1 地震PRA

大飯発電所3／4号炉				女川原子力発電所2号炉	泊発電所3号炉	相違理由
		内部事象出力時レベル1 PRAの結果に以下の追加を検討 ・地震で損傷した際に起因事象を発生させる機器／建屋／土木構築物	内部事象出力時レベル1 PRAの結果に以下の追加を検討 ・地震で損傷した際に起因事象を発生させる機器／建屋／土木構築物	内部事象出力時レベル1 PRAの結果に以下の追加を検討 ・地震で損傷した際に起因事象を発生させる機器／建屋／土木構築物	内部事象出力時レベル1 PRAの結果に以下の追加を検討 ・地震で損傷した際に起因事象を発生させる機器／建屋／土木構築物	内部事象出力時レベル1 PRAの結果に以下の追加を検討 ・地震で損傷した際に起因事象を発生させる機器／建屋／土木構築物
2-1		【考え方】：①地震による安全上重要な建物、構造物、配管等の大形動的機器の損傷に伴い、緩和設備によって事象の進展を抑制できず、がんばり屋に至る機器／建屋／土木構築物を追加 ②地盤動による安全機能への直面的な影響を及ぼす計画・制御系、非常用系を追加	【対象】：①原子炉容器、炉内構造物、燃料／対象：②原子炉建屋、制御建屋等を追加 ③電気盤（メタルクラッドストックチギア、④追加なし	【対象】：①原子炉容器、炉内構造物、燃料／対象：②原子炉建屋、制御建屋等を追加 ③電気盤（メタルクラッドストックチギア、④追加なし	【対象】：①海水取水ライン構造物を追加 ②追加なし	【対象】：①海水取水ライン構造物を追加 ②追加なし
2-2		【考え方】：タービンハイバス等を削除 【対象】：削除なし	【考え方】：タービンハイバス等を削除 【対象】：削除なし	【考え方】：削除なし	【対象】：削除なし	【大飯】 ■記載表現の相違 ・設備名称の相違はあるものの、選定の考え方にはない
2-3		【考え方】：地盤P.S.A.学会標準及び過去に実施した当社のプラントウォークダウン実績を基に、重要事故シーケンス選定に当たって確認が必要な機器を抽出し、以下の観点から影響機器の有無を確認 ・倒壊により被害を受けないか ・周辺機器の損傷時、周辺機器の保有水による影響はないか、等 【対象】：追加なし	【対象】：追加なし	【対象】：追加なし	【対象】：追加なし	【女川】 ■記載方針の相違 ・記載充実のため、泊はフジリティの評価対象の選定ステップを記載しており、女川に記載がないため大飯と比較する

第1.2.1.a-3表 建屋・機器選定のステップ(2/2)

ステップ	機 器	内 容 (地震PRA)
2-1	内部事象出力時レベル1 PRAの結果に以下の追加を検討 ・地震で損傷した際に起因事象を発生させる機器／建屋／土木構築物	【考え方】：①原子炉容器、炉内構造物、燃料／対象：②原子炉建屋、制御建屋等を追加 ③電気盤（メタルクラッドストックチギア、④追加なし
2-2	【考え方】：タービンハイバス等を削除 【対象】：削除なし	【考え方】：タービンハイバス等を削除 【対象】：削除なし
2-3	【考え方】：地盤P.S.A.学会標準及び過去に実施した当社のプラントウォークダウン実績を基に、重要事故シーケンス選定に当たって確認が必要な機器を抽出し、以下の観点から影響機器の有無を確認 ・倒壊により被害を受けないか ・周辺機器の損傷時、周辺機器の保有水による影響はないか、等 【対象】：追加なし	【対象】：追加なし

第3.2.1-a-1表 建屋・機器選定のステップ(2/2)

ステップ	機 器	内 容 (地震PRA)
2-1	内部事象出力時レベル1 PRAの結果に以下の追加を検討 ・地震で損傷した際に起因事象を発生させる機器／建屋／屋外重要土木構築物 【考え方】：①地盤動による安全上重要な機器、構造物、配管等の大形動的機器の損傷に伴い、緩和設備によって事象の進展を抑制できず、がんばり屋に至る機器／建屋／屋外重要土木構築物を追加	【対象】：①原子炉容器、炉内構造物、②電気盤（メタルクラッドストックチギア、③ソーラー）等を追加 【対象】：①原子炉建屋、原子炉補助建屋等を追加 ②追加なし
2-2	内部事象出力時レベル1 PRAの結果に以下の追加を検討 【考え方】：タービンハイバス等を削除 【対象】：削除なし	【対象】：削除なし
2-3	【考え方】：地盤P.S.A.学会標準及び過去に実施した当社のプラントウォークダウン実績を基に、重要事故シーケンス選定に当たって確認が必要な機器を抽出し、以下の観点から影響機器の有無を確認 ・倒壊により被害を受けないか ・周辺機器の損傷時、周辺機器の保有水による影響はないか、等 【対象】：追加なし	【対象】：追加なし

泊発電所 3号炉 有効性評価 比較表

第37条 付録1 事故シーケンスグループ及び重要事故シーケンス等の選定について  
別添 3. レベル1PRA 3.2 外部事象 3.2.1 地震PRA

**赤字**: 設備、運用又は体制の相違（設計方針の相違）  
**青字**: 記載箇所又は記載内容の相違（記載方針の相違）  
**緑字**: 記載表現、設備名称の相違（実質的な相違なし）

第1.2.1.a-4 表 建屋・機器リストとフランジリティデータ (1/20)

第3.2.1-3-1表 地震PRA評価対象建築・機器リスト(1/10)

第3.2.1.a-5表 地震PRR評価対象建屋・機器リスト (1/32)

第3.2.1.a-5表 地震PRA評価対象建物・機器リスト (1/32)					
起因事象/ 警報機和機能	機器名稱	相手カード	评估部位	中央値 (G)	
				$\beta_1$	$\text{ICFPP} (\bar{G})$
CV ベイバス	蒸気発生器内液構造物	建造損傷	伝熱管(面内)	2.55	0.92
原子炉建屋構造	原子炉建屋	建造損傷	-	0.31	0.31
Excess-LCCA	原子炉容器	建造損傷	-	0.33	1.08
Excess-LCCA	一次冷却材管	建造損傷	サポートシェル(①部)	0.15	0.15
Excess-LCCA	一次冷却材管	建造損傷	サポートレダ	1.77	1.77
Excess-LCCA	1 次冷却材ポンプ	建造損傷	アラックト(①部) (R0-L-C-2)	0.19	0.55
Excess-LCCA	冷却水導引装置	建造損傷	コンシットチューブ	2.63	0.19
Excess-LCCA	制御棒駆動装置	建造損傷	制御棒駆動装置耐震部	0.19	1.41
原子炉建屋容器構造	原子炉建屋容器	建造損傷	リンクガーダ下端部 (C点)	0.25	0.33
Excess-LCCA	蒸気発生器本体	建造損傷	冷却材入口管口	0.19	1.42
原子炉建屋構造	原子炉建屋	建造損傷	冷却材入口管口	0.19	0.19

泊発電所 3号炉

### 相違理由

- 【女川】【大飯】

  - 個別評価による相違
    - ・プラントにより地震PRAで考慮する建屋、屋外重要土木構造物及び機器が異なり、評価対象部位や参照する耐震評価結果も異なるため、フランジリティの評価結果も異なる

泊発電所 3号炉 有効性評価 比較表

第37条 付録1 事故シーケンスグループ及び重要事故シーケンス等の選定について  
別添3. レベル1PRA 3.2 外部事象 3.2.1 地震PRA

**赤字**: 設備、運用又は体制の相違（設計方針の相違）  
**青字**: 記載箇所又は記載内容の相違（記載方針の相違）  
**緑字**: 記載表現、設備名称の相違（実質的な相違なし）

第1.2.1.a-4表 建屋・機器リストとラジリティデータ (2/20)

第3.2.1.3-4表 地震PRA評価対象建屋・機器リスト(2/10)

第3.2.1.a-4 表 地震PRA評価対象建屋・機器リスト(2/16)						
起因物地／影響範囲地図	機器名	説明(内)内に代入評価機器を示す	機器名	説明(外)	中央災害警報(G3)	中央気象台(G3)
圧力容器機	空気室	(内)内に代入評価機器を示す	機器名	詳細説明	なし	なし
圧力容器機	圧力容器機(内)内に代入評価機器を示す	(内)内に代入評価機器を示す	機器名	(外)開口部	なし	なし
圧力容器機	圧力容器機(外)外に代入評価機器を示す	(外)外に代入評価機器を示す	機器名	構造崩壊	なし	なし
圧力容器機	圧力容器機(外)外に代入評価機器を示す	(外)外に代入評価機器を示す	機器名	構造崩壊	なし	なし
圧力容器機	圧力容器機(外)外に代入評価機器を示す	(外)外に代入評価機器を示す	機器名	構造崩壊	なし	なし
E-L0CA	機械室配管配管	(内)内に代入評価機器を示す	機器名	機械室配管	なし	なし
E-L0CA	機械室配管配管	(内)内に代入評価機器を示す	機器名	機械室配管	なし	なし
E-L0CA	機械室配管配管	(内)内に代入評価機器を示す	機器名	機械室配管	なし	なし
E-L0CA	日射／熱	(外)外に代入評価機器を示す	機器名	スラブチャーニング	なし	なし
E-L0CA	機械室	(外)外に代入評価機器を示す	機器名	スラブチャーニング	なし	なし
E-L0CA	主電気配管	(内)内に代入評価機器を示す	機器名	構造崩壊	なし	なし
機械室配管配管	屋上部材耐候性化	なし	機器名	機械室配管	なし	なし
機械室配管配管	雨水貯水槽	なし	機器名	雨水貯水槽	なし	なし
機械室配管配管	雨水貯水槽	なし	機器名	雨水貯水槽	なし	なし
機械室配管配管	雨水貯水槽	なし	機器名	雨水貯水槽	なし	なし

第3.2.1.a-5表 地震PRA評価対象建屋・機器リスト (2/32)

第3.2.1.a-5 表 地質・地形調査対象選定・機器リスト (2/32)						
記用事項/ 測量面和測地 基盤コード	機器名稱	操作モード	測量部位	中央値 (G.)	直3.144	
最終コードシングル電光	電動式	成像照相機	-	$\beta_1$ 2.79	HCFP (G.)	
最終コードシングル電光	電動式	照相机	-	0.27	1.16	
複数の信号系軸面	安全系脱钩前部監視録	照相机	-	0.26	-	
複数の信号系軸面	安全系脱钩前部監視録	照相机	-	3.06	1.37	
複数の信号系軸面	運転コンソール	照相机	-	0.22	-	
複数の信号系軸面	運転コンソール	照相机	-	0.27	-	
複数の信号系軸面	運転コンソール	照相机	-	0.19	10.38	
複数の信号系軸面	運転コンソール	照相机	-	0.21	-	
複数の信号系軸面	運転コンソール	照相机	-	0.51	-	
複数の信号系軸面	運転コンソール	照相机	-	0.11	1.37	
複数の信号系軸面	運転コンソール	照相机	-	0.23	-	
複数の信号系軸面	運転コンソール	照相机	-	1.76	-	
複数の信号系軸面	運転コンソール	照相机	-	0.69	1.07	
複数の信号系軸面	中央制御室外観子午線調整	照相机	-	0.23	-	
複数の信号系軸面	中央制御室外観子午線調整	照相机	-	11.59	-	
複数の信号系軸面	中央制御室外観子午線調整	照相机	-	0.11	6.37	
複数の信号系軸面	中央制御室外観子午線調整	照相机	-	0.23	-	
複数の信号系軸面	工字桁安全操作装置	照相机	-	62.74	-	
複数の信号系軸面	工字桁安全操作装置	照相机	-	0.69	42.07	
複数の信号系軸面	工字桁安全操作装置	照相机	-	0.17	-	
複数の信号系軸面	工字桁安全操作装置	照相机	-	3.06	1.37	
複数の信号系軸面	工字桁安全操作装置	照相机	-	0.22	-	
複数の信号系軸面	工字桁安全操作装置	照相机	-	0.27	-	
複数の信号系軸面	工字桁安全操作装置	照相机	-	20.21	-	
複数の信号系軸面	工字桁安全操作装置	照相机	-	0.19	10.38	

泊発電所3号炉

### 相違理由

- 【女川】【大飯】

  - 個別評価による相違  
・プラントにより地震PRAで考慮する建屋、屋外重要土本構造物及び機器が異なり、評価対象部位や参照する耐震評価結果も異なるため、フレジリティの評価結果も異なる

泊発電所 3号炉 有効性評価 比較表

### 第37条 付録1 事故シーケンスグループ及び重要事故シーケンス等の選定について

### 別添 3. レベル1PRA 3.2 外部事象 3.2.1 地震PRA

**赤字**: 設備、運用又は体制の相違（設計方針の相違）  
**青字**: 記載箇所又は記載内容の相違（記載方針の相違）  
**緑字**: 記載表現、設備名称の相違（実質的な相違なし）

大飯発電所3／4号炉

女川原子力発電所2号炉

泊発電所 3号炉

第3.2.1.4-5 地震TBA評価対象部位・機器リスト(3.32)					
起因事象／影響範囲と機能	機器名	機器名	損傷モード	評価部位	指針号
被災の信号系損傷	原子炉安全保護盤	機能組合	-	-	HCLPF (5) $\beta_{\text{e}}$ $\beta_{\text{u}}$
被災の信号系損傷	1次系統隔離弁による2次系 隔離機能喪失	内構造物 炉心支持構造物	構造組合	基礎ボルト	0.19 0.21 10.58
被災の信号系損傷	1次系統隔離弁による2次系 隔離機能喪失	炉心支持構造物	構造組合	新燃料クラスター室内管 下部炉心支持板 【新油のP&I】	0.25 0.27 1.62 0.25 0.31 2.42
被災の信号系損傷	ケーブルトレイ	構造組合	-	-	0.19 0.31 1.07
被災の信号系損傷	ソレノイド分電盤	機能組合	-	-	3.01 0.14 0.23 4.82
被災の信号系損傷	共通起用監視計測操作盤	構造組合	基礎ボルト	-	0.09 0.17 8.43 0.14 0.23 8.71 0.09
被災の信号系損傷	被災の信号系損傷	機能組合	-	-	4.63

相違理由

- 個別評価による相違  
・プラントにより地震PRAで考慮する建屋、屋外重要土本構造物及び機器が異なり、評価対象部位や参照する耐震評価結果も異なるため、フランジリティの評価結果も異なる

泊発電所 3号炉 有効性評価 比較表

第37条 付録1 事故シケンスグループ及び重要事故シケンス等の選定について  
別添3. レベル1PRA 3.2 外部事象 3.2.1 地震PRA

**赤字**: 設備、運用又は体制の相違（設計方針の相違）  
**青字**: 記載箇所又は記載内容の相違（記載方針の相違）  
**緑字**: 記載表現、設備名称の相違（実質的な相違なし）

第1.2.1.a'4 表 建屋・機器リストとフラジリティデータ (4/20)

**特用のみの範用**は機密に係る事項で十分で公開することはできません。

第3.2.1.a-4 表 地震PRA評価対象建屋・機器リスト (4/10)

卷之三

泊発電所 3号炉

### 相違理由

【女川】【大鮓】

- 個別評価による相違
    - ・プラントにより地震PRAで考慮する建屋、屋外重要土木構造物及び機器が異なり、評価対象部位や参照する耐震評価結果も異なるため、フレジリティの評価結果も異なる

泊発電所 3号炉 有効性評価 比較表

### 第37条 付録1 事故シーケンスグループ及び重要事故シーケンス等の選定について

### 別添 3. レベル1PRA 3.2 外部事象 3.2.1 地震PRA

**赤字**: 設備、運用又は体制の相違（設計方針の相違）  
**青字**: 記載箇所又は記載内容の相違（記載方針の相違）  
**緑字**: 記載表現、設備名称の相違（実質的な相違なし）

大飯発電所3／4号炉

第3.2.1-a-4 表 地震 PRA 評価対象建屋・機器リスト (5/10)

第3.2.1-a-4 表 地図 PRA 評価対象建造・機器リスト (5/10)						
起立事象/影響範囲		機器名		評価指標		
	(内)内は代表評価機器を示す)	機器モード	機器モード	中電率(%)	H/F	H/F率(%)
交流電源遮断失	原子炉制御冷却系熱交換器	構造損傷	構造損傷	3.5%	1.50	1.50
交流電源遮断失	原子炉制御冷却系水ポンプ・タブ	構造損傷	構造損傷	1.1	1.43	1.43
交流電源遮断失	原子炉制御冷却系ポンプ・シップ	構造損傷	構造損傷	0.7	1.0	2.05
交流電源遮断失	原子炉制御冷却系水ポン	構造損傷	構造損傷	0.6	0.7	1.35
交流電源遮断失	原子炉制御冷却系水ポン	構造損傷	構造損傷	0.24	0.30	1.34
交流電源遮断失	RCW ポンプ・冷却空調機	機能損傷	機能損傷	0.12	0.16	1.34
交流電源遮断失	RCW ポンプ・冷却空調機 A	機能損傷	機能損傷	0.1	0.16	1.66
交流電源遮断失	原子炉制御冷却系水ポンプ	構造損傷	コラム失調	0.0	0.0	1.30
交流電源遮断失	原子炉制御冷却系水ポンプレーナー	構造損傷	構造損傷	0.1	0.14	1.44
交流電源遮断失	原子炉制御冷却系水ポン	構造損傷	構造損傷	0.05	0.11	1.70
交流電源遮断失	原子炉制御冷却系水ポン	構造損傷	構造損傷	0.0	0.0	1.32
交流電源遮断失	原子炉制御冷却系水ポン	構造損傷	サボルト本体	0.13	0.10	1.48
交流電源遮断失	核管熱除却系空氣換器	構造損傷	構造損傷	0.02	0.09	1.46
交流電源遮断失	原子炉制御冷却系水ポン	構造損傷	—	0.0	0.0	1.32

第3章 地震観測・評価対象位置・機器リスト (5/32)

第3.2.1-5 共 地震 PVA 斜面対象壁面・機器リスト (5.32)					
配因事象/ 影響範囲機能	機器名稱	機器モード	評価部位	中央船 (G) $\beta_s$	RCI/P (G)
複数の信号系組合		船体組合	-	2.79	1.16
複数の信号系組合	過止計	構造組合	-	0.26	-
複数の信号系組合		構造組合	-	-	-
地震 AT+制御機操作入不能	燃料物質合体	船体組合	燃料補給口 油脂変化時 寿命初期	1.19	0.94
地震 AT+制御機操作入不能	制御機クラスター	船体組合	制御機組合 (令引抜き停止)	0.25 0.69 0.25	2.01 1.22 0.25
大統所 LOCA	一次冷却材管	船体組合	1tB 1次冷却材管加圧器 タージ管台	1.39	-
大統所 LOCA	加圧器	船体組合	上部支承構造物込込み物 蓋板ガルト Pk-1	0.25	0.89
大統所 LOCA	RIE 高温耐熱込込み管	船体組合	配管本体	0.35	0.89
大統所 LOCA	加圧器サージ管	船体組合	配管本体	0.31	0.86
大統所 LOCA	補助タンク注入配管 (C/L BH)	船体組合	配管本体	0.35	1.61
大統所 LOCA	底注水注入配管 (C/L BH)	船体組合	配管本体	0.31	1.61

泊発電所 3号炉

女川原子力発電所 2号炉

### 相違理由

- 【女川】【大飯】
  - 個別評価による相違
    - ・プラントにより地震 PRA を考慮する建屋、屋外重要土木構造物及び機器が異なり、評価対象部位や参照する耐震評価結果も異なるため、フランジティの評価結果も異なる

泊発電所 3号炉 有効性評価 比較表

### 第37条 付録1 事故シーケンスグループ及び重要事故シーケンス等の選定について

### 別添 3. レベル1PRA 3.2 外部事象 3.2.1 地震 PRA

**赤字**: 設備、運用又は体制の相違（設計方針の相違）  
**青字**: 記載箇所又は記載内容の相違（記載方針の相違）  
**緑字**: 記載表現、設備名称の相違（実質的な相違なし）

第1.2.1.a-4表 建屋・機器リストとラジリティデータ (6/20)

第3.2.1-a4表 地震PRA評価対象建屋・機器リスト (6/10)

図3.2.1. n-5 地震PRA評価対象建屋・機器リスト (6/32)

第3.2.1-5表 地震 PHA 所属対象地・機器リスト (6.32)					
老川事業 影響範囲地	機器名稱	相場二尺 構造直観	測角部		直3½引 半火輪(6) $\beta_1$ $\beta_2$
			水平注入管	垂直部	
中液断 LOCA	一次冷却材管	構造直観	68	安全注入管	0.25 0.25 0.25 0.25 0.25 0.25
中液断 LOCA	余熱除汔ポンプ高溫側注入配管	構造直観		配管本体	0.31 0.31 0.31 0.31 0.31 0.31
中液断 LOCA	SIS 高温注入ポンプ高溫側注入配管	構造直観		配管本体	0.31 0.31 0.31 0.31 0.31 0.31
中液断 LOCA	高圧注入蒸氣管 (C/L側)	構造直観		配管本体	0.35 0.35 0.35 0.35 0.35 0.35
中液断 LOCA	安てんライン配管 (L/L側)	構造直観		配管本体	0.31 0.31 0.31 0.31 0.31 0.31
中液断 LOCA	加熱器アライアン配管	構造直観		配管本体	0.31 0.31 0.31 0.31 0.31 0.31
中液断 LOCA	CVS 抽出配管	構造直観		配管本体	0.35 0.35 0.35 0.35 0.35 0.35
中液断 LOCA	原子炉容器	構造直観		壳火候管	1.69 1.69 1.69 1.69 1.69 1.69
中液断 LOCA	一次冷却材管	構造直観	28	余熱抽出管	0.25 0.25 0.25 0.25 0.25 0.25
小液断 LOCA	相場二尺	構造直観		スプレーライン回路管	0.25 0.25 0.25 0.25 0.25 0.25

泊発電所3号炉

女川原子力発電所 2号炉

大飯発電所3／4号炉

### 相違理由

【女川】【大鮓】

- 個別評価による相違  
・プラントにより地震PRAで考慮する建屋、屋外重要土本構造物及び機器が異なり、評価対象部位や参照する耐震評価結果も異なるため、フジリティの評価結果も異なる

泊発電所 3号炉 有効性評価 比較表

第37条 付録1 事故シーケンスグループ及び重要事故シーケンス等の選定について  
別添3. レベル1PRA 3.2 外部事象 3.2.1 地震PRA

**赤字**: 設備、運用又は体制の相違（設計方針の相違）  
**青字**: 記載箇所又は記載内容の相違（記載方針の相違）  
**緑字**: 記載表現、設備名称の相違（実質的な相違なし）

第1.2.1.a-4 表 建屋・機器リストとフラジリティデータ (7/20)

第3,2,1,a-4春 地震PRA評価対象建屋：機器リスト (7/10)

第3.2.1.2-4 表 地震PRa評価対象建屋・機器リスト(7/10)

記号番号/ 影響箇所と地盤	構部名	評価モード	評価部位	全支承点数	
				中間柱(G)	外柱(F/G)
R/C/C	外柱端壁面付筋系管	構造側面	無支承部	3/43	2/38
R/C/C	柱子端壁面付筋系管	構造側面	+下部→上部	3/43	2/38
R/C/C	復本筋付筋系管	構造側面	+下部→上部	3/43	2/38
HPS	高圧中心スプリッタ部(シブ) (電動駆動)	機能側面	無支承部	3/39	2/42
HPS	高圧中心スプリッタ部系管	構造側面	無支承部	3/39	1/72
HPS	高圧中心スプリッタ部系管	構造側面	+下部→上部	3/39	1/58
HPS	高圧中心スプリッタ部系管	機能側面	無支承部	3/39	1/58
HPS	HPSボンブ遮音開閉	機能側面	無支承部	3/39	2/70
HPS	HPSボンブ遮音開閉	構造側面	無支承部	3/39	2/70
HPS	HPSボンブ遮音開閉ダクト	構造側面	+下部→上部	3/39	1/53
HPS	HPSボンブ遮音開閉	機能側面	無支承部	3/39	1/53
HPS	HPSボンブ遮音開閉	機能側面	+下部→上部	3/39	1/53
HPS	燃料供給ポンプ	機能側面	無支承部	3/39	0/34

女川原子力発電所 2号炉

泊発電所3号炉

相違理由

第3.2.1-a-5表 地震PHV評価対象建屋・機器リスト(732)

記用事項/ 影響範囲と規範	機器名稱	相馬モード	許容値面	地盤号数		
				中央値(6)	$\bar{s}_r$	RCP(6)
小規模 LOCA	RCR 加熱器ストレインセンサ	構造圧縮	地盤本体	5.12	0.31	1.73
小規模 LOCA	加圧器補助スレーブライン配管	構造圧縮	地盤本体	0.35	-	-
小規模 LOCA	加圧器補助スレーブ配管	構造圧縮	地盤本体	0.31	0.31	1.73
小規模 LOCA	給排水装置冷却材ドレン配管	構造圧縮	地盤本体	0.35	-	-
小規模 LOCA	SSサンプル冷却器注入配管	構造圧縮	地盤本体	5.12	0.31	1.73
小規模 LOCA	余剰圧出装置間仕込ライアン配管	構造圧縮	地盤本体	0.31	0.31	1.73
小規模 LOCA	RV直通ベンチライアン配管	構造圧縮	地盤本体	0.35	-	-
小規模 LOCA	加圧安全弁配管	構造圧縮	地盤本体	5.12	0.31	1.73
小規模 LOCA	加圧器遮断弁配管	構造圧縮	地盤本体	0.31	0.31	1.73
小規模 LOCA	加圧器合意/安全弁35~40℃ 053, 056, 057	構造圧縮	地盤本体	0.35	-	-
小規模 LOCA	加圧器遮断弁合意/安全弁35~40℃	構造圧縮	地盤本体	-	-	-

Journal of Health Politics

泊発電所3号炉

【女川】【大船】

- 個別評価による相違
    - ・プラントにより地震 PRA を考慮する建屋、屋外重要土木構造物及び機器が異なり、評価対象部位や参照する耐震評価結果も異なるため、フランジリティの評価結果も異なる

泊発電所 3号炉 有効性評価 比較表

### 第37条 付録1 事故シーケンスグループ及び重要事故シーケンス等の選定について

### 別添 3. レベル1PRA 3.2 外部事象 3.2.1 地震PRA

**赤字**: 設備、運用又は体制の相違（設計方針の相違）  
**青字**: 記載箇所又は記載内容の相違（記載方針の相違）  
**緑字**: 記載表現、設備名称の相違（実質的な相違なし）

泊発電所 3号炉 有効性評価 比較表

**赤字**：設備、運用又は体制の相違（設計方針の相違）  
**青字**：記載箇所又は記載内容の相違（記載方針の相違）  
**緑字**：記載表現、設備名称の相違（実質的な相違なし）

### 第37条 付録1 事故シーケンスグループ及び重要事故シーケンス等の選定について 別添3. レベル1PRA 3.2 外部事象 3.2.1 地震PRA

大飯発電所3／4号炉

第3,2,1,a-1表 地震 PRA 評価対象建屋・機器リスト (9/10)

女川原子力発電所 2号炉

第3.2.1.3-4表 地震 PRA 評価 対象建屋・機器リスト (9/10)

対象建屋/ 影響範囲別地	機器名等 等( )内は本件計画用語と歩合	相應モード	地震 PRA 対象建屋・機器リスト	
			構造用機器	評価用機器
BVS	日用品販賣店 BWS(交換販賣店 20 号玉柱)	構造用機器	無付帯モード	無付帯モード
BVS	高江田G-Cアレイ 動植物合生木柱+ブ	構造用機器	無付帯モード	無付帯モード
BVS	高江田G-Cアレイ 動植物合生木柱+交換部	構造用機器	無付帯モード	無付帯モード
BVS	高江田G-Cアレイ 動植物合生木柱+ランク	構造用機器	無付帯モード	無付帯モード
BVS	高江田G-Cアレイ 動植物合生木柱+底盤	構造用機器	無付帯モード	無付帯モード
BVS	高江田G-Cアレイ 動植物合生木柱+アーチ	構造用機器	コラム+走行	コラム+走行
BVS	高江田G-Cアレイ 動植物合生木柱+アーチ (底盤付)	構造用機器	無付帯モード	無付帯モード
BVS	高江田G-Cアレイ 動植物合生木柱+底盤	構造用機器	底盤本体	底盤本体
BVS	高江田G-Cアレイ 動植物合生木柱+底盤 +高江田G-Cアレイ 動植物合生木柱+底盤	構造用機器	モード1+モード2	モード1+モード2
BVS	高江田G-Cアレイ 動植物合生木柱+底盤 +高江田G-Cアレイ 動植物合生木柱+底盤 +高江田G-Cアレイ 動植物合生木柱+底盤	構造用機器	底盤本体	底盤本体
BVS	高江田G-Cアレイ 動植物合生木柱+底盤 +高江田G-Cアレイ 動植物合生木柱+底盤 +高江田G-Cアレイ 動植物合生木柱+底盤 +高江田G-Cアレイ 動植物合生木柱+底盤	構造用機器	底盤本体	底盤本体
BVS	高江田G-Cアレイ 動植物合生木柱+底盤 +高江田G-Cアレイ 動植物合生木柱+底盤 +高江田G-Cアレイ 動植物合生木柱+底盤 +高江田G-Cアレイ 動植物合生木柱+底盤	構造用機器	底盤本体	底盤本体

泊発電所 3号炉

第3.2.1-a-5表 地震烈度評価指針各地区・機器リスト(9/32)

起因事象/ 警報級和感應	機器名稱	組別キ-1	評價部位	出力率 (%)	
				$\beta_1$	$\beta_2$
1.25t DC電源	補助地盤点張り電線	機造柱脚	—	3.01	1.65
1.25t DC電源	機造柱脚	機造柱脚	Re付ボルト	0.11 0.25 0.69	16.82
1.25t DC電源(タテヨリ)	省電池	機造柱脚	基礎底盤	0.17 0.37	1.17 1.56
6.6kV 非常用電源	機造柱脚	機造柱脚	—	0.23 0.38 0.68	1.43
6.6kV 非常用電源	6.6kV メタカラ	機造柱脚	基礎ボルト	0.19 0.21	3.75
6.6kV 非常用電源	7.4kW 定速機	機造柱脚	—	1.65 0.13	0.59
6.6kV 非常用電源	7.4kW 定速機	機造柱脚	中間軸付ボルト	0.19 3.41 0.68	2.35
6.6kV 非常用電源	内燃機制(ディーゼル機制)	機造柱脚	—	0.17 1.65	1.17 0.59
6.6kV 非常用電源	内燃油機	機造柱脚	基礎ボルト	0.19 0.98	4.75
6.6kV 非常用電源	内燃油機	機造柱脚	風管本体	0.17 3.63	1.17 1.84

【女川】【大船】

- ・個別評価による相違  
・プラントにより地震PRAで考慮する建屋、屋外重要土木構造物及び機器が異なり、評価対象部位や参照する耐震評価結果も異なるため、フランジリティの評価結果も異なる

泊発電所 3号炉 有効性評価 比較表

第37条 付録1 事故シーケンスグループ及び重要事故シーケンス等の選定について  
別添3. レベル1PRA 3.2 外部事象 3.2.1 地震PRA

**赤字**: 設備、運用又は体制の相違（設計方針の相違）  
**青字**: 記載箇所又は記載内容の相違（記載方針の相違）  
**緑字**: 記載表現、設備名称の相違（実質的な相違なし）

大飯発電所3／4号炉

## 女川原子力発電所 2号炉

第3.2.1-a-1表 地震PWA評価 対象建屋・機器リスト(10/10)						
機器番号／影響範囲記載	機器名称 ※( )内は代表詳細機器名とする	倒壊モード	評価部位	支承部(G) $\beta_{\text{f}}$		
				構造部材	機器部材	支承部材
開口 主翼張出し・安全帶用アーム △レバー	主翼張出し・安全帶用アーム用アーム △レバー	構造部材	△	0.10	0.25	2.26
開口 主翼張出し・安全帶	主翼張出し・安全帶	構造部材	△	0.10	0.36	0.81
DFS 長正心スプレイヤボンブレ (電動油圧)	長正心スプレイヤボンブレ (電動油圧)	構造部材 輸送部	△	0.20	0.20	0.62
DFS 長正心スプレイヤボンブレ (電動油圧)	長正心スプレイヤボンブレ (電動油圧)	構造部材 サブフレーム本体	△	0.30	0.31	2.04
DFS 長正心スプレイヤボンブレ (電動油圧)	長正心スプレイヤボンブレ (電動油圧)	構造部材 輸送部	△	0.30	0.31	0.92
DFS DFSボンブ雷空油圧	DFSボンブ雷空油圧	構造部材 輸送部	△	0.10	0.10	2.70
DFS DFSボンブ雷空油圧タクト	DFSボンブ雷空油圧タクト	構造部材 サブフレーム本体	△	0.30	0.31	1.83
UFR, BUR 翼留めホチキス(アーブ (電動油圧))	翼留めホチキス(アーブ (電動油圧))	構造部材 輸送部	△	0.30	0.30	2.92
UFR, BUR 翼留めホチキス(アーブ)	翼留めホチキス(アーブ)	構造部材 機器部材	△	0.30	0.30	1.89
UFR, BUR 翼留めホチキス(アーブ)	翼留めホチキス(アーブ)	機器部材 機器部材	△	0.30	0.30	1.80
UFR, BUR UBB ハンド式起倒機 (UBBボンブア空油圧機)	UBB ハンド式起倒機 (UBBボンブア空油圧機)	機器部材 輸送部	△	0.30	0.30	2.95

泊発電所 3号炉

第3.2.1.5-5表 地盤PRB評価の参考値<sup>a</sup>・機器リスト (10/32)

地盤分類/ 構造物種別	機器名稱	相隔一定 構造柱間	構造柱間	参考値 <sup>b</sup>		参考値 <sup>c</sup> RCU (t)
				$\beta_s$	$\beta_a$	
6.6k, 非常用電源	ディーゼル発電機用起動機	構造柱間	—	0.22	0.27	6.92
6.6k, 非常用電源	構造柱間	構造柱間	—	0.19	0.21	5.61
6.6k, 非常用電源	清水タンク	構造柱間	—	—	—	—
6.6k, 非常用電源	清水冷却器	構造柱間	—	—	—	—
6.6k, 非常用電源	燃料油こし器	構造柱間	—	—	—	—
6.6k, 非常用電源	潤滑油こし器	構造柱間	—	—	—	—
6.6k, 非常用電源	潤滑油冷却器	構造柱間	—	—	—	—
6.6k, 非常用電源	潤滑油タンク	構造柱間	—	—	—	—
6.6k, 非常用電源	ディーゼル発電機用起動機	構造柱間	—	2.06	0.22	0.92
6.6k, 非常用電源	構造柱間	構造柱間	—	0.27	0.27	10.71

相違理由

【女川】【大飯】

- 個別評価による相違
  - ・プラントにより地震PRAで考慮する建屋、屋外重要土木構造物及び機器が異なり、評価対象部位や参照する耐震評価結果も異なるため、フランジティの評価結果も異なる

泊発電所 3号炉 有効性評価 比較表

第37条 付録1 事故シケンスグループ及び重要事故シケンス等の選定について  
別添3. レベル1PRA 3.2 外部事象 3.2.1 地震PRA

**赤字**: 設備、運用又は体制の相違（設計方針の相違）  
**青字**: 記載箇所又は記載内容の相違（記載方針の相違）  
**緑字**: 記載表現、設備名称の相違（実質的な相違なし）

泊発電所 3号炉 有効性評価 比較表

第37条 付録1 事故シーケンスグループ及び重要事故シーケンス等の選定について  
別添3. レベル1PRA 3.2 外部事象 3.2.1 地震 PRA

**赤字**: 設備、運用又は体制の相違（設計方針の相違）  
**青字**: 記載箇所又は記載内容の相違（記載方針の相違）  
**緑字**: 記載表現、設備名称の相違（実質的な相違なし）

泊発電所 3号炉 有効性評価 比較表

**赤字**: 設備、運用又は体制の相違（設計方針の相違）  
**青字**: 記載箇所又は記載内容の相違（記載方針の相違）  
**緑字**: 記載表現、設備名称の相違（実質的な相違なし）

### 第37条 付録1 事故シーケンスグループ及び重要事故シーケンス等の選定について

### 別添 3. レベル1PRA 3.2 外部事象 3.2.1 地震 PRA

泊発電所 3号炉 有効性評価 比較表

### 第37条 付録1 事故シーケンスグループ及び重要事故シーケンス等の選定について

### 別添 3. レベル1PRA 3.2 外部事象 3.2.1 地震 PRA

**赤字**: 設備、運用又は体制の相違（設計方針の相違）  
**青字**: 記載箇所又は記載内容の相違（記載方針の相違）  
**緑字**: 記載表現、設備名称の相違（実質的な相違なし）

泊発電所 3号炉 有効性評価 比較表

### 第37条 付録1 事故シーケンスグループ及び重要事故シーケンス等の選定について 別添3. レベル1PRA 3.2 外部事象 3.2.1 地震PRA

**赤字**: 設備、運用又は体制の相違（設計方針の相違）  
**青字**: 記載箇所又は記載内容の相違（記載方針の相違）  
**緑字**: 記載表現、設備名称の相違（実質的な相違なし）

泊発電所 3号炉 有効性評価 比較表

第37条 付録1 事故シケンスグループ及び重要事故シケンス等の選定について  
別添3. レベル1PRA 3.2 外部事象 3.2.1 地震PRA

**赤字**: 設備、運用又は体制の相違（設計方針の相違）  
**青字**: 記載箇所又は記載内容の相違（記載方針の相違）  
**緑字**: 記載表現、設備名称の相違（実質的な相違なし）

泊発電所 3号炉 有効性評価 比較表

### 第37条 付録1 事故シーケンスグループ及び重要事故シーケンス等の選定について

### 別添 3. レベル1PRA 3.2 外部事象 3.2.1 地震PRA

**赤字**: 設備、運用又は体制の相違（設計方針の相違）  
**青字**: 記載箇所又は記載内容の相違（記載方針の相違）  
**緑字**: 記載表現、設備名称の相違（実質的な相違なし）

泊発電所 3号炉 有効性評価 比較表

### 第37条 付録1 事故シーケンスグループ及び重要事故シーケンス等の選定について 別添3. レベル1PRA 3.2 外部事象 3.2.1 地震PRA

**赤字**: 設備、運用又は体制の相違（設計方針の相違）  
**青字**: 記載箇所又は記載内容の相違（記載方針の相違）  
**緑字**: 記載表現、設備名称の相違（実質的な相違なし）

泊発電所 3号炉 有効性評価 比較表

### 第37条 付録1 事故シーケンスグループ及び重要事故シーケンス等の選定について 別添3. レベル1PRA 3.2 外部事象 3.2.1 地震 PRA

**赤字**: 設備、運用又は体制の相違（設計方針の相違）  
**青字**: 記載箇所又は記載内容の相違（記載方針の相違）  
**緑字**: 記載表現、設備名称の相違（実質的な相違なし）

第 1.2.1.a.4 表 建屋・機器リストとフライリティデータ (20/20)

会員登録番号	会員登録名	性別	年齢	誕生日	会員登録情報		会員登録料	会員登録料支払日
					会員登録料	会員登録料支払日		
01-XXXXXX-0001	田中 桃子	女性	25	1990/01/01	1,000	2023/01/01	1,000	2023/01/01
01-XXXXXX-0002	山本 太郎	男性	30	1988/05/01	1,000	2023/01/01	1,000	2023/01/01
01-XXXXXX-0003	鈴木 謙二郎	男性	45	1978/03/01	1,000	2023/01/01	1,000	2023/01/01
01-XXXXXX-0004	佐藤 真理子	女性	35	1988/01/01	1,000	2023/01/01	1,000	2023/01/01
01-XXXXXX-0005	田中 一郎	男性	50	1973/07/01	1,000	2023/01/01	1,000	2023/01/01
01-XXXXXX-0006	鈴木 美智子	女性	40	1983/09/01	1,000	2023/01/01	1,000	2023/01/01
01-XXXXXX-0007	佐藤 亮介	男性	30	1990/07/01	1,000	2023/01/01	1,000	2023/01/01
01-XXXXXX-0008	田中 桃子	女性	25	1990/01/01	1,000	2023/01/01	1,000	2023/01/01
01-XXXXXX-0009	山本 太郎	男性	30	1988/05/01	1,000	2023/01/01	1,000	2023/01/01
01-XXXXXX-0010	鈴木 謙二郎	男性	45	1978/03/01	1,000	2023/01/01	1,000	2023/01/01
01-XXXXXX-0011	佐藤 真理子	女性	35	1988/01/01	1,000	2023/01/01	1,000	2023/01/01
01-XXXXXX-0012	田中 一郎	男性	50	1973/07/01	1,000	2023/01/01	1,000	2023/01/01
01-XXXXXX-0013	鈴木 美智子	女性	40	1983/09/01	1,000	2023/01/01	1,000	2023/01/01
01-XXXXXX-0014	佐藤 亮介	男性	30	1990/07/01	1,000	2023/01/01	1,000	2023/01/01

泊発電所 3号炉 有効性評価 比較表

### 第37条 付録1 事故シーケンスグループ及び重要事故シーケンス等の選定について

### 別添 3. レベル1PRA 3.2 外部事象 3.2.1 地震 PRA

**赤字**：設備、運用又は体制の相違（設計方針の相違）  
**青字**：記載箇所又は記載内容の相違（記載方針の相違）  
**緑字**：記載表現、設備名称の相違（実質的な相違なし）

## 泊発電所3号炉 有効性評価 比較表

赤字：設備、運用又は体制の相違（設計方針の相違）  
 青字：記載箇所又は記載内容の相違（記載方針の相違）  
 緑字：記載表現、設備名称の相違（実質的な相違なし）

第37条 付録1 事故シーケンスグループ及び重要事故シーケンス等の選定について

別添3. レベル1PRA 3.2 外部事象 3.2.1 地震PRA

大飯発電所3／4号炉	女川原子力発電所2号炉	泊発電所3号炉	相違理由																																																																																																													
		<table border="1"> <caption>第3.2.1-a-5表 地震PRA評価対象部位・機器リスト(21/32)</caption> <thead> <tr> <th rowspan="2">起因事象／影響度と機器</th> <th rowspan="2">機器名稱</th> <th rowspan="2">機器モード</th> <th rowspan="2">評価部位</th> <th colspan="2">中央値(%)</th> </tr> <tr> <th><math>\beta_{\perp}</math></th> <th>HUEF(%)</th> </tr> </thead> <tbody> <tr> <td>再沸発生</td> <td>格納容器瞬時開閉サインフタクリーン</td> <td>構造制限</td> <td>モジュール</td> <td>1.95</td> <td>1.19</td> </tr> <tr> <td>再沸発生</td> <td>安全機能冷却用ファン</td> <td>構造制限</td> <td>テンションロッド</td> <td>0.99</td> <td>0.23</td> </tr> <tr> <td>再沸発生</td> <td>30S170A</td> <td>構造制限</td> <td>—</td> <td>2.29</td> <td>—</td> </tr> <tr> <td>再沸発生</td> <td>安全機能冷却却ダクト(手動ダンバ含む)</td> <td>構造制限</td> <td>—</td> <td>0.13</td> <td>1.35</td> </tr> <tr> <td>再沸発生</td> <td>安全機能空気調節系</td> <td>構造制限</td> <td>基礎(吸付)ベルト</td> <td>0.19</td> <td>0.19</td> </tr> <tr> <td>再沸発生</td> <td>空気作動ダンバ</td> <td>ダクト本体</td> <td>—</td> <td>0.17</td> <td>4.26</td> </tr> <tr> <td>再沸発生</td> <td>安全機能空気調節系(手動ダンバ含む)</td> <td>構造制限</td> <td>—</td> <td>2.62</td> <td>0.90</td> </tr> <tr> <td>再沸発生</td> <td>ケーシング</td> <td>構造制限</td> <td>—</td> <td>0.35</td> <td>—</td> </tr> <tr> <td>再沸発生</td> <td>空気作動ダンバ</td> <td>構造制限</td> <td>—</td> <td>2.48</td> <td>0.19</td> </tr> <tr> <td>再沸発生</td> <td>安全機能空気調節系</td> <td>構造制限</td> <td>—</td> <td>0.20</td> <td>1.30</td> </tr> <tr> <td>再沸発生</td> <td>空気作動ダンバ</td> <td>構造制限</td> <td>—</td> <td>—</td> <td>—</td> </tr> <tr> <td>再沸発生</td> <td>安全機能空気調節系</td> <td>構造制限</td> <td>—</td> <td>1.77</td> <td>0.83</td> </tr> <tr> <td>再沸発生</td> <td>防火ダンバ</td> <td>構造制限</td> <td>—</td> <td>0.19</td> <td>—</td> </tr> <tr> <td>再沸発生</td> <td>安全機能空気調節系</td> <td>構造制限</td> <td>—</td> <td>0.20</td> <td>—</td> </tr> <tr> <td>再沸発生</td> <td>防火ダンバ</td> <td>構造制限</td> <td>—</td> <td>—</td> <td>—</td> </tr> <tr> <td>再沸発生</td> <td>安全機能空気調節系</td> <td>構造制限</td> <td>—</td> <td>—</td> <td>—</td> </tr> <tr> <td>再沸発生</td> <td>防火ダンバ</td> <td>構造制限</td> <td>—</td> <td>—</td> <td>—</td> </tr> </tbody> </table> <p>【女川】【大飯】</p> <ul style="list-style-type: none"> <li>■個別評価による相違</li> <li>・プラントにより地震PRAで考慮する建屋、屋外重要土木構造物及び機器が異なり、評価対象部位や参照する耐震評価結果も異なるため、フレジリティの評価結果も異なる</li> </ul>	起因事象／影響度と機器	機器名稱	機器モード	評価部位	中央値(%)		$\beta_{\perp}$	HUEF(%)	再沸発生	格納容器瞬時開閉サインフタクリーン	構造制限	モジュール	1.95	1.19	再沸発生	安全機能冷却用ファン	構造制限	テンションロッド	0.99	0.23	再沸発生	30S170A	構造制限	—	2.29	—	再沸発生	安全機能冷却却ダクト(手動ダンバ含む)	構造制限	—	0.13	1.35	再沸発生	安全機能空気調節系	構造制限	基礎(吸付)ベルト	0.19	0.19	再沸発生	空気作動ダンバ	ダクト本体	—	0.17	4.26	再沸発生	安全機能空気調節系(手動ダンバ含む)	構造制限	—	2.62	0.90	再沸発生	ケーシング	構造制限	—	0.35	—	再沸発生	空気作動ダンバ	構造制限	—	2.48	0.19	再沸発生	安全機能空気調節系	構造制限	—	0.20	1.30	再沸発生	空気作動ダンバ	構造制限	—	—	—	再沸発生	安全機能空気調節系	構造制限	—	1.77	0.83	再沸発生	防火ダンバ	構造制限	—	0.19	—	再沸発生	安全機能空気調節系	構造制限	—	0.20	—	再沸発生	防火ダンバ	構造制限	—	—	—	再沸発生	安全機能空気調節系	構造制限	—	—	—	再沸発生	防火ダンバ	構造制限	—	—	—
起因事象／影響度と機器	機器名稱	機器モード					評価部位	中央値(%)																																																																																																								
			$\beta_{\perp}$	HUEF(%)																																																																																																												
再沸発生	格納容器瞬時開閉サインフタクリーン	構造制限	モジュール	1.95	1.19																																																																																																											
再沸発生	安全機能冷却用ファン	構造制限	テンションロッド	0.99	0.23																																																																																																											
再沸発生	30S170A	構造制限	—	2.29	—																																																																																																											
再沸発生	安全機能冷却却ダクト(手動ダンバ含む)	構造制限	—	0.13	1.35																																																																																																											
再沸発生	安全機能空気調節系	構造制限	基礎(吸付)ベルト	0.19	0.19																																																																																																											
再沸発生	空気作動ダンバ	ダクト本体	—	0.17	4.26																																																																																																											
再沸発生	安全機能空気調節系(手動ダンバ含む)	構造制限	—	2.62	0.90																																																																																																											
再沸発生	ケーシング	構造制限	—	0.35	—																																																																																																											
再沸発生	空気作動ダンバ	構造制限	—	2.48	0.19																																																																																																											
再沸発生	安全機能空気調節系	構造制限	—	0.20	1.30																																																																																																											
再沸発生	空気作動ダンバ	構造制限	—	—	—																																																																																																											
再沸発生	安全機能空気調節系	構造制限	—	1.77	0.83																																																																																																											
再沸発生	防火ダンバ	構造制限	—	0.19	—																																																																																																											
再沸発生	安全機能空気調節系	構造制限	—	0.20	—																																																																																																											
再沸発生	防火ダンバ	構造制限	—	—	—																																																																																																											
再沸発生	安全機能空気調節系	構造制限	—	—	—																																																																																																											
再沸発生	防火ダンバ	構造制限	—	—	—																																																																																																											

## 泊発電所3号炉 有効性評価 比較表

赤字：設備、運用又は体制の相違（設計方針の相違）  
 青字：記載箇所又は記載内容の相違（記載方針の相違）  
 緑字：記載表現、設備名称の相違（実質的な相違なし）

第37条 付録1 事故シーケンスグループ及び重要事故シーケンス等の選定について

別添3. レベル1PRA 3.2 外部事象 3.2.1 地震PRA

大飯発電所3／4号炉	女川原子力発電所2号炉	泊発電所3号炉	相違理由																																										
		<table border="1"> <caption>第3.2.1.a-5表 地震PRA評価対象建屋・機器リスト(22/22)</caption> <thead> <tr> <th>別添3号炉</th> <th>中央値(G)</th> <th>BCUPF(G)</th> </tr> </thead> <tbody> <tr> <td>機器名稱</td> <td>相場モード</td> <td>評価部位</td> </tr> <tr> <td>再循環切替</td> <td>機能橈備</td> <td>-</td> </tr> <tr> <td>安全制御室空調系 通吐量 3V-S-921A</td> <td>機能橈備</td> <td>-</td> </tr> <tr> <td>再循環切替</td> <td>機能橈備</td> <td>-</td> </tr> <tr> <td>高圧注入系</td> <td>高圧注入ポンプ</td> <td>機能橈備</td> </tr> <tr> <td>高圧注入系</td> <td>(ほう)酸性注入タンク漏管ライン出口第1 1.本体外(空気)側通弁3V-S1-145, 第2止み弁(空気)側通弁3V-S1-146</td> <td>機能橈備</td> </tr> <tr> <td>高圧注入系</td> <td>ほう酸注入タンク</td> <td>機能橈備</td> </tr> </tbody> </table> <p>【女川】【大飯】</p> <ul style="list-style-type: none"> <li>■個別評価による相違</li> <li>・プラントにより地震PRAで考慮する建屋、屋外重要土木構造物及び機器が異なり、評価対象部位や参照する耐震評価結果も異なるため、フレジリティの評価結果も異なる</li> </ul>	別添3号炉	中央値(G)	BCUPF(G)	機器名稱	相場モード	評価部位	再循環切替	機能橈備	-	安全制御室空調系 通吐量 3V-S-921A	機能橈備	-	再循環切替	機能橈備	-	高圧注入系	高圧注入ポンプ	機能橈備	高圧注入系	(ほう)酸性注入タンク漏管ライン出口第1 1.本体外(空気)側通弁3V-S1-145, 第2止み弁(空気)側通弁3V-S1-146	機能橈備	高圧注入系	ほう酸注入タンク	機能橈備																			
別添3号炉	中央値(G)	BCUPF(G)																																											
機器名稱	相場モード	評価部位																																											
再循環切替	機能橈備	-																																											
安全制御室空調系 通吐量 3V-S-921A	機能橈備	-																																											
再循環切替	機能橈備	-																																											
再循環切替	機能橈備	-																																											
再循環切替	機能橈備	-																																											
再循環切替	機能橈備	-																																											
再循環切替	機能橈備	-																																											
再循環切替	機能橈備	-																																											
再循環切替	機能橈備	-																																											
高圧注入系	高圧注入ポンプ	機能橈備																																											
高圧注入系	(ほう)酸性注入タンク漏管ライン出口第1 1.本体外(空気)側通弁3V-S1-145, 第2止み弁(空気)側通弁3V-S1-146	機能橈備																																											
高圧注入系	ほう酸注入タンク	機能橈備																																											

## 泊発電所3号炉 有効性評価 比較表

赤字：設備、運用又は体制の相違（設計方針の相違）  
 青字：記載箇所又は記載内容の相違（記載方針の相違）  
 緑字：記載表現、設備名称の相違（実質的な相違なし）

第37条 付録1 事故シーケンスグループ及び重要事故シーケンス等の選定について

別添3. レベル1PRA 3.2 外部事象 3.2.1 地震PRA

大飯発電所3／4号炉	女川原子力発電所2号炉	泊発電所3号炉	相違理由																																																													
		<table border="1"> <caption>第2.2.1.a-5表 地震PRA 対応する象徴的・機器リスト (23/32)</caption> <thead> <tr> <th rowspan="2">起因事象 / 影響範囲</th> <th rowspan="2">機器名稱</th> <th rowspan="2">相違モード</th> <th colspan="2">H3.5g</th> </tr> <tr> <th>構造部位</th> <th>小走行(G)</th> </tr> </thead> <tbody> <tr> <td>制御用空気系</td> <td>制御用空気管路装置</td> <td>構造部位</td> <td><math>\beta_s</math> 8.09</td> <td>HCUP(G) 5.12</td> </tr> <tr> <td>制御用空気系</td> <td>制御用空気管路装置</td> <td>構造部位</td> <td>0.17</td> <td>0.17</td> </tr> <tr> <td>制御用空気系</td> <td>制御用空気管路装置</td> <td>新直方門扉板</td> <td>3.70 0.11 0.23</td> <td>2.03 0.23 0.23</td> </tr> <tr> <td>制御用空気系</td> <td>制御用空気管路装置</td> <td>取付ボルト</td> <td>0.19 0.17</td> <td>12.07 1.36</td> </tr> <tr> <td>制御用空気系</td> <td>制御用空気管路装置</td> <td>構造部位</td> <td>-</td> <td>0.11 0.23</td> </tr> <tr> <td>制御用空気系</td> <td>制御用空気管路装置</td> <td>構造部位</td> <td>0.09 0.17</td> <td>11.82 28.04</td> </tr> <tr> <td>制御用空気系</td> <td>制御用空気管路装置</td> <td>構造部位</td> <td>5.13 0.21</td> <td>1.84 0.55</td> </tr> <tr> <td>制御用空気系</td> <td>制御用空気管路装置</td> <td>構造部位</td> <td>0.17</td> <td>3.52 0.17</td> </tr> <tr> <td>制御用空気系</td> <td>制御用空気管路装置</td> <td>構造部位</td> <td>2.79 0.13</td> <td>1.43 0.19</td> </tr> <tr> <td>制御用空気系</td> <td>制御用空気管路装置</td> <td>構造部位</td> <td>2.29 0.11 0.23</td> <td>1.26 0.23 -</td> </tr> <tr> <td>制御用空気系</td> <td>制御用空気管路装置</td> <td>構造部位</td> <td>-</td> <td>-</td> </tr> </tbody> </table> <p>■【女川】【大飯】      ■個別評価による相違      • プラントにより地震PRAで考慮する建屋、屋外重要土木構造物及び機器が異なり、評価対象部位や参照する耐震評価結果も異なるため、フランジリティの評価結果も異なる</p>	起因事象 / 影響範囲	機器名稱	相違モード	H3.5g		構造部位	小走行(G)	制御用空気系	制御用空気管路装置	構造部位	$\beta_s$ 8.09	HCUP(G) 5.12	制御用空気系	制御用空気管路装置	構造部位	0.17	0.17	制御用空気系	制御用空気管路装置	新直方門扉板	3.70 0.11 0.23	2.03 0.23 0.23	制御用空気系	制御用空気管路装置	取付ボルト	0.19 0.17	12.07 1.36	制御用空気系	制御用空気管路装置	構造部位	-	0.11 0.23	制御用空気系	制御用空気管路装置	構造部位	0.09 0.17	11.82 28.04	制御用空気系	制御用空気管路装置	構造部位	5.13 0.21	1.84 0.55	制御用空気系	制御用空気管路装置	構造部位	0.17	3.52 0.17	制御用空気系	制御用空気管路装置	構造部位	2.79 0.13	1.43 0.19	制御用空気系	制御用空気管路装置	構造部位	2.29 0.11 0.23	1.26 0.23 -	制御用空気系	制御用空気管路装置	構造部位	-	-
起因事象 / 影響範囲	機器名稱	相違モード				H3.5g																																																										
			構造部位	小走行(G)																																																												
制御用空気系	制御用空気管路装置	構造部位	$\beta_s$ 8.09	HCUP(G) 5.12																																																												
制御用空気系	制御用空気管路装置	構造部位	0.17	0.17																																																												
制御用空気系	制御用空気管路装置	新直方門扉板	3.70 0.11 0.23	2.03 0.23 0.23																																																												
制御用空気系	制御用空気管路装置	取付ボルト	0.19 0.17	12.07 1.36																																																												
制御用空気系	制御用空気管路装置	構造部位	-	0.11 0.23																																																												
制御用空気系	制御用空気管路装置	構造部位	0.09 0.17	11.82 28.04																																																												
制御用空気系	制御用空気管路装置	構造部位	5.13 0.21	1.84 0.55																																																												
制御用空気系	制御用空気管路装置	構造部位	0.17	3.52 0.17																																																												
制御用空気系	制御用空気管路装置	構造部位	2.79 0.13	1.43 0.19																																																												
制御用空気系	制御用空気管路装置	構造部位	2.29 0.11 0.23	1.26 0.23 -																																																												
制御用空気系	制御用空気管路装置	構造部位	-	-																																																												

## 泊発電所3号炉 有効性評価 比較表

赤字：設備、運用又は体制の相違（設計方針の相違）  
 青字：記載箇所又は記載内容の相違（記載方針の相違）  
 緑字：記載表現、設備名称の相違（実質的な相違なし）

第37条 付録1 事故シーケンスグループ及び重要事故シーケンス等の選定について

別添3. レベル1PRA 3.2 外部事象 3.2.1 地震PRA

大飯発電所3／4号炉	女川原子力発電所2号炉	泊発電所3号炉	相違理由																																																											
		<table border="1"> <caption>第3.2.1章 地震PRA評価対象部位・機器リスト(21/32)</caption> <thead> <tr> <th>起因事象／影響範囲と機器</th> <th>機器名</th> <th>相違箇所</th> <th>評価測定</th> <th>合計評価</th> </tr> </thead> <tbody> <tr> <td>制御用空気系</td> <td>制御用空気圧縮機各台アン31S12A</td> <td>機械部</td> <td>評価測定</td> <td>中央値(G) B<sub>1</sub> B<sub>2</sub> 2.05</td> </tr> <tr> <td>制御用空気系</td> <td>制御用空気圧縮機各台アン31S12B</td> <td>機械部</td> <td>-</td> <td>0.13 0.19 1.20</td> </tr> <tr> <td>制御用空気系</td> <td>制御用空気圧縮機各台アン31S12C</td> <td>機械部</td> <td>-</td> <td>26.82 0.09 0.17 17.46</td> </tr> <tr> <td>制御用空気系</td> <td>制御用空気圧縮機各台アン31S12D</td> <td>機械部</td> <td>ケーシング</td> <td>2.18 0.19 1.30</td> </tr> <tr> <td>制御用空気系</td> <td>制御用空気圧縮機各台アン31S12E</td> <td>機械部</td> <td>-</td> <td>0.20 -</td> </tr> <tr> <td>制御用空気系</td> <td>制御用空気圧縮機各台アン31S12F</td> <td>機械部</td> <td>-</td> <td>2.62 0.31 0.90</td> </tr> <tr> <td>制御用空気系</td> <td>制御用空気圧縮機各台アン31S12G</td> <td>機械部</td> <td>タクト本体</td> <td>0.25 1.77 0.19 0.83</td> </tr> <tr> <td>制御用空気系</td> <td>制御用空気圧縮機各台アン31S12H</td> <td>機械部</td> <td>防火ダーベン</td> <td>0.20 -</td> </tr> <tr> <td>制御用空気系</td> <td>制御用空気圧縮機各台アン31S12I</td> <td>機械部</td> <td>-</td> <td>- -</td> </tr> <tr> <td>制御用空気系</td> <td>制御用空気圧縮機各台アン31S12J</td> <td>機械部</td> <td>吸排部</td> <td>4.15 0.19 2.33</td> </tr> <tr> <td>制御用空気系</td> <td>制御用空気圧縮機各台アン31S12K</td> <td>機械部</td> <td>-</td> <td>0.20 -</td> </tr> </tbody> </table> <p>【女川】【大飯】      ■個別評価による相違      •プラントにより地震PRAで考慮する建屋、屋外重要土木構造物及び機器が異なり、評価対象部位や参照する耐震評価結果も異なるため、フレジリティの評価結果も異なる</p>	起因事象／影響範囲と機器	機器名	相違箇所	評価測定	合計評価	制御用空気系	制御用空気圧縮機各台アン31S12A	機械部	評価測定	中央値(G) B <sub>1</sub> B <sub>2</sub> 2.05	制御用空気系	制御用空気圧縮機各台アン31S12B	機械部	-	0.13 0.19 1.20	制御用空気系	制御用空気圧縮機各台アン31S12C	機械部	-	26.82 0.09 0.17 17.46	制御用空気系	制御用空気圧縮機各台アン31S12D	機械部	ケーシング	2.18 0.19 1.30	制御用空気系	制御用空気圧縮機各台アン31S12E	機械部	-	0.20 -	制御用空気系	制御用空気圧縮機各台アン31S12F	機械部	-	2.62 0.31 0.90	制御用空気系	制御用空気圧縮機各台アン31S12G	機械部	タクト本体	0.25 1.77 0.19 0.83	制御用空気系	制御用空気圧縮機各台アン31S12H	機械部	防火ダーベン	0.20 -	制御用空気系	制御用空気圧縮機各台アン31S12I	機械部	-	- -	制御用空気系	制御用空気圧縮機各台アン31S12J	機械部	吸排部	4.15 0.19 2.33	制御用空気系	制御用空気圧縮機各台アン31S12K	機械部	-	0.20 -
起因事象／影響範囲と機器	機器名	相違箇所	評価測定	合計評価																																																										
制御用空気系	制御用空気圧縮機各台アン31S12A	機械部	評価測定	中央値(G) B <sub>1</sub> B <sub>2</sub> 2.05																																																										
制御用空気系	制御用空気圧縮機各台アン31S12B	機械部	-	0.13 0.19 1.20																																																										
制御用空気系	制御用空気圧縮機各台アン31S12C	機械部	-	26.82 0.09 0.17 17.46																																																										
制御用空気系	制御用空気圧縮機各台アン31S12D	機械部	ケーシング	2.18 0.19 1.30																																																										
制御用空気系	制御用空気圧縮機各台アン31S12E	機械部	-	0.20 -																																																										
制御用空気系	制御用空気圧縮機各台アン31S12F	機械部	-	2.62 0.31 0.90																																																										
制御用空気系	制御用空気圧縮機各台アン31S12G	機械部	タクト本体	0.25 1.77 0.19 0.83																																																										
制御用空気系	制御用空気圧縮機各台アン31S12H	機械部	防火ダーベン	0.20 -																																																										
制御用空気系	制御用空気圧縮機各台アン31S12I	機械部	-	- -																																																										
制御用空気系	制御用空気圧縮機各台アン31S12J	機械部	吸排部	4.15 0.19 2.33																																																										
制御用空気系	制御用空気圧縮機各台アン31S12K	機械部	-	0.20 -																																																										

## 泊発電所3号炉 有効性評価 比較表

赤字：設備、運用又は体制の相違（設計方針の相違）  
 青字：記載箇所又は記載内容の相違（記載方針の相違）  
 緑字：記載表現、設備名称の相違（実質的な相違なし）

第37条 付録1 事故シーケンスグループ及び重要事故シーケンス等の選定について

別添3. レベル1PRA 3.2 外部事象 3.2.1 地震PRA

大飯発電所3／4号炉	女川原子力発電所2号炉	泊発電所3号炉	相違理由																																																														
		<table border="1"> <caption>第3.2.1.3-5表 地震PRA漏れ対象部位・機器リスト (25/32)</caption> <thead> <tr> <th rowspan="2">起因事象／影響流印記能</th> <th rowspan="2">機器名称</th> <th rowspan="2">損傷モード</th> <th rowspan="2">評価部位</th> <th colspan="2">泊3号炉</th> </tr> <tr> <th>中央値(G)</th> <th>RULPF(G)</th> </tr> </thead> <tbody> <tr> <td>制御用空気系</td> <td>制御用空気圧縮機室安全弁気密度計 3TR-2702, 2703</td> <td>機能組成</td> <td>-</td> <td>4.06 0.14</td> <td>2.20</td> </tr> <tr> <td>制御用空気系</td> <td>制御用空気圧縮機室安全弁遮断器 3TR-2701</td> <td>構造組成</td> <td>-</td> <td>-</td> <td>-</td> </tr> <tr> <td>加圧器杠力制御系</td> <td>加圧器安全弁(安全弁3V-和C-055, 056, 057)</td> <td>機能組成</td> <td>-</td> <td>7.46 0.14</td> <td>4.05</td> </tr> <tr> <td>加圧器杠力制御系</td> <td>加圧器遮かし弁(空気弁動弁 3PV-452A, B)</td> <td>機能組成</td> <td>-</td> <td>0.23 0.27</td> <td>1.16</td> </tr> <tr> <td>主蒸気杠力制御系</td> <td>3.A, B, C - 十箇定速弁(一弁空気弁動弁 3PV-3610, 3620, 3630)</td> <td>機能組成</td> <td>-</td> <td>0.26 0.27</td> <td>0.89</td> </tr> <tr> <td>電動補助給水ポンプ</td> <td>電動補助給水ポンプ</td> <td>機能組成</td> <td>-</td> <td>0.13 0.19</td> <td>1.02</td> </tr> <tr> <td>電動補助給水ポンプ</td> <td>電動補助給水ポンプ(出口流量調節弁 盤)</td> <td>機能組成</td> <td>航直方向滑板</td> <td>0.14 0.23</td> <td>2.23</td> </tr> <tr> <td>電動補助給水ポンプ</td> <td></td> <td>構造組成</td> <td>基礎ボルト</td> <td>27.92 0.19</td> <td>14.46</td> </tr> <tr> <td></td> <td></td> <td></td> <td></td> <td>0.21</td> <td></td> </tr> </tbody> </table> <p>【女川】【大飯】</p> <ul style="list-style-type: none"> <li>■個別評価による相違</li> <li>・プラントにより地震PRAで考慮する建屋、屋外重要土木構造物及び機器が異なり、評価対象部位や参照する耐震評価結果も異なるため、フジリティの評価結果も異なる</li> </ul>	起因事象／影響流印記能	機器名称	損傷モード	評価部位	泊3号炉		中央値(G)	RULPF(G)	制御用空気系	制御用空気圧縮機室安全弁気密度計 3TR-2702, 2703	機能組成	-	4.06 0.14	2.20	制御用空気系	制御用空気圧縮機室安全弁遮断器 3TR-2701	構造組成	-	-	-	加圧器杠力制御系	加圧器安全弁(安全弁3V-和C-055, 056, 057)	機能組成	-	7.46 0.14	4.05	加圧器杠力制御系	加圧器遮かし弁(空気弁動弁 3PV-452A, B)	機能組成	-	0.23 0.27	1.16	主蒸気杠力制御系	3.A, B, C - 十箇定速弁(一弁空気弁動弁 3PV-3610, 3620, 3630)	機能組成	-	0.26 0.27	0.89	電動補助給水ポンプ	電動補助給水ポンプ	機能組成	-	0.13 0.19	1.02	電動補助給水ポンプ	電動補助給水ポンプ(出口流量調節弁 盤)	機能組成	航直方向滑板	0.14 0.23	2.23	電動補助給水ポンプ		構造組成	基礎ボルト	27.92 0.19	14.46					0.21		
起因事象／影響流印記能	機器名称	損傷モード					評価部位	泊3号炉																																																									
			中央値(G)	RULPF(G)																																																													
制御用空気系	制御用空気圧縮機室安全弁気密度計 3TR-2702, 2703	機能組成	-	4.06 0.14	2.20																																																												
制御用空気系	制御用空気圧縮機室安全弁遮断器 3TR-2701	構造組成	-	-	-																																																												
加圧器杠力制御系	加圧器安全弁(安全弁3V-和C-055, 056, 057)	機能組成	-	7.46 0.14	4.05																																																												
加圧器杠力制御系	加圧器遮かし弁(空気弁動弁 3PV-452A, B)	機能組成	-	0.23 0.27	1.16																																																												
主蒸気杠力制御系	3.A, B, C - 十箇定速弁(一弁空気弁動弁 3PV-3610, 3620, 3630)	機能組成	-	0.26 0.27	0.89																																																												
電動補助給水ポンプ	電動補助給水ポンプ	機能組成	-	0.13 0.19	1.02																																																												
電動補助給水ポンプ	電動補助給水ポンプ(出口流量調節弁 盤)	機能組成	航直方向滑板	0.14 0.23	2.23																																																												
電動補助給水ポンプ		構造組成	基礎ボルト	27.92 0.19	14.46																																																												
				0.21																																																													

## 泊発電所3号炉 有効性評価 比較表

赤字：設備、運用又は体制の相違（設計方針の相違）  
 青字：記載箇所又は記載内容の相違（記載方針の相違）  
 緑字：記載表現、設備名称の相違（実質的な相違なし）

第37条 付録1 事故シーケンスグループ及び重要事故シーケンス等の選定について

別添3. レベル1PRA 3.2 外部事象 3.2.1 地震PRA

大飯発電所3／4号炉	女川原子力発電所2号炉	泊発電所3号炉	相違理由																																																																																			
		<p style="text-align: center;">第3.2.1-a-5表 地震PRA評価対象部位別地盤リスクリスト(26/32)</p> <table border="1" style="width: 100%; border-collapse: collapse; text-align: center;"> <thead> <tr> <th rowspan="2">起因作象／影響範囲</th> <th rowspan="2">機器名称</th> <th rowspan="2">相場モード</th> <th colspan="3">評価部位</th> <th rowspan="2">中央値 RCF <math>\beta</math>, HCLPF (G)</th> <th rowspan="2">泊3号炉 RCF <math>\beta</math>, HCLPF (G)</th> </tr> <tr> <th>構造用床</th> <th>機械用床</th> <th>評価部位</th> </tr> </thead> <tbody> <tr> <td>電動補助給水ポンプ</td> <td>電動補助給水ポンプ空気吸込ファン 3NSF10A</td> <td>機械用床</td> <td>-</td> <td>-</td> <td>-</td> <td>0.13 2.65</td> <td>0.13 1.20</td> </tr> <tr> <td>電動補助給水ポンプ</td> <td>電動補助給水ポンプ空気吸込ダクト ト、手動ダンパ</td> <td>構造用床</td> <td>扇動機取付けボルト</td> <td>-</td> <td>-</td> <td>0.69 26.82</td> <td>0.69 17.46</td> </tr> <tr> <td>電動補助給水ポンプ</td> <td>電動補助給水ポンプ空気吸込ダクト ト、手動ダンパ</td> <td>構造用床</td> <td>ダクト本体</td> <td>-</td> <td>-</td> <td>2.62 0.31</td> <td>2.62 0.90</td> </tr> <tr> <td>電動補助給水ポンプ</td> <td>電動補助給水ポンプ空気吸込系 作動ダンバ</td> <td>機械用床</td> <td>ケーニング</td> <td>-</td> <td>-</td> <td>2.18 0.19</td> <td>2.18 1.30</td> </tr> <tr> <td>電動補助給水ポンプ</td> <td>電動補助給水ポンプ空気吸込系 作動ダンバ</td> <td>構造用床</td> <td>-</td> <td>-</td> <td>-</td> <td>-</td> <td>-</td> </tr> <tr> <td>電動補助給水ポンプ</td> <td>電動補助給水ポンプ空気吸込系 作動ダンバ</td> <td>機械用床</td> <td>-</td> <td>-</td> <td>-</td> <td>1.77 0.19</td> <td>1.77 0.93</td> </tr> <tr> <td>電動補助給水ポンプ</td> <td>電動補助給水ポンプ空気吸込系 作動ダンバ</td> <td>構造用床</td> <td>-</td> <td>-</td> <td>-</td> <td>-</td> <td>-</td> </tr> <tr> <td>電動補助給水ポンプ</td> <td>電動補助給水ポンプ空気吸込系 作動ダンバ</td> <td>構造用床</td> <td>扇動機</td> <td>-</td> <td>-</td> <td>1.45 0.19</td> <td>1.45 2.33</td> </tr> <tr> <td>電動補助給水ポンプ</td> <td>電動補助給水ポンプ空気吸込系 作動ダンバ</td> <td>構造用床</td> <td>-</td> <td>-</td> <td>-</td> <td>-</td> <td>-</td> </tr> </tbody> </table>	起因作象／影響範囲	機器名称	相場モード	評価部位			中央値 RCF $\beta$ , HCLPF (G)	泊3号炉 RCF $\beta$ , HCLPF (G)	構造用床	機械用床	評価部位	電動補助給水ポンプ	電動補助給水ポンプ空気吸込ファン 3NSF10A	機械用床	-	-	-	0.13 2.65	0.13 1.20	電動補助給水ポンプ	電動補助給水ポンプ空気吸込ダクト ト、手動ダンパ	構造用床	扇動機取付けボルト	-	-	0.69 26.82	0.69 17.46	電動補助給水ポンプ	電動補助給水ポンプ空気吸込ダクト ト、手動ダンパ	構造用床	ダクト本体	-	-	2.62 0.31	2.62 0.90	電動補助給水ポンプ	電動補助給水ポンプ空気吸込系 作動ダンバ	機械用床	ケーニング	-	-	2.18 0.19	2.18 1.30	電動補助給水ポンプ	電動補助給水ポンプ空気吸込系 作動ダンバ	構造用床	-	-	-	-	-	電動補助給水ポンプ	電動補助給水ポンプ空気吸込系 作動ダンバ	機械用床	-	-	-	1.77 0.19	1.77 0.93	電動補助給水ポンプ	電動補助給水ポンプ空気吸込系 作動ダンバ	構造用床	-	-	-	-	-	電動補助給水ポンプ	電動補助給水ポンプ空気吸込系 作動ダンバ	構造用床	扇動機	-	-	1.45 0.19	1.45 2.33	電動補助給水ポンプ	電動補助給水ポンプ空気吸込系 作動ダンバ	構造用床	-	-	-	-	-	<p>【女川】【大飯】</p> <ul style="list-style-type: none"> <li>■個別評価による相違</li> <li>・プラントにより地震PRAで考慮する建屋、屋外重要土木構造物及び機器が異なり、評価対象部位や参照する耐震評価結果も異なるため、フレジリティの評価結果も異なる</li> </ul>
起因作象／影響範囲	機器名称	相場モード				評価部位					中央値 RCF $\beta$ , HCLPF (G)	泊3号炉 RCF $\beta$ , HCLPF (G)																																																																										
			構造用床	機械用床	評価部位																																																																																	
電動補助給水ポンプ	電動補助給水ポンプ空気吸込ファン 3NSF10A	機械用床	-	-	-	0.13 2.65	0.13 1.20																																																																															
電動補助給水ポンプ	電動補助給水ポンプ空気吸込ダクト ト、手動ダンパ	構造用床	扇動機取付けボルト	-	-	0.69 26.82	0.69 17.46																																																																															
電動補助給水ポンプ	電動補助給水ポンプ空気吸込ダクト ト、手動ダンパ	構造用床	ダクト本体	-	-	2.62 0.31	2.62 0.90																																																																															
電動補助給水ポンプ	電動補助給水ポンプ空気吸込系 作動ダンバ	機械用床	ケーニング	-	-	2.18 0.19	2.18 1.30																																																																															
電動補助給水ポンプ	電動補助給水ポンプ空気吸込系 作動ダンバ	構造用床	-	-	-	-	-																																																																															
電動補助給水ポンプ	電動補助給水ポンプ空気吸込系 作動ダンバ	機械用床	-	-	-	1.77 0.19	1.77 0.93																																																																															
電動補助給水ポンプ	電動補助給水ポンプ空気吸込系 作動ダンバ	構造用床	-	-	-	-	-																																																																															
電動補助給水ポンプ	電動補助給水ポンプ空気吸込系 作動ダンバ	構造用床	扇動機	-	-	1.45 0.19	1.45 2.33																																																																															
電動補助給水ポンプ	電動補助給水ポンプ空気吸込系 作動ダンバ	構造用床	-	-	-	-	-																																																																															

## 泊発電所3号炉 有効性評価 比較表

赤字：設備、運用又は体制の相違（設計方針の相違）  
 青字：記載箇所又は記載内容の相違（記載方針の相違）  
 緑字：記載表現、設備名称の相違（実質的な相違なし）

第37条 付録1 事故シーケンスグループ及び重要事故シーケンス等の選定について

別添3. レベル1PRA 3.2 外部事象 3.2.1 地震PRA

大飯発電所3／4号炉	女川原子力発電所2号炉	泊発電所3号炉	相違理由																																												
		<table border="1"> <thead> <tr> <th colspan="4">第3.2.1.3-5表 地震PRA評価対象箇所・機器リスト(27/32)</th> </tr> <tr> <th>起因事象／影響経由箇所</th><th>機器名稱</th><th>操作モード</th><th>評価部位</th></tr> </thead> <tbody> <tr> <td>電動輔助給水ポンプ</td><td>電動輔助給水ポンプ</td><td>計 373-2671,2672</td><td>機能損傷 構造損傷</td></tr> <tr> <td>電動輔助給水ポンプ</td><td>電動輔助給水ポンプ</td><td>計 373-2671,2672</td><td>機能損傷 構造損傷</td></tr> <tr> <td>電動輔助給水ポンプ</td><td>電動輔助給水ポンプ</td><td>計 373-2671,2672</td><td>機能損傷 構造損傷</td></tr> <tr> <td>タービン動輪給水ポンプ</td><td>タービン動輪給水ポンプ</td><td>—</td><td>機能損傷 構造損傷</td></tr> <tr> <td>タービン動輪給水ポンプ</td><td>タービン動輪給水ポンプ</td><td>—</td><td>機能損傷 構造損傷</td></tr> <tr> <td>タービン動輪給水ポンプ</td><td>タービン動輪給水ポンプ</td><td>—</td><td>機能損傷 構造損傷</td></tr> <tr> <td>タービン動輪給水ポンプ</td><td>タービン動輪給水ポンプ</td><td>—</td><td>機能損傷 構造損傷</td></tr> <tr> <td>3-タービン動輪給水ポンプ</td><td>3-タービン動輪給水ポンプ</td><td>高気圧A, B電動ポンプ 582A, B</td><td>機能損傷 構造損傷</td></tr> <tr> <td></td><td></td><td></td><td> <p>【女川】【大飯】</p> <p>■個別評価による相違</p> <p>・プラントにより地震PRAで考慮する建屋、屋外重要土木構造物及び機器が異なり、評価対象部位や参照する耐震評価結果も異なるため、フランジリティの評価結果も異なる</p> </td></tr> </tbody> </table>	第3.2.1.3-5表 地震PRA評価対象箇所・機器リスト(27/32)				起因事象／影響経由箇所	機器名稱	操作モード	評価部位	電動輔助給水ポンプ	電動輔助給水ポンプ	計 373-2671,2672	機能損傷 構造損傷	電動輔助給水ポンプ	電動輔助給水ポンプ	計 373-2671,2672	機能損傷 構造損傷	電動輔助給水ポンプ	電動輔助給水ポンプ	計 373-2671,2672	機能損傷 構造損傷	タービン動輪給水ポンプ	タービン動輪給水ポンプ	—	機能損傷 構造損傷	3-タービン動輪給水ポンプ	3-タービン動輪給水ポンプ	高気圧A, B電動ポンプ 582A, B	機能損傷 構造損傷				<p>【女川】【大飯】</p> <p>■個別評価による相違</p> <p>・プラントにより地震PRAで考慮する建屋、屋外重要土木構造物及び機器が異なり、評価対象部位や参照する耐震評価結果も異なるため、フランジリティの評価結果も異なる</p>													
第3.2.1.3-5表 地震PRA評価対象箇所・機器リスト(27/32)																																															
起因事象／影響経由箇所	機器名稱	操作モード	評価部位																																												
電動輔助給水ポンプ	電動輔助給水ポンプ	計 373-2671,2672	機能損傷 構造損傷																																												
電動輔助給水ポンプ	電動輔助給水ポンプ	計 373-2671,2672	機能損傷 構造損傷																																												
電動輔助給水ポンプ	電動輔助給水ポンプ	計 373-2671,2672	機能損傷 構造損傷																																												
タービン動輪給水ポンプ	タービン動輪給水ポンプ	—	機能損傷 構造損傷																																												
タービン動輪給水ポンプ	タービン動輪給水ポンプ	—	機能損傷 構造損傷																																												
タービン動輪給水ポンプ	タービン動輪給水ポンプ	—	機能損傷 構造損傷																																												
タービン動輪給水ポンプ	タービン動輪給水ポンプ	—	機能損傷 構造損傷																																												
3-タービン動輪給水ポンプ	3-タービン動輪給水ポンプ	高気圧A, B電動ポンプ 582A, B	機能損傷 構造損傷																																												
			<p>【女川】【大飯】</p> <p>■個別評価による相違</p> <p>・プラントにより地震PRAで考慮する建屋、屋外重要土木構造物及び機器が異なり、評価対象部位や参照する耐震評価結果も異なるため、フランジリティの評価結果も異なる</p>																																												

## 泊発電所3号炉 有効性評価 比較表

赤字：設備、運用又は体制の相違（設計方針の相違）  
 青字：記載箇所又は記載内容の相違（記載方針の相違）  
 緑字：記載表現、設備名称の相違（実質的な相違なし）

第37条 付録1 事故シーケンスグループ及び重要事故シーケンス等の選定について

別添3. レベル1PRA 3.2 外部事象 3.2.1 地震PRA

大飯発電所3／4号炉	女川原子力発電所2号炉	泊発電所3号炉	相違理由																																												
		<table border="1"> <caption>第3.2.1.a-5表 地震PRA評価対象建屋・機器リスト (28/32)</caption> <thead> <tr> <th>起因事象／影響範囲機能</th><th>機器名</th><th>相違モード</th><th>評価部位</th><th>直3号炉</th></tr> </thead> <tbody> <tr> <td>タービン動輪助給水ポンプ</td><td>タービン動輪助給水ポンプ/駆動蒸気逆止弁(逆止弁35-N85-576A,B)</td><td>機能相違</td><td>構造相違</td><td>中央値 (G) <math>\beta_1</math>, <math>\beta_2</math>, BLMPF (G) 0.27 0.26 -</td></tr> <tr> <td>タービン動輪助給水ポンプ</td><td>タービン動輪助給水ポンプ/駆動用タービン</td><td>機能相違</td><td>構造相違</td><td>0.27 -</td></tr> <tr> <td>主蒸気駆動</td><td>3 A, B, C – 上蒸気駆動ポンプ駆動用タービン弁を含む(35-N85-576A,B,C)</td><td>機能相違</td><td>構造相違</td><td>1.58 0.13 0.19 0.27 0.26 0.14 0.23 -</td></tr> <tr> <td>主蒸気駆動</td><td>主蒸気ライン圧力計</td><td>機能相違</td><td>構造相違</td><td>0.95 0.99 0.92 -</td></tr> <tr> <td>主蒸気駆動</td><td>主蒸気駆動</td><td>構造相違</td><td>構造相違</td><td>-</td></tr> <tr> <td>高圧注入系</td><td>高圧タンク</td><td>構造相違</td><td>基礎ボルト</td><td>3.30 0.21 4.77 0.19 0.31 1.61</td></tr> <tr> <td>高圧注入系</td><td>高圧タンク注入配管</td><td>構造相違</td><td>配管本体</td><td>0.35 2.39 0.13 0.19</td></tr> <tr> <td>空調用冷水設備</td><td>空調用冷水設備</td><td>機能相違</td><td>-</td><td>1.43</td></tr> </tbody> </table> <p>【女川】【大飯】      ■個別評価による相違      •プラントにより地震PRAで考慮する建屋、屋外重要土木構造物及び機器が異なり、評価対象部位や参照する耐震評価結果も異なるため、フランジリティの評価結果も異なる</p>	起因事象／影響範囲機能	機器名	相違モード	評価部位	直3号炉	タービン動輪助給水ポンプ	タービン動輪助給水ポンプ/駆動蒸気逆止弁(逆止弁35-N85-576A,B)	機能相違	構造相違	中央値 (G) $\beta_1$ , $\beta_2$ , BLMPF (G) 0.27 0.26 -	タービン動輪助給水ポンプ	タービン動輪助給水ポンプ/駆動用タービン	機能相違	構造相違	0.27 -	主蒸気駆動	3 A, B, C – 上蒸気駆動ポンプ駆動用タービン弁を含む(35-N85-576A,B,C)	機能相違	構造相違	1.58 0.13 0.19 0.27 0.26 0.14 0.23 -	主蒸気駆動	主蒸気ライン圧力計	機能相違	構造相違	0.95 0.99 0.92 -	主蒸気駆動	主蒸気駆動	構造相違	構造相違	-	高圧注入系	高圧タンク	構造相違	基礎ボルト	3.30 0.21 4.77 0.19 0.31 1.61	高圧注入系	高圧タンク注入配管	構造相違	配管本体	0.35 2.39 0.13 0.19	空調用冷水設備	空調用冷水設備	機能相違	-	1.43
起因事象／影響範囲機能	機器名	相違モード	評価部位	直3号炉																																											
タービン動輪助給水ポンプ	タービン動輪助給水ポンプ/駆動蒸気逆止弁(逆止弁35-N85-576A,B)	機能相違	構造相違	中央値 (G) $\beta_1$ , $\beta_2$ , BLMPF (G) 0.27 0.26 -																																											
タービン動輪助給水ポンプ	タービン動輪助給水ポンプ/駆動用タービン	機能相違	構造相違	0.27 -																																											
主蒸気駆動	3 A, B, C – 上蒸気駆動ポンプ駆動用タービン弁を含む(35-N85-576A,B,C)	機能相違	構造相違	1.58 0.13 0.19 0.27 0.26 0.14 0.23 -																																											
主蒸気駆動	主蒸気ライン圧力計	機能相違	構造相違	0.95 0.99 0.92 -																																											
主蒸気駆動	主蒸気駆動	構造相違	構造相違	-																																											
高圧注入系	高圧タンク	構造相違	基礎ボルト	3.30 0.21 4.77 0.19 0.31 1.61																																											
高圧注入系	高圧タンク注入配管	構造相違	配管本体	0.35 2.39 0.13 0.19																																											
空調用冷水設備	空調用冷水設備	機能相違	-	1.43																																											

## 泊発電所3号炉 有効性評価 比較表

赤字：設備、運用又は体制の相違（設計方針の相違）  
 青字：記載箇所又は記載内容の相違（記載方針の相違）  
 緑字：記載表現、設備名称の相違（実質的な相違なし）

第37条 付録1 事故シーケンスグループ及び重要事故シーケンス等の選定について

別添3. レベル1PRA 3.2 外部事象 3.2.1 地震PRA

大飯発電所3／4号炉	女川原子力発電所2号炉	泊発電所3号炉	相違理由																																																																																												
		<table border="1"> <caption>38.3.2.1.4-5表 地震PRA評価対象部位・機器リスト (29/32)</caption> <thead> <tr> <th rowspan="2">起因事象/ 影響箇所/機能</th> <th rowspan="2">機器名稱</th> <th rowspan="2">機器モード</th> <th colspan="2">泊3号炉</th> </tr> <tr> <th>評価指標</th> <th>評価指標 HE/FP (G)</th> </tr> </thead> <tbody> <tr> <td>空調用冷水設備</td> <td>機器相違</td> <td>給水方向評価</td> <td>2.76</td> <td>1.49</td> </tr> <tr> <td>空調用冷水設備</td> <td>構造相違</td> <td>直付ボルト</td> <td>0.11</td> <td>0.23</td> </tr> <tr> <td>空調用冷水設備</td> <td>機器相違</td> <td>-</td> <td>1.65</td> <td>7.38</td> </tr> <tr> <td>空調用冷水ポンプ</td> <td>構造相違</td> <td>-</td> <td>0.17</td> <td>1.70</td> </tr> <tr> <td>空調用冷水設備</td> <td>機器相違</td> <td>-</td> <td>0.13</td> <td>1.02</td> </tr> <tr> <td>空調用冷水設備</td> <td>構造相違</td> <td>ボンブ栓仕掛け</td> <td>0.49</td> <td>24.10</td> </tr> <tr> <td>空調用冷水設備</td> <td>構造相違</td> <td>基礎ボルト</td> <td>2.39</td> <td>0.17</td> </tr> <tr> <td>中央新鮮空気ユニット(冷却コイルを含む) 3S3A1A,B</td> <td>構造相違</td> <td>基礎取付けボルト</td> <td>0.17</td> <td>1.67</td> </tr> <tr> <td>空調用冷水設備</td> <td>機器相違</td> <td>-</td> <td>1.24</td> <td>2.91</td> </tr> <tr> <td>空調用冷水設備</td> <td>液封装置</td> <td>-</td> <td>0.69</td> <td>-</td> </tr> <tr> <td>空調用冷水設備</td> <td>構造相違</td> <td>-</td> <td>0.17</td> <td>2.79</td> </tr> <tr> <td>空調用冷水設備</td> <td>機器相違</td> <td>-</td> <td>0.27</td> <td>1.16</td> </tr> <tr> <td>空調用冷水設備</td> <td>構造相違</td> <td>-</td> <td>0.26</td> <td>-</td> </tr> <tr> <td>空調用冷水設備</td> <td>機器相違</td> <td>-</td> <td>2.79</td> <td>1.16</td> </tr> <tr> <td>空調用冷水設備</td> <td>構造相違</td> <td>-</td> <td>0.27</td> <td>-</td> </tr> <tr> <td>空調用冷水設備</td> <td>機器相違</td> <td>-</td> <td>0.26</td> <td>-</td> </tr> <tr> <td>空調用冷水設備</td> <td>構造相違</td> <td>-</td> <td>-</td> <td>-</td> </tr> </tbody> </table> <p>【女川】【大飯】      ■個別評価による相違      •プラントにより地震PRAで考慮する建屋、屋外重要土木構造物及び機器が異なり、評価対象部位や参照する耐震評価結果も異なるため、フレジリティの評価結果も異なる</p>	起因事象/ 影響箇所/機能	機器名稱	機器モード	泊3号炉		評価指標	評価指標 HE/FP (G)	空調用冷水設備	機器相違	給水方向評価	2.76	1.49	空調用冷水設備	構造相違	直付ボルト	0.11	0.23	空調用冷水設備	機器相違	-	1.65	7.38	空調用冷水ポンプ	構造相違	-	0.17	1.70	空調用冷水設備	機器相違	-	0.13	1.02	空調用冷水設備	構造相違	ボンブ栓仕掛け	0.49	24.10	空調用冷水設備	構造相違	基礎ボルト	2.39	0.17	中央新鮮空気ユニット(冷却コイルを含む) 3S3A1A,B	構造相違	基礎取付けボルト	0.17	1.67	空調用冷水設備	機器相違	-	1.24	2.91	空調用冷水設備	液封装置	-	0.69	-	空調用冷水設備	構造相違	-	0.17	2.79	空調用冷水設備	機器相違	-	0.27	1.16	空調用冷水設備	構造相違	-	0.26	-	空調用冷水設備	機器相違	-	2.79	1.16	空調用冷水設備	構造相違	-	0.27	-	空調用冷水設備	機器相違	-	0.26	-	空調用冷水設備	構造相違	-	-	-	
起因事象/ 影響箇所/機能	機器名稱	機器モード				泊3号炉																																																																																									
			評価指標	評価指標 HE/FP (G)																																																																																											
空調用冷水設備	機器相違	給水方向評価	2.76	1.49																																																																																											
空調用冷水設備	構造相違	直付ボルト	0.11	0.23																																																																																											
空調用冷水設備	機器相違	-	1.65	7.38																																																																																											
空調用冷水ポンプ	構造相違	-	0.17	1.70																																																																																											
空調用冷水設備	機器相違	-	0.13	1.02																																																																																											
空調用冷水設備	構造相違	ボンブ栓仕掛け	0.49	24.10																																																																																											
空調用冷水設備	構造相違	基礎ボルト	2.39	0.17																																																																																											
中央新鮮空気ユニット(冷却コイルを含む) 3S3A1A,B	構造相違	基礎取付けボルト	0.17	1.67																																																																																											
空調用冷水設備	機器相違	-	1.24	2.91																																																																																											
空調用冷水設備	液封装置	-	0.69	-																																																																																											
空調用冷水設備	構造相違	-	0.17	2.79																																																																																											
空調用冷水設備	機器相違	-	0.27	1.16																																																																																											
空調用冷水設備	構造相違	-	0.26	-																																																																																											
空調用冷水設備	機器相違	-	2.79	1.16																																																																																											
空調用冷水設備	構造相違	-	0.27	-																																																																																											
空調用冷水設備	機器相違	-	0.26	-																																																																																											
空調用冷水設備	構造相違	-	-	-																																																																																											

## 泊発電所3号炉 有効性評価 比較表

第37条 付録1 事故シーケンスグループ及び重要事故シーケンス等の選定について  
別添3. レベル1PRA 3.2 外部事象 3.2.1 地震PRA

赤字：設備、運用又は体制の相違（設計方針の相違）  
青字：記載箇所又は記載内容の相違（記載方針の相違）  
緑字：記載表現、設備名称の相違（実質的な相違なし）

大飯発電所3／4号炉	女川原子力発電所2号炉	泊発電所3号炉	相違理由																																																																																																																																										
		<table border="1"> <caption>第3.2.1.a-5表 地震PRA評価対象部位・機器リスト (30/32)</caption> <thead> <tr> <th>起因事象／影響箇所と機器</th><th>機器名</th><th>組成部品</th><th>評価部位</th><th>中央値 (G)</th><th>WLTF (G)</th></tr> </thead> <tbody> <tr> <td>空調用冷水設備</td><td>機械組成</td><td>-</td><td>-</td><td>2.79</td><td>2.79</td></tr> <tr> <td>空調用冷水設備</td><td>空調用冷水設備 送り水</td><td>機械組成</td><td>-</td><td>0.27</td><td>1.16</td></tr> <tr> <td>空調用冷水設備</td><td>空調用冷水設備 (手動弁含む)</td><td>機械組成</td><td>-</td><td>0.26</td><td>-</td></tr> <tr> <td>空調用冷水設備</td><td>空調用冷水管 (手動弁含む)</td><td>機械組成</td><td>-</td><td>-</td><td>-</td></tr> <tr> <td>空調用冷水設備</td><td>安全機能冷却用ユニット (給用コイルを含む) 351518A.B</td><td>機械組成</td><td>配管本体</td><td>5.71</td><td>1.82</td></tr> <tr> <td>空調用冷水設備</td><td>安全機能用開閉器(放気ユニット 351505A.(放泄コイルを含む))</td><td>機械組成</td><td>基礎(取付け)ボルト</td><td>0.91</td><td>0.91</td></tr> <tr> <td>空調用冷水設備</td><td>安全機能用開閉器(放気ユニット 351527A)</td><td>機械組成</td><td>基礎(取付け)ボルト</td><td>11.58</td><td>11.58</td></tr> <tr> <td>空調用冷水設備</td><td>安全機能用開閉器(放気ユニット 351503A.B)</td><td>機械組成</td><td>基礎(取付け)ボルト</td><td>2.56</td><td>2.56</td></tr> <tr> <td>空調用冷水設備</td><td>安全機能用開閉器(放気ユニット 351507A)</td><td>機械組成</td><td>基礎(取付け)ボルト</td><td>0.69</td><td>1.71</td></tr> <tr> <td>安全機能用開閉器(放気ユニット 351527A)</td><td>ケーシング</td><td>-</td><td>-</td><td>2.77</td><td>-</td></tr> <tr> <td>安全機能用開閉器(放気ユニット 351503A.B)</td><td>機械組成</td><td>-</td><td>-</td><td>0.25</td><td>1.13</td></tr> <tr> <td>安全機能用開閉器(放気ユニット 351507A)</td><td>機械組成</td><td>基礎(取付け)ボルト</td><td>0.29</td><td>2.52</td><td>2.52</td></tr> <tr> <td>安全機能用開閉器(放気ユニット 351503A.B)</td><td>機械組成</td><td>基礎(取付け)ボルト</td><td>0.19</td><td>0.19</td><td>0.19</td></tr> <tr> <td>安全機能用開閉器(放気ユニット 351507A)</td><td>機械組成</td><td>基礎(取付け)ボルト</td><td>0.25</td><td>7.17</td><td>7.17</td></tr> <tr> <td>安全機能用開閉器(放気ユニット 351507A)</td><td>蒸気コイル</td><td>-</td><td>-</td><td>0.09</td><td>4.81</td><td>4.81</td></tr> <tr> <td>安全機能用開閉器(放気ユニット 351507A)</td><td>機械組成</td><td>-</td><td>-</td><td>0.17</td><td>-</td><td>-</td></tr> <tr> <td>安全機能用開閉器(放気ユニット 351507A)</td><td>蒸気コイル</td><td>-</td><td>-</td><td>8.55</td><td>-</td><td>-</td></tr> <tr> <td>安全機能用開閉器(放気ユニット 351507A)</td><td>機械組成</td><td>-</td><td>-</td><td>0.09</td><td>5.73</td><td>5.73</td></tr> <tr> <td>安全機能用開閉器(放気ユニット 351507A)</td><td>ケーシング</td><td>-</td><td>-</td><td>4.25</td><td>4.25</td><td>4.25</td></tr> <tr> <td>安全機能用開閉器(放気ユニット 351507A)</td><td>機械組成</td><td>基礎(取付け)ボルト</td><td>0.19</td><td>2.27</td><td>2.27</td><td>2.27</td></tr> <tr> <td>安全機能用開閉器(放気ユニット 351507A)</td><td>-</td><td>-</td><td>-</td><td>0.20</td><td>-</td><td>-</td></tr> </tbody> </table> <p>【女川】【大飯】    ■個別評価による相違    •プラントにより地震PRAで考慮する建屋、屋外重要土木構造物及び機器が異なり、評価対象部位や参照する耐震評価結果も異なるため、フランジリティの評価結果も異なる</p>	起因事象／影響箇所と機器	機器名	組成部品	評価部位	中央値 (G)	WLTF (G)	空調用冷水設備	機械組成	-	-	2.79	2.79	空調用冷水設備	空調用冷水設備 送り水	機械組成	-	0.27	1.16	空調用冷水設備	空調用冷水設備 (手動弁含む)	機械組成	-	0.26	-	空調用冷水設備	空調用冷水管 (手動弁含む)	機械組成	-	-	-	空調用冷水設備	安全機能冷却用ユニット (給用コイルを含む) 351518A.B	機械組成	配管本体	5.71	1.82	空調用冷水設備	安全機能用開閉器(放気ユニット 351505A.(放泄コイルを含む))	機械組成	基礎(取付け)ボルト	0.91	0.91	空調用冷水設備	安全機能用開閉器(放気ユニット 351527A)	機械組成	基礎(取付け)ボルト	11.58	11.58	空調用冷水設備	安全機能用開閉器(放気ユニット 351503A.B)	機械組成	基礎(取付け)ボルト	2.56	2.56	空調用冷水設備	安全機能用開閉器(放気ユニット 351507A)	機械組成	基礎(取付け)ボルト	0.69	1.71	安全機能用開閉器(放気ユニット 351527A)	ケーシング	-	-	2.77	-	安全機能用開閉器(放気ユニット 351503A.B)	機械組成	-	-	0.25	1.13	安全機能用開閉器(放気ユニット 351507A)	機械組成	基礎(取付け)ボルト	0.29	2.52	2.52	安全機能用開閉器(放気ユニット 351503A.B)	機械組成	基礎(取付け)ボルト	0.19	0.19	0.19	安全機能用開閉器(放気ユニット 351507A)	機械組成	基礎(取付け)ボルト	0.25	7.17	7.17	安全機能用開閉器(放気ユニット 351507A)	蒸気コイル	-	-	0.09	4.81	4.81	安全機能用開閉器(放気ユニット 351507A)	機械組成	-	-	0.17	-	-	安全機能用開閉器(放気ユニット 351507A)	蒸気コイル	-	-	8.55	-	-	安全機能用開閉器(放気ユニット 351507A)	機械組成	-	-	0.09	5.73	5.73	安全機能用開閉器(放気ユニット 351507A)	ケーシング	-	-	4.25	4.25	4.25	安全機能用開閉器(放気ユニット 351507A)	機械組成	基礎(取付け)ボルト	0.19	2.27	2.27	2.27	安全機能用開閉器(放気ユニット 351507A)	-	-	-	0.20	-	-
起因事象／影響箇所と機器	機器名	組成部品	評価部位	中央値 (G)	WLTF (G)																																																																																																																																								
空調用冷水設備	機械組成	-	-	2.79	2.79																																																																																																																																								
空調用冷水設備	空調用冷水設備 送り水	機械組成	-	0.27	1.16																																																																																																																																								
空調用冷水設備	空調用冷水設備 (手動弁含む)	機械組成	-	0.26	-																																																																																																																																								
空調用冷水設備	空調用冷水管 (手動弁含む)	機械組成	-	-	-																																																																																																																																								
空調用冷水設備	安全機能冷却用ユニット (給用コイルを含む) 351518A.B	機械組成	配管本体	5.71	1.82																																																																																																																																								
空調用冷水設備	安全機能用開閉器(放気ユニット 351505A.(放泄コイルを含む))	機械組成	基礎(取付け)ボルト	0.91	0.91																																																																																																																																								
空調用冷水設備	安全機能用開閉器(放気ユニット 351527A)	機械組成	基礎(取付け)ボルト	11.58	11.58																																																																																																																																								
空調用冷水設備	安全機能用開閉器(放気ユニット 351503A.B)	機械組成	基礎(取付け)ボルト	2.56	2.56																																																																																																																																								
空調用冷水設備	安全機能用開閉器(放気ユニット 351507A)	機械組成	基礎(取付け)ボルト	0.69	1.71																																																																																																																																								
安全機能用開閉器(放気ユニット 351527A)	ケーシング	-	-	2.77	-																																																																																																																																								
安全機能用開閉器(放気ユニット 351503A.B)	機械組成	-	-	0.25	1.13																																																																																																																																								
安全機能用開閉器(放気ユニット 351507A)	機械組成	基礎(取付け)ボルト	0.29	2.52	2.52																																																																																																																																								
安全機能用開閉器(放気ユニット 351503A.B)	機械組成	基礎(取付け)ボルト	0.19	0.19	0.19																																																																																																																																								
安全機能用開閉器(放気ユニット 351507A)	機械組成	基礎(取付け)ボルト	0.25	7.17	7.17																																																																																																																																								
安全機能用開閉器(放気ユニット 351507A)	蒸気コイル	-	-	0.09	4.81	4.81																																																																																																																																							
安全機能用開閉器(放気ユニット 351507A)	機械組成	-	-	0.17	-	-																																																																																																																																							
安全機能用開閉器(放気ユニット 351507A)	蒸気コイル	-	-	8.55	-	-																																																																																																																																							
安全機能用開閉器(放気ユニット 351507A)	機械組成	-	-	0.09	5.73	5.73																																																																																																																																							
安全機能用開閉器(放気ユニット 351507A)	ケーシング	-	-	4.25	4.25	4.25																																																																																																																																							
安全機能用開閉器(放気ユニット 351507A)	機械組成	基礎(取付け)ボルト	0.19	2.27	2.27	2.27																																																																																																																																							
安全機能用開閉器(放気ユニット 351507A)	-	-	-	0.20	-	-																																																																																																																																							

## 泊発電所3号炉 有効性評価 比較表

赤字：設備、運用又は体制の相違（設計方針の相違）  
 青字：記載箇所又は記載内容の相違（記載方針の相違）  
 緑字：記載表現、設備名称の相違（実質的な相違なし）

第37条 付録1 事故シーケンスグループ及び重要事故シーケンス等の選定について

別添3. レベル1PRA 3.2 外部事象 3.2.1 地震PRA

大飯発電所3／4号炉	女川原子力発電所2号炉	泊発電所3号炉	相違理由																																																															
		<table border="1"> <caption>第3.2.1.2.7表 第37条付録1 有効性評価対象部位・機器リスト(31/32)</caption> <thead> <tr> <th rowspan="2">起因事象／影響範囲箇所</th> <th rowspan="2">機器名</th> <th rowspan="2">機器モード</th> <th colspan="3">泊3号炉</th> </tr> <tr> <th>評価部位</th> <th>中央値(G)</th> <th>RCPF(G)</th> </tr> </thead> <tbody> <tr> <td>安全機能開閉器室空調系 計算機室蒸気加熱コイル 3VH9</td> <td>構造損傷</td> <td>蒸気コイル</td> <td>7.01 0.19</td> <td>3.74 0.39</td> </tr> <tr> <td>SWR 室空調系ダクト(手動ダンバ合流) 3VH10</td> <td>構造損傷</td> <td>ダクト本体</td> <td>- 0.31</td> <td>0.90 0.35</td> </tr> <tr> <td>1次系補機操作室蒸気加熱コイル 3VH8S</td> <td>構造損傷</td> <td>蒸気コイル</td> <td>0.69 0.17</td> <td>5.96 6.88</td> </tr> <tr> <td>2次系計装室蒸気加熱コイル 3VH15</td> <td>構造損傷</td> <td>蒸気コイル</td> <td>0.19 0.21</td> <td>3.51 1.77</td> </tr> <tr> <td>安全機能開閉器室空調系 3VH14</td> <td>構造損傷</td> <td>ベーン</td> <td>0.19 0.20</td> <td>0.89 -</td> </tr> <tr> <td>安全機能開閉器室空調系 3VH13</td> <td>構造損傷</td> <td>-</td> <td>-</td> <td>-</td> </tr> <tr> <td>安全機能開閉器室空調系 3VH12</td> <td>構造損傷</td> <td>-</td> <td>-</td> <td>-</td> </tr> <tr> <td>安全機能開閉器室空調系 3VH11, B</td> <td>構造損傷</td> <td>駆動部</td> <td>0.19 0.25</td> <td>2.33 0.25</td> </tr> <tr> <td>安全機能開閉器室空調系 3VH10, B</td> <td>構造損傷</td> <td>-</td> <td>-</td> <td>-</td> </tr> <tr> <td>安全機能開閉器室空調系 3VH9, B</td> <td>構造損傷</td> <td>-</td> <td>2.79 0.27</td> <td>1.16 0.25</td> </tr> <tr> <td>安全機能開閉器室空調系 3VH8, B</td> <td>構造損傷</td> <td>-</td> <td>-</td> <td>-</td> </tr> </tbody> </table> <p>■【女川】【大飯】      ■個別評価による相違      • プラントにより地震PRAで考慮する建屋、屋外重要土木構造物及び機器が異なり、評価対象部位や参照する耐震評価結果も異なるため、フランジリティの評価結果も異なる</p>	起因事象／影響範囲箇所	機器名	機器モード	泊3号炉			評価部位	中央値(G)	RCPF(G)	安全機能開閉器室空調系 計算機室蒸気加熱コイル 3VH9	構造損傷	蒸気コイル	7.01 0.19	3.74 0.39	SWR 室空調系ダクト(手動ダンバ合流) 3VH10	構造損傷	ダクト本体	- 0.31	0.90 0.35	1次系補機操作室蒸気加熱コイル 3VH8S	構造損傷	蒸気コイル	0.69 0.17	5.96 6.88	2次系計装室蒸気加熱コイル 3VH15	構造損傷	蒸気コイル	0.19 0.21	3.51 1.77	安全機能開閉器室空調系 3VH14	構造損傷	ベーン	0.19 0.20	0.89 -	安全機能開閉器室空調系 3VH13	構造損傷	-	-	-	安全機能開閉器室空調系 3VH12	構造損傷	-	-	-	安全機能開閉器室空調系 3VH11, B	構造損傷	駆動部	0.19 0.25	2.33 0.25	安全機能開閉器室空調系 3VH10, B	構造損傷	-	-	-	安全機能開閉器室空調系 3VH9, B	構造損傷	-	2.79 0.27	1.16 0.25	安全機能開閉器室空調系 3VH8, B	構造損傷	-	-	-
起因事象／影響範囲箇所	機器名	機器モード				泊3号炉																																																												
			評価部位	中央値(G)	RCPF(G)																																																													
安全機能開閉器室空調系 計算機室蒸気加熱コイル 3VH9	構造損傷	蒸気コイル	7.01 0.19	3.74 0.39																																																														
SWR 室空調系ダクト(手動ダンバ合流) 3VH10	構造損傷	ダクト本体	- 0.31	0.90 0.35																																																														
1次系補機操作室蒸気加熱コイル 3VH8S	構造損傷	蒸気コイル	0.69 0.17	5.96 6.88																																																														
2次系計装室蒸気加熱コイル 3VH15	構造損傷	蒸気コイル	0.19 0.21	3.51 1.77																																																														
安全機能開閉器室空調系 3VH14	構造損傷	ベーン	0.19 0.20	0.89 -																																																														
安全機能開閉器室空調系 3VH13	構造損傷	-	-	-																																																														
安全機能開閉器室空調系 3VH12	構造損傷	-	-	-																																																														
安全機能開閉器室空調系 3VH11, B	構造損傷	駆動部	0.19 0.25	2.33 0.25																																																														
安全機能開閉器室空調系 3VH10, B	構造損傷	-	-	-																																																														
安全機能開閉器室空調系 3VH9, B	構造損傷	-	2.79 0.27	1.16 0.25																																																														
安全機能開閉器室空調系 3VH8, B	構造損傷	-	-	-																																																														

## 泊発電所3号炉 有効性評価 比較表

赤字：設備、運用又は体制の相違（設計方針の相違）  
 青字：記載箇所又は記載内容の相違（記載方針の相違）  
 緑字：記載表現、設備名称の相違（実質的な相違なし）

第37条 付録1 事故シーケンスグループ及び重要事故シーケンス等の選定について

別添 3. レベル1PRA 3.2 外部事象 3.2.1 地震 PRA

大飯発電所3／4号炉	女川原子力発電所2号炉	泊発電所3号炉	相違理由																																																			
		<table border="1"> <caption>第3.2.1.a-5表 地震PRA評価対象建屋・機器リスト(32/32)</caption> <thead> <tr> <th rowspan="2">起因事象／影響範囲箇所</th> <th rowspan="2">機器名称</th> <th rowspan="2">制御モード</th> <th rowspan="2">評価部位</th> <th colspan="3">泊3号炉</th> </tr> <tr> <th>中央値(G)</th> <th>KLPP(G)</th> <th>KLPP(G)</th> </tr> </thead> <tbody> <tr> <td>安全補機開閉器室空調系</td> <td>安全系計装盤室内空気温度計 313-2790</td> <td>機能相違</td> <td>-</td> <td>3.88</td> <td>0.14</td> <td>2.10</td> </tr> <tr> <td>安全補機開閉器室空調系</td> <td>主蒸気安全弁(安全弁3V-MS-321A, B, C～525A, B, C) 313-2790</td> <td>構造相違</td> <td>-</td> <td>-</td> <td>-</td> <td>-</td> </tr> <tr> <td>換気空調系</td> <td>主蒸気安全弁(安全弁3V-MS-321A, B, C～525A, B, C) 313-2790</td> <td>機能相違</td> <td>-</td> <td>2.26</td> <td>0.27</td> <td>0.89</td> </tr> <tr> <td>換気空調系</td> <td>換気空調系集中電場盤 033, Q41</td> <td>構造相違</td> <td>取付ボルト</td> <td>10.16</td> <td>0.11</td> <td>5.58</td> </tr> <tr> <td></td> <td></td> <td></td> <td></td> <td>0.09</td> <td>0.23</td> <td>13.94</td> </tr> <tr> <td></td> <td></td> <td></td> <td></td> <td>0.17</td> <td>0.17</td> <td>9.31</td> </tr> </tbody> </table> <p>【女川】【大飯】      ■個別評価による相違      •プラントにより地震PRAで考慮する建屋、屋外重要土木構造物及び機器が異なり、評価対象部位や参照する耐震評価結果も異なるため、フレジリティの評価結果も異なる</p>	起因事象／影響範囲箇所	機器名称	制御モード	評価部位	泊3号炉			中央値(G)	KLPP(G)	KLPP(G)	安全補機開閉器室空調系	安全系計装盤室内空気温度計 313-2790	機能相違	-	3.88	0.14	2.10	安全補機開閉器室空調系	主蒸気安全弁(安全弁3V-MS-321A, B, C～525A, B, C) 313-2790	構造相違	-	-	-	-	換気空調系	主蒸気安全弁(安全弁3V-MS-321A, B, C～525A, B, C) 313-2790	機能相違	-	2.26	0.27	0.89	換気空調系	換気空調系集中電場盤 033, Q41	構造相違	取付ボルト	10.16	0.11	5.58					0.09	0.23	13.94					0.17	0.17	9.31
起因事象／影響範囲箇所	機器名称	制御モード					評価部位	泊3号炉																																														
			中央値(G)	KLPP(G)	KLPP(G)																																																	
安全補機開閉器室空調系	安全系計装盤室内空気温度計 313-2790	機能相違	-	3.88	0.14	2.10																																																
安全補機開閉器室空調系	主蒸気安全弁(安全弁3V-MS-321A, B, C～525A, B, C) 313-2790	構造相違	-	-	-	-																																																
換気空調系	主蒸気安全弁(安全弁3V-MS-321A, B, C～525A, B, C) 313-2790	機能相違	-	2.26	0.27	0.89																																																
換気空調系	換気空調系集中電場盤 033, Q41	構造相違	取付ボルト	10.16	0.11	5.58																																																
				0.09	0.23	13.94																																																
				0.17	0.17	9.31																																																

泊発電所3号炉 有効性評価 比較表

第37条 付録1 事故シーケンスグループ及び重要事故シーケンス等の選定について

別添3. レベル1PRA 3.2 外部事象 3.2.1 地震PRA

赤字：設備、運用又は体制の相違（設計方針の相違）  
青字：記載箇所又は記載内容の相違（記載方針の相違）  
緑字：記載表現、設備名称の相違（実質的な相違なし）

大飯発電所3／4号炉

女川原子力発電所2号炉

泊発電所3号炉

相違理由

第1.2.1.b-1表 主要な活断層（FO-A～FO-B断層）の震源モデルの諸元(1/2)

	断層長 (km)	上端深さ (km)	下端深さ (km)	傾斜角 (°)	M <sub>W</sub> 松田式	断層面積に よる評価	等価震源距離 Xeq(km)	年発生頻度
FO-A～	35	3～5	18	90	7.4	7.1～7.5	7.6E+04 [位置に 応じた値]	8.99E-05
FO-B断層								1.31E-4
FO-A断層	24	3～5	18	90	7.1	6.9～7.0	7.6E+04 [位置に 応じた値]	2.86E-04
FO-B断層	13	4	18	90	6.6	6.4	29.4	

※ FO-A断層单独の場合のみ、FO-A～FO-B断層を上記の諸元で考慮する。

第1.2.1.b-1表 主要な活断層（FO-A～FO-B断層以外の断層）の震源モデルの諸元(2/2)

	断層長 (km)	M <sub>W</sub> 松田式	地盤規模	等価震源距離 Xeq(km)	年発生頻度
1 熊野断層	23 <sup>b</sup>	7.1	6.8	20.4	1.37E-04
2 上林川断層	38.5	7.5	7.3	37.3	8.07E-05
3 三万断層	27	7.2	7.1	31.3	1.17E-04
4 大熊断層～B～野坂断層	49	7.7	6.8	35.3	6.62E-05
5 花折断層	58	7.8	7.6	43.1	5.43E-05

※地盤規模評価上の長さ

第3.2.1.b-1表 プレート間地震の特定震源モデルの諸元					
検討地震	Noda et al. (2002)	断層モデル手法		平均発生間隔 (年)	備考
		地震規模	等価震源距離 Xeq(km)		
東北地方 太平洋沖型地震	M8.1	76.3	Mw9.0	500×200	600 更新過程
宮城県沖地震	M7.4	61.8	—	—	38 プアソン過程

No	断層名	M <sup>a</sup>	等価震源距離 Xeq (km)	平均活動間隔 (年)
1	F-2断層・F-4断層	7.2	24	44,000
2	F-5断層	6.7	23	20,000
3	F-6断層～F-9断層	7.2	19	37,000
4	F-12断層～F-14断層 <sup>b</sup>	7.1	32	38,000
5	f-13断層	6.7	17	20,000
6	f-14断層	6.7	23	20,000
7	f-15断層	6.7	24	20,000
8	F-15断層・F-16断層 <sup>c</sup>	7.5	39	61,000
9	網地島南西沖で1測線のみで 認められる断層	6.7	27	20,000
10	III断層	7.5	86	65,000
11	IV断層	7.6	82	68,000
12	V断層	7.3	91	49,000
13	加護坊山～竜岳山断層 <sup>d</sup>	6.9	36	27,000
14	旭山接曲・須江断層 <sup>d</sup>	6.8	28	25,000
15	2003年宮城県中部の地震南部 セグメント断層 <sup>d</sup>	6.7	28	20,000
16	一関～石越接曲 <sup>d</sup>	7.3	66	47,000
17	1962年宮城県北部地震震源断層 <sup>d</sup>	6.7	48	20,000
18	1900年宮城県北部の地震	7.0	51	31,000
19	長町一利府線断層帯	7.5	61	3,000
20	北上低地西縁断層帯	7.8	113	12,000
21	山形盆地断層帯	7.8	118	2,500
22	福島盆地西縁断層帯	7.8	103	5,000
23	双葉断層	7.5	82	8,000
24	横手盆地西縁断層帯	7.7	125	3,400
25	鬼首断層	6.7	87	2,000
26	愛子断層	6.7	67	2,000
27	作並川敷平断層	6.7	79	20,000
28	遠刈田断層	6.7	88	20,000
29	鶴巣山断層	6.7	92	2,000
30	尾花沢断層	6.7	98	2,000
31	橋岡断層	6.7	96	2,000
32	新山寺境ノ目断層	6.7	99	2,000
33	田沢一里断層	6.7	100	2,000

<sup>a</sup>1 松田 (1975) <sup>b</sup>等により算定

<sup>c</sup>2 仙台湾の断層群による地震として運動を考慮 [M7.6, Xeq=28km, 活動間隔68,000年]

<sup>d</sup>3 石巻平野周辺の断層群による地震として運動も考慮 [M7.6, Xeq=31km, 活動間隔69,000年]

<sup>e</sup>4 岩手・宮城県境の断層群による地震として運動も考慮 [M7.6, Xeq=58km, 活動間隔69,000年]

第3.2.1.b-1表 主要な活断層の震源モデルの諸元(1/2)

断層名	長さ (km)	地盤規模 (M)	地盤規模 (M)		年発生頻度 (年/4)
			松田 (1973) <sup>a</sup>	武村 (1998) <sup>a</sup>	
月別川断層	16.0	6.8	7.0	—	—
基本震源モデル	22.6	7.1	7.2	7.2	26 C
不確かさ考慮モデル (断層の傾斜角)	32.0	7.3	7.5	—	34 1.90E-05
F-10断層～ 岩内熊東南北脊斜	100.4	8.2	8.3	8.2	46 3.01E-05
走向0° ケース	22.6	7.1	7.2	7.2	—
基本震源モデル (断層の傾斜角)	32.0	7.3	7.5	—	17 1.0E-01
不確かさ考慮モデル (断層の傾斜角)	22.6	7.1	7.2	7.2	21 1.37E-01
走向20° ケース	32.0	7.3	7.5	—	17 B 1.0E-01
基本震源モデル (断層の傾斜角)	22.6	7.1	7.2	7.2	23 1.37E-01
走向10° ケース	32.0	7.3	7.5	—	20 1.0E-01
不確かさ考慮モデル (断層の傾斜角)	101.0	8.2	8.3	—	7.6 3.01E-05
基本震源モデル (断層の傾斜角)	101.0	8.2	8.3	—	107 B 3.01E-05

追而【地震ハザード評価結果を反映】

【女川】【大飯】

- 個別評価による相違
- ・地震発生様式等が異なることから、地震ハザード評価が異なる

## 泊発電所3号炉 有効性評価 比較表

赤字：設備、運用又は体制の相違（設計方針の相違）  
 青字：記載箇所又は記載内容の相違（記載方針の相違）  
 緑字：記載表現、設備名称の相違（実質的な相違なし）

第37条 付録1 事故シーケンスグループ及び重要事故シーケンス等の選定について

別添3. レベル1PRA 3.2 外部事象 3.2.1 地震PRA

大飯発電所3／4号炉	女川原子力発電所2号炉	泊発電所3号炉	相違理由																																																																		
		<p>第3.2.1.b-1表 主要活断層の震源モデルの諸元 (2/2)</p> <table border="1"> <thead> <tr> <th>断層名</th> <th>長さ (km)</th> <th>地震規模 (M)</th> <th><math>\lambda_{eq}</math> (km)</th> <th>活動度</th> <th>年発生頻度 (回/年)</th> </tr> </thead> <tbody> <tr> <td>沖底海脚西側の断層</td> <td>31.5</td> <td>7.3</td> <td>53</td> <td>B</td> <td>1.0E-04</td> </tr> <tr> <td>F<sub>r</sub>-1断層～岩内堆北方の断層</td> <td>39</td> <td>7.5</td> <td>57</td> <td>B</td> <td>7.9E-05</td> </tr> <tr> <td>F<sub>r</sub>-1断層</td> <td>6.7</td> <td>6.2</td> <td>35</td> <td>B</td> <td>4.7E-04</td> </tr> <tr> <td>寿都海蛇行の断層</td> <td>42</td> <td>7.5</td> <td>54</td> <td>B</td> <td>7.9E-05</td> </tr> <tr> <td>F<sub>s</sub>-2断層</td> <td>65</td> <td>7.9</td> <td>90</td> <td>B</td> <td>4.5E-05</td> </tr> <tr> <td>F<sub>s</sub>-3断層</td> <td>45</td> <td>7.6</td> <td>103</td> <td>B</td> <td>6.89E-05</td> </tr> <tr> <td>F<sub>r</sub>-2断層</td> <td>27</td> <td>7.2</td> <td>62</td> <td>A</td> <td>1.15E-03</td> </tr> <tr> <td>赤井川断層</td> <td>5</td> <td>6.0</td> <td>24</td> <td>B</td> <td>6.28E-04</td> </tr> <tr> <td>黒松内底地帯の断層</td> <td>51</td> <td>7.7</td> <td>66</td> <td>B</td> <td>7.63E-04</td> </tr> <tr> <td>目名付近の断層</td> <td>5</td> <td>6.0</td> <td>32</td> <td>C</td> <td>1.18E-04</td> </tr> </tbody> </table> <p>*3 松田時彦 (1975)：活断層から発生する地震の規模と周期について、地震 第28巻、269-283</p> <p>*4 武村雅之 (1998)：日本列島における地殻内地震のスケーリング則—地震断層の影響および地震被害との関連—、地震、第2輯、第51巻、211-228</p> <p>*5 入倉孝次郎・三宅弘憲 (2001)：シナリオ地震の演習動手冊、地学推進、110、849-875</p> <p>*6 武村雅之 (1990)：日本列島およびその周辺地域における幾発地震のマグニチュードと地震モーメントの関係、地震、第2輯、第43巻、257-265</p> <p>*7 大竹政和、平朝彦、太田陽子 (2002)：日本海東部の活断層と地震テクトニクス、東京大学出版会</p> <p style="text-align: right;">追而【地震ハザード評価結果を反映】</p>	断層名	長さ (km)	地震規模 (M)	$\lambda_{eq}$ (km)	活動度	年発生頻度 (回/年)	沖底海脚西側の断層	31.5	7.3	53	B	1.0E-04	F <sub>r</sub> -1断層～岩内堆北方の断層	39	7.5	57	B	7.9E-05	F <sub>r</sub> -1断層	6.7	6.2	35	B	4.7E-04	寿都海蛇行の断層	42	7.5	54	B	7.9E-05	F <sub>s</sub> -2断層	65	7.9	90	B	4.5E-05	F <sub>s</sub> -3断層	45	7.6	103	B	6.89E-05	F <sub>r</sub> -2断層	27	7.2	62	A	1.15E-03	赤井川断層	5	6.0	24	B	6.28E-04	黒松内底地帯の断層	51	7.7	66	B	7.63E-04	目名付近の断層	5	6.0	32	C	1.18E-04	<p>【女川】【大飯】</p> <ul style="list-style-type: none"> <li>■個別評価による相違</li> <li>・地震発生様式等が異なることから、地震ハザード評価が異なる</li> </ul>
断層名	長さ (km)	地震規模 (M)	$\lambda_{eq}$ (km)	活動度	年発生頻度 (回/年)																																																																
沖底海脚西側の断層	31.5	7.3	53	B	1.0E-04																																																																
F <sub>r</sub> -1断層～岩内堆北方の断層	39	7.5	57	B	7.9E-05																																																																
F <sub>r</sub> -1断層	6.7	6.2	35	B	4.7E-04																																																																
寿都海蛇行の断層	42	7.5	54	B	7.9E-05																																																																
F <sub>s</sub> -2断層	65	7.9	90	B	4.5E-05																																																																
F <sub>s</sub> -3断層	45	7.6	103	B	6.89E-05																																																																
F <sub>r</sub> -2断層	27	7.2	62	A	1.15E-03																																																																
赤井川断層	5	6.0	24	B	6.28E-04																																																																
黒松内底地帯の断層	51	7.7	66	B	7.63E-04																																																																
目名付近の断層	5	6.0	32	C	1.18E-04																																																																

泊発電所3号炉 有効性評価 比較表

赤字：設備、運用又は体制の相違（設計方針の相違）  
 青字：記載箇所又は記載内容の相違（記載方針の相違）  
 緑字：記載表現、設備名称の相違（実質的な相違なし）

第37条 付録1 事故シーケンスグループ及び重要事故シーケンス等の選定について

別添3. レベル1PRA 3.2 外部事象 3.2.1 地震PRA

大飯発電所3／4号炉	女川原子力発電所2号炉	泊発電所3号炉	相違理由																																																																																																																					
	<p style="text-align: center;"><b>第3.2.1.b-3表 (1/2) ロジックツリーの分岐及び重み付けの考え方 (特定震源) &lt;特定震源&gt;</b></p> <table border="1" style="width: 100%; border-collapse: collapse;"> <thead> <tr> <th>項目</th> <th>分岐</th> <th>重み</th> <th>重み付けの考え方</th> </tr> </thead> <tbody> <tr> <td rowspan="2">プレート間地震の 特定震源の扱い<sup>(a)</sup></td> <td>地質調査研究推進本部 (2013) モデル1</td> <td>7/9</td> <td>地盤震源の重み付けを 重用。</td> </tr> <tr> <td>地質調査研究推進本部 (2013) モデル2</td> <td>1/8</td> <td></td> </tr> <tr> <td rowspan="3">東北地方 太平洋沖型地震 モデル</td> <td>地震動記録を用いた 距離減衰式</td> <td>1/2</td> <td>距離減衰式と断層モデル 手法を等分配に設 定。</td> </tr> <tr> <td>断層モデル手法</td> <td>1/2</td> <td></td> </tr> <tr> <td rowspan="3">内陸地盤内地震 地盤強</td> <td>単独での活動</td> <td>1/2</td> <td>單独のみの活動と連動 も考慮した活動を等分 配に設定。</td> </tr> <tr> <td>単独と連動での活動</td> <td>1/2</td> <td></td> </tr> <tr> <td>0.45</td> <td>1/2</td> <td>池田・野田 (2005)<sup>(b)</sup> に基づくばらつきを等 分配に設定。</td> </tr> <tr> <td>ばらつき</td> <td>0.40</td> <td>1/2</td> <td></td> </tr> </tbody> </table> <p><small>(a) 地質調査研究推進本部 (2013) のモデル1では、東北地方太平洋沖型地震と宮城県沖震源を 特定震源として評価しているが、モデル2では宮城県沖地震と宮城県沖震源を 以上を踏まえ、女川の地震ハザード評価においてはプレート間地震の特定震源の扱いとして モデル1、2を分岐として設定。</small></p> <p style="text-align: center;"><b>第3.2.1.b-3表 (2/2) ロジックツリーの分岐及び重み付けの考え方 (領域震源) &lt;領域震源&gt;</b></p> <table border="1" style="width: 100%; border-collapse: collapse;"> <thead> <tr> <th>項目</th> <th>分岐</th> <th>重み</th> <th>分岐・重み付けの考え方</th> </tr> </thead> <tbody> <tr> <td rowspan="3">宮城県沖 + 三陸沖南部 震源寄り</td> <td rowspan="2">最大M</td> <td>8.4</td> <td>1/8</td> <td>地盤調査研究推進本部 (2013) の最大Mに対して、同震域で過 去に発生した地震の規模を参考 して分岐を設定。</td> </tr> <tr> <td>8.0</td> <td>7/8</td> <td></td> </tr> <tr> <td rowspan="3">地盤性</td> <td>余震</td> <td>1/2</td> <td>東北地方太平洋沖地震後に余 震が発生している (熊野 (2012)<sup>(c)</sup>) ことを踏まえ分岐 を設定。</td> </tr> <tr> <td>余震T=40</td> <td>1/2</td> <td></td> </tr> <tr> <td rowspan="3">三陸沖中部</td> <td rowspan="2">最大M</td> <td>8.2</td> <td>1/8</td> <td>地質調査研究推進本部 (2013) の最大Mに対して、「宮城県沖 +三陸沖南部震源寄り」のみ 付けを用意。</td> </tr> <tr> <td>8.0</td> <td>7/8</td> <td></td> </tr> <tr> <td rowspan="3">福島県沖</td> <td rowspan="2">最大M</td> <td>8.2</td> <td>1/8</td> <td>地質調査研究推進本部 (2013) の最大Mに対して、「宮城県沖 +三陸沖南部震源寄り」のみ 付けを用意。</td> </tr> <tr> <td>8.0</td> <td>7/8</td> <td></td> </tr> <tr> <td rowspan="3">地盤動伝播 モデル</td> <td>Yoda et al. (2002)</td> <td>1/3</td> <td>Yoda et al. (2002) と動的の震 源記録を用いた距離減衰式の 分岐を設定。</td> </tr> <tr> <td>地震動記録を 用いた距離減衰式</td> <td>2/3</td> <td></td> </tr> <tr> <td rowspan="3">ばらつき</td> <td>0.45</td> <td>1/2</td> <td>池田・野田 (2005) に基 づくば らつきを等分配に設定。</td> </tr> <tr> <td>0.40</td> <td>1/2</td> <td></td> </tr> <tr> <td rowspan="3">全震域 共通</td> <td rowspan="2">最大M</td> <td>8.2</td> <td>1/5</td> <td>地質調査研究推進本部 (2013) の最大Mに対して、過去に発生 した地震の規模を参考に分岐 を設定。</td> </tr> <tr> <td>7.5</td> <td>4/5</td> <td></td> </tr> <tr> <td rowspan="3">ばらつき</td> <td>0.45</td> <td>1/2</td> <td>池田・野田 (2005) に基 づくば らつきを等分配に設定。</td> </tr> <tr> <td>0.40</td> <td>1/2</td> <td></td> </tr> <tr> <td rowspan="5">内 陸 地 盤 内 海 震</td> <td rowspan="3">8 B</td> <td>7.3</td> <td>1/3</td> <td>地質調査研究推進本部 (2013) の最大Mに対して、分岐を設 定。</td> </tr> <tr> <td>6.8</td> <td>2/3</td> <td></td> </tr> <tr> <td>ばらつき</td> <td>1/2</td> <td>池田・野田 (2005) に基 づくば らつきを等分配に設定。</td> </tr> <tr> <td rowspan="3">8 C</td> <td rowspan="2">最大M</td> <td>7.3</td> <td>1/3</td> <td>地質調査研究推進本部 (2013) の最大Mに対して、分岐を設 定。</td> </tr> <tr> <td>7.2</td> <td>2/3</td> <td></td> </tr> <tr> <td>ばらつき</td> <td>1/2</td> <td>池田・野田 (2005) に基 づくば らつきを等分配に設定。</td> </tr> </tbody> </table>	項目	分岐	重み	重み付けの考え方	プレート間地震の 特定震源の扱い <sup>(a)</sup>	地質調査研究推進本部 (2013) モデル1	7/9	地盤震源の重み付けを 重用。	地質調査研究推進本部 (2013) モデル2	1/8		東北地方 太平洋沖型地震 モデル	地震動記録を用いた 距離減衰式	1/2	距離減衰式と断層モデル 手法を等分配に設 定。	断層モデル手法	1/2		内陸地盤内地震 地盤強	単独での活動	1/2	單独のみの活動と連動 も考慮した活動を等分 配に設定。	単独と連動での活動	1/2		0.45	1/2	池田・野田 (2005) <sup>(b)</sup> に基づくばらつきを等 分配に設定。	ばらつき	0.40	1/2		項目	分岐	重み	分岐・重み付けの考え方	宮城県沖 + 三陸沖南部 震源寄り	最大M	8.4	1/8	地盤調査研究推進本部 (2013) の最大Mに対して、同震域で過 去に発生した地震の規模を参考 して分岐を設定。	8.0	7/8		地盤性	余震	1/2	東北地方太平洋沖地震後に余 震が発生している (熊野 (2012) <sup>(c)</sup> ) ことを踏まえ分岐 を設定。	余震T=40	1/2		三陸沖中部	最大M	8.2	1/8	地質調査研究推進本部 (2013) の最大Mに対して、「宮城県沖 +三陸沖南部震源寄り」のみ 付けを用意。	8.0	7/8		福島県沖	最大M	8.2	1/8	地質調査研究推進本部 (2013) の最大Mに対して、「宮城県沖 +三陸沖南部震源寄り」のみ 付けを用意。	8.0	7/8		地盤動伝播 モデル	Yoda et al. (2002)	1/3	Yoda et al. (2002) と動的の震 源記録を用いた距離減衰式の 分岐を設定。	地震動記録を 用いた距離減衰式	2/3		ばらつき	0.45	1/2	池田・野田 (2005) に基 づくば らつきを等分配に設定。	0.40	1/2		全震域 共通	最大M	8.2	1/5	地質調査研究推進本部 (2013) の最大Mに対して、過去に発生 した地震の規模を参考に分岐 を設定。	7.5	4/5		ばらつき	0.45	1/2	池田・野田 (2005) に基 づくば らつきを等分配に設定。	0.40	1/2		内 陸 地 盤 内 海 震	8 B	7.3	1/3	地質調査研究推進本部 (2013) の最大Mに対して、分岐を設 定。	6.8	2/3		ばらつき	1/2	池田・野田 (2005) に基 づくば らつきを等分配に設定。	8 C	最大M	7.3	1/3	地質調査研究推進本部 (2013) の最大Mに対して、分岐を設 定。	7.2	2/3		ばらつき	1/2	池田・野田 (2005) に基 づくば らつきを等分配に設定。	<p style="text-align: center;"><b>【女川】</b></p> <p>■個別評価による相違</p> <ul style="list-style-type: none"> <li>・地震発生様式等が異なることから、地震ハザード評価が異なる</li> </ul>
項目	分岐	重み	重み付けの考え方																																																																																																																					
プレート間地震の 特定震源の扱い <sup>(a)</sup>	地質調査研究推進本部 (2013) モデル1	7/9	地盤震源の重み付けを 重用。																																																																																																																					
	地質調査研究推進本部 (2013) モデル2	1/8																																																																																																																						
東北地方 太平洋沖型地震 モデル	地震動記録を用いた 距離減衰式	1/2	距離減衰式と断層モデル 手法を等分配に設 定。																																																																																																																					
	断層モデル手法	1/2																																																																																																																						
	内陸地盤内地震 地盤強	単独での活動	1/2	單独のみの活動と連動 も考慮した活動を等分 配に設定。																																																																																																																				
単独と連動での活動		1/2																																																																																																																						
0.45		1/2	池田・野田 (2005) <sup>(b)</sup> に基づくばらつきを等 分配に設定。																																																																																																																					
ばらつき	0.40	1/2																																																																																																																						
項目	分岐	重み	分岐・重み付けの考え方																																																																																																																					
宮城県沖 + 三陸沖南部 震源寄り	最大M	8.4	1/8	地盤調査研究推進本部 (2013) の最大Mに対して、同震域で過 去に発生した地震の規模を参考 して分岐を設定。																																																																																																																				
		8.0	7/8																																																																																																																					
	地盤性	余震	1/2	東北地方太平洋沖地震後に余 震が発生している (熊野 (2012) <sup>(c)</sup> ) ことを踏まえ分岐 を設定。																																																																																																																				
余震T=40		1/2																																																																																																																						
三陸沖中部		最大M	8.2	1/8	地質調査研究推進本部 (2013) の最大Mに対して、「宮城県沖 +三陸沖南部震源寄り」のみ 付けを用意。																																																																																																																			
	8.0		7/8																																																																																																																					
	福島県沖	最大M	8.2	1/8	地質調査研究推進本部 (2013) の最大Mに対して、「宮城県沖 +三陸沖南部震源寄り」のみ 付けを用意。																																																																																																																			
8.0			7/8																																																																																																																					
地盤動伝播 モデル		Yoda et al. (2002)	1/3	Yoda et al. (2002) と動的の震 源記録を用いた距離減衰式の 分岐を設定。																																																																																																																				
	地震動記録を 用いた距離減衰式	2/3																																																																																																																						
	ばらつき	0.45	1/2	池田・野田 (2005) に基 づくば らつきを等分配に設定。																																																																																																																				
0.40		1/2																																																																																																																						
全震域 共通		最大M	8.2	1/5	地質調査研究推進本部 (2013) の最大Mに対して、過去に発生 した地震の規模を参考に分岐 を設定。																																																																																																																			
	7.5		4/5																																																																																																																					
	ばらつき	0.45	1/2	池田・野田 (2005) に基 づくば らつきを等分配に設定。																																																																																																																				
0.40		1/2																																																																																																																						
内 陸 地 盤 内 海 震		8 B	7.3	1/3	地質調査研究推進本部 (2013) の最大Mに対して、分岐を設 定。																																																																																																																			
	6.8		2/3																																																																																																																					
	ばらつき		1/2	池田・野田 (2005) に基 づくば らつきを等分配に設定。																																																																																																																				
	8 C	最大M	7.3	1/3	地質調査研究推進本部 (2013) の最大Mに対して、分岐を設 定。																																																																																																																			
			7.2	2/3																																																																																																																				
ばらつき		1/2	池田・野田 (2005) に基 づくば らつきを等分配に設定。																																																																																																																					

## 泊発電所3号炉 有効性評価 比較表

第37条 付録1 事故シーケンスグループ及び重要事故シーケンス等の選定について  
別添3. レベル1PRA 3.2 外部事象 3.2.1 地震PRA

赤字：設備、運用又は体制の相違（設計方針の相違）  
青字：記載箇所又は記載内容の相違（記載方針の相違）  
緑字：記載表現、設備名称の相違（実質的な相違なし）

大飯発電所3／4号炉			女川原子力発電所2号炉			泊発電所3号炉			相違理由																																				
第1.2.1.c-1-1表 考慮する不確実さ要因の例			第3.2.1.c-1-1表 考慮する不確実さ要因の例			第3.2.1.c-1-1表 考慮する不確実さ要因の例																																							
<table border="1"> <thead> <tr> <th>評価方法</th><th>偶然的不確実さ (<math>\beta_u</math>)</th><th>認識論的不確実さ (<math>\beta_v</math>)</th></tr> </thead> <tbody> <tr> <td>建物構築物</td><td> <ul style="list-style-type: none"> <li>現実的耐力</li> <li>・構造材料定数</li> <li>・損傷限界時ひずみ</li> </ul> </td><td> <ul style="list-style-type: none"> <li>施工精度</li> <li>・実験データの統計的精度</li> <li>・耐力評価式の誤差</li> </ul> </td></tr> <tr> <td>現実的応答</td><td> <ul style="list-style-type: none"> <li>・構造材料定数</li> <li>・地盤材料定数</li> </ul> </td><td> <ul style="list-style-type: none"> <li>・モデル形態</li> <li>・剛性評価の仮定</li> <li>・復元力特性のモデル化</li> <li>・耐震要素の評価範囲</li> </ul> </td></tr> </tbody> </table>			評価方法	偶然的不確実さ ( $\beta_u$ )	認識論的不確実さ ( $\beta_v$ )	建物構築物	<ul style="list-style-type: none"> <li>現実的耐力</li> <li>・構造材料定数</li> <li>・損傷限界時ひずみ</li> </ul>	<ul style="list-style-type: none"> <li>施工精度</li> <li>・実験データの統計的精度</li> <li>・耐力評価式の誤差</li> </ul>	現実的応答	<ul style="list-style-type: none"> <li>・構造材料定数</li> <li>・地盤材料定数</li> </ul>	<ul style="list-style-type: none"> <li>・モデル形態</li> <li>・剛性評価の仮定</li> <li>・復元力特性のモデル化</li> <li>・耐震要素の評価範囲</li> </ul>	<table border="1"> <thead> <tr> <th>評価方法</th><th>偶然的不確実さ (<math>\beta_u</math>)</th><th>認識論的不確実さ (<math>\beta_v</math>)</th></tr> </thead> <tbody> <tr> <td>建屋</td><td> <ul style="list-style-type: none"> <li>現実的耐力</li> <li>・構造材料定数</li> <li>・損傷限界時ひずみ</li> </ul> </td><td> <ul style="list-style-type: none"> <li>施工精度</li> <li>・実験データの統計的精度</li> <li>・耐力評価式の誤差</li> </ul> </td></tr> <tr> <td>現実的応答</td><td> <ul style="list-style-type: none"> <li>・構造材料定数</li> <li>・地盤材料定数</li> </ul> </td><td> <ul style="list-style-type: none"> <li>・モデル形態</li> <li>・剛性評価の仮定</li> <li>・復元力特性のモデル化</li> <li>・耐震要素の評価範囲</li> <li>・解析手法の精度</li> </ul> </td></tr> </tbody> </table>			評価方法	偶然的不確実さ ( $\beta_u$ )	認識論的不確実さ ( $\beta_v$ )	建屋	<ul style="list-style-type: none"> <li>現実的耐力</li> <li>・構造材料定数</li> <li>・損傷限界時ひずみ</li> </ul>	<ul style="list-style-type: none"> <li>施工精度</li> <li>・実験データの統計的精度</li> <li>・耐力評価式の誤差</li> </ul>	現実的応答	<ul style="list-style-type: none"> <li>・構造材料定数</li> <li>・地盤材料定数</li> </ul>	<ul style="list-style-type: none"> <li>・モデル形態</li> <li>・剛性評価の仮定</li> <li>・復元力特性のモデル化</li> <li>・耐震要素の評価範囲</li> <li>・解析手法の精度</li> </ul>	<table border="1"> <thead> <tr> <th>評価方法</th><th>偶然的不確実さ (<math>\beta_u</math>)</th><th>認識論的不確実さ (<math>\beta_v</math>)</th></tr> </thead> <tbody> <tr> <td>建屋</td><td> <ul style="list-style-type: none"> <li>現実的耐力</li> <li>・構造材料定数</li> <li>・損傷限界時ひずみ</li> </ul> </td><td> <ul style="list-style-type: none"> <li>施工精度</li> <li>・実験データの統計的精度</li> <li>・耐力評価式の誤差</li> </ul> </td></tr> <tr> <td>現実的応答</td><td> <ul style="list-style-type: none"> <li>・構造材料定数</li> <li>・地盤材料定数</li> </ul> </td><td> <ul style="list-style-type: none"> <li>・モデル形態</li> <li>・剛性評価の仮定</li> <li>・復元力特性のモデル化</li> <li>・耐震要素の評価範囲</li> </ul> </td></tr> </tbody> </table>			評価方法	偶然的不確実さ ( $\beta_u$ )	認識論的不確実さ ( $\beta_v$ )	建屋	<ul style="list-style-type: none"> <li>現実的耐力</li> <li>・構造材料定数</li> <li>・損傷限界時ひずみ</li> </ul>	<ul style="list-style-type: none"> <li>施工精度</li> <li>・実験データの統計的精度</li> <li>・耐力評価式の誤差</li> </ul>	現実的応答	<ul style="list-style-type: none"> <li>・構造材料定数</li> <li>・地盤材料定数</li> </ul>	<ul style="list-style-type: none"> <li>・モデル形態</li> <li>・剛性評価の仮定</li> <li>・復元力特性のモデル化</li> <li>・耐震要素の評価範囲</li> </ul>										
評価方法	偶然的不確実さ ( $\beta_u$ )	認識論的不確実さ ( $\beta_v$ )																																											
建物構築物	<ul style="list-style-type: none"> <li>現実的耐力</li> <li>・構造材料定数</li> <li>・損傷限界時ひずみ</li> </ul>	<ul style="list-style-type: none"> <li>施工精度</li> <li>・実験データの統計的精度</li> <li>・耐力評価式の誤差</li> </ul>																																											
現実的応答	<ul style="list-style-type: none"> <li>・構造材料定数</li> <li>・地盤材料定数</li> </ul>	<ul style="list-style-type: none"> <li>・モデル形態</li> <li>・剛性評価の仮定</li> <li>・復元力特性のモデル化</li> <li>・耐震要素の評価範囲</li> </ul>																																											
評価方法	偶然的不確実さ ( $\beta_u$ )	認識論的不確実さ ( $\beta_v$ )																																											
建屋	<ul style="list-style-type: none"> <li>現実的耐力</li> <li>・構造材料定数</li> <li>・損傷限界時ひずみ</li> </ul>	<ul style="list-style-type: none"> <li>施工精度</li> <li>・実験データの統計的精度</li> <li>・耐力評価式の誤差</li> </ul>																																											
現実的応答	<ul style="list-style-type: none"> <li>・構造材料定数</li> <li>・地盤材料定数</li> </ul>	<ul style="list-style-type: none"> <li>・モデル形態</li> <li>・剛性評価の仮定</li> <li>・復元力特性のモデル化</li> <li>・耐震要素の評価範囲</li> <li>・解析手法の精度</li> </ul>																																											
評価方法	偶然的不確実さ ( $\beta_u$ )	認識論的不確実さ ( $\beta_v$ )																																											
建屋	<ul style="list-style-type: none"> <li>現実的耐力</li> <li>・構造材料定数</li> <li>・損傷限界時ひずみ</li> </ul>	<ul style="list-style-type: none"> <li>施工精度</li> <li>・実験データの統計的精度</li> <li>・耐力評価式の誤差</li> </ul>																																											
現実的応答	<ul style="list-style-type: none"> <li>・構造材料定数</li> <li>・地盤材料定数</li> </ul>	<ul style="list-style-type: none"> <li>・モデル形態</li> <li>・剛性評価の仮定</li> <li>・復元力特性のモデル化</li> <li>・耐震要素の評価範囲</li> </ul>																																											
第1.2.1.c-1-2表 損傷限界点の現実的な値（地震PSA学会標準）			第3.2.1.c-1-2表 損傷限界点の現実的な値（地震PSA学会標準）			第3.2.1.c-1-2表 損傷限界点の現実的な値（地震PSA学会標準）																																							
<table border="1"> <thead> <tr> <th>損傷限界点の指標</th><th>平均値</th><th>変動係数</th></tr> </thead> <tbody> <tr> <td>せん断ひずみ</td><td> <table border="1"> <tr> <td>ボックス壁</td><td><math>5.36 \times 10^{-3}</math></td><td>0.24</td></tr> <tr> <td>円筒壁</td><td><math>9.77 \times 10^{-3}</math></td><td>0.33</td></tr> </table> </td><td></td></tr> </tbody> </table>			損傷限界点の指標	平均値	変動係数	せん断ひずみ	<table border="1"> <tr> <td>ボックス壁</td><td><math>5.36 \times 10^{-3}</math></td><td>0.24</td></tr> <tr> <td>円筒壁</td><td><math>9.77 \times 10^{-3}</math></td><td>0.33</td></tr> </table>	ボックス壁	$5.36 \times 10^{-3}$	0.24	円筒壁	$9.77 \times 10^{-3}$	0.33		<table border="1"> <thead> <tr> <th>損傷限界点の指標</th><th>平均値</th><th>変動係数</th></tr> </thead> <tbody> <tr> <td>せん断ひずみ</td><td> <table border="1"> <tr> <td>ボックス壁</td><td><math>5.36 \times 10^{-3}</math></td><td>0.24</td></tr> <tr> <td>円筒壁</td><td><math>9.77 \times 10^{-3}</math></td><td>0.33</td></tr> </table> </td><td></td></tr> </tbody> </table>			損傷限界点の指標	平均値	変動係数	せん断ひずみ	<table border="1"> <tr> <td>ボックス壁</td><td><math>5.36 \times 10^{-3}</math></td><td>0.24</td></tr> <tr> <td>円筒壁</td><td><math>9.77 \times 10^{-3}</math></td><td>0.33</td></tr> </table>	ボックス壁	$5.36 \times 10^{-3}$	0.24	円筒壁	$9.77 \times 10^{-3}$	0.33		<table border="1"> <thead> <tr> <th>損傷限界点の指標</th><th>平均値</th><th>変動係数</th></tr> </thead> <tbody> <tr> <td>せん断ひずみ</td><td> <table border="1"> <tr> <td>ボックス壁</td><td><math>5.36 \times 10^{-3}</math></td><td>0.24</td></tr> <tr> <td>円筒壁</td><td><math>9.77 \times 10^{-3}</math></td><td>0.33</td></tr> </table> </td><td></td></tr> </tbody> </table>			損傷限界点の指標	平均値	変動係数	せん断ひずみ	<table border="1"> <tr> <td>ボックス壁</td><td><math>5.36 \times 10^{-3}</math></td><td>0.24</td></tr> <tr> <td>円筒壁</td><td><math>9.77 \times 10^{-3}</math></td><td>0.33</td></tr> </table>	ボックス壁	$5.36 \times 10^{-3}$	0.24	円筒壁	$9.77 \times 10^{-3}$	0.33		
損傷限界点の指標	平均値	変動係数																																											
せん断ひずみ	<table border="1"> <tr> <td>ボックス壁</td><td><math>5.36 \times 10^{-3}</math></td><td>0.24</td></tr> <tr> <td>円筒壁</td><td><math>9.77 \times 10^{-3}</math></td><td>0.33</td></tr> </table>	ボックス壁	$5.36 \times 10^{-3}$	0.24	円筒壁	$9.77 \times 10^{-3}$	0.33																																						
ボックス壁	$5.36 \times 10^{-3}$	0.24																																											
円筒壁	$9.77 \times 10^{-3}$	0.33																																											
損傷限界点の指標	平均値	変動係数																																											
せん断ひずみ	<table border="1"> <tr> <td>ボックス壁</td><td><math>5.36 \times 10^{-3}</math></td><td>0.24</td></tr> <tr> <td>円筒壁</td><td><math>9.77 \times 10^{-3}</math></td><td>0.33</td></tr> </table>	ボックス壁	$5.36 \times 10^{-3}$	0.24	円筒壁	$9.77 \times 10^{-3}$	0.33																																						
ボックス壁	$5.36 \times 10^{-3}$	0.24																																											
円筒壁	$9.77 \times 10^{-3}$	0.33																																											
損傷限界点の指標	平均値	変動係数																																											
せん断ひずみ	<table border="1"> <tr> <td>ボックス壁</td><td><math>5.36 \times 10^{-3}</math></td><td>0.24</td></tr> <tr> <td>円筒壁</td><td><math>9.77 \times 10^{-3}</math></td><td>0.33</td></tr> </table>	ボックス壁	$5.36 \times 10^{-3}$	0.24	円筒壁	$9.77 \times 10^{-3}$	0.33																																						
ボックス壁	$5.36 \times 10^{-3}$	0.24																																											
円筒壁	$9.77 \times 10^{-3}$	0.33																																											

泊発電所3号炉 有効性評価 比較表

第37条 付録1 事故シーケンスグループ及び重要事故シーケンス等の選定について  
別添3. レベル1PRA 3.2 外部事象 3.2.1 地震PRA

赤字：設備、運用又は体制の相違（設計方針の相違）  
青字：記載箇所又は記載内容の相違（記載方針の相違）  
緑字：記載表現、設備名称の相違（実質的な相違なし）

大飯発電所3／4号炉					女川原子力発電所2号炉			泊発電所3号炉				相違理由																																																																													
第1.2.1.c-1-3表 地盤物性値（大飯サイト）					第3.2.1.c-1-3表 コンクリートの材料物性値（設計値）			第3.2.1.c-1-3表 物性値（原子炉建屋）				【女川】 ■評価方針の相違 ・泊はコンクリート以外も含めた建屋の材料物性値を示している他、地盤物性値において表層地盤を設定していない（大飯と同様）																																																																													
<table border="1"> <thead> <tr> <th>地層 E.L. (m)</th><th>地盤せん断波 速度 Vs (m/s)</th><th>密度 <math>\rho</math> (t/m<sup>3</sup>)</th><th>ボアン比 <math>v</math></th><th>せん断 弾性係数 G (N/mm<sup>2</sup>)</th><th>ヤング係数 E (N/mm<sup>2</sup>)</th></tr> </thead> <tbody> <tr> <td>-60 以浅</td><td>2,240</td><td>2.7</td><td>0.35</td><td><math>1.35 \times 10^4</math></td><td><math>3.65 \times 10^4</math></td></tr> <tr> <td>-60 以深</td><td>2,510</td><td>2.7</td><td>0.34</td><td><math>1.70 \times 10^4</math></td><td><math>4.56 \times 10^4</math></td></tr> </tbody> </table>					地層 E.L. (m)	地盤せん断波 速度 Vs (m/s)	密度 $\rho$ (t/m <sup>3</sup> )	ボアン比 $v$	せん断 弾性係数 G (N/mm <sup>2</sup> )	ヤング係数 E (N/mm <sup>2</sup> )	-60 以浅	2,240	2.7	0.35	$1.35 \times 10^4$	$3.65 \times 10^4$	-60 以深	2,510	2.7	0.34	$1.70 \times 10^4$	$4.56 \times 10^4$	<table border="1"> <thead> <tr> <th>材 料</th><th>設計基準強度 F_c N/mm<sup>2</sup> (kgf/cm<sup>2</sup>)</th><th>減衰定数 h (%)</th></tr> </thead> <tbody> <tr> <td>コンクリート</td><td>32.4 (330kgf/cm<sup>2</sup>)</td><td>5</td></tr> </tbody> </table>	材 料	設計基準強度 F_c N/mm <sup>2</sup> (kgf/cm <sup>2</sup> )	減衰定数 h (%)	コンクリート	32.4 (330kgf/cm <sup>2</sup> )	5	<table border="1"> <thead> <tr> <th>部 位</th><th>使 用 材 料</th><th>ヤ ン グ 係数 E (N/mm<sup>2</sup>)</th><th>せん断弾性係数 G (N/mm<sup>2</sup>)</th><th>減衰定数 h (%)</th></tr> </thead> <tbody> <tr> <td>T.P. 33.1m を超える部分</td><td>コンクリート： <math>F_c=30</math> (N/mm<sup>2</sup>) 鉄筋：SD35</td><td><math>2.44 \times 10^4</math></td><td><math>1.02 \times 10^4</math></td><td>5</td></tr> <tr> <td>T.P. 33.1m 以下</td><td>コンクリート： <math>F_c=24</math> (N/mm<sup>2</sup>) 鉄筋：SD35</td><td><math>2.27 \times 10^4</math></td><td><math>0.94 \times 10^4</math></td><td>5</td></tr> <tr> <td>燃料取扱機 及び 周辺構造</td><td>コンクリート： <math>F_c=24</math> (N/mm<sup>2</sup>) 鉄筋：SD35</td><td><math>2.27 \times 10^4</math></td><td><math>0.94 \times 10^4</math></td><td>5</td></tr> <tr> <td>内部コンクリート</td><td>コンクリート： <math>F_c=36</math> (N/mm<sup>2</sup>) 鉄筋：SD390</td><td><math>2.59 \times 10^4</math></td><td><math>1.08 \times 10^4</math></td><td>5</td></tr> <tr> <td>燃料取扱機 (机骨部)</td><td>T.P. 47.6m ~ 55.0m SS400 SN490B</td><td><math>2.05 \times 10^4</math></td><td><math>0.79 \times 10^4</math></td><td>2</td></tr> <tr> <td>原子炉格納容器(C/V)</td><td>原子炉格納容器</td><td>SGV480</td><td><math>1.96 \times 10^2</math></td><td><math>7.53 \times 10^4</math></td><td>1</td></tr> <tr> <td>内部コンクリート (I/C) 原子炉周辺建屋 (E/B)</td><td>部材番号 31, 32 及 び 34~37</td><td>SGV2B</td><td><math>1.85 \times 10^5</math></td><td><math>7.12 \times 10^4</math></td><td>3 (水平) 1 (鉛直)</td></tr> <tr> <td>原子炉周辺建屋 (E/B)</td><td>部材番号 33</td><td>SGV1A</td><td><math>1.77 \times 10^5</math></td><td><math>6.81 \times 10^4</math></td><td></td></tr> <tr> <td>蒸気発生器(S/G)</td><td>部材番号 38</td><td>SGV2A</td><td><math>1.80 \times 10^5</math></td><td><math>6.92 \times 10^4</math></td><td></td></tr> </tbody> </table>	部 位	使 用 材 料	ヤ ン グ 係数 E (N/mm <sup>2</sup> )	せん断弾性係数 G (N/mm <sup>2</sup> )	減衰定数 h (%)	T.P. 33.1m を超える部分	コンクリート： $F_c=30$ (N/mm <sup>2</sup> ) 鉄筋：SD35	$2.44 \times 10^4$	$1.02 \times 10^4$	5	T.P. 33.1m 以下	コンクリート： $F_c=24$ (N/mm <sup>2</sup> ) 鉄筋：SD35	$2.27 \times 10^4$	$0.94 \times 10^4$	5	燃料取扱機 及び 周辺構造	コンクリート： $F_c=24$ (N/mm <sup>2</sup> ) 鉄筋：SD35	$2.27 \times 10^4$	$0.94 \times 10^4$	5	内部コンクリート	コンクリート： $F_c=36$ (N/mm <sup>2</sup> ) 鉄筋：SD390	$2.59 \times 10^4$	$1.08 \times 10^4$	5	燃料取扱機 (机骨部)	T.P. 47.6m ~ 55.0m SS400 SN490B	$2.05 \times 10^4$	$0.79 \times 10^4$	2	原子炉格納容器(C/V)	原子炉格納容器	SGV480	$1.96 \times 10^2$	$7.53 \times 10^4$	1	内部コンクリート (I/C) 原子炉周辺建屋 (E/B)	部材番号 31, 32 及 び 34~37	SGV2B	$1.85 \times 10^5$	$7.12 \times 10^4$	3 (水平) 1 (鉛直)	原子炉周辺建屋 (E/B)	部材番号 33	SGV1A	$1.77 \times 10^5$	$6.81 \times 10^4$		蒸気発生器(S/G)	部材番号 38	SGV2A	$1.80 \times 10^5$	$6.92 \times 10^4$		第3.2.1.c-1-4表 原子炉建屋周辺の地盤物性値				【女川】 ■個別評価による相違 ・評価対象建屋の相違
地層 E.L. (m)	地盤せん断波 速度 Vs (m/s)	密度 $\rho$ (t/m <sup>3</sup> )	ボアン比 $v$	せん断 弾性係数 G (N/mm <sup>2</sup> )	ヤング係数 E (N/mm <sup>2</sup> )																																																																																				
-60 以浅	2,240	2.7	0.35	$1.35 \times 10^4$	$3.65 \times 10^4$																																																																																				
-60 以深	2,510	2.7	0.34	$1.70 \times 10^4$	$4.56 \times 10^4$																																																																																				
材 料	設計基準強度 F_c N/mm <sup>2</sup> (kgf/cm <sup>2</sup> )	減衰定数 h (%)																																																																																							
コンクリート	32.4 (330kgf/cm <sup>2</sup> )	5																																																																																							
部 位	使 用 材 料	ヤ ン グ 係数 E (N/mm <sup>2</sup> )	せん断弾性係数 G (N/mm <sup>2</sup> )	減衰定数 h (%)																																																																																					
T.P. 33.1m を超える部分	コンクリート： $F_c=30$ (N/mm <sup>2</sup> ) 鉄筋：SD35	$2.44 \times 10^4$	$1.02 \times 10^4$	5																																																																																					
T.P. 33.1m 以下	コンクリート： $F_c=24$ (N/mm <sup>2</sup> ) 鉄筋：SD35	$2.27 \times 10^4$	$0.94 \times 10^4$	5																																																																																					
燃料取扱機 及び 周辺構造	コンクリート： $F_c=24$ (N/mm <sup>2</sup> ) 鉄筋：SD35	$2.27 \times 10^4$	$0.94 \times 10^4$	5																																																																																					
内部コンクリート	コンクリート： $F_c=36$ (N/mm <sup>2</sup> ) 鉄筋：SD390	$2.59 \times 10^4$	$1.08 \times 10^4$	5																																																																																					
燃料取扱機 (机骨部)	T.P. 47.6m ~ 55.0m SS400 SN490B	$2.05 \times 10^4$	$0.79 \times 10^4$	2																																																																																					
原子炉格納容器(C/V)	原子炉格納容器	SGV480	$1.96 \times 10^2$	$7.53 \times 10^4$	1																																																																																				
内部コンクリート (I/C) 原子炉周辺建屋 (E/B)	部材番号 31, 32 及 び 34~37	SGV2B	$1.85 \times 10^5$	$7.12 \times 10^4$	3 (水平) 1 (鉛直)																																																																																				
原子炉周辺建屋 (E/B)	部材番号 33	SGV1A	$1.77 \times 10^5$	$6.81 \times 10^4$																																																																																					
蒸気発生器(S/G)	部材番号 38	SGV2A	$1.80 \times 10^5$	$6.92 \times 10^4$																																																																																					
<table border="1"> <thead> <tr> <th>部 位</th><th>使 用 材 料</th><th>ヤ ン グ 係数 E (N/mm<sup>2</sup>)</th><th>せん断弾性係数 G (N/mm<sup>2</sup>)</th><th>減衰定数 h (%)</th></tr> </thead> <tbody> <tr> <td>原子炉格納容器(C/V)</td><td>コンクリート： <math>F_c=44.1</math> (N/mm<sup>2</sup>) (<math>F_c=450</math>kgf/cm<sup>2</sup>) 鉄筋：SD40 (SD390相当)</td><td><math>2.90 \times 10^4</math></td><td><math>1.21 \times 10^4</math></td><td>3</td></tr> <tr> <td>内部コンクリート (I/C) 原子炉周辺建屋 (E/B)</td><td>コンクリート： <math>F_c=29.4</math> (N/mm<sup>2</sup>) (<math>F_c=300</math>kgf/cm<sup>2</sup>) 鉄筋：I/C SD40 (SD390相当) E/B SD35 (SD345相当)</td><td><math>2.43 \times 10^4</math></td><td><math>1.01 \times 10^4</math></td><td>5</td></tr> <tr> <td>原子炉周辺建屋 (E/B)</td><td>鉄骨：SM50 (SM490相当)</td><td><math>2.05 \times 10^5</math></td><td><math>7.90 \times 10^4</math></td><td>2</td></tr> <tr> <td>蒸気発生器(S/G)</td><td>SQV2A 部材：SG02</td><td><math>1.80 \times 10^5</math></td><td><math>6.92 \times 10^4</math></td><td>水平：3 鉛直：1</td></tr> <tr> <td></td><td>SQV2B 部材：SG03~SG09</td><td><math>1.85 \times 10^5</math></td><td><math>7.12 \times 10^4</math></td><td>水平：3 鉛直：1</td></tr> </tbody> </table>					部 位	使 用 材 料	ヤ ン グ 係数 E (N/mm <sup>2</sup> )	せん断弾性係数 G (N/mm <sup>2</sup> )	減衰定数 h (%)	原子炉格納容器(C/V)	コンクリート： $F_c=44.1$ (N/mm <sup>2</sup> ) ( $F_c=450$ kgf/cm <sup>2</sup> ) 鉄筋：SD40 (SD390相当)	$2.90 \times 10^4$	$1.21 \times 10^4$	3	内部コンクリート (I/C) 原子炉周辺建屋 (E/B)	コンクリート： $F_c=29.4$ (N/mm <sup>2</sup> ) ( $F_c=300$ kgf/cm <sup>2</sup> ) 鉄筋：I/C SD40 (SD390相当) E/B SD35 (SD345相当)	$2.43 \times 10^4$	$1.01 \times 10^4$	5	原子炉周辺建屋 (E/B)	鉄骨：SM50 (SM490相当)	$2.05 \times 10^5$	$7.90 \times 10^4$	2	蒸気発生器(S/G)	SQV2A 部材：SG02	$1.80 \times 10^5$	$6.92 \times 10^4$	水平：3 鉛直：1		SQV2B 部材：SG03~SG09	$1.85 \times 10^5$	$7.12 \times 10^4$	水平：3 鉛直：1	注記※1：下式により初期せん断弾性係数を求めて初期 Vs を設定する。 $Vs = \sqrt{1000 \times G_0 / \rho} \quad (\text{m/s})$ ここで、 $G_0 = 1787 \sigma_v^{0.84}$ (MN/m <sup>2</sup> ) $\Sigma = \sigma_v \times 2/3 \quad (\text{MN/m}^2)$ $\sigma_v: \text{単位体積重量と深度から算定}$	第3.2.1.c-1-4表 物性値（原子炉建屋）				【女川】 ■個別評価による相違 ・評価対象建屋の相違																																																	
部 位	使 用 材 料	ヤ ン グ 係数 E (N/mm <sup>2</sup> )	せん断弾性係数 G (N/mm <sup>2</sup> )	減衰定数 h (%)																																																																																					
原子炉格納容器(C/V)	コンクリート： $F_c=44.1$ (N/mm <sup>2</sup> ) ( $F_c=450$ kgf/cm <sup>2</sup> ) 鉄筋：SD40 (SD390相当)	$2.90 \times 10^4$	$1.21 \times 10^4$	3																																																																																					
内部コンクリート (I/C) 原子炉周辺建屋 (E/B)	コンクリート： $F_c=29.4$ (N/mm <sup>2</sup> ) ( $F_c=300$ kgf/cm <sup>2</sup> ) 鉄筋：I/C SD40 (SD390相当) E/B SD35 (SD345相当)	$2.43 \times 10^4$	$1.01 \times 10^4$	5																																																																																					
原子炉周辺建屋 (E/B)	鉄骨：SM50 (SM490相当)	$2.05 \times 10^5$	$7.90 \times 10^4$	2																																																																																					
蒸気発生器(S/G)	SQV2A 部材：SG02	$1.80 \times 10^5$	$6.92 \times 10^4$	水平：3 鉛直：1																																																																																					
	SQV2B 部材：SG03~SG09	$1.85 \times 10^5$	$7.12 \times 10^4$	水平：3 鉛直：1																																																																																					
第1.2.1.c-1-5表 物性値（制御建屋）					<table border="1"> <thead> <tr> <th>部 位</th><th>使 用 材 料</th><th>ヤ ン グ 係数 E (N/mm<sup>2</sup>)</th><th>せん断 弾性係数 G (N/mm<sup>2</sup>)</th><th>減衰 定数 h (%)</th></tr> </thead> <tbody> <tr> <td>制御建屋(RC 造)</td><td>コンクリート： <math>F_c=29.4</math>(N/mm<sup>2</sup>) (<math>F_c=300</math>kgf/cm<sup>2</sup>) 鉄筋：SD35 (SD345相当)</td><td><math>2.43 \times 10^4</math></td><td><math>1.01 \times 10^4</math></td><td>5</td></tr> </tbody> </table>				部 位	使 用 材 料	ヤ ン グ 係数 E (N/mm <sup>2</sup> )	せん断 弾性係数 G (N/mm <sup>2</sup> )	減衰 定数 h (%)	制御建屋(RC 造)	コンクリート： $F_c=29.4$ (N/mm <sup>2</sup> ) ( $F_c=300$ kgf/cm <sup>2</sup> ) 鉄筋：SD35 (SD345相当)	$2.43 \times 10^4$	$1.01 \times 10^4$	5	注記※2：レーリー減衰 3% (4Hz, 12Hz) とする。	第3.2.1.c-1-5表 物性値（ディーゼル発電機建屋）				【女川】 ■個別評価による相違 ・評価対象建屋の相違																																																																	
部 位	使 用 材 料	ヤ ン グ 係数 E (N/mm <sup>2</sup> )	せん断 弾性係数 G (N/mm <sup>2</sup> )	減衰 定数 h (%)																																																																																					
制御建屋(RC 造)	コンクリート： $F_c=29.4$ (N/mm <sup>2</sup> ) ( $F_c=300$ kgf/cm <sup>2</sup> ) 鉄筋：SD35 (SD345相当)	$2.43 \times 10^4$	$1.01 \times 10^4$	5																																																																																					
<table border="1"> <thead> <tr> <th>部 位</th><th>使 用 材 料</th><th>ヤ ン グ 係数 E (N/mm<sup>2</sup>)</th><th>せん断 弾性係数 G (N/mm<sup>2</sup>)</th><th>減衰 定数 h (%)</th></tr> </thead> <tbody> <tr> <td>制御建屋(RC 造)</td><td>コンクリート： <math>F_c=29.4</math>(N/mm<sup>2</sup>) (<math>F_c=300</math>kgf/cm<sup>2</sup>) 鉄筋：SD35 (SD345相当)</td><td><math>2.43 \times 10^4</math></td><td><math>1.01 \times 10^4</math></td><td>5</td></tr> </tbody> </table>					部 位	使 用 材 料	ヤ ン グ 係数 E (N/mm <sup>2</sup> )	せん断 弾性係数 G (N/mm <sup>2</sup> )	減衰 定数 h (%)	制御建屋(RC 造)	コンクリート： $F_c=29.4$ (N/mm <sup>2</sup> ) ( $F_c=300$ kgf/cm <sup>2</sup> ) 鉄筋：SD35 (SD345相当)	$2.43 \times 10^4$	$1.01 \times 10^4$	5	注記※3：表層地盤①は以下により非線形特性を設定する。 $G/G_0 - \gamma \text{ 関係}$ $G/G_0 = 1/(1 + \gamma/\gamma_m)$ ここで、 $\gamma_m = \tau_m/G_0$ $\tau_m = \tau_0 + \sigma_{md} \tan \phi \quad (\text{MN/m}^2)$ $\tau_0 = 0.1 \quad (\text{MN/m}^2)$ $\phi = 33.9^\circ$ $\sigma_{md} = \sigma_v \times 3/4 \quad (\text{MN/m}^2)$ $h - \gamma \text{ 関係}$ $h = 0.183 \gamma / (\gamma + 0.000261)$	<table border="1"> <thead> <tr> <th>部 位</th><th>使 用 材 料</th><th>ヤ ン グ 係数 E (N/mm<sup>2</sup>)</th><th>せん断弾性係数 G (N/mm<sup>2</sup>)</th><th>減衰定数 h (%)</th></tr> </thead> <tbody> <tr> <td>A 1, A 2 - 燃料油貯油槽タンク室</td><td>コンクリート： <math>F_c=24</math> (N/mm<sup>2</sup>) 鉄筋：SD345</td><td><math>2.27 \times 10^4</math></td><td><math>0.94 \times 10^4</math></td><td>5</td></tr> </tbody> </table>				部 位	使 用 材 料	ヤ ン グ 係数 E (N/mm <sup>2</sup> )	せん断弾性係数 G (N/mm <sup>2</sup> )	減衰定数 h (%)	A 1, A 2 - 燃料油貯油槽タンク室	コンクリート： $F_c=24$ (N/mm <sup>2</sup> ) 鉄筋：SD345	$2.27 \times 10^4$	$0.94 \times 10^4$	5	注記※4：A1, A2 - 燃料油貯油槽タンク室	第3.2.1.c-1-6表 物性値（A 1, A 2 - 燃料油貯油槽タンク室）				【女川】 ■個別評価による相違 ・評価対象建屋の相違																																																						
部 位	使 用 材 料	ヤ ン グ 係数 E (N/mm <sup>2</sup> )	せん断 弾性係数 G (N/mm <sup>2</sup> )	減衰 定数 h (%)																																																																																					
制御建屋(RC 造)	コンクリート： $F_c=29.4$ (N/mm <sup>2</sup> ) ( $F_c=300$ kgf/cm <sup>2</sup> ) 鉄筋：SD35 (SD345相当)	$2.43 \times 10^4$	$1.01 \times 10^4$	5																																																																																					
部 位	使 用 材 料	ヤ ン グ 係数 E (N/mm <sup>2</sup> )	せん断弾性係数 G (N/mm <sup>2</sup> )	減衰定数 h (%)																																																																																					
A 1, A 2 - 燃料油貯油槽タンク室	コンクリート： $F_c=24$ (N/mm <sup>2</sup> ) 鉄筋：SD345	$2.27 \times 10^4$	$0.94 \times 10^4$	5																																																																																					
					<table border="1"> <thead> <tr> <th>部 位</th><th>使 用 材 料</th><th>ヤ ン グ 係数 E (N/mm<sup>2</sup>)</th><th>せん断弾性係数 G (N/mm<sup>2</sup>)</th><th>減衰定数 h (%)</th></tr> </thead> <tbody> <tr> <td>B 1, B 2 - 燃料油貯油槽タンク室</td><td>コンクリート： <math>F_c=30</math> (N/mm<sup>2</sup>) 鉄筋：SD345</td><td><math>2.44 \times 10^4</math></td><td><math>1.02 \times 10^4</math></td><td>5</td></tr> </tbody> </table>				部 位	使 用 材 料	ヤ ン グ 係数 E (N/mm <sup>2</sup> )	せん断弾性係数 G (N/mm <sup>2</sup> )	減衰定数 h (%)	B 1, B 2 - 燃料油貯油槽タンク室	コンクリート： $F_c=30$ (N/mm <sup>2</sup> ) 鉄筋：SD345	$2.44 \times 10^4$	$1.02 \times 10^4$	5	注記※5：B1, B2 - 燃料油貯油槽タンク室	第3.2.1.c-1-7表 物性値（B 1, B 2 - 燃料油貯油槽タンク室）				【女川】 ■個別評価による相違 ・評価対象建屋の相違																																																																	
部 位	使 用 材 料	ヤ ン グ 係数 E (N/mm <sup>2</sup> )	せん断弾性係数 G (N/mm <sup>2</sup> )	減衰定数 h (%)																																																																																					
B 1, B 2 - 燃料油貯油槽タンク室	コンクリート： $F_c=30$ (N/mm <sup>2</sup> ) 鉄筋：SD345	$2.44 \times 10^4$	$1.02 \times 10^4$	5																																																																																					
					<table border="1"> <thead> <tr> <th>部 位</th><th>使 用 材 料</th><th>ヤ ン グ 係数 E (N/mm<sup>2</sup>)</th><th>せん断弾性係数 G (N/mm<sup>2</sup>)</th><th>減衰定数 h (%)</th></tr> </thead> <tbody> <tr> <td>地盤の物性値</td><td></td><td></td><td></td><td></td></tr> </tbody> </table>				部 位	使 用 材 料	ヤ ン グ 係数 E (N/mm <sup>2</sup> )	せん断弾性係数 G (N/mm <sup>2</sup> )	減衰定数 h (%)	地盤の物性値					注記※6：地盤の物性値	第3.2.1.c-1-8表 地盤物性値				【女川】 ■個別評価による相違 ・評価対象建屋の相違																																																																	
部 位	使 用 材 料	ヤ ン グ 係数 E (N/mm <sup>2</sup> )	せん断弾性係数 G (N/mm <sup>2</sup> )	減衰定数 h (%)																																																																																					
地盤の物性値																																																																																									
					<table border="1"> <thead> <tr> <th></th><th>A 1級</th><th>A 2級</th><th>A級</th><th>B級</th><th>C級</th></tr> </thead> <tbody> <tr> <td>S波速度 (km/s)</td><td>1.8</td><td>1.4</td><td>1.4</td><td>1.3</td><td>1.2</td></tr> <tr> <td>P波速度 (km/s)</td><td>3.8</td><td>2.9</td><td>3.0</td><td>2.7</td><td>2.5</td></tr> <tr> <td>密度 (g/cm<sup>3</sup>)</td><td>2.67</td><td>2.62</td><td>2.20</td><td>2.19</td><td>2.01</td></tr> <tr> <td>ボアソン比</td><td>0.36</td><td>0.35</td><td>0.36</td><td>0.35</td><td>0.35</td></tr> </tbody> </table>						A 1級	A 2級	A級	B級	C級	S波速度 (km/s)	1.8	1.4	1.4	1.3	1.2	P波速度 (km/s)	3.8	2.9	3.0	2.7	2.5	密度 (g/cm <sup>3</sup> )	2.67	2.62	2.20	2.19	2.01	ボアソン比	0.36	0.35	0.36	0.35	0.35	第3.2.1.c-1-8表 地盤物性値				【女川】 ■個別評価による相違 ・評価対象建屋の相違																																													
	A 1級	A 2級	A級	B級	C級																																																																																				
S波速度 (km/s)	1.8	1.4	1.4	1.3	1.2																																																																																				
P波速度 (km/s)	3.8	2.9	3.0	2.7	2.5																																																																																				
密度 (g/cm <sup>3</sup> )	2.67	2.62	2.20	2.19	2.01																																																																																				
ボアソン比	0.36	0.35	0.36	0.35	0.35																																																																																				

## 泊発電所3号炉 有効性評価 比較表

赤字：設備、運用又は体制の相違（設計方針の相違）  
 青字：記載箇所又は記載内容の相違（記載方針の相違）  
 緑字：記載表現、設備名称の相違（実質的な相違なし）

第37条 付録1 事故シーケンスグループ及び重要事故シーケンス等の選定について

別添3. レベル1PRA 3.2 外部事象 3.2.1 地震PRA

大飯発電所3／4号炉	女川原子力発電所2号炉	泊発電所3号炉	相違理由																														
<p>第1.2.1.c-1-6表 現実的な物性値の評価方法</p> <table border="1"> <thead> <tr> <th>物性値</th><th>現実的な物性値の評価方法</th></tr> </thead> <tbody> <tr> <td>構造材料定数</td><td>           コンクリート強度 <math>F_c</math>            平均値 : <math>1.4 \times</math> 設計基準強度            変動係数 : 0.13         </td></tr> <tr> <td></td><td>           コンクリートの減衰定数 <math>h</math>            平均値 : 5%            変動係数 : 0.25         </td></tr> <tr> <td></td><td>           鉄筋の降伏強度 <math>s_{\sigma y}</math>            平均値 : <math>1.1 \times</math> 規格降伏点            変動係数 : 0.0 (考慮しない)         </td></tr> <tr> <td>地盤材料定数</td><td>           地盤のせん断波速度 <math>V_s</math>            平均値 : 設計値            変動係数 : 0.10         </td></tr> </tbody> </table>	物性値	現実的な物性値の評価方法	構造材料定数	コンクリート強度 $F_c$ 平均値 : $1.4 \times$ 設計基準強度 変動係数 : 0.13		コンクリートの減衰定数 $h$ 平均値 : 5% 変動係数 : 0.25		鉄筋の降伏強度 $s_{\sigma y}$ 平均値 : $1.1 \times$ 規格降伏点 変動係数 : 0.0 (考慮しない)	地盤材料定数	地盤のせん断波速度 $V_s$ 平均値 : 設計値 変動係数 : 0.10	<p>第3.2.1.c-1-5表 現実的な物性値の評価方法</p> <table border="1"> <thead> <tr> <th rowspan="2">物性値</th><th>地盤材料定数</th><th>構造材料定数</th></tr> <tr> <th>地盤のせん断波速度 <math>V_s</math></th><th>コンクリート強度 <math>F_c</math></th><th>コンクリートの減衰定数 <math>h</math></th></tr> </thead> <tbody> <tr> <td>現実的な物性値の評価方法</td><td>平均値 : 設計値 変動係数 : 0.10</td><td>平均値 : <math>1.62 \times F_c</math> 変動係数 : 0.16</td><td>平均値 : 5% 変動係数 : 0.25</td></tr> </tbody> </table>	物性値	地盤材料定数	構造材料定数	地盤のせん断波速度 $V_s$	コンクリート強度 $F_c$	コンクリートの減衰定数 $h$	現実的な物性値の評価方法	平均値 : 設計値 変動係数 : 0.10	平均値 : $1.62 \times F_c$ 変動係数 : 0.16	平均値 : 5% 変動係数 : 0.25	<p>第3.2.1.c-1-9表 現実的な物性値の評価方法</p> <table border="1"> <thead> <tr> <th>物性値</th><th>現実的な物性値の評価方法</th></tr> </thead> <tbody> <tr> <td>構造材料定数</td><td>           コンクリート強度 <math>F_c</math>            平均値 : <math>1.4 \times</math> 設計基準強度            変動係数 : 0.13         </td></tr> <tr> <td></td><td>           コンクリートの減衰定数 <math>h</math>            平均値 : 5%            変動係数 : 0.25         </td></tr> <tr> <td></td><td>           鉄筋の降伏強度 <math>s_{\sigma y}</math>            平均値 : <math>1.1 \times</math> 規格降伏点            変動係数 : 0 (考慮しない)         </td></tr> <tr> <td>地盤材料定数</td><td>           地盤のせん断波速度 <math>V_s</math>            平均値 : 設計値            変動係数 : 0.10         </td></tr> </tbody> </table>	物性値	現実的な物性値の評価方法	構造材料定数	コンクリート強度 $F_c$ 平均値 : $1.4 \times$ 設計基準強度 変動係数 : 0.13		コンクリートの減衰定数 $h$ 平均値 : 5% 変動係数 : 0.25		鉄筋の降伏強度 $s_{\sigma y}$ 平均値 : $1.1 \times$ 規格降伏点 変動係数 : 0 (考慮しない)	地盤材料定数	地盤のせん断波速度 $V_s$ 平均値 : 設計値 変動係数 : 0.10	<p>【女川】</p> <ul style="list-style-type: none"> <li>■評価方針の相違</li> <li>・泊はコンクリート強度の評価方法について、地震PRA学会標準に示されている標準的なデータベースを基に設定している他、泊は鉄筋の降伏強度の評価方法についても記載している（大飯と同様）</li> </ul>
物性値	現実的な物性値の評価方法																																
構造材料定数	コンクリート強度 $F_c$ 平均値 : $1.4 \times$ 設計基準強度 変動係数 : 0.13																																
	コンクリートの減衰定数 $h$ 平均値 : 5% 変動係数 : 0.25																																
	鉄筋の降伏強度 $s_{\sigma y}$ 平均値 : $1.1 \times$ 規格降伏点 変動係数 : 0.0 (考慮しない)																																
地盤材料定数	地盤のせん断波速度 $V_s$ 平均値 : 設計値 変動係数 : 0.10																																
物性値	地盤材料定数	構造材料定数																															
	地盤のせん断波速度 $V_s$	コンクリート強度 $F_c$	コンクリートの減衰定数 $h$																														
現実的な物性値の評価方法	平均値 : 設計値 変動係数 : 0.10	平均値 : $1.62 \times F_c$ 変動係数 : 0.16	平均値 : 5% 変動係数 : 0.25																														
物性値	現実的な物性値の評価方法																																
構造材料定数	コンクリート強度 $F_c$ 平均値 : $1.4 \times$ 設計基準強度 変動係数 : 0.13																																
	コンクリートの減衰定数 $h$ 平均値 : 5% 変動係数 : 0.25																																
	鉄筋の降伏強度 $s_{\sigma y}$ 平均値 : $1.1 \times$ 規格降伏点 変動係数 : 0 (考慮しない)																																
地盤材料定数	地盤のせん断波速度 $V_s$ 平均値 : 設計値 変動係数 : 0.10																																

泊発電所 3号炉 有効性評価 比較表

第37条 付録1 事故シケンスグループ及び重要事故シケンス等の選定について  
別添3. レベル1PRA 3.2 外部事象 3.2.1 地震PRA

**赤字**：設備、運用又は体制の相違（設計方針の相違）  
**青字**：記載箇所又は記載内容の相違（記載方針の相違）  
**緑字**：記載表現、設備名称の相違（実質的な相違なし）

第1.2.1-e-1-7表 解析モデル諸元(原子炉建屋 水平 EW方向)							第3.2.1-e-1-10表 原子炉建屋の地震応答解析モデル諸元(1/3)							相違理由		
部位	質点番号	高さE.L.(m)	質量(t)	回転慣性( $\times 10^4 \text{ t}\cdot\text{m}^2$ )	部材番号	せん断面積( $\text{m}^2$ )	断面2次モーメント( $\text{m}^4$ )	EW	EW	構造物	質点番号( )節点	質点高さT.P.(m)	重量(kN)	重量回転慣性( $\text{kN}\cdot\text{m}^2$ )		相違理由
														EW方向	NS方向	
原子炉格納容器(PCCV)	CV10	82.2	330	$\times 10^4 \text{ t}\cdot\text{m}^2$	CV10	44	610	CV10	CV10	1	83.10	1,150	—	—	【女川】【大飯】	
	CV09	80.7	1,480		CV09	26	13,480			2	81.38	5,860				個別評価による相違 ・評価対象建屋の相違
	CV08	74.7	3,100		CV08	76	29,240			3	76.48	13,210				
	CV07	65.6	3,530		CV07	83	39,780			4	69.15	22,120				
	CV06	57.6	5,320	—	CV06	90	44,420			5	60.5	24,140				
	CV05	47.0	4,820		CV05	90	44,420			6	56.2	14,360				
	CV04	37.0	3,330		CV04	90	44,420			7	51.9	14,360				
	CV03	33.6	2,490		CV03	90	44,420			8	47.6	18,180				
	CV02	26.9	2,480		CV02	90	44,420			9	41.0	24,720				
	CV01	23.1	2,280		CV01	90	44,420			10	33.1	28,470				
内部エンブレット(LC)	IC19	48.0	200	$\times 10^4 \text{ t}\cdot\text{m}^2$	IC19	7.5	164	IC19	IC19	11	17.8	16,430	—	—	—	—
	IC18	40.8	640		IC18	10	186			12	17.8	41,560				
	IC17	43.9	400		IC17	5.0	53			13	17.0	—				
	IC16	39.5	1,260		IC16	27	553			14	55.0	9,420				
	IC15	33.6	2,660	—	IC15	72	5,720			15	47.6	53,650	$1.89 \times 10^7$	$3.95 \times 10^7$		
	IC14	32.8	2,180		IC14	72	5,720			16	41.0	122,410	$5.35 \times 10^7$	$8.20 \times 10^7$		
	IC13	26.0	4,160		IC13	86	7,120			17	33.1	221,700	$9.13 \times 10^7$	$1.88 \times 10^8$		
	IC12	24.2	1,180		IC12	90	8,010			18	24.8	234,220	$8.00 \times 10^7$	$2.10 \times 10^8$		
	IC11	22.9	4,190		IC11	126	10,820			19	17.8	210,310	$7.84 \times 10^7$	$1.68 \times 10^8$		
蒸気発生器(SIG)	SG09	42.8	138.3	$\times 10^4 \text{ t}\cdot\text{m}^2$	SG09	2.67	12,78	SG09	SG09	20	42,770	1,111	—	—	—	—
	SG08	39.5	358.4		SG08	2.67	12,78			21	39,3000	2,857				
	SG07	36.7	144.1		SG07	2.46	9.30			22	36,7983	674				
	SG06	35.0	153.8		SG06	1.76	4.99			23	35,1003	1,500				
	SG05	32.8	272.8	—	SG05	1.76	4.99			24	32,3000	2,348	—	—	—	—
	SG04	30.4	159.1		SG04	1.87	5.31			25	30,1688	673				
	SG03	27.0	386.3		SG03	1.87	5.31			26	26,9865	3,151				
	SG02	25.2	42.7		SG02	14.14	72.45			27	24,9058	373				
	SG01	24.3	163.5							28	23,9690	1,237				
	EB33	42.6	2,360	$\times 10^4 \text{ t}\cdot\text{m}^2$	EB33	30	1,170	EB33	EB33	29	44.3	4,160	—	—	—	—
原子炉周辺建屋(E/B)	EB32	47.3	2,890		EB32	0.332 <sup>®</sup>	—			30	38.8	14,900				
	EB31	42.4	920		EB31	0.149 <sup>®</sup>	—			31	33.1	—	—	—	—	—
	EB30	55.8	1,140		EB30	0.432 <sup>®</sup>	—			32	49,200	—				
	EB29	47.3	740		EB29	0.274 <sup>®</sup>	—			33	24.8	57,900				
	EB40	33.6	2,400							34	21.3	30,790				
	EB28	33.6	33,100	18,400	EB28	520	276,600			35	17.8	55,190				
	EB27	26.0	44,900	23,300	EB27	580	328,100			36	80.51	153				
	BS37	17.1	76,400	33,000	BS37	2,550	670,200			37	77.83	1,171				
	(BS36)	10.0	—	—						38	70.5	1,982				
	BS35	7.0	116,700	46,000						39	60,489	1,945				
基礎版(B/M)	(BS34)	6.0	—	—						40	56.9	8,803				
										41	50,68	3,679				
										42	43,24	3,599				
										43	35.8	3,554				
原子炉格納容器										44	30,3	2,484				
										45	24.8	3,052				
										46	12.1	—				
										47	10.3	—				
基礎版										48	6.91	983,040	$2.88 \times 10^8$	$4.57 \times 10^8$		
										49	2.8	—				
										50	總重量	2,343,496				

## 泊発電所3号炉 有効性評価 比較表

赤字：設備、運用又は体制の相違（設計方針の相違）  
 青字：記載箇所又は記載内容の相違（記載方針の相違）  
 緑字：記載表現、設備名称の相違（実質的な相違なし）

第37条 付録1 事故シーケンスグループ及び重要事故シーケンス等の選定について

別添3. レベル1PRA 3.2 外部事象 3.2.1 地震PRA

大飯発電所3／4号炉							女川原子力発電所2号炉		泊発電所3号炉				相違理由	
第1.2.1.c-1-8表 解析モデル諸元(原子炉建屋 水平 NS方向)									第3.2.1.e-1-10表 原子炉建屋の地震応答解析モデル諸元(2/3)					
部位	質点番号	高さE.L.(m)	質量(t)	回転慣性( $\times 10^3 \text{t}\cdot\text{m}^2$ )	部材番号	せん断面積(m <sup>2</sup> )	断面2次モーメント(m <sup>4</sup> )	部材番号	せん断面積(m <sup>2</sup> )	断面2次モーメント(m <sup>4</sup> )	部材番号	せん断面積(m <sup>2</sup> )	断面2次モーメント(m <sup>4</sup> )	
				NS		NS	NS							
原子炉格納容器(PCCV)	CV10	82.2	330		CV10	44	610	外部通へい建屋	1	22.4	694	22.4	694	■【女川】【大飯】
	CV09	80.7	1,480		CV09	76	13,480		2	29.7	4,796	29.7	4,796	■個別評価による相違
	CV08	74.7	3,100		CV08	76	29,240		3	43.1	14,890	43.1	14,890	・評価対象建屋の相違
	CV07	65.6	3,530		CV07	83	39,780		4	60.5	28,690	60.5	28,690	
	CV06	57.6	5,320	—	CV06	90	44,420		5	69.5	33,930	69.5	33,930	
	CV05	47.0	4,820		CV05	90	44,420		6	69.5	33,930	69.5	33,930	
	CV04	37.0	3,330		CV04	90	44,420		7	69.5	33,930	69.5	33,930	
	CV03	33.6	2,490		CV03	90	44,420		8	69.5	33,930	69.5	33,930	
	CV02	26.9	2,480		CV02	90	44,420		9	69.5	33,930	69.5	33,930	
	CV01	23.1	2,280		CV01	90	44,420		10	69.5	33,930	69.5	33,930	
	IC47	48.0	200		IC47	8.5	93		11	69.5	33,930	69.5	33,930	
	IC46	40.8	640		IC46	10.3	115		12	174	79,230	174	79,230	
	IC45	33.6	660		IC45	10.3	115		13	307	126,800	307	126,800	
内部シールド(I/C)	IC43	26.0	470		IC43	15.7	270		21	0.382	—	0.0542	—	
	IC42	24.2	180		IC42	15.7	167		22	87.4	55,010	54.4	53,550	
	IC41	21.6	290	—	IC41	15.7	270		23	175	102,000	207	208,300	
	IC17	43.9	400		IC17	19.0	432		24	355	167,100	314	474,700	
	IC16	39.5	1,260		IC16	30.0	868		25	310	140,000	312	513,400	
	IC15	33.6	2,200		IC15	68.7	5,975		26	288	139,200	287	472,900	
	IC14	32.8	1,950		IC14	68.7	5,975		31	2.00	9.59	2.00	9.59	
	IC13	26.0	3,720		IC13	61.3	7,410		32	2.00	9.59	2.00	9.59	
	IC12	24.2	1,050		IC12	58.3	8,623		33	1.85	6.98	1.85	6.98	
	IC11	22.9	3,850		IC11	74.3	8,860		34	1.35	3.84	1.35	3.84	
	SG09	42.8	138.3		SG09	2.67	12.78		35	1.35	3.84	1.35	3.84	
	SG08	39.5	358.4		SG08	2.67	12.78		36	1.40	3.98	1.40	3.98	
	SG07	36.7	144.1		SG07	2.46	9.30		37	1.40	3.98	1.40	3.98	
蒸気発生器(S/G)	SG06	35.0	153.8	—	SG06	1.76	4.99		38	10.60	54.34	10.60	54.34	
	SG05	32.8	272.8		SG05	1.76	4.99		41	15.3	11.0	23.0	12.3	
	SG04	30.4	159.1		SG04	1.87	5.31		42	45.2	178	51.5	266	
	SG03	27.0	386.3		SG03	1.87	5.31		44	82.5	1,482	121	3,154	
	SG02	25.2	42.7		SG02	14.14	72.45		45	79.1	5,761	137	6,742	
	SG01	24.3	163.5						46	79.1	5,761	137	6,742	
	EB33	42.6	2,360	—	EB33	40 <sup>①</sup>	2,700		47	126	22,100	97.3	30,990	
原子炉周辺建屋(E/B)	EB32	47.3	2,890	—	EB32	0.446 <sup>②</sup>	—		51	0.365	9.84	0.365	9.84	
	EB31	42.4	920	—	EB31	0.153 <sup>②</sup>	—		52	1.000	211.4	1.000	211.4	
	EB30	55.8	1,140	—	EB30	0.254 <sup>②</sup>	—		53	1.365	511.0	1.365	511.0	
	ER29	47.3	740		ER29	0.237 <sup>②</sup>	—		54	2.800	1,122	2.800	1,122	
	ER28	33.6	35,500	36,900	EB28	430	378,000		55	2.800	1,122	2.800	1,122	
	ER27	26.0	44,900	46,600	EB27	510	700,300		56	2.800	1,122	2.800	1,122	
	BS37	17.1	76,400	63,800	BS37	2,510	1,014,200		57	2.800	1,122	2.800	1,122	
基礎版(B/M)	BS36	10.0	—	—					58	2.800	1,122	2.800	1,122	
	BS35	7.0	116,700	76,300					59	2.800	1,122	2.800	1,122	
	BS34	6.0	—	—					60	2.800	1,122	2.800	1,122	
(注)網掛け: RC部材 ※部: 等価せん断剛性( $\times 10^6 \text{kN/m}$ )を示す。														

## 泊発電所3号炉 有効性評価 比較表

第37条 付録1 事故シーケンスグループ及び重要事故シーケンス等の選定について  
別添3. レベル1PRA 3.2 外部事象 3.2.1 地震PRA

赤字：設備、運用又は体制の相違（設計方針の相違）  
青字：記載箇所又は記載内容の相違（記載方針の相違）  
緑字：記載表現、設備名称の相違（実質的な相違なし）

大飯発電所3／4号炉			女川原子力発電所2号炉		泊発電所3号炉			相違理由																																																																																																	
<b>第1.2.1.c-1-9表 地盤ばね定数と減衰係数（原子炉建屋）</b> <table border="1"> <thead> <tr> <th>方 向</th><th>ばね定数</th><th>減衰係数</th></tr> </thead> <tbody> <tr> <td>基礎底面 スウェイばね</td><td>EW: <math>3.07 \times 10^6 \text{ kN/m}</math> NS: <math>2.98 \times 10^6 \text{ kN/m}</math></td><td><math>3.58 \times 10^7 \text{ kN}\cdot\text{s/m}</math> <math>3.34 \times 10^7 \text{ kN}\cdot\text{s/m}</math></td></tr> <tr> <td>基礎底面 ロッキングばね</td><td>EW: <math>4.43 \times 10^{12} \text{ kN}\cdot\text{m/rad}</math> NS: <math>6.61 \times 10^{12} \text{ kN}\cdot\text{m/rad}</math></td><td><math>1.26 \times 10^{10} \text{ kN}\cdot\text{m}\cdot\text{s/rad}</math> <math>2.40 \times 10^{10} \text{ kN}\cdot\text{m}\cdot\text{s/rad}</math></td></tr> </tbody> </table>	方 向	ばね定数	減衰係数	基礎底面 スウェイばね	EW: $3.07 \times 10^6 \text{ kN/m}$ NS: $2.98 \times 10^6 \text{ kN/m}$	$3.58 \times 10^7 \text{ kN}\cdot\text{s/m}$ $3.34 \times 10^7 \text{ kN}\cdot\text{s/m}$	基礎底面 ロッキングばね	EW: $4.43 \times 10^{12} \text{ kN}\cdot\text{m/rad}$ NS: $6.61 \times 10^{12} \text{ kN}\cdot\text{m/rad}$	$1.26 \times 10^{10} \text{ kN}\cdot\text{m}\cdot\text{s/rad}$ $2.40 \times 10^{10} \text{ kN}\cdot\text{m}\cdot\text{s/rad}$																																																																																																
方 向	ばね定数	減衰係数																																																																																																							
基礎底面 スウェイばね	EW: $3.07 \times 10^6 \text{ kN/m}$ NS: $2.98 \times 10^6 \text{ kN/m}$	$3.58 \times 10^7 \text{ kN}\cdot\text{s/m}$ $3.34 \times 10^7 \text{ kN}\cdot\text{s/m}$																																																																																																							
基礎底面 ロッキングばね	EW: $4.43 \times 10^{12} \text{ kN}\cdot\text{m/rad}$ NS: $6.61 \times 10^{12} \text{ kN}\cdot\text{m/rad}$	$1.26 \times 10^{10} \text{ kN}\cdot\text{m}\cdot\text{s/rad}$ $2.40 \times 10^{10} \text{ kN}\cdot\text{m}\cdot\text{s/rad}$																																																																																																							
<b>第1.2.1.c-1-10表 ばね定数（原子炉建屋）</b> <table border="1"> <thead> <tr> <th>部材番号</th><th>位置</th><th>剛性(単位)</th><th>EW</th><th>NS</th></tr> </thead> <tbody> <tr> <td>KH05</td><td>IC15-IC45</td><td>軸剛性(kN/m)</td><td>—</td><td><math>3.56 \times 10^6</math></td></tr> <tr> <td>KH04</td><td>IC13-IC43</td><td>軸剛性(kN/m)</td><td>—</td><td><math>2.46 \times 10^6</math></td></tr> <tr> <td>KR05</td><td>IC15-IC45</td><td>曲げ剛性(kN·m/rad)</td><td>—</td><td><math>2.72 \times 10^7</math></td></tr> <tr> <td>KR04</td><td>IC13-IC43</td><td>曲げ剛性(kN·m/rad)</td><td>—</td><td><math>3.93 \times 10^6</math></td></tr> <tr> <td>KR10</td><td>EB28-EB40</td><td>曲げ剛性(kN·m/rad)</td><td><math>1.98 \times 10^6</math></td><td>—</td></tr> <tr> <td>KH03</td><td>SG08-IC16</td><td>軸剛性 (kN/m)</td><td><math>3.92 \times 10^6</math></td><td><math>3.92 \times 10^6</math></td></tr> <tr> <td>KH02</td><td>SG05-IC14</td><td>軸剛性 (kN/m)</td><td><math>1.37 \times 10^7</math></td><td><math>2.84 \times 10^7</math></td></tr> <tr> <td>KH01</td><td>SG01-IC12</td><td>軸剛性 (kN/m)</td><td><math>4.15 \times 10^7</math></td><td><math>7.03 \times 10^6</math></td></tr> <tr> <td>KR01</td><td>SG01-IC12</td><td>曲げ剛性 (kN·m/rad)</td><td><math>6.49 \times 10^7</math></td><td><math>4.37 \times 10^7</math></td></tr> </tbody> </table>	部材番号	位置	剛性(単位)	EW	NS	KH05	IC15-IC45	軸剛性(kN/m)	—	$3.56 \times 10^6$	KH04	IC13-IC43	軸剛性(kN/m)	—	$2.46 \times 10^6$	KR05	IC15-IC45	曲げ剛性(kN·m/rad)	—	$2.72 \times 10^7$	KR04	IC13-IC43	曲げ剛性(kN·m/rad)	—	$3.93 \times 10^6$	KR10	EB28-EB40	曲げ剛性(kN·m/rad)	$1.98 \times 10^6$	—	KH03	SG08-IC16	軸剛性 (kN/m)	$3.92 \times 10^6$	$3.92 \times 10^6$	KH02	SG05-IC14	軸剛性 (kN/m)	$1.37 \times 10^7$	$2.84 \times 10^7$	KH01	SG01-IC12	軸剛性 (kN/m)	$4.15 \times 10^7$	$7.03 \times 10^6$	KR01	SG01-IC12	曲げ剛性 (kN·m/rad)	$6.49 \times 10^7$	$4.37 \times 10^7$		<b>第3.2.1.c-1-10表 原子炉建屋の地震応答解析モデル諸元 (3/3)</b> <table border="1"> <thead> <tr> <th>部材番号</th><th>ばね定数</th><th>EW 方向</th><th>NS 方向</th></tr> </thead> <tbody> <tr> <td>周辺補機棟 61</td><td>水平ばね (kN/m)</td><td><math>1.79 \times 10^6</math></td><td><math>3.35 \times 10^7</math></td></tr> <tr> <td>62</td><td>水平ばね (kN/m)</td><td><math>1.55 \times 10^7</math></td><td><math>6.82 \times 10^7</math></td></tr> <tr> <td>63</td><td>水平ばね (kN/m)</td><td><math>7.78 \times 10^7</math></td><td><math>1.44 \times 10^8</math></td></tr> <tr> <td>64</td><td>水平ばね (kN/m)</td><td><math>6.54 \times 10^7</math></td><td><math>9.08 \times 10^7</math></td></tr> <tr> <td>65</td><td>水平ばね (kN/m)</td><td><math>5.08 \times 10^7</math></td><td><math>1.27 \times 10^8</math></td></tr> <tr> <td>蒸気発生器 71</td><td>水平ばね (kN/m)</td><td><math>2.94 \times 10^6</math></td><td><math>2.94 \times 10^6</math></td></tr> <tr> <td>72</td><td>水平ばね (kN/m)</td><td><math>9.90 \times 10^6</math></td><td><math>2.40 \times 10^7</math></td></tr> <tr> <td>73</td><td>水平ばね (kN/m)</td><td><math>1.06 \times 10^7</math></td><td><math>9.80 \times 10^6</math></td></tr> <tr> <td>73</td><td>回転ばね (kN·m/rad)</td><td><math>4.98 \times 10^7</math></td><td><math>3.53 \times 10^7</math></td></tr> <tr> <td>73</td><td>鉛直ばね (kN/m)</td><td>—</td><td>—</td></tr> <tr> <td>内部コンクリート 74</td><td>水平ばね (kN/m)</td><td><math>2.41 \times 10^8</math></td><td><math>2.41 \times 10^8</math></td></tr> <tr> <td>75</td><td>回転ばね (kN·m/rad)</td><td><math>4.64 \times 10^9</math></td><td><math>5.39 \times 10^9</math></td></tr> </tbody> </table>	部材番号	ばね定数	EW 方向	NS 方向	周辺補機棟 61	水平ばね (kN/m)	$1.79 \times 10^6$	$3.35 \times 10^7$	62	水平ばね (kN/m)	$1.55 \times 10^7$	$6.82 \times 10^7$	63	水平ばね (kN/m)	$7.78 \times 10^7$	$1.44 \times 10^8$	64	水平ばね (kN/m)	$6.54 \times 10^7$	$9.08 \times 10^7$	65	水平ばね (kN/m)	$5.08 \times 10^7$	$1.27 \times 10^8$	蒸気発生器 71	水平ばね (kN/m)	$2.94 \times 10^6$	$2.94 \times 10^6$	72	水平ばね (kN/m)	$9.90 \times 10^6$	$2.40 \times 10^7$	73	水平ばね (kN/m)	$1.06 \times 10^7$	$9.80 \times 10^6$	73	回転ばね (kN·m/rad)	$4.98 \times 10^7$	$3.53 \times 10^7$	73	鉛直ばね (kN/m)	—	—	内部コンクリート 74	水平ばね (kN/m)	$2.41 \times 10^8$	$2.41 \times 10^8$	75	回転ばね (kN·m/rad)	$4.64 \times 10^9$	$5.39 \times 10^9$	<p>【女川】【大飯】 ■個別評価による相違 ・評価対象建屋の相違</p>
部材番号	位置	剛性(単位)	EW	NS																																																																																																					
KH05	IC15-IC45	軸剛性(kN/m)	—	$3.56 \times 10^6$																																																																																																					
KH04	IC13-IC43	軸剛性(kN/m)	—	$2.46 \times 10^6$																																																																																																					
KR05	IC15-IC45	曲げ剛性(kN·m/rad)	—	$2.72 \times 10^7$																																																																																																					
KR04	IC13-IC43	曲げ剛性(kN·m/rad)	—	$3.93 \times 10^6$																																																																																																					
KR10	EB28-EB40	曲げ剛性(kN·m/rad)	$1.98 \times 10^6$	—																																																																																																					
KH03	SG08-IC16	軸剛性 (kN/m)	$3.92 \times 10^6$	$3.92 \times 10^6$																																																																																																					
KH02	SG05-IC14	軸剛性 (kN/m)	$1.37 \times 10^7$	$2.84 \times 10^7$																																																																																																					
KH01	SG01-IC12	軸剛性 (kN/m)	$4.15 \times 10^7$	$7.03 \times 10^6$																																																																																																					
KR01	SG01-IC12	曲げ剛性 (kN·m/rad)	$6.49 \times 10^7$	$4.37 \times 10^7$																																																																																																					
部材番号	ばね定数	EW 方向	NS 方向																																																																																																						
周辺補機棟 61	水平ばね (kN/m)	$1.79 \times 10^6$	$3.35 \times 10^7$																																																																																																						
62	水平ばね (kN/m)	$1.55 \times 10^7$	$6.82 \times 10^7$																																																																																																						
63	水平ばね (kN/m)	$7.78 \times 10^7$	$1.44 \times 10^8$																																																																																																						
64	水平ばね (kN/m)	$6.54 \times 10^7$	$9.08 \times 10^7$																																																																																																						
65	水平ばね (kN/m)	$5.08 \times 10^7$	$1.27 \times 10^8$																																																																																																						
蒸気発生器 71	水平ばね (kN/m)	$2.94 \times 10^6$	$2.94 \times 10^6$																																																																																																						
72	水平ばね (kN/m)	$9.90 \times 10^6$	$2.40 \times 10^7$																																																																																																						
73	水平ばね (kN/m)	$1.06 \times 10^7$	$9.80 \times 10^6$																																																																																																						
73	回転ばね (kN·m/rad)	$4.98 \times 10^7$	$3.53 \times 10^7$																																																																																																						
73	鉛直ばね (kN/m)	—	—																																																																																																						
内部コンクリート 74	水平ばね (kN/m)	$2.41 \times 10^8$	$2.41 \times 10^8$																																																																																																						
75	回転ばね (kN·m/rad)	$4.64 \times 10^9$	$5.39 \times 10^9$																																																																																																						
		<b>第3.2.1.c-1-11表 地盤ばね定数と減衰係数（原子炉建屋）</b> <table border="1"> <thead> <tr> <th></th><th>ばね定数</th><th>減衰係数</th></tr> </thead> <tbody> <tr> <td>水平</td><td>EW 方向: <math>1.249 \times 10^6 \text{ (kN/m)}</math> NS 方向: <math>1.218 \times 10^6 \text{ (kN/m)}</math></td><td>青字: <math>1.898 \times 10^7 \text{ (kN}\cdot\text{s/m)}</math> 緑字: <math>1.805 \times 10^7 \text{ (kN}\cdot\text{s/m)}</math></td></tr> <tr> <td>回転</td><td>EW 方向: <math>1.261 \times 10^{12} \text{ (kN}\cdot\text{m/rad)}</math> NS 方向: <math>1.843 \times 10^{12} \text{ (kN}\cdot\text{m/rad)}</math></td><td>青字: <math>7.000 \times 10^9 \text{ (kN}\cdot\text{m}\cdot\text{s/rad)}</math> 緑字: <math>1.447 \times 10^{10} \text{ (kN}\cdot\text{m}\cdot\text{s/rad)}</math></td></tr> </tbody> </table>		ばね定数	減衰係数	水平	EW 方向: $1.249 \times 10^6 \text{ (kN/m)}$ NS 方向: $1.218 \times 10^6 \text{ (kN/m)}$	青字: $1.898 \times 10^7 \text{ (kN}\cdot\text{s/m)}$ 緑字: $1.805 \times 10^7 \text{ (kN}\cdot\text{s/m)}$	回転	EW 方向: $1.261 \times 10^{12} \text{ (kN}\cdot\text{m/rad)}$ NS 方向: $1.843 \times 10^{12} \text{ (kN}\cdot\text{m/rad)}$	青字: $7.000 \times 10^9 \text{ (kN}\cdot\text{m}\cdot\text{s/rad)}$ 緑字: $1.447 \times 10^{10} \text{ (kN}\cdot\text{m}\cdot\text{s/rad)}$																																																																																														
	ばね定数	減衰係数																																																																																																							
水平	EW 方向: $1.249 \times 10^6 \text{ (kN/m)}$ NS 方向: $1.218 \times 10^6 \text{ (kN/m)}$	青字: $1.898 \times 10^7 \text{ (kN}\cdot\text{s/m)}$ 緑字: $1.805 \times 10^7 \text{ (kN}\cdot\text{s/m)}$																																																																																																							
回転	EW 方向: $1.261 \times 10^{12} \text{ (kN}\cdot\text{m/rad)}$ NS 方向: $1.843 \times 10^{12} \text{ (kN}\cdot\text{m/rad)}$	青字: $7.000 \times 10^9 \text{ (kN}\cdot\text{m}\cdot\text{s/rad)}$ 緑字: $1.447 \times 10^{10} \text{ (kN}\cdot\text{m}\cdot\text{s/rad)}$																																																																																																							

## 泊発電所3号炉 有効性評価 比較表

赤字：設備、運用又は体制の相違（設計方針の相違）  
 青字：記載箇所又は記載内容の相違（記載方針の相違）  
 緑字：記載表現、設備名称の相違（実質的な相違なし）

第37条 付録1 事故シーケンスグループ及び重要事故シーケンス等の選定について  
 別添3. レベル1PRA 3.2 外部事象 3.2.1 地震PRA

大飯発電所3／4号炉							女川原子力発電所2号炉		泊発電所3号炉					相違理由																																																																																																																																																				
<b>第1.2.1.c-1-11表 解析モデル諸元（制御建屋 水平）</b>																																																																																																																																																																		
<table border="1"> <thead> <tr> <th>部位</th><th>質点番号</th><th>高さE.L.(m)</th><th>質量(t)</th><th>部材番号</th><th>方向</th><th>せん断断面積(m<sup>2</sup>)</th><th>断面2次モーメント(m<sup>4</sup>)</th><th></th><th></th><th></th><th></th><th></th></tr> </thead> <tbody> <tr> <td rowspan="5">制御建屋(C/B)</td><td>1</td><td>11.5</td><td>10,200</td><td>1</td><td>EW</td><td>244</td><td>54,100</td><td></td><td></td><td></td><td></td><td></td></tr> <tr> <td></td><td></td><td></td><td></td><td>NS</td><td>261</td><td>87,800</td><td></td><td></td><td></td><td></td><td></td></tr> <tr> <td>2</td><td>15.8</td><td>14,600</td><td>2</td><td>EW</td><td>244</td><td>54,100</td><td></td><td></td><td></td><td></td><td></td></tr> <tr> <td></td><td></td><td></td><td></td><td>NS</td><td>261</td><td>87,800</td><td></td><td></td><td></td><td></td><td></td></tr> <tr> <td>3</td><td>21.3</td><td>13,500</td><td>3</td><td>EW</td><td>204</td><td>55,900</td><td></td><td></td><td></td><td></td><td></td></tr> <tr> <td rowspan="5">基礎</td><td></td><td></td><td></td><td></td><td>NS</td><td>218</td><td>54,400</td><td></td><td></td><td></td><td></td><td></td></tr> <tr> <td>4</td><td>26.1</td><td>12,000</td><td>4</td><td>EW</td><td>194</td><td>50,300</td><td></td><td></td><td></td><td></td><td></td></tr> <tr> <td></td><td></td><td></td><td></td><td>NS</td><td>177</td><td>48,400</td><td></td><td></td><td></td><td></td><td></td></tr> <tr> <td>5</td><td>33.6</td><td>8,800</td><td>5</td><td>EW</td><td>153</td><td>34,900</td><td></td><td></td><td></td><td></td><td></td></tr> <tr> <td></td><td></td><td></td><td></td><td>NS</td><td>129</td><td>38,300</td><td></td><td></td><td></td><td></td><td></td></tr> <tr> <td colspan="7">(注) 網掛け: RC部材</td><td colspan="6" rowspan="3"></td><td></td></tr> </tbody> </table>													部位	質点番号	高さE.L.(m)	質量(t)	部材番号	方向	せん断断面積(m <sup>2</sup> )	断面2次モーメント(m <sup>4</sup> )						制御建屋(C/B)	1	11.5	10,200	1	EW	244	54,100										NS	261	87,800						2	15.8	14,600	2	EW	244	54,100										NS	261	87,800						3	21.3	13,500	3	EW	204	55,900						基礎					NS	218	54,400						4	26.1	12,000	4	EW	194	50,300										NS	177	48,400						5	33.6	8,800	5	EW	153	34,900										NS	129	38,300						(注) 網掛け: RC部材														
部位	質点番号	高さE.L.(m)	質量(t)	部材番号	方向	せん断断面積(m <sup>2</sup> )	断面2次モーメント(m <sup>4</sup> )																																																																																																																																																											
制御建屋(C/B)	1	11.5	10,200	1	EW	244	54,100																																																																																																																																																											
					NS	261	87,800																																																																																																																																																											
	2	15.8	14,600	2	EW	244	54,100																																																																																																																																																											
					NS	261	87,800																																																																																																																																																											
	3	21.3	13,500	3	EW	204	55,900																																																																																																																																																											
基礎					NS	218	54,400																																																																																																																																																											
	4	26.1	12,000	4	EW	194	50,300																																																																																																																																																											
					NS	177	48,400																																																																																																																																																											
	5	33.6	8,800	5	EW	153	34,900																																																																																																																																																											
					NS	129	38,300																																																																																																																																																											
(注) 網掛け: RC部材																																																																																																																																																																		
<b>第3.2.1.c-1-12 表 原子炉補助建屋の地震応答解析モデル諸元(1/2)</b>																																																																																																																																																																		
<table border="1"> <thead> <tr> <th rowspan="2">構造物</th><th rowspan="2">質点番号( )</th><th rowspan="2">質点高さT.P.(m)</th><th rowspan="2">重量(kN)</th><th colspan="2">重量回転慣性(kN·m<sup>2</sup>)</th></tr> <tr> <th>EW方向</th><th>NS方向</th></tr> </thead> <tbody> <tr> <td rowspan="12">上部構造物</td><td>1</td><td>47.6</td><td>6,840</td><td>2.18×10<sup>5</sup></td><td>2.45×10<sup>5</sup></td></tr> <tr> <td>2</td><td>43.3</td><td>5,890</td><td>1.89×10<sup>5</sup></td><td>2.21×10<sup>5</sup></td></tr> <tr> <td>3</td><td>40.3</td><td>10,120</td><td>3.44×10<sup>5</sup></td><td>5.68×10<sup>5</sup></td></tr> <tr> <td>4</td><td>42.2</td><td>6,770</td><td>1.66×10<sup>5</sup></td><td>2.36×10<sup>5</sup></td></tr> <tr> <td>5</td><td>38.1</td><td>10,640</td><td>6.60×10<sup>5</sup></td><td>9.14×10<sup>5</sup></td></tr> <tr> <td>6</td><td>33.1</td><td>116,650</td><td>3.74×10<sup>7</sup></td><td>3.43×10<sup>7</sup></td></tr> <tr> <td>7</td><td>24.8</td><td>197,500</td><td>6.57×10<sup>7</sup></td><td>7.37×10<sup>7</sup></td></tr> <tr> <td>8</td><td>17.8</td><td>221,080</td><td>7.21×10<sup>7</sup></td><td>8.16×10<sup>7</sup></td></tr> <tr> <td>9</td><td>10.3</td><td>213,440</td><td>7.29×10<sup>7</sup></td><td>7.44×10<sup>7</sup></td></tr> <tr> <td>(10)</td><td>2.8</td><td>—</td><td>—</td><td>—</td></tr> <tr> <td>11</td><td>1.1</td><td>399,540</td><td>1.28×10<sup>8</sup></td><td>1.41×10<sup>8</sup></td></tr> <tr> <td>(12)</td><td>0.3</td><td>—</td><td>—</td><td>—</td></tr> <tr> <td colspan="4">総重量</td><td colspan="2" rowspan="3">1,188,470</td><td></td><td colspan="6" rowspan="3"></td><td></td></tr> </tbody> </table>													構造物	質点番号( )	質点高さT.P.(m)	重量(kN)	重量回転慣性(kN·m <sup>2</sup> )		EW方向	NS方向	上部構造物	1	47.6	6,840	2.18×10 <sup>5</sup>	2.45×10 <sup>5</sup>	2	43.3	5,890	1.89×10 <sup>5</sup>	2.21×10 <sup>5</sup>	3	40.3	10,120	3.44×10 <sup>5</sup>	5.68×10 <sup>5</sup>	4	42.2	6,770	1.66×10 <sup>5</sup>	2.36×10 <sup>5</sup>	5	38.1	10,640	6.60×10 <sup>5</sup>	9.14×10 <sup>5</sup>	6	33.1	116,650	3.74×10 <sup>7</sup>	3.43×10 <sup>7</sup>	7	24.8	197,500	6.57×10 <sup>7</sup>	7.37×10 <sup>7</sup>	8	17.8	221,080	7.21×10 <sup>7</sup>	8.16×10 <sup>7</sup>	9	10.3	213,440	7.29×10 <sup>7</sup>	7.44×10 <sup>7</sup>	(10)	2.8	—	—	—	11	1.1	399,540	1.28×10 <sup>8</sup>	1.41×10 <sup>8</sup>	(12)	0.3	—	—	—	総重量				1,188,470																																																																												
構造物	質点番号( )	質点高さT.P.(m)	重量(kN)	重量回転慣性(kN·m <sup>2</sup> )																																																																																																																																																														
				EW方向	NS方向																																																																																																																																																													
上部構造物	1	47.6	6,840	2.18×10 <sup>5</sup>	2.45×10 <sup>5</sup>																																																																																																																																																													
	2	43.3	5,890	1.89×10 <sup>5</sup>	2.21×10 <sup>5</sup>																																																																																																																																																													
	3	40.3	10,120	3.44×10 <sup>5</sup>	5.68×10 <sup>5</sup>																																																																																																																																																													
	4	42.2	6,770	1.66×10 <sup>5</sup>	2.36×10 <sup>5</sup>																																																																																																																																																													
	5	38.1	10,640	6.60×10 <sup>5</sup>	9.14×10 <sup>5</sup>																																																																																																																																																													
	6	33.1	116,650	3.74×10 <sup>7</sup>	3.43×10 <sup>7</sup>																																																																																																																																																													
	7	24.8	197,500	6.57×10 <sup>7</sup>	7.37×10 <sup>7</sup>																																																																																																																																																													
	8	17.8	221,080	7.21×10 <sup>7</sup>	8.16×10 <sup>7</sup>																																																																																																																																																													
	9	10.3	213,440	7.29×10 <sup>7</sup>	7.44×10 <sup>7</sup>																																																																																																																																																													
	(10)	2.8	—	—	—																																																																																																																																																													
	11	1.1	399,540	1.28×10 <sup>8</sup>	1.41×10 <sup>8</sup>																																																																																																																																																													
	(12)	0.3	—	—	—																																																																																																																																																													
総重量				1,188,470																																																																																																																																																														
<b>第3.2.1.c-1-12 表 原子炉補助建屋の地震応答解析モデル諸元(2/2)</b>																																																																																																																																																																		
<table border="1"> <thead> <tr> <th rowspan="2">構造物</th><th rowspan="2">部材番号</th><th colspan="2">EW方向</th><th colspan="2">NS方向</th></tr> <tr> <th>せん断断面積(m<sup>2</sup>)</th><th>断面2次モーメント(m<sup>4</sup>)</th><th>せん断断面積(m<sup>2</sup>)</th><th>断面2次モーメント(m<sup>4</sup>)</th></tr> </thead> <tbody> <tr> <td rowspan="9">上部構造物</td><td>1</td><td>13.4</td><td>807</td><td>12.1</td><td>717</td></tr> <tr> <td>2</td><td>15.2</td><td>823</td><td>14.9</td><td>787</td></tr> <tr> <td>3</td><td>24.1</td><td>1,543</td><td>25.7</td><td>1,572</td></tr> <tr> <td>4</td><td>16.3</td><td>642</td><td>17.9</td><td>976</td></tr> <tr> <td>5</td><td>22.4</td><td>1,050</td><td>20.8</td><td>1,940</td></tr> <tr> <td>6</td><td>117</td><td>36,310</td><td>105</td><td>38,960</td></tr> <tr> <td>7</td><td>255</td><td>77,420</td><td>205</td><td>79,390</td></tr> <tr> <td>8</td><td>214</td><td>80,280</td><td>224</td><td>73,980</td></tr> <tr> <td>9</td><td>248</td><td>73,610</td><td>294</td><td>91,880</td></tr> </tbody> </table>													構造物	部材番号	EW方向		NS方向		せん断断面積(m <sup>2</sup> )	断面2次モーメント(m <sup>4</sup> )	せん断断面積(m <sup>2</sup> )	断面2次モーメント(m <sup>4</sup> )	上部構造物	1	13.4	807	12.1	717	2	15.2	823	14.9	787	3	24.1	1,543	25.7	1,572	4	16.3	642	17.9	976	5	22.4	1,050	20.8	1,940	6	117	36,310	105	38,960	7	255	77,420	205	79,390	8	214	80,280	224	73,980	9	248	73,610	294	91,880																																																																																														
構造物	部材番号	EW方向		NS方向																																																																																																																																																														
		せん断断面積(m <sup>2</sup> )	断面2次モーメント(m <sup>4</sup> )	せん断断面積(m <sup>2</sup> )	断面2次モーメント(m <sup>4</sup> )																																																																																																																																																													
上部構造物	1	13.4	807	12.1	717																																																																																																																																																													
	2	15.2	823	14.9	787																																																																																																																																																													
	3	24.1	1,543	25.7	1,572																																																																																																																																																													
	4	16.3	642	17.9	976																																																																																																																																																													
	5	22.4	1,050	20.8	1,940																																																																																																																																																													
	6	117	36,310	105	38,960																																																																																																																																																													
	7	255	77,420	205	79,390																																																																																																																																																													
	8	214	80,280	224	73,980																																																																																																																																																													
	9	248	73,610	294	91,880																																																																																																																																																													
<span style="color: red;">【女川】【大飯】</span> <span style="color: red;">■個別評価による相違</span> <span style="color: red;">・評価対象建屋の相違</span>																																																																																																																																																																		

## 泊発電所3号炉 有効性評価 比較表

第37条 付録1 事故シーケンスグループ及び重要事故シーケンス等の選定について  
別添3 レベル1PRA 3.2 外部事象 3.2.1 地震PRA

赤字：設備、運用又は体制の相違（設計方針の相違）  
青字：記載箇所又は記載内容の相違（記載方針の相違）  
緑字：記載表現、設備名称の相違（実質的な相違なし）

大飯発電所3／4号炉	女川原子力発電所2号炉	泊発電所3号炉	相違理由																																																																																																																												
		<p style="text-align: center;">第3.2.1.e-1-13表 地盤ばね定数と減衰係数（原子炉補助建屋）</p> <table border="1" style="width: 100%; border-collapse: collapse; text-align: center;"> <thead> <tr> <th rowspan="2"></th> <th colspan="2">ばね定数</th> <th colspan="2">減衰係数</th> </tr> <tr> <th>EW方向</th> <th>NS方向</th> <th>EW方向</th> <th>NS方向</th> </tr> </thead> <tbody> <tr> <td>水平</td> <td><math>1.027 \times 10^9</math> (kN/m)</td> <td><math>1.805 \times 10^7</math> (kN·s/m)</td> <td></td> <td></td> </tr> <tr> <td></td> <td><math>1.025 \times 10^9</math> (kN/m)</td> <td><math>1.800 \times 10^7</math> (kN·s/m)</td> <td></td> <td></td> </tr> <tr> <td>回転</td> <td><math>9.259 \times 10^{11}</math> (kN·m/rad)</td> <td><math>4.894 \times 10^8</math> (kN·m·s/rad)</td> <td></td> <td></td> </tr> <tr> <td></td> <td><math>9.709 \times 10^{11}</math> (kN·m/rad)</td> <td><math>5.439 \times 10^8</math> (kN·m·s/rad)</td> <td></td> <td></td> </tr> </tbody> </table> <p style="text-align: center;">第3.2.1.e-1-14表 ディーゼル発電機建屋の地震応答解析モデル諸元（1/2）</p> <table border="1" style="width: 100%; border-collapse: collapse; text-align: center;"> <thead> <tr> <th rowspan="2">構造物</th> <th rowspan="2">質点番号 ( ) 節点</th> <th rowspan="2">質点高さ T.P. (m)</th> <th rowspan="2">重量 (kN)</th> <th colspan="2">重量回転慣性 (kN·m<sup>2</sup>)</th> </tr> <tr> <th>EW方向</th> <th>NS方向</th> </tr> </thead> <tbody> <tr> <td>上部構造物</td> <td>1</td> <td>18.8</td> <td>15,340</td> <td><math>8.1240 \times 10^3</math></td> <td><math>8.6240 \times 10^3</math></td> </tr> <tr> <td></td> <td>2</td> <td>10.3</td> <td>23,030</td> <td><math>1.0530 \times 10^4</math></td> <td><math>1.2430 \times 10^4</math></td> </tr> <tr> <td>基礎版</td> <td>(3)</td> <td>6.2</td> <td>—</td> <td>—</td> <td>—</td> </tr> <tr> <td></td> <td>4</td> <td>5.74</td> <td>33,270</td> <td><math>1.3070 \times 10^6</math></td> <td><math>1.5570 \times 10^6</math></td> </tr> <tr> <td></td> <td>(5)</td> <td>4.2</td> <td>—</td> <td>—</td> <td>—</td> </tr> <tr> <td colspan="4">総重量</td><td colspan="2">71,640</td></tr> </tbody> </table> <p style="text-align: center;">第3.2.1.e-1-14表 ディーゼル発電機建屋の地震応答解析モデル諸元（2/2）</p> <table border="1" style="width: 100%; border-collapse: collapse; text-align: center;"> <thead> <tr> <th rowspan="2">構造物</th> <th rowspan="2">部材番号</th> <th colspan="2">EW方向</th> <th colspan="2">NS方向</th> </tr> <tr> <th>せん断断面積 (m<sup>2</sup>)</th> <th>断面2次モーメント (m<sup>4</sup>)</th> <th>せん断断面積 (m<sup>2</sup>)</th> <th>断面2次モーメント (m<sup>4</sup>)</th> </tr> </thead> <tbody> <tr> <td>上部構造物</td> <td>1</td> <td>28.8</td> <td>2,512</td> <td>10.4</td> <td>2,276</td> </tr> <tr> <td></td> <td>2</td> <td>154</td> <td>5,230</td> <td>154</td> <td>3,988</td> </tr> </tbody> </table> <p style="text-align: center;">第3.2.1.e-1-15表 地盤ばね定数と減衰係数（ディーゼル発電機建屋）</p> <table border="1" style="width: 100%; border-collapse: collapse; text-align: center;"> <thead> <tr> <th rowspan="2"></th> <th colspan="2">ばね定数</th> <th colspan="2">減衰係数</th> </tr> <tr> <th>EW方向</th> <th>NS方向</th> <th>EW方向</th> <th>NS方向</th> </tr> </thead> <tbody> <tr> <td>水平</td> <td><math>3.547 \times 10^8</math> (kN/m)</td> <td><math>1.105 \times 10^6</math> (kN·s/m)</td> <td></td> <td></td> </tr> <tr> <td></td> <td><math>3.538 \times 10^8</math> (kN/m)</td> <td><math>9.226 \times 10^5</math> (kN·s/m)</td> <td></td> <td></td> </tr> <tr> <td>回転</td> <td><math>4.623 \times 10^{10}</math> (kN·m/rad)</td> <td><math>2.023 \times 10^7</math> (kN·m·s/rad)</td> <td></td> <td></td> </tr> <tr> <td></td> <td><math>4.987 \times 10^{10}</math> (kN·m/rad)</td> <td><math>1.597 \times 10^7</math> (kN·m·s/rad)</td> <td></td> <td></td> </tr> </tbody> </table>		ばね定数		減衰係数		EW方向	NS方向	EW方向	NS方向	水平	$1.027 \times 10^9$ (kN/m)	$1.805 \times 10^7$ (kN·s/m)				$1.025 \times 10^9$ (kN/m)	$1.800 \times 10^7$ (kN·s/m)			回転	$9.259 \times 10^{11}$ (kN·m/rad)	$4.894 \times 10^8$ (kN·m·s/rad)				$9.709 \times 10^{11}$ (kN·m/rad)	$5.439 \times 10^8$ (kN·m·s/rad)			構造物	質点番号 ( ) 節点	質点高さ T.P. (m)	重量 (kN)	重量回転慣性 (kN·m <sup>2</sup> )		EW方向	NS方向	上部構造物	1	18.8	15,340	$8.1240 \times 10^3$	$8.6240 \times 10^3$		2	10.3	23,030	$1.0530 \times 10^4$	$1.2430 \times 10^4$	基礎版	(3)	6.2	—	—	—		4	5.74	33,270	$1.3070 \times 10^6$	$1.5570 \times 10^6$		(5)	4.2	—	—	—	総重量				71,640		構造物	部材番号	EW方向		NS方向		せん断断面積 (m <sup>2</sup> )	断面2次モーメント (m <sup>4</sup> )	せん断断面積 (m <sup>2</sup> )	断面2次モーメント (m <sup>4</sup> )	上部構造物	1	28.8	2,512	10.4	2,276		2	154	5,230	154	3,988		ばね定数		減衰係数		EW方向	NS方向	EW方向	NS方向	水平	$3.547 \times 10^8$ (kN/m)	$1.105 \times 10^6$ (kN·s/m)				$3.538 \times 10^8$ (kN/m)	$9.226 \times 10^5$ (kN·s/m)			回転	$4.623 \times 10^{10}$ (kN·m/rad)	$2.023 \times 10^7$ (kN·m·s/rad)				$4.987 \times 10^{10}$ (kN·m/rad)	$1.597 \times 10^7$ (kN·m·s/rad)			<p style="color: red; font-weight: bold;">【女川】【大飯】</p> <ul style="list-style-type: none"> <li>■個別評価による相違</li> <li>・評価対象建屋の相違</li> </ul>
	ばね定数			減衰係数																																																																																																																											
	EW方向	NS方向	EW方向	NS方向																																																																																																																											
水平	$1.027 \times 10^9$ (kN/m)	$1.805 \times 10^7$ (kN·s/m)																																																																																																																													
	$1.025 \times 10^9$ (kN/m)	$1.800 \times 10^7$ (kN·s/m)																																																																																																																													
回転	$9.259 \times 10^{11}$ (kN·m/rad)	$4.894 \times 10^8$ (kN·m·s/rad)																																																																																																																													
	$9.709 \times 10^{11}$ (kN·m/rad)	$5.439 \times 10^8$ (kN·m·s/rad)																																																																																																																													
構造物	質点番号 ( ) 節点	質点高さ T.P. (m)	重量 (kN)	重量回転慣性 (kN·m <sup>2</sup> )																																																																																																																											
				EW方向	NS方向																																																																																																																										
上部構造物	1	18.8	15,340	$8.1240 \times 10^3$	$8.6240 \times 10^3$																																																																																																																										
	2	10.3	23,030	$1.0530 \times 10^4$	$1.2430 \times 10^4$																																																																																																																										
基礎版	(3)	6.2	—	—	—																																																																																																																										
	4	5.74	33,270	$1.3070 \times 10^6$	$1.5570 \times 10^6$																																																																																																																										
	(5)	4.2	—	—	—																																																																																																																										
総重量				71,640																																																																																																																											
構造物	部材番号	EW方向		NS方向																																																																																																																											
		せん断断面積 (m <sup>2</sup> )	断面2次モーメント (m <sup>4</sup> )	せん断断面積 (m <sup>2</sup> )	断面2次モーメント (m <sup>4</sup> )																																																																																																																										
上部構造物	1	28.8	2,512	10.4	2,276																																																																																																																										
	2	154	5,230	154	3,988																																																																																																																										
	ばね定数		減衰係数																																																																																																																												
	EW方向	NS方向	EW方向	NS方向																																																																																																																											
水平	$3.547 \times 10^8$ (kN/m)	$1.105 \times 10^6$ (kN·s/m)																																																																																																																													
	$3.538 \times 10^8$ (kN/m)	$9.226 \times 10^5$ (kN·s/m)																																																																																																																													
回転	$4.623 \times 10^{10}$ (kN·m/rad)	$2.023 \times 10^7$ (kN·m·s/rad)																																																																																																																													
	$4.987 \times 10^{10}$ (kN·m/rad)	$1.597 \times 10^7$ (kN·m·s/rad)																																																																																																																													

## 泊発電所3号炉 有効性評価 比較表

赤字：設備、運用又は体制の相違（設計方針の相違）  
 青字：記載箇所又は記載内容の相違（記載方針の相違）  
 緑字：記載表現、設備名称の相違（実質的な相違なし）

第37条 付録1 事故シーケンスグループ及び重要事故シーケンス等の選定について

別添 3. レベル1PRA 3.2 外部事象 3.2.1 地震PRA

大飯発電所3／4号炉	女川原子力発電所2号炉	泊発電所3号炉	相違理由																																																																																																																																			
		<p>第3.2.1.c-1-16 表 A1, A2 - 燃料油貯油槽タンク室の地震応答解析モデル諸元 (1/2)</p> <table border="1"> <thead> <tr> <th rowspan="2">構造物</th> <th rowspan="2">質点番号 ( ) 節点</th> <th rowspan="2">質点高さ T.P. (m)</th> <th rowspan="2">重 量 (kN)</th> <th colspan="2">重畠回転慣性 (kN·m<sup>2</sup>)</th> </tr> <tr> <th>EW 方向</th> <th>NS 方向</th> </tr> </thead> <tbody> <tr> <td rowspan="2">上部構造物</td> <td>1</td> <td>8.8</td> <td><math>12,100</math></td> <td><math>2.63 \times 10^7</math></td> <td><math>1.88 \times 10^7</math></td> </tr> <tr> <td>2</td> <td>5.7</td> <td>7,820</td> <td><math>1.51 \times 10^7</math></td> <td><math>1.18 \times 10^7</math></td> </tr> <tr> <td rowspan="3">基礎版</td> <td>(3)</td> <td>3.1</td> <td>—</td> <td>—</td> <td>—</td> </tr> <tr> <td>4</td> <td>2.6</td> <td>8,770</td> <td><math>1.61 \times 10^7</math></td> <td><math>1.32 \times 10^7</math></td> </tr> <tr> <td>(5)</td> <td>2.1</td> <td>—</td> <td>—</td> <td>—</td> </tr> <tr> <td colspan="3">総重量</td><td>28,690</td><td colspan="2"></td></tr> </tbody> </table> <p>第3.2.1.c-1-16 表 A1, A2 - 燃料油貯油槽タンク室の地震応答解析モデル諸元 (2/2)</p> <table border="1"> <thead> <tr> <th rowspan="2">構造物</th> <th rowspan="2">部材番号</th> <th colspan="2">EW 方向</th> <th colspan="2">NS 方向</th> </tr> <tr> <th>せん断断面積 [m<sup>2</sup>]</th> <th>断面2次モーメント [m<sup>4</sup>]</th> <th>せん断断面積 [m<sup>2</sup>]</th> <th>断面2次モーメント [m<sup>4</sup>]</th> </tr> </thead> <tbody> <tr> <td rowspan="2">上部構造物</td> <td>1</td> <td>29.4</td> <td>1,105</td> <td>17.6</td> <td>497</td> </tr> <tr> <td>2</td> <td>29.4</td> <td>1,105</td> <td>17.6</td> <td>497</td> </tr> </tbody> </table> <p>第3.2.1.c-1-17 表 地盤ばね定数と減衰係数 (A1, A2 - 燃料油貯油槽タンク室)</p> <table border="1"> <thead> <tr> <th rowspan="2"></th> <th colspan="2">ばね定数</th> <th colspan="2">減衰係数</th> </tr> <tr> <th>EW 方向</th> <th>NS 方向</th> <th>EW 方向</th> <th>NS 方向</th> </tr> </thead> <tbody> <tr> <td rowspan="2">水平</td> <td><math>3.031 \times 10^6</math> (kN/m)</td> <td><math>7.330 \times 10^6</math> (kN·s/m)</td> <td></td> <td></td> </tr> <tr> <td><math>3.042 \times 10^6</math> (kN/m)</td> <td><math>6.976 \times 10^6</math> (kN·s/m)</td> <td></td> <td></td> </tr> <tr> <td rowspan="2">回転</td> <td><math>1.729 \times 10^{10}</math> (kN·m/rad)</td> <td><math>1.038 \times 10^6</math> (kN·s·rad)</td> <td></td> <td></td> </tr> <tr> <td><math>1.505 \times 10^{10}</math> (kN·m/rad)</td> <td><math>7.645 \times 10^4</math> (kN·s·rad)</td> <td></td> <td></td> </tr> <tr> <td rowspan="8">側面ばね</td> <td>T.P. 8.8m</td> <td><math>3.929 \times 10^7</math> (kN/m)</td> <td><math>5.170 \times 10^5</math> (kN·s/m)</td> <td></td> </tr> <tr> <td>T.P. 5.7m</td> <td><math>4.072 \times 10^7</math> (kN/m)</td> <td><math>5.358 \times 10^5</math> (kN·s/m)</td> <td></td> </tr> <tr> <td>T.P. 3.1m</td> <td><math>2.215 \times 10^7</math> (kN/m)</td> <td><math>2.914 \times 10^5</math> (kN·s/m)</td> <td></td> </tr> <tr> <td>T.P. 2.6m</td> <td><math>7.141 \times 10^6</math> (kN/m)</td> <td><math>9.400 \times 10^4</math> (kN·s/m)</td> <td></td> </tr> <tr> <td>T.P. 2.1m</td> <td><math>3.572 \times 10^6</math> (kN/m)</td> <td><math>4.700 \times 10^4</math> (kN·s/m)</td> <td></td> </tr> <tr> <td>T.P. 8.8m</td> <td><math>4.163 \times 10^7</math> (kN/m)</td> <td><math>4.568 \times 10^5</math> (kN·s/m)</td> <td></td> </tr> <tr> <td>T.P. 5.7m</td> <td><math>4.314 \times 10^7</math> (kN/m)</td> <td><math>4.735 \times 10^5</math> (kN·s/m)</td> <td></td> </tr> <tr> <td>T.P. 3.1m</td> <td><math>2.346 \times 10^7</math> (kN/m)</td> <td><math>2.575 \times 10^5</math> (kN·s/m)</td> <td></td> </tr> <tr> <td rowspan="2">NS 方向</td> <td>T.P. 2.6m</td> <td><math>7.568 \times 10^6</math> (kN/m)</td> <td><math>8.306 \times 10^4</math> (kN·s/m)</td> <td></td> </tr> <tr> <td>T.P. 2.1m</td> <td><math>3.781 \times 10^6</math> (kN/m)</td> <td><math>4.153 \times 10^4</math> (kN·s/m)</td> <td></td> </tr> </tbody> </table>	構造物	質点番号 ( ) 節点	質点高さ T.P. (m)	重 量 (kN)	重畠回転慣性 (kN·m <sup>2</sup> )		EW 方向	NS 方向	上部構造物	1	8.8	$12,100$	$2.63 \times 10^7$	$1.88 \times 10^7$	2	5.7	7,820	$1.51 \times 10^7$	$1.18 \times 10^7$	基礎版	(3)	3.1	—	—	—	4	2.6	8,770	$1.61 \times 10^7$	$1.32 \times 10^7$	(5)	2.1	—	—	—	総重量			28,690			構造物	部材番号	EW 方向		NS 方向		せん断断面積 [m <sup>2</sup> ]	断面2次モーメント [m <sup>4</sup> ]	せん断断面積 [m <sup>2</sup> ]	断面2次モーメント [m <sup>4</sup> ]	上部構造物	1	29.4	1,105	17.6	497	2	29.4	1,105	17.6	497		ばね定数		減衰係数		EW 方向	NS 方向	EW 方向	NS 方向	水平	$3.031 \times 10^6$ (kN/m)	$7.330 \times 10^6$ (kN·s/m)			$3.042 \times 10^6$ (kN/m)	$6.976 \times 10^6$ (kN·s/m)			回転	$1.729 \times 10^{10}$ (kN·m/rad)	$1.038 \times 10^6$ (kN·s·rad)			$1.505 \times 10^{10}$ (kN·m/rad)	$7.645 \times 10^4$ (kN·s·rad)			側面ばね	T.P. 8.8m	$3.929 \times 10^7$ (kN/m)	$5.170 \times 10^5$ (kN·s/m)		T.P. 5.7m	$4.072 \times 10^7$ (kN/m)	$5.358 \times 10^5$ (kN·s/m)		T.P. 3.1m	$2.215 \times 10^7$ (kN/m)	$2.914 \times 10^5$ (kN·s/m)		T.P. 2.6m	$7.141 \times 10^6$ (kN/m)	$9.400 \times 10^4$ (kN·s/m)		T.P. 2.1m	$3.572 \times 10^6$ (kN/m)	$4.700 \times 10^4$ (kN·s/m)		T.P. 8.8m	$4.163 \times 10^7$ (kN/m)	$4.568 \times 10^5$ (kN·s/m)		T.P. 5.7m	$4.314 \times 10^7$ (kN/m)	$4.735 \times 10^5$ (kN·s/m)		T.P. 3.1m	$2.346 \times 10^7$ (kN/m)	$2.575 \times 10^5$ (kN·s/m)		NS 方向	T.P. 2.6m	$7.568 \times 10^6$ (kN/m)	$8.306 \times 10^4$ (kN·s/m)		T.P. 2.1m	$3.781 \times 10^6$ (kN/m)	$4.153 \times 10^4$ (kN·s/m)		<p>【女川】【大飯】</p> <ul style="list-style-type: none"> <li>■個別評価による相違</li> <li>・評価対象建屋の相違</li> </ul>
構造物	質点番号 ( ) 節点	質点高さ T.P. (m)					重 量 (kN)	重畠回転慣性 (kN·m <sup>2</sup> )																																																																																																																														
			EW 方向	NS 方向																																																																																																																																		
上部構造物	1	8.8	$12,100$	$2.63 \times 10^7$	$1.88 \times 10^7$																																																																																																																																	
	2	5.7	7,820	$1.51 \times 10^7$	$1.18 \times 10^7$																																																																																																																																	
基礎版	(3)	3.1	—	—	—																																																																																																																																	
	4	2.6	8,770	$1.61 \times 10^7$	$1.32 \times 10^7$																																																																																																																																	
	(5)	2.1	—	—	—																																																																																																																																	
総重量			28,690																																																																																																																																			
構造物	部材番号	EW 方向		NS 方向																																																																																																																																		
		せん断断面積 [m <sup>2</sup> ]	断面2次モーメント [m <sup>4</sup> ]	せん断断面積 [m <sup>2</sup> ]	断面2次モーメント [m <sup>4</sup> ]																																																																																																																																	
上部構造物	1	29.4	1,105	17.6	497																																																																																																																																	
	2	29.4	1,105	17.6	497																																																																																																																																	
	ばね定数		減衰係数																																																																																																																																			
	EW 方向	NS 方向	EW 方向	NS 方向																																																																																																																																		
水平	$3.031 \times 10^6$ (kN/m)	$7.330 \times 10^6$ (kN·s/m)																																																																																																																																				
	$3.042 \times 10^6$ (kN/m)	$6.976 \times 10^6$ (kN·s/m)																																																																																																																																				
回転	$1.729 \times 10^{10}$ (kN·m/rad)	$1.038 \times 10^6$ (kN·s·rad)																																																																																																																																				
	$1.505 \times 10^{10}$ (kN·m/rad)	$7.645 \times 10^4$ (kN·s·rad)																																																																																																																																				
側面ばね	T.P. 8.8m	$3.929 \times 10^7$ (kN/m)	$5.170 \times 10^5$ (kN·s/m)																																																																																																																																			
	T.P. 5.7m	$4.072 \times 10^7$ (kN/m)	$5.358 \times 10^5$ (kN·s/m)																																																																																																																																			
	T.P. 3.1m	$2.215 \times 10^7$ (kN/m)	$2.914 \times 10^5$ (kN·s/m)																																																																																																																																			
	T.P. 2.6m	$7.141 \times 10^6$ (kN/m)	$9.400 \times 10^4$ (kN·s/m)																																																																																																																																			
	T.P. 2.1m	$3.572 \times 10^6$ (kN/m)	$4.700 \times 10^4$ (kN·s/m)																																																																																																																																			
	T.P. 8.8m	$4.163 \times 10^7$ (kN/m)	$4.568 \times 10^5$ (kN·s/m)																																																																																																																																			
	T.P. 5.7m	$4.314 \times 10^7$ (kN/m)	$4.735 \times 10^5$ (kN·s/m)																																																																																																																																			
	T.P. 3.1m	$2.346 \times 10^7$ (kN/m)	$2.575 \times 10^5$ (kN·s/m)																																																																																																																																			
NS 方向	T.P. 2.6m	$7.568 \times 10^6$ (kN/m)	$8.306 \times 10^4$ (kN·s/m)																																																																																																																																			
	T.P. 2.1m	$3.781 \times 10^6$ (kN/m)	$4.153 \times 10^4$ (kN·s/m)																																																																																																																																			

## 泊発電所3号炉 有効性評価 比較表

第37条 付録1 事故シーケンスグループ及び重要事故シーケンス等の選定について  
別添 3. レベル1PRA 3.2 外部事象 3.2.1 地震PRA

赤字：設備、運用又は体制の相違（設計方針の相違）  
青字：記載箇所又は記載内容の相違（記載方針の相違）  
緑字：記載表現、設備名称の相違（実質的な相違なし）

大飯発電所3／4号炉	女川原子力発電所2号炉	泊発電所3号炉	相違理由																																																																																																																																																	
		<p>第3.2.1.c-1-18 表 B1, B2 - 燃料油貯油槽タンク室の地震応答解析モデル諸元 (1/2)</p> <table border="1"> <thead> <tr> <th rowspan="2">構造物</th> <th rowspan="2">質点番号 ( ) 節点</th> <th rowspan="2">質点高さ T.P. (m)</th> <th colspan="2">重量</th> <th rowspan="2">重量回転慣性 (kN·m<sup>2</sup>)</th> <th rowspan="2">EW 方向</th> <th rowspan="2">NS 方向</th> </tr> <tr> <th>重 量 (kN)</th> <th>重 量 回 転 慣 性 (kN)</th> </tr> </thead> <tbody> <tr> <td rowspan="2">上部 構造物</td> <td>1</td> <td>8.8</td> <td>12,520</td> <td><math>2.45 \times 10^5</math></td> <td><math>2.03 \times 10^5</math></td> <td></td> <td></td> </tr> <tr> <td>2</td> <td>5.8</td> <td>9,430</td> <td><math>1.83 \times 10^5</math></td> <td><math>1.51 \times 10^5</math></td> <td></td> <td></td> </tr> <tr> <td rowspan="3">基礎版</td> <td>(3)</td> <td>3.0</td> <td>—</td> <td>—</td> <td>—</td> <td></td> <td></td> </tr> <tr> <td>4</td> <td>2.5</td> <td>10,390</td> <td><math>2.02 \times 10^5</math></td> <td><math>1.67 \times 10^5</math></td> <td></td> <td></td> </tr> <tr> <td>(5)</td> <td>2.0</td> <td>—</td> <td>—</td> <td>—</td> <td></td> <td></td> </tr> <tr> <td colspan="3">総重量</td><td colspan="5">32,340</td></tr> </tbody> </table> <p>第3.2.1.c-1-18 表 B1, B2 - 燃料油貯油槽タンク室の地震応答解析モデル諸元 (2/2)</p> <table border="1"> <thead> <tr> <th rowspan="2">構造物</th> <th rowspan="2">部材 番号</th> <th colspan="2">EW 方向</th> <th colspan="2">NS 方向</th> </tr> <tr> <th>せん断 断面積 (m<sup>2</sup>)</th> <th>断面2次 モーメント (m<sup>4</sup>)</th> <th>せん断 断面積 (m<sup>2</sup>)</th> <th>断面2次 モーメント (m<sup>4</sup>)</th> </tr> </thead> <tbody> <tr> <td rowspan="2">上部 構造物</td> <td>1</td> <td>37.8</td> <td>1,444</td> <td>24.7</td> <td>725</td> </tr> <tr> <td>2</td> <td>37.8</td> <td>1,444</td> <td>24.7</td> <td>725</td> </tr> </tbody> </table> <p>第3.2.1.c-1-19 表 地盤ばね定数と減衰係数 (B1, B2 - 燃料油貯油槽タンク室)</p> <table border="1"> <thead> <tr> <th rowspan="2"></th> <th colspan="2">ばね定数</th> <th colspan="2">減衰係数</th> </tr> <tr> <th>EW 方向</th> <th>NS 方向</th> <th>EW 方向</th> <th>NS 方向</th> </tr> </thead> <tbody> <tr> <td rowspan="2">水平</td> <td><math>2.081 \times 10^6</math> (kN/m)</td> <td><math>5.589 \times 10^5</math> (kN·s/m)</td> <td><math>2.114 \times 10^6</math> (kN/m)</td> <td><math>5.506 \times 10^5</math> (kN·s/m)</td> </tr> <tr> <td><math>1.179 \times 10^{10}</math> (kN·m/rad)</td> <td><math>7.245 \times 10^6</math> (kN·m·s/rad)</td> <td><math>1.015 \times 10^{10}</math> (kN·m/rad)</td> <td><math>5.114 \times 10^6</math> (kN·m·s/rad)</td> </tr> <tr> <td rowspan="10">回転</td> <td>T.P. 8.8m</td> <td><math>4.103 \times 10^7</math> (kN/m)</td> <td><math>6.115 \times 10^7</math> (kN·s/m)</td> <td></td> <td></td> </tr> <tr> <td>T.P. 5.8m</td> <td><math>4.407 \times 10^7</math> (kN/m)</td> <td><math>6.568 \times 10^7</math> (kN·s/m)</td> <td></td> <td></td> </tr> <tr> <td>T.P. 3.0m</td> <td><math>2.508 \times 10^7</math> (kN/m)</td> <td><math>3.737 \times 10^7</math> (kN·s/m)</td> <td></td> <td></td> </tr> <tr> <td>T.P. 2.5m</td> <td><math>7.599 \times 10^6</math> (kN/m)</td> <td><math>1.132 \times 10^7</math> (kN·s/m)</td> <td></td> <td></td> </tr> <tr> <td>T.P. 2.0m</td> <td><math>3.800 \times 10^6</math> (kN/m)</td> <td><math>5.662 \times 10^7</math> (kN·s/m)</td> <td></td> <td></td> </tr> <tr> <td>T.P. 8.8m</td> <td><math>4.103 \times 10^7</math> (kN/m)</td> <td><math>6.122 \times 10^7</math> (kN·s/m)</td> <td></td> <td></td> </tr> <tr> <td>T.P. 5.8m</td> <td><math>4.407 \times 10^7</math> (kN/m)</td> <td><math>6.575 \times 10^7</math> (kN·s/m)</td> <td></td> <td></td> </tr> <tr> <td>T.P. 3.0m</td> <td><math>2.508 \times 10^7</math> (kN/m)</td> <td><math>3.741 \times 10^7</math> (kN·s/m)</td> <td></td> <td></td> </tr> <tr> <td>T.P. 2.5m</td> <td><math>7.599 \times 10^6</math> (kN/m)</td> <td><math>1.134 \times 10^7</math> (kN·s/m)</td> <td></td> <td></td> </tr> <tr> <td>T.P. 2.0m</td> <td><math>3.800 \times 10^6</math> (kN/m)</td> <td><math>5.669 \times 10^7</math> (kN·s/m)</td> <td></td> <td></td> </tr> </tbody> </table>	構造物	質点番号 ( ) 節点	質点高さ T.P. (m)	重量		重量回転慣性 (kN·m <sup>2</sup> )	EW 方向	NS 方向	重 量 (kN)	重 量 回 転 慣 性 (kN)	上部 構造物	1	8.8	12,520	$2.45 \times 10^5$	$2.03 \times 10^5$			2	5.8	9,430	$1.83 \times 10^5$	$1.51 \times 10^5$			基礎版	(3)	3.0	—	—	—			4	2.5	10,390	$2.02 \times 10^5$	$1.67 \times 10^5$			(5)	2.0	—	—	—			総重量			32,340					構造物	部材 番号	EW 方向		NS 方向		せん断 断面積 (m <sup>2</sup> )	断面2次 モーメント (m <sup>4</sup> )	せん断 断面積 (m <sup>2</sup> )	断面2次 モーメント (m <sup>4</sup> )	上部 構造物	1	37.8	1,444	24.7	725	2	37.8	1,444	24.7	725		ばね定数		減衰係数		EW 方向	NS 方向	EW 方向	NS 方向	水平	$2.081 \times 10^6$ (kN/m)	$5.589 \times 10^5$ (kN·s/m)	$2.114 \times 10^6$ (kN/m)	$5.506 \times 10^5$ (kN·s/m)	$1.179 \times 10^{10}$ (kN·m/rad)	$7.245 \times 10^6$ (kN·m·s/rad)	$1.015 \times 10^{10}$ (kN·m/rad)	$5.114 \times 10^6$ (kN·m·s/rad)	回転	T.P. 8.8m	$4.103 \times 10^7$ (kN/m)	$6.115 \times 10^7$ (kN·s/m)			T.P. 5.8m	$4.407 \times 10^7$ (kN/m)	$6.568 \times 10^7$ (kN·s/m)			T.P. 3.0m	$2.508 \times 10^7$ (kN/m)	$3.737 \times 10^7$ (kN·s/m)			T.P. 2.5m	$7.599 \times 10^6$ (kN/m)	$1.132 \times 10^7$ (kN·s/m)			T.P. 2.0m	$3.800 \times 10^6$ (kN/m)	$5.662 \times 10^7$ (kN·s/m)			T.P. 8.8m	$4.103 \times 10^7$ (kN/m)	$6.122 \times 10^7$ (kN·s/m)			T.P. 5.8m	$4.407 \times 10^7$ (kN/m)	$6.575 \times 10^7$ (kN·s/m)			T.P. 3.0m	$2.508 \times 10^7$ (kN/m)	$3.741 \times 10^7$ (kN·s/m)			T.P. 2.5m	$7.599 \times 10^6$ (kN/m)	$1.134 \times 10^7$ (kN·s/m)			T.P. 2.0m	$3.800 \times 10^6$ (kN/m)	$5.669 \times 10^7$ (kN·s/m)			<p>【女川】【大飯】</p> <ul style="list-style-type: none"> <li>■個別評価による相違</li> <li>・評価対象建屋の相違</li> </ul>
構造物	質点番号 ( ) 節点	質点高さ T.P. (m)				重量					重量回転慣性 (kN·m <sup>2</sup> )	EW 方向		NS 方向																																																																																																																																						
			重 量 (kN)	重 量 回 転 慣 性 (kN)																																																																																																																																																
上部 構造物	1	8.8	12,520	$2.45 \times 10^5$	$2.03 \times 10^5$																																																																																																																																															
	2	5.8	9,430	$1.83 \times 10^5$	$1.51 \times 10^5$																																																																																																																																															
基礎版	(3)	3.0	—	—	—																																																																																																																																															
	4	2.5	10,390	$2.02 \times 10^5$	$1.67 \times 10^5$																																																																																																																																															
	(5)	2.0	—	—	—																																																																																																																																															
総重量			32,340																																																																																																																																																	
構造物	部材 番号	EW 方向		NS 方向																																																																																																																																																
		せん断 断面積 (m <sup>2</sup> )	断面2次 モーメント (m <sup>4</sup> )	せん断 断面積 (m <sup>2</sup> )	断面2次 モーメント (m <sup>4</sup> )																																																																																																																																															
上部 構造物	1	37.8	1,444	24.7	725																																																																																																																																															
	2	37.8	1,444	24.7	725																																																																																																																																															
	ばね定数		減衰係数																																																																																																																																																	
	EW 方向	NS 方向	EW 方向	NS 方向																																																																																																																																																
水平	$2.081 \times 10^6$ (kN/m)	$5.589 \times 10^5$ (kN·s/m)	$2.114 \times 10^6$ (kN/m)	$5.506 \times 10^5$ (kN·s/m)																																																																																																																																																
	$1.179 \times 10^{10}$ (kN·m/rad)	$7.245 \times 10^6$ (kN·m·s/rad)	$1.015 \times 10^{10}$ (kN·m/rad)	$5.114 \times 10^6$ (kN·m·s/rad)																																																																																																																																																
回転	T.P. 8.8m	$4.103 \times 10^7$ (kN/m)	$6.115 \times 10^7$ (kN·s/m)																																																																																																																																																	
	T.P. 5.8m	$4.407 \times 10^7$ (kN/m)	$6.568 \times 10^7$ (kN·s/m)																																																																																																																																																	
	T.P. 3.0m	$2.508 \times 10^7$ (kN/m)	$3.737 \times 10^7$ (kN·s/m)																																																																																																																																																	
	T.P. 2.5m	$7.599 \times 10^6$ (kN/m)	$1.132 \times 10^7$ (kN·s/m)																																																																																																																																																	
	T.P. 2.0m	$3.800 \times 10^6$ (kN/m)	$5.662 \times 10^7$ (kN·s/m)																																																																																																																																																	
	T.P. 8.8m	$4.103 \times 10^7$ (kN/m)	$6.122 \times 10^7$ (kN·s/m)																																																																																																																																																	
	T.P. 5.8m	$4.407 \times 10^7$ (kN/m)	$6.575 \times 10^7$ (kN·s/m)																																																																																																																																																	
	T.P. 3.0m	$2.508 \times 10^7$ (kN/m)	$3.741 \times 10^7$ (kN·s/m)																																																																																																																																																	
	T.P. 2.5m	$7.599 \times 10^6$ (kN/m)	$1.134 \times 10^7$ (kN·s/m)																																																																																																																																																	
	T.P. 2.0m	$3.800 \times 10^6$ (kN/m)	$5.669 \times 10^7$ (kN·s/m)																																																																																																																																																	

## 泊発電所3号炉 有効性評価 比較表

赤字：設備、運用又は体制の相違（設計方針の相違）  
 青字：記載箇所又は記載内容の相違（記載方針の相違）  
 緑字：記載表現、設備名称の相違（実質的な相違なし）

第37条 付録1 事故シーケンスグループ及び重要事故シーケンス等の選定について  
 別添3. レベル1PRA 3.2 外部事象 3.2.1 地震PRA

大飯発電所3／4号炉				女川原子力発電所2号炉	泊発電所3号炉			相違理由																																																																																														
第1.2.1.e-1-12表 現実的応答評価用モデルで用いる諸元と物性値の関係				第3.2.1.e-1-20表 現実的応答評価用モデルで用いる諸元と物性値の関係																																																																																																		
<table border="1"> <thead> <tr> <th></th> <th colspan="3">物性値</th> </tr> <tr> <th></th> <th>F<sub>c</sub></th> <th>h</th> <th>V<sub>s</sub></th> <th>s<sub>o</sub>y</th> </tr> </thead> <tbody> <tr> <td>RC部</td> <td>ヤング係数 E</td> <td>○</td> <td>—</td> <td>—</td> <td>—</td> </tr> <tr> <td></td> <td>せん断弾性係数 G</td> <td>○</td> <td>—</td> <td>—</td> <td>—</td> </tr> <tr> <td></td> <td>減衰定数 h</td> <td>—</td> <td>○</td> <td>—</td> <td>—</td> </tr> <tr> <td></td> <td>復元力特性 Q-γ</td> <td>○</td> <td>—</td> <td>—</td> <td>○</td> </tr> <tr> <td>地盤ばね</td> <td>復元力特性 M-φ</td> <td>○</td> <td>—</td> <td>—</td> <td>○</td> </tr> <tr> <td></td> <td>ばね値</td> <td>—</td> <td>—</td> <td>○</td> <td>—</td> </tr> <tr> <td></td> <td>減衰</td> <td>○</td> <td>—</td> <td>○</td> <td>—</td> </tr> </tbody> </table>								物性値				F <sub>c</sub>	h	V <sub>s</sub>	s <sub>o</sub> y	RC部	ヤング係数 E	○	—	—	—		せん断弾性係数 G	○	—	—	—		減衰定数 h	—	○	—	—		復元力特性 Q-γ	○	—	—	○	地盤ばね	復元力特性 M-φ	○	—	—	○		ばね値	—	—	○	—		減衰	○	—	○	—	<table border="1"> <thead> <tr> <th></th> <th colspan="3">物性値</th> </tr> <tr> <th></th> <th>F<sub>c</sub></th> <th>h</th> <th>V<sub>s</sub></th> </tr> </thead> <tbody> <tr> <td>RC部</td> <td>E</td> <td>○</td> <td>—</td> <td>—</td> </tr> <tr> <td></td> <td>G</td> <td>○</td> <td>—</td> <td>—</td> </tr> <tr> <td></td> <td>h</td> <td>—</td> <td>○</td> <td>—</td> </tr> <tr> <td></td> <td>Q-γスケルトン</td> <td>○</td> <td>—</td> <td>—</td> </tr> <tr> <td></td> <td>M-φスケルトン</td> <td>○</td> <td>—</td> <td>—</td> </tr> <tr> <td>地盤ばね</td> <td>ばね値</td> <td>—</td> <td>—</td> <td>○</td> </tr> <tr> <td></td> <td>減衰</td> <td>○</td> <td>—</td> <td>○</td> </tr> </tbody> </table>						物性値				F <sub>c</sub>	h	V <sub>s</sub>	RC部	E	○	—	—		G	○	—	—		h	—	○	—		Q-γスケルトン	○	—	—		M-φスケルトン	○	—	—	地盤ばね	ばね値	—	—	○		減衰
	物性値																																																																																																					
	F <sub>c</sub>	h	V <sub>s</sub>	s <sub>o</sub> y																																																																																																		
RC部	ヤング係数 E	○	—	—	—																																																																																																	
	せん断弾性係数 G	○	—	—	—																																																																																																	
	減衰定数 h	—	○	—	—																																																																																																	
	復元力特性 Q-γ	○	—	—	○																																																																																																	
地盤ばね	復元力特性 M-φ	○	—	—	○																																																																																																	
	ばね値	—	—	○	—																																																																																																	
	減衰	○	—	○	—																																																																																																	
	物性値																																																																																																					
	F <sub>c</sub>	h	V <sub>s</sub>																																																																																																			
RC部	E	○	—	—																																																																																																		
	G	○	—	—																																																																																																		
	h	—	○	—																																																																																																		
	Q-γスケルトン	○	—	—																																																																																																		
	M-φスケルトン	○	—	—																																																																																																		
地盤ばね	ばね値	—	—	○																																																																																																		
	減衰	○	—	○																																																																																																		
第1.2.1.e-1-13表 2点推定法による解析ケース				第3.2.1.e-1-21表 2点推定法による解析ケース																																																																																																		
<table border="1"> <thead> <tr> <th>解析ケース</th> <th>F<sub>c</sub></th> <th>h</th> <th>V<sub>s</sub></th> </tr> </thead> <tbody> <tr> <td>1</td> <td>+</td> <td>+</td> <td>+</td> </tr> <tr> <td>2</td> <td>+</td> <td>—</td> <td>+</td> </tr> <tr> <td>3</td> <td>+</td> <td>+</td> <td>—</td> </tr> <tr> <td>4</td> <td>+</td> <td>—</td> <td>—</td> </tr> <tr> <td>5</td> <td>—</td> <td>+</td> <td>+</td> </tr> <tr> <td>6</td> <td>—</td> <td>—</td> <td>+</td> </tr> <tr> <td>7</td> <td>—</td> <td>+</td> <td>—</td> </tr> <tr> <td>8</td> <td>—</td> <td>—</td> <td>—</td> </tr> </tbody> </table>				解析ケース	F <sub>c</sub>	h	V <sub>s</sub>	1	+	+	+	2	+	—	+	3	+	+	—	4	+	—	—	5	—	+	+	6	—	—	+	7	—	+	—	8	—	—	—	<table border="1"> <thead> <tr> <th>解析ケース</th> <th>F<sub>c</sub></th> <th>h</th> <th>V<sub>s</sub></th> </tr> </thead> <tbody> <tr> <td>1</td> <td>+</td> <td>+</td> <td>+</td> </tr> <tr> <td>2</td> <td>+</td> <td>—</td> <td>+</td> </tr> <tr> <td>3</td> <td>+</td> <td>+</td> <td>—</td> </tr> <tr> <td>4</td> <td>+</td> <td>—</td> <td>—</td> </tr> <tr> <td>5</td> <td>—</td> <td>+</td> <td>+</td> </tr> <tr> <td>6</td> <td>—</td> <td>—</td> <td>+</td> </tr> <tr> <td>7</td> <td>—</td> <td>+</td> <td>—</td> </tr> <tr> <td>8</td> <td>—</td> <td>—</td> <td>—</td> </tr> </tbody> </table>					解析ケース	F <sub>c</sub>	h	V <sub>s</sub>	1	+	+	+	2	+	—	+	3	+	+	—	4	+	—	—	5	—	+	+	6	—	—	+	7	—	+	—	8	—	—	—																						
解析ケース	F <sub>c</sub>	h	V <sub>s</sub>																																																																																																			
1	+	+	+																																																																																																			
2	+	—	+																																																																																																			
3	+	+	—																																																																																																			
4	+	—	—																																																																																																			
5	—	+	+																																																																																																			
6	—	—	+																																																																																																			
7	—	+	—																																																																																																			
8	—	—	—																																																																																																			
解析ケース	F <sub>c</sub>	h	V <sub>s</sub>																																																																																																			
1	+	+	+																																																																																																			
2	+	—	+																																																																																																			
3	+	+	—																																																																																																			
4	+	—	—																																																																																																			
5	—	+	+																																																																																																			
6	—	—	+																																																																																																			
7	—	+	—																																																																																																			
8	—	—	—																																																																																																			
<p><b>【大飯】</b></p> <ul style="list-style-type: none"> <li>■記載方針の相違</li> <li>・s<sub>o</sub>yの変動係数は0のため記載していない</li> </ul> <p><b>【女川】</b></p> <ul style="list-style-type: none"> <li>■評価方針の相違</li> <li>・女川は物性値に中央値をえた応答解析結果を元に現実的応答を算出しているが、泊は確率論的応答解析結果より各ケースの重みを考慮して算出している(大飯と同様)</li> </ul>																																																																																																						

泊発電所3号炉 有効性評価 比較表

赤字：設備、運用又は体制の相違（設計方針の相違）  
 青字：記載箇所又は記載内容の相違（記載方針の相違）  
 緑字：記載表現、設備名称の相違（実質的な相違なし）

第37条 付録1 事故シーケンスグループ及び重要事故シーケンス等の選定について

別添3. レベル1PRA 3.2 外部事象 3.2.1 地震PRA

大飯発電所3／4号炉	女川原子力発電所2号炉	泊発電所3号炉	相違理由																												
<table border="1"> <caption>第1.2.1.c-2-1表 現実的な物性値の評価方法</caption> <tr> <td></td><td>現実的な物性値の評価方法</td></tr> <tr> <td>コンクリート強度 <math>F_c</math></td><td>平均値：1.4×設計基準強度 変動係数：0.13（地震P.S.A.学会標準）</td></tr> <tr> <td>地盤の初期せん断剛性 <math>G_0</math> (地盤のせん断波速度 <math>V_s</math>)</td><td>平均値：PS検層結果に基づき設定 変動係数：0.1（地震P.S.A.学会標準）</td></tr> </table>		現実的な物性値の評価方法	コンクリート強度 $F_c$	平均値：1.4×設計基準強度 変動係数：0.13（地震P.S.A.学会標準）	地盤の初期せん断剛性 $G_0$ (地盤のせん断波速度 $V_s$ )	平均値：PS検層結果に基づき設定 変動係数：0.1（地震P.S.A.学会標準）		<table border="1"> <caption>第3.2.1.c-2-1表 現実的な物性値の評価方法</caption> <tr> <td></td><td>現実的な物性値の評価方法</td></tr> <tr> <td>コンクリート強度 <math>F_c</math></td><td>平均値：1.4×設計基準強度 変動係数：0.13</td></tr> <tr> <td>埋戻土の初期せん断剛性 <math>G_0</math></td><td>平均値：室内試験結果に基づき設定 変動係数：試験結果のばらつきから設定</td></tr> <tr> <td>岩盤のせん断剛性 <math>G</math></td><td>平均値：PS検層結果に基づき設定 変動係数：試験結果のばらつきから設定</td></tr> </table>		現実的な物性値の評価方法	コンクリート強度 $F_c$	平均値：1.4×設計基準強度 変動係数：0.13	埋戻土の初期せん断剛性 $G_0$	平均値：室内試験結果に基づき設定 変動係数：試験結果のばらつきから設定	岩盤のせん断剛性 $G$	平均値：PS検層結果に基づき設定 変動係数：試験結果のばらつきから設定	<p>【大飯】  <b>■評価方針の相違</b>          ・地盤のせん断剛性について、泊は試験結果のばらつきから変動係数を設定する（玄海、伊方と同様）</p> <p>【女川】  <b>■評価方針の相違</b>          ・女川は屋外重要土木構造物のフランジティ評価を実施していない</p> <p>【大飯】  <b>■記載の充実</b>          ・女川の実績反映</p> <p>【女川】  <b>■評価方針の相違</b>          ・女川は算出された減衰定数の不確実さを <math>\beta_{\alpha}</math> と <math>\beta_{\beta}</math> で 1:1 で配分しているが、泊は <math>\beta_{\alpha}</math> にまとめている          ・女川では1方向のみに着目した評価としているが、泊では回転機器に対しては水平・上下が合成された入力による影響を考慮している（大飯と同様）</p>														
	現実的な物性値の評価方法																														
コンクリート強度 $F_c$	平均値：1.4×設計基準強度 変動係数：0.13（地震P.S.A.学会標準）																														
地盤の初期せん断剛性 $G_0$ (地盤のせん断波速度 $V_s$ )	平均値：PS検層結果に基づき設定 変動係数：0.1（地震P.S.A.学会標準）																														
	現実的な物性値の評価方法																														
コンクリート強度 $F_c$	平均値：1.4×設計基準強度 変動係数：0.13																														
埋戻土の初期せん断剛性 $G_0$	平均値：室内試験結果に基づき設定 変動係数：試験結果のばらつきから設定																														
岩盤のせん断剛性 $G$	平均値：PS検層結果に基づき設定 変動係数：試験結果のばらつきから設定																														
<table border="1"> <caption>第1.2.1.c-3-1表 現実的耐力及び現実的応答の不確実さ要因の整理</caption> <tr> <th>評価方法</th><th>偶然的不確実さ (<math>\beta_{\alpha}</math>)</th><th>認識論的不確実さ (<math>\beta_{\beta}</math>)</th></tr> <tr> <td>機器配管系</td><td> <ul style="list-style-type: none"> <li>現実的耐力</li> <li>機能試験データの統計的精度</li> <li>水平・上下地震荷重組み合わせ方法</li> <li>モード合成法</li> </ul> </td><td> <ul style="list-style-type: none"> <li>試験データの統計的精度</li> <li>床応答スペクトル</li> <li>解析モデルの評価法</li> </ul> </td></tr> </table>	評価方法	偶然的不確実さ ( $\beta_{\alpha}$ )	認識論的不確実さ ( $\beta_{\beta}$ )	機器配管系	<ul style="list-style-type: none"> <li>現実的耐力</li> <li>機能試験データの統計的精度</li> <li>水平・上下地震荷重組み合わせ方法</li> <li>モード合成法</li> </ul>	<ul style="list-style-type: none"> <li>試験データの統計的精度</li> <li>床応答スペクトル</li> <li>解析モデルの評価法</li> </ul>	<table border="1"> <caption>第3.2.1.c-2-1表 不確実さの要因整理表</caption> <tr> <th colspan="2">評価方法</th><th>偶然的不確実さ <math>\beta_{\alpha}</math></th><th>認識論的不確実さ <math>\beta_{\beta}</math></th></tr> <tr> <td rowspan="2">機器配管系</td><td>現実的耐力</td><td> <ul style="list-style-type: none"> <li>機能試験データの統計的精度</li> <li>材料物性値</li> </ul> </td><td> <ul style="list-style-type: none"> <li>機能試験データの統計的精度</li> <li>材料物性値</li> </ul> </td></tr> <tr> <td>現実的応答</td><td> <ul style="list-style-type: none"> <li>減衰定数</li> <li>モード合成法</li> </ul> </td><td> <ul style="list-style-type: none"> <li>減衰定数</li> <li>床応答スペクトル</li> <li>解析モデル化</li> </ul> </td></tr> </table>	評価方法		偶然的不確実さ $\beta_{\alpha}$	認識論的不確実さ $\beta_{\beta}$	機器配管系	現実的耐力	<ul style="list-style-type: none"> <li>機能試験データの統計的精度</li> <li>材料物性値</li> </ul>	<ul style="list-style-type: none"> <li>機能試験データの統計的精度</li> <li>材料物性値</li> </ul>	現実的応答	<ul style="list-style-type: none"> <li>減衰定数</li> <li>モード合成法</li> </ul>	<ul style="list-style-type: none"> <li>減衰定数</li> <li>床応答スペクトル</li> <li>解析モデル化</li> </ul>	<table border="1"> <caption>第3.2.1.c-3-1表 不確実さ要因整理表</caption> <tr> <th colspan="2">評価方法</th><th>偶然的不確実さ (<math>\beta_{\alpha}</math>)</th><th>認識論的不確実さ (<math>\beta_{\beta}</math>)</th></tr> <tr> <td rowspan="2">機器配管系</td><td>現実的耐力</td><td> <ul style="list-style-type: none"> <li>機能試験データの統計的精度</li> <li>材料物性値</li> </ul> </td><td> <ul style="list-style-type: none"> <li>機能データの統計的精度</li> <li>材料物性値</li> </ul> </td></tr> <tr> <td>現実的応答</td><td> <ul style="list-style-type: none"> <li>水平・上下地震荷重組み合わせ方法</li> <li>モード合成法</li> </ul> </td><td> <ul style="list-style-type: none"> <li>減衰定数</li> <li>床応答スペクトル</li> <li>解析モデル化</li> </ul> </td></tr> </table>	評価方法		偶然的不確実さ ( $\beta_{\alpha}$ )	認識論的不確実さ ( $\beta_{\beta}$ )	機器配管系	現実的耐力	<ul style="list-style-type: none"> <li>機能試験データの統計的精度</li> <li>材料物性値</li> </ul>	<ul style="list-style-type: none"> <li>機能データの統計的精度</li> <li>材料物性値</li> </ul>	現実的応答	<ul style="list-style-type: none"> <li>水平・上下地震荷重組み合わせ方法</li> <li>モード合成法</li> </ul>	<ul style="list-style-type: none"> <li>減衰定数</li> <li>床応答スペクトル</li> <li>解析モデル化</li> </ul>	
評価方法	偶然的不確実さ ( $\beta_{\alpha}$ )	認識論的不確実さ ( $\beta_{\beta}$ )																													
機器配管系	<ul style="list-style-type: none"> <li>現実的耐力</li> <li>機能試験データの統計的精度</li> <li>水平・上下地震荷重組み合わせ方法</li> <li>モード合成法</li> </ul>	<ul style="list-style-type: none"> <li>試験データの統計的精度</li> <li>床応答スペクトル</li> <li>解析モデルの評価法</li> </ul>																													
評価方法		偶然的不確実さ $\beta_{\alpha}$	認識論的不確実さ $\beta_{\beta}$																												
機器配管系	現実的耐力	<ul style="list-style-type: none"> <li>機能試験データの統計的精度</li> <li>材料物性値</li> </ul>	<ul style="list-style-type: none"> <li>機能試験データの統計的精度</li> <li>材料物性値</li> </ul>																												
	現実的応答	<ul style="list-style-type: none"> <li>減衰定数</li> <li>モード合成法</li> </ul>	<ul style="list-style-type: none"> <li>減衰定数</li> <li>床応答スペクトル</li> <li>解析モデル化</li> </ul>																												
評価方法		偶然的不確実さ ( $\beta_{\alpha}$ )	認識論的不確実さ ( $\beta_{\beta}$ )																												
機器配管系	現実的耐力	<ul style="list-style-type: none"> <li>機能試験データの統計的精度</li> <li>材料物性値</li> </ul>	<ul style="list-style-type: none"> <li>機能データの統計的精度</li> <li>材料物性値</li> </ul>																												
	現実的応答	<ul style="list-style-type: none"> <li>水平・上下地震荷重組み合わせ方法</li> <li>モード合成法</li> </ul>	<ul style="list-style-type: none"> <li>減衰定数</li> <li>床応答スペクトル</li> <li>解析モデル化</li> </ul>																												

泊発電所 3号炉 有効性評価 比較表

第37条 付録1 事故シケンスグループ及び重要事故シケンス等の選定について  
別添3. レベル1PRA 3.2 外部事象 3.2.1 地震PRA

**赤字**: 設備、運用又は体制の相違（設計方針の相違）  
**青字**: 記載箇所又は記載内容の相違（記載方針の相違）  
**緑字**: 記載表現、設備名称の相違（実質的な相違なし）

## 泊発電所3号炉 有効性評価 比較表

赤字：設備、運用又は体制の相違（設計方針の相違）  
 青字：記載箇所又は記載内容の相違（記載方針の相違）  
 緑字：記載表現、設備名称の相違（実質的な相違なし）

第37条 付録1 事故シーケンスグループ及び重要事故シーケンス等の選定について

別添3. レベル1PRA 3.2 外部事象 3.2.1 地震PRA

大飯発電所3／4号炉	女川原子力発電所2号炉	泊発電所3号炉	相違理由																				
	<table border="1"> <caption>算3.2.1-c-2表 建屋の応答倍数(2/2)</caption> <thead> <tr> <th>建物 方面</th> <th>F<sub>1</sub> 被災地盤表面の地震動に因する応答倍数</th> <th>建物 方面</th> <th>F<sub>1</sub> 被災地盤表面の地震動に因する応答倍数</th> </tr> </thead> <tbody> <tr> <td>水平 F<sub>2</sub> 建屋の入力地盤表面に因する応答倍数</td> <td>建屋モードによる入力地盤表面に因する応答倍数 基礎によって入力地盤表面に因するサブアーリング倍数</td> <td>水平 F<sub>1</sub> 被災地盤表面の地震動に因する応答倍数</td> <td>建屋モードによる入力地盤表面に因するサブアーリング倍数 基礎によって入力地盤表面に因するサブアーリング倍数</td> </tr> <tr> <td>垂直 F<sub>3</sub> 建屋の地震応答評価に因する応答倍数</td> <td>建屋モードによる入力地盤表面に因するサブアーリング倍数 基礎によって入力地盤表面に因するサブアーリング倍数</td> <td>垂直 F<sub>1</sub> 被災地盤表面の地震動に因する応答倍数</td> <td>建屋モードによる入力地盤表面に因するサブアーリング倍数 基礎によって入力地盤表面に因するサブアーリング倍数</td> </tr> <tr> <td>水平 F<sub>4</sub> 建屋の地震応答評価に因する応答倍数</td> <td>建屋モードによる入力地盤表面に因するサブアーリング倍数 基礎によって入力地盤表面に因するサブアーリング倍数</td> <td>水平 F<sub>2</sub> 建屋の入力地盤表面に因する応答倍数</td> <td>建屋モードによる入力地盤表面に因するサブアーリング倍数 基礎によって入力地盤表面に因するサブアーリング倍数</td> </tr> <tr> <td>垂直 F<sub>5</sub> 建屋の地震応答評価に因する応答倍数</td> <td>建屋モードによる入力地盤表面に因するサブアーリング倍数 基礎によって入力地盤表面に因するサブアーリング倍数</td> <td>垂直 F<sub>2</sub> 建屋の入力地盤表面に因する応答倍数</td> <td>建屋モードによる入力地盤表面に因するサブアーリング倍数 基礎によって入力地盤表面に因するサブアーリング倍数</td> </tr> </tbody> </table>	建物 方面	F <sub>1</sub> 被災地盤表面の地震動に因する応答倍数	建物 方面	F <sub>1</sub> 被災地盤表面の地震動に因する応答倍数	水平 F <sub>2</sub> 建屋の入力地盤表面に因する応答倍数	建屋モードによる入力地盤表面に因する応答倍数 基礎によって入力地盤表面に因するサブアーリング倍数	水平 F <sub>1</sub> 被災地盤表面の地震動に因する応答倍数	建屋モードによる入力地盤表面に因するサブアーリング倍数 基礎によって入力地盤表面に因するサブアーリング倍数	垂直 F <sub>3</sub> 建屋の地震応答評価に因する応答倍数	建屋モードによる入力地盤表面に因するサブアーリング倍数 基礎によって入力地盤表面に因するサブアーリング倍数	垂直 F <sub>1</sub> 被災地盤表面の地震動に因する応答倍数	建屋モードによる入力地盤表面に因するサブアーリング倍数 基礎によって入力地盤表面に因するサブアーリング倍数	水平 F <sub>4</sub> 建屋の地震応答評価に因する応答倍数	建屋モードによる入力地盤表面に因するサブアーリング倍数 基礎によって入力地盤表面に因するサブアーリング倍数	水平 F <sub>2</sub> 建屋の入力地盤表面に因する応答倍数	建屋モードによる入力地盤表面に因するサブアーリング倍数 基礎によって入力地盤表面に因するサブアーリング倍数	垂直 F <sub>5</sub> 建屋の地震応答評価に因する応答倍数	建屋モードによる入力地盤表面に因するサブアーリング倍数 基礎によって入力地盤表面に因するサブアーリング倍数	垂直 F <sub>2</sub> 建屋の入力地盤表面に因する応答倍数	建屋モードによる入力地盤表面に因するサブアーリング倍数 基礎によって入力地盤表面に因するサブアーリング倍数		<p>【女川】</p> <p>■個別評価による相違</p> <p>・評価対象建屋の相違</p>
建物 方面	F <sub>1</sub> 被災地盤表面の地震動に因する応答倍数	建物 方面	F <sub>1</sub> 被災地盤表面の地震動に因する応答倍数																				
水平 F <sub>2</sub> 建屋の入力地盤表面に因する応答倍数	建屋モードによる入力地盤表面に因する応答倍数 基礎によって入力地盤表面に因するサブアーリング倍数	水平 F <sub>1</sub> 被災地盤表面の地震動に因する応答倍数	建屋モードによる入力地盤表面に因するサブアーリング倍数 基礎によって入力地盤表面に因するサブアーリング倍数																				
垂直 F <sub>3</sub> 建屋の地震応答評価に因する応答倍数	建屋モードによる入力地盤表面に因するサブアーリング倍数 基礎によって入力地盤表面に因するサブアーリング倍数	垂直 F <sub>1</sub> 被災地盤表面の地震動に因する応答倍数	建屋モードによる入力地盤表面に因するサブアーリング倍数 基礎によって入力地盤表面に因するサブアーリング倍数																				
水平 F <sub>4</sub> 建屋の地震応答評価に因する応答倍数	建屋モードによる入力地盤表面に因するサブアーリング倍数 基礎によって入力地盤表面に因するサブアーリング倍数	水平 F <sub>2</sub> 建屋の入力地盤表面に因する応答倍数	建屋モードによる入力地盤表面に因するサブアーリング倍数 基礎によって入力地盤表面に因するサブアーリング倍数																				
垂直 F <sub>5</sub> 建屋の地震応答評価に因する応答倍数	建屋モードによる入力地盤表面に因するサブアーリング倍数 基礎によって入力地盤表面に因するサブアーリング倍数	垂直 F <sub>2</sub> 建屋の入力地盤表面に因する応答倍数	建屋モードによる入力地盤表面に因するサブアーリング倍数 基礎によって入力地盤表面に因するサブアーリング倍数																				
		<table border="1"> <caption>算3.2.1-c-2表 建屋の応答倍数(3/2)</caption> <thead> <tr> <th>建物 方面</th> <th>F<sub>1</sub> 被災地盤表面の地震動に因する応答倍数</th> <th>建物 方面</th> <th>F<sub>1</sub> 被災地盤表面の地震動に因する応答倍数</th> </tr> </thead> <tbody> <tr> <td>水平 F<sub>2</sub> 建屋の入力地盤表面に因する応答倍数</td> <td>建屋モードによる入力地盤表面に因するサブアーリング倍数 基礎によって入力地盤表面に因するサブアーリング倍数</td> <td>水平 F<sub>1</sub> 被災地盤表面の地震動に因する応答倍数</td> <td>建屋モードによる入力地盤表面に因するサブアーリング倍数 基礎によって入力地盤表面に因するサブアーリング倍数</td> </tr> <tr> <td>垂直 F<sub>3</sub> 建屋の地震応答評価に因する応答倍数</td> <td>建屋モードによる入力地盤表面に因するサブアーリング倍数 基礎によって入力地盤表面に因するサブアーリング倍数</td> <td>垂直 F<sub>1</sub> 被災地盤表面の地震動に因する応答倍数</td> <td>建屋モードによる入力地盤表面に因するサブアーリング倍数 基礎によって入力地盤表面に因するサブアーリング倍数</td> </tr> <tr> <td>水平 F<sub>4</sub> 建屋の地震応答評価に因する応答倍数</td> <td>建屋モードによる入力地盤表面に因するサブアーリング倍数 基礎によって入力地盤表面に因するサブアーリング倍数</td> <td>水平 F<sub>2</sub> 建屋の入力地盤表面に因する応答倍数</td> <td>建屋モードによる入力地盤表面に因するサブアーリング倍数 基礎によって入力地盤表面に因するサブアーリング倍数</td> </tr> <tr> <td>垂直 F<sub>5</sub> 建屋の地震応答評価に因する応答倍数</td> <td>建屋モードによる入力地盤表面に因するサブアーリング倍数 基礎によって入力地盤表面に因するサブアーリング倍数</td> <td>垂直 F<sub>2</sub> 建屋の入力地盤表面に因する応答倍数</td> <td>建屋モードによる入力地盤表面に因するサブアーリング倍数 基礎によって入力地盤表面に因するサブアーリング倍数</td> </tr> </tbody> </table>	建物 方面	F <sub>1</sub> 被災地盤表面の地震動に因する応答倍数	建物 方面	F <sub>1</sub> 被災地盤表面の地震動に因する応答倍数	水平 F <sub>2</sub> 建屋の入力地盤表面に因する応答倍数	建屋モードによる入力地盤表面に因するサブアーリング倍数 基礎によって入力地盤表面に因するサブアーリング倍数	水平 F <sub>1</sub> 被災地盤表面の地震動に因する応答倍数	建屋モードによる入力地盤表面に因するサブアーリング倍数 基礎によって入力地盤表面に因するサブアーリング倍数	垂直 F <sub>3</sub> 建屋の地震応答評価に因する応答倍数	建屋モードによる入力地盤表面に因するサブアーリング倍数 基礎によって入力地盤表面に因するサブアーリング倍数	垂直 F <sub>1</sub> 被災地盤表面の地震動に因する応答倍数	建屋モードによる入力地盤表面に因するサブアーリング倍数 基礎によって入力地盤表面に因するサブアーリング倍数	水平 F <sub>4</sub> 建屋の地震応答評価に因する応答倍数	建屋モードによる入力地盤表面に因するサブアーリング倍数 基礎によって入力地盤表面に因するサブアーリング倍数	水平 F <sub>2</sub> 建屋の入力地盤表面に因する応答倍数	建屋モードによる入力地盤表面に因するサブアーリング倍数 基礎によって入力地盤表面に因するサブアーリング倍数	垂直 F <sub>5</sub> 建屋の地震応答評価に因する応答倍数	建屋モードによる入力地盤表面に因するサブアーリング倍数 基礎によって入力地盤表面に因するサブアーリング倍数	垂直 F <sub>2</sub> 建屋の入力地盤表面に因する応答倍数	建屋モードによる入力地盤表面に因するサブアーリング倍数 基礎によって入力地盤表面に因するサブアーリング倍数	
建物 方面	F <sub>1</sub> 被災地盤表面の地震動に因する応答倍数	建物 方面	F <sub>1</sub> 被災地盤表面の地震動に因する応答倍数																				
水平 F <sub>2</sub> 建屋の入力地盤表面に因する応答倍数	建屋モードによる入力地盤表面に因するサブアーリング倍数 基礎によって入力地盤表面に因するサブアーリング倍数	水平 F <sub>1</sub> 被災地盤表面の地震動に因する応答倍数	建屋モードによる入力地盤表面に因するサブアーリング倍数 基礎によって入力地盤表面に因するサブアーリング倍数																				
垂直 F <sub>3</sub> 建屋の地震応答評価に因する応答倍数	建屋モードによる入力地盤表面に因するサブアーリング倍数 基礎によって入力地盤表面に因するサブアーリング倍数	垂直 F <sub>1</sub> 被災地盤表面の地震動に因する応答倍数	建屋モードによる入力地盤表面に因するサブアーリング倍数 基礎によって入力地盤表面に因するサブアーリング倍数																				
水平 F <sub>4</sub> 建屋の地震応答評価に因する応答倍数	建屋モードによる入力地盤表面に因するサブアーリング倍数 基礎によって入力地盤表面に因するサブアーリング倍数	水平 F <sub>2</sub> 建屋の入力地盤表面に因する応答倍数	建屋モードによる入力地盤表面に因するサブアーリング倍数 基礎によって入力地盤表面に因するサブアーリング倍数																				
垂直 F <sub>5</sub> 建屋の地震応答評価に因する応答倍数	建屋モードによる入力地盤表面に因するサブアーリング倍数 基礎によって入力地盤表面に因するサブアーリング倍数	垂直 F <sub>2</sub> 建屋の入力地盤表面に因する応答倍数	建屋モードによる入力地盤表面に因するサブアーリング倍数 基礎によって入力地盤表面に因するサブアーリング倍数																				

※ スベクトル形状係数は、機器又は機器の種別によって算定する

泊発電所3号炉 有効性評価 比較表

赤字：設備、運用又は体制の相違（設計方針の相違）  
 青字：記載箇所又は記載内容の相違（記載方針の相違）  
 緑字：記載表現、設備名称の相違（実質的な相違なし）

第37条 付録1 事故シーケンスグループ及び重要事故シーケンス等の選定について

別添3. レベル1PRA 3.2 外部事象 3.2.1 地震PRA

大飯発電所3／4号炉	女川原子力発電所2号炉	泊発電所3号炉	相違理由																																																																																																																																																																																																																																																																																																																																																																							
<p>第3.2.1.c-2-3表 制御棒駆動機構ハウジング貫通孔の耐震評価結果</p> <table border="1"> <thead> <tr> <th>評価部位</th><th>材 料</th><th>評価応力</th><th>許容値 (N/mm<sup>2</sup>)</th><th>発生応力 (N/mm<sup>2</sup>)</th><th>裕 度</th></tr> </thead> <tbody> <tr> <td rowspan="2">スタブチューブ</td><td rowspan="2">NCF600</td><td>一次膜+ 一次曲げ応力</td><td>460</td><td>196</td><td>2.34</td></tr> <tr> <td>軸圧縮応力</td><td>126</td><td>54</td><td>2.33</td></tr> </tbody> </table> <p>第3.2.1.c-2-4表 制御棒駆動機構ハウジング貫通孔 安全係数評価結果の一覧</p> <table border="1"> <thead> <tr> <th>F<sub>S</sub></th><th>F<sub>u</sub></th><th>F<sub>sA</sub></th><th>F<sub>D</sub></th><th>F<sub>M</sub></th><th>F<sub>AC</sub></th><th>F<sub>t</sub></th><th>F<sub>g</sub></th><th>F<sub>s</sub></th><th>A<sub>s</sub></th><th></th></tr> <tr> <th>β<sub>x</sub></th><th>β<sub>y</sub></th><th>β<sub>z</sub></th><th>β<sub>1</sub></th><th>β<sub>2</sub></th><th>β<sub>3</sub></th><th>β<sub>4</sub></th><th>β<sub>5</sub></th><th>β<sub>6</sub></th><th>β<sub>7</sub></th><th>HCLPF</th></tr> </thead> <tbody> <tr> <td>β<sub>x</sub></td><td>β<sub>y</sub></td><td>β<sub>z</sub></td><td>β<sub>1</sub></td><td>β<sub>2</sub></td><td>β<sub>3</sub></td><td>β<sub>4</sub></td><td>β<sub>5</sub></td><td>β<sub>6</sub></td><td>β<sub>7</sub></td><td></td></tr> <tr> <td>3.43</td><td>1.00</td><td>1.00</td><td>1.00</td><td>1.00</td><td>1.00</td><td>1.22</td><td>1.00</td><td>4.26</td><td></td><td></td></tr> <tr> <td>0.13</td><td>0.00</td><td>0.00</td><td>0.00</td><td>0.00</td><td>0.00</td><td>0.20</td><td>0.24</td><td>1.64</td><td></td><td></td></tr> <tr> <td>0.27</td><td>0.00</td><td>0.00</td><td>0.00</td><td>0.15</td><td>0.00</td><td>0.00</td><td>0.15</td><td>0.34</td><td></td><td></td></tr> </tbody> </table> <p>第3.2.1.c-2-5表 水圧制御ユニットの耐震評価結果</p> <table border="1"> <thead> <tr> <th>評価部位</th><th>材 料</th><th>評価応力</th><th>許容値 (N/mm<sup>2</sup>)</th><th>発生応力 (N/mm<sup>2</sup>)</th><th>裕 度</th></tr> </thead> <tbody> <tr> <td rowspan="3">フレーム</td><td rowspan="3">STPT370</td><td>組合せ応力</td><td>250</td><td>60</td><td>4.16</td></tr> <tr> <td>引張応力</td><td>475</td><td>286</td><td>1.66</td></tr> <tr> <td>せん断応力</td><td>366</td><td>81</td><td>4.51</td></tr> </tbody> </table> <p>第3.2.1.c-2-6表 水圧制御ユニット 安全係数評価結果の一覧</p> <table border="1"> <thead> <tr> <th>F<sub>S</sub></th><th>F<sub>u</sub></th><th>F<sub>sA</sub></th><th>F<sub>D</sub></th><th>F<sub>M</sub></th><th>F<sub>AC</sub></th><th>F<sub>t</sub></th><th>F<sub>g</sub></th><th>F<sub>s</sub></th><th>A<sub>s</sub></th><th></th></tr> <tr> <th>β<sub>x</sub></th><th>β<sub>y</sub></th><th>β<sub>z</sub></th><th>β<sub>1</sub></th><th>β<sub>2</sub></th><th>β<sub>3</sub></th><th>β<sub>4</sub></th><th>β<sub>5</sub></th><th>β<sub>6</sub></th><th>β<sub>7</sub></th><th>HCLPF</th></tr> </thead> <tbody> <tr> <td>β<sub>x</sub></td><td>β<sub>y</sub></td><td>β<sub>z</sub></td><td>β<sub>1</sub></td><td>β<sub>2</sub></td><td>β<sub>3</sub></td><td>β<sub>4</sub></td><td>β<sub>5</sub></td><td>β<sub>6</sub></td><td>β<sub>7</sub></td><td></td></tr> <tr> <td>2.61</td><td>1.00</td><td>1.00</td><td>1.00</td><td>1.00</td><td>0.88</td><td>1.00</td><td>2.28</td><td></td><td></td><td></td></tr> <tr> <td>0.00</td><td>0.00</td><td>0.00</td><td>0.00</td><td>0.00</td><td>0.00</td><td>0.20</td><td>0.20</td><td>1.24</td><td></td><td></td></tr> <tr> <td>0.07</td><td>0.00</td><td>0.00</td><td>0.00</td><td>0.00</td><td>0.00</td><td>0.00</td><td>0.15</td><td>0.17</td><td></td><td></td></tr> </tbody> </table> <p>第3.2.1.c-2-7表 非常用ディーゼル発電設備ディーゼル機関の耐震評価結果</p> <table border="1"> <thead> <tr> <th rowspan="2">評価位置</th><th colspan="2">水平</th><th colspan="2">鉛直</th></tr> <tr> <th>応答 加速度(G)</th><th>機能維持確認 加速度(G)</th><th>応答 加速度(G)</th><th>機能維持確認 加速度(G)</th></tr> </thead> <tbody> <tr> <td>機関重心位置</td><td>1.61</td><td>3.3 *10<sup>-3</sup></td><td>1.07</td><td>2.0 *10<sup>-3</sup></td></tr> </tbody> </table>	評価部位	材 料	評価応力	許容値 (N/mm <sup>2</sup> )	発生応力 (N/mm <sup>2</sup> )	裕 度	スタブチューブ	NCF600	一次膜+ 一次曲げ応力	460	196	2.34	軸圧縮応力	126	54	2.33	F <sub>S</sub>	F <sub>u</sub>	F <sub>sA</sub>	F <sub>D</sub>	F <sub>M</sub>	F <sub>AC</sub>	F <sub>t</sub>	F <sub>g</sub>	F <sub>s</sub>	A <sub>s</sub>		β <sub>x</sub>	β <sub>y</sub>	β <sub>z</sub>	β <sub>1</sub>	β <sub>2</sub>	β <sub>3</sub>	β <sub>4</sub>	β <sub>5</sub>	β <sub>6</sub>	β <sub>7</sub>	HCLPF	β <sub>x</sub>	β <sub>y</sub>	β <sub>z</sub>	β <sub>1</sub>	β <sub>2</sub>	β <sub>3</sub>	β <sub>4</sub>	β <sub>5</sub>	β <sub>6</sub>	β <sub>7</sub>		3.43	1.00	1.00	1.00	1.00	1.00	1.22	1.00	4.26			0.13	0.00	0.00	0.00	0.00	0.00	0.20	0.24	1.64			0.27	0.00	0.00	0.00	0.15	0.00	0.00	0.15	0.34			評価部位	材 料	評価応力	許容値 (N/mm <sup>2</sup> )	発生応力 (N/mm <sup>2</sup> )	裕 度	フレーム	STPT370	組合せ応力	250	60	4.16	引張応力	475	286	1.66	せん断応力	366	81	4.51	F <sub>S</sub>	F <sub>u</sub>	F <sub>sA</sub>	F <sub>D</sub>	F <sub>M</sub>	F <sub>AC</sub>	F <sub>t</sub>	F <sub>g</sub>	F <sub>s</sub>	A <sub>s</sub>		β <sub>x</sub>	β <sub>y</sub>	β <sub>z</sub>	β <sub>1</sub>	β <sub>2</sub>	β <sub>3</sub>	β <sub>4</sub>	β <sub>5</sub>	β <sub>6</sub>	β <sub>7</sub>	HCLPF	β <sub>x</sub>	β <sub>y</sub>	β <sub>z</sub>	β <sub>1</sub>	β <sub>2</sub>	β <sub>3</sub>	β <sub>4</sub>	β <sub>5</sub>	β <sub>6</sub>	β <sub>7</sub>		2.61	1.00	1.00	1.00	1.00	0.88	1.00	2.28				0.00	0.00	0.00	0.00	0.00	0.00	0.20	0.20	1.24			0.07	0.00	0.00	0.00	0.00	0.00	0.00	0.15	0.17			評価位置	水平		鉛直		応答 加速度(G)	機能維持確認 加速度(G)	応答 加速度(G)	機能維持確認 加速度(G)	機関重心位置	1.61	3.3 *10 <sup>-3</sup>	1.07	2.0 *10 <sup>-3</sup>	<p>第3.2.1.c-3-3表 1次冷却材ポンプの耐震評価結果</p> <table border="1"> <thead> <tr> <th>評価部位</th><th>材 料</th><th>評価応力</th><th>許容値 (MPa)</th><th>発生応力 (MPa)</th><th>裕 度</th></tr> </thead> <tbody> <tr> <td rowspan="3">上部支持構造物</td><td rowspan="3">SM490B</td><td>組合せ</td><td>1</td><td>0.71</td><td>1.40</td></tr> <tr> <td>せん断</td><td>193</td><td>21</td><td>9.19</td></tr> <tr> <td>曲げ</td><td>336</td><td>175</td><td>1.92</td></tr> </tbody> </table> <p>第3.2.1.c-3-4表 1次冷却材ポンプ 安全係数評価結果の一覧</p> <table border="1"> <thead> <tr> <th>F<sub>s</sub></th><th>F<sub>u</sub></th><th>F<sub>sa</sub></th><th>F<sub>D</sub></th><th>F<sub>M</sub></th><th>F<sub>AC</sub></th><th>F<sub>t</sub></th><th>F<sub>g</sub></th><th>F<sub>s</sub></th><th>A<sub>s</sub></th><th></th></tr> <tr> <th>β<sub>x</sub></th><th>β<sub>y</sub></th><th>β<sub>z</sub></th><th>β<sub>1</sub></th><th>β<sub>2</sub></th><th>β<sub>3</sub></th><th>β<sub>4</sub></th><th>β<sub>5</sub></th><th>β<sub>6</sub></th><th>β<sub>7</sub></th><th>HCLPF</th></tr> </thead> <tbody> <tr> <td>β<sub>x</sub></td><td>β<sub>y</sub></td><td>β<sub>z</sub></td><td>β<sub>1</sub></td><td>β<sub>2</sub></td><td>β<sub>3</sub></td><td>β<sub>4</sub></td><td>β<sub>5</sub></td><td>β<sub>6</sub></td><td>β<sub>7</sub></td><td></td></tr> <tr> <td>1.40</td><td>2.24</td><td>1.30</td><td>1.00</td><td>1.00</td><td>1.00</td><td>1.00</td><td>0.99</td><td>0.99</td><td>1.00</td><td>2.23</td></tr> <tr> <td>0.00</td><td>0.19</td><td>0.00</td><td>0.00</td><td>0.00</td><td>0.00</td><td>0.00</td><td>0.08</td><td>0.01</td><td>0.17</td><td>0.27</td><td>0.93</td></tr> <tr> <td>0.00</td><td>0.19</td><td>0.00</td><td>0.00</td><td>0.00</td><td>0.00</td><td>0.00</td><td>0.00</td><td>0.15</td><td>0.10</td><td>0.27</td><td></td></tr> </tbody> </table> <p>第3.2.1.c-3-5表 余熱除去冷却器の耐震評価結果</p> <table border="1"> <thead> <tr> <th>評価部位</th><th>材 料</th><th>評価応力</th><th>許容値 (MPa)</th><th>発生応力 (MPa)</th><th>裕 度</th></tr> </thead> <tbody> <tr> <td>胴板</td><td>SGV410</td><td>一次応力</td><td>334</td><td>118</td><td>2.83</td></tr> <tr> <td>支持脚</td><td>SS400</td><td>組合せ</td><td>255</td><td>30</td><td>8.50</td></tr> <tr> <td>基礎ボルト</td><td>SNB7</td><td>引張</td><td>451</td><td>117</td><td>3.85</td></tr> </tbody> </table> <p>第3.2.1.c-3-6表 余熱除去冷却器 安全係数評価結果の一覧</p> <table border="1"> <thead> <tr> <th>F<sub>s</sub></th><th>F<sub>u</sub></th><th>F<sub>sa</sub></th><th>F<sub>D</sub></th><th>F<sub>M</sub></th><th>F<sub>AC</sub></th><th>F<sub>t</sub></th><th>F<sub>g</sub></th><th>F<sub>s</sub></th><th>A<sub>s</sub></th><th></th></tr> <tr> <th>β<sub>x</sub></th><th>β<sub>y</sub></th><th>β<sub>z</sub></th><th>β<sub>1</sub></th><th>β<sub>2</sub></th><th>β<sub>3</sub></th><th>β<sub>4</sub></th><th>β<sub>5</sub></th><th>β<sub>6</sub></th><th>β<sub>7</sub></th><th>HCLPF</th></tr> </thead> <tbody> <tr> <td>β<sub>x</sub></td><td>β<sub>y</sub></td><td>β<sub>z</sub></td><td>β<sub>1</sub></td><td>β<sub>2</sub></td><td>β<sub>3</sub></td><td>β<sub>4</sub></td><td>β<sub>5</sub></td><td>β<sub>6</sub></td><td>β<sub>7</sub></td><td></td></tr> <tr> <td>3.47</td><td>1.00</td><td>1.20</td><td>1.00</td><td>1.00</td><td>1.00</td><td>0.99</td><td>0.99</td><td>1.00</td><td>2.29</td><td></td></tr> <tr> <td>0.00</td><td>0.00</td><td>0.00</td><td>0.00</td><td>0.00</td><td>0.00</td><td>0.08</td><td>0.01</td><td>0.00</td><td>0.09</td><td>1.53</td></tr> <tr> <td>0.06</td><td>0.00</td><td>0.00</td><td>0.00</td><td>0.00</td><td>0.00</td><td>0.00</td><td>0.00</td><td>0.15</td><td>0.00</td><td>0.17</td></tr> </tbody> </table>	評価部位	材 料	評価応力	許容値 (MPa)	発生応力 (MPa)	裕 度	上部支持構造物	SM490B	組合せ	1	0.71	1.40	せん断	193	21	9.19	曲げ	336	175	1.92	F <sub>s</sub>	F <sub>u</sub>	F <sub>sa</sub>	F <sub>D</sub>	F <sub>M</sub>	F <sub>AC</sub>	F <sub>t</sub>	F <sub>g</sub>	F <sub>s</sub>	A <sub>s</sub>		β <sub>x</sub>	β <sub>y</sub>	β <sub>z</sub>	β <sub>1</sub>	β <sub>2</sub>	β <sub>3</sub>	β <sub>4</sub>	β <sub>5</sub>	β <sub>6</sub>	β <sub>7</sub>	HCLPF	β <sub>x</sub>	β <sub>y</sub>	β <sub>z</sub>	β <sub>1</sub>	β <sub>2</sub>	β <sub>3</sub>	β <sub>4</sub>	β <sub>5</sub>	β <sub>6</sub>	β <sub>7</sub>		1.40	2.24	1.30	1.00	1.00	1.00	1.00	0.99	0.99	1.00	2.23	0.00	0.19	0.00	0.00	0.00	0.00	0.00	0.08	0.01	0.17	0.27	0.93	0.00	0.19	0.00	0.00	0.00	0.00	0.00	0.00	0.15	0.10	0.27		評価部位	材 料	評価応力	許容値 (MPa)	発生応力 (MPa)	裕 度	胴板	SGV410	一次応力	334	118	2.83	支持脚	SS400	組合せ	255	30	8.50	基礎ボルト	SNB7	引張	451	117	3.85	F <sub>s</sub>	F <sub>u</sub>	F <sub>sa</sub>	F <sub>D</sub>	F <sub>M</sub>	F <sub>AC</sub>	F <sub>t</sub>	F <sub>g</sub>	F <sub>s</sub>	A <sub>s</sub>		β <sub>x</sub>	β <sub>y</sub>	β <sub>z</sub>	β <sub>1</sub>	β <sub>2</sub>	β <sub>3</sub>	β <sub>4</sub>	β <sub>5</sub>	β <sub>6</sub>	β <sub>7</sub>	HCLPF	β <sub>x</sub>	β <sub>y</sub>	β <sub>z</sub>	β <sub>1</sub>	β <sub>2</sub>	β <sub>3</sub>	β <sub>4</sub>	β <sub>5</sub>	β <sub>6</sub>	β <sub>7</sub>		3.47	1.00	1.20	1.00	1.00	1.00	0.99	0.99	1.00	2.29		0.00	0.00	0.00	0.00	0.00	0.00	0.08	0.01	0.00	0.09	1.53	0.06	0.00	0.00	0.00	0.00	0.00	0.00	0.00	0.15	0.00	0.17	<p>【大飯】</p> <ul style="list-style-type: none"> <li>■ 記載方針の相違</li> <li>・ 女川の実績反映</li> <li>・ 大飯は本文中に耐震評価結果及び安全係数評価結果を記載している</li> </ul> <p>【女川】</p> <ul style="list-style-type: none"> <li>■ 個別評価による相違</li> <li>・ FV 重要度が異なるため、代表機器も異なり、評価結果も異なる</li> </ul>
評価部位	材 料	評価応力	許容値 (N/mm <sup>2</sup> )	発生応力 (N/mm <sup>2</sup> )	裕 度																																																																																																																																																																																																																																																																																																																																																																					
スタブチューブ	NCF600	一次膜+ 一次曲げ応力	460	196	2.34																																																																																																																																																																																																																																																																																																																																																																					
		軸圧縮応力	126	54	2.33																																																																																																																																																																																																																																																																																																																																																																					
F <sub>S</sub>	F <sub>u</sub>	F <sub>sA</sub>	F <sub>D</sub>	F <sub>M</sub>	F <sub>AC</sub>	F <sub>t</sub>	F <sub>g</sub>	F <sub>s</sub>	A <sub>s</sub>																																																																																																																																																																																																																																																																																																																																																																	
β <sub>x</sub>	β <sub>y</sub>	β <sub>z</sub>	β <sub>1</sub>	β <sub>2</sub>	β <sub>3</sub>	β <sub>4</sub>	β <sub>5</sub>	β <sub>6</sub>	β <sub>7</sub>	HCLPF																																																																																																																																																																																																																																																																																																																																																																
β <sub>x</sub>	β <sub>y</sub>	β <sub>z</sub>	β <sub>1</sub>	β <sub>2</sub>	β <sub>3</sub>	β <sub>4</sub>	β <sub>5</sub>	β <sub>6</sub>	β <sub>7</sub>																																																																																																																																																																																																																																																																																																																																																																	
3.43	1.00	1.00	1.00	1.00	1.00	1.22	1.00	4.26																																																																																																																																																																																																																																																																																																																																																																		
0.13	0.00	0.00	0.00	0.00	0.00	0.20	0.24	1.64																																																																																																																																																																																																																																																																																																																																																																		
0.27	0.00	0.00	0.00	0.15	0.00	0.00	0.15	0.34																																																																																																																																																																																																																																																																																																																																																																		
評価部位	材 料	評価応力	許容値 (N/mm <sup>2</sup> )	発生応力 (N/mm <sup>2</sup> )	裕 度																																																																																																																																																																																																																																																																																																																																																																					
フレーム	STPT370	組合せ応力	250	60	4.16																																																																																																																																																																																																																																																																																																																																																																					
		引張応力	475	286	1.66																																																																																																																																																																																																																																																																																																																																																																					
		せん断応力	366	81	4.51																																																																																																																																																																																																																																																																																																																																																																					
F <sub>S</sub>	F <sub>u</sub>	F <sub>sA</sub>	F <sub>D</sub>	F <sub>M</sub>	F <sub>AC</sub>	F <sub>t</sub>	F <sub>g</sub>	F <sub>s</sub>	A <sub>s</sub>																																																																																																																																																																																																																																																																																																																																																																	
β <sub>x</sub>	β <sub>y</sub>	β <sub>z</sub>	β <sub>1</sub>	β <sub>2</sub>	β <sub>3</sub>	β <sub>4</sub>	β <sub>5</sub>	β <sub>6</sub>	β <sub>7</sub>	HCLPF																																																																																																																																																																																																																																																																																																																																																																
β <sub>x</sub>	β <sub>y</sub>	β <sub>z</sub>	β <sub>1</sub>	β <sub>2</sub>	β <sub>3</sub>	β <sub>4</sub>	β <sub>5</sub>	β <sub>6</sub>	β <sub>7</sub>																																																																																																																																																																																																																																																																																																																																																																	
2.61	1.00	1.00	1.00	1.00	0.88	1.00	2.28																																																																																																																																																																																																																																																																																																																																																																			
0.00	0.00	0.00	0.00	0.00	0.00	0.20	0.20	1.24																																																																																																																																																																																																																																																																																																																																																																		
0.07	0.00	0.00	0.00	0.00	0.00	0.00	0.15	0.17																																																																																																																																																																																																																																																																																																																																																																		
評価位置	水平		鉛直																																																																																																																																																																																																																																																																																																																																																																							
	応答 加速度(G)	機能維持確認 加速度(G)	応答 加速度(G)	機能維持確認 加速度(G)																																																																																																																																																																																																																																																																																																																																																																						
機関重心位置	1.61	3.3 *10 <sup>-3</sup>	1.07	2.0 *10 <sup>-3</sup>																																																																																																																																																																																																																																																																																																																																																																						
評価部位	材 料	評価応力	許容値 (MPa)	発生応力 (MPa)	裕 度																																																																																																																																																																																																																																																																																																																																																																					
上部支持構造物	SM490B	組合せ	1	0.71	1.40																																																																																																																																																																																																																																																																																																																																																																					
		せん断	193	21	9.19																																																																																																																																																																																																																																																																																																																																																																					
		曲げ	336	175	1.92																																																																																																																																																																																																																																																																																																																																																																					
F <sub>s</sub>	F <sub>u</sub>	F <sub>sa</sub>	F <sub>D</sub>	F <sub>M</sub>	F <sub>AC</sub>	F <sub>t</sub>	F <sub>g</sub>	F <sub>s</sub>	A <sub>s</sub>																																																																																																																																																																																																																																																																																																																																																																	
β <sub>x</sub>	β <sub>y</sub>	β <sub>z</sub>	β <sub>1</sub>	β <sub>2</sub>	β <sub>3</sub>	β <sub>4</sub>	β <sub>5</sub>	β <sub>6</sub>	β <sub>7</sub>	HCLPF																																																																																																																																																																																																																																																																																																																																																																
β <sub>x</sub>	β <sub>y</sub>	β <sub>z</sub>	β <sub>1</sub>	β <sub>2</sub>	β <sub>3</sub>	β <sub>4</sub>	β <sub>5</sub>	β <sub>6</sub>	β <sub>7</sub>																																																																																																																																																																																																																																																																																																																																																																	
1.40	2.24	1.30	1.00	1.00	1.00	1.00	0.99	0.99	1.00	2.23																																																																																																																																																																																																																																																																																																																																																																
0.00	0.19	0.00	0.00	0.00	0.00	0.00	0.08	0.01	0.17	0.27	0.93																																																																																																																																																																																																																																																																																																																																																															
0.00	0.19	0.00	0.00	0.00	0.00	0.00	0.00	0.15	0.10	0.27																																																																																																																																																																																																																																																																																																																																																																
評価部位	材 料	評価応力	許容値 (MPa)	発生応力 (MPa)	裕 度																																																																																																																																																																																																																																																																																																																																																																					
胴板	SGV410	一次応力	334	118	2.83																																																																																																																																																																																																																																																																																																																																																																					
支持脚	SS400	組合せ	255	30	8.50																																																																																																																																																																																																																																																																																																																																																																					
基礎ボルト	SNB7	引張	451	117	3.85																																																																																																																																																																																																																																																																																																																																																																					
F <sub>s</sub>	F <sub>u</sub>	F <sub>sa</sub>	F <sub>D</sub>	F <sub>M</sub>	F <sub>AC</sub>	F <sub>t</sub>	F <sub>g</sub>	F <sub>s</sub>	A <sub>s</sub>																																																																																																																																																																																																																																																																																																																																																																	
β <sub>x</sub>	β <sub>y</sub>	β <sub>z</sub>	β <sub>1</sub>	β <sub>2</sub>	β <sub>3</sub>	β <sub>4</sub>	β <sub>5</sub>	β <sub>6</sub>	β <sub>7</sub>	HCLPF																																																																																																																																																																																																																																																																																																																																																																
β <sub>x</sub>	β <sub>y</sub>	β <sub>z</sub>	β <sub>1</sub>	β <sub>2</sub>	β <sub>3</sub>	β <sub>4</sub>	β <sub>5</sub>	β <sub>6</sub>	β <sub>7</sub>																																																																																																																																																																																																																																																																																																																																																																	
3.47	1.00	1.20	1.00	1.00	1.00	0.99	0.99	1.00	2.29																																																																																																																																																																																																																																																																																																																																																																	
0.00	0.00	0.00	0.00	0.00	0.00	0.08	0.01	0.00	0.09	1.53																																																																																																																																																																																																																																																																																																																																																																
0.06	0.00	0.00	0.00	0.00	0.00	0.00	0.00	0.15	0.00	0.17																																																																																																																																																																																																																																																																																																																																																																

泊発電所3号炉 有効性評価 比較表

赤字：設備、運用又は体制の相違（設計方針の相違）  
 青字：記載箇所又は記載内容の相違（記載方針の相違）  
 緑字：記載表現、設備名称の相違（実質的な相違なし）

第37条 付録1 事故シーケンスグループ及び重要事故シーケンス等の選定について  
 別添3. レベル1PRA 3.2 外部事象 3.2.1 地震PRA

大飯発電所3／4号炉	女川原子力発電所2号炉	泊発電所3号炉	相違理由																																																																																																																																																																																																																																																																																																																																																																																																																																																																																																						
<p><b>第3.2.1.c-2-8表 ディーゼル発電設備ディーゼル機関（水平方向）安全係数評価結果の一覧</b></p> <table border="1"> <thead> <tr> <th>F<sub>x</sub></th><th>F<sub>y</sub></th><th>F<sub>xA</sub></th><th>F<sub>xD</sub></th><th>F<sub>xD</sub></th><th>F<sub>MC</sub></th><th>F<sub>I</sub></th><th>F<sub>x</sub></th><th>F<sub>y</sub></th><th>A<sub>m</sub></th><th>HCLPF</th></tr> </thead> <tbody> <tr> <td>β<sub>x</sub></td><td>β<sub>y</sub></td><td>β<sub>x</sub></td><td>β<sub>y</sub></td><td>β<sub>x</sub></td><td>β<sub>y</sub></td><td>β<sub>x</sub></td><td>β<sub>y</sub></td><td>β<sub>x</sub></td><td>β<sub>y</sub></td><td></td></tr> <tr> <td>β<sub>x</sub></td><td>β<sub>y</sub></td><td>β<sub>x</sub></td><td>β<sub>y</sub></td><td>β<sub>x</sub></td><td>β<sub>y</sub></td><td>β<sub>x</sub></td><td>β<sub>y</sub></td><td>β<sub>x</sub></td><td>β<sub>y</sub></td><td></td></tr> <tr> <td>2.28</td><td>1.00</td><td>1.00</td><td>1.00</td><td>1.00</td><td>1.00</td><td>0.86</td><td>1.00</td><td>2.00</td><td></td><td>1.12</td></tr> <tr> <td>0.03</td><td>0.00</td><td>0.00</td><td>0.00</td><td>0.00</td><td>0.00</td><td>0.00</td><td>0.20</td><td>0.20</td><td></td><td></td></tr> <tr> <td>0.03</td><td>0.00</td><td>0.00</td><td>0.00</td><td>0.00</td><td>0.00</td><td>0.00</td><td>0.15</td><td>0.15</td><td></td><td></td></tr> </tbody> </table> <p><b>第3.2.1.c-2-9表 125V直流受電パワーセンタ2Aの耐震評価結果</b></p> <table border="1"> <thead> <tr> <th rowspan="2">評価位置</th><th colspan="2">水平</th><th colspan="2">鉛直</th></tr> <tr> <th>応答加速度(G)</th><th>機能維持確認加速度(G)</th><th>応答加速度(G)</th><th>機能維持確認加速度(G)</th></tr> </thead> <tbody> <tr> <td>重心位置</td><td>1.42</td><td>2.31<sup>※1</sup></td><td>0.82</td><td>3.0<sup>※1</sup></td></tr> </tbody> </table> <p><b>第3.2.1.c-2-10表 125V直流受電パワーセンタ2A（水平方向）安全係数評価結果の一覧</b></p> <table border="1"> <thead> <tr> <th>F<sub>x</sub></th><th>F<sub>y</sub></th><th>F<sub>xA</sub></th><th>F<sub>xD</sub></th><th>F<sub>xD</sub></th><th>F<sub>MC</sub></th><th>F<sub>I</sub></th><th>F<sub>x</sub></th><th>F<sub>y</sub></th><th>A<sub>m</sub></th><th>HCLPF</th></tr> </thead> <tbody> <tr> <td>β<sub>x</sub></td><td>β<sub>y</sub></td><td>β<sub>x</sub></td><td>β<sub>y</sub></td><td>β<sub>x</sub></td><td>β<sub>y</sub></td><td>β<sub>x</sub></td><td>β<sub>y</sub></td><td>β<sub>x</sub></td><td>β<sub>y</sub></td><td></td></tr> <tr> <td>β<sub>x</sub></td><td>β<sub>y</sub></td><td>β<sub>x</sub></td><td>β<sub>y</sub></td><td>β<sub>x</sub></td><td>β<sub>y</sub></td><td>β<sub>x</sub></td><td>β<sub>y</sub></td><td>β<sub>x</sub></td><td>β<sub>y</sub></td><td></td></tr> <tr> <td>2.67</td><td>1.00</td><td>1.00</td><td>1.00</td><td>1.00</td><td>1.00</td><td>0.88</td><td>1.00</td><td>2.40</td><td></td><td>1.11</td></tr> <tr> <td>0.10</td><td>0.00</td><td>0.00</td><td>0.00</td><td>0.00</td><td>0.00</td><td>0.00</td><td>0.20</td><td>0.22</td><td></td><td></td></tr> <tr> <td>0.20</td><td>0.00</td><td>0.00</td><td>0.00</td><td>0.00</td><td>0.00</td><td>0.00</td><td>0.15</td><td>0.25</td><td></td><td></td></tr> </tbody> </table> <p><b>第3.2.1.c-2-11表 原子炉補機冷却水系弁の耐震評価結果</b></p> <table border="1"> <thead> <tr> <th rowspan="2">評価位置</th><th colspan="2">水平</th><th colspan="2">鉛直</th></tr> <tr> <th>応答加速度(G)</th><th>機能維持確認加速度(G)</th><th>応答加速度(G)</th><th>機能維持確認加速度(G)</th></tr> </thead> <tbody> <tr> <td>駆動部</td><td>5.15</td><td>9.5</td><td>2.15</td><td>6.8</td></tr> </tbody> </table> <p><b>第3.2.1.c-2-12表 原子炉補機冷却水系弁（水平方向）安全係数評価結果の一覧</b></p> <table border="1"> <thead> <tr> <th>F<sub>x</sub></th><th>F<sub>y</sub></th><th>F<sub>xA</sub></th><th>F<sub>xD</sub></th><th>F<sub>xD</sub></th><th>F<sub>MC</sub></th><th>F<sub>I</sub></th><th>F<sub>x</sub></th><th>F<sub>y</sub></th><th>A<sub>m</sub></th><th>HCLPF</th></tr> </thead> <tbody> <tr> <td>β<sub>x</sub></td><td>β<sub>y</sub></td><td>β<sub>x</sub></td><td>β<sub>y</sub></td><td>β<sub>x</sub></td><td>β<sub>y</sub></td><td>β<sub>x</sub></td><td>β<sub>y</sub></td><td>β<sub>x</sub></td><td>β<sub>y</sub></td><td></td></tr> <tr> <td>β<sub>x</sub></td><td>β<sub>y</sub></td><td>β<sub>x</sub></td><td>β<sub>y</sub></td><td>β<sub>x</sub></td><td>β<sub>y</sub></td><td>β<sub>x</sub></td><td>β<sub>y</sub></td><td>β<sub>x</sub></td><td>β<sub>y</sub></td><td></td></tr> <tr> <td>2.05</td><td>1.00</td><td>1.24</td><td>1.32</td><td>1.00</td><td>1.03</td><td>0.86</td><td>1.00</td><td>3.03</td><td></td><td>1.35</td></tr> <tr> <td>0.03</td><td>0.00</td><td>0.00</td><td>0.08</td><td>0.00</td><td>0.13</td><td>0.00</td><td>0.20</td><td>0.25</td><td></td><td></td></tr> <tr> <td>0.03</td><td>0.00</td><td>0.07</td><td>0.08</td><td>0.15</td><td>0.00</td><td>0.00</td><td>0.15</td><td>0.24</td><td></td><td></td></tr> </tbody> </table> <p><b>第3.2.1.c-3-7表 内燃機関（ディーゼル発電機）の耐震評価結果</b></p> <table border="1"> <thead> <tr> <th rowspan="2">評価位置</th><th colspan="2">水平</th><th colspan="2">鉛直</th><th colspan="2">水平・鉛直 SRS</th><th colspan="2">機能維持確認加速度(G)</th></tr> <tr> <th>応答加速度(n/s<sup>2</sup>)</th><th>機能維持確認加速度(n/s<sup>2</sup>)</th><th>応答加速度(n/s<sup>2</sup>)</th><th>機能維持確認加速度(n/s<sup>2</sup>)</th><th>応答加速度(n/s<sup>2</sup>)</th><th>機能維持確認加速度(n/s<sup>2</sup>)</th></tr> </thead> <tbody> <tr> <td>機関重心位置</td><td>6.3</td><td>10.7</td><td>3.90</td><td>9.80</td><td>7.409</td><td>14.51</td><td></td><td></td></tr> </tbody> </table> <p><b>第3.2.1.c-3-8表 内燃機関（ディーゼル発電機） 安全係数評価結果の一覧</b></p> <table border="1"> <thead> <tr> <th>F<sub>x</sub></th><th>F<sub>y</sub></th><th>F<sub>xD</sub></th><th>F<sub>xD</sub></th><th>F<sub>MC</sub></th><th>F<sub>I</sub></th><th>F<sub>x</sub></th><th>F<sub>y</sub></th><th>A<sub>m</sub></th><th>HCLPF</th></tr> </thead> <tbody> <tr> <td>β<sub>x</sub></td><td>β<sub>y</sub></td><td>β<sub>x</sub></td><td>β<sub>y</sub></td><td>β<sub>x</sub></td><td>β<sub>y</sub></td><td>β<sub>x</sub></td><td>β<sub>y</sub></td><td>β<sub>x</sub></td><td>β<sub>y</sub></td><td></td></tr> <tr> <td>β<sub>x</sub></td><td>β<sub>y</sub></td><td>β<sub>x</sub></td><td>β<sub>y</sub></td><td>β<sub>x</sub></td><td>β<sub>y</sub></td><td>β<sub>x</sub></td><td>β<sub>y</sub></td><td>β<sub>x</sub></td><td>β<sub>y</sub></td><td></td></tr> <tr> <td>2.72</td><td>1.00</td><td>1.00</td><td>1.00</td><td>1.00</td><td>1.00</td><td>0.93</td><td>0.90</td><td>1.03</td><td>1.00</td><td>1.63</td></tr> <tr> <td>6.10</td><td>0.00</td><td>0.00</td><td>0.00</td><td>0.00</td><td>0.00</td><td>0.00</td><td>0.07</td><td>0.01</td><td>0.00</td><td>0.13</td><td>0.99</td></tr> <tr> <td>6.10</td><td>0.00</td><td>0.00</td><td>0.00</td><td>0.00</td><td>0.00</td><td>0.00</td><td>0.00</td><td>0.15</td><td>0.00</td><td>0.19</td><td></td></tr> </tbody> </table> <p><b>第3.2.1.c-3-9表 パワーコントロールセンタの耐震評価結果</b></p> <table border="1"> <thead> <tr> <th rowspan="2">評価位置</th><th colspan="2">水平</th><th colspan="2">鉛直</th></tr> <tr> <th>応答加速度(n/s<sup>2</sup>)</th><th>機能維持確認加速度(n/s<sup>2</sup>)</th><th>応答加速度(n/s<sup>2</sup>)</th><th>機能維持確認加速度(n/s<sup>2</sup>)</th></tr> </thead> <tbody> <tr> <td>整頂部</td><td>25.90</td><td>40.9</td><td>4.40</td><td>19.60</td></tr> </tbody> </table> <p><b>第3.2.1.c-3-10表 パワーコントロールセンタ 安全係数評価結果の一覧</b></p> <table border="1"> <thead> <tr> <th>F<sub>x</sub></th><th>F<sub>y</sub></th><th>F<sub>xD</sub></th><th>F<sub>xD</sub></th><th>F<sub>MC</sub></th><th>F<sub>I</sub></th><th>F<sub>x</sub></th><th>F<sub>y</sub></th><th>A<sub>m</sub></th><th>HCLPF</th></tr> </thead> <tbody> <tr> <td>β<sub>x</sub></td><td>β<sub>y</sub></td><td>β<sub>x</sub></td><td>β<sub>y</sub></td><td>β<sub>x</sub></td><td>β<sub>y</sub></td><td>β<sub>x</sub></td><td>β<sub>y</sub></td><td>β<sub>x</sub></td><td>β<sub>y</sub></td><td></td></tr> <tr> <td>β<sub>x</sub></td><td>β<sub>y</sub></td><td>β<sub>x</sub></td><td>β<sub>y</sub></td><td>β<sub>x</sub></td><td>β<sub>y</sub></td><td>β<sub>x</sub></td><td>β<sub>y</sub></td><td>β<sub>x</sub></td><td>β<sub>y</sub></td><td></td></tr> <tr> <td>3.00</td><td>1.00</td><td>1.00</td><td>1.22</td><td>1.00</td><td>1.00</td><td>0.99</td><td>0.99</td><td>1.00</td><td>2.01</td><td></td></tr> <tr> <td>6.11</td><td>0.00</td><td>0.00</td><td>0.00</td><td>0.00</td><td>0.00</td><td>0.00</td><td>0.08</td><td>0.01</td><td>0.17</td><td>0.22</td><td>0.90</td></tr> <tr> <td>6.17</td><td>0.00</td><td>0.00</td><td>0.10</td><td>0.00</td><td>0.00</td><td>0.00</td><td>0.00</td><td>0.15</td><td>0.10</td><td>0.27</td><td></td></tr> </tbody> </table> <p><b>第3.2.1.c-3-11表 一般代表弁の耐震評価結果</b></p> <table border="1"> <thead> <tr> <th rowspan="2">評価位置</th><th colspan="2">水平</th><th colspan="2">鉛直</th><th colspan="2">水平・鉛直 SRS</th><th colspan="2">機能維持確認加速度(G)</th></tr> <tr> <th>応答加速度(n/s<sup>2</sup>)</th><th>機能維持確認加速度(n/s<sup>2</sup>)</th><th>応答加速度(n/s<sup>2</sup>)</th><th>機能維持確認加速度(n/s<sup>2</sup>)</th><th>応答加速度(n/s<sup>2</sup>)</th><th>機能維持確認加速度(n/s<sup>2</sup>)</th></tr> </thead> <tbody> <tr> <td>駆動部</td><td>19.62</td><td>58.8</td><td>4.91</td><td>58.8</td><td>20.225</td><td>83.16</td><td></td><td></td></tr> </tbody> </table> <p><b>第3.2.1.c-3-12表 一般代表弁 安全係数評価結果の一覧</b></p> <table border="1"> <thead> <tr> <th>F<sub>x</sub></th><th>F<sub>y</sub></th><th>F<sub>xD</sub></th><th>F<sub>xD</sub></th><th>F<sub>MC</sub></th><th>F<sub>I</sub></th><th>F<sub>x</sub></th><th>F<sub>y</sub></th><th>A<sub>m</sub></th><th>HCLPF</th></tr> </thead> <tbody> <tr> <td>β<sub>x</sub></td><td>β<sub>y</sub></td><td>β<sub>x</sub></td><td>β<sub>y</sub></td><td>β<sub>x</sub></td><td>β<sub>y</sub></td><td>β<sub>x</sub></td><td>β<sub>y</sub></td><td>β<sub>x</sub></td><td>β<sub>y</sub></td><td></td></tr> <tr> <td>β<sub>x</sub></td><td>β<sub>y</sub></td><td>β<sub>x</sub></td><td>β<sub>y</sub></td><td>β<sub>x</sub></td><td>β<sub>y</sub></td><td>β<sub>x</sub></td><td>β<sub>y</sub></td><td>β<sub>x</sub></td><td>β<sub>y</sub></td><td></td></tr> <tr> <td>5.71</td><td>1.00</td><td>1.00</td><td>1.00</td><td>1.00</td><td>1.00</td><td>0.99</td><td>0.99</td><td>1.00</td><td>3.13</td><td></td></tr> <tr> <td>6.10</td><td>0.00</td><td>0.00</td><td>0.00</td><td>0.00</td><td>0.15</td><td>0.00</td><td>0.08</td><td>0.01</td><td>0.17</td><td>0.27</td><td>1.34</td></tr> <tr> <td>6.10</td><td>0.00</td><td>0.00</td><td>0.00</td><td>0.15</td><td>0.00</td><td>0.00</td><td>0.00</td><td>0.15</td><td>0.10</td><td>0.26</td><td></td></tr> </tbody> </table>	F <sub>x</sub>	F <sub>y</sub>	F <sub>xA</sub>	F <sub>xD</sub>	F <sub>xD</sub>	F <sub>MC</sub>	F <sub>I</sub>	F <sub>x</sub>	F <sub>y</sub>	A <sub>m</sub>	HCLPF	β <sub>x</sub>	β <sub>y</sub>		β <sub>x</sub>	β <sub>y</sub>		2.28	1.00	1.00	1.00	1.00	1.00	0.86	1.00	2.00		1.12	0.03	0.00	0.00	0.00	0.00	0.00	0.00	0.20	0.20			0.03	0.00	0.00	0.00	0.00	0.00	0.00	0.15	0.15			評価位置	水平		鉛直		応答加速度(G)	機能維持確認加速度(G)	応答加速度(G)	機能維持確認加速度(G)	重心位置	1.42	2.31 <sup>※1</sup>	0.82	3.0 <sup>※1</sup>	F <sub>x</sub>	F <sub>y</sub>	F <sub>xA</sub>	F <sub>xD</sub>	F <sub>xD</sub>	F <sub>MC</sub>	F <sub>I</sub>	F <sub>x</sub>	F <sub>y</sub>	A <sub>m</sub>	HCLPF	β <sub>x</sub>	β <sub>y</sub>		β <sub>x</sub>	β <sub>y</sub>		2.67	1.00	1.00	1.00	1.00	1.00	0.88	1.00	2.40		1.11	0.10	0.00	0.00	0.00	0.00	0.00	0.00	0.20	0.22			0.20	0.00	0.00	0.00	0.00	0.00	0.00	0.15	0.25			評価位置	水平		鉛直		応答加速度(G)	機能維持確認加速度(G)	応答加速度(G)	機能維持確認加速度(G)	駆動部	5.15	9.5	2.15	6.8	F <sub>x</sub>	F <sub>y</sub>	F <sub>xA</sub>	F <sub>xD</sub>	F <sub>xD</sub>	F <sub>MC</sub>	F <sub>I</sub>	F <sub>x</sub>	F <sub>y</sub>	A <sub>m</sub>	HCLPF	β <sub>x</sub>	β <sub>y</sub>		β <sub>x</sub>	β <sub>y</sub>		2.05	1.00	1.24	1.32	1.00	1.03	0.86	1.00	3.03		1.35	0.03	0.00	0.00	0.08	0.00	0.13	0.00	0.20	0.25			0.03	0.00	0.07	0.08	0.15	0.00	0.00	0.15	0.24			評価位置	水平		鉛直		水平・鉛直 SRS		機能維持確認加速度(G)		応答加速度(n/s <sup>2</sup> )	機能維持確認加速度(n/s <sup>2</sup> )	応答加速度(n/s <sup>2</sup> )	機能維持確認加速度(n/s <sup>2</sup> )	応答加速度(n/s <sup>2</sup> )	機能維持確認加速度(n/s <sup>2</sup> )	機関重心位置	6.3	10.7	3.90	9.80	7.409	14.51			F <sub>x</sub>	F <sub>y</sub>	F <sub>xD</sub>	F <sub>xD</sub>	F <sub>MC</sub>	F <sub>I</sub>	F <sub>x</sub>	F <sub>y</sub>	A <sub>m</sub>	HCLPF	β <sub>x</sub>	β <sub>y</sub>		β <sub>x</sub>	β <sub>y</sub>		2.72	1.00	1.00	1.00	1.00	1.00	0.93	0.90	1.03	1.00	1.63	6.10	0.00	0.00	0.00	0.00	0.00	0.00	0.07	0.01	0.00	0.13	0.99	6.10	0.00	0.00	0.00	0.00	0.00	0.00	0.00	0.15	0.00	0.19		評価位置	水平		鉛直		応答加速度(n/s <sup>2</sup> )	機能維持確認加速度(n/s <sup>2</sup> )	応答加速度(n/s <sup>2</sup> )	機能維持確認加速度(n/s <sup>2</sup> )	整頂部	25.90	40.9	4.40	19.60	F <sub>x</sub>	F <sub>y</sub>	F <sub>xD</sub>	F <sub>xD</sub>	F <sub>MC</sub>	F <sub>I</sub>	F <sub>x</sub>	F <sub>y</sub>	A <sub>m</sub>	HCLPF	β <sub>x</sub>	β <sub>y</sub>		β <sub>x</sub>	β <sub>y</sub>		3.00	1.00	1.00	1.22	1.00	1.00	0.99	0.99	1.00	2.01		6.11	0.00	0.00	0.00	0.00	0.00	0.00	0.08	0.01	0.17	0.22	0.90	6.17	0.00	0.00	0.10	0.00	0.00	0.00	0.00	0.15	0.10	0.27		評価位置	水平		鉛直		水平・鉛直 SRS		機能維持確認加速度(G)		応答加速度(n/s <sup>2</sup> )	機能維持確認加速度(n/s <sup>2</sup> )	応答加速度(n/s <sup>2</sup> )	機能維持確認加速度(n/s <sup>2</sup> )	応答加速度(n/s <sup>2</sup> )	機能維持確認加速度(n/s <sup>2</sup> )	駆動部	19.62	58.8	4.91	58.8	20.225	83.16			F <sub>x</sub>	F <sub>y</sub>	F <sub>xD</sub>	F <sub>xD</sub>	F <sub>MC</sub>	F <sub>I</sub>	F <sub>x</sub>	F <sub>y</sub>	A <sub>m</sub>	HCLPF	β <sub>x</sub>	β <sub>y</sub>		β <sub>x</sub>	β <sub>y</sub>		5.71	1.00	1.00	1.00	1.00	1.00	0.99	0.99	1.00	3.13		6.10	0.00	0.00	0.00	0.00	0.15	0.00	0.08	0.01	0.17	0.27	1.34	6.10	0.00	0.00	0.00	0.15	0.00	0.00	0.00	0.15	0.10	0.26																																																																																																	
F <sub>x</sub>	F <sub>y</sub>	F <sub>xA</sub>	F <sub>xD</sub>	F <sub>xD</sub>	F <sub>MC</sub>	F <sub>I</sub>	F <sub>x</sub>	F <sub>y</sub>	A <sub>m</sub>	HCLPF																																																																																																																																																																																																																																																																																																																																																																																																																																																																																															
β <sub>x</sub>	β <sub>y</sub>	β <sub>x</sub>	β <sub>y</sub>	β <sub>x</sub>	β <sub>y</sub>	β <sub>x</sub>	β <sub>y</sub>	β <sub>x</sub>	β <sub>y</sub>																																																																																																																																																																																																																																																																																																																																																																																																																																																																																																
β <sub>x</sub>	β <sub>y</sub>	β <sub>x</sub>	β <sub>y</sub>	β <sub>x</sub>	β <sub>y</sub>	β <sub>x</sub>	β <sub>y</sub>	β <sub>x</sub>	β <sub>y</sub>																																																																																																																																																																																																																																																																																																																																																																																																																																																																																																
2.28	1.00	1.00	1.00	1.00	1.00	0.86	1.00	2.00		1.12																																																																																																																																																																																																																																																																																																																																																																																																																																																																																															
0.03	0.00	0.00	0.00	0.00	0.00	0.00	0.20	0.20																																																																																																																																																																																																																																																																																																																																																																																																																																																																																																	
0.03	0.00	0.00	0.00	0.00	0.00	0.00	0.15	0.15																																																																																																																																																																																																																																																																																																																																																																																																																																																																																																	
評価位置	水平		鉛直																																																																																																																																																																																																																																																																																																																																																																																																																																																																																																						
	応答加速度(G)	機能維持確認加速度(G)	応答加速度(G)	機能維持確認加速度(G)																																																																																																																																																																																																																																																																																																																																																																																																																																																																																																					
重心位置	1.42	2.31 <sup>※1</sup>	0.82	3.0 <sup>※1</sup>																																																																																																																																																																																																																																																																																																																																																																																																																																																																																																					
F <sub>x</sub>	F <sub>y</sub>	F <sub>xA</sub>	F <sub>xD</sub>	F <sub>xD</sub>	F <sub>MC</sub>	F <sub>I</sub>	F <sub>x</sub>	F <sub>y</sub>	A <sub>m</sub>	HCLPF																																																																																																																																																																																																																																																																																																																																																																																																																																																																																															
β <sub>x</sub>	β <sub>y</sub>	β <sub>x</sub>	β <sub>y</sub>	β <sub>x</sub>	β <sub>y</sub>	β <sub>x</sub>	β <sub>y</sub>	β <sub>x</sub>	β <sub>y</sub>																																																																																																																																																																																																																																																																																																																																																																																																																																																																																																
β <sub>x</sub>	β <sub>y</sub>	β <sub>x</sub>	β <sub>y</sub>	β <sub>x</sub>	β <sub>y</sub>	β <sub>x</sub>	β <sub>y</sub>	β <sub>x</sub>	β <sub>y</sub>																																																																																																																																																																																																																																																																																																																																																																																																																																																																																																
2.67	1.00	1.00	1.00	1.00	1.00	0.88	1.00	2.40		1.11																																																																																																																																																																																																																																																																																																																																																																																																																																																																																															
0.10	0.00	0.00	0.00	0.00	0.00	0.00	0.20	0.22																																																																																																																																																																																																																																																																																																																																																																																																																																																																																																	
0.20	0.00	0.00	0.00	0.00	0.00	0.00	0.15	0.25																																																																																																																																																																																																																																																																																																																																																																																																																																																																																																	
評価位置	水平		鉛直																																																																																																																																																																																																																																																																																																																																																																																																																																																																																																						
	応答加速度(G)	機能維持確認加速度(G)	応答加速度(G)	機能維持確認加速度(G)																																																																																																																																																																																																																																																																																																																																																																																																																																																																																																					
駆動部	5.15	9.5	2.15	6.8																																																																																																																																																																																																																																																																																																																																																																																																																																																																																																					
F <sub>x</sub>	F <sub>y</sub>	F <sub>xA</sub>	F <sub>xD</sub>	F <sub>xD</sub>	F <sub>MC</sub>	F <sub>I</sub>	F <sub>x</sub>	F <sub>y</sub>	A <sub>m</sub>	HCLPF																																																																																																																																																																																																																																																																																																																																																																																																																																																																																															
β <sub>x</sub>	β <sub>y</sub>	β <sub>x</sub>	β <sub>y</sub>	β <sub>x</sub>	β <sub>y</sub>	β <sub>x</sub>	β <sub>y</sub>	β <sub>x</sub>	β <sub>y</sub>																																																																																																																																																																																																																																																																																																																																																																																																																																																																																																
β <sub>x</sub>	β <sub>y</sub>	β <sub>x</sub>	β <sub>y</sub>	β <sub>x</sub>	β <sub>y</sub>	β <sub>x</sub>	β <sub>y</sub>	β <sub>x</sub>	β <sub>y</sub>																																																																																																																																																																																																																																																																																																																																																																																																																																																																																																
2.05	1.00	1.24	1.32	1.00	1.03	0.86	1.00	3.03		1.35																																																																																																																																																																																																																																																																																																																																																																																																																																																																																															
0.03	0.00	0.00	0.08	0.00	0.13	0.00	0.20	0.25																																																																																																																																																																																																																																																																																																																																																																																																																																																																																																	
0.03	0.00	0.07	0.08	0.15	0.00	0.00	0.15	0.24																																																																																																																																																																																																																																																																																																																																																																																																																																																																																																	
評価位置	水平		鉛直		水平・鉛直 SRS		機能維持確認加速度(G)																																																																																																																																																																																																																																																																																																																																																																																																																																																																																																		
	応答加速度(n/s <sup>2</sup> )	機能維持確認加速度(n/s <sup>2</sup> )	応答加速度(n/s <sup>2</sup> )	機能維持確認加速度(n/s <sup>2</sup> )	応答加速度(n/s <sup>2</sup> )	機能維持確認加速度(n/s <sup>2</sup> )																																																																																																																																																																																																																																																																																																																																																																																																																																																																																																			
機関重心位置	6.3	10.7	3.90	9.80	7.409	14.51																																																																																																																																																																																																																																																																																																																																																																																																																																																																																																			
F <sub>x</sub>	F <sub>y</sub>	F <sub>xD</sub>	F <sub>xD</sub>	F <sub>MC</sub>	F <sub>I</sub>	F <sub>x</sub>	F <sub>y</sub>	A <sub>m</sub>	HCLPF																																																																																																																																																																																																																																																																																																																																																																																																																																																																																																
β <sub>x</sub>	β <sub>y</sub>	β <sub>x</sub>	β <sub>y</sub>	β <sub>x</sub>	β <sub>y</sub>	β <sub>x</sub>	β <sub>y</sub>	β <sub>x</sub>	β <sub>y</sub>																																																																																																																																																																																																																																																																																																																																																																																																																																																																																																
β <sub>x</sub>	β <sub>y</sub>	β <sub>x</sub>	β <sub>y</sub>	β <sub>x</sub>	β <sub>y</sub>	β <sub>x</sub>	β <sub>y</sub>	β <sub>x</sub>	β <sub>y</sub>																																																																																																																																																																																																																																																																																																																																																																																																																																																																																																
2.72	1.00	1.00	1.00	1.00	1.00	0.93	0.90	1.03	1.00	1.63																																																																																																																																																																																																																																																																																																																																																																																																																																																																																															
6.10	0.00	0.00	0.00	0.00	0.00	0.00	0.07	0.01	0.00	0.13	0.99																																																																																																																																																																																																																																																																																																																																																																																																																																																																																														
6.10	0.00	0.00	0.00	0.00	0.00	0.00	0.00	0.15	0.00	0.19																																																																																																																																																																																																																																																																																																																																																																																																																																																																																															
評価位置	水平		鉛直																																																																																																																																																																																																																																																																																																																																																																																																																																																																																																						
	応答加速度(n/s <sup>2</sup> )	機能維持確認加速度(n/s <sup>2</sup> )	応答加速度(n/s <sup>2</sup> )	機能維持確認加速度(n/s <sup>2</sup> )																																																																																																																																																																																																																																																																																																																																																																																																																																																																																																					
整頂部	25.90	40.9	4.40	19.60																																																																																																																																																																																																																																																																																																																																																																																																																																																																																																					
F <sub>x</sub>	F <sub>y</sub>	F <sub>xD</sub>	F <sub>xD</sub>	F <sub>MC</sub>	F <sub>I</sub>	F <sub>x</sub>	F <sub>y</sub>	A <sub>m</sub>	HCLPF																																																																																																																																																																																																																																																																																																																																																																																																																																																																																																
β <sub>x</sub>	β <sub>y</sub>	β <sub>x</sub>	β <sub>y</sub>	β <sub>x</sub>	β <sub>y</sub>	β <sub>x</sub>	β <sub>y</sub>	β <sub>x</sub>	β <sub>y</sub>																																																																																																																																																																																																																																																																																																																																																																																																																																																																																																
β <sub>x</sub>	β <sub>y</sub>	β <sub>x</sub>	β <sub>y</sub>	β <sub>x</sub>	β <sub>y</sub>	β <sub>x</sub>	β <sub>y</sub>	β <sub>x</sub>	β <sub>y</sub>																																																																																																																																																																																																																																																																																																																																																																																																																																																																																																
3.00	1.00	1.00	1.22	1.00	1.00	0.99	0.99	1.00	2.01																																																																																																																																																																																																																																																																																																																																																																																																																																																																																																
6.11	0.00	0.00	0.00	0.00	0.00	0.00	0.08	0.01	0.17	0.22	0.90																																																																																																																																																																																																																																																																																																																																																																																																																																																																																														
6.17	0.00	0.00	0.10	0.00	0.00	0.00	0.00	0.15	0.10	0.27																																																																																																																																																																																																																																																																																																																																																																																																																																																																																															
評価位置	水平		鉛直		水平・鉛直 SRS		機能維持確認加速度(G)																																																																																																																																																																																																																																																																																																																																																																																																																																																																																																		
	応答加速度(n/s <sup>2</sup> )	機能維持確認加速度(n/s <sup>2</sup> )	応答加速度(n/s <sup>2</sup> )	機能維持確認加速度(n/s <sup>2</sup> )	応答加速度(n/s <sup>2</sup> )	機能維持確認加速度(n/s <sup>2</sup> )																																																																																																																																																																																																																																																																																																																																																																																																																																																																																																			
駆動部	19.62	58.8	4.91	58.8	20.225	83.16																																																																																																																																																																																																																																																																																																																																																																																																																																																																																																			
F <sub>x</sub>	F <sub>y</sub>	F <sub>xD</sub>	F <sub>xD</sub>	F <sub>MC</sub>	F <sub>I</sub>	F <sub>x</sub>	F <sub>y</sub>	A <sub>m</sub>	HCLPF																																																																																																																																																																																																																																																																																																																																																																																																																																																																																																
β <sub>x</sub>	β <sub>y</sub>	β <sub>x</sub>	β <sub>y</sub>	β <sub>x</sub>	β <sub>y</sub>	β <sub>x</sub>	β <sub>y</sub>	β <sub>x</sub>	β <sub>y</sub>																																																																																																																																																																																																																																																																																																																																																																																																																																																																																																
β <sub>x</sub>	β <sub>y</sub>	β <sub>x</sub>	β <sub>y</sub>	β <sub>x</sub>	β <sub>y</sub>	β <sub>x</sub>	β <sub>y</sub>	β <sub>x</sub>	β <sub>y</sub>																																																																																																																																																																																																																																																																																																																																																																																																																																																																																																
5.71	1.00	1.00	1.00	1.00	1.00	0.99	0.99	1.00	3.13																																																																																																																																																																																																																																																																																																																																																																																																																																																																																																
6.10	0.00	0.00	0.00	0.00	0.15	0.00	0.08	0.01	0.17	0.27	1.34																																																																																																																																																																																																																																																																																																																																																																																																																																																																																														
6.10	0.00	0.00	0.00	0.15	0.00	0.00	0.00	0.15	0.10	0.26																																																																																																																																																																																																																																																																																																																																																																																																																																																																																															

## 泊発電所3号炉 有効性評価 比較表

赤字：設備、運用又は体制の相違（設計方針の相違）  
 青字：記載箇所又は記載内容の相違（記載方針の相違）  
 緑字：記載表現、設備名称の相違（実質的な相違なし）

第37条 付録1 事故シーケンスグループ及び重要事故シーケンス等の選定について  
 別添3. レベル1PRA 3.2 外部事象 3.2.1 地震PRA

大飯発電所3／4号炉	女川原子力発電所2号炉	泊発電所3号炉	相違理由																																																																																																																																								
<p>第1.2.1.d-1表 起因事象の条件付発生確率</p> <table border="1"> <thead> <tr> <th rowspan="2">起因事象</th><th colspan="4">加速度<math>\text{m/s}^2</math>(G)</th></tr> <tr> <th>0.2~0.5</th><th>0.5~0.8</th><th>0.8~1.1</th><th>1.1~1.5</th></tr> </thead> <tbody> <tr> <td>格納容器バイパス</td><td>5.02E-08</td><td>2.56E-05</td><td>6.55E-04</td><td>5.72E-03</td></tr> <tr> <td>大破断LOCAを上回る規模のLOCA(Excess LOCA)</td><td>-</td><td>8.48E-07</td><td>1.59E-04</td><td>6.18E-03</td></tr> <tr> <td>原子炉建屋損傷</td><td>-</td><td>7.07E-07</td><td>1.61E-04</td><td>5.60E-03</td></tr> <tr> <td>原子炉格納容器損傷</td><td>-</td><td>1.11E-09</td><td>2.67E-06</td><td>1.78E-04</td></tr> <tr> <td>制御建屋損傷</td><td>-</td><td>4.32E-06</td><td>3.57E-04</td><td>6.57E-03</td></tr> <tr> <td>電動弁損傷による原子炉補機冷却機能喪失</td><td>2.14E-08</td><td>4.55E-05</td><td>2.11E-03</td><td>2.38E-02</td></tr> <tr> <td>1次系流路閉塞による2次系除熱機能喪失</td><td>-</td><td>3.63E-06</td><td>2.30E-04</td><td>3.74E-03</td></tr> <tr> <td>複数の信号系損傷</td><td>-</td><td>1.05E-06</td><td>1.82E-04</td><td>5.36E-03</td></tr> <tr> <td>燃料集合体及び制御棒クラスタ損傷による原子炉停止機能喪失</td><td>-</td><td>1.33E-07</td><td>2.99E-05</td><td>1.51E-03</td></tr> <tr> <td>大破断LOCA</td><td>-</td><td>3.66E-06</td><td>3.46E-04</td><td>7.12E-03</td></tr> <tr> <td>中破断LOCA</td><td>-</td><td>2.99E-06</td><td>2.85E-04</td><td>5.78E-03</td></tr> <tr> <td>小破断LOCA</td><td>6.47E-07</td><td>5.71E-04</td><td>1.95E-02</td><td>1.62E-01</td></tr> <tr> <td>2次冷却系の破断</td><td>1.80E-08</td><td>2.12E-05</td><td>9.77E-04</td><td>1.55E-02</td></tr> <tr> <td>主給水流量喪失</td><td></td><td></td><td>1.0</td></tr> </tbody> </table>	起因事象	加速度 $\text{m/s}^2$ (G)				0.2~0.5	0.5~0.8	0.8~1.1	1.1~1.5	格納容器バイパス	5.02E-08	2.56E-05	6.55E-04	5.72E-03	大破断LOCAを上回る規模のLOCA(Excess LOCA)	-	8.48E-07	1.59E-04	6.18E-03	原子炉建屋損傷	-	7.07E-07	1.61E-04	5.60E-03	原子炉格納容器損傷	-	1.11E-09	2.67E-06	1.78E-04	制御建屋損傷	-	4.32E-06	3.57E-04	6.57E-03	電動弁損傷による原子炉補機冷却機能喪失	2.14E-08	4.55E-05	2.11E-03	2.38E-02	1次系流路閉塞による2次系除熱機能喪失	-	3.63E-06	2.30E-04	3.74E-03	複数の信号系損傷	-	1.05E-06	1.82E-04	5.36E-03	燃料集合体及び制御棒クラスタ損傷による原子炉停止機能喪失	-	1.33E-07	2.99E-05	1.51E-03	大破断LOCA	-	3.66E-06	3.46E-04	7.12E-03	中破断LOCA	-	2.99E-06	2.85E-04	5.78E-03	小破断LOCA	6.47E-07	5.71E-04	1.95E-02	1.62E-01	2次冷却系の破断	1.80E-08	2.12E-05	9.77E-04	1.55E-02	主給水流量喪失			1.0	<p>第3.2.1.d-1表 起因事象発生頻度</p> <table border="1"> <thead> <tr> <th>起因事象</th><th>発生頻度 [／年]</th></tr> </thead> <tbody> <tr> <td>外部電源喪失</td><td><math>3.0 \times 10^{-2}</math></td></tr> <tr> <td>原子炉建屋損傷</td><td><math>4.8 \times 10^{-6}</math></td></tr> <tr> <td>格納容器損傷</td><td><math>5.2 \times 10^{-7}</math></td></tr> <tr> <td>圧力容器損傷</td><td><math>4.1 \times 10^{-7}</math></td></tr> <tr> <td>E-LOCA</td><td><math>6.0 \times 10^{-7}</math></td></tr> <tr> <td>格納容器バイパス</td><td><math>1.0 \times 10^{-7}</math></td></tr> <tr> <td>制御建屋損傷</td><td><math>1.9 \times 10^{-7}</math></td></tr> <tr> <td>計測・制御系喪失</td><td><math>3.7 \times 10^{-7}</math></td></tr> <tr> <td>直列電源喪失</td><td><math>1.1 \times 10^{-6}</math></td></tr> <tr> <td>交流電源・原子炉補機冷却系喪失</td><td><math>1.5 \times 10^{-5}</math></td></tr> </tbody> </table>	起因事象	発生頻度 [／年]	外部電源喪失	$3.0 \times 10^{-2}$	原子炉建屋損傷	$4.8 \times 10^{-6}$	格納容器損傷	$5.2 \times 10^{-7}$	圧力容器損傷	$4.1 \times 10^{-7}$	E-LOCA	$6.0 \times 10^{-7}$	格納容器バイパス	$1.0 \times 10^{-7}$	制御建屋損傷	$1.9 \times 10^{-7}$	計測・制御系喪失	$3.7 \times 10^{-7}$	直列電源喪失	$1.1 \times 10^{-6}$	交流電源・原子炉補機冷却系喪失	$1.5 \times 10^{-5}$	<p>第3.2.1.d-1表 起因事象発生頻度</p> <table border="1"> <thead> <tr> <th>起因事象</th><th>発生頻度 [／年]</th></tr> </thead> <tbody> <tr> <td>格納容器バイパス</td><td>9.8E-08</td></tr> <tr> <td>大破断LOCAを上回る規模のLOCA(Excess LOCA)</td><td>3.5E-07</td></tr> <tr> <td>原子炉建屋損傷</td><td>4.7E-08</td></tr> <tr> <td>原子炉格納容器損傷</td><td>1.8E-08</td></tr> <tr> <td>原子炉補助建屋損傷</td><td><math>\epsilon</math></td></tr> <tr> <td>電動弁損傷による原子炉補機冷却機能喪失</td><td>1.2E-08</td></tr> <tr> <td>1次系流路閉塞による2次系除熱機能喪失</td><td>3.0E-08</td></tr> <tr> <td>複数の信号系損傷</td><td>1.2E-07</td></tr> <tr> <td>燃料集合体及び制御棒クラスタ損傷による原子炉停止機能喪失</td><td>1.1E-07</td></tr> <tr> <td>大破断LOCA</td><td>2.5E-07</td></tr> <tr> <td>中破断LOCA</td><td>7.4E-07</td></tr> <tr> <td>小破断LOCA</td><td>3.3E-07</td></tr> <tr> <td>2次冷却系の破断</td><td>9.6E-09</td></tr> <tr> <td>原子炉補機冷却機能喪失</td><td>5.0E-08</td></tr> <tr> <td>外部電源喪失</td><td>3.2E-04</td></tr> <tr> <td>主給水流量喪失</td><td>4.0E-04</td></tr> <tr> <td>ATWS</td><td>9.3E-11</td></tr> </tbody> </table> <p><math>\epsilon : 1.0E-15</math>未満</p>	起因事象	発生頻度 [／年]	格納容器バイパス	9.8E-08	大破断LOCAを上回る規模のLOCA(Excess LOCA)	3.5E-07	原子炉建屋損傷	4.7E-08	原子炉格納容器損傷	1.8E-08	原子炉補助建屋損傷	$\epsilon$	電動弁損傷による原子炉補機冷却機能喪失	1.2E-08	1次系流路閉塞による2次系除熱機能喪失	3.0E-08	複数の信号系損傷	1.2E-07	燃料集合体及び制御棒クラスタ損傷による原子炉停止機能喪失	1.1E-07	大破断LOCA	2.5E-07	中破断LOCA	7.4E-07	小破断LOCA	3.3E-07	2次冷却系の破断	9.6E-09	原子炉補機冷却機能喪失	5.0E-08	外部電源喪失	3.2E-04	主給水流量喪失	4.0E-04	ATWS	9.3E-11	<p>【女川】【大飯】      ■個別評価による相違</p>
起因事象		加速度 $\text{m/s}^2$ (G)																																																																																																																																									
	0.2~0.5	0.5~0.8	0.8~1.1	1.1~1.5																																																																																																																																							
格納容器バイパス	5.02E-08	2.56E-05	6.55E-04	5.72E-03																																																																																																																																							
大破断LOCAを上回る規模のLOCA(Excess LOCA)	-	8.48E-07	1.59E-04	6.18E-03																																																																																																																																							
原子炉建屋損傷	-	7.07E-07	1.61E-04	5.60E-03																																																																																																																																							
原子炉格納容器損傷	-	1.11E-09	2.67E-06	1.78E-04																																																																																																																																							
制御建屋損傷	-	4.32E-06	3.57E-04	6.57E-03																																																																																																																																							
電動弁損傷による原子炉補機冷却機能喪失	2.14E-08	4.55E-05	2.11E-03	2.38E-02																																																																																																																																							
1次系流路閉塞による2次系除熱機能喪失	-	3.63E-06	2.30E-04	3.74E-03																																																																																																																																							
複数の信号系損傷	-	1.05E-06	1.82E-04	5.36E-03																																																																																																																																							
燃料集合体及び制御棒クラスタ損傷による原子炉停止機能喪失	-	1.33E-07	2.99E-05	1.51E-03																																																																																																																																							
大破断LOCA	-	3.66E-06	3.46E-04	7.12E-03																																																																																																																																							
中破断LOCA	-	2.99E-06	2.85E-04	5.78E-03																																																																																																																																							
小破断LOCA	6.47E-07	5.71E-04	1.95E-02	1.62E-01																																																																																																																																							
2次冷却系の破断	1.80E-08	2.12E-05	9.77E-04	1.55E-02																																																																																																																																							
主給水流量喪失			1.0																																																																																																																																								
起因事象	発生頻度 [／年]																																																																																																																																										
外部電源喪失	$3.0 \times 10^{-2}$																																																																																																																																										
原子炉建屋損傷	$4.8 \times 10^{-6}$																																																																																																																																										
格納容器損傷	$5.2 \times 10^{-7}$																																																																																																																																										
圧力容器損傷	$4.1 \times 10^{-7}$																																																																																																																																										
E-LOCA	$6.0 \times 10^{-7}$																																																																																																																																										
格納容器バイパス	$1.0 \times 10^{-7}$																																																																																																																																										
制御建屋損傷	$1.9 \times 10^{-7}$																																																																																																																																										
計測・制御系喪失	$3.7 \times 10^{-7}$																																																																																																																																										
直列電源喪失	$1.1 \times 10^{-6}$																																																																																																																																										
交流電源・原子炉補機冷却系喪失	$1.5 \times 10^{-5}$																																																																																																																																										
起因事象	発生頻度 [／年]																																																																																																																																										
格納容器バイパス	9.8E-08																																																																																																																																										
大破断LOCAを上回る規模のLOCA(Excess LOCA)	3.5E-07																																																																																																																																										
原子炉建屋損傷	4.7E-08																																																																																																																																										
原子炉格納容器損傷	1.8E-08																																																																																																																																										
原子炉補助建屋損傷	$\epsilon$																																																																																																																																										
電動弁損傷による原子炉補機冷却機能喪失	1.2E-08																																																																																																																																										
1次系流路閉塞による2次系除熱機能喪失	3.0E-08																																																																																																																																										
複数の信号系損傷	1.2E-07																																																																																																																																										
燃料集合体及び制御棒クラスタ損傷による原子炉停止機能喪失	1.1E-07																																																																																																																																										
大破断LOCA	2.5E-07																																																																																																																																										
中破断LOCA	7.4E-07																																																																																																																																										
小破断LOCA	3.3E-07																																																																																																																																										
2次冷却系の破断	9.6E-09																																																																																																																																										
原子炉補機冷却機能喪失	5.0E-08																																																																																																																																										
外部電源喪失	3.2E-04																																																																																																																																										
主給水流量喪失	4.0E-04																																																																																																																																										
ATWS	9.3E-11																																																																																																																																										

## 泊発電所3号炉 有効性評価 比較表

赤字：設備、運用又は体制の相違（設計方針の相違）  
 青字：記載箇所又は記載内容の相違（記載方針の相違）  
 緑字：記載表現、設備名称の相違（実質的な相違なし）

第37条 付録1 事故シーケンスグループ及び重要事故シーケンス等の選定について

別添 3. レベル1PRA 3.2 外部事象 3.2.1 地震 PRA

大飯発電所3／4号炉	女川原子力発電所2号炉	泊発電所3号炉	相違理由																																																																																																						
	<table border="1"> <caption>第3.2.1.d-2表 事故シーケンスグループ</caption> <thead> <tr> <th>事故シーケンスの特徴</th><th>シーケンスグループ</th></tr> </thead> <tbody> <tr> <td>大破断・中破断・小破断 LOCA を包括する ECCS 容量を超える LOCA</td><td>E-LOCA</td></tr> <tr> <td>高圧・低圧注水機能喪失</td><td>TQUV</td></tr> <tr> <td>高圧注水・減圧機能喪失</td><td>TQUX</td></tr> <tr> <td>全交流動力電源喪失</td><td></td></tr> <tr> <td>非常用 D/G2 台・HPCS 機能喪失及びバッテリー格納に伴う RCIC 機能喪失</td><td>長期 TB</td></tr> <tr> <td>バッテリーの故障により非常用 D/G2 台の起動に失敗し、HPCS も機能喪失</td><td>TBD</td></tr> <tr> <td>非常用 D/G2 台が機能喪失し、さらに HPCS 及び RCIC も機能喪失</td><td>TBU</td></tr> <tr> <td>非常用 D/G2 台が機能喪失し、さらに HPCS 及び S/R が再閉鎖失敗による RCIC 機能喪失</td><td>TBP</td></tr> <tr> <td>崩壊熱除去機能喪失</td><td>TR</td></tr> <tr> <td>原子炉停止機能喪失</td><td>TC</td></tr> <tr> <td>格納容器バイパス</td><td>格納容器バイパス</td></tr> <tr> <td>計測・制御系機能喪失</td><td>計測・制御系喪失</td></tr> <tr> <td>制御盤屋損傷</td><td>制御盤屋損傷</td></tr> <tr> <td>原子炉圧力容器損傷</td><td>圧力容器損傷</td></tr> <tr> <td>原子炉格納容器損傷</td><td>格納容器損傷</td></tr> <tr> <td>原子炉建屋損傷</td><td>原子炉建屋損傷</td></tr> </tbody> </table>	事故シーケンスの特徴	シーケンスグループ	大破断・中破断・小破断 LOCA を包括する ECCS 容量を超える LOCA	E-LOCA	高圧・低圧注水機能喪失	TQUV	高圧注水・減圧機能喪失	TQUX	全交流動力電源喪失		非常用 D/G2 台・HPCS 機能喪失及びバッテリー格納に伴う RCIC 機能喪失	長期 TB	バッテリーの故障により非常用 D/G2 台の起動に失敗し、HPCS も機能喪失	TBD	非常用 D/G2 台が機能喪失し、さらに HPCS 及び RCIC も機能喪失	TBU	非常用 D/G2 台が機能喪失し、さらに HPCS 及び S/R が再閉鎖失敗による RCIC 機能喪失	TBP	崩壊熱除去機能喪失	TR	原子炉停止機能喪失	TC	格納容器バイパス	格納容器バイパス	計測・制御系機能喪失	計測・制御系喪失	制御盤屋損傷	制御盤屋損傷	原子炉圧力容器損傷	圧力容器損傷	原子炉格納容器損傷	格納容器損傷	原子炉建屋損傷	原子炉建屋損傷	<table border="1"> <caption>第3.2.1.d-2表 事故シーケンスグループ</caption> <thead> <tr> <th>事故シーケンス</th><th>事故シーケンスグループ</th></tr> </thead> <tbody> <tr> <td>小破断 LOCA+補助給水失敗</td><td></td></tr> <tr> <td>主給水流量喪失+補助給水失敗</td><td></td></tr> <tr> <td>外部電源喪失+補助給水失敗</td><td></td></tr> <tr> <td>2次冷却系の破断+補助給水失敗</td><td></td></tr> <tr> <td>2次冷却系の破断+主蒸気隔離失敗</td><td></td></tr> <tr> <td>1次系流路阻塞による2次系除熱機能喪失</td><td></td></tr> <tr> <td>外部電源喪失+非常用断内交流電源喪失</td><td>全交流動力電源喪失</td></tr> <tr> <td>原子炉補機冷却機能喪失+RCP シール LOCA</td><td></td></tr> <tr> <td>原子炉補機冷却機能喪失+加圧器逃がし弁/安全弁 LOCA</td><td>原子炉補機冷却機能喪失</td></tr> <tr> <td>原子炉補機冷却機能喪失+補助給水失敗</td><td></td></tr> <tr> <td>大破断 LOCA+低圧再循環失敗+格納容器スプレイ注入失敗</td><td></td></tr> <tr> <td>大破断 LOCA+低圧再循環失敗+格納容器スプレイ再循環失敗</td><td></td></tr> <tr> <td>中破断 LOCA+格納容器スプレイ注入失敗</td><td>原子炉格納容器の除熱機能喪失</td></tr> <tr> <td>中破断 LOCA+格納容器スプレイ再循環失敗</td><td></td></tr> <tr> <td>小破断 LOCA+格納容器スプレイ注入失敗</td><td></td></tr> <tr> <td>小破断 LOCA+格納容器スプレイ再循環失敗</td><td></td></tr> <tr> <td>原子炉トリップが必要な起因事象+原子炉トリップ失敗</td><td></td></tr> <tr> <td>燃料集合体及び制御棒クラスタ損傷による原子炉停止機能喪失</td><td>原子炉停止機能喪失</td></tr> <tr> <td>大破断 LOCA+低圧注入失敗</td><td></td></tr> <tr> <td>大破断 LOCA+蓄圧注入失敗</td><td></td></tr> <tr> <td>中破断 LOCA+蓄圧注入失敗</td><td></td></tr> <tr> <td>中破断 LOCA+高圧注入失敗</td><td></td></tr> <tr> <td>小破断 LOCA+高圧注入失敗</td><td></td></tr> <tr> <td>大破断 LOCA を上回る規模の LOCA (Excess LOCA)</td><td></td></tr> <tr> <td>大破断 LOCA+低圧再循環失敗+高圧再循環失敗</td><td></td></tr> <tr> <td>中破断 LOCA+高圧再循環失敗</td><td>ECCS 再循環機能喪失</td></tr> <tr> <td>小破断 LOCA+高圧再循環失敗</td><td></td></tr> <tr> <td>蒸気発生器伝熱管破損（複数本破損）</td><td>蒸気発生器伝熱管破損 (複数本破損)</td></tr> <tr> <td>原子炉建屋損傷</td><td>原子炉建屋損傷</td></tr> <tr> <td>原子炉格納容器損傷</td><td>原子炉格納容器損傷</td></tr> <tr> <td>原子炉補助建屋損傷</td><td>原子炉補助建屋損傷</td></tr> <tr> <td>電動弁損傷による原子炉補機冷却機能喪失</td><td>電動弁損傷による原子炉補機冷却機能喪失</td></tr> <tr> <td>複数の信号系損傷</td><td>複数の信号系損傷</td></tr> </tbody> </table>	事故シーケンス	事故シーケンスグループ	小破断 LOCA+補助給水失敗		主給水流量喪失+補助給水失敗		外部電源喪失+補助給水失敗		2次冷却系の破断+補助給水失敗		2次冷却系の破断+主蒸気隔離失敗		1次系流路阻塞による2次系除熱機能喪失		外部電源喪失+非常用断内交流電源喪失	全交流動力電源喪失	原子炉補機冷却機能喪失+RCP シール LOCA		原子炉補機冷却機能喪失+加圧器逃がし弁/安全弁 LOCA	原子炉補機冷却機能喪失	原子炉補機冷却機能喪失+補助給水失敗		大破断 LOCA+低圧再循環失敗+格納容器スプレイ注入失敗		大破断 LOCA+低圧再循環失敗+格納容器スプレイ再循環失敗		中破断 LOCA+格納容器スプレイ注入失敗	原子炉格納容器の除熱機能喪失	中破断 LOCA+格納容器スプレイ再循環失敗		小破断 LOCA+格納容器スプレイ注入失敗		小破断 LOCA+格納容器スプレイ再循環失敗		原子炉トリップが必要な起因事象+原子炉トリップ失敗		燃料集合体及び制御棒クラスタ損傷による原子炉停止機能喪失	原子炉停止機能喪失	大破断 LOCA+低圧注入失敗		大破断 LOCA+蓄圧注入失敗		中破断 LOCA+蓄圧注入失敗		中破断 LOCA+高圧注入失敗		小破断 LOCA+高圧注入失敗		大破断 LOCA を上回る規模の LOCA (Excess LOCA)		大破断 LOCA+低圧再循環失敗+高圧再循環失敗		中破断 LOCA+高圧再循環失敗	ECCS 再循環機能喪失	小破断 LOCA+高圧再循環失敗		蒸気発生器伝熱管破損（複数本破損）	蒸気発生器伝熱管破損 (複数本破損)	原子炉建屋損傷	原子炉建屋損傷	原子炉格納容器損傷	原子炉格納容器損傷	原子炉補助建屋損傷	原子炉補助建屋損傷	電動弁損傷による原子炉補機冷却機能喪失	電動弁損傷による原子炉補機冷却機能喪失	複数の信号系損傷	複数の信号系損傷	<p>【大飯】 ■記載方針の相違 ・女川の実績反映</p> <p>【女川】 ■個別評価による相違</p>
事故シーケンスの特徴	シーケンスグループ																																																																																																								
大破断・中破断・小破断 LOCA を包括する ECCS 容量を超える LOCA	E-LOCA																																																																																																								
高圧・低圧注水機能喪失	TQUV																																																																																																								
高圧注水・減圧機能喪失	TQUX																																																																																																								
全交流動力電源喪失																																																																																																									
非常用 D/G2 台・HPCS 機能喪失及びバッテリー格納に伴う RCIC 機能喪失	長期 TB																																																																																																								
バッテリーの故障により非常用 D/G2 台の起動に失敗し、HPCS も機能喪失	TBD																																																																																																								
非常用 D/G2 台が機能喪失し、さらに HPCS 及び RCIC も機能喪失	TBU																																																																																																								
非常用 D/G2 台が機能喪失し、さらに HPCS 及び S/R が再閉鎖失敗による RCIC 機能喪失	TBP																																																																																																								
崩壊熱除去機能喪失	TR																																																																																																								
原子炉停止機能喪失	TC																																																																																																								
格納容器バイパス	格納容器バイパス																																																																																																								
計測・制御系機能喪失	計測・制御系喪失																																																																																																								
制御盤屋損傷	制御盤屋損傷																																																																																																								
原子炉圧力容器損傷	圧力容器損傷																																																																																																								
原子炉格納容器損傷	格納容器損傷																																																																																																								
原子炉建屋損傷	原子炉建屋損傷																																																																																																								
事故シーケンス	事故シーケンスグループ																																																																																																								
小破断 LOCA+補助給水失敗																																																																																																									
主給水流量喪失+補助給水失敗																																																																																																									
外部電源喪失+補助給水失敗																																																																																																									
2次冷却系の破断+補助給水失敗																																																																																																									
2次冷却系の破断+主蒸気隔離失敗																																																																																																									
1次系流路阻塞による2次系除熱機能喪失																																																																																																									
外部電源喪失+非常用断内交流電源喪失	全交流動力電源喪失																																																																																																								
原子炉補機冷却機能喪失+RCP シール LOCA																																																																																																									
原子炉補機冷却機能喪失+加圧器逃がし弁/安全弁 LOCA	原子炉補機冷却機能喪失																																																																																																								
原子炉補機冷却機能喪失+補助給水失敗																																																																																																									
大破断 LOCA+低圧再循環失敗+格納容器スプレイ注入失敗																																																																																																									
大破断 LOCA+低圧再循環失敗+格納容器スプレイ再循環失敗																																																																																																									
中破断 LOCA+格納容器スプレイ注入失敗	原子炉格納容器の除熱機能喪失																																																																																																								
中破断 LOCA+格納容器スプレイ再循環失敗																																																																																																									
小破断 LOCA+格納容器スプレイ注入失敗																																																																																																									
小破断 LOCA+格納容器スプレイ再循環失敗																																																																																																									
原子炉トリップが必要な起因事象+原子炉トリップ失敗																																																																																																									
燃料集合体及び制御棒クラスタ損傷による原子炉停止機能喪失	原子炉停止機能喪失																																																																																																								
大破断 LOCA+低圧注入失敗																																																																																																									
大破断 LOCA+蓄圧注入失敗																																																																																																									
中破断 LOCA+蓄圧注入失敗																																																																																																									
中破断 LOCA+高圧注入失敗																																																																																																									
小破断 LOCA+高圧注入失敗																																																																																																									
大破断 LOCA を上回る規模の LOCA (Excess LOCA)																																																																																																									
大破断 LOCA+低圧再循環失敗+高圧再循環失敗																																																																																																									
中破断 LOCA+高圧再循環失敗	ECCS 再循環機能喪失																																																																																																								
小破断 LOCA+高圧再循環失敗																																																																																																									
蒸気発生器伝熱管破損（複数本破損）	蒸気発生器伝熱管破損 (複数本破損)																																																																																																								
原子炉建屋損傷	原子炉建屋損傷																																																																																																								
原子炉格納容器損傷	原子炉格納容器損傷																																																																																																								
原子炉補助建屋損傷	原子炉補助建屋損傷																																																																																																								
電動弁損傷による原子炉補機冷却機能喪失	電動弁損傷による原子炉補機冷却機能喪失																																																																																																								
複数の信号系損傷	複数の信号系損傷																																																																																																								

## 泊発電所3号炉 有効性評価 比較表

第37条 付録1 事故シーケンスグループ及び重要事故シーケンス等の選定について  
別添 3. レベル1PRA 3.2 外部事象 3.2.1 地震 PRA

赤字：設備、運用又は体制の相違（設計方針の相違）  
青字：記載箇所又は記載内容の相違（記載方針の相違）  
緑字：記載表現、設備名称の相違（実質的な相違なし）

大飯発電所3／4号炉	女川原子力発電所2号炉	泊発電所3号炉	相違理由																																																					
	<table border="1"> <caption>第3.2.1.4-3表 評価対象システム一覧</caption> <thead> <tr> <th>分類</th><th>評価対象</th></tr> </thead> <tbody> <tr><td rowspan="12">起因事象</td><td>外部電源</td></tr> <tr><td>原子炉建屋</td></tr> <tr><td>原子炉格納容器</td></tr> <tr><td>原子炉圧力容器</td></tr> <tr><td>原子炉冷却材圧力バウンダリ</td></tr> <tr><td>隔壁</td></tr> <tr><td>制御建屋</td></tr> <tr><td>計測・制御系</td></tr> <tr><td>直流電源</td></tr> <tr><td>交流電源(D/G, 原子炉補機冷却系)</td></tr> <tr><td>スクラム</td></tr> <tr><td>S/R弁開, S/R弁再閉鎖</td></tr> <tr><td>RCIC</td></tr> <tr><td>HPCS</td></tr> <tr><td>減圧</td></tr> <tr><td>LPCI</td></tr> <tr><td>LPCS</td></tr> <tr><td>RHR</td></tr> </tbody> </table>	分類	評価対象	起因事象	外部電源	原子炉建屋	原子炉格納容器	原子炉圧力容器	原子炉冷却材圧力バウンダリ	隔壁	制御建屋	計測・制御系	直流電源	交流電源(D/G, 原子炉補機冷却系)	スクラム	S/R弁開, S/R弁再閉鎖	RCIC	HPCS	減圧	LPCI	LPCS	RHR	<table border="1"> <caption>第3.2.1.4-3表 評価対象システム一覧</caption> <thead> <tr> <th>分類</th><th>評価対象</th></tr> </thead> <tbody> <tr><td rowspan="20">起因事象</td><td>格納容器バイパス</td></tr> <tr><td>大破断LOCAを上回る規模のLOCA(Excess LOCA)</td></tr> <tr><td>原子炉建屋損傷</td></tr> <tr><td>原子炉格納容器損傷</td></tr> <tr><td>原子炉補助建屋損傷</td></tr> <tr><td>電動弁損傷による原子炉補機冷却機能喪失</td></tr> <tr><td>1次系流路閉塞による2次系除熱機能喪失</td></tr> <tr><td>複数の信号系損傷</td></tr> <tr><td>燃料集合体及び制御棒クラスタ損傷による原子炉停止機能喪失</td></tr> <tr><td>大破断LOCA</td></tr> <tr><td>中破断LOCA</td></tr> <tr><td>小破断LOCA</td></tr> <tr><td>2次冷却系の破断</td></tr> <tr><td>原子炉補機冷却機能喪失</td></tr> <tr><td>外部電源喪失</td></tr> <tr><td>主給水流量喪失</td></tr> <tr><td>非常用所内交流電源</td></tr> <tr><td>原子炉トリップ</td></tr> <tr><td>高圧注入</td></tr> <tr><td>高圧再循環</td></tr> <tr><td>蓄圧注入</td></tr> <tr><td>低圧注入</td></tr> <tr><td>低圧再循環</td></tr> <tr><td>格納容器スプレイ注入</td></tr> <tr><td>格納容器スプレイ再循環</td></tr> <tr><td>補助給水</td></tr> <tr><td>主蒸気隔離</td></tr> <tr><td>1次冷却材ポンプ封水LOCA</td></tr> <tr><td>加圧器逃がし弁／安全弁LOCA</td></tr> </tbody> </table>	分類	評価対象	起因事象	格納容器バイパス	大破断LOCAを上回る規模のLOCA(Excess LOCA)	原子炉建屋損傷	原子炉格納容器損傷	原子炉補助建屋損傷	電動弁損傷による原子炉補機冷却機能喪失	1次系流路閉塞による2次系除熱機能喪失	複数の信号系損傷	燃料集合体及び制御棒クラスタ損傷による原子炉停止機能喪失	大破断LOCA	中破断LOCA	小破断LOCA	2次冷却系の破断	原子炉補機冷却機能喪失	外部電源喪失	主給水流量喪失	非常用所内交流電源	原子炉トリップ	高圧注入	高圧再循環	蓄圧注入	低圧注入	低圧再循環	格納容器スプレイ注入	格納容器スプレイ再循環	補助給水	主蒸気隔離	1次冷却材ポンプ封水LOCA	加圧器逃がし弁／安全弁LOCA	<p>【大飯】 ■記載方針の相違 ・女川の実績反映</p> <p>【女川】 ■個別評価による相違</p>
分類	評価対象																																																							
起因事象	外部電源																																																							
	原子炉建屋																																																							
	原子炉格納容器																																																							
	原子炉圧力容器																																																							
	原子炉冷却材圧力バウンダリ																																																							
	隔壁																																																							
	制御建屋																																																							
	計測・制御系																																																							
	直流電源																																																							
	交流電源(D/G, 原子炉補機冷却系)																																																							
	スクラム																																																							
	S/R弁開, S/R弁再閉鎖																																																							
RCIC																																																								
HPCS																																																								
減圧																																																								
LPCI																																																								
LPCS																																																								
RHR																																																								
分類	評価対象																																																							
起因事象	格納容器バイパス																																																							
	大破断LOCAを上回る規模のLOCA(Excess LOCA)																																																							
	原子炉建屋損傷																																																							
	原子炉格納容器損傷																																																							
	原子炉補助建屋損傷																																																							
	電動弁損傷による原子炉補機冷却機能喪失																																																							
	1次系流路閉塞による2次系除熱機能喪失																																																							
	複数の信号系損傷																																																							
	燃料集合体及び制御棒クラスタ損傷による原子炉停止機能喪失																																																							
	大破断LOCA																																																							
	中破断LOCA																																																							
	小破断LOCA																																																							
	2次冷却系の破断																																																							
	原子炉補機冷却機能喪失																																																							
	外部電源喪失																																																							
	主給水流量喪失																																																							
	非常用所内交流電源																																																							
	原子炉トリップ																																																							
	高圧注入																																																							
	高圧再循環																																																							
蓄圧注入																																																								
低圧注入																																																								
低圧再循環																																																								
格納容器スプレイ注入																																																								
格納容器スプレイ再循環																																																								
補助給水																																																								
主蒸気隔離																																																								
1次冷却材ポンプ封水LOCA																																																								
加圧器逃がし弁／安全弁LOCA																																																								

## 泊発電所3号炉 有効性評価 比較表

赤字：設備、運用又は体制の相違（設計方針の相違）  
 青字：記載箇所又は記載内容の相違（記載方針の相違）  
 緑字：記載表現、設備名称の相違（実質的な相違なし）

第37条 付録1 事故シーケンスグループ及び重要事故シーケンス等の選定について

別添 3. レベル1PRA 3.2 外部事象 3.2.1 地震 PRA

大飯発電所3／4号炉	女川原子力発電所2号炉	泊発電所3号炉	相違理由																																																																																																																																																															
	<table border="1"> <caption>第3.2.1.d-4表 起因事象発生前の人的過誤確率</caption> <thead> <tr> <th>起因事象発生前の人的過誤</th><th>ストレス ファクタ</th><th>過誤確率 (平均値)</th><th>EF</th></tr> </thead> <tbody> <tr> <td>手動弁の開け忘れ・閉め忘れ</td><td>[REDACTED]</td><td>4.0E-04</td><td>5</td></tr> <tr> <td>SDV警報の検出失敗</td><td>[REDACTED]</td><td>2.9E-04</td><td>11</td></tr> </tbody> </table> <table border="1"> <caption>第3.2.1.d-5表 起因事象発生後の人的過誤確率</caption> <thead> <tr> <th>起因事象発生後の人的過誤</th><th>ストレス ファクタ</th><th>余裕時間</th><th>過誤確率 (平均値)</th><th>EF</th></tr> </thead> <tbody> <tr> <td>高压ECCS作動後の水位制御操作</td><td>[REDACTED]</td><td>30分</td><td>1.5E-02</td><td>9</td></tr> <tr> <td>RCIC水源切替操作</td><td>[REDACTED]</td><td>30分</td><td>1.7E-02</td><td>8</td></tr> <tr> <td>高压ECCS自動起動失敗後の手動バックアップ操作</td><td>[REDACTED]</td><td>30分</td><td>1.5E-02</td><td>9</td></tr> <tr> <td>ADS・低圧ECCS自動起動失敗後の手動バックアップ操作</td><td>[REDACTED]</td><td>30分</td><td>1.3E-01</td><td>10</td></tr> <tr> <td>原子炉注水後のRHRによる格納容器除熱操作</td><td>[REDACTED]</td><td>8時間</td><td>4.4E-04</td><td>5</td></tr> <tr> <td>D/G・D/Gファンの自動起動失敗後の手動バックアップ操作</td><td>[REDACTED]</td><td>30分</td><td>1.5E-02</td><td>9</td></tr> </tbody> </table> <p style="text-align: center;">[REDACTED] 内容は商業機密の観点から公開できません。</p>	起因事象発生前の人的過誤	ストレス ファクタ	過誤確率 (平均値)	EF	手動弁の開け忘れ・閉め忘れ	[REDACTED]	4.0E-04	5	SDV警報の検出失敗	[REDACTED]	2.9E-04	11	起因事象発生後の人的過誤	ストレス ファクタ	余裕時間	過誤確率 (平均値)	EF	高压ECCS作動後の水位制御操作	[REDACTED]	30分	1.5E-02	9	RCIC水源切替操作	[REDACTED]	30分	1.7E-02	8	高压ECCS自動起動失敗後の手動バックアップ操作	[REDACTED]	30分	1.5E-02	9	ADS・低圧ECCS自動起動失敗後の手動バックアップ操作	[REDACTED]	30分	1.3E-01	10	原子炉注水後のRHRによる格納容器除熱操作	[REDACTED]	8時間	4.4E-04	5	D/G・D/Gファンの自動起動失敗後の手動バックアップ操作	[REDACTED]	30分	1.5E-02	9	<table border="1"> <caption>第3.2.1.d-4表 起因事象発生前の人的過誤確率</caption> <thead> <tr> <th>起因事象発生前の人的過誤</th><th>ストレス ファクタ</th><th>過誤確率</th><th>EF</th></tr> </thead> <tbody> <tr> <td>3 A - 原子炉補機冷却海水ポンプ出口弁 (3V-SW-503B) 戻し忘れ</td><td>1</td><td>1.6E-03</td><td>4</td></tr> <tr> <td>3 B - 原子炉補機冷却海水ポンプ出口弁 (3V-SW-503D) 戻し忘れ</td><td>1</td><td>1.6E-03</td><td>4</td></tr> </tbody> </table> <table border="1"> <caption>第3.2.1.d-5表 起因事象発生後の人的過誤確率</caption> <thead> <tr> <th>起因事象発生後の人的過誤</th><th>ストレス ファクタ</th><th>余裕時間</th><th>過誤確率</th><th>EF</th></tr> </thead> <tbody> <tr> <td>低温再循環自動切替信号許可 (A) 操作器操作失敗</td><td>2</td><td>—</td><td>8.6E-01</td><td>8</td></tr> <tr> <td>低温再循環自動切替信号許可 (B) 操作器操作失敗</td><td>2</td><td>—</td><td>8.6E-01</td><td>8</td></tr> <tr> <td>3 B - 補助給水隔壁弁 (3V-FW-589B) 閉ロック操作失敗</td><td>2</td><td>—</td><td>8.6E-01</td><td>8</td></tr> <tr> <td>3 B - 電動補助給水ポンプ出口流量調節弁 (3V-FW-582B) の操作器「全開」操作失敗</td><td>2</td><td>—</td><td>8.6E-01</td><td>8</td></tr> <tr> <td>3 B - 余熱除去冷却補機冷却水出口弁 (3V-CC-117B) 開操作失敗</td><td>2</td><td>—</td><td>8.6E-01</td><td>8</td></tr> <tr> <td>3 B - 格納容器スライドウェイ冷却器補機冷却水出口弁 (3V-CC-117B) 閉操作失敗</td><td>2</td><td>—</td><td>8.6E-01</td><td>8</td></tr> <tr> <td>Bヘッダ 3 B - 余熱除去冷却器補機冷却水出口弁 (3V-CC-117B) 又は3 B - 格納予期スライドウェイ冷却器補機冷却水出口弁 (3V-CC-117A) 負荷制御操作失敗</td><td>2</td><td>—</td><td>8.6E-01</td><td>8</td></tr> <tr> <td>3 A - 余熱除去冷却器補機冷却水出口弁 (3V-CC-117A) 閉操作失敗</td><td>2</td><td>—</td><td>8.6E-01</td><td>8</td></tr> <tr> <td>3 A - 格納容器スライドウェイ冷却器補機冷却水出口弁 (3V-CC-117A) 閉操作失敗</td><td>2</td><td>—</td><td>8.6E-01</td><td>8</td></tr> <tr> <td>3 B - 安全補機閉閉器室給気ファン (3VSP27B) 起動操作失敗</td><td>2</td><td>—</td><td>8.6E-01</td><td>8</td></tr> <tr> <td>3 C - 空調用冷水ポンプ (3CHP1C) 起動操作失敗</td><td>2</td><td>—</td><td>8.6E-01</td><td>8</td></tr> <tr> <td>3 D - 空調用冷水ポンプ (3CHP1D) 起動操作失敗</td><td>2</td><td>—</td><td>8.6E-01</td><td>8</td></tr> <tr> <td>3 - 空調用冷水B母管入口隔壁弁 (3V-OI-012B) 閉操作失敗</td><td>2</td><td>—</td><td>8.6E-01</td><td>8</td></tr> <tr> <td>3 C - 空調用冷水ポンプ (3CHP1C) 起動操作失敗</td><td>2</td><td>—</td><td>8.6E-01</td><td>8</td></tr> <tr> <td>3 D - 空調用冷水ポンプ (3CHP1D) 起動操作失敗</td><td>2</td><td>—</td><td>8.6E-01</td><td>8</td></tr> <tr> <td>3 A - 安全補機閉閉器室給気ファントリップ警報 読取失敗</td><td>2</td><td>—</td><td>8.3E-04</td><td>4</td></tr> <tr> <td>1 次冷却材の喪失診断失敗</td><td>下限値</td><td>30分</td><td>2.7E-04</td><td>10</td></tr> <tr> <td>2 次系破断の発生診断失敗</td><td>下限値</td><td>20分</td><td>2.7E-03</td><td>10</td></tr> <tr> <td>補機冷却系故障診断失敗</td><td>下限値</td><td>20分</td><td>2.7E-03</td><td>10</td></tr> </tbody> </table>	起因事象発生前の人的過誤	ストレス ファクタ	過誤確率	EF	3 A - 原子炉補機冷却海水ポンプ出口弁 (3V-SW-503B) 戻し忘れ	1	1.6E-03	4	3 B - 原子炉補機冷却海水ポンプ出口弁 (3V-SW-503D) 戻し忘れ	1	1.6E-03	4	起因事象発生後の人的過誤	ストレス ファクタ	余裕時間	過誤確率	EF	低温再循環自動切替信号許可 (A) 操作器操作失敗	2	—	8.6E-01	8	低温再循環自動切替信号許可 (B) 操作器操作失敗	2	—	8.6E-01	8	3 B - 補助給水隔壁弁 (3V-FW-589B) 閉ロック操作失敗	2	—	8.6E-01	8	3 B - 電動補助給水ポンプ出口流量調節弁 (3V-FW-582B) の操作器「全開」操作失敗	2	—	8.6E-01	8	3 B - 余熱除去冷却補機冷却水出口弁 (3V-CC-117B) 開操作失敗	2	—	8.6E-01	8	3 B - 格納容器スライドウェイ冷却器補機冷却水出口弁 (3V-CC-117B) 閉操作失敗	2	—	8.6E-01	8	Bヘッダ 3 B - 余熱除去冷却器補機冷却水出口弁 (3V-CC-117B) 又は3 B - 格納予期スライドウェイ冷却器補機冷却水出口弁 (3V-CC-117A) 負荷制御操作失敗	2	—	8.6E-01	8	3 A - 余熱除去冷却器補機冷却水出口弁 (3V-CC-117A) 閉操作失敗	2	—	8.6E-01	8	3 A - 格納容器スライドウェイ冷却器補機冷却水出口弁 (3V-CC-117A) 閉操作失敗	2	—	8.6E-01	8	3 B - 安全補機閉閉器室給気ファン (3VSP27B) 起動操作失敗	2	—	8.6E-01	8	3 C - 空調用冷水ポンプ (3CHP1C) 起動操作失敗	2	—	8.6E-01	8	3 D - 空調用冷水ポンプ (3CHP1D) 起動操作失敗	2	—	8.6E-01	8	3 - 空調用冷水B母管入口隔壁弁 (3V-OI-012B) 閉操作失敗	2	—	8.6E-01	8	3 C - 空調用冷水ポンプ (3CHP1C) 起動操作失敗	2	—	8.6E-01	8	3 D - 空調用冷水ポンプ (3CHP1D) 起動操作失敗	2	—	8.6E-01	8	3 A - 安全補機閉閉器室給気ファントリップ警報 読取失敗	2	—	8.3E-04	4	1 次冷却材の喪失診断失敗	下限値	30分	2.7E-04	10	2 次系破断の発生診断失敗	下限値	20分	2.7E-03	10	補機冷却系故障診断失敗	下限値	20分	2.7E-03	10	<p>【大飯】  <span style="color: blue;">■記載方針の相違</span>  <span style="color: green;">・女川の実績反映</span></p> <p>【女川】  <span style="color: red;">■個別評価による相違</span></p>
起因事象発生前の人的過誤	ストレス ファクタ	過誤確率 (平均値)	EF																																																																																																																																																															
手動弁の開け忘れ・閉め忘れ	[REDACTED]	4.0E-04	5																																																																																																																																																															
SDV警報の検出失敗	[REDACTED]	2.9E-04	11																																																																																																																																																															
起因事象発生後の人的過誤	ストレス ファクタ	余裕時間	過誤確率 (平均値)	EF																																																																																																																																																														
高压ECCS作動後の水位制御操作	[REDACTED]	30分	1.5E-02	9																																																																																																																																																														
RCIC水源切替操作	[REDACTED]	30分	1.7E-02	8																																																																																																																																																														
高压ECCS自動起動失敗後の手動バックアップ操作	[REDACTED]	30分	1.5E-02	9																																																																																																																																																														
ADS・低圧ECCS自動起動失敗後の手動バックアップ操作	[REDACTED]	30分	1.3E-01	10																																																																																																																																																														
原子炉注水後のRHRによる格納容器除熱操作	[REDACTED]	8時間	4.4E-04	5																																																																																																																																																														
D/G・D/Gファンの自動起動失敗後の手動バックアップ操作	[REDACTED]	30分	1.5E-02	9																																																																																																																																																														
起因事象発生前の人的過誤	ストレス ファクタ	過誤確率	EF																																																																																																																																																															
3 A - 原子炉補機冷却海水ポンプ出口弁 (3V-SW-503B) 戻し忘れ	1	1.6E-03	4																																																																																																																																																															
3 B - 原子炉補機冷却海水ポンプ出口弁 (3V-SW-503D) 戻し忘れ	1	1.6E-03	4																																																																																																																																																															
起因事象発生後の人的過誤	ストレス ファクタ	余裕時間	過誤確率	EF																																																																																																																																																														
低温再循環自動切替信号許可 (A) 操作器操作失敗	2	—	8.6E-01	8																																																																																																																																																														
低温再循環自動切替信号許可 (B) 操作器操作失敗	2	—	8.6E-01	8																																																																																																																																																														
3 B - 補助給水隔壁弁 (3V-FW-589B) 閉ロック操作失敗	2	—	8.6E-01	8																																																																																																																																																														
3 B - 電動補助給水ポンプ出口流量調節弁 (3V-FW-582B) の操作器「全開」操作失敗	2	—	8.6E-01	8																																																																																																																																																														
3 B - 余熱除去冷却補機冷却水出口弁 (3V-CC-117B) 開操作失敗	2	—	8.6E-01	8																																																																																																																																																														
3 B - 格納容器スライドウェイ冷却器補機冷却水出口弁 (3V-CC-117B) 閉操作失敗	2	—	8.6E-01	8																																																																																																																																																														
Bヘッダ 3 B - 余熱除去冷却器補機冷却水出口弁 (3V-CC-117B) 又は3 B - 格納予期スライドウェイ冷却器補機冷却水出口弁 (3V-CC-117A) 負荷制御操作失敗	2	—	8.6E-01	8																																																																																																																																																														
3 A - 余熱除去冷却器補機冷却水出口弁 (3V-CC-117A) 閉操作失敗	2	—	8.6E-01	8																																																																																																																																																														
3 A - 格納容器スライドウェイ冷却器補機冷却水出口弁 (3V-CC-117A) 閉操作失敗	2	—	8.6E-01	8																																																																																																																																																														
3 B - 安全補機閉閉器室給気ファン (3VSP27B) 起動操作失敗	2	—	8.6E-01	8																																																																																																																																																														
3 C - 空調用冷水ポンプ (3CHP1C) 起動操作失敗	2	—	8.6E-01	8																																																																																																																																																														
3 D - 空調用冷水ポンプ (3CHP1D) 起動操作失敗	2	—	8.6E-01	8																																																																																																																																																														
3 - 空調用冷水B母管入口隔壁弁 (3V-OI-012B) 閉操作失敗	2	—	8.6E-01	8																																																																																																																																																														
3 C - 空調用冷水ポンプ (3CHP1C) 起動操作失敗	2	—	8.6E-01	8																																																																																																																																																														
3 D - 空調用冷水ポンプ (3CHP1D) 起動操作失敗	2	—	8.6E-01	8																																																																																																																																																														
3 A - 安全補機閉閉器室給気ファントリップ警報 読取失敗	2	—	8.3E-04	4																																																																																																																																																														
1 次冷却材の喪失診断失敗	下限値	30分	2.7E-04	10																																																																																																																																																														
2 次系破断の発生診断失敗	下限値	20分	2.7E-03	10																																																																																																																																																														
補機冷却系故障診断失敗	下限値	20分	2.7E-03	10																																																																																																																																																														

## 泊発電所3号炉 有効性評価 比較表

赤字：設備、運用又は体制の相違（設計方針の相違）  
 青字：記載箇所又は記載内容の相違（記載方針の相違）  
 緑字：記載表現、設備名称の相違（実質的な相違なし）

第37条 付録1 事故シーケンスグループ及び重要事故シーケンス等の選定について

別添3. レベル1PRA 3.2 外部事象 3.2.1 地震PRA

大飯発電所3／4号炉

女川原子力発電所2号炉

泊発電所3号炉

相違理由

第1.2.1.d-2表 起因事象別軽心損傷頻度

起因事象	事故シーケンス	軽心損傷頻度 (/年)	起因事象別 軽心損傷頻度 (/年)	寄与割合 (%)
大破断LOCA	大破断LOCA+低圧注入失敗	3.7E-09	4.3E-09	0.2%
	大破断LOCA+失敗	2.6E-10		
	大破断LOCA+低圧漏洩失敗	※		
	大破断LOCA+低圧漏洩注入失敗	※		
	大破断LOCA+高圧漏洩失敗+低圧再循環失敗	3.1E-10		
中破断LOCA	中破断LOCA+低圧注入失敗	2.1E-10	3.6E-09	0.1%
	中破断LOCA+失敗	3.1E-09		
	中破断LOCA+格納容器破裂注入失敗	※		
	中破断LOCA+格納容器破裂再循環失敗	※		
	中破断LOCA+高圧再循環失敗	2.5E-10		
小破断LOCA	小破断LOCA+低圧注入失敗	7.0E-08	1.9E-07	6.8%
	小破断LOCA+失敗	1.1E-07		
	小破断LOCA+格納容器破裂注入失敗	2.2E-10		
	小破断LOCA+格納容器破裂再循環失敗	1.3E-10		
	小破断LOCA+高圧再循環失敗	7.9E-09		
2次冷却系の破断	2次冷却系の破断+補助給水失敗	3.8E-09	1.1E-06	40.1%
	2次冷却系の破断+主蒸気漏洩失敗	1.1E-06		
	主給水流量喪失	3.2E-08		
	外部電源喪失	5.3E-08		
	外部電源喪失+非常用内又或重複喪失	1.0E-06		
原子炉構機冷却機能喪失	原子炉構機冷却機能喪失+KCPシールLOCA	3.9E-08	1.4E-06	40.1%
	原子炉構機冷却機能喪失+安全弁LOCA	※		
	原子炉構機冷却機能喪失+加圧器遮断弁/安全弁LOCA	6.5E-11		
	原子炉リップガゼン必要な起因事象+原子炉リップ失敗	1.7E-09		
	ATWS	1.7E-09		
冷却炉損傷に至る事象	大破断LOCA全く回ら脱機のLOCA(Excess LOCA)	3.0E-08	9.8E-08	4.2
	原子炉容器損傷	2.8E-08		
	原子炉容器損傷	8.3E-10		
	冷却系損傷	3.5E-08		
	電動弁損傷による原子炉構機冷却機能喪失	1.4E-07		
燃料集合体及び制棒クラッシュ損傷による原子炉停止機能喪失	1次系統閉鎖による2次系統熱機能喪失	2.0E-08	4.7E-08	2.0
	複数の信号系損傷	2.6E-08		
	燃料集合体及び制棒クラッシュ損傷による原子炉停止機能喪失	6.6E-09		
	原子炉停止機能喪失	6.6E-09		
	合計	2.8E-06		

表3.2.1-d-6表 起因事象別軽心損傷頻度(1/3)

起因事象	主要な事故シナリオ	CDF (/事件) (%)	寄与割合 (%)	主要なミニマルカットセット
交流電源・原子炉補助冷却系喪失	地震による外部電源喪失の状態で、非常用D/G又はそのサポート系(RW, RSW又は燃料移送系)が機能喪失すること「全交流動力電源喪失」の起因事象となる。 その後、事象初期のRCIに必要な直流水源の枯渇により注水のRCIの継続運転に成功するも最終的に失敗し軽心損傷に至る。	1.5E-05	46.0	・交流電源・原子炉補助冷却系ランダム故障+RCI注水成功 ・非常用MCT機能喪失+RCIC注水成功 ・軽油タンク損傷+RCIC注水成功
外部電源喪失	地震により「外筋電源喪失」の起因事象が発生するが、非常用交流電源は健全であり電源は確保される。その後のスクラム、S/R弁による圧力制御に成功し、RCIによる原子炉注水に成功するが、RRIの格納容器過熱の失敗により炉心損傷に至る。	1.4E-05	44.0	・外部電源喪失+RRIランダム故障
直流水源喪失	地震による外部電源喪失の状態で、直流水主母線盤が機能喪失し、直流水供給が途絶する。このため、直流水主母線盤が機能喪失により炉心損傷に至る。	1.1E-06	3.2	・直流水主母線盤機能喪失

第3.2.1-d-6表 起因事象別軽心損傷頻度(1/2)

起因事象	主要な事故シナリオ	CDF (/事件) (%)	寄与割合 (%)	主要なミニマルカットセット
格納容器ハイバス	地震により蒸気発生器が燃焼管が燃焼管本端部破損した場合には、格納容器と燃焼管との接合部が溶接が継続するため、保守作業が困難に至ると想定する。	9.8E-08	4.2	蒸気発生器内部構造物の損傷の原因による炉心損傷
大破断LOCAを上向る規則	地震により原子炉管が破裂が発生する。ECCS装置を越えるLOCAであるため、炉心損傷による炉心損傷が発生する。	3.5E-07	15.1	ECCS装置による炉心損傷
原子炉建屋損傷	地震により原子炉建屋が損傷することが想定される。この場合に、建屋内の機器と設備への影響が想定される。すべての機器と系統が損傷を受ける。軽心損傷に至ると想定する。	4.7E-08	2.0	原子炉建屋の損傷
原子炉格納容器損傷	地震により原子炉格納容器が損傷が発生するため、保守作業に手間がかかるため、保守作業に手間がかかると想定する。	1.8E-08	0.8	原子炉格納容器の損傷
原子炉補助建屋損傷	地震により原子炉補助建屋が損傷が発生する。軽心損傷に至ると想定する。	e	<0.1	原子炉補助建屋の損傷
電動弁損傷による原子炉補助機能喪失	地震により原子炉補助冷却系の機能喪失が発生する。RCIシールLOCAが発生し、軽心損傷に至る。	1.2E-08	0.5	電動弁の損傷
1次系統閉鎖による2次系統熱機能喪失	地震により2次系統からの除熱が途絶する。相対的温度が高くなると想定する。	3.0E-08	1.3	炉心支持構造物の損傷
複数の信号系損傷	地震により炉心損傷が発生する。複数の信号系が損傷されることが想定される。	1.2E-07	5.3	連通コンソールの損傷

【女川】【大飯】

■個別評価による相違

泊発電所 3号炉 有効性評価 比較表

第37条 付録1 事故シケンスグループ及び重要事故シケンス等の選定について  
別添3. レベル1PRA 3.2 外部事象 3.2.1 地震PRA

**赤字**: 設備、運用又は体制の相違（設計方針の相違）  
**青字**: 記載箇所又は記載内容の相違（記載方針の相違）  
**緑字**: 記載表現、設備名称の相違（実質的な相違なし）

表 3.2.1-d-6 起因事象別炬心損傷頻度 (2/3)

表 3.2.1-d-6 表 起因事象別戸心損傷軽度 (2/3)				
起因事象	主要な事故シナリオ	CDF (/年)	寄与割合 (%)	主要なミニマルカットセット
地盤によつて原子炉格納容器内にある原子炉冷却材圧力バウンダリを構成する配管の破断が発生する。原子炉格納容器内の配管破断はある程度相関して発生するが、その程度を厳密に判断することが困難であるため、保守的に原子炉格納容器内にある原子炉冷却材圧力バウンダリを構成する配管の大規模な破断が発生し、ECCS 容量を超える LOCA となり、炉心損傷に至ると想定する。	E-LOCA	6.0E-07	1.8	・核計装機傷
地盤により原子炉格納容器が損傷した場合には、緩和設備への影響の程度を厳密に判断することが困難であるため、保守的に全ての緩和系が機能喪失し、炉心損傷に至ると想定する。	格納容器損傷	5.2E-07	1.6	・ボックササポート損傷
地盤により制御建屋が損傷した場合には、緩和設備への影響の程度を厳密に判断することが困難であるため、保守的に全ての計測・制御系が機能喪失し、プラントの制御が不能となる炉心損傷に至ると想定する。	制御建屋損傷	1.9E-07	0.6	・制御建屋損傷

第3.2.1.d-6 表 起因事象別心拍傳頻度 (2/2)

ヨリヨリアラカルトナシテ、ヨリヨリアラカルトナシテ

合計

【女川】【大鰐】

### ■個別評価による相違

37 条 付録 1-別添 3-3.2-3.2.1-141

## 泊発電所3号炉 有効性評価 比較表

赤字：設備、運用又は体制の相違（設計方針の相違）  
 青字：記載箇所又は記載内容の相違（記載方針の相違）  
 緑字：記載表現、設備名称の相違（実質的な相違なし）

第37条 付録1 事故シーケンスグループ及び重要事故シーケンス等の選定について  
 別添3. レベル1PRA 3.2 外部事象 3.2.1 地震PRA

大飯発電所3／4号炉	女川原子力発電所2号炉	泊発電所3号炉	相違理由																							
	<table border="1"> <caption>表3.2.1-d-6長 起因事象別原因心損傷頻度 (3/3)</caption> <thead> <tr> <th>起因事象</th> <th>主要な事故シナリオ</th> <th>CDF (/年年)</th> <th>寄与割合 (%)</th> </tr> </thead> <tbody> <tr> <td>計画・制御系喪失</td> <td>地震により計測・制御系が機能喪失した場合には、緩和設備への影響の程度を厳密に判断することが困難であるため、保守的に全ての計測・制御系が機能喪失し、プラントの作動が不能となり原心損傷に至ると想定する。</td> <td>3.7E-07</td> <td>1.1</td> </tr> <tr> <td>格納容器ハイパス</td> <td>地震によって、原子炉冷却材淨化系の隔離ガラフ管配管が損傷し、この時に原子炉冷却材淨化系の隔離ガラフ管の機能喪失が量的、格納容器バイパスが発生する。緩和設備により、ある程度の原心損傷を維持することはできるが、原子炉建屋内の冷却材漏出が継続するため、保守的に原心損傷に至ると想定する。</td> <td>1.0E-07</td> <td>0.3</td> </tr> <tr> <td>圧力容器損傷</td> <td>地震により原子炉圧力容器が損傷した場合には原心の冷却系統を維持できるか又は緩和設備への影響の程度を厳密に判断する。これが困難であるため、保守的に全ての緩和系が機能喪失し、原心損傷に至ると想定する。</td> <td>4.1E-07</td> <td>1.2</td> </tr> <tr> <td>原子炉建屋損傷</td> <td>地震により原子炉建屋が損傷した場合には建屋内の緩和設備への影響の程度を厳密に判断することが困難であるため、保守的に全ての緩和系が機能喪失し、原心損傷に至ると想定する。</td> <td>4.8E-08</td> <td>0.1</td> </tr> <tr> <td>合計</td> <td>3.3E-05</td> <td>100.0%</td> <td> <p>【女川】</p> <p>■個別評価による相違</p> </td></tr> </tbody> </table> <p>※ 四捨五入処理のため寄与割合の合計が100.0となることがある。</p>	起因事象	主要な事故シナリオ	CDF (/年年)	寄与割合 (%)	計画・制御系喪失	地震により計測・制御系が機能喪失した場合には、緩和設備への影響の程度を厳密に判断することが困難であるため、保守的に全ての計測・制御系が機能喪失し、プラントの作動が不能となり原心損傷に至ると想定する。	3.7E-07	1.1	格納容器ハイパス	地震によって、原子炉冷却材淨化系の隔離ガラフ管配管が損傷し、この時に原子炉冷却材淨化系の隔離ガラフ管の機能喪失が量的、格納容器バイパスが発生する。緩和設備により、ある程度の原心損傷を維持することはできるが、原子炉建屋内の冷却材漏出が継続するため、保守的に原心損傷に至ると想定する。	1.0E-07	0.3	圧力容器損傷	地震により原子炉圧力容器が損傷した場合には原心の冷却系統を維持できるか又は緩和設備への影響の程度を厳密に判断する。これが困難であるため、保守的に全ての緩和系が機能喪失し、原心損傷に至ると想定する。	4.1E-07	1.2	原子炉建屋損傷	地震により原子炉建屋が損傷した場合には建屋内の緩和設備への影響の程度を厳密に判断することが困難であるため、保守的に全ての緩和系が機能喪失し、原心損傷に至ると想定する。	4.8E-08	0.1	合計	3.3E-05	100.0%	<p>【女川】</p> <p>■個別評価による相違</p>	
起因事象	主要な事故シナリオ	CDF (/年年)	寄与割合 (%)																							
計画・制御系喪失	地震により計測・制御系が機能喪失した場合には、緩和設備への影響の程度を厳密に判断することが困難であるため、保守的に全ての計測・制御系が機能喪失し、プラントの作動が不能となり原心損傷に至ると想定する。	3.7E-07	1.1																							
格納容器ハイパス	地震によって、原子炉冷却材淨化系の隔離ガラフ管配管が損傷し、この時に原子炉冷却材淨化系の隔離ガラフ管の機能喪失が量的、格納容器バイパスが発生する。緩和設備により、ある程度の原心損傷を維持することはできるが、原子炉建屋内の冷却材漏出が継続するため、保守的に原心損傷に至ると想定する。	1.0E-07	0.3																							
圧力容器損傷	地震により原子炉圧力容器が損傷した場合には原心の冷却系統を維持できるか又は緩和設備への影響の程度を厳密に判断する。これが困難であるため、保守的に全ての緩和系が機能喪失し、原心損傷に至ると想定する。	4.1E-07	1.2																							
原子炉建屋損傷	地震により原子炉建屋が損傷した場合には建屋内の緩和設備への影響の程度を厳密に判断することが困難であるため、保守的に全ての緩和系が機能喪失し、原心損傷に至ると想定する。	4.8E-08	0.1																							
合計	3.3E-05	100.0%	<p>【女川】</p> <p>■個別評価による相違</p>																							

泊発電所3号炉 有効性評価 比較表

赤字：設備、運用又は体制の相違（設計方針の相違）  
青字：記載箇所又は記載内容の相違（記載方針の相違）  
緑字：記載表現、設備名称の相違（実質的な相違なし）

第37条 付録1 事故シーケンスグループ及び重要事故シーケンス等の選定について  
別添 3. レベル1PRA 3.2 外部事象 3.2.1 地震 PRA

大飯発電所3／4号炉	女川原子力発電所2号炉	泊発電所3号炉	相違理由																																																																																																																																																																																																												
	<table border="1"> <caption>第3.2.1-d-7表 事故シーケンスグループ別想定損傷頻度</caption> <thead> <tr> <th>事故シーケンスグループ</th><th>CDF (/9年)</th><th>寄与割合 (%)</th><th>主要なミニマルカットセット</th></tr> </thead> <tbody> <tr> <td>原子炉建屋損傷</td><td>4.8E-08</td><td>0.1</td><td>・原子炉建屋損傷</td></tr> <tr> <td>格納容器損傷</td><td>5.2E-07</td><td>1.6</td><td>・ボックスサポート損傷</td></tr> <tr> <td>圧力容器損傷</td><td>4.1E-07</td><td>1.2</td><td>・圧力容器支持構造物損傷</td></tr> <tr> <td>制御建屋損傷</td><td>1.9E-07</td><td>0.6</td><td>・制御建屋損傷</td></tr> <tr> <td>計測・制御系喪失</td><td>3.7E-07</td><td>1.1</td><td>・中央制御盤機能喪失</td></tr> <tr> <td>TQEV</td><td>3.7E-08</td><td>0.1</td><td>・外部電源喪失+RCICポンプ駆動用タービン機能喪失+HPCS系ディーゼル発電機機能喪失+低圧印字・スプレイ系弁機能喪失+残留熱除去系弁機能喪失</td></tr> <tr> <td>TQUX</td><td>1.6E-06</td><td>5.0</td><td>・外部電源喪失+RCICランダム故障+HPCSランダム故障+減圧ランダム失敗</td></tr> <tr> <td>長期TB</td><td>1.4E-05</td><td>41.7</td><td>・交流電源・原子炉補機冷却系ランダム故障+RCIC注水成功 ・非常用MCC機能喪失+RCIC注水成功 ・経油タンク損傷+RCIC注水成功</td></tr> <tr> <td>TBU</td><td>4.3E-07</td><td>1.3</td><td>・交流電源・原子炉補機冷却系ランダム故障+RCICランダム故障</td></tr> <tr> <td>TBP</td><td>4.5E-08</td><td>0.1</td><td>・交流電源・原子炉補機冷却系ランダム故障+ランダム要因により主蒸気速がし安全弁閉鎖失敗</td></tr> <tr> <td>TBD</td><td>1.1E-06</td><td>3.2</td><td>・直流水母線機能喪失</td></tr> <tr> <td>TK</td><td>1.2E-05</td><td>36.3</td><td>・外部電源喪失+RCIC注水成功+RHRランダム故障</td></tr> <tr> <td>TC</td><td>1.6E-06</td><td>4.9</td><td>・外部電源喪失+水圧制御ユニット機能喪失</td></tr> <tr> <td>E-LOCA</td><td>8.0E-07</td><td>2.4</td><td>・核計装損傷</td></tr> <tr> <td>格納容器バイパス</td><td>1.0E-07</td><td>0.3</td><td>・原子炉冷却材淨化系弁機能喪失+耐震重要度Bクラス配管損傷</td></tr> <tr> <td>合計</td><td>3.3E-05</td><td>100.0*</td><td></td></tr> </tbody> </table> <p>* 四捨五入処理のため寄与割合の合計が 100.0 とならないことがある。</p>	事故シーケンスグループ	CDF (/9年)	寄与割合 (%)	主要なミニマルカットセット	原子炉建屋損傷	4.8E-08	0.1	・原子炉建屋損傷	格納容器損傷	5.2E-07	1.6	・ボックスサポート損傷	圧力容器損傷	4.1E-07	1.2	・圧力容器支持構造物損傷	制御建屋損傷	1.9E-07	0.6	・制御建屋損傷	計測・制御系喪失	3.7E-07	1.1	・中央制御盤機能喪失	TQEV	3.7E-08	0.1	・外部電源喪失+RCICポンプ駆動用タービン機能喪失+HPCS系ディーゼル発電機機能喪失+低圧印字・スプレイ系弁機能喪失+残留熱除去系弁機能喪失	TQUX	1.6E-06	5.0	・外部電源喪失+RCICランダム故障+HPCSランダム故障+減圧ランダム失敗	長期TB	1.4E-05	41.7	・交流電源・原子炉補機冷却系ランダム故障+RCIC注水成功 ・非常用MCC機能喪失+RCIC注水成功 ・経油タンク損傷+RCIC注水成功	TBU	4.3E-07	1.3	・交流電源・原子炉補機冷却系ランダム故障+RCICランダム故障	TBP	4.5E-08	0.1	・交流電源・原子炉補機冷却系ランダム故障+ランダム要因により主蒸気速がし安全弁閉鎖失敗	TBD	1.1E-06	3.2	・直流水母線機能喪失	TK	1.2E-05	36.3	・外部電源喪失+RCIC注水成功+RHRランダム故障	TC	1.6E-06	4.9	・外部電源喪失+水圧制御ユニット機能喪失	E-LOCA	8.0E-07	2.4	・核計装損傷	格納容器バイパス	1.0E-07	0.3	・原子炉冷却材淨化系弁機能喪失+耐震重要度Bクラス配管損傷	合計	3.3E-05	100.0*		<table border="1"> <caption>第3.2.1-d-7表 事故シーケンスグループ別想定損傷頻度</caption> <thead> <tr> <th>事故シーケンス</th><th>CDF-シーケンス (/9年)</th><th>全CDFに対する割合 (%)</th><th>主要なミニマルカットセット</th></tr> </thead> <tbody> <tr> <td>小容量LOCA+断続的失敗</td><td>3.2E-08</td><td>1.8</td><td></td></tr> <tr> <td>外筒電源喪失+原子炉冷却系失敗</td><td>5.1E-08</td><td>2.2</td><td></td></tr> <tr> <td>外筒電源喪失+冷却水注入失敗</td><td>3.0E-08</td><td>1.3</td><td></td></tr> <tr> <td>2次冷却系からの除熱機能喪失</td><td>5.7E-09</td><td>0.2</td><td></td></tr> <tr> <td>2次冷却系の脱離+主蒸気速失敗</td><td>1.6E-09</td><td>0.1</td><td></td></tr> <tr> <td>3次冷却系の脱離+主蒸気速失敗</td><td>3.0E-08</td><td>1.3</td><td></td></tr> <tr> <td>全交流電源喪失+非常用制御交換装置故障失敗</td><td>8.3E-07</td><td>55.8</td><td>・外部電源喪失の割合 ・ディーゼル発電機の割合</td></tr> <tr> <td>外筒電源喪失+非常用制御交換装置失敗</td><td>1.1E-06</td><td>0.6</td><td></td></tr> <tr> <td>外筒電源喪失+原子炉冷却系失敗</td><td>1.1E-06</td><td>0.6</td><td>・原子炉冷却系补水ポンプの損傷</td></tr> <tr> <td>外筒電源喪失+冷却水注入失敗</td><td>6.2E-10</td><td>0.1</td><td></td></tr> <tr> <td>2次冷却系からの除熱機能喪失</td><td>1.2E-08</td><td>0.5</td><td></td></tr> <tr> <td>2次冷却系の脱離+主蒸気速失敗</td><td>3.0E-13</td><td>0.1</td><td></td></tr> <tr> <td>3次冷却系の脱離+主蒸気速失敗</td><td>3.0E-10</td><td>0.1</td><td></td></tr> <tr> <td>外筒電源喪失+非常用制御交換装置失敗</td><td>2.0E-10</td><td>0.1</td><td></td></tr> <tr> <td>外筒電源喪失+冷却水注入失敗</td><td>1.9E-09</td><td>0.1</td><td></td></tr> <tr> <td>外筒電源喪失+原子炉冷却系失敗</td><td>7.9E-11</td><td>0.1</td><td></td></tr> <tr> <td>外筒電源喪失+冷却水注入失敗</td><td>9.3E-11</td><td>0.1</td><td></td></tr> <tr> <td>外筒電源喪失+冷却水注入失敗</td><td>1.1E-07</td><td>4.7</td><td>・燃料電合体の損傷</td></tr> <tr> <td>外筒電源喪失+冷却水注入失敗</td><td>1.7E-07</td><td>7.2</td><td></td></tr> <tr> <td>外筒電源喪失+冷却水注入失敗</td><td>6.1E-11</td><td>0.1</td><td></td></tr> <tr> <td>外筒電源喪失+冷却水注入失敗</td><td>2.0E-13</td><td>0.1</td><td></td></tr> <tr> <td>外筒電源喪失+冷却水注入失敗</td><td>2.0E-07</td><td>11.0</td><td>・原子炉冷却系补水ポンプの損傷</td></tr> <tr> <td>外筒電源喪失+冷却水注入失敗</td><td>1.0E-07</td><td>5.1</td><td></td></tr> <tr> <td>外筒電源喪失+冷却水注入失敗</td><td>3.3E-07</td><td>0.5</td><td></td></tr> <tr> <td>外筒電源喪失+冷却水注入失敗</td><td>6.5E-09</td><td>0.3</td><td></td></tr> <tr> <td>外筒電源喪失+冷却水注入失敗</td><td>1.3E-08</td><td>0.6</td><td>・外筒電源喪失(全生産能力) ・安全機能装置(安全機能運行) ・冷却水注入失敗</td></tr> <tr> <td>外筒電源喪失+冷却水注入失敗</td><td>7.3E-09</td><td>0.3</td><td></td></tr> <tr> <td>外筒電源喪失+冷却水注入失敗</td><td>9.8E-08</td><td>4.2</td><td>・蒸気発生器(サブジェクション)の損傷 ・原子炉冷却系补水ポンプの損傷</td></tr> <tr> <td>外筒電源喪失+冷却水注入失敗</td><td>4.7E-08</td><td>2.0</td><td></td></tr> <tr> <td>外筒電源喪失+冷却水注入失敗</td><td>1.8E-08</td><td>0.8</td><td></td></tr> <tr> <td>外筒電源喪失+冷却水注入失敗</td><td>6</td><td>0.1</td><td></td></tr> <tr> <td>外筒電源喪失+冷却水注入失敗</td><td>1.2E-07</td><td>5.3</td><td>・原子炉冷却系补水ポンプの損傷</td></tr> <tr> <td>外筒電源喪失+冷却水注入失敗</td><td>2.1E-06</td><td>100.0*</td><td></td></tr> </tbody> </table> <p>* 四捨五入処理のため寄与割合の合計が 100.0 とならないことがある。 * 1.1E-05 未満</p>	事故シーケンス	CDF-シーケンス (/9年)	全CDFに対する割合 (%)	主要なミニマルカットセット	小容量LOCA+断続的失敗	3.2E-08	1.8		外筒電源喪失+原子炉冷却系失敗	5.1E-08	2.2		外筒電源喪失+冷却水注入失敗	3.0E-08	1.3		2次冷却系からの除熱機能喪失	5.7E-09	0.2		2次冷却系の脱離+主蒸気速失敗	1.6E-09	0.1		3次冷却系の脱離+主蒸気速失敗	3.0E-08	1.3		全交流電源喪失+非常用制御交換装置故障失敗	8.3E-07	55.8	・外部電源喪失の割合 ・ディーゼル発電機の割合	外筒電源喪失+非常用制御交換装置失敗	1.1E-06	0.6		外筒電源喪失+原子炉冷却系失敗	1.1E-06	0.6	・原子炉冷却系补水ポンプの損傷	外筒電源喪失+冷却水注入失敗	6.2E-10	0.1		2次冷却系からの除熱機能喪失	1.2E-08	0.5		2次冷却系の脱離+主蒸気速失敗	3.0E-13	0.1		3次冷却系の脱離+主蒸気速失敗	3.0E-10	0.1		外筒電源喪失+非常用制御交換装置失敗	2.0E-10	0.1		外筒電源喪失+冷却水注入失敗	1.9E-09	0.1		外筒電源喪失+原子炉冷却系失敗	7.9E-11	0.1		外筒電源喪失+冷却水注入失敗	9.3E-11	0.1		外筒電源喪失+冷却水注入失敗	1.1E-07	4.7	・燃料電合体の損傷	外筒電源喪失+冷却水注入失敗	1.7E-07	7.2		外筒電源喪失+冷却水注入失敗	6.1E-11	0.1		外筒電源喪失+冷却水注入失敗	2.0E-13	0.1		外筒電源喪失+冷却水注入失敗	2.0E-07	11.0	・原子炉冷却系补水ポンプの損傷	外筒電源喪失+冷却水注入失敗	1.0E-07	5.1		外筒電源喪失+冷却水注入失敗	3.3E-07	0.5		外筒電源喪失+冷却水注入失敗	6.5E-09	0.3		外筒電源喪失+冷却水注入失敗	1.3E-08	0.6	・外筒電源喪失(全生産能力) ・安全機能装置(安全機能運行) ・冷却水注入失敗	外筒電源喪失+冷却水注入失敗	7.3E-09	0.3		外筒電源喪失+冷却水注入失敗	9.8E-08	4.2	・蒸気発生器(サブジェクション)の損傷 ・原子炉冷却系补水ポンプの損傷	外筒電源喪失+冷却水注入失敗	4.7E-08	2.0		外筒電源喪失+冷却水注入失敗	1.8E-08	0.8		外筒電源喪失+冷却水注入失敗	6	0.1		外筒電源喪失+冷却水注入失敗	1.2E-07	5.3	・原子炉冷却系补水ポンプの損傷	外筒電源喪失+冷却水注入失敗	2.1E-06	100.0*		<p>【大飯】 ■ 記載方針の相違 ・ 女川の実績反映</p> <p>【女川】 ■ 個別評価による相違</p>
事故シーケンスグループ	CDF (/9年)	寄与割合 (%)	主要なミニマルカットセット																																																																																																																																																																																																												
原子炉建屋損傷	4.8E-08	0.1	・原子炉建屋損傷																																																																																																																																																																																																												
格納容器損傷	5.2E-07	1.6	・ボックスサポート損傷																																																																																																																																																																																																												
圧力容器損傷	4.1E-07	1.2	・圧力容器支持構造物損傷																																																																																																																																																																																																												
制御建屋損傷	1.9E-07	0.6	・制御建屋損傷																																																																																																																																																																																																												
計測・制御系喪失	3.7E-07	1.1	・中央制御盤機能喪失																																																																																																																																																																																																												
TQEV	3.7E-08	0.1	・外部電源喪失+RCICポンプ駆動用タービン機能喪失+HPCS系ディーゼル発電機機能喪失+低圧印字・スプレイ系弁機能喪失+残留熱除去系弁機能喪失																																																																																																																																																																																																												
TQUX	1.6E-06	5.0	・外部電源喪失+RCICランダム故障+HPCSランダム故障+減圧ランダム失敗																																																																																																																																																																																																												
長期TB	1.4E-05	41.7	・交流電源・原子炉補機冷却系ランダム故障+RCIC注水成功 ・非常用MCC機能喪失+RCIC注水成功 ・経油タンク損傷+RCIC注水成功																																																																																																																																																																																																												
TBU	4.3E-07	1.3	・交流電源・原子炉補機冷却系ランダム故障+RCICランダム故障																																																																																																																																																																																																												
TBP	4.5E-08	0.1	・交流電源・原子炉補機冷却系ランダム故障+ランダム要因により主蒸気速がし安全弁閉鎖失敗																																																																																																																																																																																																												
TBD	1.1E-06	3.2	・直流水母線機能喪失																																																																																																																																																																																																												
TK	1.2E-05	36.3	・外部電源喪失+RCIC注水成功+RHRランダム故障																																																																																																																																																																																																												
TC	1.6E-06	4.9	・外部電源喪失+水圧制御ユニット機能喪失																																																																																																																																																																																																												
E-LOCA	8.0E-07	2.4	・核計装損傷																																																																																																																																																																																																												
格納容器バイパス	1.0E-07	0.3	・原子炉冷却材淨化系弁機能喪失+耐震重要度Bクラス配管損傷																																																																																																																																																																																																												
合計	3.3E-05	100.0*																																																																																																																																																																																																													
事故シーケンス	CDF-シーケンス (/9年)	全CDFに対する割合 (%)	主要なミニマルカットセット																																																																																																																																																																																																												
小容量LOCA+断続的失敗	3.2E-08	1.8																																																																																																																																																																																																													
外筒電源喪失+原子炉冷却系失敗	5.1E-08	2.2																																																																																																																																																																																																													
外筒電源喪失+冷却水注入失敗	3.0E-08	1.3																																																																																																																																																																																																													
2次冷却系からの除熱機能喪失	5.7E-09	0.2																																																																																																																																																																																																													
2次冷却系の脱離+主蒸気速失敗	1.6E-09	0.1																																																																																																																																																																																																													
3次冷却系の脱離+主蒸気速失敗	3.0E-08	1.3																																																																																																																																																																																																													
全交流電源喪失+非常用制御交換装置故障失敗	8.3E-07	55.8	・外部電源喪失の割合 ・ディーゼル発電機の割合																																																																																																																																																																																																												
外筒電源喪失+非常用制御交換装置失敗	1.1E-06	0.6																																																																																																																																																																																																													
外筒電源喪失+原子炉冷却系失敗	1.1E-06	0.6	・原子炉冷却系补水ポンプの損傷																																																																																																																																																																																																												
外筒電源喪失+冷却水注入失敗	6.2E-10	0.1																																																																																																																																																																																																													
2次冷却系からの除熱機能喪失	1.2E-08	0.5																																																																																																																																																																																																													
2次冷却系の脱離+主蒸気速失敗	3.0E-13	0.1																																																																																																																																																																																																													
3次冷却系の脱離+主蒸気速失敗	3.0E-10	0.1																																																																																																																																																																																																													
外筒電源喪失+非常用制御交換装置失敗	2.0E-10	0.1																																																																																																																																																																																																													
外筒電源喪失+冷却水注入失敗	1.9E-09	0.1																																																																																																																																																																																																													
外筒電源喪失+原子炉冷却系失敗	7.9E-11	0.1																																																																																																																																																																																																													
外筒電源喪失+冷却水注入失敗	9.3E-11	0.1																																																																																																																																																																																																													
外筒電源喪失+冷却水注入失敗	1.1E-07	4.7	・燃料電合体の損傷																																																																																																																																																																																																												
外筒電源喪失+冷却水注入失敗	1.7E-07	7.2																																																																																																																																																																																																													
外筒電源喪失+冷却水注入失敗	6.1E-11	0.1																																																																																																																																																																																																													
外筒電源喪失+冷却水注入失敗	2.0E-13	0.1																																																																																																																																																																																																													
外筒電源喪失+冷却水注入失敗	2.0E-07	11.0	・原子炉冷却系补水ポンプの損傷																																																																																																																																																																																																												
外筒電源喪失+冷却水注入失敗	1.0E-07	5.1																																																																																																																																																																																																													
外筒電源喪失+冷却水注入失敗	3.3E-07	0.5																																																																																																																																																																																																													
外筒電源喪失+冷却水注入失敗	6.5E-09	0.3																																																																																																																																																																																																													
外筒電源喪失+冷却水注入失敗	1.3E-08	0.6	・外筒電源喪失(全生産能力) ・安全機能装置(安全機能運行) ・冷却水注入失敗																																																																																																																																																																																																												
外筒電源喪失+冷却水注入失敗	7.3E-09	0.3																																																																																																																																																																																																													
外筒電源喪失+冷却水注入失敗	9.8E-08	4.2	・蒸気発生器(サブジェクション)の損傷 ・原子炉冷却系补水ポンプの損傷																																																																																																																																																																																																												
外筒電源喪失+冷却水注入失敗	4.7E-08	2.0																																																																																																																																																																																																													
外筒電源喪失+冷却水注入失敗	1.8E-08	0.8																																																																																																																																																																																																													
外筒電源喪失+冷却水注入失敗	6	0.1																																																																																																																																																																																																													
外筒電源喪失+冷却水注入失敗	1.2E-07	5.3	・原子炉冷却系补水ポンプの損傷																																																																																																																																																																																																												
外筒電源喪失+冷却水注入失敗	2.1E-06	100.0*																																																																																																																																																																																																													

泊発電所 3号炉 有効性評価 比較表

**第37条 付録1 事故シーケンスグループ及び重要事故シーケンス等の選定について**  
**別添 3. レベル1PRA 3.2 外部事象 3.2.1 地震 PRA**

**赤字**: 設備、運用又は体制の相違（設計方針の相違）  
**青字**: 記載箇所又は記載内容の相違（記載方針の相違）  
**緑字**: 記載表現、設備名称の相違（実質的な相違なし）

大飯発電所3／4号炉	女川原子力発電所2号炉	泊発電所3号炉	相違理由																																																																																																												
<p>第 1.2.1.d-3 表 加速度区分別炉心損傷頻度評価結果</p> <table border="1"> <thead> <tr> <th>加速度区分</th><th>地震平均発生頻度（／年）</th><th>炉心損傷頻度（／炉年）</th><th>寄与割合</th></tr> </thead> <tbody> <tr> <td>区分1 (0.2G～0.5G)</td><td><math>1.5 \times 10^{-9}</math></td><td><math>6.1 \times 10^{-7}</math></td><td>22%</td></tr> <tr> <td>区分2 (0.5G～0.8G)</td><td><math>9.8 \times 10^{-9}</math></td><td><math>3.7 \times 10^{-7}</math></td><td>13%</td></tr> <tr> <td>区分3 (0.8G～1.1G)</td><td><math>1.7 \times 10^{-9}</math></td><td><math>5.9 \times 10^{-7}</math></td><td>21%</td></tr> <tr> <td>区分4 (1.1G～1.5G)</td><td><math>4.6 \times 10^{-9}</math></td><td><math>1.2 \times 10^{-6}</math></td><td>44%</td></tr> <tr> <td>全炉心損傷頻度</td><td></td><td><math>2.8 \times 10^{-6}</math></td><td>100%</td></tr> </tbody> </table>	加速度区分	地震平均発生頻度（／年）	炉心損傷頻度（／炉年）	寄与割合	区分1 (0.2G～0.5G)	$1.5 \times 10^{-9}$	$6.1 \times 10^{-7}$	22%	区分2 (0.5G～0.8G)	$9.8 \times 10^{-9}$	$3.7 \times 10^{-7}$	13%	区分3 (0.8G～1.1G)	$1.7 \times 10^{-9}$	$5.9 \times 10^{-7}$	21%	区分4 (1.1G～1.5G)	$4.6 \times 10^{-9}$	$1.2 \times 10^{-6}$	44%	全炉心損傷頻度		$2.8 \times 10^{-6}$	100%	<p>第 3.2.1. d-8 表 地震加速度区分別炉心損傷頻度</p> <table border="1"> <thead> <tr> <th>地震加速度区間</th><th>地震発生頻度（／年／G）</th><th>CDF（／炉年）</th><th>寄与割合（%）</th></tr> </thead> <tbody> <tr> <td>0.0 G-0.2 G</td><td>2.8E+00</td><td>2.5E-06</td><td>7.5</td></tr> <tr> <td>0.2 G-0.4 G</td><td>9.5E-02</td><td>1.1E-05</td><td>34.6</td></tr> <tr> <td>0.4 G-0.6 G</td><td>4.9E-02</td><td>7.9E-06</td><td>23.9</td></tr> <tr> <td>0.6 G-0.8 G</td><td>1.3E-02</td><td>4.7E-06</td><td>14.4</td></tr> <tr> <td>0.8 G-1.0 G</td><td>5.5E-04</td><td>1.3E-06</td><td>4.0</td></tr> <tr> <td>1.0 G-1.2 G</td><td>7.1E-05</td><td>1.2E-06</td><td>3.7</td></tr> <tr> <td>1.2 G-1.4 G</td><td>2.2E-05</td><td>1.4E-06</td><td>4.1</td></tr> <tr> <td>1.4 G-1.6 G</td><td>8.7E-06</td><td>1.2E-06</td><td>3.5</td></tr> <tr> <td>1.6 G-1.8 G</td><td>3.8E-06</td><td>7.2E-07</td><td>2.2</td></tr> <tr> <td>1.8 G-2.0 G</td><td>1.8E-06</td><td>3.5E-07</td><td>1.1</td></tr> <tr> <td>2.0 G-3.0 G</td><td>3.2E-07</td><td>3.2E-07</td><td>1.0</td></tr> <tr> <td>合計</td><td></td><td>3.3E-05</td><td>100.0%</td></tr> </tbody> </table> <p>※ 四捨五入処理のため寄与割合の合計が 100.0 とならないことがある。</p>	地震加速度区間	地震発生頻度（／年／G）	CDF（／炉年）	寄与割合（%）	0.0 G-0.2 G	2.8E+00	2.5E-06	7.5	0.2 G-0.4 G	9.5E-02	1.1E-05	34.6	0.4 G-0.6 G	4.9E-02	7.9E-06	23.9	0.6 G-0.8 G	1.3E-02	4.7E-06	14.4	0.8 G-1.0 G	5.5E-04	1.3E-06	4.0	1.0 G-1.2 G	7.1E-05	1.2E-06	3.7	1.2 G-1.4 G	2.2E-05	1.4E-06	4.1	1.4 G-1.6 G	8.7E-06	1.2E-06	3.5	1.6 G-1.8 G	3.8E-06	7.2E-07	2.2	1.8 G-2.0 G	1.8E-06	3.5E-07	1.1	2.0 G-3.0 G	3.2E-07	3.2E-07	1.0	合計		3.3E-05	100.0%	<p>第 3.2.1. d-8 表 加速度区分別炉心損傷頻度</p> <table border="1"> <thead> <tr> <th>地震加速度区間</th><th>地震発生頻度（／年）</th><th>CDF（／炉年）</th><th>寄与割合（%）</th></tr> </thead> <tbody> <tr> <td>0.2G-0.4G</td><td>6.3E-04</td><td>2.5E-07</td><td>11.8</td></tr> <tr> <td>0.4G-0.6G</td><td>6.6E-05</td><td>4.4E-08</td><td>2.1</td></tr> <tr> <td>0.6G-0.8G</td><td>1.4E-05</td><td>1.1E-08</td><td>0.5</td></tr> <tr> <td>0.8G-1.0G</td><td>4.1E-06</td><td>2.6E-07</td><td>12.1</td></tr> <tr> <td>1.0G-1.2G</td><td>1.4E-06</td><td>8.8E-07</td><td>41.3</td></tr> <tr> <td>1.2G-1.5G</td><td>6.9E-07</td><td>6.9E-07</td><td>32.2</td></tr> <tr> <td>合計</td><td></td><td>2.1E-06</td><td>100.0%</td></tr> </tbody> </table> <p>※四捨五入処理のため寄与割合の合計が 100.0 とならないことがある。</p>	地震加速度区間	地震発生頻度（／年）	CDF（／炉年）	寄与割合（%）	0.2G-0.4G	6.3E-04	2.5E-07	11.8	0.4G-0.6G	6.6E-05	4.4E-08	2.1	0.6G-0.8G	1.4E-05	1.1E-08	0.5	0.8G-1.0G	4.1E-06	2.6E-07	12.1	1.0G-1.2G	1.4E-06	8.8E-07	41.3	1.2G-1.5G	6.9E-07	6.9E-07	32.2	合計		2.1E-06	100.0%	<p>【女川】【大飯】</p> <p>■個別評価による相違</p>
加速度区分	地震平均発生頻度（／年）	炉心損傷頻度（／炉年）	寄与割合																																																																																																												
区分1 (0.2G～0.5G)	$1.5 \times 10^{-9}$	$6.1 \times 10^{-7}$	22%																																																																																																												
区分2 (0.5G～0.8G)	$9.8 \times 10^{-9}$	$3.7 \times 10^{-7}$	13%																																																																																																												
区分3 (0.8G～1.1G)	$1.7 \times 10^{-9}$	$5.9 \times 10^{-7}$	21%																																																																																																												
区分4 (1.1G～1.5G)	$4.6 \times 10^{-9}$	$1.2 \times 10^{-6}$	44%																																																																																																												
全炉心損傷頻度		$2.8 \times 10^{-6}$	100%																																																																																																												
地震加速度区間	地震発生頻度（／年／G）	CDF（／炉年）	寄与割合（%）																																																																																																												
0.0 G-0.2 G	2.8E+00	2.5E-06	7.5																																																																																																												
0.2 G-0.4 G	9.5E-02	1.1E-05	34.6																																																																																																												
0.4 G-0.6 G	4.9E-02	7.9E-06	23.9																																																																																																												
0.6 G-0.8 G	1.3E-02	4.7E-06	14.4																																																																																																												
0.8 G-1.0 G	5.5E-04	1.3E-06	4.0																																																																																																												
1.0 G-1.2 G	7.1E-05	1.2E-06	3.7																																																																																																												
1.2 G-1.4 G	2.2E-05	1.4E-06	4.1																																																																																																												
1.4 G-1.6 G	8.7E-06	1.2E-06	3.5																																																																																																												
1.6 G-1.8 G	3.8E-06	7.2E-07	2.2																																																																																																												
1.8 G-2.0 G	1.8E-06	3.5E-07	1.1																																																																																																												
2.0 G-3.0 G	3.2E-07	3.2E-07	1.0																																																																																																												
合計		3.3E-05	100.0%																																																																																																												
地震加速度区間	地震発生頻度（／年）	CDF（／炉年）	寄与割合（%）																																																																																																												
0.2G-0.4G	6.3E-04	2.5E-07	11.8																																																																																																												
0.4G-0.6G	6.6E-05	4.4E-08	2.1																																																																																																												
0.6G-0.8G	1.4E-05	1.1E-08	0.5																																																																																																												
0.8G-1.0G	4.1E-06	2.6E-07	12.1																																																																																																												
1.0G-1.2G	1.4E-06	8.8E-07	41.3																																																																																																												
1.2G-1.5G	6.9E-07	6.9E-07	32.2																																																																																																												
合計		2.1E-06	100.0%																																																																																																												

泊発電所3号炉 有効性評価 比較表

第37条 付録1 事故シーケンスグループ及び重要事故シーケンス等の選定について  
別添3. レベル1PRA 3.2 外部事象 3.2.1 地震PRA

赤字：設備、運用又は体制の相違（設計方針の相違）  
青字：記載箇所又は記載内容の相違（記載方針の相違）  
緑字：記載表現、設備名称の相違（実質的な相違なし）

大飯発電所3／4号炉				女川原子力発電所2号炉				泊発電所3号炉				相違理由	
第1.2.1.d-4表 全炉心損傷頻度に対するFV重要度評価結果	全炉心損傷頻度：2.8E-06（／炉年）	HCLPF	FV	中央値	HCLPF	FV	中央値	建屋・機器の損傷が影響を与える主要な事故シーケンス	建屋・機器の損傷が影響を与える主要な事故シーケンス	建屋・機器の損傷が影響を与える主要な事故シーケンス	建屋・機器の損傷が影響を与える主要な事故シーケンス		
建屋・機器	(G)	(G)	重要度	(G)	(G)	重要度	(G)						
1.原子炉建屋（主蒸気管室） (構造損傷)	2.31	0.86	0.41					2次冷却系の破断 +主蒸気隔離失敗					
2.メタルクラッド スイッチギア (機能損傷)	2.05	1.11	0.06					すべての事故シーケンス					
3.電動弁 (機能損傷)	2.46	1.16	0.04					電動弁損傷による 原子炉補機冷却機能喪失					
4.原子炉補機冷却水冷却器 (構造損傷)	2.07	1.27	0.03					すべての事故シーケンス					
5.パワーセンタ (機能損傷)	1.85	1.24	0.02					すべての事故シーケンス					
6.内燃機関 (機能損傷)	2.24	1.29	0.01					すべての事故シーケンス					
7.蒸気発生器（伝熱管） (構造損傷)	3.83	1.38	0.01					蒸気発生器伝熱管破損（複数本破損）					
8.直流水電磁 (機能損傷)	1.89	1.04	0.01					すべての事故シーケンス					
注(1) 中央値及びHCLPFはいずれも機器リストの値である。 (2) FV重要度の評価範囲は、加速度区分0.2G～1.5Gとした。 (3) FV重要度が0.01以上のSSCのみ記載した。													
順位	建屋・機器	中央値	HCLPF	順位	建屋・機器	中央値	HCLPF	順位	建屋・機器	中央値	HCLPF	順位	
1	RHRランダム故障	—	—	1	交流電源・原子炉補機冷却系ランダム故障	—	—	1	火災警報装置付（機能損傷）	2.01	0.90	0.03	
2	RCICランダム故障	—	—	2	安全補機開閉器室空調系タクト（手動ダンバ含む）（構造損傷）	2.62	0.90	0.02	2	安全補機開閉器室空調系 防火ダンバ（機器損傷）	1.77	0.93	0.02
3	非常用MOC機能喪失	2.16	0.99	3	安全補機開閉器室空調系 防火ダンバ（機器損傷）	2.62	0.90	0.02	4	ディーゼル発電機空燃氣系ダクト（機器損傷）	1.77	0.93	0.02
4	HPCSランダム故障	—	—	4	ディーゼル発電機空燃氣系 防火ダンバ（機器損傷）	1.77	0.93	0.02	5	ディーゼル発電機空燃氣系 防火ダンバ（機器損傷）	1.77	0.93	0.02
5	減圧ランダム失敗	—	—	5	D/G出力電圧計（機能損傷）	2.06	0.92	0.02	6	ディーゼル発電機用励磁機（機能損傷）	2.06	0.92	0.02
6	燃料移送系配管損傷	3.25	1.15	6	ディーゼル発電機制御器（機器損傷）	2.06	0.92	0.02	7	内燃機関（ディーゼル機関）（機能損傷）	1.63	0.99	0.02
7	軽油タンク損傷	2.45	1.07	7	始動用電磁弁（機能損傷）	1.63	0.99	0.02	8	ディーゼル発電機（機能損傷）	1.63	0.99	0.02
8	直流主母線盤機能喪失	2.40	1.11	8	外部電源喪失+非常用所内交流電源喪失				9				
9	非常用ディーゼル機器機能喪失	2.00	1.12	9					9				
10													

第3.2.1.d-9表 重要度解析結果(FV重要度, 10位までの基準)

順位	建屋・機器	中央値	HCLPF	順位	建屋・機器	中央値	HCLPF	順位	建屋・機器	中央値	HCLPF	順位		
1	パワーコントロールセンタ き電燈、き電燈 (CLN限流装置付)（機能損傷）	2.01	0.90	0.03	1	ハーフコントロールセンタ き電燈、き電燈 (CLN限流装置付)（機能損傷）	2.01	0.90	0.03	2	安全補機開閉器室空調系タクト（手動ダンバ含む）（構造損傷）	2.62	0.90	0.02
2	安全補機開閉器室空調系タクト（手動ダンバ含む）（構造損傷）	2.62	0.90	0.02	3	安全補機開閉器室空調系 防火ダンバ（機器損傷）	1.77	0.93	0.02	4	ディーゼル発電機空燃氣系ダクト（機器損傷）	2.62	0.90	0.02
3	ディーゼル発電機空燃氣系 防火ダンバ（機器損傷）	1.77	0.93	0.02	5	ディーゼル発電機空燃氣系 防火ダンバ（機器損傷）	1.77	0.93	0.02	6	D/G出力電圧計（機能損傷）	2.06	0.92	0.02
4	D/G出力電圧計（機能損傷）	2.06	0.92	0.02	6	ディーゼル発電機用励磁機（機能損傷）	2.06	0.92	0.02	7	ディーゼル発電機制御器（機器損傷）	2.06	0.92	0.02
5	ディーゼル発電機空燃氣系 防火ダンバ（機器損傷）	1.77	0.93	0.02	7	内燃機関（ディーゼル機関）（機能損傷）	1.63	0.99	0.02	8	始動用電磁弁（機能損傷）	1.63	0.99	0.02
6	外部電源喪失+非常用所内交流電源喪失			9	ディーゼル発電機（機能損傷）	1.63	0.99	0.02	9	ディーゼル発電機（機能損傷）	1.63	0.99	0.02	
7				9					9					
8				9					9					
9														

第3.2.1.d-9表 重要度解析結果(FV重要度, 10位までの基準)

順位	建屋・機器	中央値	HCLPF	順位	建屋・機器	中央値	HCLPF	順位	建屋・機器	中央値	HCLPF	順位		
1	パワーコントロールセンタ き電燈、き電燈 (CLN限流装置付)（機能損傷）	2.01	0.90	0.03	1	ハーフコントロールセンタ き電燈、き電燈 (CLN限流装置付)（機能損傷）	2.01	0.90	0.03	2	安全補機開閉器室空調系タクト（手動ダンバ含む）（構造損傷）	2.62	0.90	0.02
2	安全補機開閉器室空調系タクト（手動ダンバ含む）（構造損傷）	2.62	0.90	0.02	3	安全補機開閉器室空調系 防火ダンバ（機器損傷）	1.77	0.93	0.02	4	ディーゼル発電機空燃氣系ダクト（機器損傷）	2.62	0.90	0.02
3	ディーゼル発電機空燃氣系 防火ダンバ（機器損傷）	1.77	0.93	0.02	5	ディーゼル発電機空燃氣系 防火ダンバ（機器損傷）	1.77	0.93	0.02	6	D/G出力電圧計（機能損傷）	2.06	0.92	0.02
4	D/G出力電圧計（機能損傷）	2.06	0.92	0.02	6	ディーゼル発電機用励磁機（機能損傷）	2.06	0.92	0.02	7	ディーゼル発電機制御器（機器損傷）	2.06	0.92	0.02
5	ディーゼル発電機空燃氣系 防火ダンバ（機器損傷）	1.77	0.93	0.02	7	内燃機関（ディーゼル機関）（機能損傷）	1.63	0.99	0.02	8	始動用電磁弁（機能損傷）	1.63	0.99	0.02
6	外部電源喪失+非常用所内交流電源喪失			9	ディーゼル発電機（機能損傷）	1.63	0.99	0.02	9	ディーゼル発電機（機能損傷）	1.63	0.99	0.02	
7				9					9					
8				9					9					
9														

【女川】【大飯】

■個別評価による相違

## 泊発電所3号炉 有効性評価 比較表

赤字：設備、運用又は体制の相違（設計方針の相違）  
 青字：記載箇所又は記載内容の相違（記載方針の相違）  
 緑字：記載表現、設備名称の相違（実質的な相違なし）

第37条 付録1 事故シーケンスグループ及び重要事故シーケンス等の選定について

別添3 レベル1PRA 3.2 外部事象 3.2.1 地震PRA

泊発電所3号炉 有効性評価 比較表							
大飯発電所3／4号炉			女川原子力発電所2号炉		泊発電所3号炉		相違理由
<b>第1.2.1.d-5 表 妨害損傷頻度の寄与割合が高い事故シーケンスに対するFV重要度評価結果</b>							
事故シーケンスグループ	事故シーケンス	炉心損傷頻度 ( $\times 10^6$ )	炉心損傷頻度に 対する寄与割合	FV重要度上位の機器	HULPF ( $\times 10^6$ )	FV重要度	
2次冷却系水の除熱機能喪失	2次冷却系系制御失敗 + 主蒸気管破裂失敗	1.1E-06	40.0%	原子炉建屋内主蒸気管内 ガスクラップ(ライチギア)	0.96	1.00	【大飯】 ■記載方針の相違 ・女川の実績反映 ・各事故シーケンスグループ のうち、主要な事故シーケンスの主要なカットセットについては別紙6に記載している
全交流電力電源喪失	外部電源喪失 + 非常用所内交流電源喪失	1.0E-06	36.3%	原子炉建屋内空気作動ポンプ 空調用送排機 保険運転装置電源室給気加湿コイル ディーゼル発電機室送排扇 ディーゼル発電機室送排扇	1.11	0.15	・FV重要度の上位10位の主要な事故シーケンスは第3.2.1.d-9表に記載している
ECCS主水機組喪失	小破壊LOCA+翼注入失敗	1.1E-07	4.0%	原子炉建屋内空気取扱機 翼注入口配管 翼注水分配器	1.27	0.07	
原子炉建屋冷却循環失敗	電動弁損傷による原子炉建屋冷却循環失敗	1.4E-07	5.1%	電動弁	1.24	0.06	
(注)事故シーケンス別寄与割合が1%未満となる事象は、一括してFV重要度評価に考慮する事無し。							

## 泊発電所3号炉 有効性評価 比較表

赤字：設備、運用又は体制の相違（設計方針の相違）  
 青字：記載箇所又は記載内容の相違（記載方針の相違）  
 緑字：記載表現、設備名称の相違（実質的な相違なし）

第37条 付録1 事故シーケンスグループ及び重要事故シーケンス等の選定について  
 別添3. レベル1PRA 3.2 外部事象 3.2.1 地震PRA

大飯発電所3／4号炉		女川原子力発電所2号炉				泊発電所3号炉		相違理由			
第1.2.1.d-6表 不確実さ解析結果		第3.2.1-d-10表 不確実さ解析結果									
不確実さ	全炉心損傷頻度 (／炉年)	第3.2.1-d-10表 不確実さ解析結果									
95%上限値	7.1E-06	平均値(／炉年)	95%上限値 (／炉年)	中央値 (／炉年)	5%下限値 (／炉年)	【女川】【大飯】 ■個別評価による相違					
平均値	2.8E-06	IEF	2.1E-07	2.6E-10	6.6E-15						
中央値	2.2E-06	TBP	2.2E-06	6.1E-08	9.5E-10						
5%下限値	4.8E-07	TBG	1.9E-06	3.4E-08	2.9E-10						
エラーファクター	3.8	側測健経損傷 計測・制御系喪失	9.4E-07	5.4E-09	1.2E-12						
点推定値	2.8E-06	TQIV	1.7E-07	1.4E-08	9.7E-12						
		TQIX	2.4E-08	1.3E-07	3.8E-11						
		長期TB	1.5E-06	5.6E-06	3.4E-07						
		TRU	1.3E-05	3.2E-05	9.7E-06						
		TBU	3.8E-07	1.4E-06	1.6E-07						
		TBP	4.1E-08	1.6E-07	6.8E-09						
		TBD	1.1E-06	4.1E-06	6.5E-08						
		TW	1.1E-05	3.0E-05	7.0E-06						
		TC	1.1E-06	5.0E-06	2.1E-07						
		E-LOCA	6.3E-07	2.8E-06	9.4E-08						
		格納容器バイパス	9.2E-08	4.0E-07	1.5E-08						
		合計	3.2E-05 / 4.0	7.6E-05	2.5E-05						
					4.8E-06	【備考論的地震】→「PRA確定後の 地震PRA評価元」後にご説明】					
						第3.2.1-d-10表 不確実さ解析結果					

## 泊発電所3号炉 有効性評価 比較表

赤字：設備、運用又は体制の相違（設計方針の相違）  
 青字：記載箇所又は記載内容の相違（記載方針の相違）  
 緑字：記載表現、設備名称の相違（実質的な相違なし）

第37条 付録1 事故シーケンスグループ及び重要事故シーケンス等の選定について

別添3. レベル1PRA 3.2 外部事象 3.2.1 地震PRA

大飯発電所3／4号炉		女川原子力発電所2号炉		泊発電所3号炉		相違理由	
重力加速度 (G)	平均 min～max%	10～20%	20～40%	30～50%	50～60%	60～70%	70～80%
0.01	3.07E-01	1.03E-01	2.00E-01	2.20E-01	2.45E-01	3.46E-01	3.65E-01
0.02	1.20E-01	7.71E-02	7.88E-02	8.43E-02	9.68E-02	1.39E-01	1.46E-01
0.03	6.53E-02	3.75E-02	4.15E-02	4.47E-02	4.76E-02	5.20E-02	5.68E-02
0.04	4.13E-02	2.29E-02	2.54E-02	2.74E-02	2.92E-02	4.89E-02	5.22E-02
0.05	2.80E-02	1.52E-02	1.69E-02	1.82E-02	1.95E-02	3.35E-02	3.65E-02
0.06	2.04E-02	1.07E-02	1.18E-02	1.28E-02	1.38E-02	2.45E-02	2.65E-02
0.07	1.58E-02	7.98E-03	8.67E-03	9.42E-03	1.02E-02	1.10E-02	1.18E-02
0.08	1.18E-02	6.55E-03	6.55E-03	7.11E-03	7.73E-03	8.31E-03	2.01E-02
0.09	9.34E-03	4.50E-03	5.10E-03	5.53E-03	5.98E-03	6.48E-03	1.45E-02
0.10	7.30E-03	3.61E-03	4.06E-03	4.72E-03	5.10E-03	6.29E-03	1.20E-02
0.12	5.06E-03	2.35E-03	2.70E-03	2.92E-03	3.12E-03	3.48E-03	6.30E-03
0.14	3.57E-03	1.60E-03	1.85E-03	2.03E-03	2.18E-03	4.41E-03	4.82E-03
0.16	2.61E-03	1.14E-03	1.31E-03	1.48E-03	1.67E-03	3.87E-03	5.07E-03
0.18	1.96E-03	8.36E-04	9.66E-04	1.11E-03	1.29E-03	3.29E-03	3.70E-03
0.20	1.51E-03	6.30E-04	7.34E-04	8.58E-04	1.01E-03	2.40E-03	2.61E-03
0.25	8.51E-04	3.40E-04	4.05E-04	4.92E-04	6.00E-04	7.46E-04	9.79E-04
0.31	5.20E-04	2.00E-04	2.58E-04	3.10E-04	3.86E-04	4.90E-04	5.73E-04
0.38	3.47E-04	1.24E-04	1.74E-04	2.12E-04	2.62E-04	3.21E-04	3.63E-04
0.41	2.27E-04	7.93E-05	1.20E-04	1.52E-04	1.89E-04	2.11E-04	2.40E-04
0.46	1.58E-04	5.11E-05	8.59E-05	1.11E-04	1.29E-04	1.47E-04	1.66E-04
0.51	1.13E-04	3.34E-05	6.327E-05	7.90E-05	9.04E-05	1.04E-04	1.19E-04
0.61	6.13E-06	1.39E-05	3.18E-05	4.11E-05	4.71E-05	5.49E-05	6.42E-05
0.71	3.52E-06	6.96E-06	1.58E-05	2.16E-05	2.67E-05	3.07E-05	3.63E-05
0.82	2.12E-06	3.40E-06	8.67E-06	1.13E-05	1.54E-05	2.16E-05	4.06E-05
0.92	1.31E-05	1.73E-06	4.25E-06	6.11E-06	8.88E-06	1.10E-05	1.47E-05
1.02	8.39E-06	9.11E-07	2.31E-06	3.43E-06	5.18E-06	8.20E-06	9.15E-06
1.22	3.66E-06	2.73E-07	7.38E-07	1.13E-06	1.88E-06	2.94E-06	3.37E-06
1.43	1.72E-06	9.08E-08	2.56E-07	4.20E-07	7.42E-07	1.31E-06	1.46E-06
							1.61E-06
							1.81E-06
							2.48E-06
							6.67E-06

第1.2.1.4-7 表 大飯サイト地震ハザードデータ

## 泊発電所3号炉 有効性評価 比較表

赤字：設備、運用又は体制の相違（設計方針の相違）  
 青字：記載箇所又は記載内容の相違（記載方針の相違）  
 緑字：記載表現、設備名称の相違（実質的な相違なし）

第37条 付録1 事故シーケンスグループ及び重要事故シーケンス等の選定について  
 別添3. レベル1PRA 3.2 外部事象 3.2.1 地震PRA

大飯発電所3／4号炉		女川原子力発電所2号炉		泊発電所3号炉		相違理由
地震特有のシーケンス						
不確実さ	全CDF(炉年)	過渡事象 +補助給水失敗 (原子炉盤等の損傷)	全 C D F G H	外部電源喪失 +非常用所内交流 (制御室損傷)	全 C D F G H	SGTR 複数本破損 との 比
95%上限値	7.1E-06	2.0E-07	0.028	1.4E-07	0.020	1.9E-07 と の 比
平均値	2.8E-06	4.7E-08	0.017	3.4E-08	0.012	3.9E-08 と の 比
中央値	2.2E-06	5.5E-09	0.002	1.1E-08	0.005	3.1E-09 と の 比
5%下限値	4.8E-07	7.1E-11	0.001 基準	3.7E-10	0.001	2.2E-11 と の 比
エラーフラクター	3.8	52.8	—	19.6	—	92.4 と の 比
点推定値	2.8E-06	4.6E-08	0.016	3.5E-08	0.012	3.9E-08 と の 比
全CDFの比: 同じ不確実さでPRAが95%上限値における、地震特有のシーケンスと全CDFとの比						
<span style="color: green;">【大飯】</span> <span style="color: blue;">■記載方針の相違</span> <span style="color: blue;">・女川実績の反映</span> <span style="color: blue;">・各事故シーケンスの不確実さは第3.2.1.4-10表に記載しており、地震特有の事故シーケンスも含まれている</span>						

第1.2.1-d-8 表 全炉心損傷頻度の不確実さと地震特有の事故シーケンスの炉心損傷頻度の不確実さの比較

不確実さ	全CDF(炉年)	過渡事象 +補助給水失敗 (原子炉盤等の損傷)	全 C D F G H	外部電源喪失 +非常用所内交流 (制御室損傷)	全 C D F G H	SGTR 複数本破損 との 比
95%上限値	7.1E-06	2.0E-07	0.028	1.4E-07	0.020	1.9E-07 と の 比
平均値	2.8E-06	4.7E-08	0.017	3.4E-08	0.012	3.9E-08 と の 比
中央値	2.2E-06	5.5E-09	0.002	1.1E-08	0.005	3.1E-09 と の 比
5%下限値	4.8E-07	7.1E-11	0.001 基準	3.7E-10	0.001	2.2E-11 と の 比
エラーフラクター	3.8	52.8	—	19.6	—	92.4 と の 比
点推定値	2.8E-06	4.6E-08	0.016	3.5E-08	0.012	3.9E-08 と の 比
全CDFの比: 同じ不確実さでPRAが95%上限値における、地震特有のシーケンスと全CDFとの比						

## 泊発電所3号炉 有効性評価 比較表

赤字：設備、運用又は体制の相違（設計方針の相違）  
 青字：記載箇所又は記載内容の相違（記載方針の相違）  
 緑字：記載表現、設備名称の相違（実質的な相違なし）

第37条 付録1 事故シーケンスグループ及び重要事故シーケンス等の選定について

別添3. レベル1PRA 3.2 外部事象 3.2.1 地震PRA

大飯発電所3／4号炉

女川原子力発電所2号炉

泊発電所3号炉

相違理由

第1.2.1.d-9表 相関性を考慮した感度解析結果									
起因事象/影響範囲系	FV重要度の高い冗長機器	機 器	損傷モード	加速度 中央値 (G)			加速度区分(G)		
				$\beta_R$	$\beta_U$	0.2~0.5	0.5~0.8	0.8~1.1	1.1~1.5
QB:125V DC電源	直流水盤(冗長2基)	機能	1.89	0.13	0.23	2.65E-10	5.20E-06	4.82E-04	7.00E-03
QD:6.6kV非常用電源	メタルクラッドスイッチギア(冗長2基)	機能	2.05	0.14	0.23	7.92E-20	2.70E-14	2.39E-07	4.90E-05
QE:6.6kV非常用電源DG	内燃機関(冗長2基)	機能	2.24	0.14	0.19	—	—	3.57E-10	4.41E-06
QE:440V非常用電源	パワーセンタ(冗長2基)	機能	1.85	0.09	0.15	—	—	3.44E-07	1.77E-04
QQ:海水系	原子炉補機冷却水冷却器(冗長2基)	構造	2.07	0.08	0.22	—	—	1.18E-13	3.13E-08

注)上段の冗長機器を完全置換して評価した場合の感度分析結果及び完全置換率及び冗長機器を完全置換した場合の条件付き評価結果と比較して評価した場合の条件付き評価結果

下段:冗長機器を完全置換として評価した場合の条件付き評価結果

第3.2.1.d-11表 相関仮定に係る感度解析結果

事故シーケンス	CDF(／炉年)		
	完全相関 (ベースケース)	完全独立 (感度解析)	感度解析/ ベースケース
長期TB	1.4E-5	9.6E-6	0.70
TBU	4.3E-7	3.5E-7	0.83
TBP	4.5E-8	3.4E-8	0.76
TBD	1.1E-6	1.1E-7	0.11

第3.2.1.d-11表 相関仮定に係る感度解析結果

【感度解析結果ハサード確定後の  
地震PRA評価完了後にご説明】

■【女川】【大飯】  
■個別評価による相違

泊発電所3号炉 有効性評価 比較表

第37条 付録1 事故シーケンスグループ及び重要事故シーケンス等の選定について

別添3. レベル1PRA 3.2 外部事象 3.2.1 地震PRA

赤字：設備、運用又は体制の相違（設計方針の相違）  
青字：記載箇所又は記載内容の相違（記載方針の相違）  
緑字：記載表現、設備名称の相違（実質的な相違なし）

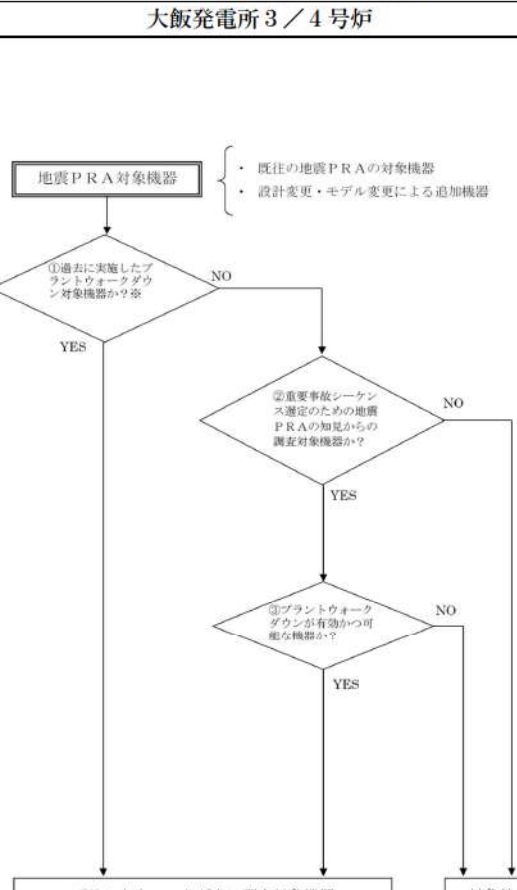
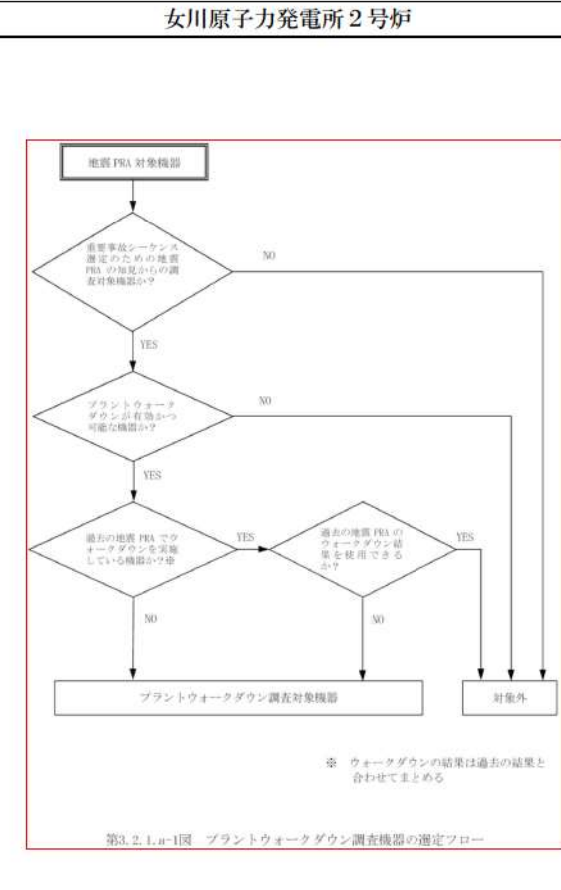
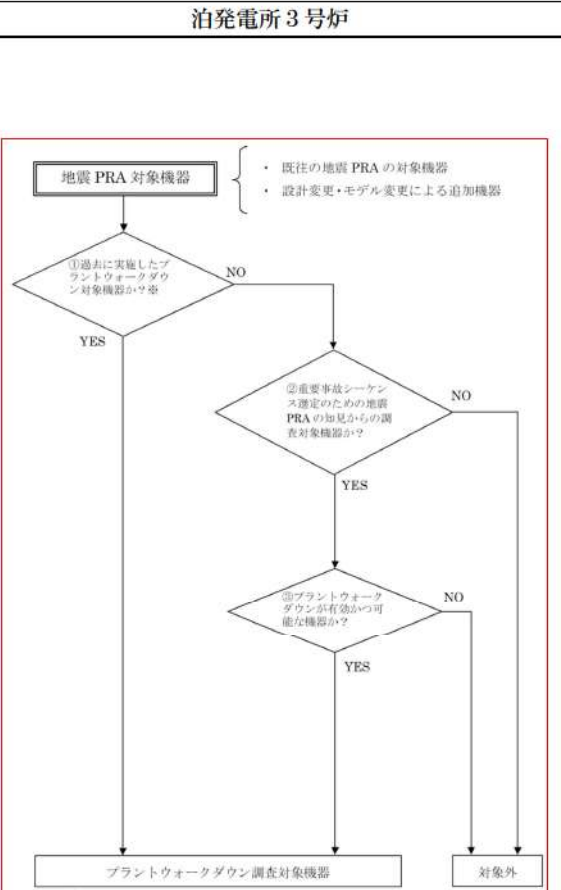
大飯発電所3／4号炉	女川原子力発電所2号炉	泊発電所3号炉	相違理由
<p>第1.2.1-1 図 地震PRAの評価プロロー</p>	<p>第3.2.1-1 図 地震PRA評価プロロー</p>	<p>第3.2.1-1 図 地震PRA評価プロロー</p>	<p>【大飯】</p> <ul style="list-style-type: none"> <li>■ 記載表現の相違</li> <li>・ 女川に記載統一</li> </ul>

泊発電所3号炉 有効性評価 比較表

赤字：設備、運用又は体制の相違（設計方針の相違）  
 青字：記載箇所又は記載内容の相違（記載方針の相違）  
 緑字：記載表現、設備名称の相違（実質的な相違なし）

第37条 付録1 事故シーケンスグループ及び重要事故シーケンス等の選定について

別添3. レベル1PRA 3.2 外部事象 3.2.1 地震PRA

大飯発電所3／4号炉	女川原子力発電所2号炉	泊発電所3号炉	相違理由
 <p>※次ページ参照</p>	 <p>※ ウォークダウンの結果は過去の結果と合わせてまとめる</p> <p>第3.2.1.a-1図 プラントウォークダウン調査機器の選定フロー</p>	 <p>※次ページ参照</p> <p>第3.2.1.a-1図 プラントウォークダウン調査機器の選定フロー (1/2)</p>	<p><b>【女川】</b></p> <p>■個別評価による相違</p> <ul style="list-style-type: none"> <li>過去にプラントウォークダウンを実施済みの機器のスクリーニングの扱いが異なるが、実質的な相違はない</li> </ul>

泊発電所3号炉 有効性評価 比較表

赤字：設備、運用又は体制の相違（設計方針の相違）  
 青字：記載箇所又は記載内容の相違（記載方針の相違）  
 緑字：記載表現、設備名称の相違（実質的な相違なし）

第37条 付録1 事故シーケンスグループ及び重要事故シーケンス等の選定について

別添3. レベル1PRA 3.2 外部事象 3.2.1 地震PRA

大飯発電所3／4号炉	女川原子力発電所2号炉	泊発電所3号炉	相違理由
<p>①プラントウォークダウンが有効かつ可能な機器か？</p> <p>②既往の地震PRA以降に新たに追加された機器のうち、耐力が大きい機器か？</p> <p>③既往の地震PRA以降に新たに追加された機器か？</p> <p>④当該機器の機能を確認する上で現地操作が必要か？</p> <p>⑤重要度の観点から安全上重要な機器か？</p> <p>⑥当該機器の地震による損傷で直接か心拍傷に至るか？</p>		<p>①プラントウォークダウンが有効かつ可能な機器か？</p> <p>②既往の地震PRA以降に新たに追加された機器のうち、耐力が大きい機器か？</p> <p>③既往の地震PRA以降に新たに追加された機器か？</p> <p>④当該機器の機能を達成する上で現地操作が必要か？</p> <p>⑤重要度の観点から安全上重要な機器か？</p> <p>⑥当該機器の地震による損傷で直接か心拍傷に至るか？</p>	<p>【女川】</p> <p>■記載方針の相違</p> <ul style="list-style-type: none"> <li>・過去に実施したプラントウォークダウンの機器の選定フローを参考として記載しており、女川に記載がないため大飯と比較する</li> </ul>

第1.2.1.a-1図 プラントウォークダウン調査機器の選定フロー(2/2)

第3.2.1.a-1図 プラントウォークダウン調査機器の選定フロー(2/2)

## 泊発電所3号炉 有効性評価 比較表

赤字：設備、運用又は体制の相違（設計方針の相違）  
 青字：記載箇所又は記載内容の相違（記載方針の相違）  
 緑字：記載表現、設備名称の相違（実質的な相違なし）

第37条 付録1 事故シーケンスグループ及び重要事故シーケンス等の選定について

別添3. レベル1PRA 3.2 外部事象 3.2.1 地震PRA

大飯発電所3／4号炉	女川原子力発電所2号炉	泊発電所3号炉	相違理由																																															
<p>大飯3号炉及び4号炉 プラントウォークダウンチェックシート</p> <p>機器名称: 原子炉捕撃冷却水冷却器 耐震クラス: S 機器ID: C01 床EL: -7.0m 区画: 付.C.2.2-1 形状: 橢円筒形 支持タイプ: 基礎ボルト 通り芯: 付.C.2.2-1 二次的影響を考慮する設備: 周辺配管 アクセス性(ルート: 付.C.2.3-9, 12) 系統図番号: 付.C.2.3-9, 12 機器配置図番号: 付.C.2.3-1</p> <p>モデル化の前提条件(リカバリー条件の概要) / ロジック 条件① 条件② ・ ・</p> <p>【チェック対象項目】 A) 耐震安全性の確認(二次的影響について) <input checked="" type="checkbox"/> B) リカバリー操作の確認 <input type="checkbox"/> C) モデル化の前提条件の確認 <input type="checkbox"/></p> <p>総合評価(モデルへの反映方法、取り扱いについての記載) ・地震PRAとして特記事項なし。</p> <p>実施日: 2013年3月7日 実施者: _____</p> <p>第1.2.1.a-2図 プラントウォークダウン結果 (1/5)</p>	<p>女川原子力発電所2号機 タコタグラン・チェックシート(機器用) 点検日: 平成26年5月26日 点検者: _____</p> <p>点検対象機器名: 1460V原子炉建屋 RCC 2D-4 機器番号: IR24-P111 設置場所: 製造者: 重芝 No. 点検項目 評価 A B C 備考(指摘箇所等)</p> <table border="1"> <tbody> <tr> <td>1 当該機器の耐震性</td> <td colspan="3"></td> </tr> <tr> <td>a 基礎ボルト、取付ボルトに緩み、抜けがないか</td> <td>-</td> <td colspan="2">ベース埋設式の為、確認不可</td> </tr> <tr> <td>b サポート、金物、溶接部に腐食、割れ、浮上り等がないか</td> <td>○</td> <td colspan="2"></td> </tr> <tr> <td>c 基礎部コンクリートに剥離がないか</td> <td>○</td> <td colspan="2"></td> </tr> <tr> <td>d その他、耐震性に関する問題点はないか</td> <td>○</td> <td colspan="2"></td> </tr> <tr> <td>2 当該設備近傍の耐震B、Cクラス設備の有無 ある場合その設備名</td> <td>(なし)</td> <td>(あり)</td> <td>(ありの場合の直欄)</td> </tr> <tr> <td>3 上記設備の被及影響の観点からの確認</td> <td colspan="3"></td> </tr> <tr> <td>a 基礎ボルト、取付ボルトに緩み、抜けがないか</td> <td>-</td> <td>-</td> <td>-</td> </tr> <tr> <td>b サポート、金物、溶接部に腐食、割れ、浮上り等がないか</td> <td>-</td> <td>-</td> <td>-</td> </tr> <tr> <td>c 基礎部コンクリートに剥離がないか</td> <td>-</td> <td>-</td> <td>-</td> </tr> <tr> <td>d その他、耐震性に関する問題点はないか</td> <td>-</td> <td>-</td> <td>-</td> </tr> <tr> <td>コメント:</td> <td colspan="3"></td> </tr> </tbody> </table> <p>&lt;注記&gt; 評価A ... 問題なし 評価B ... 詳細な検討評価を要する 評価C ... 耐震性に問題がある</p> <p>第3.2.1.a-2図 プラントウォークダウン調査機器のチェックリスト (1/2)</p>	1 当該機器の耐震性				a 基礎ボルト、取付ボルトに緩み、抜けがないか	-	ベース埋設式の為、確認不可		b サポート、金物、溶接部に腐食、割れ、浮上り等がないか	○			c 基礎部コンクリートに剥離がないか	○			d その他、耐震性に関する問題点はないか	○			2 当該設備近傍の耐震B、Cクラス設備の有無 ある場合その設備名	(なし)	(あり)	(ありの場合の直欄)	3 上記設備の被及影響の観点からの確認				a 基礎ボルト、取付ボルトに緩み、抜けがないか	-	-	-	b サポート、金物、溶接部に腐食、割れ、浮上り等がないか	-	-	-	c 基礎部コンクリートに剥離がないか	-	-	-	d その他、耐震性に関する問題点はないか	-	-	-	コメント:				<p>泊発電所3号機 プラントウォークダウンチェックシート</p> <p>機器名称: 全熱除去ポンプ 耐震クラス: S 機器ID: 3RH01A,B 床EL: -1.7M 区画: 添付2(Page2-7) 参照 形状: 橫置ポンプラウザ形 支持タイプ: 基礎ボルト 通り芯: 添付2(Page2-7) 参照 二次的影響を考慮する設備: なし アクセス性(ルート: 付.C.2.3-6) 系統図番号: 添付3(Page3-6) 参照 機器配置図番号: 添付2(Page2-7) 参照</p> <p>モデル化の前提条件(リカバリー条件の概要) / ロジック 条件①</p> <p>【チェック対象項目】 A) 耐震安全性の確認 <input checked="" type="checkbox"/> B) リカバリー操作の確認 <input type="checkbox"/> C) モデル化の前提条件の確認 <input type="checkbox"/></p> <p>総合評価(モデルへの反映方法、取り扱いについての記載) 問題となる箇所は特に見当たらなかった。 (特記事項なし)</p> <p>実施日: 2013年1月16日 実施者: _____</p> <p>第3.2.1.a-2図 プラントウォークダウンの評価結果の例 (1/6)</p>
1 当該機器の耐震性																																																		
a 基礎ボルト、取付ボルトに緩み、抜けがないか	-	ベース埋設式の為、確認不可																																																
b サポート、金物、溶接部に腐食、割れ、浮上り等がないか	○																																																	
c 基礎部コンクリートに剥離がないか	○																																																	
d その他、耐震性に関する問題点はないか	○																																																	
2 当該設備近傍の耐震B、Cクラス設備の有無 ある場合その設備名	(なし)	(あり)	(ありの場合の直欄)																																															
3 上記設備の被及影響の観点からの確認																																																		
a 基礎ボルト、取付ボルトに緩み、抜けがないか	-	-	-																																															
b サポート、金物、溶接部に腐食、割れ、浮上り等がないか	-	-	-																																															
c 基礎部コンクリートに剥離がないか	-	-	-																																															
d その他、耐震性に関する問題点はないか	-	-	-																																															
コメント:																																																		

## 泊発電所3号炉 有効性評価 比較表

赤字：設備、運用又は体制の相違（設計方針の相違）  
 青字：記載箇所又は記載内容の相違（記載方針の相違）  
 緑字：記載表現、設備名称の相違（実質的な相違なし）

第37条 付録1 事故シーケンスグループ及び重要事故シーケンス等の選定について

別添3. レベル1PRA 3.2 外部事象 3.2.1 地震PRA

大飯発電所3／4号炉	女川原子力発電所2号炉	泊発電所3号炉	相違理由																																																																																																																																																						
<p>機器ID : CCH</p> <p>A) 耐震安全性の確認 対象機器本体の評価</p> <table border="1"> <thead> <tr> <th></th><th>Y</th><th>N</th><th>U</th><th>N/A</th></tr> </thead> <tbody> <tr> <td>1. 対象機器の前面（外形図・耐震計算書等）と外見上相違点は無い</td><td><input checked="" type="checkbox"/></td><td><input type="checkbox"/></td><td><input type="checkbox"/></td><td><input type="checkbox"/></td></tr> <tr> <td>2. 対象機器と支持構造物との接合部に外見上の異常（腐食・亀裂等）は無い</td><td><input checked="" type="checkbox"/></td><td><input type="checkbox"/></td><td><input type="checkbox"/></td><td><input type="checkbox"/></td></tr> <tr> <td>3. 配管接合部と前面に外見上の相違点は無い</td><td><input checked="" type="checkbox"/></td><td><input type="checkbox"/></td><td><input type="checkbox"/></td><td><input type="checkbox"/></td></tr> <tr> <td>4. 配管接合部に外見上の異常（腐食・亀裂等）は無い</td><td><input checked="" type="checkbox"/></td><td><input type="checkbox"/></td><td><input type="checkbox"/></td><td><input type="checkbox"/></td></tr> </tbody> </table> <p>アンカーボルト評価</p> <table border="1"> <thead> <tr> <th></th><th>Y</th><th>N</th><th>U</th><th>N/A</th></tr> </thead> <tbody> <tr> <td>1. 前面（外形図・耐震計算書等）と外見上の相違は無い</td><td><input checked="" type="checkbox"/></td><td><input type="checkbox"/></td><td><input type="checkbox"/></td><td><input type="checkbox"/></td></tr> <tr> <td>2. 外見上の異常（腐食・亀裂等）は無い</td><td><input checked="" type="checkbox"/></td><td><input type="checkbox"/></td><td><input type="checkbox"/></td><td><input type="checkbox"/></td></tr> <tr> <td>3. 縮め付け強度は適切に管理されている（管理要領書等で確認）</td><td><input checked="" type="checkbox"/></td><td><input type="checkbox"/></td><td><input type="checkbox"/></td><td><input type="checkbox"/></td></tr> </tbody> </table> <p>二次的影響について</p> <table border="1"> <thead> <tr> <th></th><th>Y</th><th>N</th><th>U</th><th>N/A</th></tr> </thead> <tbody> <tr> <td>1. 周辺の耐震クラスが低い機器の倒壊により被害を受けない</td><td><input checked="" type="checkbox"/></td><td><input type="checkbox"/></td><td><input type="checkbox"/></td><td><input type="checkbox"/></td></tr> <tr> <td>2. 倒壊により被害を与える周辺の機器の耐震性は問題ない（対象機器本体の評価に準じた評価）</td><td><input type="checkbox"/></td><td><input type="checkbox"/></td><td><input type="checkbox"/></td><td><input type="checkbox"/></td></tr> <tr> <td>3. 無筋のブロック壁が近傍にない</td><td><input checked="" type="checkbox"/></td><td><input type="checkbox"/></td><td><input type="checkbox"/></td><td><input type="checkbox"/></td></tr> <tr> <td>4. 周辺機器の損傷時、周辺機器の保有水による影響はない</td><td><input checked="" type="checkbox"/></td><td><input type="checkbox"/></td><td><input type="checkbox"/></td><td><input type="checkbox"/></td></tr> <tr> <td>5. 周辺に仮置の火災源はない</td><td><input checked="" type="checkbox"/></td><td><input type="checkbox"/></td><td><input type="checkbox"/></td><td><input type="checkbox"/></td></tr> </tbody> </table> <p>二次的影響についての気づき事項を記載</p> <ul style="list-style-type: none"> <li>地震PRAとして特記事項なし。</li> </ul> <p>(記号の説明) Y: YES, N: NO, U: 調査不可, N/A: 対象外</p> <p>第1.2.1.a-2図 プラントウォークダウン結果 (2/5)</p>		Y	N	U	N/A	1. 対象機器の前面（外形図・耐震計算書等）と外見上相違点は無い	<input checked="" type="checkbox"/>	<input type="checkbox"/>	<input type="checkbox"/>	<input type="checkbox"/>	2. 対象機器と支持構造物との接合部に外見上の異常（腐食・亀裂等）は無い	<input checked="" type="checkbox"/>	<input type="checkbox"/>	<input type="checkbox"/>	<input type="checkbox"/>	3. 配管接合部と前面に外見上の相違点は無い	<input checked="" type="checkbox"/>	<input type="checkbox"/>	<input type="checkbox"/>	<input type="checkbox"/>	4. 配管接合部に外見上の異常（腐食・亀裂等）は無い	<input checked="" type="checkbox"/>	<input type="checkbox"/>	<input type="checkbox"/>	<input type="checkbox"/>		Y	N	U	N/A	1. 前面（外形図・耐震計算書等）と外見上の相違は無い	<input checked="" type="checkbox"/>	<input type="checkbox"/>	<input type="checkbox"/>	<input type="checkbox"/>	2. 外見上の異常（腐食・亀裂等）は無い	<input checked="" type="checkbox"/>	<input type="checkbox"/>	<input type="checkbox"/>	<input type="checkbox"/>	3. 縮め付け強度は適切に管理されている（管理要領書等で確認）	<input checked="" type="checkbox"/>	<input type="checkbox"/>	<input type="checkbox"/>	<input type="checkbox"/>		Y	N	U	N/A	1. 周辺の耐震クラスが低い機器の倒壊により被害を受けない	<input checked="" type="checkbox"/>	<input type="checkbox"/>	<input type="checkbox"/>	<input type="checkbox"/>	2. 倒壊により被害を与える周辺の機器の耐震性は問題ない（対象機器本体の評価に準じた評価）	<input type="checkbox"/>	<input type="checkbox"/>	<input type="checkbox"/>	<input type="checkbox"/>	3. 無筋のブロック壁が近傍にない	<input checked="" type="checkbox"/>	<input type="checkbox"/>	<input type="checkbox"/>	<input type="checkbox"/>	4. 周辺機器の損傷時、周辺機器の保有水による影響はない	<input checked="" type="checkbox"/>	<input type="checkbox"/>	<input type="checkbox"/>	<input type="checkbox"/>	5. 周辺に仮置の火災源はない	<input checked="" type="checkbox"/>	<input type="checkbox"/>	<input type="checkbox"/>	<input type="checkbox"/>	<p>機器ID : E24-P111</p> <p>女川原子力発電所2号機 クイックチェック・チェックシート（メモ用）</p> <p>点検対象機器名 : 460W原子炉建屋 MCC 2D-4 機器番号 : E24-P111</p> <p>設置場所 : 建屋 製造者 : 東芝</p> <p>現場点検概略図・写真</p>  <p>第3.2.1.a-2図 プラントウォークダウン調査機器のチェックリスト (2/2)</p>	<p>機器ID : 3RHPIA,B</p> <p>A) 耐震安全性の確認 対象機器本体の評価</p> <table border="1"> <thead> <tr> <th></th><th>Y</th><th>N</th><th>U</th><th>N/A</th></tr> </thead> <tbody> <tr> <td>1. 対象機器の前面（外形図・耐震計算書等）と外見上相違点は無い</td><td><input checked="" type="checkbox"/></td><td><input type="checkbox"/></td><td><input type="checkbox"/></td><td><input type="checkbox"/></td></tr> <tr> <td>2. 対象機器と支持構造物との接合部に外見上の異常（腐食・亀裂等）は無い</td><td><input type="checkbox"/></td><td><input type="checkbox"/></td><td><input type="checkbox"/></td><td><input checked="" type="checkbox"/></td></tr> <tr> <td>3. 配管接合部と前面に外見上の相違点は無い</td><td><input checked="" type="checkbox"/></td><td><input type="checkbox"/></td><td><input type="checkbox"/></td><td><input type="checkbox"/></td></tr> <tr> <td>4. 配管接合部に外見上の異常（腐食・亀裂等）は無い</td><td><input checked="" type="checkbox"/></td><td><input type="checkbox"/></td><td><input type="checkbox"/></td><td><input type="checkbox"/></td></tr> </tbody> </table> <p>アンカーボルト評価</p> <table border="1"> <thead> <tr> <th></th><th>Y</th><th>N</th><th>U</th><th>N/A</th></tr> </thead> <tbody> <tr> <td>1. 前面（外形図・耐震計算書等）と外見上の相違は無い</td><td><input checked="" type="checkbox"/></td><td><input type="checkbox"/></td><td><input type="checkbox"/></td><td><input type="checkbox"/></td></tr> <tr> <td>2. 外見上の異常（腐食・亀裂等）は無い</td><td><input checked="" type="checkbox"/></td><td><input type="checkbox"/></td><td><input type="checkbox"/></td><td><input type="checkbox"/></td></tr> <tr> <td>3. 縮め付け強度は適切に管理されている（管理要領書等で確認）</td><td><input checked="" type="checkbox"/></td><td><input type="checkbox"/></td><td><input type="checkbox"/></td><td><input type="checkbox"/></td></tr> </tbody> </table> <p>二次的影響について</p> <table border="1"> <thead> <tr> <th></th><th>Y</th><th>N</th><th>U</th><th>N/A</th></tr> </thead> <tbody> <tr> <td>1. 周辺の耐震クラスが低い機器の倒壊により被害を受けない</td><td><input checked="" type="checkbox"/></td><td><input type="checkbox"/></td><td><input type="checkbox"/></td><td><input type="checkbox"/></td></tr> <tr> <td>2. 倒壊により被害を与える周辺の機器の耐震性は問題ない（対象機器本体の評価に準じた評価）</td><td><input type="checkbox"/></td><td><input type="checkbox"/></td><td><input type="checkbox"/></td><td><input type="checkbox"/></td></tr> <tr> <td>3. 無筋のブロック壁が近傍にない</td><td><input checked="" type="checkbox"/></td><td><input type="checkbox"/></td><td><input type="checkbox"/></td><td><input type="checkbox"/></td></tr> <tr> <td>4. 周辺機器の損傷時、周辺機器の保有水による影響はない</td><td><input type="checkbox"/></td><td><input type="checkbox"/></td><td><input type="checkbox"/></td><td><input type="checkbox"/></td></tr> <tr> <td>5. 周辺に仮置の火災源はない</td><td><input checked="" type="checkbox"/></td><td><input type="checkbox"/></td><td><input type="checkbox"/></td><td><input type="checkbox"/></td></tr> </tbody> </table> <p>(記号の説明) Y: YES, N: NO, U: 調査不可, N/A: 対象外</p> <p>第3.2.1.a-2図 プラントウォークダウンの評価結果の例 (2/6)</p>		Y	N	U	N/A	1. 対象機器の前面（外形図・耐震計算書等）と外見上相違点は無い	<input checked="" type="checkbox"/>	<input type="checkbox"/>	<input type="checkbox"/>	<input type="checkbox"/>	2. 対象機器と支持構造物との接合部に外見上の異常（腐食・亀裂等）は無い	<input type="checkbox"/>	<input type="checkbox"/>	<input type="checkbox"/>	<input checked="" type="checkbox"/>	3. 配管接合部と前面に外見上の相違点は無い	<input checked="" type="checkbox"/>	<input type="checkbox"/>	<input type="checkbox"/>	<input type="checkbox"/>	4. 配管接合部に外見上の異常（腐食・亀裂等）は無い	<input checked="" type="checkbox"/>	<input type="checkbox"/>	<input type="checkbox"/>	<input type="checkbox"/>		Y	N	U	N/A	1. 前面（外形図・耐震計算書等）と外見上の相違は無い	<input checked="" type="checkbox"/>	<input type="checkbox"/>	<input type="checkbox"/>	<input type="checkbox"/>	2. 外見上の異常（腐食・亀裂等）は無い	<input checked="" type="checkbox"/>	<input type="checkbox"/>	<input type="checkbox"/>	<input type="checkbox"/>	3. 縮め付け強度は適切に管理されている（管理要領書等で確認）	<input checked="" type="checkbox"/>	<input type="checkbox"/>	<input type="checkbox"/>	<input type="checkbox"/>		Y	N	U	N/A	1. 周辺の耐震クラスが低い機器の倒壊により被害を受けない	<input checked="" type="checkbox"/>	<input type="checkbox"/>	<input type="checkbox"/>	<input type="checkbox"/>	2. 倒壊により被害を与える周辺の機器の耐震性は問題ない（対象機器本体の評価に準じた評価）	<input type="checkbox"/>	<input type="checkbox"/>	<input type="checkbox"/>	<input type="checkbox"/>	3. 無筋のブロック壁が近傍にない	<input checked="" type="checkbox"/>	<input type="checkbox"/>	<input type="checkbox"/>	<input type="checkbox"/>	4. 周辺機器の損傷時、周辺機器の保有水による影響はない	<input type="checkbox"/>	<input type="checkbox"/>	<input type="checkbox"/>	<input type="checkbox"/>	5. 周辺に仮置の火災源はない	<input checked="" type="checkbox"/>	<input type="checkbox"/>	<input type="checkbox"/>	<input type="checkbox"/>	<p>【大飯】 ■名称の相違 ・サンプルとして選定した機器が異なる</p> <p>【女川】 ■個別評価による相違 ・プラントウォークダウンで実際に使用したチェックシートが異なるが、いずれも学会標準に則って実施している</p>
	Y	N	U	N/A																																																																																																																																																					
1. 対象機器の前面（外形図・耐震計算書等）と外見上相違点は無い	<input checked="" type="checkbox"/>	<input type="checkbox"/>	<input type="checkbox"/>	<input type="checkbox"/>																																																																																																																																																					
2. 対象機器と支持構造物との接合部に外見上の異常（腐食・亀裂等）は無い	<input checked="" type="checkbox"/>	<input type="checkbox"/>	<input type="checkbox"/>	<input type="checkbox"/>																																																																																																																																																					
3. 配管接合部と前面に外見上の相違点は無い	<input checked="" type="checkbox"/>	<input type="checkbox"/>	<input type="checkbox"/>	<input type="checkbox"/>																																																																																																																																																					
4. 配管接合部に外見上の異常（腐食・亀裂等）は無い	<input checked="" type="checkbox"/>	<input type="checkbox"/>	<input type="checkbox"/>	<input type="checkbox"/>																																																																																																																																																					
	Y	N	U	N/A																																																																																																																																																					
1. 前面（外形図・耐震計算書等）と外見上の相違は無い	<input checked="" type="checkbox"/>	<input type="checkbox"/>	<input type="checkbox"/>	<input type="checkbox"/>																																																																																																																																																					
2. 外見上の異常（腐食・亀裂等）は無い	<input checked="" type="checkbox"/>	<input type="checkbox"/>	<input type="checkbox"/>	<input type="checkbox"/>																																																																																																																																																					
3. 縮め付け強度は適切に管理されている（管理要領書等で確認）	<input checked="" type="checkbox"/>	<input type="checkbox"/>	<input type="checkbox"/>	<input type="checkbox"/>																																																																																																																																																					
	Y	N	U	N/A																																																																																																																																																					
1. 周辺の耐震クラスが低い機器の倒壊により被害を受けない	<input checked="" type="checkbox"/>	<input type="checkbox"/>	<input type="checkbox"/>	<input type="checkbox"/>																																																																																																																																																					
2. 倒壊により被害を与える周辺の機器の耐震性は問題ない（対象機器本体の評価に準じた評価）	<input type="checkbox"/>	<input type="checkbox"/>	<input type="checkbox"/>	<input type="checkbox"/>																																																																																																																																																					
3. 無筋のブロック壁が近傍にない	<input checked="" type="checkbox"/>	<input type="checkbox"/>	<input type="checkbox"/>	<input type="checkbox"/>																																																																																																																																																					
4. 周辺機器の損傷時、周辺機器の保有水による影響はない	<input checked="" type="checkbox"/>	<input type="checkbox"/>	<input type="checkbox"/>	<input type="checkbox"/>																																																																																																																																																					
5. 周辺に仮置の火災源はない	<input checked="" type="checkbox"/>	<input type="checkbox"/>	<input type="checkbox"/>	<input type="checkbox"/>																																																																																																																																																					
	Y	N	U	N/A																																																																																																																																																					
1. 対象機器の前面（外形図・耐震計算書等）と外見上相違点は無い	<input checked="" type="checkbox"/>	<input type="checkbox"/>	<input type="checkbox"/>	<input type="checkbox"/>																																																																																																																																																					
2. 対象機器と支持構造物との接合部に外見上の異常（腐食・亀裂等）は無い	<input type="checkbox"/>	<input type="checkbox"/>	<input type="checkbox"/>	<input checked="" type="checkbox"/>																																																																																																																																																					
3. 配管接合部と前面に外見上の相違点は無い	<input checked="" type="checkbox"/>	<input type="checkbox"/>	<input type="checkbox"/>	<input type="checkbox"/>																																																																																																																																																					
4. 配管接合部に外見上の異常（腐食・亀裂等）は無い	<input checked="" type="checkbox"/>	<input type="checkbox"/>	<input type="checkbox"/>	<input type="checkbox"/>																																																																																																																																																					
	Y	N	U	N/A																																																																																																																																																					
1. 前面（外形図・耐震計算書等）と外見上の相違は無い	<input checked="" type="checkbox"/>	<input type="checkbox"/>	<input type="checkbox"/>	<input type="checkbox"/>																																																																																																																																																					
2. 外見上の異常（腐食・亀裂等）は無い	<input checked="" type="checkbox"/>	<input type="checkbox"/>	<input type="checkbox"/>	<input type="checkbox"/>																																																																																																																																																					
3. 縮め付け強度は適切に管理されている（管理要領書等で確認）	<input checked="" type="checkbox"/>	<input type="checkbox"/>	<input type="checkbox"/>	<input type="checkbox"/>																																																																																																																																																					
	Y	N	U	N/A																																																																																																																																																					
1. 周辺の耐震クラスが低い機器の倒壊により被害を受けない	<input checked="" type="checkbox"/>	<input type="checkbox"/>	<input type="checkbox"/>	<input type="checkbox"/>																																																																																																																																																					
2. 倒壊により被害を与える周辺の機器の耐震性は問題ない（対象機器本体の評価に準じた評価）	<input type="checkbox"/>	<input type="checkbox"/>	<input type="checkbox"/>	<input type="checkbox"/>																																																																																																																																																					
3. 無筋のブロック壁が近傍にない	<input checked="" type="checkbox"/>	<input type="checkbox"/>	<input type="checkbox"/>	<input type="checkbox"/>																																																																																																																																																					
4. 周辺機器の損傷時、周辺機器の保有水による影響はない	<input type="checkbox"/>	<input type="checkbox"/>	<input type="checkbox"/>	<input type="checkbox"/>																																																																																																																																																					
5. 周辺に仮置の火災源はない	<input checked="" type="checkbox"/>	<input type="checkbox"/>	<input type="checkbox"/>	<input type="checkbox"/>																																																																																																																																																					

## 泊発電所3号炉 有効性評価 比較表

赤字：設備、運用又は体制の相違（設計方針の相違）  
 青字：記載箇所又は記載内容の相違（記載方針の相違）  
 緑字：記載表現、設備名称の相違（実質的な相違なし）

第37条 付録1 事故シーケンスグループ及び重要事故シーケンス等の選定について

別添3. レベル1PRA 3.2 外部事象 3.2.1 地震PRA

大飯発電所3／4号炉	女川原子力発電所2号炉	泊発電所3号炉	相違理由																																																																																																																																															
<p>機器ID : CCH</p> <p>B) リカバリー操作の確認</p> <p>アクセス性</p> <table border="1"> <thead> <tr> <th></th> <th>Y</th> <th>N</th> <th>U</th> <th>N/A</th> </tr> </thead> <tbody> <tr> <td>1. 対象機器の識別が可能である</td> <td><input type="checkbox"/></td> <td><input type="checkbox"/></td> <td><input type="checkbox"/></td> <td><input checked="" type="checkbox"/></td> </tr> <tr> <td>2. 周辺設備からの被害を受けない</td> <td><input type="checkbox"/></td> <td><input type="checkbox"/></td> <td><input type="checkbox"/></td> <td><input checked="" type="checkbox"/></td> </tr> <tr> <td>3. 可動部分のある器具は存在しない</td> <td><input type="checkbox"/></td> <td><input type="checkbox"/></td> <td><input type="checkbox"/></td> <td><input checked="" type="checkbox"/></td> </tr> <tr> <td>4. 近傍の設備の倒壊によりアクセスルートが塞がれる可能性はない</td> <td><input type="checkbox"/></td> <td><input type="checkbox"/></td> <td><input type="checkbox"/></td> <td><input checked="" type="checkbox"/></td> </tr> </tbody> </table> <p>現場操作性</p> <table border="1"> <thead> <tr> <th></th> <th>Y</th> <th>N</th> <th>U</th> <th>N/A</th> </tr> </thead> <tbody> <tr> <td>1. 現場での操作が可能である</td> <td><input type="checkbox"/></td> <td><input type="checkbox"/></td> <td><input type="checkbox"/></td> <td><input checked="" type="checkbox"/></td> </tr> <tr> <td>2. 操作のための場所が確保できる</td> <td><input type="checkbox"/></td> <td><input type="checkbox"/></td> <td><input type="checkbox"/></td> <td><input checked="" type="checkbox"/></td> </tr> <tr> <td>3. 機器の作動状態が確認できる</td> <td><input type="checkbox"/></td> <td><input type="checkbox"/></td> <td><input type="checkbox"/></td> <td><input checked="" type="checkbox"/></td> </tr> </tbody> </table> <p>C) モデル化の前提条件の確認</p> <table border="1"> <thead> <tr> <th></th> <th>Y</th> <th>N</th> <th>U</th> <th>N/A</th> </tr> </thead> <tbody> <tr> <td>1. モデル化の前提条件①が適切である</td> <td><input type="checkbox"/></td> <td><input type="checkbox"/></td> <td><input type="checkbox"/></td> <td><input checked="" type="checkbox"/></td> </tr> <tr> <td>2. モデル化の前提条件①が適切でない場合、モデルの変更を行う</td> <td><input type="checkbox"/></td> <td><input type="checkbox"/></td> <td><input type="checkbox"/></td> <td><input checked="" type="checkbox"/></td> </tr> <tr> <td>3. モデル化の前提条件②が適切である</td> <td><input type="checkbox"/></td> <td><input type="checkbox"/></td> <td><input type="checkbox"/></td> <td><input checked="" type="checkbox"/></td> </tr> <tr> <td>4. モデル化の前提条件②が適切でない場合、モデルの変更を行う</td> <td><input type="checkbox"/></td> <td><input type="checkbox"/></td> <td><input type="checkbox"/></td> <td><input checked="" type="checkbox"/></td> </tr> <tr> <td>.</td> <td></td> <td></td> <td></td> <td></td> </tr> <tr> <td>.</td> <td></td> <td></td> <td></td> <td></td> </tr> <tr> <td>.</td> <td></td> <td></td> <td></td> <td></td> </tr> </tbody> </table> <p>(記号の説明) Y : YES, N : NO, U : 調査不可, N/A : 対象外</p> <p>第1.2.1.a-2図 プラントウォークダウン結果 (3/5)</p>		Y	N	U	N/A	1. 対象機器の識別が可能である	<input type="checkbox"/>	<input type="checkbox"/>	<input type="checkbox"/>	<input checked="" type="checkbox"/>	2. 周辺設備からの被害を受けない	<input type="checkbox"/>	<input type="checkbox"/>	<input type="checkbox"/>	<input checked="" type="checkbox"/>	3. 可動部分のある器具は存在しない	<input type="checkbox"/>	<input type="checkbox"/>	<input type="checkbox"/>	<input checked="" type="checkbox"/>	4. 近傍の設備の倒壊によりアクセスルートが塞がれる可能性はない	<input type="checkbox"/>	<input type="checkbox"/>	<input type="checkbox"/>	<input checked="" type="checkbox"/>		Y	N	U	N/A	1. 現場での操作が可能である	<input type="checkbox"/>	<input type="checkbox"/>	<input type="checkbox"/>	<input checked="" type="checkbox"/>	2. 操作のための場所が確保できる	<input type="checkbox"/>	<input type="checkbox"/>	<input type="checkbox"/>	<input checked="" type="checkbox"/>	3. 機器の作動状態が確認できる	<input type="checkbox"/>	<input type="checkbox"/>	<input type="checkbox"/>	<input checked="" type="checkbox"/>		Y	N	U	N/A	1. モデル化の前提条件①が適切である	<input type="checkbox"/>	<input type="checkbox"/>	<input type="checkbox"/>	<input checked="" type="checkbox"/>	2. モデル化の前提条件①が適切でない場合、モデルの変更を行う	<input type="checkbox"/>	<input type="checkbox"/>	<input type="checkbox"/>	<input checked="" type="checkbox"/>	3. モデル化の前提条件②が適切である	<input type="checkbox"/>	<input type="checkbox"/>	<input type="checkbox"/>	<input checked="" type="checkbox"/>	4. モデル化の前提条件②が適切でない場合、モデルの変更を行う	<input type="checkbox"/>	<input type="checkbox"/>	<input type="checkbox"/>	<input checked="" type="checkbox"/>	.					.					.					<p>機器ID : 3H0P1A,B</p> <p>B) リカバリー操作の確認</p> <p>アクセス性</p> <table border="1"> <thead> <tr> <th></th> <th>Y</th> <th>N</th> <th>U</th> <th>N/A</th> </tr> </thead> <tbody> <tr> <td>1. 対象機器の識別が可能である</td> <td><input type="checkbox"/></td> <td><input type="checkbox"/></td> <td><input type="checkbox"/></td> <td><input checked="" type="checkbox"/></td> </tr> <tr> <td>2. 周辺設備からの被害を受けない</td> <td><input type="checkbox"/></td> <td><input type="checkbox"/></td> <td><input type="checkbox"/></td> <td><input checked="" type="checkbox"/></td> </tr> <tr> <td>3. 可動部分のある器具は存在しない</td> <td><input type="checkbox"/></td> <td><input type="checkbox"/></td> <td><input type="checkbox"/></td> <td><input checked="" type="checkbox"/></td> </tr> <tr> <td>4. 近傍の設備の倒壊によりアクセスルートが塞がれる可能性はない</td> <td><input type="checkbox"/></td> <td><input type="checkbox"/></td> <td><input type="checkbox"/></td> <td><input checked="" type="checkbox"/></td> </tr> </tbody> </table> <p>現場操作性</p> <table border="1"> <thead> <tr> <th></th> <th>Y</th> <th>N</th> <th>U</th> <th>N/A</th> </tr> </thead> <tbody> <tr> <td>1. 現場での操作が可能である</td> <td><input type="checkbox"/></td> <td><input type="checkbox"/></td> <td><input type="checkbox"/></td> <td><input checked="" type="checkbox"/></td> </tr> <tr> <td>2. 操作のための場所が確保できる</td> <td><input type="checkbox"/></td> <td><input type="checkbox"/></td> <td><input type="checkbox"/></td> <td><input checked="" type="checkbox"/></td> </tr> <tr> <td>3. 機器の作動状態が確認できる</td> <td><input type="checkbox"/></td> <td><input type="checkbox"/></td> <td><input type="checkbox"/></td> <td><input checked="" type="checkbox"/></td> </tr> </tbody> </table> <p>C) モデル化の前提条件の確認</p> <table border="1"> <thead> <tr> <th></th> <th>Y</th> <th>N</th> <th>U</th> <th>N/A</th> </tr> </thead> <tbody> <tr> <td>1. モデル化の前提条件①が適切である</td> <td><input type="checkbox"/></td> <td><input type="checkbox"/></td> <td><input type="checkbox"/></td> <td><input checked="" type="checkbox"/></td> </tr> <tr> <td>2. モデル化の前提条件①が適切でない場合、モデルの変更を行う</td> <td><input type="checkbox"/></td> <td><input type="checkbox"/></td> <td><input type="checkbox"/></td> <td><input checked="" type="checkbox"/></td> </tr> </tbody> </table> <p>(記号の説明) Y : YES, N : NO, U : 調査不可, N/A : 対象外</p> <p>第3.2.1.a-2図 プラントウォークダウンの評価結果の例 (3/6)</p>		Y	N	U	N/A	1. 対象機器の識別が可能である	<input type="checkbox"/>	<input type="checkbox"/>	<input type="checkbox"/>	<input checked="" type="checkbox"/>	2. 周辺設備からの被害を受けない	<input type="checkbox"/>	<input type="checkbox"/>	<input type="checkbox"/>	<input checked="" type="checkbox"/>	3. 可動部分のある器具は存在しない	<input type="checkbox"/>	<input type="checkbox"/>	<input type="checkbox"/>	<input checked="" type="checkbox"/>	4. 近傍の設備の倒壊によりアクセスルートが塞がれる可能性はない	<input type="checkbox"/>	<input type="checkbox"/>	<input type="checkbox"/>	<input checked="" type="checkbox"/>		Y	N	U	N/A	1. 現場での操作が可能である	<input type="checkbox"/>	<input type="checkbox"/>	<input type="checkbox"/>	<input checked="" type="checkbox"/>	2. 操作のための場所が確保できる	<input type="checkbox"/>	<input type="checkbox"/>	<input type="checkbox"/>	<input checked="" type="checkbox"/>	3. 機器の作動状態が確認できる	<input type="checkbox"/>	<input type="checkbox"/>	<input type="checkbox"/>	<input checked="" type="checkbox"/>		Y	N	U	N/A	1. モデル化の前提条件①が適切である	<input type="checkbox"/>	<input type="checkbox"/>	<input type="checkbox"/>	<input checked="" type="checkbox"/>	2. モデル化の前提条件①が適切でない場合、モデルの変更を行う	<input type="checkbox"/>	<input type="checkbox"/>	<input type="checkbox"/>	<input checked="" type="checkbox"/>
	Y	N	U	N/A																																																																																																																																														
1. 対象機器の識別が可能である	<input type="checkbox"/>	<input type="checkbox"/>	<input type="checkbox"/>	<input checked="" type="checkbox"/>																																																																																																																																														
2. 周辺設備からの被害を受けない	<input type="checkbox"/>	<input type="checkbox"/>	<input type="checkbox"/>	<input checked="" type="checkbox"/>																																																																																																																																														
3. 可動部分のある器具は存在しない	<input type="checkbox"/>	<input type="checkbox"/>	<input type="checkbox"/>	<input checked="" type="checkbox"/>																																																																																																																																														
4. 近傍の設備の倒壊によりアクセスルートが塞がれる可能性はない	<input type="checkbox"/>	<input type="checkbox"/>	<input type="checkbox"/>	<input checked="" type="checkbox"/>																																																																																																																																														
	Y	N	U	N/A																																																																																																																																														
1. 現場での操作が可能である	<input type="checkbox"/>	<input type="checkbox"/>	<input type="checkbox"/>	<input checked="" type="checkbox"/>																																																																																																																																														
2. 操作のための場所が確保できる	<input type="checkbox"/>	<input type="checkbox"/>	<input type="checkbox"/>	<input checked="" type="checkbox"/>																																																																																																																																														
3. 機器の作動状態が確認できる	<input type="checkbox"/>	<input type="checkbox"/>	<input type="checkbox"/>	<input checked="" type="checkbox"/>																																																																																																																																														
	Y	N	U	N/A																																																																																																																																														
1. モデル化の前提条件①が適切である	<input type="checkbox"/>	<input type="checkbox"/>	<input type="checkbox"/>	<input checked="" type="checkbox"/>																																																																																																																																														
2. モデル化の前提条件①が適切でない場合、モデルの変更を行う	<input type="checkbox"/>	<input type="checkbox"/>	<input type="checkbox"/>	<input checked="" type="checkbox"/>																																																																																																																																														
3. モデル化の前提条件②が適切である	<input type="checkbox"/>	<input type="checkbox"/>	<input type="checkbox"/>	<input checked="" type="checkbox"/>																																																																																																																																														
4. モデル化の前提条件②が適切でない場合、モデルの変更を行う	<input type="checkbox"/>	<input type="checkbox"/>	<input type="checkbox"/>	<input checked="" type="checkbox"/>																																																																																																																																														
.																																																																																																																																																		
.																																																																																																																																																		
.																																																																																																																																																		
	Y	N	U	N/A																																																																																																																																														
1. 対象機器の識別が可能である	<input type="checkbox"/>	<input type="checkbox"/>	<input type="checkbox"/>	<input checked="" type="checkbox"/>																																																																																																																																														
2. 周辺設備からの被害を受けない	<input type="checkbox"/>	<input type="checkbox"/>	<input type="checkbox"/>	<input checked="" type="checkbox"/>																																																																																																																																														
3. 可動部分のある器具は存在しない	<input type="checkbox"/>	<input type="checkbox"/>	<input type="checkbox"/>	<input checked="" type="checkbox"/>																																																																																																																																														
4. 近傍の設備の倒壊によりアクセスルートが塞がれる可能性はない	<input type="checkbox"/>	<input type="checkbox"/>	<input type="checkbox"/>	<input checked="" type="checkbox"/>																																																																																																																																														
	Y	N	U	N/A																																																																																																																																														
1. 現場での操作が可能である	<input type="checkbox"/>	<input type="checkbox"/>	<input type="checkbox"/>	<input checked="" type="checkbox"/>																																																																																																																																														
2. 操作のための場所が確保できる	<input type="checkbox"/>	<input type="checkbox"/>	<input type="checkbox"/>	<input checked="" type="checkbox"/>																																																																																																																																														
3. 機器の作動状態が確認できる	<input type="checkbox"/>	<input type="checkbox"/>	<input type="checkbox"/>	<input checked="" type="checkbox"/>																																																																																																																																														
	Y	N	U	N/A																																																																																																																																														
1. モデル化の前提条件①が適切である	<input type="checkbox"/>	<input type="checkbox"/>	<input type="checkbox"/>	<input checked="" type="checkbox"/>																																																																																																																																														
2. モデル化の前提条件①が適切でない場合、モデルの変更を行う	<input type="checkbox"/>	<input type="checkbox"/>	<input type="checkbox"/>	<input checked="" type="checkbox"/>																																																																																																																																														

## 泊発電所3号炉 有効性評価 比較表

赤字：設備、運用又は体制の相違（設計方針の相違）  
 青字：記載箇所又は記載内容の相違（記載方針の相違）  
 緑字：記載表現、設備名称の相違（実質的な相違なし）

第37条 付録1 事故シーケンスグループ及び重要事故シーケンス等の選定について

別添3. レベル1PRA 3.2 外部事象 3.2.1 地震PRA

大飯発電所3／4号炉	女川原子力発電所2号炉	泊発電所3号炉	相違理由
 原子炉補機冷却水冷却器A（3号炉）		 余熱除去ポンプ 名称	<p>【大飯】</p> <ul style="list-style-type: none"> <li>■名称の相違</li> <li>・サンプルとして選定した機器が異なる</li> </ul>
 原子炉補機冷却水冷却器B（3号炉）		 余熱除去ポンプ 外観	<p>【女川】</p> <ul style="list-style-type: none"> <li>■個別評価による相違</li> <li>・プラントウォークダウンで実際に使用したチェックシートが異なるが、いずれも学会標準に則って実施している</li> </ul>

第1.2.1.a-2図 プラントウォークダウン結果（4/5）

第3.2.1.a-2図 プラントウォークダウンの評価結果の例（4/6）

## 泊発電所3号炉 有効性評価 比較表

第37条 付録1 事故シーケンスグループ及び重要事故シーケンス等の選定について  
別添3. レベル1PRA 3.2 外部事象 3.2.1 地震PRA

赤字：設備、運用又は体制の相違（設計方針の相違）  
青字：記載箇所又は記載内容の相違（記載方針の相違）  
緑字：記載表現、設備名称の相違（実質的な相違なし）

大飯発電所3／4号炉	女川原子力発電所2号炉	泊発電所3号炉	相違理由
 <p>原子炉補機冷却水冷却器A（4号炉）</p>  <p>原子炉補機冷却水冷却器B（4号炉）</p> <p>第1.2.1.a-2図 プラントウォークダウン結果（5/5）</p>		 <p>余熱除去ポンプ 据付部</p>  <p>余熱除去ポンプ 周辺状況</p> <p>第3.2.1.a-2図 プラントウォークダウンの評価結果の例（5/6）</p>	<p>【大飯】</p> <ul style="list-style-type: none"> <li>■名称の相違</li> <li>・サンプルとして選定した機器が異なる</li> </ul> <p>【女川】</p> <ul style="list-style-type: none"> <li>■個別評価による相違</li> <li>・プラントウォークダウンで実際に使用したチェックシートが異なるが、いずれも学会標準に則って実施している</li> </ul>

## 泊発電所3号炉 有効性評価 比較表

赤字：設備、運用又は体制の相違（設計方針の相違）  
 青字：記載箇所又は記載内容の相違（記載方針の相違）  
 緑字：記載表現、設備名称の相違（実質的な相違なし）

第37条 付録1 事故シーケンスグループ及び重要事故シーケンス等の選定について

別添 3. レベル1PRA 3.2 外部事象 3.2.1 地震 PRA

大飯発電所3／4号炉	女川原子力発電所2号炉	泊発電所3号炉	相違理由
		 <p>余熱除去ポンプ 配管周辺部</p> <p>第3.2.1.a-2図 プラントウォークダウンの評価結果の例 (6/6)</p>	<p>【大飯】</p> <ul style="list-style-type: none"> <li>■名称の相違                     <ul style="list-style-type: none"> <li>・サンプルとして選定した機器が異なる</li> </ul> </li> </ul> <p>【女川】</p> <ul style="list-style-type: none"> <li>■個別評価による相違                     <ul style="list-style-type: none"> <li>・プラントウォークダウンで実際に使用したチェックシートが異なるが、いずれも学会標準に則って実施している</li> </ul> </li> </ul>

泊発電所 3号炉 有効性評価 比較表

### 第37条 付録1 事故シーケンスグループ及び重要事故シーケンス等の選定について 別添3. レベル1PRA 3.2 外部事象 3.2.1 地震 PRA

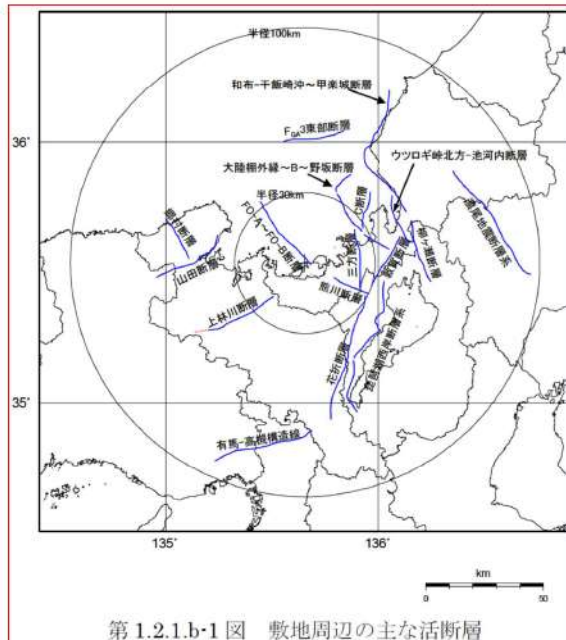
**赤字**: 設備、運用又は体制の相違（設計方針の相違）  
**青字**: 記載箇所又は記載内容の相違（記載方針の相違）  
**緑字**: 記載表現、設備名称の相違（実質的な相違なし）

泊発電所 3号炉 有効性評価 比較表

### 第37条 付録1 事故シーケンスグループ及び重要事故シーケンス等の選定について 別添3. レベル1PRA 3.2 外部事象 3.2.1 地震 PRA

**赤字**: 設備、運用又は体制の相違（設計方針の相違）  
**青字**: 記載箇所又は記載内容の相違（記載方針の相違）  
**緑字**: 記載表現、設備名称の相違（実質的な相違なし）

大飯発電所3／4号炉



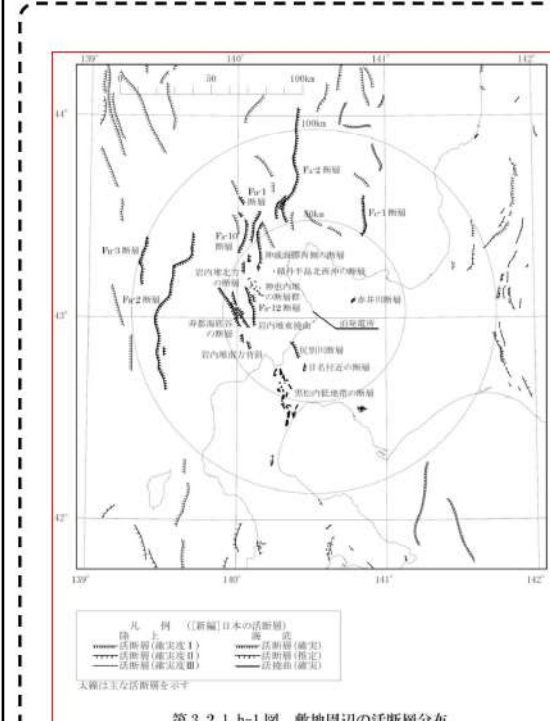
### 第1.2.1.b-1図 敷地周辺の主な活断層

女川原子力発電所 2号炉



第3.2.1.b-1図 敷地周辺の主な活断層分布

泊発電所3号炉



### 第3.2.1.b-1図 敷地周辺の活断層分布

### 相違理由

- 個別評価による相違
    - ・地震発生様式等が異なることから、地震ハザード評価が異なる

追而【地震ハザード評価結果を反映】

泊発電所3号炉 有効性評価 比較表

第37条 付録1 事故シーケンスグループ及び重要事故シーケンス等の選定について  
別添3. レベル1PRA 3.2 外部事象 3.2.1 地震PRA

赤字：設備、運用又は体制の相違（設計方針の相違）  
青字：記載箇所又は記載内容の相違（記載方針の相違）  
緑字：記載表現、設備名称の相違（実質的な相違なし）

大飯発電所3／4号炉	女川原子力発電所2号炉	泊発電所3号炉	相違理由
<p>第1.2.1.b-2図 萩原(1991)及び垣見他(1993)による領域区分</p> <p>第1.2.1.b-2図 萩原(1991)による地震地体構造区分図</p>	<p>内陸地盤内地震</p> <p>海岸ブレート内地震</p> <p>プレート間地震</p> <p>※①宮城県沖・三陸沖南部海溝寄り ②三陸沖中部 ③福島県沖 ④東北陸域太平洋ブレート内</p> <p>第3.2.1-b-2図 設定した領域区分と最大マグニチュード</p>	<p>第3.2.1-b-2図 (1/2) 萩原(1991)による領域区分</p> <p>第3.2.1-b-2図 (2/2) 堀見ほか(2003)による領域区分</p> <p>追而【地震ハザード評価結果を反映】</p>	<p>【女川】</p> <p>■個別評価による相違</p> <ul style="list-style-type: none"> <li>・地震発生様式等が異なることから、地震ハザード評価が異なる。(大飯と同様)</li> </ul>

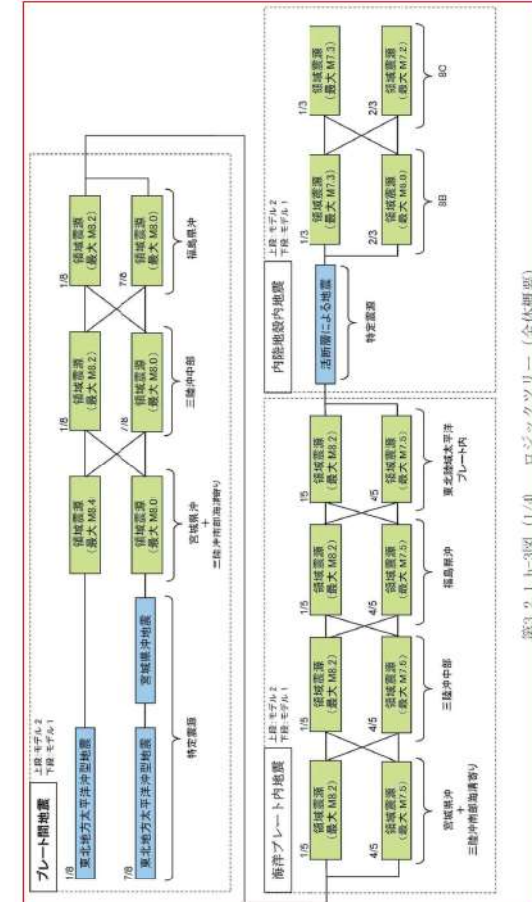
泊発電所3号炉 有効性評価 比較表

第37条 付録1 事故シーケンスグループ及び重要事故シーケンス等の選定について  
別添3. レベル1PRA 3.2 外部事象 3.2.1 地震PRA

赤字：設備、運用又は体制の相違（設計方針の相違）  
青字：記載箇所又は記載内容の相違（記載方針の相違）  
緑字：記載表現、設備名称の相違（実質的な相違なし）

大飯発電所3／4号炉	女川原子力発電所2号炉	泊発電所3号炉	相違理由
			<p><b>【女川】【大飯】</b></p> <p>■個別評価による相違</p> <ul style="list-style-type: none"> <li>・地震発生様式等が異なることから、地震ハザード評価が異なる</li> </ul>

第1.2.1-b-3図 設定したロジックツリー



第3.2.1-b-3図 (1/4) ロジックツリー (全体概要)



追而【地震ハザード評価結果を反映】

泊発電所3号炉 有効性評価 比較表

第37条 付録1 事故シーケンスグループ及び重要事故シーケンス等の選定について  
別添3. レベル1PRA 3.2 外部事象 3.2.1 地震PRA

赤字：設備、運用又は体制の相違（設計方針の相違）  
青字：記載箇所又は記載内容の相違（記載方針の相違）  
緑字：記載表現、設備名称の相違（実質的な相違なし）

大飯発電所3／4号炉	女川原子力発電所2号炉	泊発電所3号炉	相違理由
<p>震源 W=0.5 上端深さ W=0.25 傾斜角 W=1/3 アスペリティ位置 W=0.2 地震規模 W=0.5 距離減衰式 W=0.5</p> <p>第1.2.1.b-4図 ロジックツリーを設定した主要な活断層 (FO-A ~ FO-B 断層)</p>	<p>震源 W=0.5 上端深さ W=1/3 傾斜角 W=75° アスペリティ位置 W=0.2 地震規模 W=0.5 距離減衰式 W=0.5</p> <p>第1.2.1.b-4図 ロジックツリーを設定した主要な活断層 (FO-A ~ FO-B 断層)</p>	<p>【女川】【大飯】 ■個別評価による相違 ・地震発生様式等が異なることから、地震ハザード評価が異なる</p>	

泊発電所 3号炉 有効性評価 比較表

第37条 付録1 事故シーケンスグループ及び重要事故シーケンス等の選定について  
別添3. レベル1PRA 3.2 外部事象 3.2.1 地震 PRA

**赤字**：設備、運用又は体制の相違（設計方針の相違）  
**青字**：記載箇所又は記載内容の相違（記載方針の相違）  
**緑字**：記載表現、設備名称の相違（実質的な相違なし）

泊発電所 3号炉 有効性評価 比較表

第37条 付録1 事故シーケンスグループ及び重要事故シーケンス等の選定について  
別添3. レベル1PRA 3.2 外部事象 3.2.1 地震 PRA

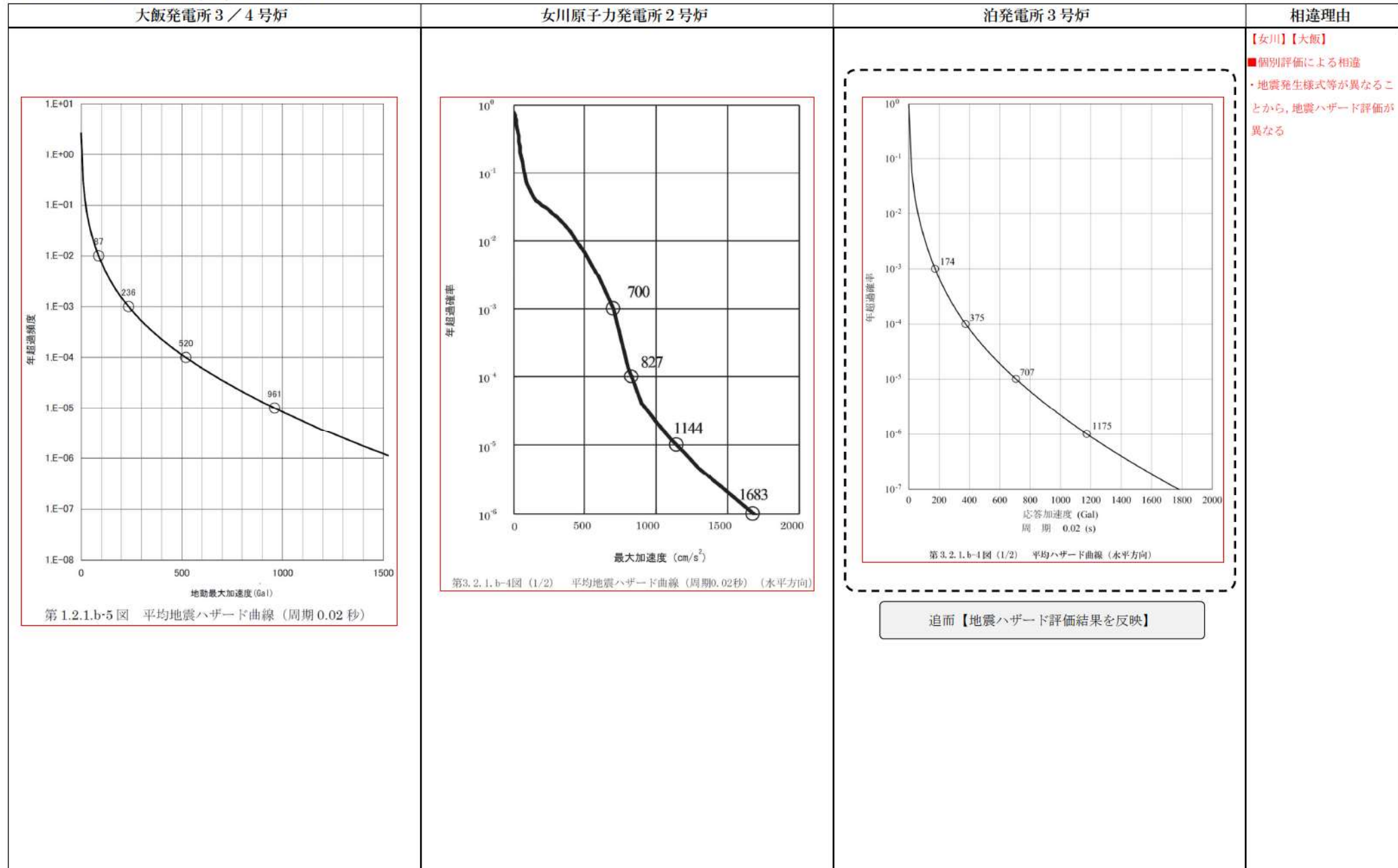
**赤字**：設備、運用又は体制の相違（設計方針の相違）  
**青字**：記載箇所又は記載内容の相違（記載方針の相違）  
**緑字**：記載表現、設備名称の相違（実質的な相違なし）

大飯発電所3／4号炉	女川原子力発電所2号炉	泊発電所3号炉	相違理由
<p>地盤像</p> <p>出力下での活動 W=1/2 地震と活動</p> <p>発生確率 W=1/2</p> <p>地震動面 W=1/2 0.1外筒補正式</p> <p>ばらつき 0.45±1 0.45±1 0.45±1</p> <p>※1 ばらつきは、自然災害想定震度にて想定 ※2 黒川新田 2005に基づき算定</p> <p>第3.2.1.b-3図(4.4) ロジックツリー（内陸地盤内地盤の特定期間）</p>	<p>地盤像</p> <p>出力下での活動 W=1/2 地震と活動</p> <p>発生確率 W=1/2</p> <p>地震動面 W=1/2 0.1外筒補正式</p> <p>ばらつき 0.45±1 0.45±1 0.45±1</p> <p>※1 ばらつきは、自然災害想定震度にて想定 ※2 黒川新田 2005に基づき算定</p> <p>第3.2.1.b-3図(4.4) ロジックツリー（内陸地盤内地盤の特定期間）</p>	<p>地盤像</p> <p>内陸地盤内地盤 W=2/3 Noda et al. (2002) 内陸補正あり</p> <p>日本海東縁部の地震 W=1/2 Noda et al. (2002) 観測記録による補正あり</p> <p>ばらつき 0.53</p> <p>内陸地盤内地盤 W=1/3 Noda et al. (2002) 内陸補正なし</p> <p>日本海東縁部の地震 W=1/2 Noda et al. (2002) 観測記録による補正なし</p> <p>追而【地震ハザード評価結果を反映】</p>	<p>■女川】【大飯】</p> <p>■個別評価による相違</p> <ul style="list-style-type: none"> <li>・地震発生様式等が異なることから、地震ハザード評価が異なる</li> </ul>

泊発電所3号炉 有効性評価 比較表

赤字：設備、運用又は体制の相違（設計方針の相違）  
 青字：記載箇所又は記載内容の相違（記載方針の相違）  
 緑字：記載表現、設備名称の相違（実質的な相違なし）

第37条 付録1 事故シーケンスグループ及び重要事故シーケンス等の選定について  
 別添3. レベル1PRA 3.2 外部事象 3.2.1 地震PRA



## 泊発電所3号炉 有効性評価 比較表

赤字：設備、運用又は体制の相違（設計方針の相違）  
 青字：記載箇所又は記載内容の相違（記載方針の相違）  
 緑字：記載表現、設備名称の相違（実質的な相違なし）

第37条 付録1 事故シーケンスグループ及び重要事故シーケンス等の選定について

別添 3. レベル1PRA 3.2 外部事象 3.2.1 地震PRA

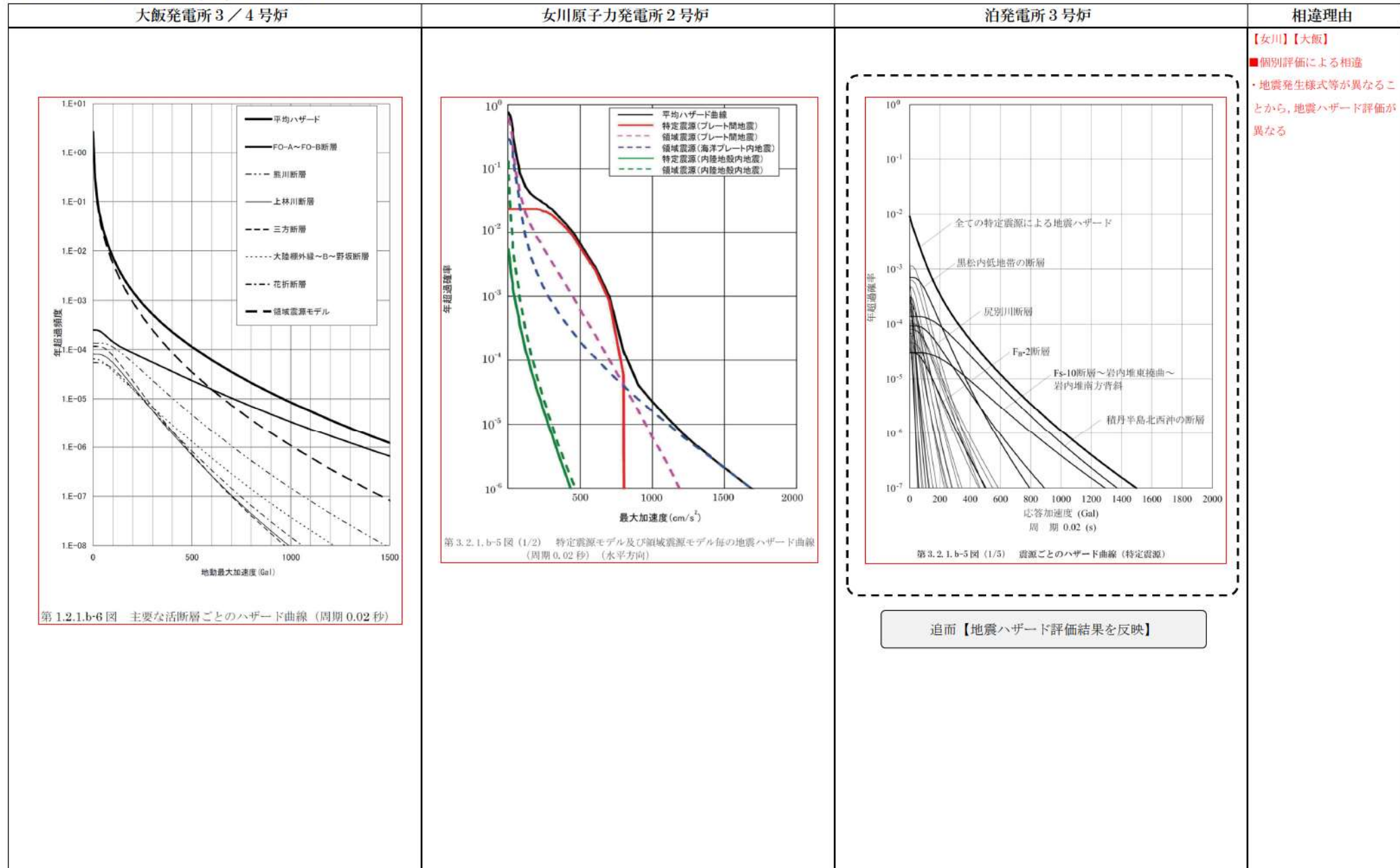
大飯発電所3／4号炉	女川原子力発電所2号炉	泊発電所3号炉	相違理由
	<p>年超過確率</p> <p>最大加速度 (<math>\text{cm}/\text{s}^2</math>)</p> <p>第3.2.1.b-4 図 (2/2) 平均地震ハザード曲線 (周期 0.02 秒) (鉛直方向)</p>	<p>年超過確率</p> <p>応答加速度 (Gal)</p> <p>周 期 0.02 (s)</p> <p>第3.2.1.b-4 図 (2/2) 平均ハザード曲線 (鉛直方向)</p>	<p>【大飯】</p> <ul style="list-style-type: none"> <li>■記載方針の相違                     <ul style="list-style-type: none"> <li>・女川の実績反映のため、鉛直方向のハザード曲線も記載している</li> </ul> </li> </ul> <p>【女川】【大飯】</p> <ul style="list-style-type: none"> <li>■個別評価による相違                     <ul style="list-style-type: none"> <li>・地震発生様式等が異なることから、地震ハザード評価が異なる</li> </ul> </li> </ul>

追而【地震ハザード評価結果を反映】

泊発電所3号炉 有効性評価 比較表

赤字：設備、運用又は体制の相違（設計方針の相違）  
 青字：記載箇所又は記載内容の相違（記載方針の相違）  
 緑字：記載表現、設備名称の相違（実質的な相違なし）

第37条 付録1 事故シーケンスグループ及び重要事故シーケンス等の選定について  
 別添3. レベル1PRA 3.2 外部事象 3.2.1 地震PRA



追而【地震ハザード評価結果を反映】

泊発電所3号炉 有効性評価 比較表

赤字：設備、運用又は体制の相違（設計方針の相違）  
 青字：記載箇所又は記載内容の相違（記載方針の相違）  
 緑字：記載表現、設備名称の相違（実質的な相違なし）

第37条 付録1 事故シーケンスグループ及び重要事故シーケンス等の選定について  
 別添3 レベル1PRA 3.2 外部事象 3.2.1 地震PRA

大飯発電所3／4号炉	女川原子力発電所2号炉	泊発電所3号炉	相違理由
	<p>第3.2.1.b-5図(2/2) 特定震源モデル及び領域震源モデル毎の地震ハザード曲線      (周期 0.02秒) (鉛直方向)</p>	<p>第3.2.1.b-5図(2/5) 震源ごとのハザード曲線      (萩原(1991)に基づく領域震源)</p>	<p>【女川】【大飯】      ■個別評価による相違      ・地震発生様式等が異なることから、地震ハザード評価が異なる</p> <p>追而【地震ハザード評価結果を反映】</p>

## 泊発電所3号炉 有効性評価 比較表

第37条 付録1 事故シーケンスグループ及び重要事故シーケンス等の選定について  
別添3 レベル1PRA 3.2 外部事象 3.2.1 地震PRA

赤字：設備、運用又は体制の相違（設計方針の相違）  
青字：記載箇所又は記載内容の相違（記載方針の相違）  
緑字：記載表現、設備名称の相違（実質的な相違なし）

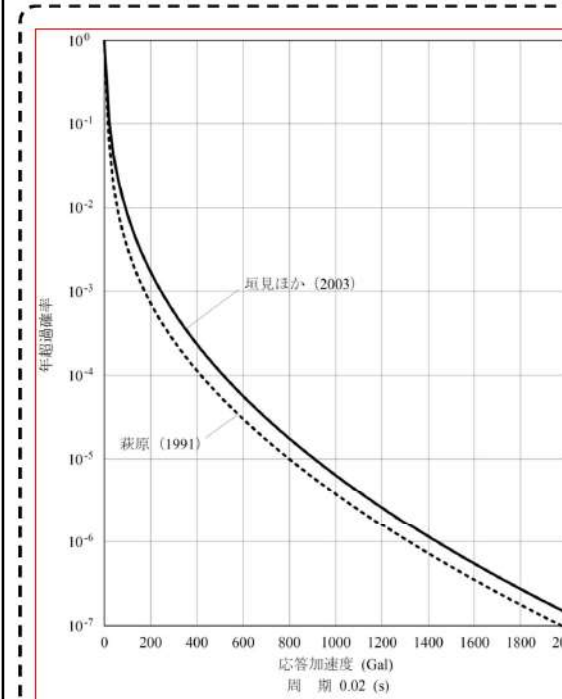
大飯発電所3／4号炉	女川原子力発電所2号炉	泊発電所3号炉	相違理由
		<p>第3.2.1.b-5図(3/5) 震源ごとのハザード曲線 (垣見ほか(2003)に基づく領域震源)</p> <p>追而【地震ハザード評価結果を反映】</p>	<p>【女川】【大飯】</p> <p>■個別評価による相違</p> <ul style="list-style-type: none"> <li>・地震発生様式等が異なることから、地震ハザード評価が異なる</li> </ul>

## 泊発電所3号炉 有効性評価 比較表

赤字：設備、運用又は体制の相違（設計方針の相違）  
 青字：記載箇所又は記載内容の相違（記載方針の相違）  
 緑字：記載表現、設備名称の相違（実質的な相違なし）

第37条 付録1 事故シーケンスグループ及び重要事故シーケンス等の選定について

別添 3. レベル1PRA 3.2 外部事象 3.2.1 地震PRA

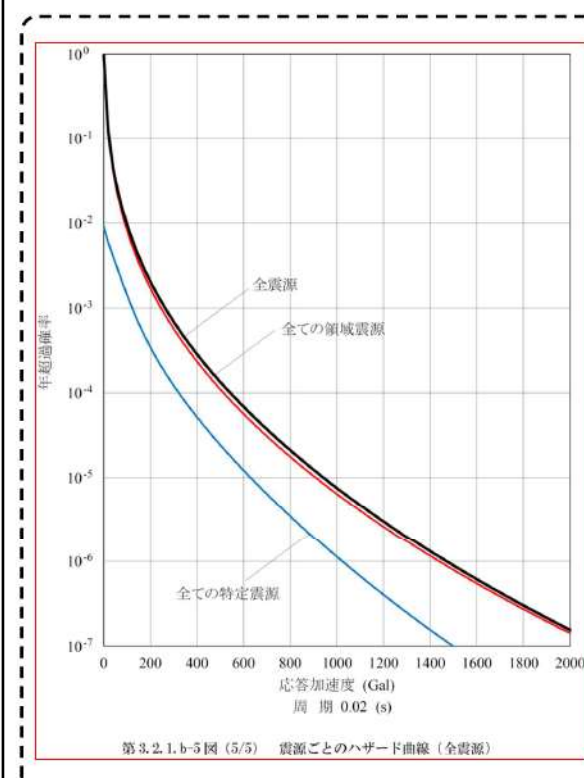
大飯発電所3／4号炉	女川原子力発電所2号炉	泊発電所3号炉	相違理由
		 <p>第3.2.1.b-5図 (4/5) 震源ごとのハザード曲線（領域震源）</p> <div style="border: 1px solid black; padding: 5px; width: fit-content;">                 追而【地震ハザード評価結果を反映】             </div>	<p>【女川】【大飯】          ■個別評価による相違          ・地震発生様式等が異なることから、地震ハザード評価が異なる</p>

## 泊発電所3号炉 有効性評価 比較表

赤字：設備、運用又は体制の相違（設計方針の相違）  
 青字：記載箇所又は記載内容の相違（記載方針の相違）  
 緑字：記載表現、設備名称の相違（実質的な相違なし）

第37条 付録1 事故シーケンスグループ及び重要事故シーケンス等の選定について

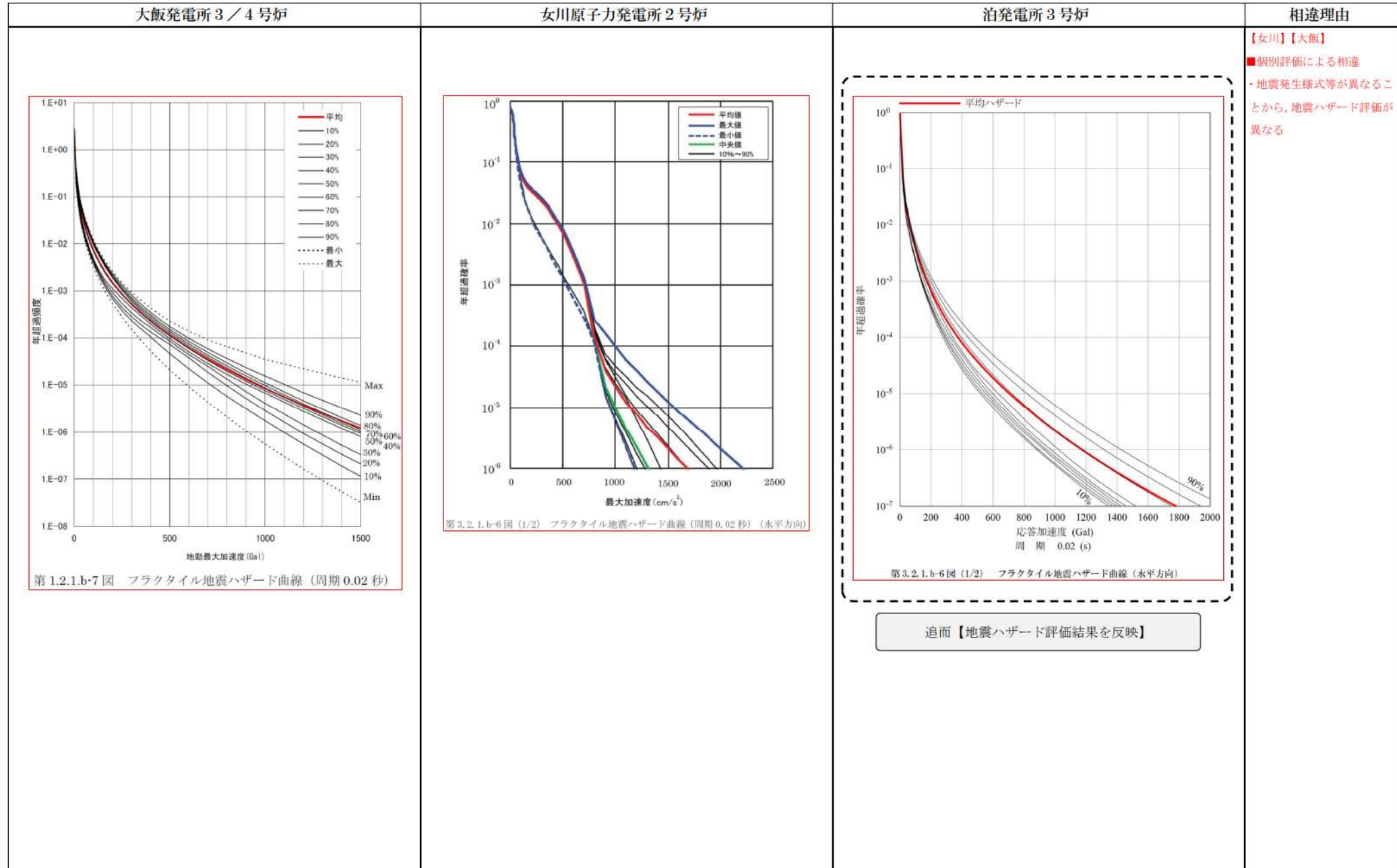
別添 3. レベル1PRA 3.2 外部事象 3.2.1 地震PRA

大飯発電所3／4号炉	女川原子力発電所2号炉	泊発電所3号炉	相違理由
		 <p>第3.2.1.b-5図(5/5) 地震ごとのハザード曲線(全震源)</p> <p>追而【地震ハザード評価結果を反映】</p>	<p>【女川】【大飯】</p> <p>■個別評価による相違</p> <ul style="list-style-type: none"> <li>・地震発生様式等が異なることから、地震ハザード評価が異なる</li> </ul>

泊発電所3号炉 有効性評価 比較表

赤字：設備、運用又は体制の相違（設計方針の相違）  
 青字：記載箇所又は記載内容の相違（記載方針の相違）  
 緑字：記載表現、設備名称の相違（実質的な相違なし）

第37条 付録1 事故シーケンスグループ及び重要事故シーケンス等の選定について  
 別添3. レベル1PRA 3.2 外部事象 3.2.1 地震PRA



泊発電所3号炉 有効性評価 比較表

赤字：設備、運用又は体制の相違（設計方針の相違）  
 青字：記載箇所又は記載内容の相違（記載方針の相違）  
 緑字：記載表現、設備名称の相違（実質的な相違なし）

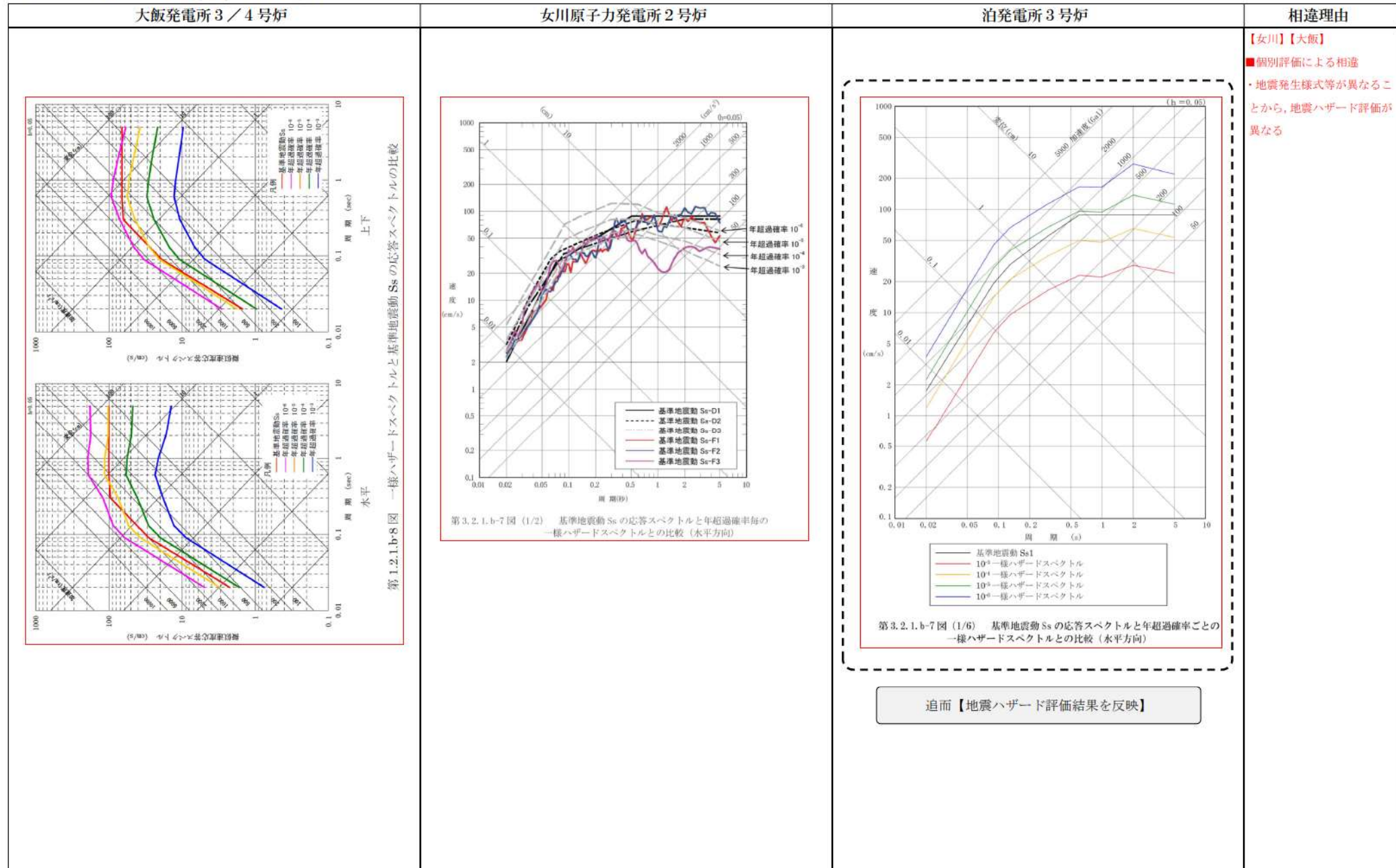
第37条 付録1 事故シーケンスグループ及び重要事故シーケンス等の選定について  
 別添3 レベル1PRA 3.2 外部事象 3.2.1 地震PRA

大飯発電所3／4号炉	女川原子力発電所2号炉	泊発電所3号炉	相違理由
	<p>女川原子力発電所2号炉</p> <p>第3.2.1.b-6図(2/2) フラクタイル地震ハザード曲線 (周期0.02秒) (鉛直方向)</p>	<p>泊発電所3号炉</p> <p>第3.2.1.b-6図(2/2) フラクタイル地震ハザード曲線 (鉛直方向)</p> <p>追而【地震ハザード評価結果を反映】</p>	<p>【大飯】</p> <ul style="list-style-type: none"> <li>■記載方針の相違                     <ul style="list-style-type: none"> <li>・女川の実績反映のため、鉛直方向のハザード曲線も記載している</li> </ul> </li> </ul> <p>【女川】【大飯】</p> <ul style="list-style-type: none"> <li>■個別評価による相違                     <ul style="list-style-type: none"> <li>・地震発生様式等が異なることから、地震ハザード評価が異なる</li> </ul> </li> </ul>

泊発電所3号炉 有効性評価 比較表

赤字：設備、運用又は体制の相違（設計方針の相違）  
 青字：記載箇所又は記載内容の相違（記載方針の相違）  
 緑字：記載表現、設備名称の相違（実質的な相違なし）

第37条 付録1 事故シーケンスグループ及び重要事故シーケンス等の選定について  
 別添3. レベル1PRA 3.2 外部事象 3.2.1 地震PRA



泊発電所3号炉 有効性評価 比較表

赤字：設備、運用又は体制の相違（設計方針の相違）  
 青字：記載箇所又は記載内容の相違（記載方針の相違）  
 緑字：記載表現、設備名称の相違（実質的な相違なし）

第37条 付録1 事故シーケンスグループ及び重要事故シーケンス等の選定について  
 別添3. レベル1PRA 3.2 外部事象 3.2.1 地震PRA

大飯発電所3／4号炉	女川原子力発電所2号炉	泊発電所3号炉	相違理由
	<p>第3.2.1.b-7図(2/2) 基準地震動Ssの応答スペクトルと年超過確率毎の一様ハザードスペクトルとの比較(鉛直方向)</p>	<p>第3.2.1.b-7図(2/6) 基準地震動Ssの応答スペクトルと年超過確率ごとの一様ハザードスペクトルとの比較(鉛直方向)</p>	<p>【女川】【大飯】      ■個別評価による相違      ・地震発生様式等が異なることから、地震ハザード評価が異なる</p>

追而【地震ハザード評価結果を反映】

## 泊発電所3号炉 有効性評価 比較表

第37条 付録1 事故シーケンスグループ及び重要事故シーケンス等の選定について  
別添3. レベル1PRA 3.2 外部事象 3.2.1 地震PRA

赤字：設備、運用又は体制の相違（設計方針の相違）  
青字：記載箇所又は記載内容の相違（記載方針の相違）  
緑字：記載表現、設備名称の相違（実質的な相違なし）

大飯発電所3／4号炉	女川原子力発電所2号炉	泊発電所3号炉	相違理由
		<p>赤字：設備、運用又は体制の相違（設計方針の相違） ■個別評価による相違 ・地震発生様式等が異なることから、地震ハザード評価が異なる</p> <p>第3.2.1.b-7図(3/6) 基準地震動Ssの応答スペクトルと年超過確率ごとの一様ハザードスペクトルとの比較（水平方向）</p> <p>追而【地震ハザード評価結果を反映】</p>	<p>【女川】【大飯】</p> <p>■個別評価による相違</p> <ul style="list-style-type: none"> <li>・地震発生様式等が異なることから、地震ハザード評価が異なる</li> </ul>

## 泊発電所3号炉 有効性評価 比較表

第37条 付録1 事故シーケンスグループ及び重要事故シーケンス等の選定について  
別添3. レベル1PRA 3.2 外部事象 3.2.1 地震PRA

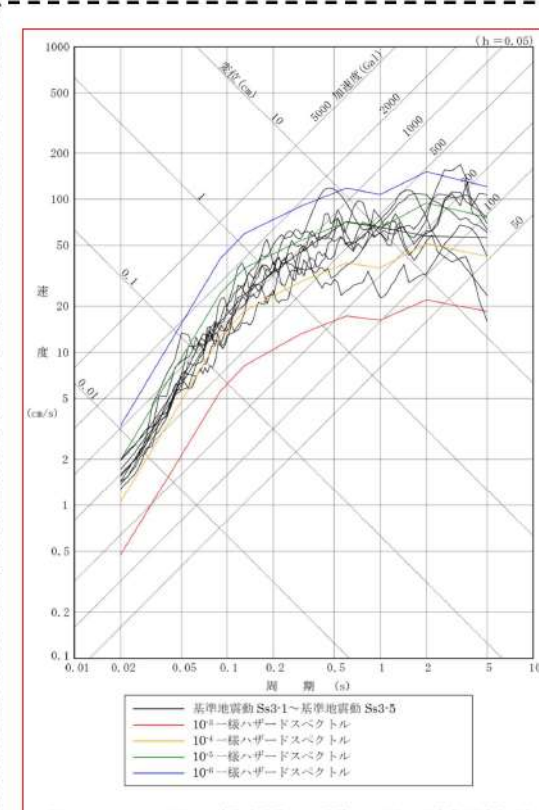
赤字：設備、運用又は体制の相違（設計方針の相違）  
青字：記載箇所又は記載内容の相違（記載方針の相違）  
緑字：記載表現、設備名称の相違（実質的な相違なし）

大飯発電所3／4号炉	女川原子力発電所2号炉	泊発電所3号炉	相違理由
		<p>第3.2.1.b-7図(4/6) 基準地震動Ssの応答スペクトルと年超過確率ごとの 一致ハザードスペクトルとの比較(鉛直方向)</p> <p>追而【地震ハザード評価結果を反映】</p>	<p>【女川】【大飯】</p> <p>■個別評価による相違</p> <ul style="list-style-type: none"> <li>・地震発生様式等が異なることから、地震ハザード評価が異なる</li> </ul>

## 泊発電所3号炉 有効性評価 比較表

第37条 付録1 事故シーケンスグループ及び重要事故シーケンス等の選定について  
別添3. レベル1PRA 3.2 外部事象 3.2.1 地震PRA

赤字：設備、運用又は体制の相違（設計方針の相違）  
青字：記載箇所又は記載内容の相違（記載方針の相違）  
緑字：記載表現、設備名称の相違（実質的な相違なし）

大飯発電所3／4号炉	女川原子力発電所2号炉	泊発電所3号炉	相違理由
		 <p>第3.2.1.b-7図(5/6) 基準地震動Ssの応答スペクトルと年超過確率ごとの 一様ハザードスペクトル(領域震源)との比較(水平方向)</p> <div style="border: 1px solid black; padding: 5px; margin-top: 10px;"> <p>追而【地震ハザード評価結果を反映】</p> </div>	<p>【女川】【大飯】        ■個別評価による相違        ・地震発生様式等が異なることから、地震ハザード評価が異なる</p>

## 泊発電所3号炉 有効性評価 比較表

赤字：設備、運用又は体制の相違（設計方針の相違）  
 青字：記載箇所又は記載内容の相違（記載方針の相違）  
 緑字：記載表現、設備名称の相違（実質的な相違なし）

第37条 付録1 事故シーケンスグループ及び重要事故シーケンス等の選定について

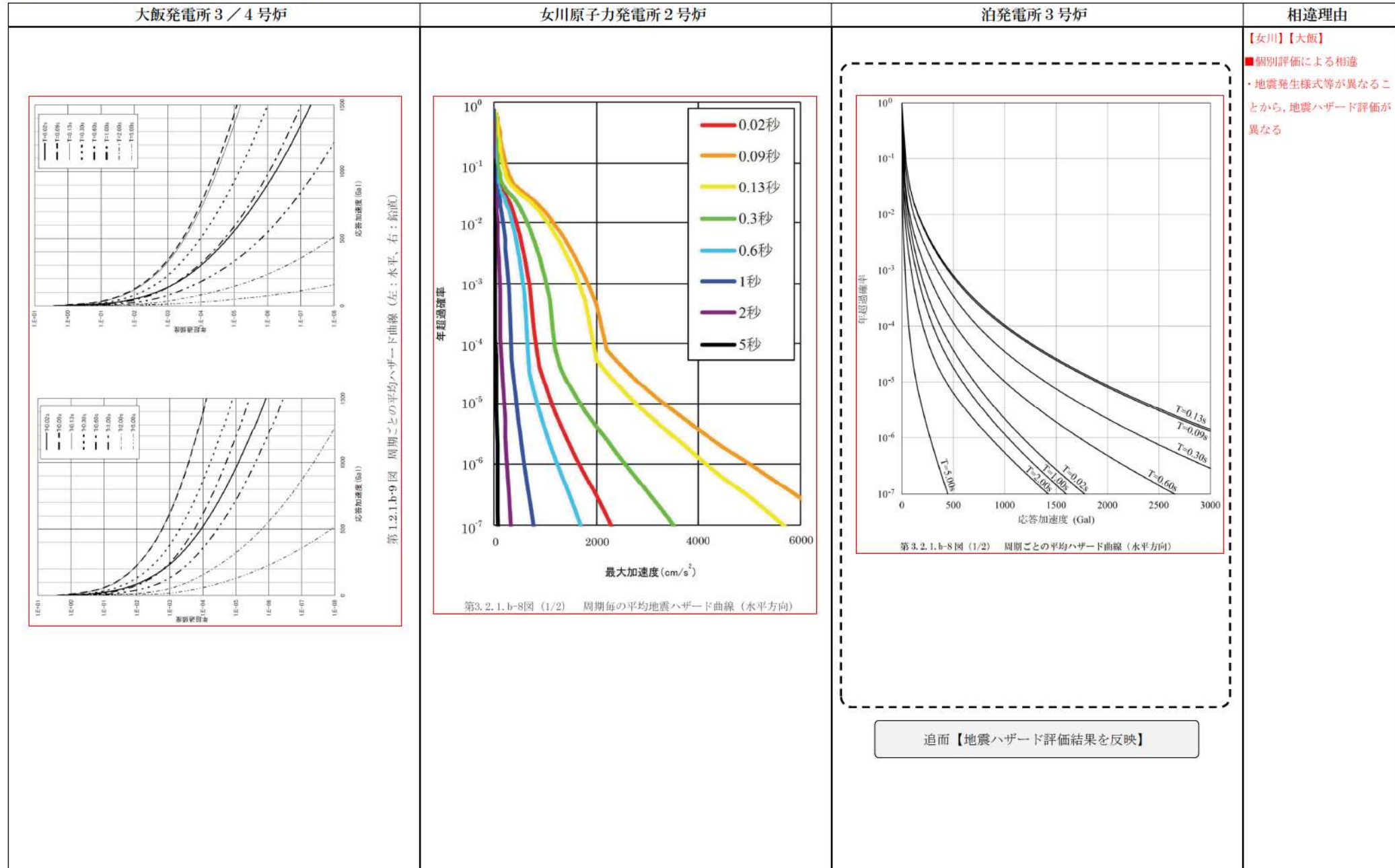
別添 3. レベル1PRA 3.2 外部事象 3.2.1 地震PRA

大飯発電所3／4号炉	女川原子力発電所2号炉	泊発電所3号炉	相違理由
		<p>第3.2.1.b-7図(6/6) 基準地震動Ssの応答スペクトルと年超過確率ごとの 一様ハザードスペクトル（領域震源）との比較（鉛直方向）</p> <p>追而【地震ハザード評価結果を反映】</p>	<p>【女川】【大飯】</p> <p>■個別評価による相違</p> <ul style="list-style-type: none"> <li>・地震発生様式等が異なることから、地震ハザード評価が異なる</li> </ul>

泊発電所3号炉 有効性評価 比較表

赤字：設備、運用又は体制の相違（設計方針の相違）  
 青字：記載箇所又は記載内容の相違（記載方針の相違）  
 緑字：記載表現、設備名称の相違（実質的な相違なし）

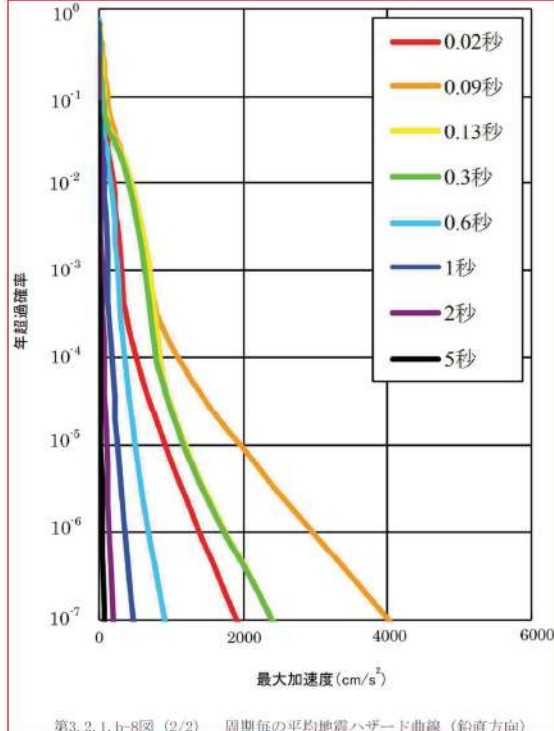
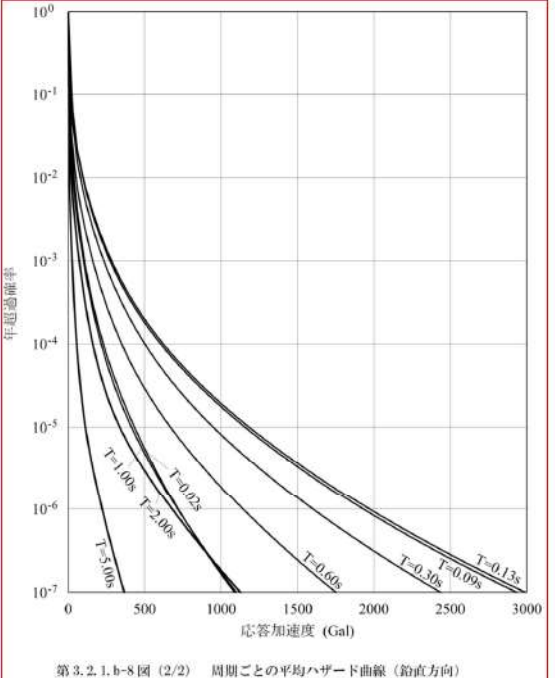
第37条 付録1 事故シーケンスグループ及び重要事故シーケンス等の選定について  
 別添3. レベル1PRA 3.2 外部事象 3.2.1 地震PRA



泊発電所3号炉 有効性評価 比較表

赤字：設備、運用又は体制の相違（設計方針の相違）  
 青字：記載箇所又は記載内容の相違（記載方針の相違）  
 緑字：記載表現、設備名称の相違（実質的な相違なし）

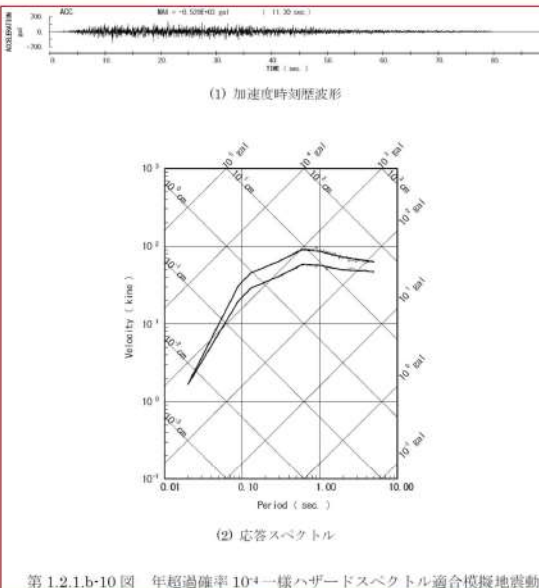
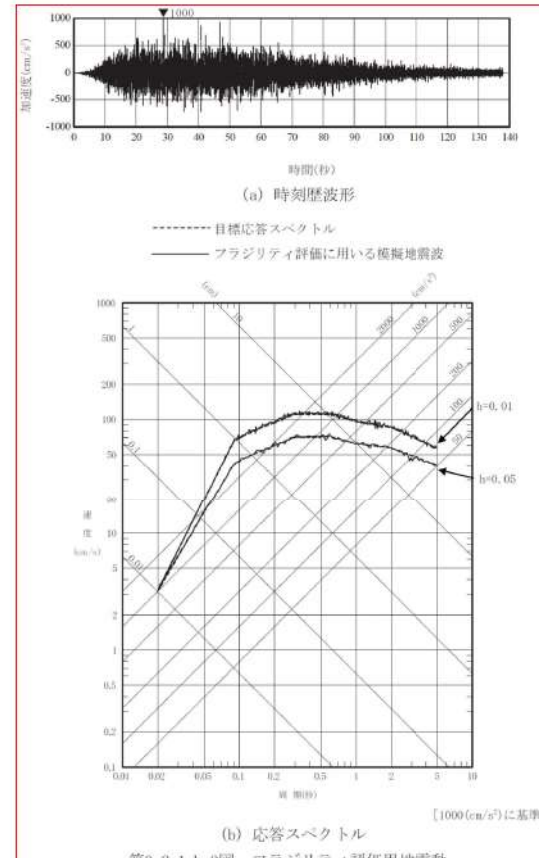
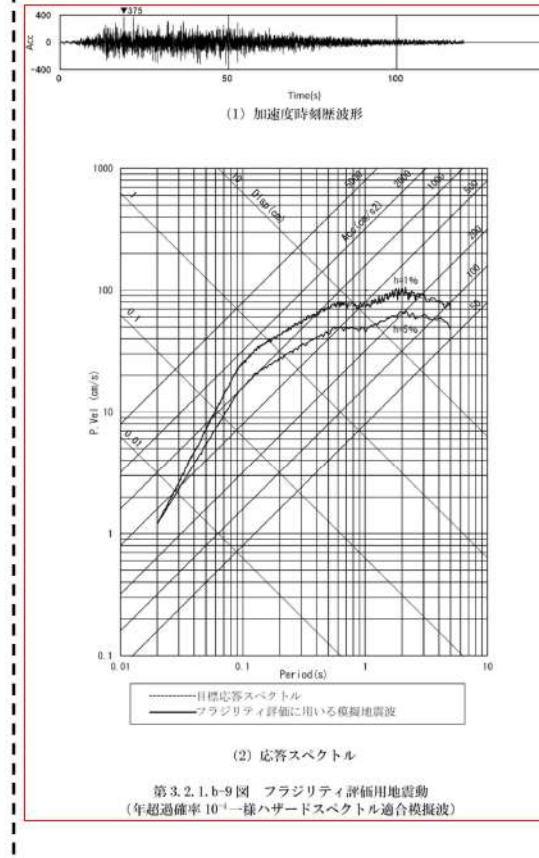
第37条 付録1 事故シーケンスグループ及び重要事故シーケンス等の選定について  
 別添3 レベル1PRA 3.2 外部事象 3.2.1 地震PRA

大飯発電所3／4号炉	女川原子力発電所2号炉	泊発電所3号炉	相違理由
	 <p>第3.2.1.b-8図 (2/2) 周期毎の平均地震ハザード曲線（鉛直方向）</p>	 <p>第3.2.1.b-8図 (2/2) 周期ごとの平均ハザード曲線（鉛直方向）</p>	<p>【女川】【大飯】          ■個別評価による相違          ・地震発生様式等が異なることから、地震ハザード評価が異なる</p> <p>追而【地震ハザード評価結果を反映】</p>

泊発電所3号炉 有効性評価 比較表

赤字：設備、運用又は体制の相違（設計方針の相違）  
 青字：記載箇所又は記載内容の相違（記載方針の相違）  
 緑字：記載表現、設備名称の相違（実質的な相違なし）

第37条 付録1 事故シーケンスグループ及び重要事故シーケンス等の選定について  
 別添3. レベル1PRA 3.2 外部事象 3.2.1 地震PRA

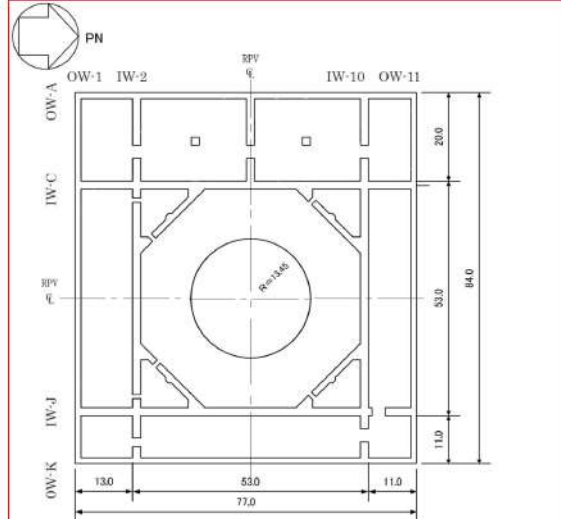
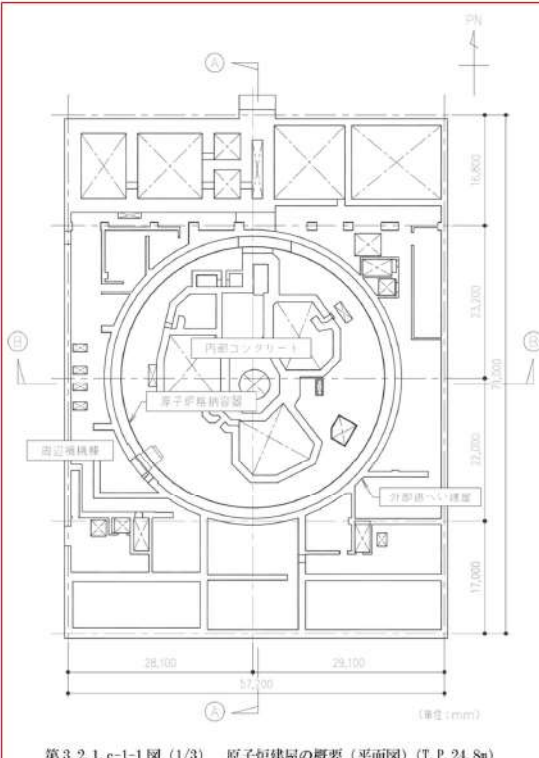
大飯発電所3／4号炉	女川原子力発電所2号炉	泊発電所3号炉	相違理由
 <p>(1) 加速度時刻歴波形      (2) 応答スペクトル</p> <p>第1.2.1.b-10図 年超過確率 <math>10^{-4}</math> 一様ハザードスペクトル適合模擬地震動</p>	 <p>(a) 時刻歴波形      (b) 応答スペクトル      [1000 (cm/s²) に基準化]</p> <p>第3.2.1.b-9図 フラジリティ評価用地震動</p>	 <p>(1) 加速度時刻歴波形      (2) 応答スペクトル</p> <p>第3.2.1.b-9図 フラジリティ評価用地震動      (年超過確率 <math>10^{-4}</math> 一様ハザードスペクトル適合模擬波)</p>	<p>【女川】【大飯】</p> <p>■個別評価による相違</p> <ul style="list-style-type: none"> <li>・地震発生様式等が異なることから、地震ハザード評価が異なる</li> </ul>

追而【地震ハザード評価結果を反映】

泊発電所3号炉 有効性評価 比較表

第37条 付録1 事故シーケンスグループ及び重要事故シーケンス等の選定について  
別添 3. レベル1PRA 3.2 外部事象 3.2.1 地震PRA

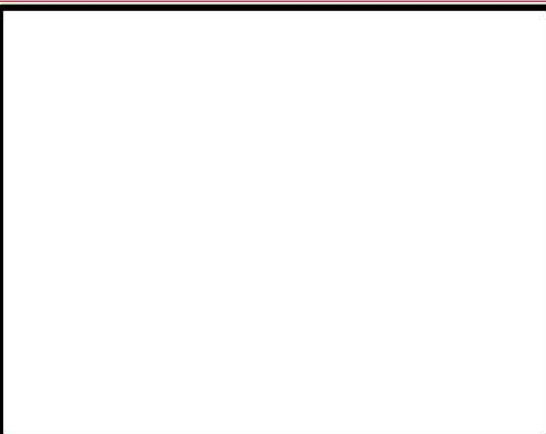
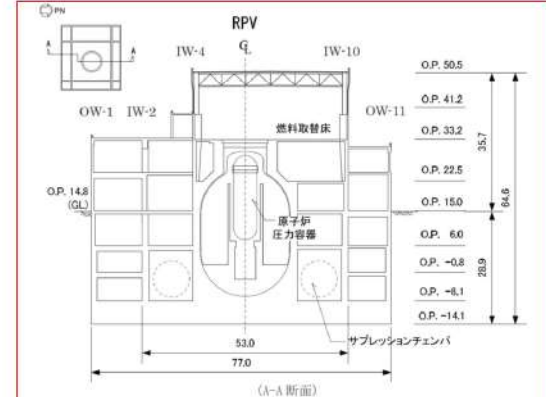
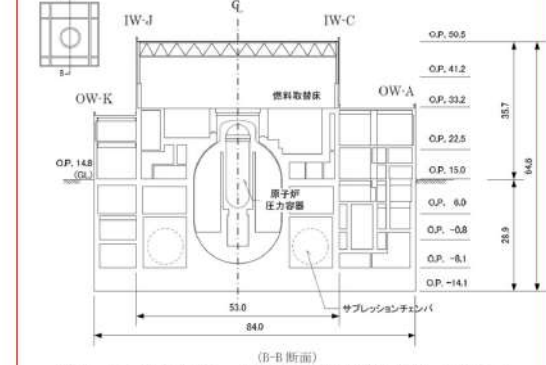
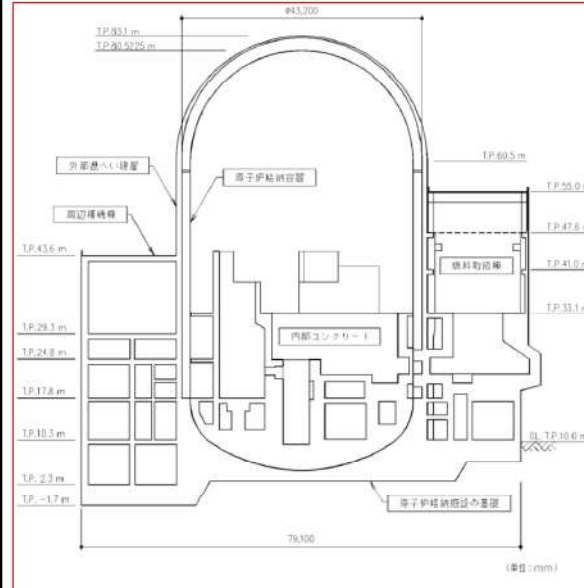
赤字：設備、運用又は体制の相違（設計方針の相違）  
青字：記載箇所又は記載内容の相違（記載方針の相違）  
緑字：記載表現、設備名称の相違（実質的な相違なし）

大飯発電所3／4号炉	女川原子力発電所2号炉	泊発電所3号炉	相違理由
 <p>第1.2.1.c-1-1図 原子炉建屋の概略平面図(E.L.17.1m)</p> <p><small>枠固みの範囲は機密に係る事項ですので公開することはできません。</small></p>	 <p>第3.2.1.c-1-1図 (1/2) 原子炉建屋の概要（平面図）(O.P.-8.1m)<sup>⑥</sup> (単位:m) 注記＊：[O.P.]は女川原子力発電所工事用基準面であり、東京湾平均海面(T.M.S.L)-0.74mである。</p>	 <p>第3.2.1.c-1-1図 (1/3) 原子炉建屋の概要（平面図）(T.P.24.8m) (単位:mm)</p>	<p>【女川】【大飯】 ■評価対象の相違 ・評価対象建屋の相違</p>

泊発電所3号炉 有効性評価 比較表

第37条 付録1 事故シーケンスグループ及び重要事故シーケンス等の選定について  
別添3. レベル1PRA 3.2 外部事象 3.2.1 地震PRA

赤字：設備、運用又は体制の相違（設計方針の相違）  
青字：記載箇所又は記載内容の相違（記載方針の相違）  
緑字：記載表現、設備名称の相違（実質的な相違なし）

大飯発電所3／4号炉	女川原子力発電所2号炉	泊発電所3号炉	相違理由
 <p>第1.2.1.c-1-2図 原子炉建屋の概略断面図 (A-A断面)</p> <p style="border: 1px solid black; padding: 2px;">機密の範囲は機密に係る事項ですので公開することはできません。</p>	 <p>(A-A断面)</p>  <p>(B-B断面)</p> <p>第3.2.1.c-1-1図 (2/2) 原子炉建屋の概要 (断面図) (単位:m)</p>	 <p>第3.2.1.c-1-1図 (2/3) 原子炉建屋の概要 (平面図) (A-A断面)</p>	<p>【女川】【大飯】</p> <p>■評価対象の相違</p> <ul style="list-style-type: none"> <li>・評価対象建屋の相違</li> </ul>

## 泊発電所3号炉 有効性評価 比較表

第37条 付録1 事故シーケンスグループ及び重要事故シーケンス等の選定について  
別添3. レベル1PRA 3.2 外部事象 3.2.1 地震PRA

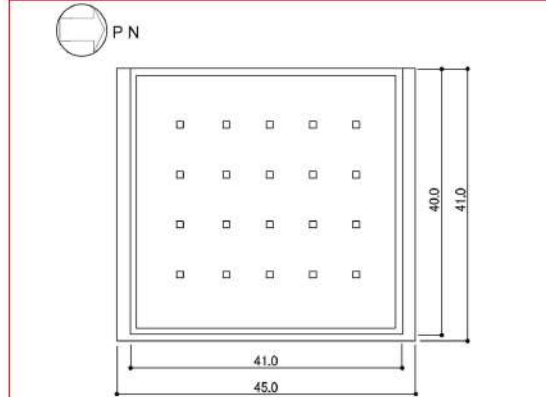
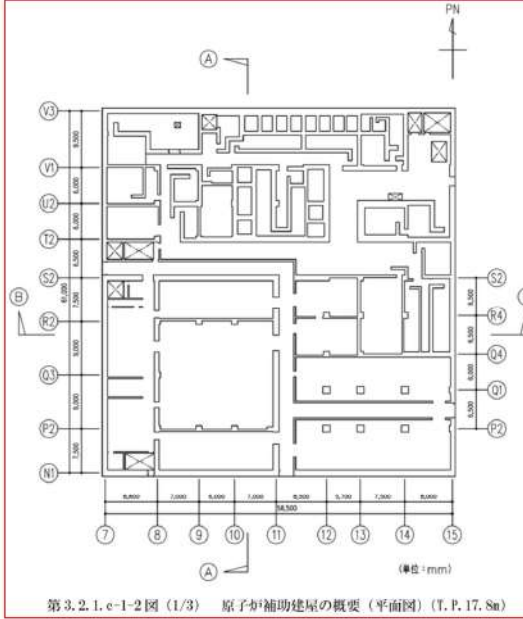
赤字：設備、運用又は体制の相違（設計方針の相違）  
青字：記載箇所又は記載内容の相違（記載方針の相違）  
緑字：記載表現、設備名称の相違（実質的な相違なし）

大飯発電所3／4号炉	女川原子力発電所2号炉	泊発電所3号炉	相違理由
 第1.2.1.c-1-3図 原子炉建屋の概略断面図 (D-D断面)  <small>機密上の範囲に係る事項でして公開することはできません。</small>		 第3.2.1.c-1-1図 (3/3) 原子炉建屋の概要 (断面図) (B-B断面)	<b>【大飯】</b> <b>■評価対象の相違</b> • 評価対象建屋の相違

泊発電所3号炉 有効性評価 比較表

第37条 付録1 事故シーケンスグループ及び重要事故シーケンス等の選定について  
別添3. レベル1PRA 3.2 外部事象 3.2.1 地震PRA

赤字：設備、運用又は体制の相違（設計方針の相違）  
青字：記載箇所又は記載内容の相違（記載方針の相違）  
緑字：記載表現、設備名称の相違（実質的な相違なし）

大飯発電所3／4号炉	女川原子力発電所2号炉	泊発電所3号炉	相違理由
 <p>第1.2.1.c-1-4図 制御建屋の概略平面図(E.L.21.3m)</p> <p><small>機密保護のため、この図面は公開できません。</small></p>	 <p>第3.2.1.c-1-2図(1/2) 制御建屋の概要(平面図)(O.P.1.5m)(単位:m)</p>	 <p>第3.2.1.c-1-2図(1/3) 原子炉補助建屋の概要(平面図)(T.P.17.8m)(単位:mm)</p>	<p>【女川】【大飯】</p> <ul style="list-style-type: none"> <li>■評価対象の相違</li> <li>・評価対象建屋の相違</li> </ul>

泊発電所3号炉 有効性評価 比較表

赤字：設備、運用又は体制の相違（設計方針の相違）  
 青字：記載箇所又は記載内容の相違（記載方針の相違）  
 緑字：記載表現、設備名称の相違（実質的な相違なし）

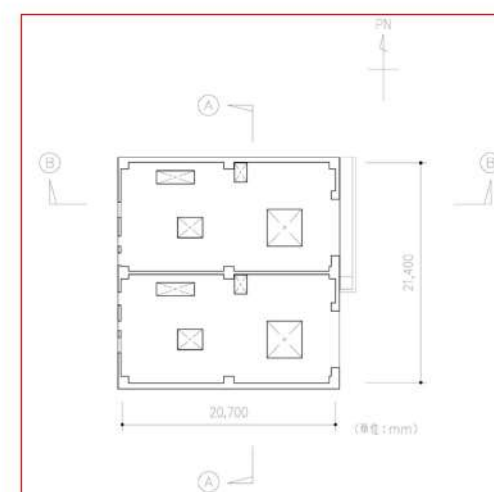
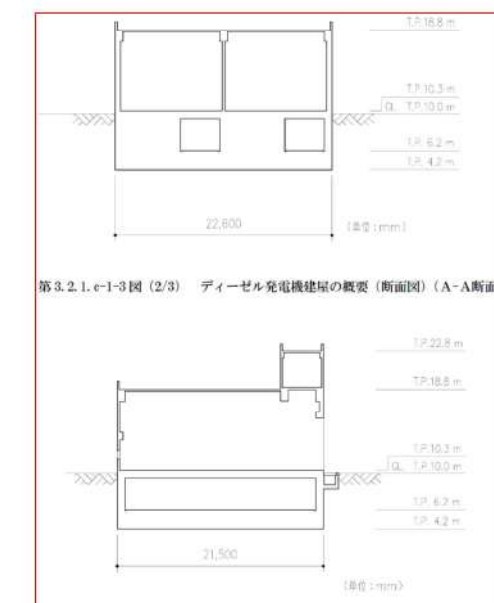
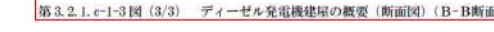
第37条 付録1 事故シーケンスグループ及び重要事故シーケンス等の選定について  
 別添3. レベル1PRA 3.2 外部事象 3.2.1 地震PRA

大飯発電所3／4号炉	女川原子力発電所2号炉	泊発電所3号炉	相違理由
 <small>第1.2.1.c-1-5図 制御建屋の概略断面図 (A-A断面)</small>	 <small>(A-A断面)</small>	 <small>(単位:mm)</small>	<small>【女川】【大飯】</small> <small>■評価対象の相違</small> <small>・評価対象建屋の相違</small>
 <small>第1.2.1.c-1-6図 制御建屋の概略断面図 (B-B断面)</small>	 <small>(B-B断面)</small>	 <small>(単位:mm)</small>	<small>第3.2.1.e-1-2図 (2/3) 原子炉補助建屋の概要 (断面図) (A-A断面)</small> <small>第3.2.1.e-1-2図 (2/2) 制御建屋の概要 (断面図) (単位:m)</small> <small>第3.2.1.e-1-2図 (3/3) 原子炉補助建屋の概要 (断面図) (B-B断面)</small>

## 泊発電所3号炉 有効性評価 比較表

第37条 付録1 事故シーケンスグループ及び重要事故シーケンス等の選定について  
別添3. レベル1PRA 3.2 外部事象 3.2.1 地震PRA

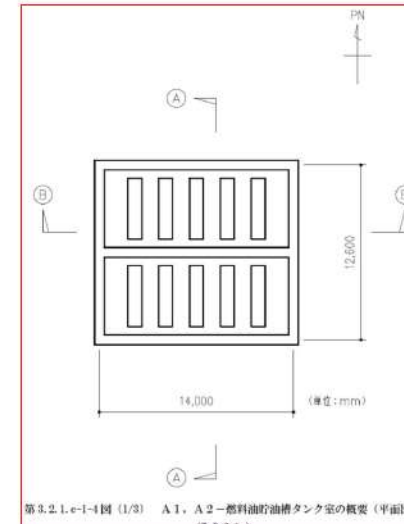
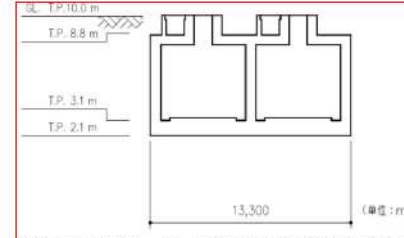
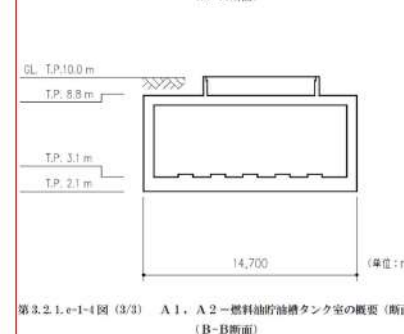
赤字：設備、運用又は体制の相違（設計方針の相違）  
青字：記載箇所又は記載内容の相違（記載方針の相違）  
緑字：記載表現、設備名称の相違（実質的な相違なし）

大飯発電所3／4号炉	女川原子力発電所2号炉	泊発電所3号炉	相違理由
		 <p>第3.2.1.e-1-3図(1/3) ディーゼル発電機建屋の概要(平面図)(T.P.10.3m)</p>  <p>第3.2.1.e-1-3図(2/3) ディーゼル発電機建屋の概要(断面図)(A-A断面)</p>  <p>第3.2.1.e-1-3図(3/3) ディーゼル発電機建屋の概要(断面図)(B-B断面)</p>	<p>【女川】【大飯】</p> <p>■評価対象の相違</p> <ul style="list-style-type: none"> <li>・泊はディーゼル発電機建屋を建屋フジリティ評価の対象としている。</li> </ul>

## 泊発電所3号炉 有効性評価 比較表

第37条 付録1 事故シーケンスグループ及び重要事故シーケンス等の選定について  
別添 3. レベル1PRA 3.2 外部事象 3.2.1 地震PRA

赤字：設備、運用又は体制の相違（設計方針の相違）  
青字：記載箇所又は記載内容の相違（記載方針の相違）  
緑字：記載表現、設備名称の相違（実質的な相違なし）

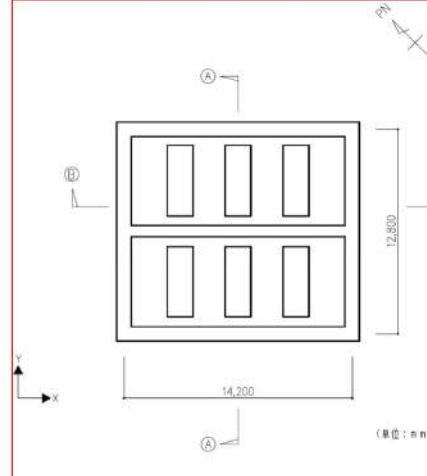
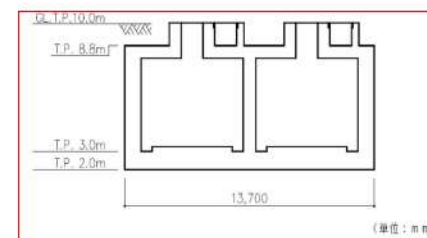
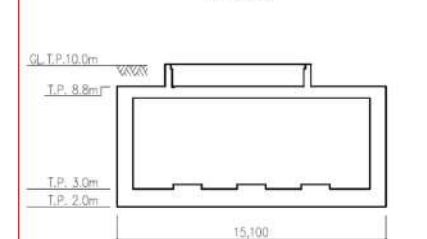
大飯発電所3／4号炉	女川原子力発電所2号炉	泊発電所3号炉	相違理由
		 <p>第3.2.1.e-1-4図 (1/3) A 1, A 2 - 燃料油貯油槽タンク室の概要 (断面図) (T.P. 3.1m)</p>  <p>第3.2.1.e-1-4図 (2/3) A 1, A 2 - 燃料油貯油槽タンク室の概要 (断面図) (A-A断面)</p>  <p>第3.2.1.e-1-4図 (3/3) A 1, A 2 - 燃料油貯油槽タンク室の概要 (断面図) (B-B断面)</p>	<p>【女川】【大飯】</p> <p>■評価対象の相違</p> <ul style="list-style-type: none"> <li>・泊は燃料油貯油槽タンク室を建屋フジリティ評価の対象としている。</li> </ul>

## 泊発電所3号炉 有効性評価 比較表

赤字：設備、運用又は体制の相違（設計方針の相違）  
 青字：記載箇所又は記載内容の相違（記載方針の相違）  
 緑字：記載表現、設備名称の相違（実質的な相違なし）

第37条 付録1 事故シーケンスグループ及び重要事故シーケンス等の選定について

別添 3. レベル1PRA 3.2 外部事象 3.2.1 地震PRA

大飯発電所3／4号炉	女川原子力発電所2号炉	泊発電所3号炉	相違理由
		 <p>第3.2.1.e-1-5図(1/3) B1, B2 -燃料油貯油槽タンク室の概要(平面図) (T.P. 3.0m)</p>  <p>第3.2.1.e-1-5図(2/3) B1, B2 -燃料油貯油槽タンク室の概要(断面図) (A-A断面)</p>  <p>第3.2.1.e-1-5図(3/3) B1, B2 -燃料油貯油槽タンク室の概要(断面図) (B-B断面)</p>	<p>【女川】【大飯】</p> <p>■評価対象の相違</p> <ul style="list-style-type: none"> <li>・泊は燃料油貯油槽タンク室を建屋フジリティ評価の対象としている。</li> </ul>

## 泊発電所3号炉 有効性評価 比較表

赤字：設備、運用又は体制の相違（設計方針の相違）  
 青字：記載箇所又は記載内容の相違（記載方針の相違）  
 緑字：記載表現、設備名称の相違（実質的な相違なし）

第37条 付録1 事故シーケンスグループ及び重要事故シーケンス等の選定について

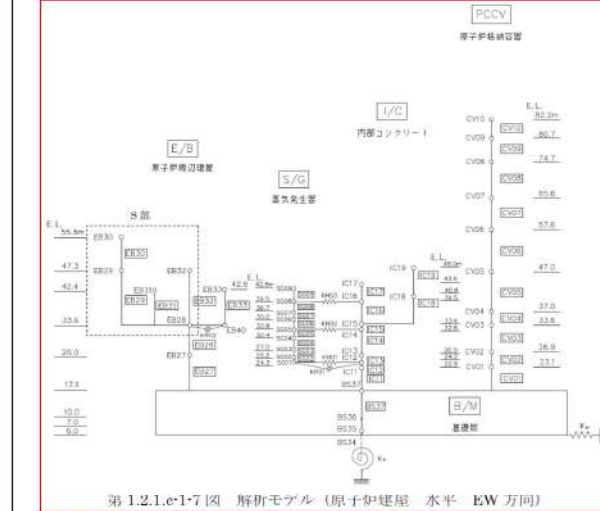
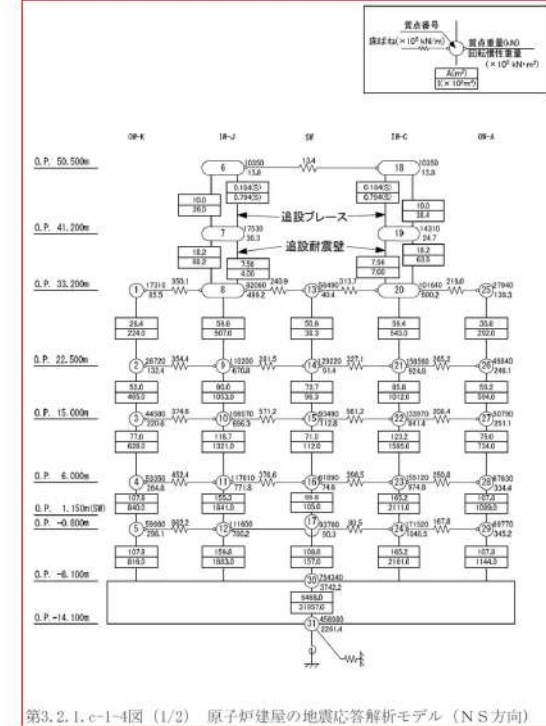
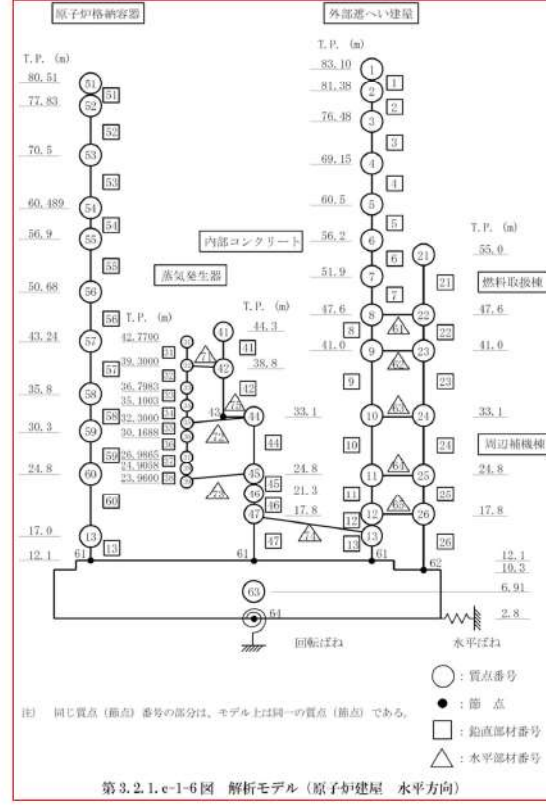
別添 3. レベル1PRA 3.2 外部事象 3.2.1 地震PRA

大飯発電所3／4号炉	女川原子力発電所2号炉	泊発電所3号炉	相違理由
	 		<p><b>【女川】</b></p> <p>■評価方針の相違</p> <ul style="list-style-type: none"> <li>女川とは建屋の設置状況が異なり、女川は建屋周辺地盤の影響を考慮したモデルにより建屋入力位置に入力地震動を評価しているが、泊は直接入力している(伊方と同様)</li> </ul>

泊発電所3号炉 有効性評価 比較表

赤字：設備、運用又は体制の相違（設計方針の相違）  
 青字：記載箇所又は記載内容の相違（記載方針の相違）  
 緑字：記載表現、設備名称の相違（実質的な相違なし）

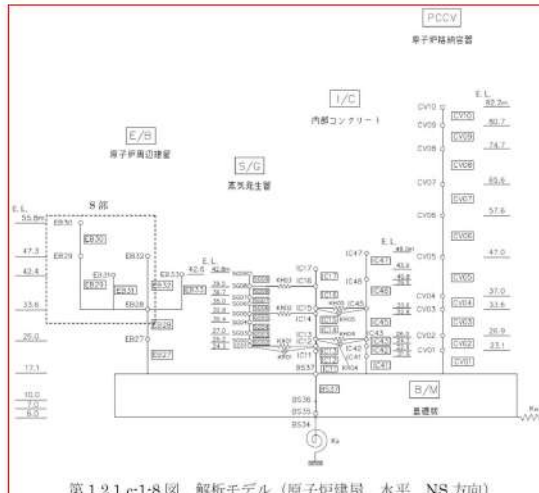
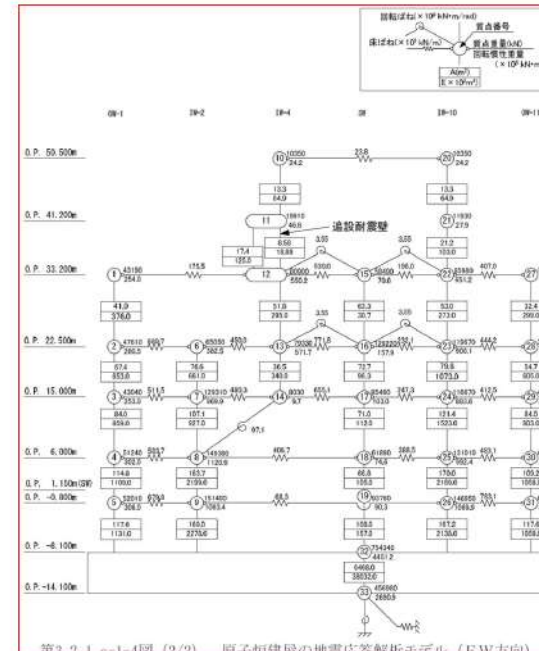
第37条 付録1 事故シーケンスグループ及び重要事故シーケンス等の選定について  
 別添3. レベル1PRA 3.2 外部事象 3.2.1 地震PRA

大飯発電所3／4号炉	女川原子力発電所2号炉	泊発電所3号炉	相違理由
 <p>第1.2.1.e-1-7図 解析モデル（原子炉建屋 水平 EW方向）</p>	 <p>第3.2.1.c-1-4図 (1/2) 原子炉建屋の地震応答解析モデル (NS方向)</p>	 <p>第3.2.1.c-1-6図 解析モデル（原子炉建屋 水平方向）</p>	<p>【女川】【大飯】</p> <ul style="list-style-type: none"> <li>■評価対象の相違</li> <li>・評価対象建屋の相違</li> <li>■個別評価による相違</li> <li>・泊はNS方向とEW方向とで解析モデル図が同じである</li> </ul>

泊発電所3号炉 有効性評価 比較表

赤字：設備、運用又は体制の相違（設計方針の相違）  
 青字：記載箇所又は記載内容の相違（記載方針の相違）  
 緑字：記載表現、設備名称の相違（実質的な相違なし）

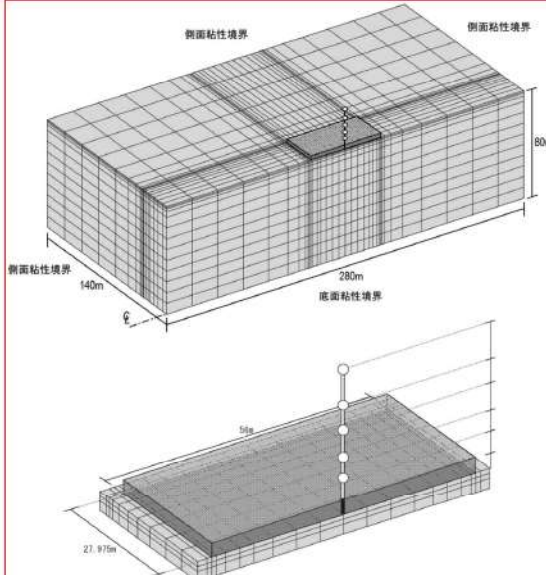
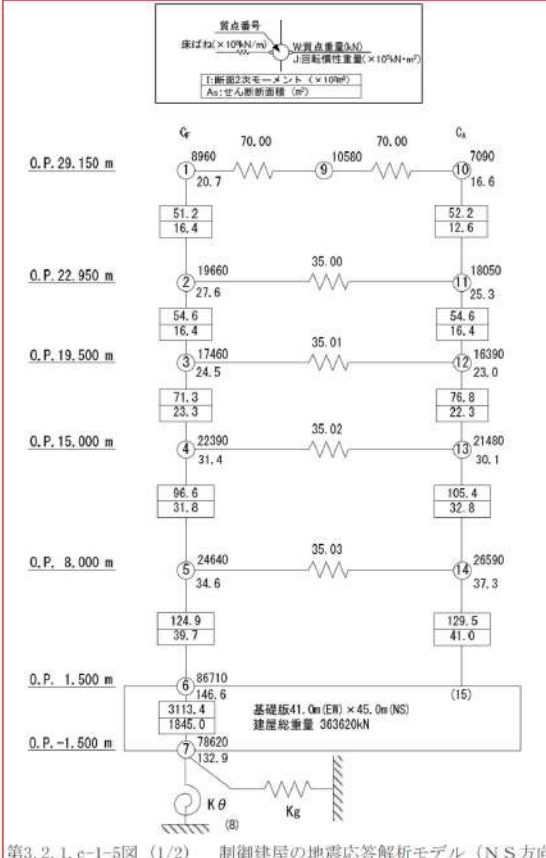
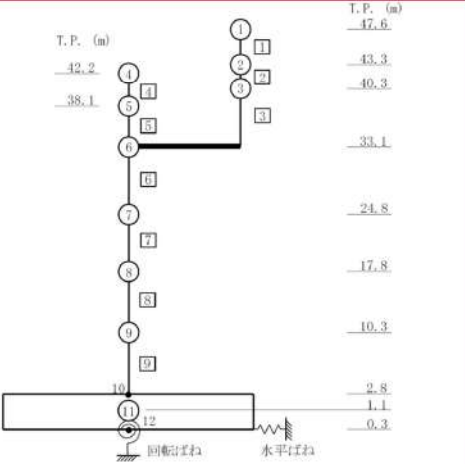
第37条 付録1 事故シーケンスグループ及び重要事故シーケンス等の選定について  
 別添3. レベル1PRA 3.2 外部事象 3.2.1 地震PRA

大飯発電所3／4号炉	女川原子力発電所2号炉	泊発電所3号炉	相違理由
 <p>第1.2.1.c-1-8図 解析モデル（原子炉建屋 水平 NS 方向）</p>	 <p>第3.2.1.c-1-4図 (2/2) 原子炉建屋の地震応答解析モデル（EW 方向）</p>		<p>【女川】【大飯】          ■評価対象の相違          •評価対象建屋の相違          ■個別評価による相違          •泊はNS方向とEW方向とで解析モデル図が同じである</p>

泊発電所3号炉 有効性評価 比較表

赤字：設備、運用又は体制の相違（設計方針の相違）  
 青字：記載箇所又は記載内容の相違（記載方針の相違）  
 緑字：記載表現、設備名称の相違（実質的な相違なし）

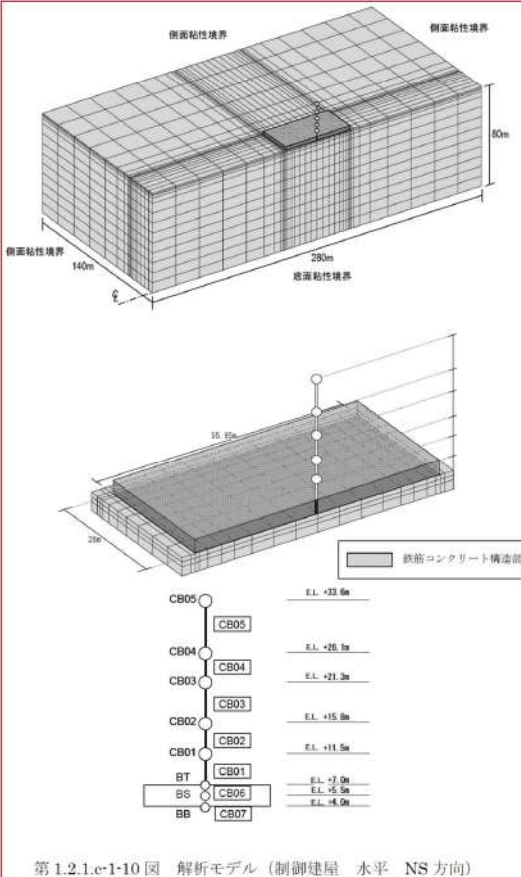
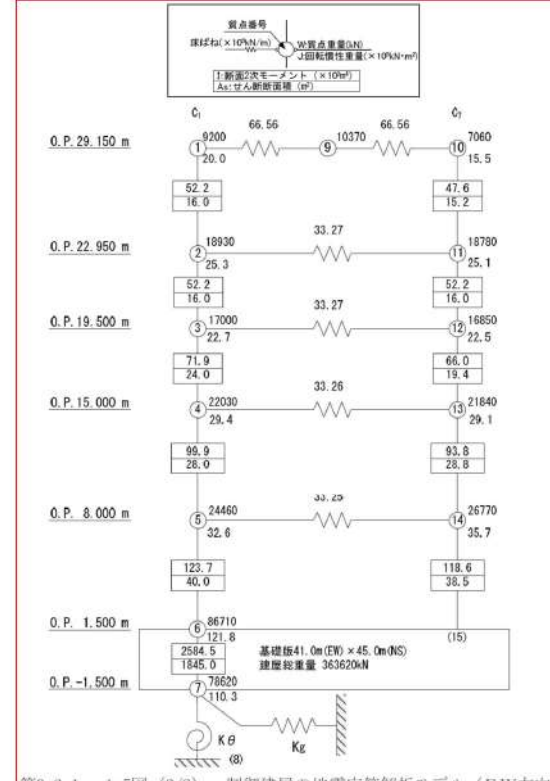
第37条 付録1 事故シーケンスグループ及び重要事故シーケンス等の選定について  
 別添3. レベル1PRA 3.2 外部事象 3.2.1 地震PRA

大飯発電所3／4号炉	女川原子力発電所2号炉	泊発電所3号炉	相違理由
 <p>側面粘性境界 底面粘性境界 側面粘性境界 140m 280m 底面粘性境界 27.975m</p> <p>CB05 CB04 CB03 CB02 CB01 BT BS BB</p> <p>E.L.+33.6m E.L.+26.1m E.L.+21.3m E.L.+15.8m E.L.+11.5m E.L.+7.0m E.L.+5.6m E.L.+4.0m</p> <p>第1.2.1.c-1-9図 解析モデル（制御建屋 水平 EW方向）</p>	 <p>質点番号 床ばね(<math>\times 10^6 \text{N/m}</math>) W:質点重量(<math>\times 10^6 \text{N}</math>) G:自重慣性重量(<math>\times 10^6 \text{N}\cdot\text{m}^2</math>) A<sub>s</sub>:せん断耐荷量(<math>\text{kN}</math>)</p> <p>O.P. 29.150 m O.P. 22.950 m O.P. 19.500 m O.P. 15.000 m O.P. 8.000 m O.P. 1.500 m O.P. -1.500 m</p> <p>基礎板41.0m(E)×45.0m(NS) 建屋総重量 363620kN</p> <p>第3.2.1.c-1-5図 (1/2) 制御建屋の地震応答解析モデル（NS方向）</p>	 <p>T.P. (m) 47.6 43.3 40.3 33.1 24.8 17.8 10.3 2.8 1.1 0.3</p> <p>回転ばね 水平ばね</p> <p>第3.2.1.c-1-7図 解析モデル（原子炉補助建屋 水平方向）</p>	<p>【女川】【大飯】</p> <ul style="list-style-type: none"> <li>■評価対象の相違</li> <li>・評価対象建屋の相違</li> <li>■個別評価による相違</li> <li>・泊はNS方向とEW方向とで解析モデル図が同じである</li> </ul>

泊発電所3号炉 有効性評価 比較表

赤字：設備、運用又は体制の相違（設計方針の相違）  
 青字：記載箇所又は記載内容の相違（記載方針の相違）  
 緑字：記載表現、設備名称の相違（実質的な相違なし）

第37条 付録1 事故シーケンスグループ及び重要事故シーケンス等の選定について  
 別添3. レベル1PRA 3.2 外部事象 3.2.1 地震PRA

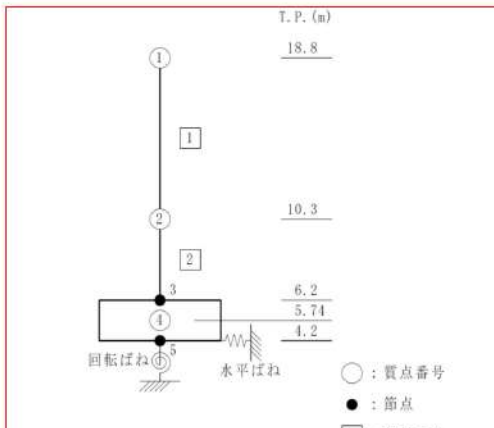
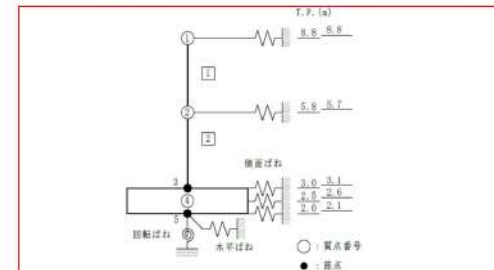
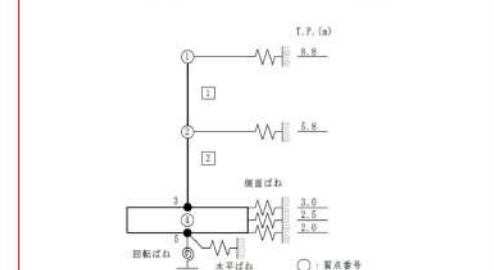
大飯発電所3／4号炉	女川原子力発電所2号炉	泊発電所3号炉	相違理由
 <p>第1.2.1.e-1-10図 解析モデル（制御建屋 水平 NS 方向）</p>	 <p>第3.2.1.c-1-5図 (2/2) 制御建屋の地震応答解析モデル (EW方向)</p>		<p>【女川】【大飯】</p> <ul style="list-style-type: none"> <li>■評価対象の相違</li> <li>・評価対象建屋の相違</li> <li>■個別評価による相違</li> <li>・泊はNS方向とEW方向とで解析モデル図が同じである</li> </ul>

泊発電所3号炉 有効性評価 比較表

赤字：設備、運用又は体制の相違（設計方針の相違）  
 青字：記載箇所又は記載内容の相違（記載方針の相違）  
 緑字：記載表現、設備名称の相違（実質的な相違なし）

第37条 付録1 事故シーケンスグループ及び重要事故シーケンス等の選定について

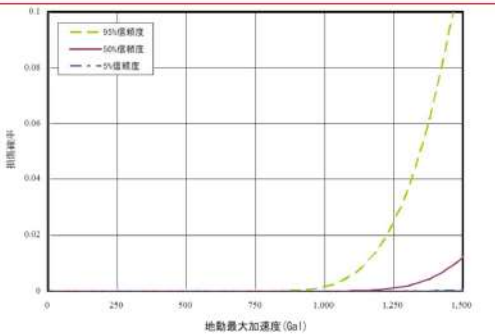
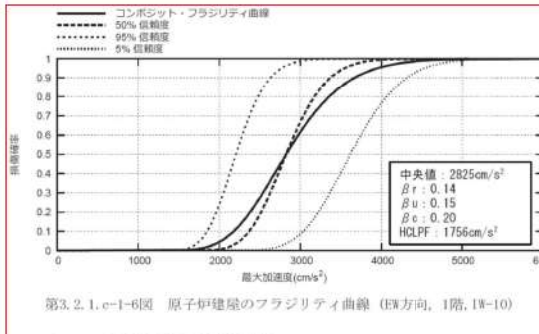
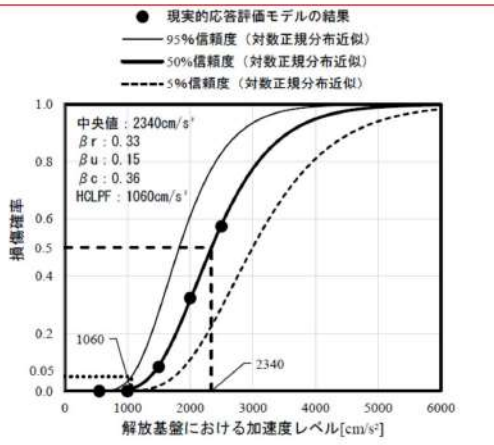
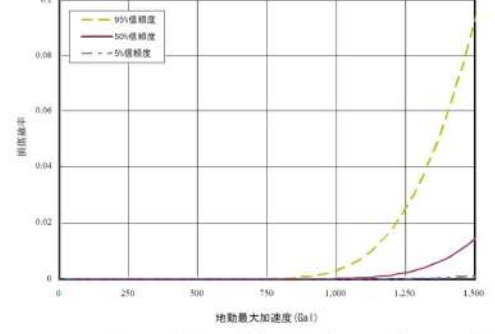
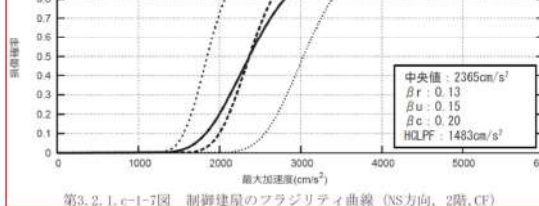
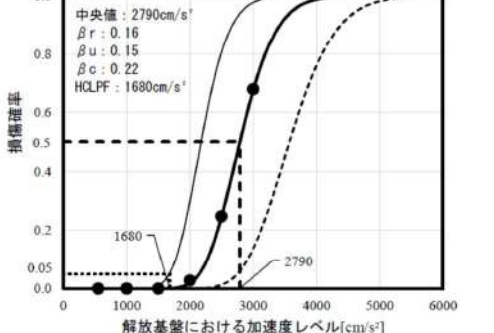
別添3 レベル1PRA 3.2 外部事象 3.2.1 地震PRA

大飯発電所3／4号炉	女川原子力発電所2号炉	泊発電所3号炉	相違理由
		 <p>第3.2.1-e-1-8図 解析モデル（ディーゼル発電機建屋 水平方向）</p>  <p>第3.2.1-e-1-9図 地震応答解析モデル（A1, A2-燃料油貯油槽タンク室 水平方向）</p>  <p>第3.2.1-e-1-10図 地震応答解析モデル（B1, B2-燃料油貯油槽タンク室 水平方向）</p>	<p>【女川】【大飯】</p> <p>■評価対象の相違</p> <p>・泊はディーゼル発電機建屋及び燃料油貯油槽タンク室を建屋フリージリティ評価の対象としている</p>

泊発電所 3号炉 有効性評価 比較表

赤字：設備、運用又は体制の相違（設計方針の相違）  
 青字：記載箇所又は記載内容の相違（記載方針の相違）  
 緑字：記載表現、設備名称の相違（実質的な相違なし）

第37条 付録1 事故シーケンスグループ及び重要事故シーケンス等の選定について  
 別添3. レベル1PRA 3.2 外部事象 3.2.1 地震PRA

大飯発電所3／4号炉	女川原子力発電所2号炉	泊発電所3号炉	相違理由
 <p>第1.2.1.c-1-11図 建屋フラジリティ曲線（原子炉建屋 I / C EW方向）</p>	 <p>第3.2.1.c-1-6図 原子炉建屋のフラジリティ曲線（EW方向, 1階, 1W-10）</p>	 <p>● 現実的応答評価モデルの結果          中央値 : 2340cm/s<sup>2</sup>  <math>\beta_r : 0.33</math>  <math>\beta_u : 0.15</math>  <math>\beta_c : 0.36</math>          HCLPF : 1060cm/s<sup>2</sup></p> <p>第3.2.1.c-1-11図 原子炉建屋のフラジリティ曲線（NS方向, 部材6）</p>	<p>【女川】【大飯】  <span style="color:red;">■個別評価による相違</span></p>
 <p>第1.2.1.c-1-12図 建屋フラジリティ曲線（制御建屋 C / B EW方向）</p>	 <p>第3.2.1.c-1-7図 制御建屋のフラジリティ曲線（NS方向, 2階, CF）</p>	 <p>● 現実的応答評価モデルの結果          中央値 : 2790cm/s<sup>2</sup>  <math>\beta_r : 0.16</math>  <math>\beta_u : 0.15</math>  <math>\beta_c : 0.22</math>          HCLPF : 1680cm/s<sup>2</sup></p> <p>第3.2.1.c-1-12図 原子炉補助建屋のフラジリティ曲線（EW方向, 部材9）</p>	

## 泊発電所3号炉 有効性評価 比較表

赤字：設備、運用又は体制の相違（設計方針の相違）  
 青字：記載箇所又は記載内容の相違（記載方針の相違）  
 緑字：記載表現、設備名称の相違（実質的な相違なし）

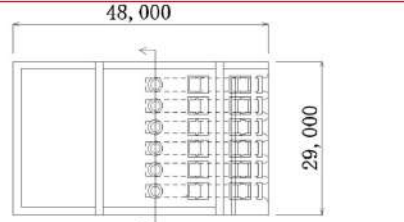
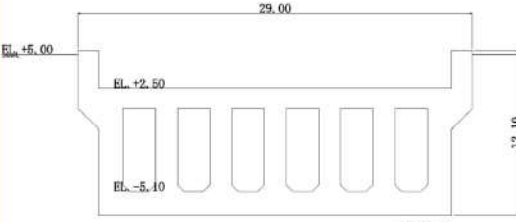
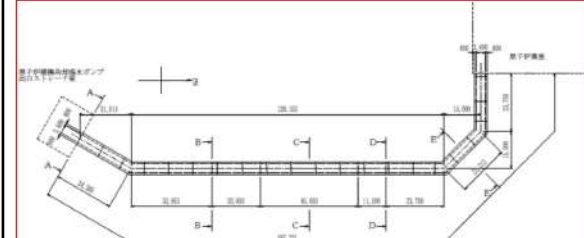
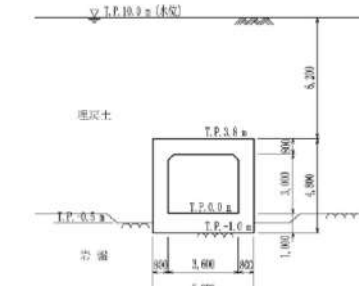
第37条 付録1 事故シーケンスグループ及び重要事故シーケンス等の選定について  
 別添3. レベル1PRA 3.2 外部事象 3.2.1 地震PRA

大飯発電所3／4号炉	女川原子力発電所2号炉	泊発電所3号炉	相違理由
		<p>● 現実的応答評価モデルの結果      ── 95%信頼度（対数正規分布近似）      ── 50%信頼度（対数正規分布近似）      - - - 5%信頼度（対数正規分布近似）</p> <p>中央値 : 3360cm/s<sup>2</sup>  <math>\beta_r</math> : 0.31  <math>\beta_u</math> : 0.15  <math>\beta_c</math> : 0.34      HCLPF : 1580cm/s<sup>2</sup></p> <p>損傷確率</p> <p>解放基盤における加速度レベル[cm/s<sup>2</sup>]</p>	<p>【女川】【大飯】  <span style="color:red;">■個別評価による相違</span></p>

## 泊発電所3号炉 有効性評価 比較表

第37条 付録1 事故シーケンスグループ及び重要事故シーケンス等の選定について  
別添3. レベル1PRA 3.2 外部事象 3.2.1 地震PRA

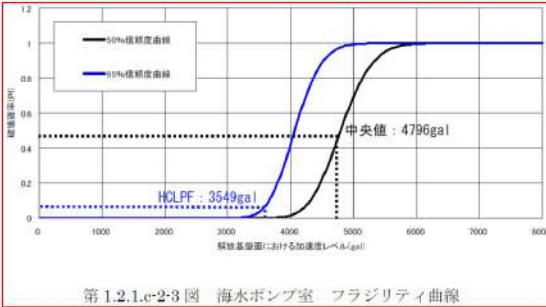
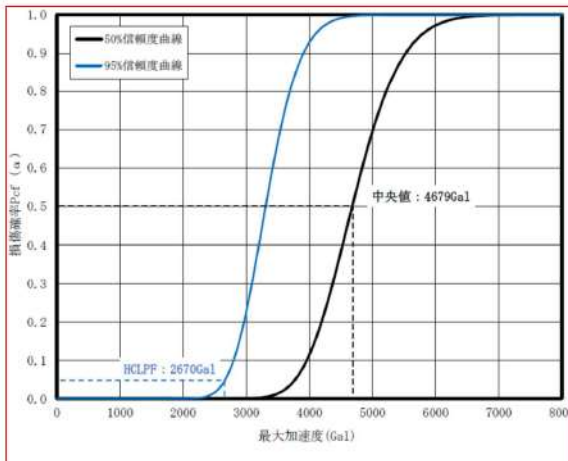
赤字：設備、運用又は体制の相違（設計方針の相違）  
青字：記載箇所又は記載内容の相違（記載方針の相違）  
緑字：記載表現、設備名称の相違（実質的な相違なし）

大飯発電所3／4号炉	女川原子力発電所2号炉	泊発電所3号炉	相違理由
 <p>第1.2.1.c-2-1図 海水ポンプ室平面図</p>  <p>第1.2.1.c-2-2図 海水ポンプ室断面図</p>		 <p>第3.2.1.e-2-1図 原子炉補機冷却海水管ダクト平面図</p>  <p>第3.2.1.e-2-2図 原子炉補機冷却海水管ダクト断面図 (C-C断面)</p>	<p>【大飯】 ■個別評価による相違</p> <p>【女川】 ■評価方針の相違 ・女川は屋外重要土木構造物のフランジリティ評価を実施していない</p>

泊発電所3号炉 有効性評価 比較表

赤字：設備、運用又は体制の相違（設計方針の相違）  
 青字：記載箇所又は記載内容の相違（記載方針の相違）  
 緑字：記載表現、設備名称の相違（実質的な相違なし）

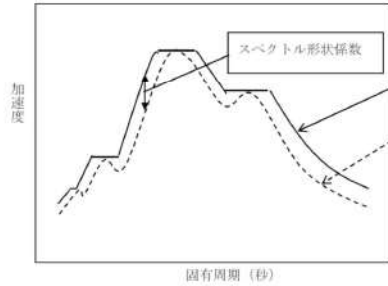
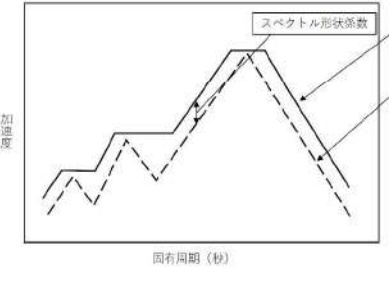
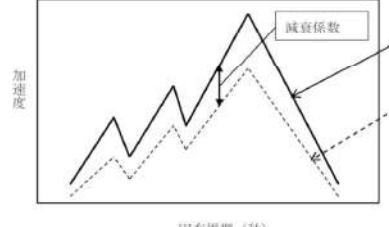
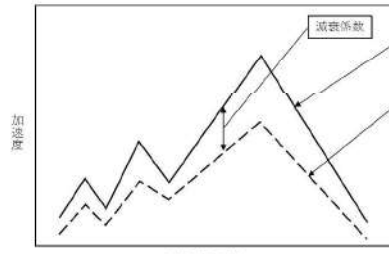
第37条 付録1 事故シーケンスグループ及び重要事故シーケンス等の選定について  
 別添3 レベル1PRA 3.2 外部事象 3.2.1 地震PRA

大飯発電所3／4号炉	女川原子力発電所2号炉	泊発電所3号炉	相違理由
 <p>第1.2.1.e-2-3 図 海水ポンプ室 フラジリティ曲線</p>		 <p>第3.2.1.e-2-3 図 原子炉補機冷却海水管ダクトのフラジリティ曲線</p>	<p>【大飯】          ■個別評価による相違</p> <p>【女川】          ■評価方針の相違          ・女川は屋外重要土木構造物のフランジリティ評価を実施していない</p>

泊発電所3号炉 有効性評価 比較表

赤字：設備、運用又は体制の相違（設計方針の相違）  
 青字：記載箇所又は記載内容の相違（記載方針の相違）  
 緑字：記載表現、設備名称の相違（実質的な相違なし）

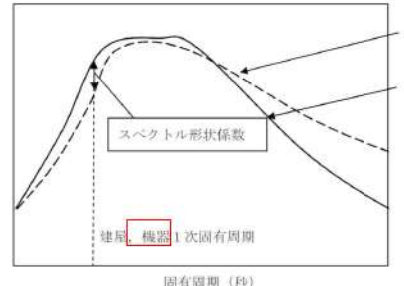
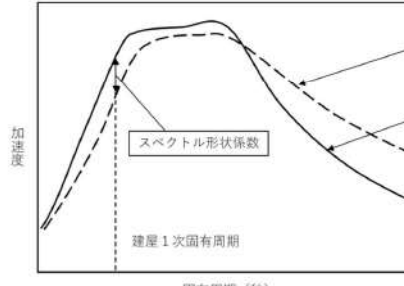
第37条 付録1 事故シーケンスグループ及び重要事故シーケンス等の選定について  
 別添3. レベル1PRA 3.2 外部事象 3.2.1 地震PRA

大飯発電所3／4号炉	女川原子力発電所2号炉	泊発電所3号炉	相違理由
	 <p>第3.2.1.c-2-1図 スペクトル形状係数の概念図</p>	 <p>第3.2.1.e-3-1図 スペクトル形状係数の概念図</p>	<p>【大飯】</p> <p>■記載方針の相違</p> <ul style="list-style-type: none"> <li>・女川の実績反映のため、スペクトル形状係数、減衰係数の概念図を記載している</li> </ul>
	 <p>第3.2.1.c-2-2図 減衰係数の概念図</p>	 <p>第3.2.1.e-3-2図 減衰係数の概念図</p>	

## 泊発電所3号炉 有効性評価 比較表

赤字：設備、運用又は体制の相違（設計方針の相違）  
 青字：記載箇所又は記載内容の相違（記載方針の相違）  
 緑字：記載表現、設備名称の相違（実質的な相違なし）

第37条 付録1 事故シーケンスグループ及び重要事故シーケンス等の選定について  
 別添3 レベル1PRA 3.2 外部事象 3.2.1 地震PRA

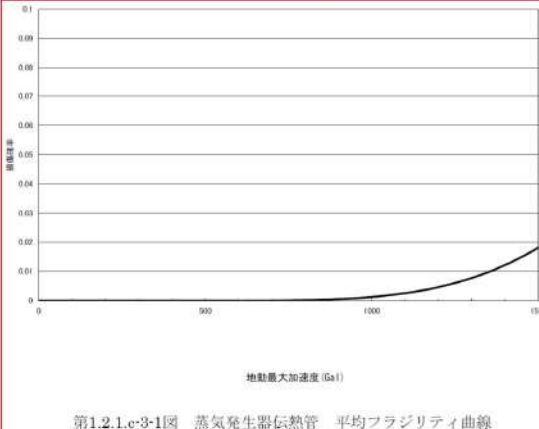
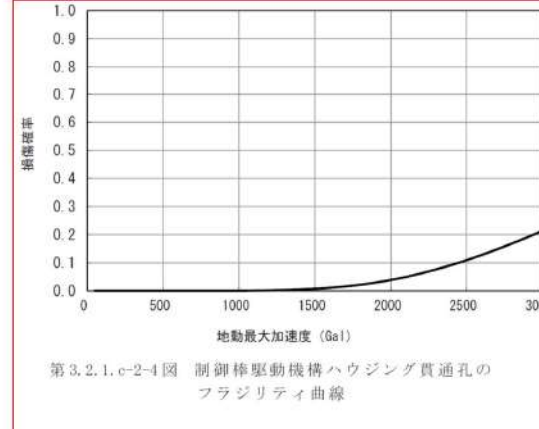
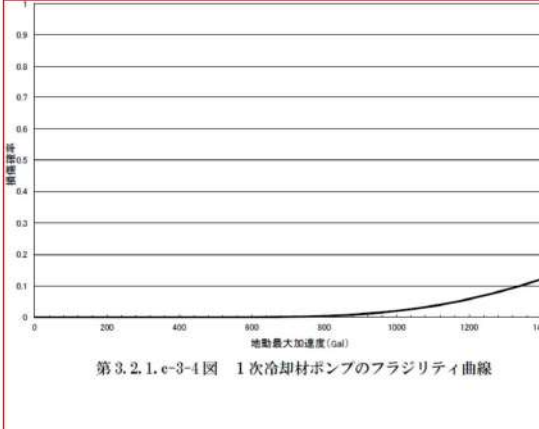
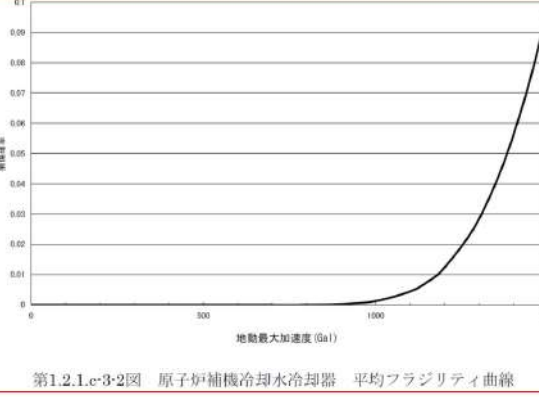
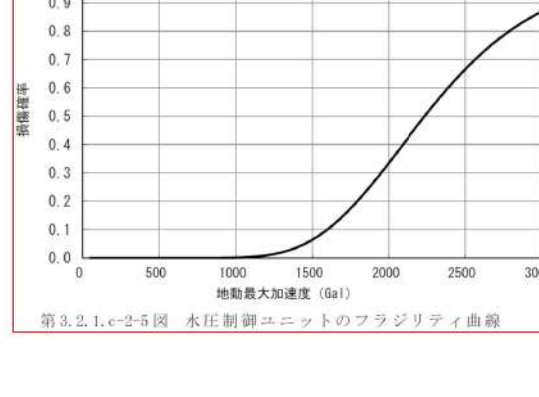
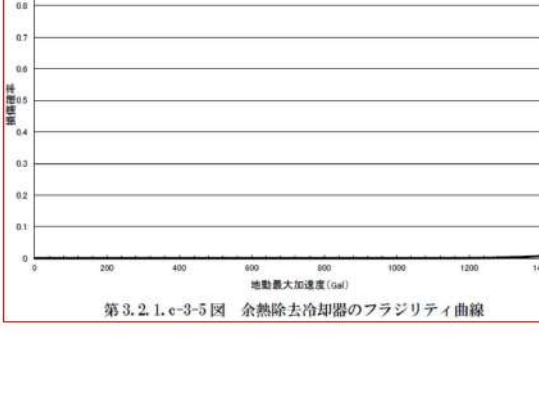
大飯発電所3／4号炉	女川原子力発電所2号炉	泊発電所3号炉	相違理由
	 <p>第3.2.1.c-2-3図 建屋のスペクトル形状係数の概念図</p>	 <p>第3.2.1.e-3-3図 建屋のスペクトル形状係数の概念図</p>	<p><b>【大飯】</b>  <b>■記載方針の相違</b>          ・女川の実績反映のため、建屋のスペクトル形状係数の概念図を記載している</p> <p><b>【女川】</b>  <b>■評価方針の相違</b>          ・泊は機器の固有周期による影響は建屋の非線形応答に関する係数 <math>F_{ns}</math> で考慮している（大飯に記載はないが、泊と同様の評価となっている）</p>

泊発電所3号炉 有効性評価 比較表

赤字：設備、運用又は体制の相違（設計方針の相違）  
 青字：記載箇所又は記載内容の相違（記載方針の相違）  
 緑字：記載表現、設備名称の相違（実質的な相違なし）

第37条 付録1 事故シーケンスグループ及び重要事故シーケンス等の選定について

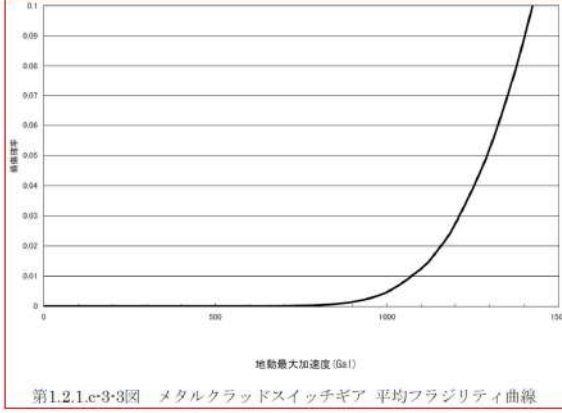
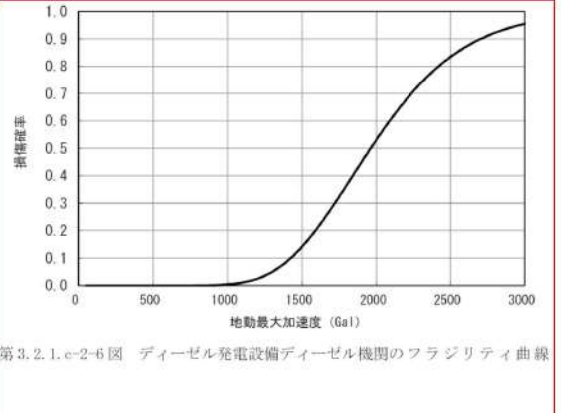
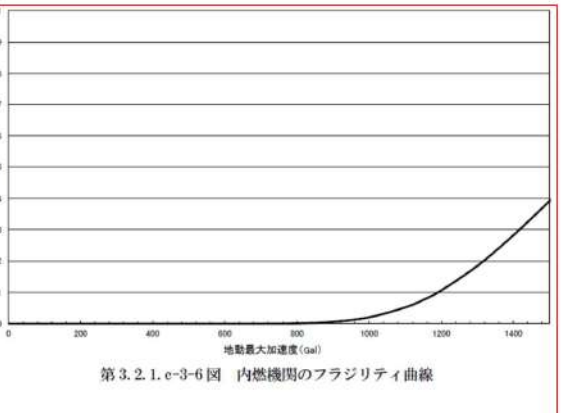
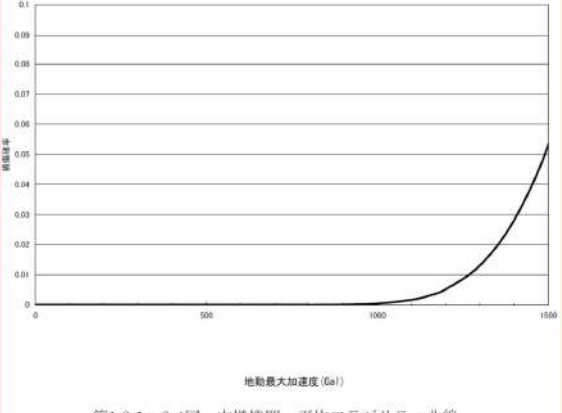
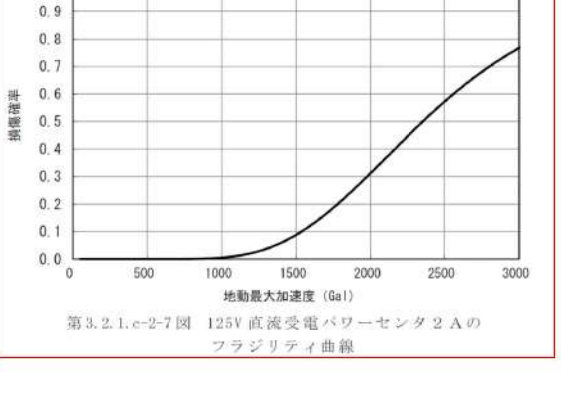
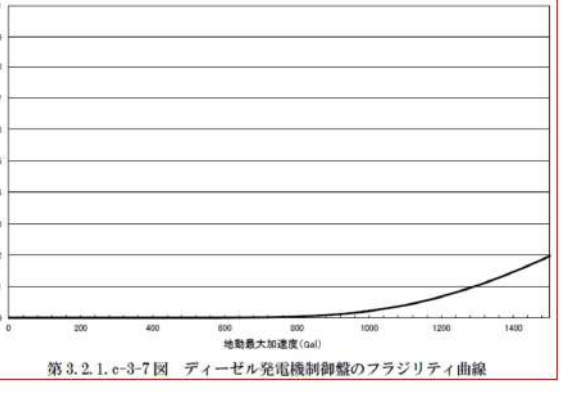
別添3 レベル1PRA 3.2 外部事象 3.2.1 地震PRA

大飯発電所3／4号炉	女川原子力発電所2号炉	泊発電所3号炉	相違理由
 第1.2.1.e-3-1図 蒸気発生器伝熱管 平均フラジリティ曲線	 第3.2.1.e-2-4図 制御棒駆動機構ハウジング貫通孔の フラジリティ曲線	 第3.2.1.e-3-4図 1次冷却材ポンプのフラジリティ曲線	<p>【女川】【大飯】  <b>■個別評価による相違</b>          • FV 重要度が異なるため、代表機器も異なり、評価結果も異なる</p>
 第1.2.1.e-3-2図 原子炉補機冷却水冷却器 平均フラジリティ曲線	 第3.2.1.e-2-5図 水圧制御ユニットのフラジリティ曲線	 第3.2.1.e-3-5図 余熱除去冷却器のフラジリティ曲線	

泊発電所3号炉 有効性評価 比較表

赤字：設備、運用又は体制の相違（設計方針の相違）  
 青字：記載箇所又は記載内容の相違（記載方針の相違）  
 緑字：記載表現、設備名称の相違（実質的な相違なし）

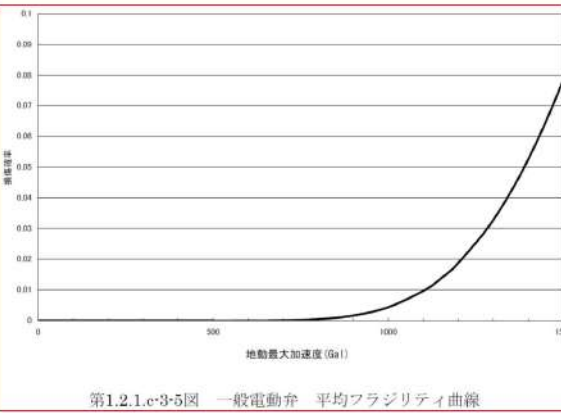
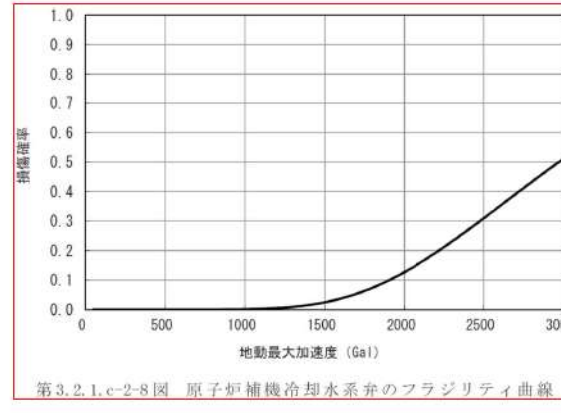
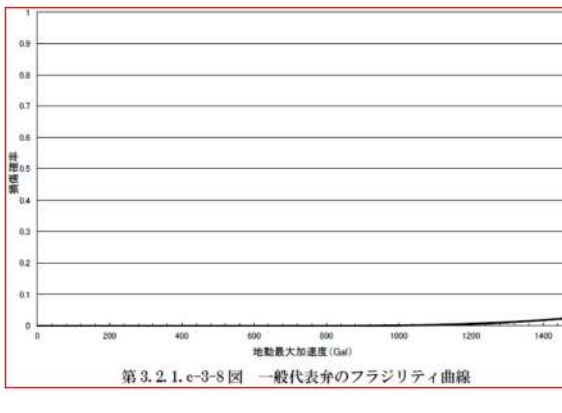
第37条 付録1 事故シーケンスグループ及び重要事故シーケンス等の選定について  
 別添3 レベル1PRA 3.2 外部事象 3.2.1 地震PRA

大飯発電所3／4号炉	女川原子力発電所2号炉	泊発電所3号炉	相違理由
 <p>第1.2.1.c-3-3図 メタルクラッドスイッチギア 平均フラジリティ曲線</p>	 <p>第3.2.1.c-2-6図 ディーゼル発電設備ディーゼル機関のフラジリティ曲線</p>	 <p>第3.2.1.c-3-6図 内燃機関のフラジリティ曲線</p>	<p>【女川】【大飯】          ■個別評価による相違          •FV 重要度が異なるため、代表機器も異なり、評価結果も異なる</p>
 <p>第1.2.1.c-3-4図 内燃機関 平均フラジリティ曲線</p>	 <p>第3.2.1.c-2-7図 125V 直流受電パワーセンタ 2 A のフラジリティ曲線</p>	 <p>第3.2.1.c-3-7図 ディーゼル発電機制御盤のフラジリティ曲線</p>	

泊発電所3号炉 有効性評価 比較表

赤字：設備、運用又は体制の相違（設計方針の相違）  
 青字：記載箇所又は記載内容の相違（記載方針の相違）  
 緑字：記載表現、設備名称の相違（実質的な相違なし）

第37条 付録1 事故シーケンスグループ及び重要事故シーケンス等の選定について  
 別添3 レベル1PRA 3.2 外部事象 3.2.1 地震PRA

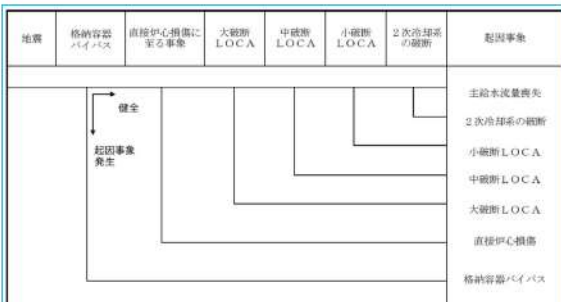
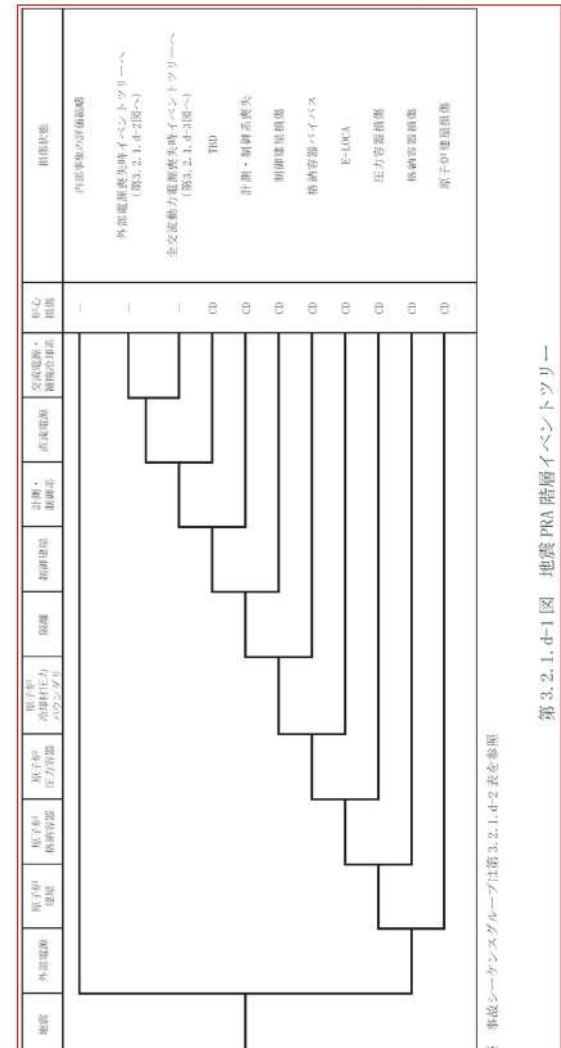
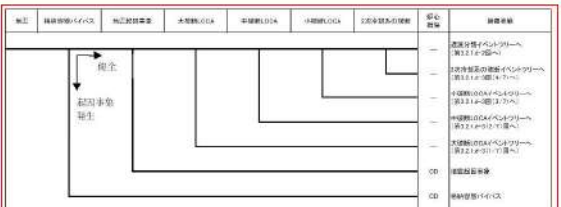
大飯発電所3／4号炉	女川原子力発電所2号炉	泊発電所3号炉	相違理由
 <p>第1.2.1.c-3-5図 一般電動弁 平均フラジリティ曲線</p>	 <p>第3.2.1.c-2-8図 原子炉補機冷却水系弁のフラジリティ曲線</p>	 <p>第3.2.1.c-3-8図 一般代表弁のフラジリティ曲線</p>	<p>【女川】【大飯】          ■個別評価による相違          •FV 重要度が異なるため、代表機器も異なり、評価結果も異なる</p>

泊発電所3号炉 有効性評価 比較表

赤字：設備、運用又は体制の相違（設計方針の相違）  
 青字：記載箇所又は記載内容の相違（記載方針の相違）  
 緑字：記載表現、設備名称の相違（実質的な相違なし）

第37条 付録1 事故シーケンスグループ及び重要事故シーケンス等の選定について

別添3. レベル1PRA 3.2 外部事象 3.2.1 地震PRA

大飯発電所3／4号炉	女川原子力発電所2号炉	泊発電所3号炉	相違理由
 <p><b>【直接炉心損傷】</b></p> <ul style="list-style-type: none"> <li>大破断LOCAを上回る規模のLOCA (Excess LOCA)</li> <li>原子炉格納容器損傷</li> <li>原子炉建屋損傷</li> <li>制御建屋損傷</li> <li>複数の信号系損傷</li> <li>1次系流路閉塞による2次系除熱機能喪失</li> <li>燃料集合体及び制御棒クラスタ損傷による原子炉停止機能喪失</li> <li>電動弁損傷による原子炉補機冷却機能喪失</li> </ul> <p><b>【格納容器バイパス】</b></p> <ul style="list-style-type: none"> <li>蒸気発生器伝熱管破損 (複数本破損)</li> </ul> <p>第1.2.1.d-1図 地震PRA階層イベントツリー</p>	 <p>※ 事故シーケンスグループは第3.2.1-d-2表を参照</p> <p>第3.2.1-d-1図 地震PRA階層イベントツリー</p>	 <p><b>【地震起因事象】</b></p> <ul style="list-style-type: none"> <li>大破断LOCAを上回る規模のLOCA (Excess LOCA)</li> <li>原子炉建屋損傷</li> <li>原子炉格納容器損傷</li> <li>原子炉補機冷却機能喪失</li> <li>電動弁損傷による原子炉補機冷却機能喪失</li> <li>1次系流路閉塞による2次系除熱機能喪失</li> <li>複数の信号系損傷</li> <li>燃料集合体及び制御棒クラスタ損傷による原子炉停止機能喪失</li> </ul> <p><b>【格納容器バイパス】</b></p> <ul style="list-style-type: none"> <li>蒸気発生器伝熱管破損 (複数本破損)</li> </ul> <p>第3.2.1-d-1図 地震PRA起因事象階層イベントツリー</p>	<p><b>【大飯】</b></p> <ul style="list-style-type: none"> <li>■記載方針の相違                     <ul style="list-style-type: none"> <li>・女川の実績反映</li> </ul> </li> </ul> <p><b>【女川】</b></p> <ul style="list-style-type: none"> <li>■炉型の相違                     <ul style="list-style-type: none"> <li>・炉型が異なるため、抽出される起因事象が異なる。ただし、女川、泊ともに地震時特有の要因による分析を踏まえて起因事象を抽出している。なお、泊は先行のPWRと同様の起因事象となっている</li> </ul> </li> </ul>

## 泊発電所3号炉 有効性評価 比較表

赤字：設備、運用又は体制の相違（設計方針の相違）  
 青字：記載箇所又は記載内容の相違（記載方針の相違）  
 緑字：記載表現、設備名称の相違（実質的な相違なし）

第37条 付録1 事故シーケンスグループ及び重要事故シーケンス等の選定について

別添3. レベル1PRA 3.2 外部事象 3.2.1 地震PRA

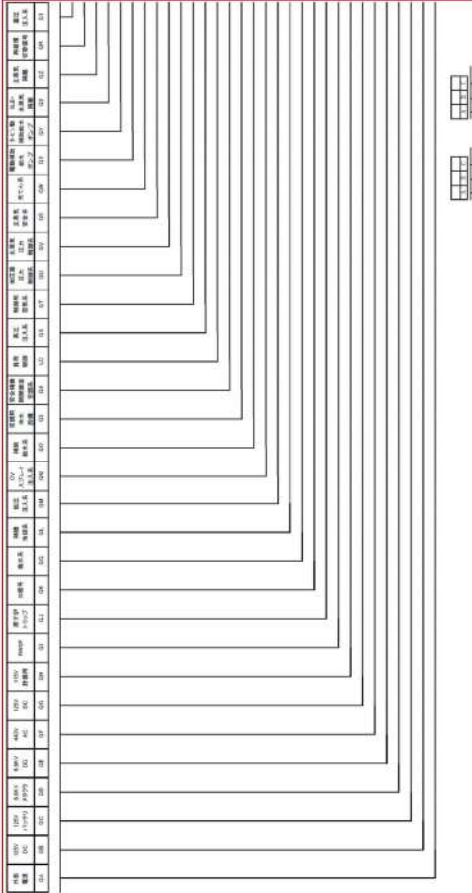
大飯発電所3／4号炉	女川原子力発電所2号炉	泊発電所3号炉	相違理由
 地震 （地震加速度レベル） 地震損傷機器 イベントツリー サポート系 イベントツリー 起因事象樹層 イベントツリー 共用系 イベントツリー フロントライン系 イベントツリー			<p>■大飯</p> <p>■記載方針の相違</p> <ul style="list-style-type: none"> <li>・女川の実績反映</li> <li>・泊はイベントツリーの図の中に情報を引き継ぐ下流のイベントツリーを記載している</li> </ul>

第1.2.1.d-2図 地震システム解析モデル（大イベントツリー）

## 泊発電所3号炉 有効性評価 比較表

第37条 付録1 事故シーケンスグループ及び重要事故シーケンス等の選定について  
別添3 レベル1PRA 3.2 外部事象 3.2.1 地震PRA

赤字：設備、運用又は体制の相違（設計方針の相違）  
青字：記載箇所又は記載内容の相違（記載方針の相違）  
緑字：記載表現、設備名称の相違（実質的な相違なし）

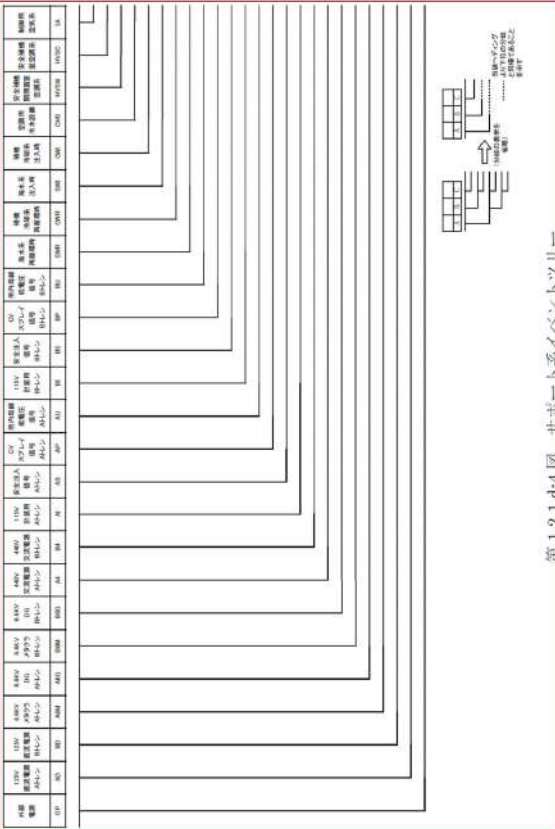
大飯発電所3／4号炉	女川原子力発電所2号炉	泊発電所3号炉	相違理由
 第1.2.1-d-3 図 地震損傷機器イベントツリー			<p>■【大飯】</p> <p>■評価手法の相違</p> <ul style="list-style-type: none"> <li>・大飯は大イベントツリー法を用いているため、地震により損傷した機器の情報をイベントツリーにより引き離しているが、泊は小イベントツリー法であるためフルトツリーにより評価しており、地震損傷機器イベントツリーはない。(高浜、美浜と同様)</li> </ul>

## 泊発電所3号炉 有効性評価 比較表

赤字：設備、運用又は体制の相違（設計方針の相違）  
 青字：記載箇所又は記載内容の相違（記載方針の相違）  
 緑字：記載表現、設備名称の相違（実質的な相違なし）

第37条 付録1 事故シーケンスグループ及び重要事故シーケンス等の選定について

別添3 レベル1PRA 3.2 外部事象 3.2.1 地震PRA

大飯発電所3／4号炉	女川原子力発電所2号炉	泊発電所3号炉	相違理由
 <small>第1.2.1-d-4 図 サポート系イベントツリー</small>			<p><b>【大飯】</b></p> <p>■評価手法の相違</p> <ul style="list-style-type: none"> <li>・大飯は大イベントツリー法を用いているため、地震により損傷した機器の情報をイベントツリーにより引き継いでいるが、泊は小イベントツリー法であるためフォールトツリーにより評価しており、サポート系イベントツリーはない（高浜、美浜と同様）</li> </ul>

## 泊発電所3号炉 有効性評価 比較表

赤字：設備、運用又は体制の相違（設計方針の相違）  
 青字：記載箇所又は記載内容の相違（記載方針の相違）  
 緑字：記載表現、設備名称の相違（実質的な相違なし）

第37条 付録1 事故シーケンスグループ及び重要事故シーケンス等の選定について

別添 3. レベル1PRA 3.2 外部事象 3.2.1 地震 PRA

大飯発電所3／4号炉	女川原子力発電所2号炉	泊発電所3号炉	相違理由
<p>燃料散失 海水</p> <p>再循環ポンプ 再循環 AHレン 再循環ポンプ H 再循環ポンプ 海水</p> <p>再循環ポンプ 海水 AHレン 海水</p> <p>PMSF 海水充填 AHレン</p> <p>RHGP 海水充填 AHレン</p> <p>RCS流量制 止注入ポンプ 海水充填 海水</p> <p>RCS流量制 止注入ポンプ 海水充填 海水</p> <p>RW      SUMA      SUMB      RGA      RIB      CA      CB      LS      LB</p> <p>第1.2.1.d-5図 共用系イベントツリー</p>			<p>■【大飯】</p> <p>■評価手法の相違</p> <ul style="list-style-type: none"> <li>・大飯は大イベントツリー法を用いているため、地震により損傷した共用設備や運転員操作の成否の情報を引き継ぐためのイベントツリーが必要となるが、泊は小イベントツリー法であるためフルオールトツリーにより評価しており、共用系イベントツリーはない（高浜、美浜と同様）</li> </ul>

## 泊発電所3号炉 有効性評価 比較表

赤字：設備、運用又は体制の相違（設計方針の相違）  
 青字：記載箇所又は記載内容の相違（記載方針の相違）  
 緑字：記載表現、設備名称の相違（実質的な相違なし）

第37条 付録1 事故シーケンスグループ及び重要事故シーケンス等の選定について

別添 3. レベル1PRA 3.2 外部事象 3.2.1 地震 PRA

大飯発電所3／4号炉	女川原子力発電所2号炉	泊発電所3号炉	相違理由
	<p style="text-align: center;">■評価方針の相違 ・女川は外部電源が健全な場合は地震 PRA の対象範囲外であり、階層イベントツリーの外部電源ヘディング以外のヘディングに全て成功した場合、外部電源喪失として扱い外部電源喪失時イベントツリーに移行するが、泊は外部電源が健全な場合も地震 PRA の対象範囲としていることから、階層イベントツリーから外部電源喪失のイベントツリーへは直接移行せず、外部電源喪失をフロントラインイベントツリーの1つとして扱っている（高浜、美浜と同様）</p>		

## 泊発電所3号炉 有効性評価 比較表

赤字：設備、運用又は体制の相違（設計方針の相違）  
 青字：記載箇所又は記載内容の相違（記載方針の相違）  
 緑字：記載表現、設備名称の相違（実質的な相違なし）

第37条 付録1 事故シーケンスグループ及び重要事故シーケンス等の選定について

別添 3. レベル1PRA 3.2 外部事象 3.2.1 地震PRA

大飯発電所3／4号炉	女川原子力発電所2号炉	泊発電所3号炉	相違理由
	<p>事故シーケンスグループ図</p> <pre> graph TD     A[全交流電源喪失] --&gt; B[スクラム]     B --&gt; C[SRV開]     C --&gt; D[SRV再閉鎖]     D --&gt; E[RCIC]     E --&gt; F[炉心損傷状態]     F --&gt; G[損傷状態]     G --&gt; H[長期TB]     H --&gt; I[CD]     I --&gt; J[TBU]     J --&gt; K[TBP]     K --&gt; L[E-LOCA]     L --&gt; M[CD]     M --&gt; N[TC]     N --&gt; O[ ]   </pre> <p>※ 事故シーケンスグループは第3.2.1-d-2表を参照</p> <p>第3.2.1-d-3 図 全交流動力電源喪失時イベンツリリー</p>		<p>【女川】</p> <p>■評価方針の相違</p> <ul style="list-style-type: none"> <li>・女川は全交流動力電源喪失時の緩和設備の使用可否により炉心損傷状態を分類しているが、泊は全交流動力電源喪失に至ると緩和設備に期待できないため全交流動力電源喪失時イベントツリーはない(高浜、美浜と同様)</li> </ul>

## 泊発電所3号炉 有効性評価 比較表

赤字：設備、運用又は体制の相違（設計方針の相違）  
 青字：記載箇所又は記載内容の相違（記載方針の相違）  
 緑字：記載表現、設備名称の相違（実質的な相違なし）

第37条 付録1 事故シーケンスグループ及び重要事故シーケンス等の選定について

別添3. レベル1PRA 3.2 外部事象 3.2.1 地震PRA

大飯発電所3／4号炉	女川原子力発電所2号炉	泊発電所3号炉	相違理由																								
		<table border="1"> <thead> <tr> <th>損傷状態</th> <th>炉心損傷</th> <th>外部電源喪失</th> <th>原子炉補機冷却機能喪失</th> <th>全交流動力電源喪失</th> </tr> </thead> <tbody> <tr> <td>主給水流量喪失イベントツリーへ (第3.2.1-d-3図(7/7)へ)</td> <td>—</td> <td>—</td> <td>—</td> <td>CD</td> </tr> <tr> <td>外部電源喪失イベントツリーへ (第3.2.1-d-3図(6/7)へ)</td> <td>—</td> <td>—</td> <td>—</td> <td>—</td> </tr> <tr> <td>原子炉補機冷却機能喪失イベントツリーへ (第3.2.1-d-3図(5/7)へ)</td> <td>—</td> <td>—</td> <td>—</td> <td>—</td> </tr> <tr> <td>全交流動力電源喪失</td> <td>CD</td> <td>—</td> <td>—</td> <td>—</td> </tr> </tbody> </table>	損傷状態	炉心損傷	外部電源喪失	原子炉補機冷却機能喪失	全交流動力電源喪失	主給水流量喪失イベントツリーへ (第3.2.1-d-3図(7/7)へ)	—	—	—	CD	外部電源喪失イベントツリーへ (第3.2.1-d-3図(6/7)へ)	—	—	—	—	原子炉補機冷却機能喪失イベントツリーへ (第3.2.1-d-3図(5/7)へ)	—	—	—	—	全交流動力電源喪失	CD	—	—	—
損傷状態	炉心損傷	外部電源喪失	原子炉補機冷却機能喪失	全交流動力電源喪失																							
主給水流量喪失イベントツリーへ (第3.2.1-d-3図(7/7)へ)	—	—	—	CD																							
外部電源喪失イベントツリーへ (第3.2.1-d-3図(6/7)へ)	—	—	—	—																							
原子炉補機冷却機能喪失イベントツリーへ (第3.2.1-d-3図(5/7)へ)	—	—	—	—																							
全交流動力電源喪失	CD	—	—	—																							

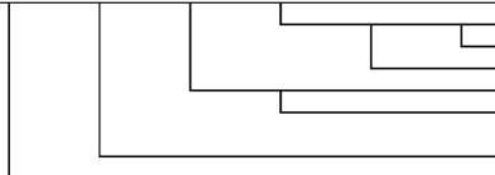
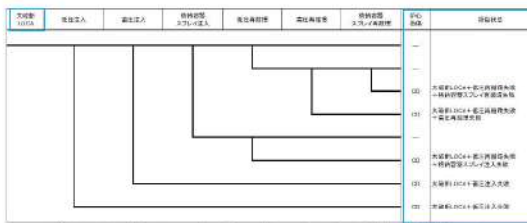
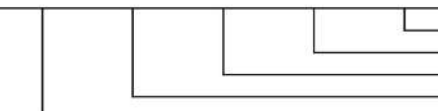
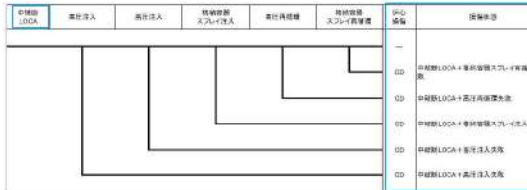
第3.2.1-d-2図 過渡分類イベントツリー

## 泊発電所3号炉 有効性評価 比較表

赤字：設備、運用又は体制の相違（設計方針の相違）  
 青字：記載箇所又は記載内容の相違（記載方針の相違）  
 緑字：記載表現、設備名称の相違（実質的な相違なし）

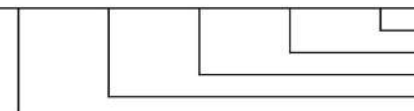
第37条 付録1 事故シーケンスグループ及び重要事故シーケンス等の選定について

別添3. レベル1PRA 3.2 外部事象 3.2.1 地震PRA

大飯発電所3／4号炉	女川原子力発電所2号炉	泊発電所3号炉	相違理由												
<table border="1"> <tr> <td>低圧注入系 (LLoca)</td> <td>高圧注入系 (LLOCA,MLOCA)</td> <td>CVSブレイ注入系 (LLOCA,MLOCA, SLOCA)</td> <td>低圧再循環系 (LLOCA)</td> <td>高圧再循環系 (LLOCA,MLOCA, SLOCA)</td> <td>CVSブレイ再循環系 (LLOCA,MLOCA, SLOCA)</td> </tr> <tr> <td>HIL</td> <td>ACLM</td> <td>CIA</td> <td>RLI</td> <td>HRL</td> <td>CRA</td> </tr> </table> 	低圧注入系 (LLoca)	高圧注入系 (LLOCA,MLOCA)	CVSブレイ注入系 (LLOCA,MLOCA, SLOCA)	低圧再循環系 (LLOCA)	高圧再循環系 (LLOCA,MLOCA, SLOCA)	CVSブレイ再循環系 (LLOCA,MLOCA, SLOCA)	HIL	ACLM	CIA	RLI	HRL	CRA			<p><b>【女川】</b></p> <p>■炉型の相違</p> <ul style="list-style-type: none"> <li>・炉型が異なり、抽出される起因事象が異なるため、大飯と比較する</li> </ul> <p>(以下、相違理由説明を省略)</p> <p><b>【大飯】</b></p> <p>■記載方針の相違</p> <ul style="list-style-type: none"> <li>・泊はイベントツリーのヘディングに起因事象を記載している</li> </ul> <p>(以下、相違理由説明を省略)</p>
低圧注入系 (LLoca)	高圧注入系 (LLOCA,MLOCA)	CVSブレイ注入系 (LLOCA,MLOCA, SLOCA)	低圧再循環系 (LLOCA)	高圧再循環系 (LLOCA,MLOCA, SLOCA)	CVSブレイ再循環系 (LLOCA,MLOCA, SLOCA)										
HIL	ACLM	CIA	RLI	HRL	CRA										
<table border="1"> <tr> <td>高圧注入系 (MLOCA,SLOCA)</td> <td>低圧注入系 (LLOCA,MLOCA)</td> <td>CVスブレイ注入系 (LLOCA,MLOCA, SLOCA)</td> <td>高圧再循環系 (MLOCA,SLOCA)</td> <td>CVスブレイ再循環系 (LLOCA,MLOCA, SLOCA)</td> </tr> <tr> <td>HIMS</td> <td>ACLM</td> <td>CIA</td> <td>HRMS</td> <td>CRA</td> </tr> </table> 	高圧注入系 (MLOCA,SLOCA)	低圧注入系 (LLOCA,MLOCA)	CVスブレイ注入系 (LLOCA,MLOCA, SLOCA)	高圧再循環系 (MLOCA,SLOCA)	CVスブレイ再循環系 (LLOCA,MLOCA, SLOCA)	HIMS	ACLM	CIA	HRMS	CRA			<p><b>【女川】</b></p> <p>■炉型の相違</p> <ul style="list-style-type: none"> <li>・炉型が異なり、抽出される起因事象が異なるため、大飯と比較する</li> </ul> <p>(以下、相違理由説明を省略)</p> <p><b>【大飯】</b></p> <p>■記載方針の相違</p> <ul style="list-style-type: none"> <li>・女川実績の反映</li> <li>・泊は炉心損傷状態を記載している</li> </ul> <p>(以下、相違理由説明を省略)</p>		
高圧注入系 (MLOCA,SLOCA)	低圧注入系 (LLOCA,MLOCA)	CVスブレイ注入系 (LLOCA,MLOCA, SLOCA)	高圧再循環系 (MLOCA,SLOCA)	CVスブレイ再循環系 (LLOCA,MLOCA, SLOCA)											
HIMS	ACLM	CIA	HRMS	CRA											

第1.2.1.d-6図 大破断LOCAイベントツリー

高圧注入系 (MLOCA,SLOCA)	低圧注入系 (LLOCA,MLOCA)	CVスブレイ注入系 (LLOCA,MLOCA, SLOCA)	高圧再循環系 (MLOCA,SLOCA)	CVスブレイ再循環系 (LLOCA,MLOCA, SLOCA)
HIMS	ACLM	CIA	HRMS	CRA



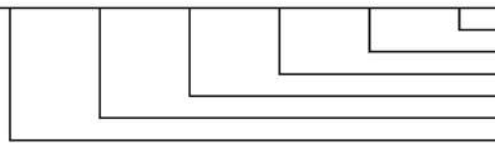
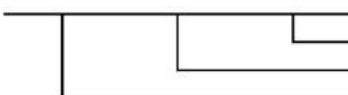
第1.2.1.d-7図 中破断LOCAイベントツリー

## 泊発電所3号炉 有効性評価 比較表

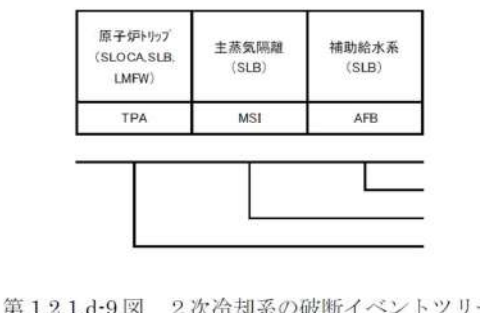
赤字：設備、運用又は体制の相違（設計方針の相違）  
 青字：記載箇所又は記載内容の相違（記載方針の相違）  
 緑字：記載表現、設備名称の相違（実質的な相違なし）

第37条 付録1 事故シーケンスグループ及び重要事故シーケンス等の選定について

別添3. レベル1PRA 3.2 外部事象 3.2.1 地震PRA

大飯発電所3／4号炉	女川原子力発電所2号炉	泊発電所3号炉	相違理由																																																																																																											
<table border="1"> <tr> <td>原子炉トリップ (SLOCA,SLB, LMFW)</td><td>補助給水系 (SLOCA)</td><td>高圧注入系 (MLOCA,SLOCA)</td><td>CVスブリュ注入系 (LLOCA,MLOCA, SLOCA)</td><td>高圧再循環系 (MLOCA,SLOCA)</td><td>CVスブリュ再循環系 (LLOCA,MLOCA, SLOCA)</td></tr> <tr> <td>TPA</td><td>AFS</td><td>HMS</td><td>GIA</td><td>HPMS</td><td>CRA</td></tr> </table> 	原子炉トリップ (SLOCA,SLB, LMFW)	補助給水系 (SLOCA)	高圧注入系 (MLOCA,SLOCA)	CVスブリュ注入系 (LLOCA,MLOCA, SLOCA)	高圧再循環系 (MLOCA,SLOCA)	CVスブリュ再循環系 (LLOCA,MLOCA, SLOCA)	TPA	AFS	HMS	GIA	HPMS	CRA																																																																																																		
原子炉トリップ (SLOCA,SLB, LMFW)	補助給水系 (SLOCA)	高圧注入系 (MLOCA,SLOCA)	CVスブリュ注入系 (LLOCA,MLOCA, SLOCA)	高圧再循環系 (MLOCA,SLOCA)	CVスブリュ再循環系 (LLOCA,MLOCA, SLOCA)																																																																																																									
TPA	AFS	HMS	GIA	HPMS	CRA																																																																																																									
<table border="1"> <tr> <td>原子炉トリップ (SLOCA,SLB, LMFW)</td><td>主蒸気隔壁 (SLB)</td><td>補助給水系 (SLB)</td></tr> <tr> <td>TPA</td><td>MSI</td><td>AFB</td></tr> </table> 	原子炉トリップ (SLOCA,SLB, LMFW)	主蒸気隔壁 (SLB)	補助給水系 (SLB)	TPA	MSI	AFB	<table border="1"> <tr> <td>小破断LOCA</td><td>原子炉トリップ</td><td>給水ポンプ</td><td>高圧注入</td><td>高圧再循環注入</td><td>高圧再循環</td><td>補助給水スブリュ再循環</td><td>炉心被覆</td><td>強制送風</td></tr> <tr> <td>—</td><td></td><td></td><td></td><td></td><td></td><td></td><td></td><td></td></tr> <tr> <td>CD</td><td>小破断LOCA</td><td>→熱供給系バイパス開通</td><td></td><td></td><td></td><td></td><td></td><td></td></tr> <tr> <td>CD</td><td>小破断LOCA</td><td>→高圧再循環系</td><td></td><td></td><td></td><td></td><td></td><td></td></tr> <tr> <td>CD</td><td>小破断LOCA</td><td>+熱供給系バイパス開通</td><td></td><td></td><td></td><td></td><td></td><td></td></tr> <tr> <td>CD</td><td>小破断LOCA</td><td>+高圧注入</td><td></td><td></td><td></td><td></td><td></td><td></td></tr> <tr> <td>CD</td><td>小破断LOCA</td><td>+補助給水系</td><td></td><td></td><td></td><td></td><td></td><td></td></tr> <tr> <td>CD</td><td>小破断LOCA</td><td>+炉心被覆</td><td></td><td></td><td></td><td></td><td></td><td></td></tr> </table> <p>第3.2.1.d-3図 フロントラインイベントツリー (3/7) (小破断LOCA)</p>	小破断LOCA	原子炉トリップ	給水ポンプ	高圧注入	高圧再循環注入	高圧再循環	補助給水スブリュ再循環	炉心被覆	強制送風	—									CD	小破断LOCA	→熱供給系バイパス開通							CD	小破断LOCA	→高圧再循環系							CD	小破断LOCA	+熱供給系バイパス開通							CD	小破断LOCA	+高圧注入							CD	小破断LOCA	+補助給水系							CD	小破断LOCA	+炉心被覆							<table border="1"> <tr> <td>2次冷却系の 破断</td><td>原子炉トリップ</td><td>主蒸気隔壁</td><td>補助給水</td><td>炉心 被覆</td><td>強制送風</td></tr> <tr> <td>—</td><td></td><td></td><td></td><td></td><td></td></tr> <tr> <td>OD</td><td>2次冷却系の破断+補助給水失敗</td><td></td><td></td><td></td><td></td></tr> <tr> <td>OD</td><td>2次冷却系の破断+主蒸気隔壁失敗</td><td></td><td></td><td></td><td></td></tr> <tr> <td>OD</td><td>原子炉トリップが必要な既因事象 +液下炉トソック失敗</td><td></td><td></td><td></td><td></td></tr> </table> <p>第3.2.1.d-3図 フロントラインイベントツリー (4/7) (2次冷却系の破断)</p>	2次冷却系の 破断	原子炉トリップ	主蒸気隔壁	補助給水	炉心 被覆	強制送風	—						OD	2次冷却系の破断+補助給水失敗					OD	2次冷却系の破断+主蒸気隔壁失敗					OD	原子炉トリップが必要な既因事象 +液下炉トソック失敗				
原子炉トリップ (SLOCA,SLB, LMFW)	主蒸気隔壁 (SLB)	補助給水系 (SLB)																																																																																																												
TPA	MSI	AFB																																																																																																												
小破断LOCA	原子炉トリップ	給水ポンプ	高圧注入	高圧再循環注入	高圧再循環	補助給水スブリュ再循環	炉心被覆	強制送風																																																																																																						
—																																																																																																														
CD	小破断LOCA	→熱供給系バイパス開通																																																																																																												
CD	小破断LOCA	→高圧再循環系																																																																																																												
CD	小破断LOCA	+熱供給系バイパス開通																																																																																																												
CD	小破断LOCA	+高圧注入																																																																																																												
CD	小破断LOCA	+補助給水系																																																																																																												
CD	小破断LOCA	+炉心被覆																																																																																																												
2次冷却系の 破断	原子炉トリップ	主蒸気隔壁	補助給水	炉心 被覆	強制送風																																																																																																									
—																																																																																																														
OD	2次冷却系の破断+補助給水失敗																																																																																																													
OD	2次冷却系の破断+主蒸気隔壁失敗																																																																																																													
OD	原子炉トリップが必要な既因事象 +液下炉トソック失敗																																																																																																													

第1.2.1.d-8図 小破断LOCAイベントツリー



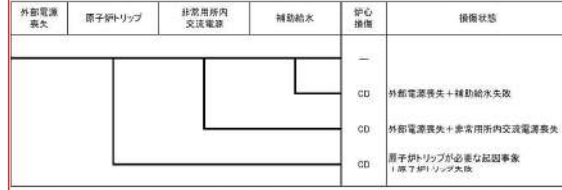
第1.2.1.d-9図 2次冷却系の破断イベントツリー

## 泊発電所3号炉 有効性評価 比較表

赤字：設備、運用又は体制の相違（設計方針の相違）  
 青字：記載箇所又は記載内容の相違（記載方針の相違）  
 緑字：記載表現、設備名称の相違（実質的な相違なし）

第37条 付録1 事故シーケンスグループ及び重要事故シーケンス等の選定について

別添 3. レベル1PRA 3.2 外部事象 3.2.1 地震 PRA

大飯発電所3／4号炉	女川原子力発電所2号炉	泊発電所3号炉	相違理由
		<p><b>【大飯】</b></p> <p>■評価手法の相違</p> <ul style="list-style-type: none"> <li>・泊は外部電源喪失及び原子炉補機冷却機能喪失を起因事象としたイベントツリーも構築している（高浜、美浜と同様）。大飯は大イベントツリー法を用いているため、サポート系である外部電源及び原子炉冷却系の喪失の情報は地震損傷機器イベントツリーで扱っており、外部電源喪失及び原子炉補機冷却機能喪失を起因事象としたイベントツリーは構築していない。</li> </ul>  <p>第3.2.1.d-3図 フロントラインイベントツリー (5/7) (原子炉補機冷却機能喪失)</p>  <p>第3.2.1.d-3図 フロントラインイベントツリー (6/7) (外部電源喪失)</p>	

## 泊発電所3号炉 有効性評価 比較表

第37条 付録1 事故シーケンスグループ及び重要事故シーケンス等の選定について  
別添3 レベル1PRA 3.2 外部事象 3.2.1 地震PRA

赤字：設備、運用又は体制の相違（設計方針の相違）  
青字：記載箇所又は記載内容の相違（記載方針の相違）  
緑字：記載表現、設備名称の相違（実質的な相違なし）

大飯発電所3／4号炉	女川原子力発電所2号炉	泊発電所3号炉	相違理由																								
<table border="1"> <tr> <td>原子炉トリップ (SLOCA,SLB, LMFW)</td><td>補助給水系 (LMFW)</td></tr> <tr> <td>TPA</td><td>AFF</td></tr> </table>	原子炉トリップ (SLOCA,SLB, LMFW)	補助給水系 (LMFW)	TPA	AFF		<table border="1"> <tr> <td>主給水流量喪失</td><td>原子炉トリップ</td><td>補助給水</td><td>炉心損傷</td><td>損傷状態</td></tr> <tr> <td></td><td></td><td></td><td>—</td><td></td></tr> <tr> <td></td><td></td><td></td><td>CO</td><td>主給水流量喪失+補助給水失敗</td></tr> <tr> <td></td><td></td><td></td><td>CO</td><td>原子炉トリップが必要な起因事象 +原子炉トリップ失敗</td></tr> </table>	主給水流量喪失	原子炉トリップ	補助給水	炉心損傷	損傷状態				—					CO	主給水流量喪失+補助給水失敗				CO	原子炉トリップが必要な起因事象 +原子炉トリップ失敗	
原子炉トリップ (SLOCA,SLB, LMFW)	補助給水系 (LMFW)																										
TPA	AFF																										
主給水流量喪失	原子炉トリップ	補助給水	炉心損傷	損傷状態																							
			—																								
			CO	主給水流量喪失+補助給水失敗																							
			CO	原子炉トリップが必要な起因事象 +原子炉トリップ失敗																							

第1.2.1.d-10図 主給水流量喪失イベントツリー